



**HAL**  
open science

## Sorigny (Indre-et-Loire) - Extension de la ZAC Isoparc. Rapport de diagnostic archéologique

Pierre Papin, Thomas Boucher, Laureline Cinçon, Francesca Di Napoli,  
Matthieu Gaultier, Philippe Husi, Laure-Anne Millet-Richard, Florian  
Sarreste, Murielle Troubady

### ► To cite this version:

Pierre Papin, Thomas Boucher, Laureline Cinçon, Francesca Di Napoli, Matthieu Gaultier, et al..  
Sorigny (Indre-et-Loire) - Extension de la ZAC Isoparc. Rapport de diagnostic archéologique. Service  
Archéologique départemental d'Indre-et-Loire (SADIL). 2022. hal-04198146

**HAL Id: hal-04198146**

**<https://hal.science/hal-04198146>**

Submitted on 7 Sep 2023

**HAL** is a multi-disciplinary open access archive for the deposit and dissemination of scientific research documents, whether they are published or not. The documents may come from teaching and research institutions in France or abroad, or from public or private research centers.

L'archive ouverte pluridisciplinaire **HAL**, est destinée au dépôt et à la diffusion de documents scientifiques de niveau recherche, publiés ou non, émanant des établissements d'enseignement et de recherche français ou étrangers, des laboratoires publics ou privés.

Rapport de diagnostic archéologique

# Sorigny (Indre-et-Loire)

Extension de la ZAC Isoparc

Sous la direction de  
**PIERRE PAPIN**

AVRIL 2022





## Rapport de diagnostic archéologique

# Sorigny

## Extension de la ZAC Isoparc

Sous la direction de  
**PIERRE PAPIN**

**AVRIL 2022**

avec la collaboration de :

Thomas BOUCHER (Indépendant)  
Laureline CINCON (Cd37 - SADIL)  
Francesca DI NAPOLI (Inrap)  
Matthieu GAULTIER (Cd37 - SADIL)  
Philippe HUSI (CNRS/LAT-CITERES)  
Laure-Anne MILLET-RICHARD (Cd37 - Musée du Grand-Pressigny)  
Florian SARRESTE (Eveha)  
Murielle TROUBADY (Indépendante)

Diagnostic archéologique réalisé du 18 octobre au 23 novembre 2021

### *Référence bibliographique*

**Papin 2021** : Papin P. (dir.) - *Sorigny (Indre-et-Loire) - Extension de la ZAC Isoparc*. Rapport de diagnostic archéologique. Tours : Conseil départemental d'Indre-et-Loire ; Orléans : SRA Centre, 2022.

Crédits photographiques : équipe de fouille sauf mention contraire.

Le rapport d'opération archéologique est considéré comme un document administratif.

En vertu de l'article L. 523-11 / al. 4 du code du patrimoine, les règles de communication du rapport de fouille sont donc celles applicables aux documents administratifs.

L'utilisation des données du rapport de fouille est régie par les dispositions du code de la propriété intellectuelle concernant la propriété littéraire et artistique. Les prises de notes et les clichés sont autorisés pour un usage exclusivement privé et non destiné à une utilisation collective (article L. 122-5 du code de la propriété intellectuelle). Toute reproduction du texte accompagnée ou non de clichés, cartes ou schémas, n'est possible que dans le cadre de courtes citations, avec les références exactes et complètes de l'auteur de l'ouvrage.

Toute utilisation des données du rapport à des fins lucratives est interdite en vertu de l'article 10 de la loi modifiée du 17 juillet 1978 relative à l'amélioration des relations entre l'administration et le public. Le non respect de ces règles constitue un délit de contrefaçon puni par l'article 425 du code pénal.

Loi n° 78-753 du 17 juillet 1978, article 10 : « les documents administratifs sont communiqués sous réserve des droits de la propriété littéraire et artistique. L'exercice du droit à la documentation (...) exclut, pour des bénéficiaires ou des tiers, la possibilité de reproduire, de diffuser ou d'utiliser à des fins commerciales les documents communiqués ».

### *Imprimé par*

Conseil départemental d'Indre-et-Loire - Direction de la logistique interne - Service de l'imprimerie  
Zone du Papillon rue de l'Aviation  
37210 Parçay Meslay

### *Copyright*

© Conseil départemental d'Indre-et-Loire - Direction des archives et de l'archéologie - Service de l'archéologie du département d'Indre-et-Loire

# SOMMAIRE

<b>SECTION I.</b>	<b>DONNÉES ADMINISTRATIVES, TECHNIQUES ET SCIENTIFIQUES</b>	<b>5</b>
	FICHE SIGNALÉTIQUE	6
	GÉNÉRIQUE DE L'OPÉRATION	8
	RÉSULTATS EN MOTS CLÉS	9
	NOTICE SCIENTIFIQUE	10
	LOCALISATION DE L'OPÉRATION	11
	ARRÊTÉ DE PRESCRIPTION	14
	ARRÊTÉ D'ATTRIBUTION DE L'OPÉRATION	18
	PROJET D'INTERVENTION	19
	ACCUSÉ DE RÉCEPTION DU PROJET	21
	ARRÊTÉ DE DÉSIGNATION DU RESPONSABLE	22
	AUTORISATION DE PROSPECTION AU DÉTECTEUR DE MÉTAUX	23
<b>SECTION II.</b>	<b>DESCRIPTION DE L'OPÉRATION ET DES RÉSULTATS</b>	<b>27</b>
	<b>1. PRÉSENTATION</b>	<b>28</b>
	1.1. CIRCONSTANCE DE L'OPÉRATION	28
	1.2. OBJECTIFS SCIENTIFIQUES ET MÉTHODE D'INTERVENTION	28
	1.3. DÉROULEMENT ET MOYEN ALLOUÉS À L'OPÉRATION	28
	1.4. CONTRAINTES DE L'INTERVENTION	29
	1.4.1. <i>Emprise accessible et taux d'ouverture</i>	29
	1.4.1. <i>Les problèmes de piquetage</i>	30
	1.5. CONTEXTE GÉOGRAPHIQUE ET GÉOLOGIQUE	32
	1.5.1. <i>Contexte géographique et topographique</i>	32
	1.5.1. <i>Contexte géologique</i>	32
	1.6. CONTEXTE HISTORIQUE ET ARCHÉOLOGIQUE	39
	1.6.1. <i>Historique des interventions à Sorigny/Monts</i>	39
	1.6.2. <i>Contexte archéologique et historique de l'opération de 2021</i>	40
	1.6.2.1. La préhistoire	40
	1.6.2.2. La Protohistoire	42
	1.6.2.3. La période Romaine	44
	1.6.2.4. Une villa dans l'emprise du diagnostic de 2021	46
	1.6.2.5. Le haut Moyen-Âge	46
	1.6.2.5. Le Moyen-Âge classique et le bas-Moyen-Âge	48
	1.6.2.5. Les époques Moderne et contemporaine	49
	<b>2. RÉSULTATS DE L'OPÉRATION</b>	<b>53</b>
	2.1 LES « ANOMALIES NATURELLES »	65
	2.2 QUELQUES ARTEFACTS PRÉHISTORIQUES	71
	2.3. LA PROTOHISTOIRE	74
	2.3.1. <i>Des indices diffus d'une occupation de la Protohistoire ancienne</i>	74
	2.3.2. <i>Une occupation (ouverte ?) de La Tène Moyenne et Finale</i>	78
2.3.2.1. Un bâtiment de La Tène Moyenne	78	
2.3.2.2. Les bâtiments de La Tène Finale	78	
2.3.2.3. Les fosses	86	
2.3.2.4. Le mobilier redéposé ou isolé	86	

2.3.2.5. Éléments de synthèse	89
<b>2.4. L'ÉPOQUE ROMAINE : UNE VILLA ET SON DOMAINE D'EXPLOITATION ?</b>	<b>91</b>
<b>2.4.1. Le site de la villa de « Netilly »</b>	<b>91</b>
2.4.1.1. Stratégie et méthode d'évaluation	91
2.4.1.2. Les fossés	91
2.4.1.3. Les éléments bâtis	97
<i>Etat de conservation et stratigraphie générale</i>	97
<i>Typologie et phasage des murs</i>	109
<i>Organisation des éléments bâtis de la villa</i>	112
2.4.1.5. Des aires de circulation ?	123
2.4.1.6. Le mobilier isolé	123
2.4.1.8. Éléments de synthèse sur le mobilier : chronologie et statut de l'occupation	126
2.4.1.8. Éléments de synthèse sur la villa	127
<b>2.4.2. Un site à vocation sidérurgique</b>	<b>131</b>
2.4.2.1. Les éléments structurants : les fossés	131
<i>Les fossés de l'enclos</i>	131
<i>Les fossés à l'intérieur de l'enclos</i>	134
<i>Les fossés à l'extérieur de l'enclos</i>	136
2.4.2.2. Les fosses	136
2.4.2.2. La fosse d'extraction F491	139
2.4.2.3. Éléments chronologiques et fonctionnels : un site à vocation sidérurgique du 1 <sup>er</sup> s. ?	141
<b>2.4.3. Les structures gallo-romaines hors sites</b>	<b>142</b>
2.4.3.1. Le parcellaire et les fosses dans l'environnement de la villa	142
<i>Les fossés</i>	142
<i>Les fosses</i>	142
<i>Le mobilier isolé</i>	145
2.4.3.2. Les vestiges d'un chemin antique ?	145
2.4.3.2. Les vestiges de la tranchée 38 : fosse d'extraction et parcellaire	148
2.4.3.2. Le mobilier isolé	148
<b>2.4.4. Éléments de synthèse sur l'occupation gallo-romaine</b>	<b>150</b>
<b>2.5. LE HAUT MOYEN-ÂGE : UNE NÉCROPOLE ET DES FOSSES ET OBJETS ISOLÉS</b>	<b>153</b>
<b>2.5.1. De rares objets isolés de l'époque mérovingienne sur le site de la villa</b>	<b>155</b>
<b>2.5.2. Une petite nécropole des 7<sup>e</sup>-10<sup>e</sup> s.</b>	<b>156</b>
2.5.2.1. L'enclos	156
2.5.2.2. Les sépultures	159
<i>Les problèmes de lecture du terrain</i>	159
<i>Etendue du site et calcul de densité</i>	159
<i>Les observations anthropologiques (avec la collaboration de M. Gautier)</i>	159
<i>Synthèse sur les sépultures</i>	160
2.5.2.3. Les fosses indéterminées du site	163
2.5.2.4. Les éléments de datation du site	163
<i>Les indices de datation des tombes</i>	163
<i>Discussion autour de la datation de l'enclos</i>	164
2.5.2.5. Éléments de synthèse sur le site funéraire du haut Moyen-Âge	166
<b>2.5.3. Les fosses isolées de la fin du haut Moyen-Âge</b>	<b>168</b>
<b>2.6. LE MOYEN-ÂGE CENTRAL ET LE BAS MOYEN-ÂGE : QUELQUES VESTIGES D'UNE OCCUPATION AGROPASTORALE</b>	<b>169</b>
<b>2.6.1. Les vestiges des tranchées 25 à 34</b>	<b>169</b>
<b>2.6.2. Les vestiges des tranchées 5 et 6</b>	<b>176</b>
<b>2.7. L'ÉPOQUE MODERNE ET CONTEMPORAINE : PARCELLAIRE, FOSSES ET MOBILIER ISOLÉ</b>	<b>176</b>
<b>2.7.1. Les fossés parcellaires</b>	<b>176</b>
2.7.1.1. Les fossés des tranchées 3 à 17 et 35	179
2.7.1.2. Les fossés des tranchées 25 à 28	183

2.7.1.3. Le fossé F438	185
2.7.1.4. Les fossés des tranchées 73 et 78 à 80	185
2.7.1.5. Les fossés au nord-est des tranchées 69 à 71, 73 à 75 et 77	186
<b>2.7.2. Les mares</b>	<b>187</b>
<b>2.7.3. La fosse F499</b>	<b>188</b>
<b>2.7.4. Les drains en terre cuite</b>	<b>190</b>
<b>2.7.5. Les objets isolés</b>	<b>192</b>
<b>2.8. LES STRUCTURES DE DATATIONS INDÉTERMINÉES</b>	<b>193</b>
2.8.1. Les fosses	193
2.8.2. Les fossés	199
2.8.3. Le chemin F460-468	201
<b>CONCLUSION</b>	<b>204</b>
<b>BIBLIOGRAPHIE</b>	<b>207</b>

<b>ANNEXES</b>	<b>219</b>
<b>RAPPORTS D'ANALYSES</b>	<b>220</b>
Annexe 1 - Étude de la céramique protohistorique et antique (L. Cinçon)	221
Annexe 2 - Étude du petit mobilier (T. Boucher)	254
Annexe 3 - Étude des monnaies (M. Troudady)	287
Annexe 4 - Étude des déchets sidérurgiques (F. Sarreste)	296
Annexe 5 - Fiches des sépultures fouillées	301
Annexe 6 - Rapport des datations radiocarbone (CIRAM)	304
<b>INVENTAIRES</b>	<b>312</b>
Annexe 7 - Inventaire des unités stratigraphiques	313
Annexe 8 - Inventaire des faits	349
Annexe 9 - Inventaire du mobilier	374
Annexe 10 - Inventaire des Caisses	386
Annexe 11 - Inventaire des photographies	387
Annexe 12 - Liste des documents graphiques	406





I.

**DONNÉES ADMINISTRATIVES,  
TECHNIQUES ET SCIENTIFIQUES**

**Localisation**

Région	Centre-Val de Loire
Département	Indre-et-Loire
Commune	Sorigny
Lieu-dit/Adresse	«Netilly» - «La Belessière»

**Code INSEE de la commune**

37 250

**Coordonnées altimétriques et géographiques selon le système national de référence**

	X	Y	Z
Lambert	de 1 523 660 à 1 524 565	de 6 231 120 à 6 232 000	de 92,70m à 97,10m NGF

(syst. RGF 93 – CC47)

**Références cadastrales**

Commune	Sorigny
Année	2020
Section(s) et parcelle(s)	YD 54, 55p, 101p
Lieu-dit	«Netilly» - «La Belessière»

**Propriétaire du terrain**

Communauté de Communes Touraine Val de L'indre

**Nature et références de l'opération**

Opération SRA (OA) n°	0612894
Arrêté de prescription n°	21 0206 du 31 mars 2021 modifié par l'arrêté 21 0346 du 21 juin 2021
Surface de prescription	258 550 m <sup>2</sup>
Arrêté de désignation du responsable scientifique n°	21 0558

**Maître d'ouvrage des travaux d'aménagement**

Communauté de Communes Touraine Val de L'indre

**Nature de l'aménagement**

ZAC

**Opérateur d'archéologie**

Service de l'archéologie du département d'Indre-et-Loire (SADIL)

**Responsable scientifique de l'opération**

Pierre PAPIN (SADIL)

**Dates d'intervention sur le terrain**

du 18 octobre au 23 Novembre 2021

**Le document final de synthèse**

Nombre de volumes	1
Nombre de pages	409
Nombre de figures	228

### Intervenants scientifiques

DRAC Centre-Val de Loire, SRA	Stéphane REVILLION	Conservateur régional, chef de service
	Thierry LOHRO	Conservateur du patrimoine, en charge du département de l'Indre-et-Loire
Cd37-SADIL	Matthieu GAULTIER	Attaché principal de conservation du patrimoine, chef de service
	Pierre PAPIN	Attaché de conservation du patrimoine, responsable de l'opération

### Intervenants techniques et administratifs de l'opération

DRAC Centre-Val de Loire, SRA	Stéphane REVILLION	Conservateur régional
	Thierry LOHRO	Conservateur du patrimoine
Cd37-SADIL	Claudine DESSERRE	Assistante
	Pierre PAPIN	Attaché de conservation du patrimoine, responsable de l'opération

### Équipe de fouille

Cd37-SADIL	Pierre PAPIN	Responsable d'opération
	Christophe LEBRUN	Technicien de fouille
	Mathieu LOEILLET	Technicien de fouille
	Guillaume LECOQ	Technicien de fouille
	Grégory SILBERSTEIN	Technicien de fouille
	Adrien BOISSEAU	Technicien de fouille
	Alexandre PIOGER	Technicien de fouille
	Julien ANGLADE	Technicien de fouille
	Nicolas MARCHAUD	Topographie

### Équipe de post-fouille

Cd37-SADIL	Pierre PAPIN	SIG, DAO, Rédaction rapport, PAO
	Christophe LEBRUN	Traitement du mobilier, Saisie, DAO
	Mathieu LOEILLET	Traitement du mobilier, DAO
	Guillaume LECOQ	Traitement du mobilier, DAO
	Matthieu GAULTIER	Anthropologie
	Laureline CINCON	Etude céramique proto et gallo-romaine
Eveha	Florian SARRESTE	Etude des scories
Indépendant	Thomas BOUCHER	Etude du petit mobilier
Cd37-MGP	Laure-Anne MILLET-RICHARD	Expertise du mobilier lithique
Inrap	Francesca DI NAPOLI	Expertise céramique proto
LAT/CITERES	Philippe HUSI	Expertise céramique médiévale et moderne

## Moyens humains

		Jours/Hommes/Ha
Durée de la phase de préparation (J/H)	2 jours	0,09 J/H/Ha
Durée de la phase de terrain	24 jours	
Nombre de jours/homme terrain (J/H)	118 J/H	5,4 J/H/Ha
Surface réelle diagnostiquée	217 510 m <sup>2</sup>	
Pourcentage d'ouverture réalisée	11,4 %	
Durée de la phase de post-fouille	80 jours	
Nombre de jours/hommes post-fouille (J/H)	115 J/H	5,29 J/H/Ha
	Total	11,51 J/H/Ha

## Mots clés du thésaurus « chronologie » et « interprétation » de la base de données nationale

## Chronologie

<input type="checkbox"/>	Paléolithique	<input checked="" type="checkbox"/>	Antiquité romaine (gallo-romain)
<input type="checkbox"/>	inférieur	<input type="checkbox"/>	République romaine
<input type="checkbox"/>	moyen	<input checked="" type="checkbox"/>	Empire romain
<input type="checkbox"/>	supérieur	<input checked="" type="checkbox"/>	Haut-Empire (jusqu'en 284)
<input type="checkbox"/>	Mésolithique et Épipaléolithique	<input checked="" type="checkbox"/>	Bas-Empire (de 285 à 476)
<input type="checkbox"/>	Néolithique	<input checked="" type="checkbox"/>	Époque médiévale
<input type="checkbox"/>	ancien	<input checked="" type="checkbox"/>	Haut Moyen Âge
<input type="checkbox"/>	moyen	<input checked="" type="checkbox"/>	Moyen Âge
<input type="checkbox"/>	récent	<input checked="" type="checkbox"/>	Bas Moyen Âge
<input type="checkbox"/>	Chalcolithique	<input type="checkbox"/>	Temps modernes
<input checked="" type="checkbox"/>	Protohistoire	<input checked="" type="checkbox"/>	Époque contemporaine
<input type="checkbox"/>	Âge du Bronze	<input type="checkbox"/>	Ère industrielle
<input type="checkbox"/>	ancien		
<input type="checkbox"/>	moyen		
<input type="checkbox"/>	récent		
<input checked="" type="checkbox"/>	Âge du Fer		
<input type="checkbox"/>	Hallstatt (premier Âge du Fer)		
<input checked="" type="checkbox"/>	La Tène (second Âge du Fer)		

## Sujets et thèmes

<input type="checkbox"/>	Édifice public	<input type="checkbox"/>	Abri	<i>Mobilier</i>	<input type="checkbox"/>	Études annexes
<input type="checkbox"/>	Édifice religieux	<input type="checkbox"/>	Mégalithe	<input checked="" type="checkbox"/>	<input type="checkbox"/>	Géologie
<input type="checkbox"/>	Édifice militaire	<input type="checkbox"/>	Artisanat aliment	<input type="checkbox"/>	<input checked="" type="checkbox"/>	Datation
<input type="checkbox"/>	Commerce	<input type="checkbox"/>	Argile : atelier	<input checked="" type="checkbox"/>	<input checked="" type="checkbox"/>	Anthropologie
<input checked="" type="checkbox"/>	Struc. funéraire	<input checked="" type="checkbox"/>	Atelier métallurgie	<input type="checkbox"/>	<input type="checkbox"/>	Paléontologie
<input checked="" type="checkbox"/>	Voirie	<input type="checkbox"/>	Artisanat	<input checked="" type="checkbox"/>	<input type="checkbox"/>	Zoologie
<input type="checkbox"/>	Hydraulique	<input type="checkbox"/>	Puits	<input type="checkbox"/>	<input type="checkbox"/>	Botanique
<input checked="" type="checkbox"/>	Habitat rural	<input type="checkbox"/>	Autre :	<input checked="" type="checkbox"/>	<input type="checkbox"/>	Palynologie
<input checked="" type="checkbox"/>	Villa			<input type="checkbox"/>	<input type="checkbox"/>	Macrorestes
<input type="checkbox"/>	Bâtiment agricole			<input checked="" type="checkbox"/>	<input checked="" type="checkbox"/>	Céramique
<input checked="" type="checkbox"/>	Structure agraire			<input checked="" type="checkbox"/>	<input checked="" type="checkbox"/>	Métaux
<input type="checkbox"/>	Urbanisme			<input checked="" type="checkbox"/>	<input checked="" type="checkbox"/>	Numismatique
<input type="checkbox"/>	Maison			<input type="checkbox"/>	<input type="checkbox"/>	Conservation
<input type="checkbox"/>	Structure urbaine			<input checked="" type="checkbox"/>	<input type="checkbox"/>	Restauration
<input type="checkbox"/>	Foyer			<input checked="" type="checkbox"/>	<input checked="" type="checkbox"/>	Autre : scorie
<input checked="" type="checkbox"/>	Fosse			<input type="checkbox"/>	<input type="checkbox"/>	Autre : lithique
<input checked="" type="checkbox"/>	Fossé			<input type="checkbox"/>	<input type="checkbox"/>	Autre : verre
<input checked="" type="checkbox"/>	Trou de poteau			<input type="checkbox"/>	<input type="checkbox"/>	Autre : carpologie
<input checked="" type="checkbox"/>	Sépulture			<input type="checkbox"/>	<input type="checkbox"/>	Autre : anthracologie
<input type="checkbox"/>	Grotte			<input type="checkbox"/>	<input type="checkbox"/>	Autre : chimie

## Lieu(x) de dépôt du mobilier archéologique

Sadil - Chambray-lès-Tours

Le diagnostic réalisé en 2021 à Sorigny (Indre-et-Loire), a été généré par un projet d'extension de la ZAC « Isoparc » sur une surface de 25,8 ha, mais dont seulement 21,7 ha étaient accessibles en raison de la présence de végétation et de zones déjà partiellement aménagées. L'opération de terrain a eu lieu en octobre et novembre 2021, la post-fouille et la rédaction du rapport se sont étalées jusqu'en avril 2022. La surface à diagnostiquer a été explorée à l'aide de 81 tranchées continues de 2m de large, ponctuées d'extensions quand cela s'est avéré nécessaire. Le tout a permis l'ouverture cumulée d'environ 24 450 m<sup>2</sup> représentant 11,24% de la surface accessible.

cette opération prenait place au sein d'un vaste plateau situé au sud de l'Indre. Le contexte archéologique du secteur se signalait par de nombreuses opérations récentes de diagnostics et de fouilles (premières tranches de la ZAC Isoparc, LGV-SEA Tours-Bordeaux, aménagements autour de l'autoroute A10...), ayant révélé une densité importante de gisements archéologiques de toutes périodes. Le présent diagnostic n'a pas dérogé à la règle. Ainsi, l'opération a révélé la présence de plusieurs occupations plus ou moins bien caractérisées, allant de la préhistoire à l'époque contemporaine, qui peuvent être listées comme suit :

- Un léger « bruit de fond » préhistorique, constitué de rares silex taillés, dont un probable éclat levallois datant du Paléolithique Moyen, et une de lame à dos plus récente (Paléolithique supérieur ou Néolithique). A noter également la découverte, dans un contexte antique, d'une petite hache polie en jade.
- Une occupation diffuse de la Protohistoire ancienne (sans précision), constituée de quelques fosses éparses s'étalant sur une grande surface.
- Une occupation (ouverte ?) de La Tène Moyenne et Finale, signalée par plusieurs bâtiments sur poteaux et par la découverte au détecteur à métaux d'un lot de 11 monnaies, dont un potin « sacrifié » et une monnaie en argent caractéristiques de contextes de sanctuaires.
- Un établissement rural qui peut être qualifié de petite ou moyenne *villa*, occupé du tournant de notre ère au 4<sup>e</sup> s., caractérisé par un enclos bâti en pierre, muni d'un porche d'entrée ouvrant sur une cour distribuant divers bâtiments, dont une partie résidentielle qui se signale notamment par de puissants bâtiments maçonnés à la chaux au moins à partir du 2<sup>e</sup> s. ap. J.-C. Le tout est plus largement entouré de fossés, partitionnant le site en plusieurs espaces à vocations agro-pastorales.
- Un second site antique daté des 1<sup>er</sup>/début du 2<sup>e</sup> s. ap. J.-C., composé d'un enclos fossoyé ayant au moins en partie renfermé une activité artisanale (et peut-être d'habitat ?), tournée vers la métallurgie du fer, associé à une vaste fosse d'extraction en marge de l'enclos.
- Un chemin et un parcellaire antique disséminé sur l'emprise du diagnostic.
- Une petite nécropole à inhumations estimée à une centaine d'individus, datable des 7<sup>e</sup>-10<sup>e</sup> s., structurée autour d'un enclos en pierre, peut-être d'origine antique.
- Des occupations agraires constituées de fossés et de mares ainsi que de rares fosses, s'échelonnant du Moyen-Âge central à l'époque contemporaine.

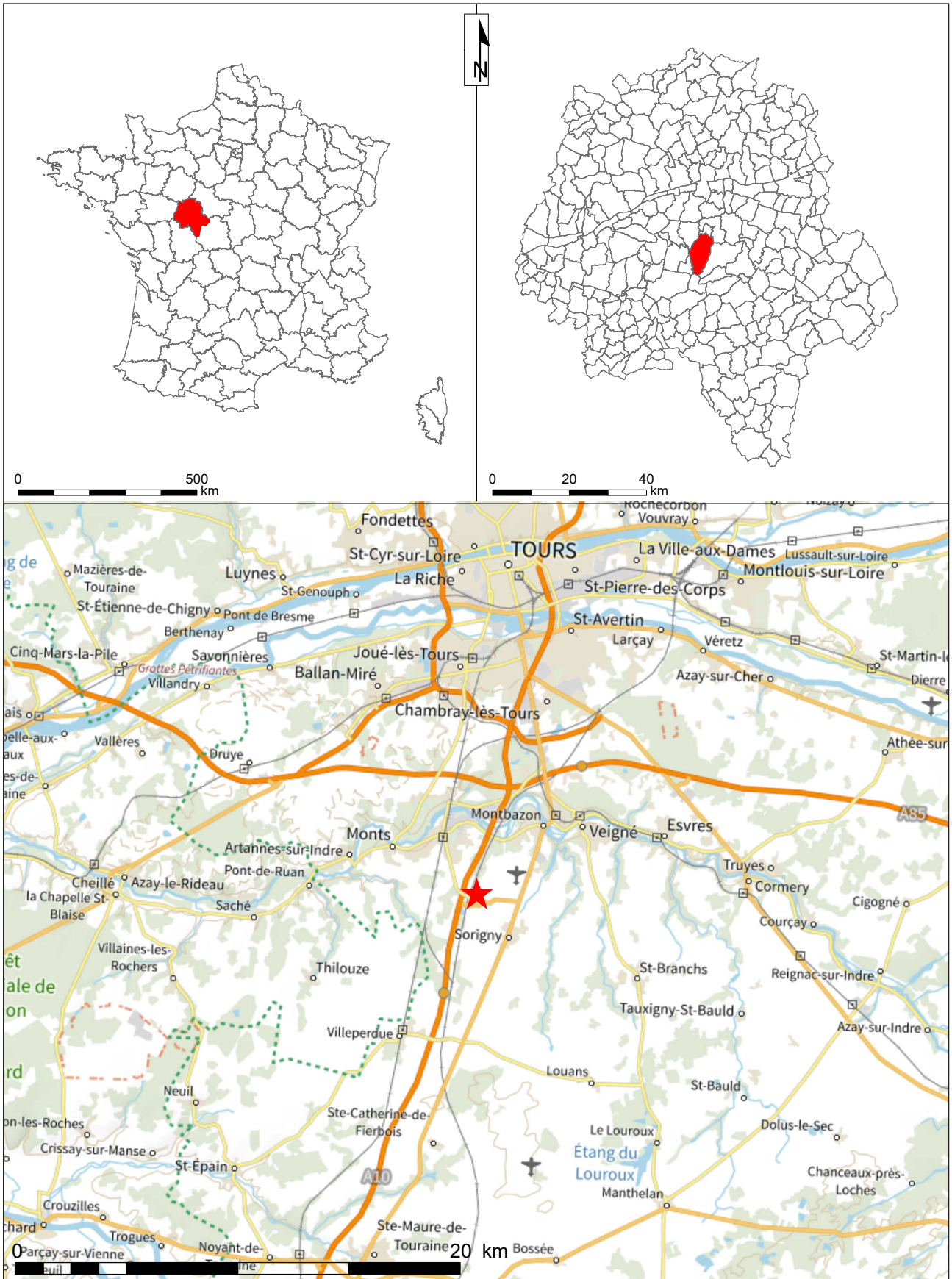


Figure 1 : Localisation du site sur la carte topographique au 1 / 250 000°



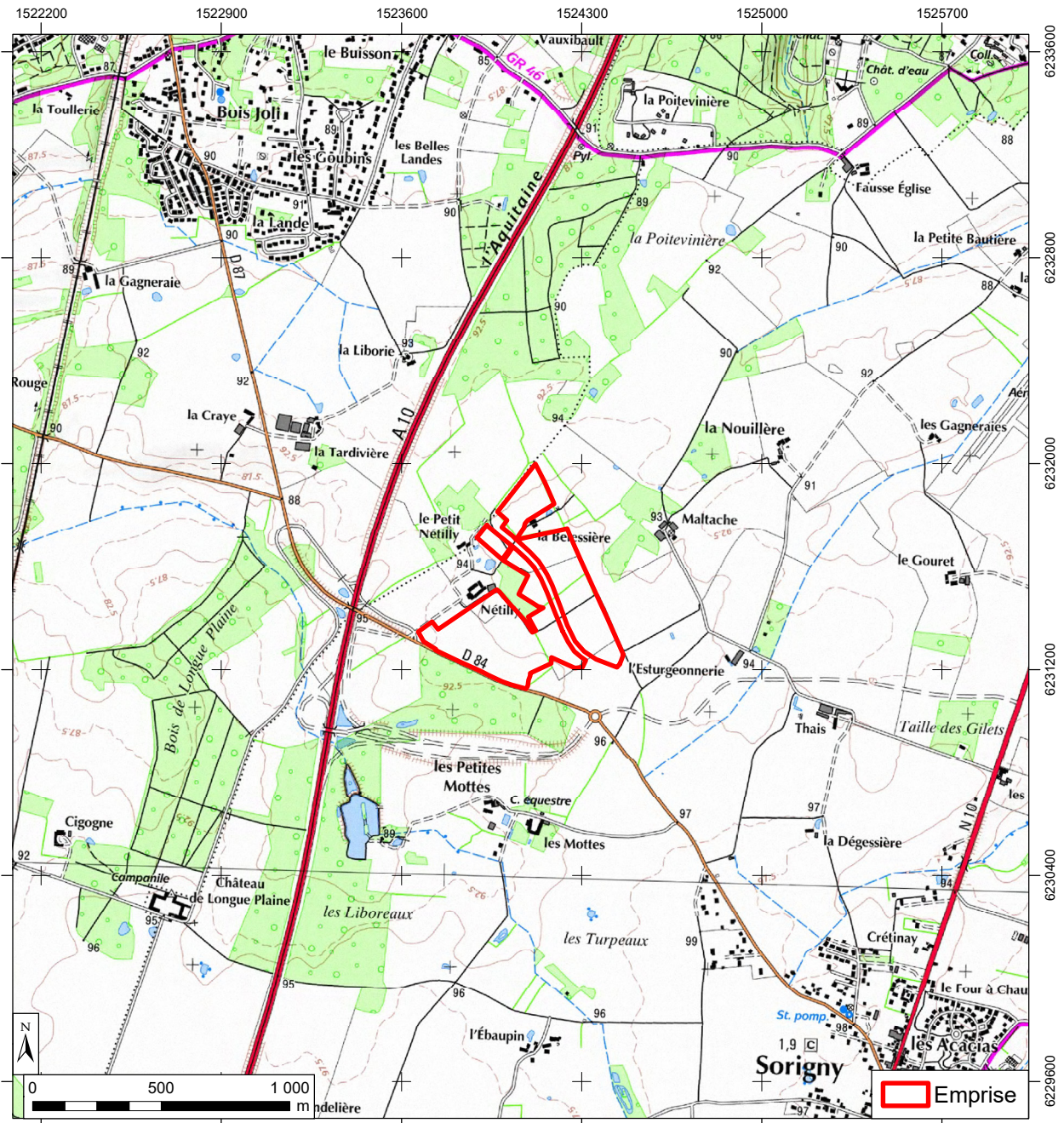
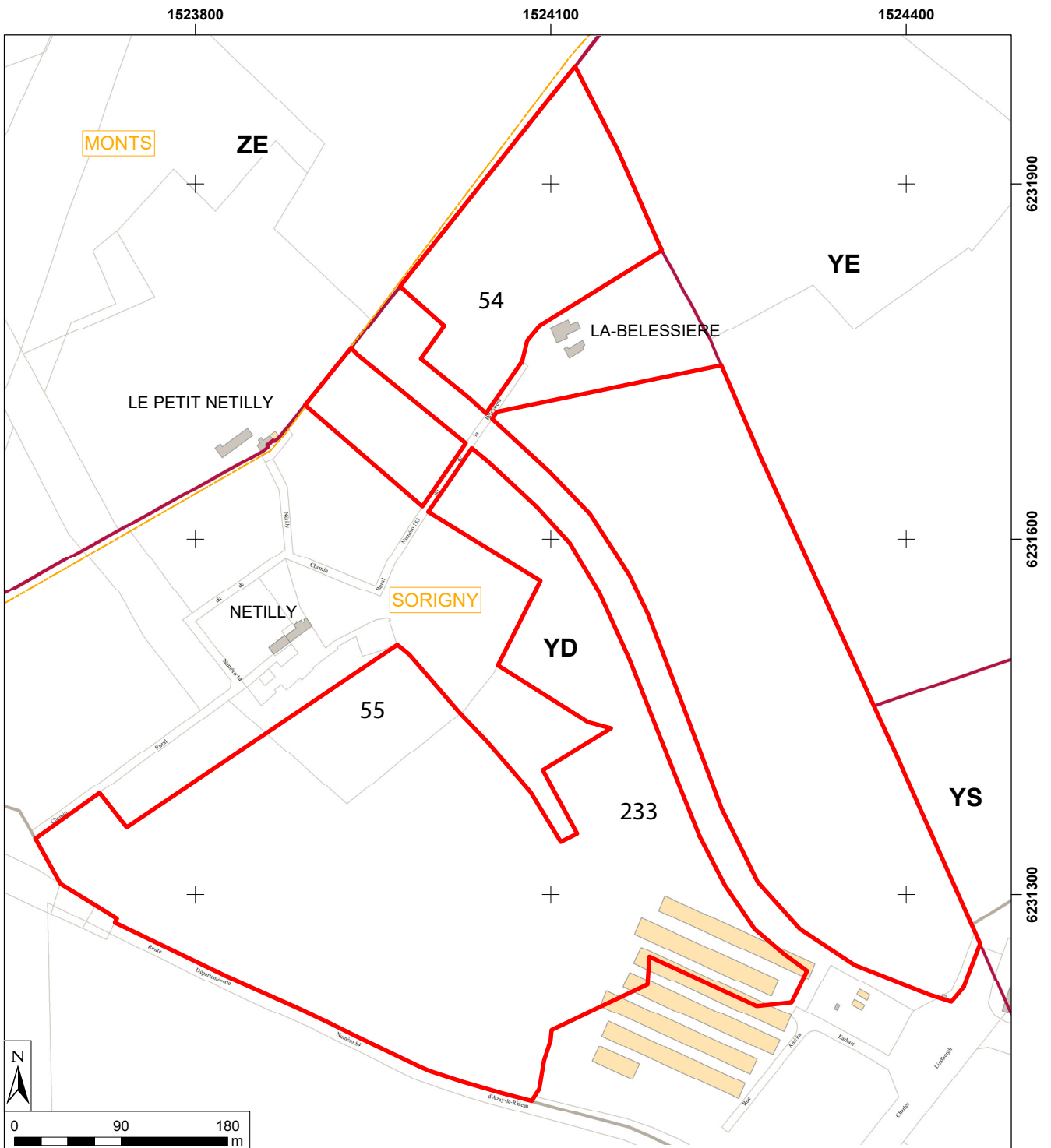


Figure 2 : Localisation du site sur une carte IGN au 1 / 25 000°  
(© IGN Paris - Scan 25, 2005 - Autorisation de reproduction n° 2006/CUDC/0186)



**Figure 3** : Emprise du diagnostic sur le fond cadastral, carroyage principal Lambert 93 CC47  
(sources : Direction générale des Impôts)



PRÉFÈTE DE LA RÉGION CENTRE-VAL DE LOIRE

Arrêté n° 21/0206 du 31 MARS 2021  
portant prescription d'un diagnostic d'archéologie préventive

La Préfète de région ;

Vu le code du patrimoine et notamment son livre V ;

Vu l'arrêté du 16 septembre 2004 portant définition des normes d'identification, d'inventaire, de classement et de conditionnement de la documentation scientifique et du mobilier issu des diagnostics et des fouilles archéologiques ;

Vu l'arrêté du 27 septembre 2004 portant définition des normes de contenu et de présentation des rapports d'opérations archéologiques ;

Vu l'arrêté n° 21.097 du 23 mars 2021 de la Préfète de la région Centre-Val de Loire portant délégation de signature à Monsieur Fabrice MORIO, Directeur régional des affaires culturelles du Centre-Val de Loire, notamment en matière d'administration générale ;

Vu l'arrêté n° R24-2021-03-29-00001 du Directeur régional des affaires culturelles de la région Centre-Val de Loire, en date du 29 mars 2021, accordant subdélégation de signature à Monsieur Stéphane RÉVILLION, Conservateur régional de l'archéologie ;

Vu le dossier enregistré sous le n° CP0372502000014, demande d'information, Consultation-projet, déposé par – Communauté de Communes Touraine Vallée de l'Indre – pour le projet « Zone d'activité Isoparc » localisé à SORIGNY, reçu en préfecture de région, Service régional de l'archéologie Centre-Val de Loire, le 19 juin 2020 ;

Vu la demande anticipée de prescription d'archéologie préventive présentée par – Communauté de Communes Touraine Vallée de l'Indre – pour le projet « Zone d'activité Isoparc » reçue en préfecture de région, Service régional de l'archéologie Centre-Val de Loire, le 18 mars 2021 ;

Considérant que les travaux envisagés sont susceptibles d'affecter des éléments du patrimoine archéologique : l'ensemble de ce secteur de la commune de Sorigny est riche d'un patrimoine archéologique important ;

Considérant qu'il est nécessaire de mettre en évidence et de caractériser la nature, l'étendue et le degré de conservation des vestiges archéologiques éventuellement présents afin de déterminer le type de mesures dont ils doivent faire l'objet.

#### ARRÊTE

**Article 1** - Une opération de diagnostic archéologique est mise en œuvre préalablement à la réalisation du projet « Zone d'activité Isoparc », sis en :

RÉGION : CENTRE-VAL-DE-LOIRE

DEPARTEMENT : INDRE-ET-LOIRE

COMMUNE : SORIGNY

Lieudit ou adresse : Zone d'activité d'Isoparc

Cadastre : Année : 2020, Section : YD, Parcelles : 54, 55p, 101p

Réalisé par : Communauté de Communes Touraine Vallée de l'Indre

L'emprise soumise au diagnostic, d'une superficie de 232 500 m<sup>2</sup>, est figurée sur le document graphique annexé au présent arrêté.

Le diagnostic archéologique comprend, outre une phase d'exploration du terrain, une phase d'étude qui s'achève par la remise du rapport sur les résultats obtenus.

**Article 2** - L'attribution de la réalisation du diagnostic fait l'objet d'une décision distincte du présent arrêté.

L'opérateur ainsi désigné soumettra un projet d'intervention élaboré sur la base des objectifs scientifiques et des principes méthodologiques définis par le présent arrêté

**Article 3** - Objectifs scientifiques

Le diagnostic archéologique est une opération archéologique à part entière qui dépasse le cadre de la simple présence ou absence de site. Il doit permettre de préciser la nature, l'extension spatiale, la chronologie, la puissance stratigraphique et le degré de conservation des vestiges.

Il doit comprendre la mise en œuvre de moyens, d'analyses et de techniques propres à la détermination et à la compréhension du gisement exploré, en perspective d'une exploitation à long terme et d'une approche géographique plus générale.

Il doit fournir les informations nécessaires pour décider de prescriptions postérieures au diagnostic (modification de consistance du projet, fouille préventive ...) et de leurs modalités techniques.

**Article 4** - Principes méthodologiques

Au cours de la phase de préparation de l'opération de diagnostic, le responsable scientifique prendra contact avec l'agent du Service régional de l'archéologie chargé du suivi de cette opération, afin d'établir un premier bilan de la documentation existante sur l'environnement géologique, historique et archéologique.

Les travaux éventuels de préparation à l'accessibilité des parcelles (défrichements, déboisements, démolitions ...) feront l'objet d'une concertation préalable avec le service régional de l'archéologie et l'opérateur.

Le diagnostic devra être réalisé par ouverture de tranchées linéaires continues à l'aide d'une pelle mécanique travaillant en rétro-action et munie d'un godet lisse d'une largeur de 2 m. Les tranchées sont réparties sur l'intégralité de la surface prescrite qui doit de ce fait être accessible. Le taux d'exploration doit être de 10 % minimum).

Il comprendra également la réalisation de sondages profonds (régulièrement répartis ...), qui permettront de reconnaître la stratigraphie générale et le contexte géomorphologique du site.

Afin de caractériser les vestiges mis au jour, une méthodologie d'exploration complémentaire devra être mise en œuvre, à l'emplacement des niveaux et structures archéologiques présentant une concentration ou une extension particulière, soit par :

- l'ouverture de « fenêtres » de décapage, d'une superficie significative ;
- la mise en œuvre d'un maillage de tranchées plus réduit à l'emplacement de ces zones, afin d'en définir l'extension.

Les structures archéologiques devront être identifiées par tous moyens appropriés (sondages, fouille partielle ...), afin de déterminer leur nature, leur extension spatiale, leur chronologie, leur puissance stratigraphique et leur état de conservation. Leur cote d'apparition et l'épaisseur du décapage devront être précisées, de manière à qualifier l'état de conservation du site (en mètre et en cote altimétrique NGF).

La caractérisation chronologique du site pourra être réalisée grâce à des études spécialisées (céramologie...), mais aussi par la mise en œuvre de méthodes de datation absolues (14 C, OSL, ESR, dendrochronologie...).

Le responsable d'opération fera appel, en tant que de besoin, à la participation d'archéologues et spécialistes compétents selon la nature ou la période des vestiges concernés.

Les données archéologiques seront enregistrées et restituées selon les protocoles de représentation en vigueur (plans, relevés, photographies - dont prises de vues zénithales -, relevés photogrammétriques ...). L'emprise du diagnostic ainsi que les limites des tranchées devront être géolocalisées précisément (en Lambert 93) sur un fond cadastral à une échelle lisible. Toutes les couches feront l'objet d'un enregistrement stratigraphique (US). Ce mode d'enregistrement, de traitement et d'exploitation des données stratigraphiques, sera étroitement lié à la gestion du mobilier archéologique. L'enregistrement en US devra permettre d'établir la chronologie relative de ces unités et d'élaborer le ou les diagrammes stratigraphiques, afin de produire la synthèse de la chronologie du site archéologique stratifié.

Au terme de l'intervention de terrain, l'opérateur fera procéder à un rebouchage sommaire des tranchées sans compactage. La terre végétale sera placée en couche supérieure avec chenillage. Dans le cas de découverte de structures archéologiques justifiant de mesures de protections particulières avant rebouchage, celles-ci devront être réalisées sous contrôle ou par l'opérateur du diagnostic archéologique, après accord du service régional de l'archéologie.

Le responsable d'opération devra prendre en considération les remarques formulées par le responsable scientifique de l'Etat dans le cadre du Contrôle Scientifique et Technique.

L'opérateur devra prendre l'attache de l'aménageur afin de procéder le cas échéant à la remise en état des terrains.

Le responsable scientifique de l'opération informera régulièrement le Conservateur régional de l'archéologie de l'état d'avancement de l'opération. Il lui signalera immédiatement toute découverte de vestiges afin qu'un agent du Service régional de l'archéologie puisse si nécessaire se rendre sur place.


**Article 5 - Responsable scientifique**

Le responsable scientifique du diagnostic, dont la désignation fera l'objet d'un arrêté ultérieur, doit justifier des qualifications suivantes : spécialiste de l'archéologie en milieu rural.

**Article 6** - Le Directeur régional des affaires culturelles est chargé de l'exécution du présent arrêté, qui sera notifié à la Communauté de Communes Touraine Vallée de l'Indre, au Service archéologique départemental d'Indre-et-Loire (SADIL) et à l'INRAP - Direction interrégionale Centre-Ile-de-France.

Fait à ORLEANS, le **31 MARS 2021**

Pour la Préfète de la Région Centre-Val de Loire,  
et par subdélégation,  
Le Conservateur régional de l'archéologie



Stéphane RÉVILLION

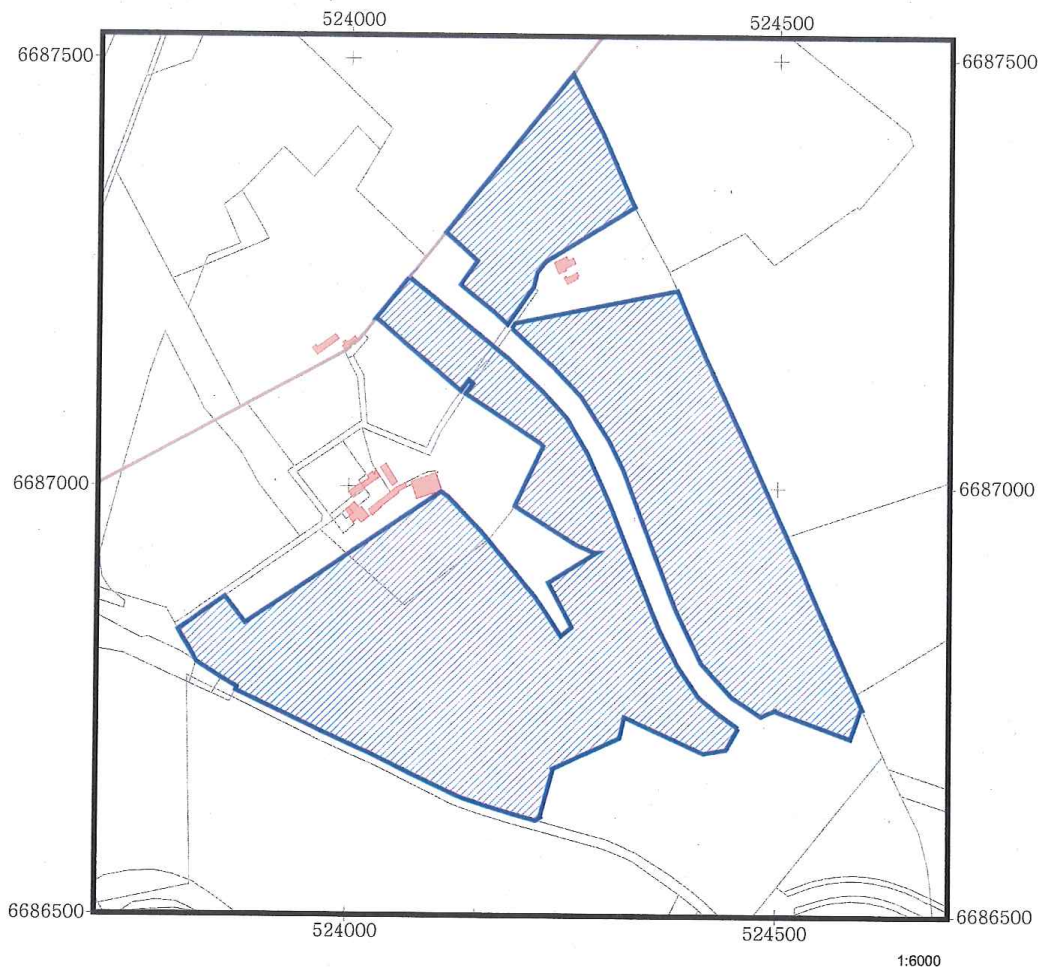
  
**PRÉFET  
DE LA RÉGION  
CENTRE-VAL  
DE LOIRE**


*Liberté  
Égalité  
Fraternité*

Direction régionale  
des affaires culturelles  
Service régional de l'archéologie

Annexe 1

SORIGNY (Indre-et-Loire)  
Projet d'extension de la ZA ISOPARC  
Plan annexé à l'arrêté n°21/0346  
portant modification de la prescription  
de diagnostic n°21/0206



 Zone objet de la prescription archéologique

Sources graphiques : ©BD Parcellaire 2017  
Composante parcellaire du RGE®  
Système de projection : Lambert 93

Source de données : Base de données Patriarche  
D.R.A.C. / S.R.A. / V. Aubourg/ juin 2021



**Direction régionale  
des affaires culturelles**

Arrêté n° 21/0267 du 28 AVR. 2021  
portant attribution de la réalisation d'un diagnostic à un opérateur d'archéologie préventive

La Préfète de région ;

Vu le code du patrimoine et notamment son livre V ;

Vu l'arrêté n° 21.097 du 23 mars 2021 de la Préfète de la région Centre-Val de Loire portant délégation de signature à Monsieur Fabrice MORIO, Directeur régional des affaires culturelles du Centre-Val de Loire, notamment en matière d'administration générale ;

Vu l'arrêté n° R24-2021-03-29-00001 du Directeur régional des affaires culturelles de la région Centre-Val de Loire, en date du 29 mars 2021, accordant subdélégation de signature à Monsieur Stéphane RÉVILLION, Conservateur régional de l'archéologie ;

Vu l'arrêté n° 21/0206 du 31 mars 2021 portant prescription d'un diagnostic d'archéologie préventive (SORIGNY, INDRE-ET-LOIRE, Zone d'activité Isoparc) ;

Vu l'arrêté du 30 mars 2020 portant habilitation en qualité d'opérateur d'archéologie préventive du service de l'archéologie du département d'Indre-et-Loire ;

Vu la décision du Service archéologique départemental d'Indre-et-Loire (SADIL) en date du 14 avril 2021 de réaliser le diagnostic prescrit ;

Considérant que le projet d'aménagement susvisé n'entre pas dans le champ d'application de l'article R.523-28 du code du patrimoine,

**ARRÊTE**

**Article 1** - La réalisation de l'opération de diagnostic prescrite par l'arrêté du 31 mars 2021 susvisé est attribuée au Service archéologique départemental d'Indre-et-Loire (SADIL).

**Article 2** - Le Directeur régional des affaires culturelles est chargé de l'exécution du présent arrêté, qui sera notifié à : Communauté de Communes Touraine Vallée de l'Indre, Service archéologique départemental d'Indre-et-Loire (SADIL).

Fait à ORLEANS, le 28 AVR. 2021

Pour la Préfète de la Région Centre-Val de Loire,  
et par subdélégation,  
Le Conservateur régional de l'archéologie

Stéphane RÉVILLION

## Commune de Sorigny (37) Projet d'extension de la ZA Isoparc

### Projet de diagnostic archéologique

Relatif à l'arrêté n° 21/0206 du 31 mars 2021 modifié par l'arrêté n° 21/0346 du 18 juin 2021

#### Contexte de l'intervention

Le projet d'extension de la ZA Isoparc sur la commune de Sorigny - cadastre : année 2020 – section YD – parcelles 54, 55p et 101p pour une surface de 258 550 m<sup>2</sup>, nécessite la réalisation préalable d'un diagnostic archéologique.

#### Objectifs scientifiques de l'intervention

Mettre en évidence et caractériser la nature, l'étendue et le degré de conservation des vestiges archéologiques éventuellement présents sur la surface concernée par l'aménagement afin de déterminer le type de mesures dont ils doivent faire l'objet.

#### Modalités d'exécution

Des tranchées de diagnostic seront effectuées sur l'intégralité de l'emprise avec une pelle mécanique équipée d'un godet lisse. Les tranchées seront espacées régulièrement, la surface ainsi sondée atteindra 10 % de la surface totale concernée par la prescription de diagnostic. Au moins un sondage profond sera réalisé pour caractériser la séquence stratigraphique présente dans l'emprise.

Dans le cas de découvertes de structures archéologiques, des élargissements seront effectués sous la forme de fenêtres de taille adaptée, afin de mieux cerner et caractériser l'occupation humaine repérée. Les vestiges mis au jour seront fouillés afin de permettre leur datation et la détermination de leur nature. A défaut de mobilier permettant de les dater, des prélèvements seront réalisés afin de mettre en œuvre d'autres méthodes de datation (<sup>14</sup>C). Le responsable de l'opération fera appel en tant que de besoin à des spécialistes compétents selon la nature ou la période des vestiges concernés (anthropologie et Préhistoire notamment).

Les indices seront relevés (photographie, dessin) et enregistrés. La cote d'apparition et l'épaisseur du décapage seront mentionnés sur les relevés. Des orthophotographies pourront être réalisées pour compléter la documentation des indices les mieux conservés. L'ensemble des résultats sera localisé et présenté sur un fond cadastral à une échelle lisible (le système de projection utilisé sera le Lambert 93).

Les découvertes et le contexte historique et archéologique autour de l'opération seront présentés dans un rapport final qui répondra aux normes prévues par l'arrêté du 27 septembre 2004. La description du contexte historique et archéologique dans lequel s'insère le diagnostic sera élaboré grâce à la Carte Archéologique Nationale, et prendra en compte les résultats des opérations les plus récentes.

#### Moyens techniques

Nombre de jours de pelle mécanique : 40 jours ouvrés (2 pelles pendant 20 jours) pour la réalisation des sondages

Nombre de jours de pelle mécanique pour le rebouchage à la suite du diagnostic : 30 jours (2 pelles pendant 15 jours)

#### Synthèse des moyens humains affectés à l'opération :

- Phase terrain : 80 jours/homme
- Phase de post-fouille : 100 jours/hommes, qui se décomposent comme suit :
  - o Responsable d'opération (SIG, rédaction, PAO) : 60 jours ouvrés
  - o Technicien de fouille (DAO, BDD, traitement primaire du mobilier) : 40 jours



Ce décompte, qui ne concerne que l'équipe de base, est donné à titre indicatif, et est susceptible d'être modifié en fonction de la quantité de vestiges et de données à traiter. Si besoin, il est rappelé que des renforts du Sadil pourront être mobilisés.

### **Sensibilités archéologiques**

L'environnement de l'emprise soumise à l'actuelle prescription de diagnostic est entourée de zones qui ont déjà été explorées (A10 ; LGV ; premières tranches de la ZAC Isoparc). Ces diverses opérations ont donné lieu à un grand nombre de découvertes de sites et indices de sites datant du Paléolithique à l'époque Moderne (cf. carte ci-joint). En outre, une simple consultation de la photographie satellite de la zone sur le site « Google Map » a permis de détecter, au sein même de l'emprise, les substructions d'une vraisemblable *Pars Urbana* d'une *villa* gallo-romaine inédite. Il y a donc tout lieu de penser que ce diagnostic devrait être particulièrement positif.

Service de l'Archéologie du département d'Indre-et-Loire  
Le 19/07/2021

#### Documents joints :

Copie de la prescription de diagnostic

Plan des zones accessibles au diagnostic avec projet d'implantation des tranchées

  
**PRÉFÈTE  
 DE LA RÉGION  
 CENTRE-VAL  
 DE LOIRE**

*Liberté  
 Égalité  
 Fraternité*

Service régional de l'archéologie Centre-  
 Val de Loire

Affaire suivie par :  
 Thierry LORHO  
 02.38.78.85.34

thierry.lorho@culture.gouv.fr

Références : 21/VA/ACB1795



**Direction régionale  
 des affaires culturelles**

La Préfète de région

à

Service archéologique départemental d'Indre-et-Loire  
 (SADIL)  
 Conseil Départemental d'Indre-et-Loire  
 Direction Archives, Archéologie, Inventaire  
 Place de la Préfecture  
 37927 TOURS CEDEX 9

ORLEANS, le 21 juillet 2021

**Objet :** Réception et validation d'un projet d'intervention de diagnostic archéologique  
**Références :** SORIGNY (INDRE-ET-LOIRE), Zone d'activité Isoparc  
 CP0372502000014  
 Votre courrier du 19/07/2021.

Vous m'avez transmis le projet d'intervention détaillant la mise en œuvre du diagnostic d'archéologie préventive prescrit par l'arrêté du 31 mars 2021.

J'ai l'honneur d'en accuser réception à la date du 19 juillet 2021.

Je vous informe que ce projet d'intervention est conforme à ma prescription.

En application de l'article R.523-30 du code du patrimoine, il vous revient désormais d'adresser à l'aménageur un projet de convention précisant les conditions de réalisation du diagnostic conformément à l'article R.523-31 du même code.

Je vous rappelle également que vous devez me transmettre une copie de la convention dès sa signature et que vous êtes tenu de me faire connaître les dates de début et de fin du diagnostic au moins cinq jours ouvrables avant le début de l'opération.

Sur ce point, je vous invite, tout comme l'aménageur, à être attentif au respect des délais fixés par l'article L.523-7 du code du patrimoine afin d'écartier tout risque de caducité de ma prescription.

Pour la Préfète de la Région Centre-Val de Loire,  
 et par subdélégation,  
 Le Conservateur régional de l'archéologie

  
 Stéphane RÉVILLION



**Direction régionale  
des affaires culturelles**

Arrêté n° 21/0267 du 28 AVR. 2021  
portant attribution de la réalisation d'un diagnostic à un opérateur d'archéologie préventive

La Préfète de région ;

Vu le code du patrimoine et notamment son livre V ;

Vu l'arrêté n° 21.097 du 23 mars 2021 de la Préfète de la région Centre-Val de Loire portant délégation de signature à Monsieur Fabrice MORIO, Directeur régional des affaires culturelles du Centre-Val de Loire, notamment en matière d'administration générale ;

Vu l'arrêté n° R24-2021-03-29-00001 du Directeur régional des affaires culturelles de la région Centre-Val de Loire, en date du 29 mars 2021, accordant subdélégation de signature à Monsieur Stéphane RÉVILLION, Conservateur régional de l'archéologie ;

Vu l'arrêté n° 21/0206 du 31 mars 2021 portant prescription d'un diagnostic d'archéologie préventive (SORIGNY, INDRE-ET-LOIRE, Zone d'activité Isoparc) ;

Vu l'arrêté du 30 mars 2020 portant habilitation en qualité d'opérateur d'archéologie préventive du service de l'archéologie du département d'Indre-et-Loire ;

Vu la décision du Service archéologique départemental d'Indre-et-Loire (SADIL) en date du 14 avril 2021 de réaliser le diagnostic prescrit ;

Considérant que le projet d'aménagement susvisé n'entre pas dans le champ d'application de l'article R.523-28 du code du patrimoine,

**ARRÊTE**

**Article 1** - La réalisation de l'opération de diagnostic prescrite par l'arrêté du 31 mars 2021 susvisé est attribuée au Service archéologique départemental d'Indre-et-Loire (SADIL).

**Article 2** - Le Directeur régional des affaires culturelles est chargé de l'exécution du présent arrêté, qui sera notifié à : Communauté de Communes Touraine Vallée de l'Indre, Service archéologique départemental d'Indre-et-Loire (SADIL).

Fait à ORLEANS, le 28 AVR. 2021

Pour la Préfète de la Région Centre-Val de Loire,  
et par subdélégation,  
Le Conservateur régional de l'archéologie

Stéphane RÉVILLION



**Direction régionale  
des affaires culturelles  
Service régional de l'archéologie**

**ARRÊTÉ DE PROSPECTION AU DETECTEUR DE METAUX N° 21/0583  
EN DATE DU 1<sup>ER</sup> SEPTEMBRE 2021**

La Préfète de la Région Centre-Val de Loire  
Chevalier dans l'ordre de la Légion d'honneur

Vu le code du patrimoine (livre V – archéologie) ;

Vu l'arrêté du 16 septembre 2004 portant définition des normes d'identification, d'inventaire, de classement et de conditionnement de la documentation scientifique et du mobilier issu des diagnostics et fouilles archéologiques ;

Vu l'arrêté du 27 septembre 2004 portant définition des normes de contenu et de présentation des rapports d'opérations archéologiques ;

Vu l'arrêté n° 21.097 du 23 mars 2021 de la Préfète de la région Centre Val de Loire portant délégation de signature à Monsieur MORIO, Directeur régional des affaires culturelles du Centre Val de Loire, notamment en matière d'administration générale ;

Vu l'arrêté n° R24-2021-03-29-00001 du Directeur régional des affaires culturelles du Centre – Val de Loire, en date du 29 mars 2021, accordant subdélégation de signature à Monsieur Stéphane REVILLION, Conservateur régional de l'archéologie ;

Vu l'arrêté de prescription de diagnostic n° 21/0206 en date du 31 mars 2021 modifié par l'arrêté de prescription n° 21/0346 du 18 juin 2021 ;

VU la demande par courriel de Monsieur Pierre PAPIN en date du 1<sup>er</sup> septembre 2021 reçue à la Direction régionale des affaires culturelles du Centre, Service régional de l'archéologie, le 1<sup>er</sup> septembre 2021 ;

**ARRETE**

**Article 1er :**

Monsieur Pierre PAPIN, demeurant Conseil départemental d'Indre-et-Loire – Service de l'archéologie préventive – Hôtel du département – 37927 TOURS Cedex, est autorisé à procéder à une **prospection au détecteur de métaux**, à partir du présent arrêté et jusqu'à la fin de son opération de diagnostic (arrêté n° 21/0206 en date du 31 mars 2021 modifié par l'arrêté de prescription n° 21/0346 du 18 juin 2021) et sous sa responsabilité scientifique.

Région : Centre-Val-de-Loire

Département : Indre-et-Loire

1 / 6

Direction régionale des affaires culturelles – 6 rue de la Manufacture 45043 ORLÉANS Cedex  
Téléphone : 02 38 78 85 00 – Télécopie : 02 38 78 85 99  
<http://www.culturecommunication.gouv.fr/Regions/Drac-Centre>

Commune : SORIGNY  
Localisation : Zone d'activité d'Isoparc  
Cadastre : section YD, parcelles 54, 55p, 101p  
Code national d'opération Patriarche : OA 0612894  
Emprise : 258.550 m<sup>2</sup>

**Article 2** : prescriptions générales.

Les recherches sont effectuées sous la surveillance du conservateur régional de l'archéologie territorialement compétent, qui pourra imposer toutes prescriptions qu'il jugera utiles pour assurer le bon déroulement scientifique de l'opération.

L'opération devra être réalisée conformément aux normes de sécurité en vigueur, définies en particulier par le décret n°65-48 du 8 janvier 1965.

Le responsable scientifique de l'opération tiendra régulièrement informé le conservateur régional de l'archéologie de ses travaux et découvertes. Il lui signalera immédiatement toute découverte importante de caractère mobilier ou immobilier et les mesures nécessaires à la conservation provisoire de ces vestiges devront être prises en accord avec lui.

**Article 3** : destination du matériel archéologique découvert.

Le statut juridique et le lieu de dépôt du matériel archéologique découvert au cours de l'opération seront réglés conformément aux dispositions légales et réglementaires en vigueur.

**Article 4** : Prescriptions particulières à l'opération :

L'ensemble des documents relatifs à l'opération (notes, photographies, relevés, etc.) sera remis au conservateur régional de l'archéologie avec la documentation scientifique et les résultats de cette prospection seront intégrés au rapport de diagnostic archéologique prescrit par arrêté préfectoral n° 21/0206 en date du 31 mars 2021 modifié par l'arrêté de prescription n° 21/0346 du 18 juin 2021 et sous sa responsabilité scientifique.

**Article 5** : Le directeur régional des affaires culturelles est chargé de l'exécution du présent arrêté qui sera notifié à Monsieur Pierre PAPIN.

Fait à Orléans, le 1<sup>er</sup> septembre 2021

Pour la Préfète de la région Centre-Val de Loire,  
et par subdélégation,  
Le Conservateur régional de l'archéologie

  
Stéphane REVILLON

**Destinataire :**

Monsieur Pierre PAPIN

**Copies :**

Conseil départemental d'Indre-et-Loire - SADIL

Préfecture d'Indre-et-Loire

Gendarmerie d'Indre-et-Loire





# III.

DESCRIPTION DE L'OPÉRATION  
ET DES RÉSULTATS



# 1. PRÉSENTATION

## 1.1. CIRCONSTANCE DE L'OPÉRATION

Ce rapport présente les résultats d'un diagnostic archéologique réalisé à Sorigny (Indre-et-Loire), dans le cadre d'un projet d'extension de la Zone d'Activité « Isoparc », à l'initiative de la communauté de commune « Touraine Vallée de l'Indre » (Fig. 1, 2 et 3). Il répondait à la prescription n°21/0206, du 31

mars 2021, modifié par l'arrêté 21/0346 du 18 juin 2021. L'opération a été réalisée par le Service de l'Archéologie du Département d'Indre-et-Loire. Le projet concerne une superficie de 258 550 m<sup>2</sup>, actuellement occupée pour l'essentiel de terres agricoles (champs cultivés et pâturages).

## 1.2. OBJECTIFS SCIENTIFIQUES ET MÉTHODE D'INTERVENTION

L'objectif scientifique de l'intervention était classiquement de mettre en évidence et de caractériser la nature, l'étendue et le degré de conservation des vestiges archéologiques éventuellement présents sur la surface concernée par l'aménagement.

Les tranchées de diagnostic ont été effectuées avec deux pelles mécaniques mobilisées quasiment en permanence, de 27 tonnes munies d'un godet lisse de 2 m de large. Le terrain a été exploré à l'aide de 81 tranchées continues, globalement espacées de 19 m. Des extensions ont été pratiquées en tant que de besoin en fonction de la nature et de la densité de vestiges. Environ 60 jours de pelle ont été utilisés, rebouchage inclus, celui-ci ayant été effectué pour partie au fur et à mesure de l'avancée du traitement des tranchées, et achevé immédiatement après l'intervention de terrain.

Les relevés des coupes ont été réalisés au 1/20. L'enregistrement des données (unités stratigraphiques, faits archéologiques, inventaires des photographies, des dessins et du mobilier) a été reporté dans la base de données du Sadil (annexes 7 à 11).

Les relevés topographiques de localisation des tranchées, sondages, des isolats et des faits archéologiques ont été réalisés par Nicolas Marchau (Conseil Départemental de l'Indre-et-Loire, pôle Maîtrise d'œuvre et ouvrages d'art). huit journées de terrain ont été nécessaire à l'ensemble de ces relevés. Les données spatiales ont ensuite été géoréférencées dans le Système d'Information Géographique du Conseil Départemental d'Indre-et-Loire.

## 1.3. DÉROULEMENT ET MOYEN ALLOUÉS À L'OPÉRATION

Deux jours de préparation ont été utilisés pour cette opération pendant lesquels, outre les tâches administratives, un premier état des lieux sur la carte archéologique locale et le contexte de l'intervention a été effectué.

La phase opérationnelle de terrain a eu lieu du 18 octobre au 23 novembre 2021, soit un total 24 jours ouvrés (3 jours non travaillés en raison de jours fériés/ponts). En plus du responsable d'opération, quatre techniciens du SADIL ont été

mobilisés en permanence sur le terrain. L'équipe a toutefois été renforcée de plusieurs autres agents en raison de découvertes importantes. Elle a ainsi pu être ponctuellement portée à 7 archéologues. Au total 118 jours/hommes ont été utilisés pour la phase de terrain, ce qui a largement dépassé les moyens prévus au PSI (80 j/h).

Les travaux de post-fouille ont débuté immédiatement après le terrain, à partir du 24 novembre 2021. Un contingent de 65 jours/hommes de techniciens a été employé pour réaliser le lavage et le conditionnement du mobilier, la saisie informatique dans la base de données et la DAO. Cinquante jours ont été nécessaires au responsable d'opération pour réaliser le reste des travaux de post-fouille : SIG, montage des planches, rédaction du rapport et PAO (soit 115 jours/hommes en tout). Cette phase d'étude, réalisée de manière discontinue, s'est achevée le 28 avril 2022.

De plus, sept intervenants spécialistes ont été mobilisés pour des études et expertises de mobilier archéologique :

- Laureline Ciçon (contrat Sadil de 5 jours) a réalisé l'étude de la céramique de La Tène et de l'époque romaine. Une expertise de Francesca Di Napoli (Inrap) a été accordée gracieusement par l'Inrap au Sadil pour expertiser les quelques restes céramiques de la Protohistoire ancienne, et préciser les datations des tessons de la Protohistoire récente. L'étude complète est reportée en [annexe 1](#).
- Philippe Husi (LAT/CITERES, CNRS/Université de Tours), a assuré une expertise chronologique de la céramique Médiévale et Moderne (0,5 jour). Les informations sont reportées en inventaire [annexe 9.1](#).

- Laure-Anne Millet Richard (Musée du Grand Pressigny/CD37), a été sollicitée pour expertiser les rares éléments de silex taillés (0,5 jour). Les informations sont reportées en inventaire [annexe 9.6](#).

- Thomas Boucher (Indépendant), a assuré les prospections au détecteur de métaux (2 jours sur le terrain)<sup>1</sup>, ainsi que l'étude du petit mobilier en métal (5 jours). L'étude complète est reportée en [annexe 2](#).

- Murielle Troubady (Indépendante) a réalisé l'identification et l'étude des monnaies (2 jours). L'étude complète est reportée en [annexe 3](#).

- Florian Sarreste (Eveha) a effectué une étude de restes de scories et de forge Antique (2 jours). L'étude complète est reportée en [annexe 4](#).

- Enfin Matthieu Gaultier (Sadil) a réalisé une étude des restes osseux des trois sépultures prélevées lors du diagnostic (1,5 jours), dont la fouille avait été assurée par Mathieu Loeillet, technicien sur le terrain et anthropologue de formation. Les observations seront reportées dans le corps du rapport, les fiches de sépultures en [annexe 5](#).

Deux types de mobilier n'ont pas été étudiés. Il s'agit de la faune et du verre, qui ont simplement été inventoriés (nombre et poids des restes, cf. inventaire [annexes 9.3 et 9.6](#)).

Enfin, cinq datations <sup>14</sup>C ont été confiées au laboratoire CIRAM (Bordeaux), quatre portant sur des sépultures, et une sur un charbon de bois recueilli dans une structure (cf. [annexe 6](#)).

<sup>1</sup> Autorisée dans le cadre du diagnostic par l'arrêté n°21/0583 du 1<sup>er</sup> septembre 2021, notamment en raison de présence d'une *villa* romaine, visible sur une photographie satellite (cf. *infra* chap. 1.6.2.4).

## 1.4. CONTRAINTES DE L'INTERVENTION

### 1.4.1. Emprise accessible et taux d'ouverture

Les conditions climatiques ont été dans l'ensemble favorables en dépit d'une intervention se déroulant en plein automne. Seuls quelques jours

de précipitations ont provoqué un ennoisement très partiel de certaines tranchées, toutefois dans des endroits ne présentant pas de concentration

particulière de structures. C'est le cas notamment en bas de la très légère pente le long de la RD84, au sud-est de l'emprise.

En revanche, le terrain comportait quelques contraintes ayant rendu une partie de l'emprise prescrite inaccessible, voire déjà détruite (fig. 4).

En premier lieu, les parcelles à diagnostiquer présentaient ponctuellement une végétation de haies denses ou d'arbres remarquables. Une estimation de la surface inaccessible en raison de cette végétation atteint environ 22 740 m<sup>2</sup>.

En deuxième lieu, il s'est avéré qu'une partie du terrain était déjà aménagé. Ainsi au sud-est de l'emprise, le long de la RD84, une piste cyclable goudronnée a été récemment créée. Par ailleurs, au sud de l'emprise, un aménagement dans la ZAC Isoparc d'une centrale photovoltaïque (qui avait d'ailleurs engendré un diagnostic : Fouillet 2018),

#### 1.4.1. Les problèmes de piquetage

Un dernier point mérite d'être expliqué ici, concernant des problèmes de piquetage de l'emprise à diagnostiquer. Celui-ci devait être, selon la convention signée entre le Sadil et la Communauté de Communes Touraine Val de l'Indre, assuré par l'aménageur en amont de l'opération. Or, deux zones se sont avérées mal piquetées.

La première se situe au niveau des tranchées 1 et 2, à l'ouest de l'emprise. Après le traitement des premiers levés topographiques, il s'est avéré que ces deux premières tranchées ont débordé hors de l'emprise définie dans la prescription d'une vingtaine de mètres. Cette zone n'avait pas été piquetée par l'aménageur. Nous nous sommes fiés sur le terrain à la présence d'une clôture délimitant un rectangle soustrait à la parcelle YD233, actuellement occupé par le parking du parc d'attraction « *family park* » tout proche, pensant que cette clôture correspondait de fait aux limites de l'emprise. Il conviendrait toutefois de vérifier si ce rectangle qui a été soustrait à la parcelle n'a pas été mal défini dans la demande anticipée de diagnostic déposé par la CCTVI. Il paraît en effet étrange qu'un petit carré de 20m de côté de champs, situé entre l'actuel parking et la bordure de l'emprise telle qu'elle apparaît dans la prescription, ne soit pas soumis à l'aménagement global de la

s'est avéré avoir largement empiété dans la zone soumise à la présente prescription (cf. également fig. 3). Ces deux aménagements cumulaient ainsi quelques 16 735 m<sup>2</sup> rendus inaccessibles aux tranchées.

La troisième contrainte résidait dans la présence au nord de l'emprise d'une ligne électrique aérienne, empêchant la réalisation de tranchées sur une surface d'environ 1 570 m<sup>2</sup>.

Ces surfaces inaccessibles ou détruites cumulaient ainsi 41 040 m<sup>2</sup>. Restait une surface de 217 510 m<sup>2</sup> sur les 258 550 m<sup>2</sup> prescrits, dans laquelle l'implantation de tranchées restait possible. Au final, les 81 tranchées réalisées avec leurs extensions ont totalisé 24 450 m<sup>2</sup> d'ouvertures. Elles représentent ainsi 9,4 % de la surface du projet, mais 11,24 % de la surface accessible.

zone. Ce problème est d'autant plus épineux qu'il s'avère être situé au sein d'un important site gallo-romain que nous détaillerons plus loin.

Le second problème se situe au sud de l'emprise. Précisons d'abord que, globalement, l'aspect morcelé du présent diagnostic, et notamment la présence d'une bande hors prescription d'une trentaine de mètres de large serpentant à travers notre emprise du nord au sud, est due au fait que cette bande a déjà été diagnostiquée en 2009 (De Mauraige 2009). Cette dernière opération a été générée, déjà à l'époque, par un projet d'extension de la ZAC Isoparc sur des parcelles situées au nord de l'emprise. Dans ce cadre, un barreau de route raccordant cette zone au reste de la ZAC au sud avait donc été sondé par une tranchée continue. Depuis 2009, cette route et la zone diagnostiquée au nord, n'ont finalement pas été aménagées, et rien ne permettait dans le paysage actuel de localiser cette bande. C'est la raison pour laquelle le Sadil avait demandé à ce qu'elle soit bien matérialisée par un piquetage en amont de l'opération. Ainsi, pour l'implantation des tranchées, nous nous sommes d'abord fiés sur le terrain aux piquets implantés par la CCTVI. Or, après le traitement des levés topographiques au cours de l'opération, ce

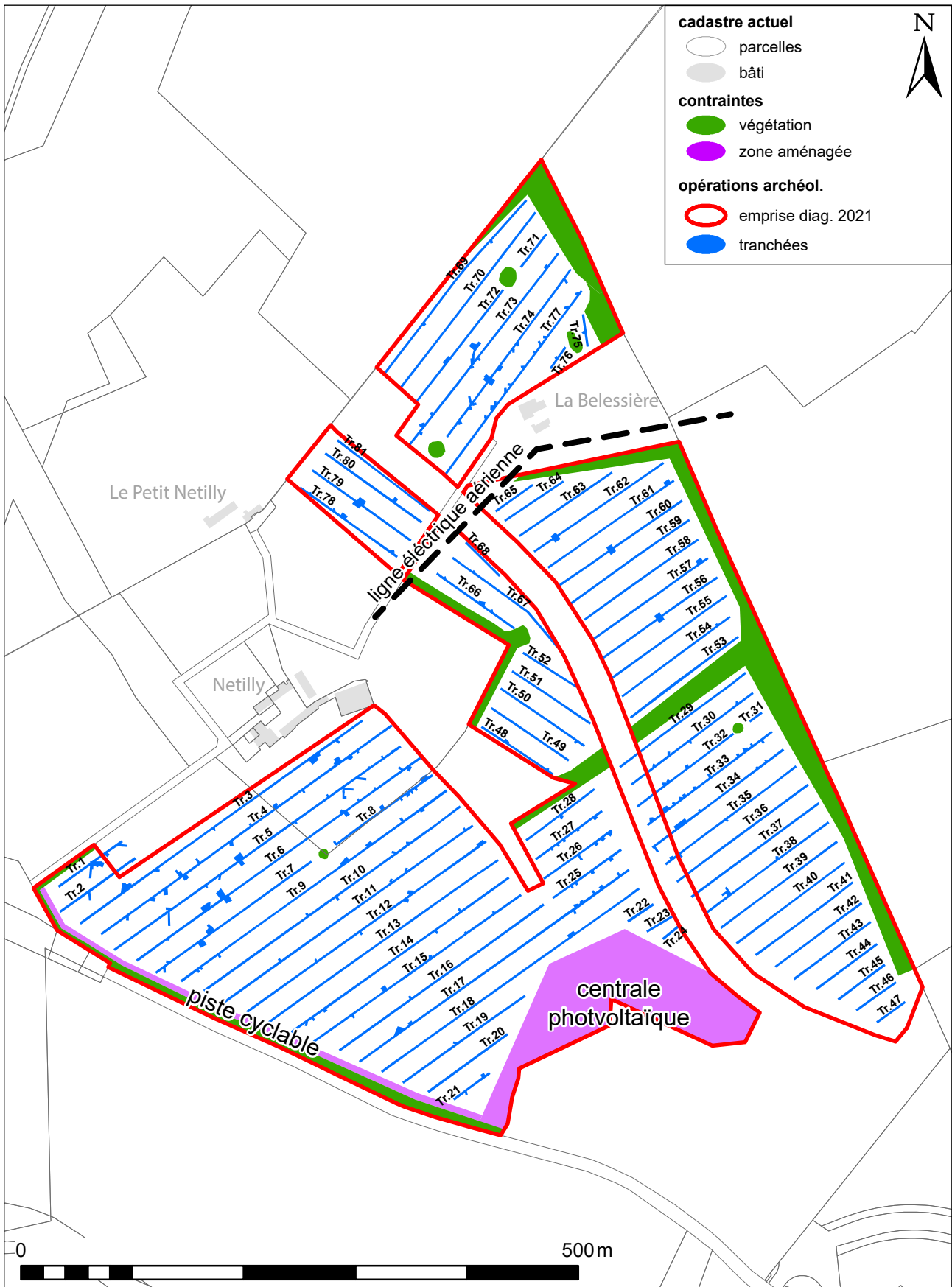


Figure 4 : Plan d'implantation des tranchées et des contraintes de l'intervention

piquetage s'est avéré totalement décalé vers l'ouest d'une vingtaine de mètres par rapport à l'emprise définie dans la prescription. Les tranchées 29 à 38 réalisées au cours de la semaine 2, ont ainsi débordé hors emprise, dans la bande censée avoir été déjà

diagnostiquée. Pour la suite du diagnostic vers le nord, nous avons, avec la cellule topographique du CD37, réinstallés des piquets afin de se réaligner sur l'emprise réelle.

## 1.5. CONTEXTE GÉOGRAPHIQUE ET GÉOLOGIQUE

### 1.5.1. Contexte géographique et topographique

L'emprise de la présente opération se situe au nord-ouest du territoire communal de Sorigny, en limite avec celui de la commune de Monts (**fig. 1 et 2**). Nous nous trouvons ici à une quinzaine de kilomètres au sud de la ville de Tours, sur une zone de plateau dominant la rive droite de la vallée de l'Indre, dont les méandres s'écoulent à environ trois kilomètres au nord (**fig. 5**).

Topographiquement la zone soumise au diagnostic se signale par un relief extrêmement plat

(**fig. 6**). En raison de la présence de l'embouchure d'un petit vallon s'écoulant vers l'Indre situé à l'ouest de notre emprise, le terrain diagnostiqué accuse une très légère pente globalement est-ouest. L'altitude du terrain varie ainsi peu, entre les zones les plus hautes au sud-est de l'emprise vers 97,10 m NGF, tandis que les altitudes les plus basses à l'ouest autour de 92,70 m NGF, soit un dénivelé de 4,40 m en quelques 750 m de distance (**fig. 7**).

### 1.5.1. Contexte géologique

Du point de vue géologique, la zone diagnostiquée se trouve au cœur de formations de calcaire lacustre de Touraine couronnant le plateau (g1, formation secondaire du Ludien supérieur/Sannoisien, **fig. 8**). Au regard de la monotonie du paysage et dans la mesure où le présent diagnostic était encadré de plusieurs opérations de l'Inrap ayant bénéficié d'expertises géomorphologiques par Philippe Gardère, il ne nous est pas apparu nécessaire de faire appel à un géomorphologue dans le cadre de la présente opération. Aussi les paragraphes qui suivent sont en partie issus de nos observations directes sur le terrain, complétées par des informations des précédentes expertises, ayant eu lieu notamment immédiatement au nord-ouest et au sud de notre opération (Gardère *in* Bouillon 2012 : 30-31 ; Gardère *in* Fouillet 2018 : 28).

Selon les informations de la carte géologique au 1/50 000, le calcaire lacustre de Touraine est un calcaire de couleur claire, dont les bancs peuvent être séparée par des passées marneuses ou argileuses (Alacaydé, Rasplus 1971). Le substrat

naturel est présent à une très faible profondeur, sous une couche de terre végétale variant de 15 à 30 cm, sous laquelle une interface de limons gris est presque partout présente sur la zone diagnostiquée, variant de quelques centimètres à une quinzaine (US19 sur les logs et relevés, cf. **fig. 9**). Notons que cette dernière est systématiquement percée des structures archéologiques, y compris les plus anciennes.

Dans les faits, l'unique formation indiquée sur la carte géologique ne rend pas compte de la très grande variété des faciès du substrat rencontré (numéroté TN1 à 9 dans nos relevés). Du calcaire lacustre de Touraine, quelques affleurements ont bien été perçus sur le terrain, composés parfois de gros blocs lissés en surface par l'action de l'eau, quelquefois pris dans une matrice argileuse orange à brune (identifié par le numéro TN6, **fig. 10**). A d'autres endroits, il prend l'aspect d'un calcaire dégradé contenant quelquefois des poches argileuses orangées (TN5, **fig. 11**). Dans quelques sondages profonds, celui-ci peut prendre un aspect

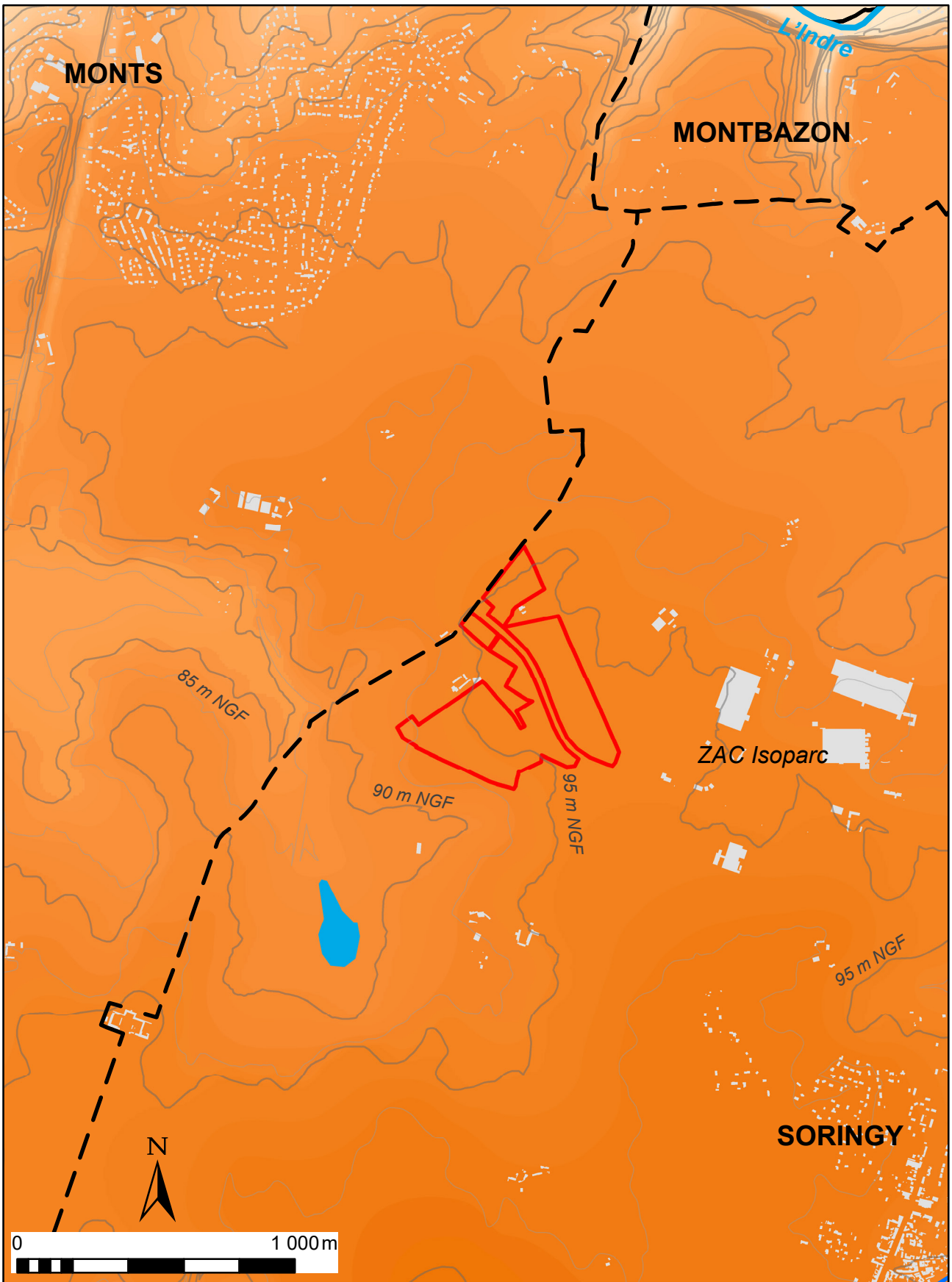


Figure 5 : Topographie de la zone d'intervention



parcelle YD 233, partie sud-ouest, champs cultivé



parcelle YD 233, partie nord-est, en prairie



parcelle YD 54, en prairie

Figure 6 : Quelques vues générales des parcelles diagnostiquées

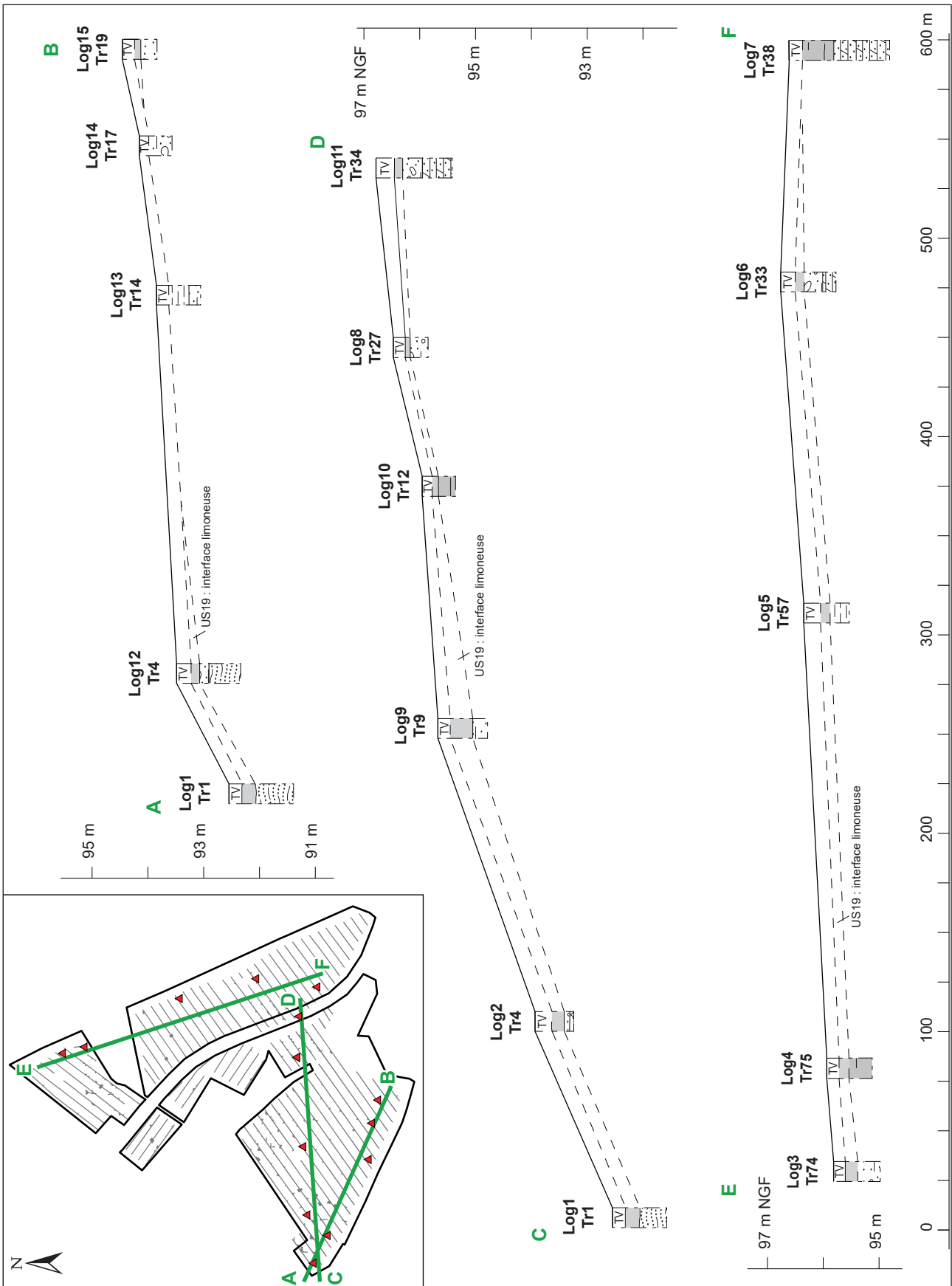


Figure 7 : profils topographiques de la zone d'intervention



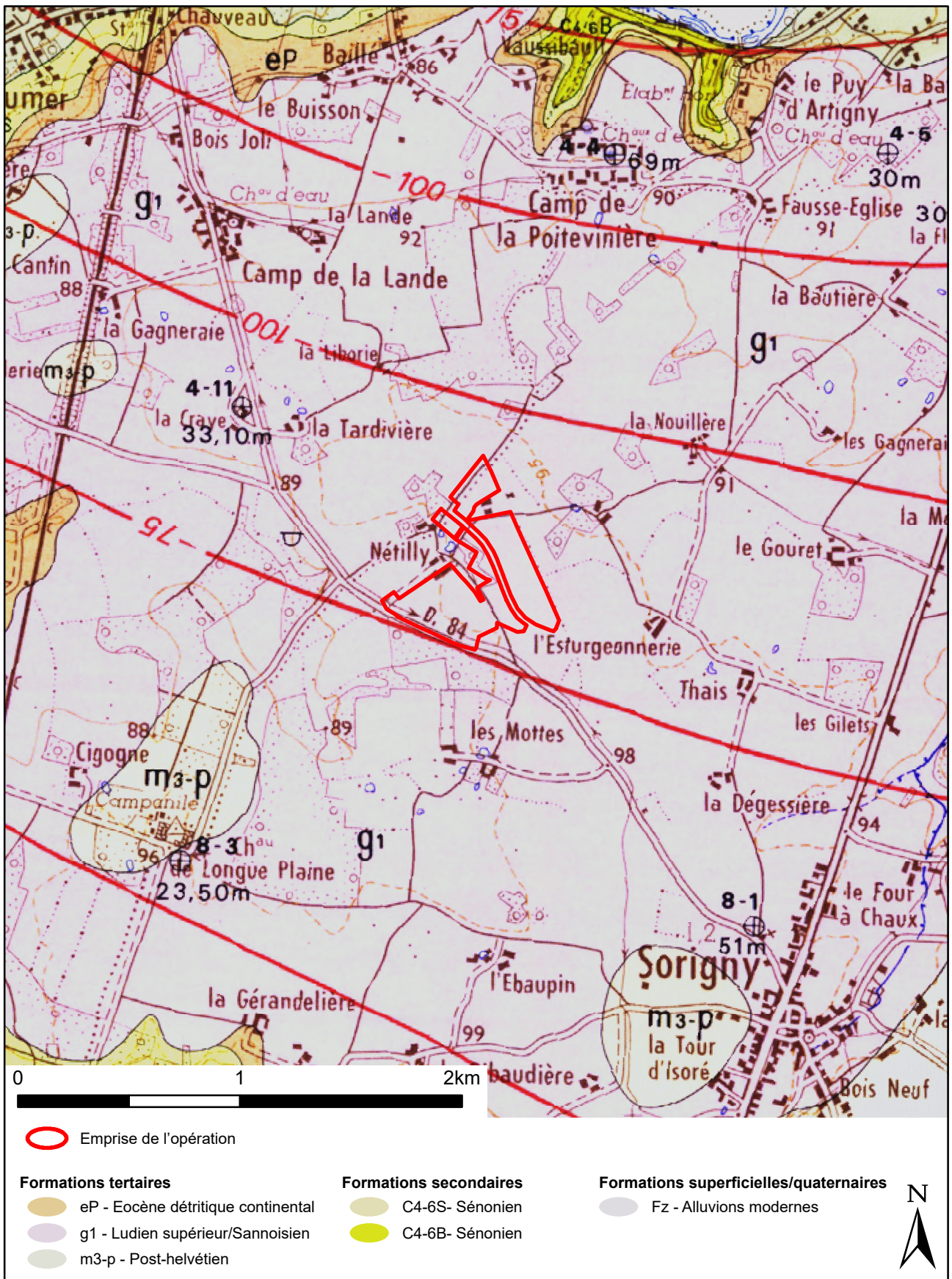


Figure 8 : Carte géologique au 1/50 000

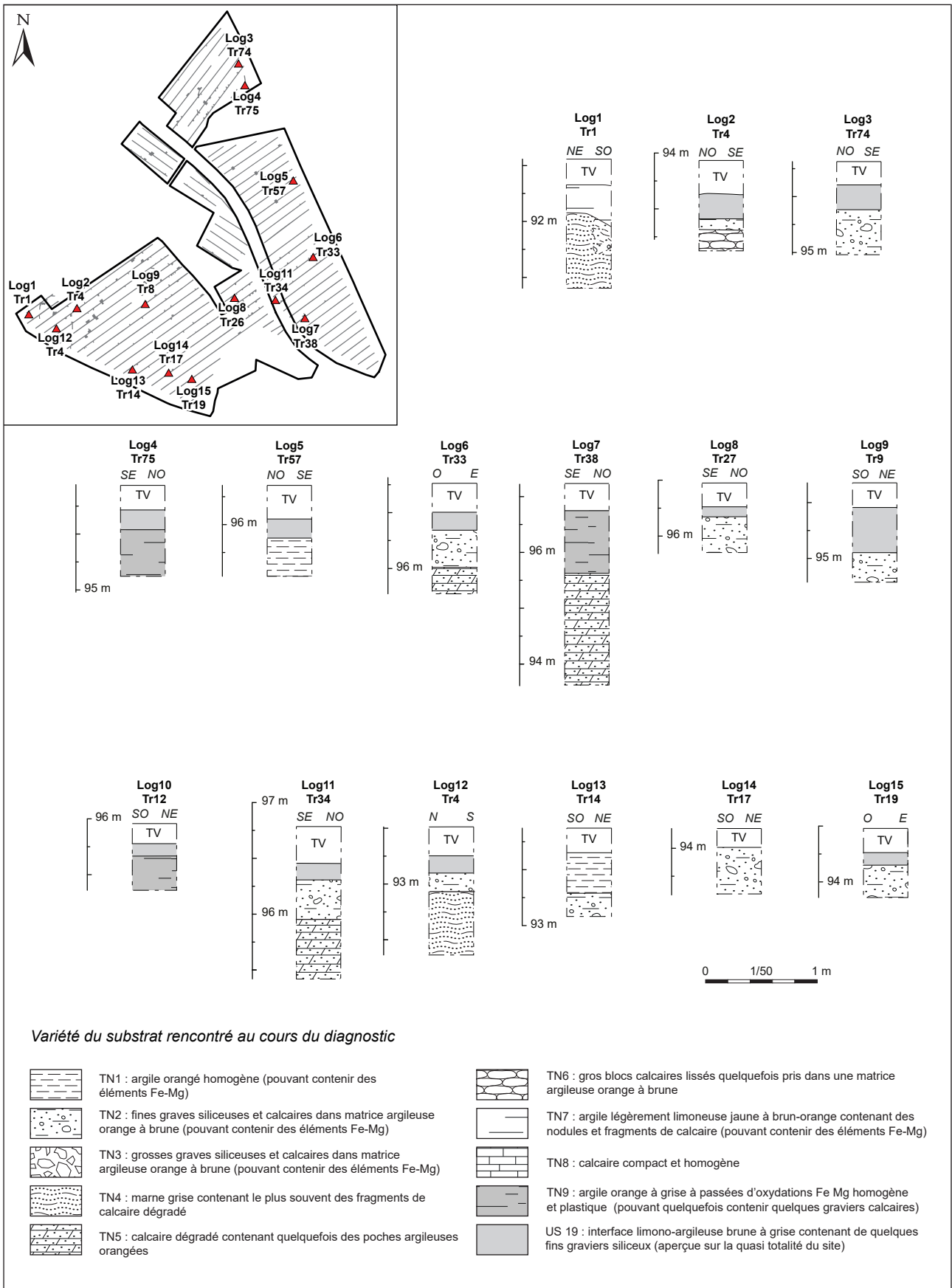


Figure 9 : Logs géologiques relevés au cours du diagnostic



Figure 10 : Photographie du log 2, tranchée 4



Figure 12 : Photographie du log 1, tranchée 1



Figure 11 : Photographie du fossé F379, tranchée 34, log 11



Figure 13 : photographie de la tranchée 14, avec les formations argileuses de décarbonatation du calcaire

plus compact et homogène (TN8). Comme l'indique le livret de la carte géologique mentionné plus haut, des formations marneuses grises ont également été ponctuellement perçues (TN4, [fig. 12](#)).

Cependant, ce calcaire lacustre est le plus souvent surmonté de formations argileuses, issues de la décarbonatation sur place du calcaire sous-jacent. Ces argiles peuvent être d'aspect varié, de teinte

rousse/orangée, assez homogène (TN1, **fig. 13**), pouvant parfois contenir des fractions plus ou moins importante de calcaire dégradé (TN7), à des argiles plus plastiques de couleur grises, contenant de forte proportion d'oxydations ferro-manganiques (TN9). Selon Philippe Gardère, ayant déjà observé le même type de niveaux dans les alentours, cet aspect des argiles de dégradation du calcaire est dû à un faciès de sols hydromorphes, caractéristiques de zones mal drainées, à pente faible.

Enfin, ces formations calcaires et argileuses peuvent être elles-mêmes parfois surmontées ponctuellement de niveaux naturels comportant des fractions siliceuses plus ou moins grossières enrobées dans une argile roussâtre (TN2 et 3). Là

encore selon Philippe Gardère, ces formations sont typiques de l'érosion des formations détritiques du Mio-Pliocène (m3-P), dont des témoins subsistent sur le plateau au sud-ouest et au sud-est de notre opération.

Globalement, ce contexte n'est pas favorable à la conservation d'occupations humaines très anciennes, du fait de la forte érosion du plateau. En témoigne le faible recouvrement du substrat par les niveaux de terre végétale et, comme nous le verrons, une mauvaise conservation des niveaux de circulation, y compris pour les périodes historiques. La grande intensité d'exploitation de ces terres agricoles, la fréquence des labours depuis très longtemps, a entraîné un arasement des structures.

## 1.6. CONTEXTE HISTORIQUE ET ARCHÉOLOGIQUE

### 1.6.1. Historique des interventions à Sorigny/Monts

Les découvertes anciennes à Sorigny sont quasi inexistantes. La commune n'est ainsi pas même référencée dans la carte archéologique de la Gaule (Provost 1988). Avant les années 2000, la seule découverte d'un polissoir néolithique est simplement mentionnée par Gérard Cordier (Cordier 1992).

La commune de Sorigny, et particulièrement la zone située à la frontière avec le territoire de la commune de Monts, a connu de très nombreuses interventions d'archéologie préventive à partir des années 2000 (**fig. 14**). Les premières ont eu lieu dès 2001, immédiatement au sud et au sud-est de notre opération, avec les travaux de l'échangeur de l'autoroute A10. Ceux-ci ont donné lieu à un diagnostic (Rossignol 2001), puis à deux fouilles à la « Longue-Plaine » et à « Netilly » (Champagne 2001, Jesset 2002). Cette dernière sera suivie d'une fouille programmée en 2003, afin de dégager la totalité d'un établissement carolingien alors mis au jour.

En 2002, à l'occasion du projet de l'établissement de la ZAC Isoparc, une vaste étude documentaire est réalisée (Joly, Pinoteau 2002). L'année suivante, le diagnostic de la première tranche nord de la ZAC est conduit (Champagne 2003), puis en 2006,

de la seconde tranche sud (Porcell 2006), ce qui a engendré l'exploration d'une surface de près de 140 ha. Aucune fouille ne suivra ces diagnostics en dépit de nombreuses découvertes. La seule exception réside dans la réalisation d'une étude de bâti des bâtiments de la « ferme du Thais » en 2013 à l'occasion de la réhabilitation des bâtiments en restaurant (Dalayeun 2013). D'autres diagnostics vont avoir lieu lors de l'extension progressive de la ZAC : en 2009 sur près de 19 ha, à proximité du lieudit du « Petit Netily » (De Mauraige 2009), puis en 2014 sur 4 ha au nord de la ZAC (Philippon 2014), enfin en 2018 à l'ouest sur encore près de 5 ha (Fouillet 2018). C'est toujours dans ce contexte d'extension de la ZAC Isoparc que l'opération de diagnostic objet du présent rapport portant sur près de 26 ha, a eu lieu.

En 2011-2012, un autre projet d'ampleur va engendrer la réalisation d'une nouvelle vaste opération de diagnostic : la construction de la Ligne à Grande Vitesse Tours-Bordeaux. Sur les communes de Sorigny et de Monts, celui-ci va avoir lieu en de multiples tranches (Gransard 2011, Pallier 2011, Bigot-Jouanneau 2012, Bouillon 2012, Colonge 2012, Lecuyer 2012, Poitevin 2012, Redais

2012, Roy 2012). Cette phase sera suivie dans le secteur de trois opérations de fouilles, dont deux sont situées non loin à l'ouest de notre diagnostic : à proximité du lieu-dit « Netilly » (Bigot-Jouanneau 2013), du « Petit Netilly » (commune de Monts, Godignon 2017). La dernière a eu lieu plus au sud, à « Montisson » (Poitevin 2014).

Ces opérations de la LGV ont été récemment complétées par un autre grand projet bordant strictement la ligne ferroviaire : l'élargissement de l'A10 en 2x3 voies. Là encore, plusieurs tranches de diagnostic ont été réalisées, n'ayant toutefois pas entraîné d'opération de fouilles par la suite (Fouillet 2019, Jouanneau-Bigot 2019, Landreau 2019).

Pour finir ce tour d'horizon des opérations préventives récentes ayant eu lieu dans le secteur, on signalera plusieurs interventions pour des

projets de lotissements autour du village de Sorigny. Le premier diagnostic a eu lieu en 2005, à l'est du bourg (« La Bougerie », De Belvata-Belazy 2005). Un deuxième diagnostic effectué en 2013 à l'est a entraîné une opération de fouille réalisée en 2014 (« La pièce des Viviers » : Djemmali 2013, Sarreste 2017). Enfin, le troisième diagnostic a eu lieu en 2020 au nord (« Le Four-à-Chaux », Gransard 2020). Une prescription de fouille (non encore réalisée) a été émise à la suite de ce dernier.

Au final, l'ensemble de ces opérations qui ont cumulé plusieurs centaines d'hectares de diagnostics et sept opérations de fouilles, ont donc généré un grand nombre de découvertes. L'emprise du diagnostic de 2021 est à ce titre particulièrement « encadrée » de nombre de ces opérations.

### 1.6.2. Contexte archéologique et historique de l'opération de 2021

Les informations qui suivent sont avant tout centrées sur l'ouest de la commune de Sorigny, complétées par quelques données sur l'est de la commune de Monts limitrophe. La carte proposée (fig. 14), en raison de l'abondance des sites et indices de sites du secteur, est volontairement resserrée sur cette zone et n'intègre donc pas la totalité des deux territoires communaux. La seconde carte propose une cartographie plus précise du très riche environnement immédiat du diagnostic (fig. 15).

#### 1.6.2.1. La préhistoire

Les indices de sites préhistoriques dans le secteur sont relativement peu nombreux. Ainsi que cela a été évoqué dans la partie consacrée au contexte géologique, la conservation de niveaux très anciens n'est en effet pas favorisée par l'érosion du plateau.

Quelques indices d'occupations du Paléolithique ont toutefois été identifiés sur le territoire de la commune de Sorigny, représentés essentiellement par des découvertes d'artefacts. La plus importante se compose d'une série de 132 silex taillés attribués au Paléolithique Supérieur (plus particulièrement au Belloisien) découverts, non loin de notre diagnostic au lieu-dit « Netilly », soit dans la couche de limons recouvrant le substrat ou bien en position secondaire dans des structures en

creux postérieures (37.250.063 AP, Gransard 2011 ; Jouanneau-Bigot 2013 : 50-58). Un autre silex taillé, une lamelle de plein débitage à talon lisse attribuée à la fin du Paléolithique supérieur, a également été mis au jour lors de l'une des phases de diagnostic de la LGV, à quelques dizaines de mètres au sud de notre diagnostic, dans la couche limoneuse située à l'interface avec la terre végétale (37.250.074 AP : Lecuyer 2012 : 31-32). Toujours dans ce même type de contexte, diverses pièces lithiques appartenant au Paléolithique Moyen, à l'épipaléolithique et au Mésolithique ont également été découvertes lors du récent diagnostic réalisé au lieu-dit « Les Fours-à-Chaux », au nord du bourg de Sorigny (0612426 OP Gransard 2020 : 41).

Surcemême diagnostic, deux fosses du Néolithique ancien/moyen et une fosse du Néolithique final ont en outre été identifiées (Gransard 2020 : 41-45). Un peu plus au nord, lors des premiers diagnostics de la ZAC Isoparc, une petite nécropole datée du Néolithique Moyen (culture Chambon), constituée de deux tombes à inhumations multiples et une individuelle, a été fouillée (37.250.020 AP, Porcell 2006 : 26-32). Plus à l'ouest, quelques centaines de mètres au sud de notre emprise, dans le cadre du diagnostic de la LGV, des fosses éparses et une probable concentration de trous de poteaux ont été

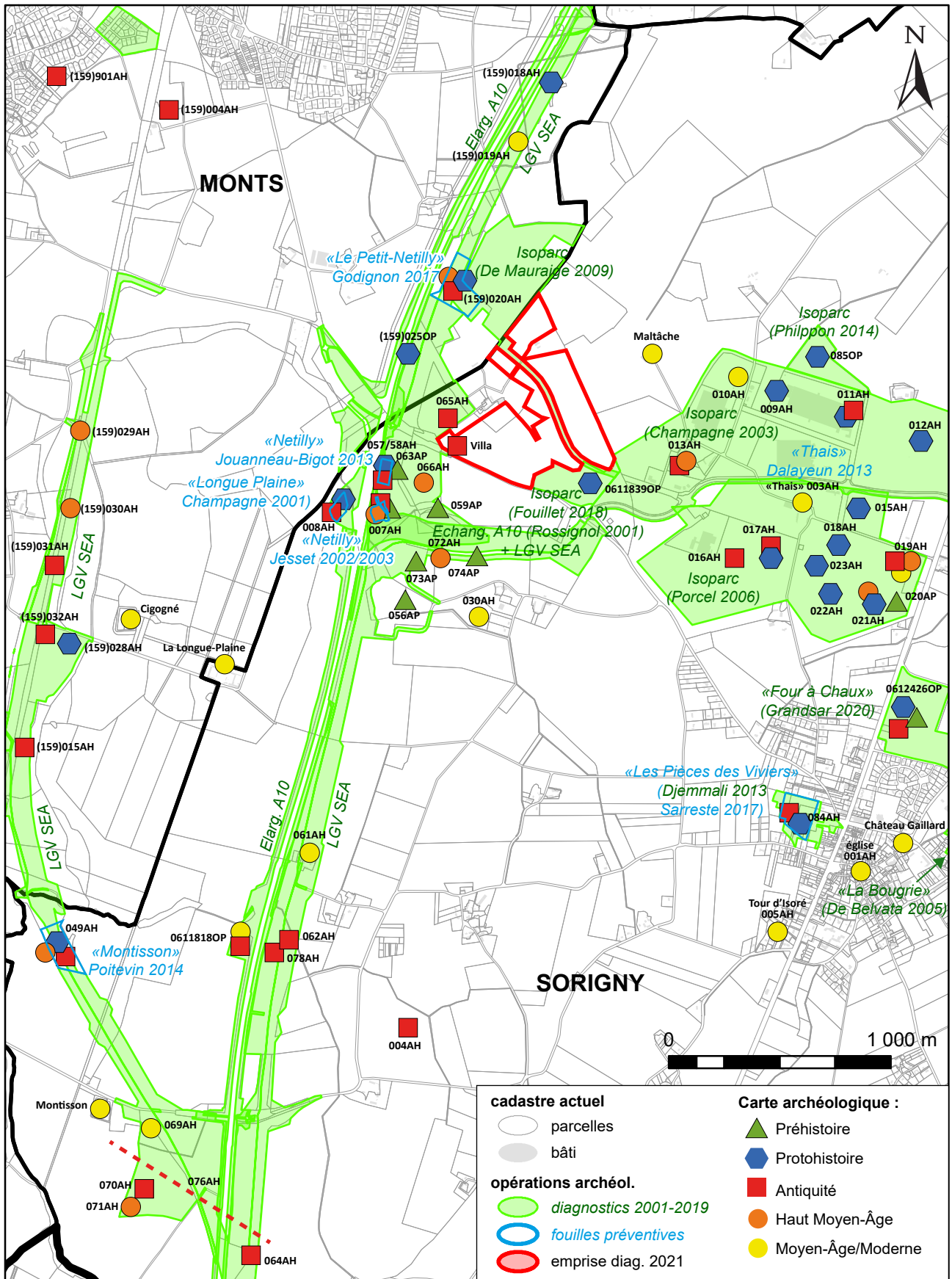


Figure 14 : Carte archéologique de la zone de Sorigny et Monts

attribuées au Néolithique Moyen (37.250.073 AP Lecuyer 2012 : 34-49). Toujours pour le Néolithique Moyen, on peut également signaler la mise au jour d'une fosse contenant un vase complet lors de la fouille de sauvetage du site médiéval de « Netilly » (37.250.007 AH, Jesset 2002). Non loin à l'est, une fosse cette fois-ci datable du Néolithique final par la céramique, ainsi que quelques tessons hors contexte, ont été mis au jour lors de la première phase de diagnostic de la LGV (37.250.059 AP, Gransard 2011 : 101-102). Enfin, on signalera la découverte d'un polissoir dormant en poudingue de 400 à 500 kg, donné à la Société Archéologique de Touraine dans les années 1990, qui proviendrait de ce même secteur (37.250.056 AP, Cordier 1992).

#### 1.6.2.2. La Protohistoire

En ce qui concerne la Protohistoire ancienne on note une faible représentation. Le seul site actuellement connu a été révélé par le récent diagnostic au « Four-à-Chaux » en 2020, où plusieurs ensembles de fosses et de trous de poteaux attribuables à l'Âge du Bronze Final et au Premier Âge du Fer, associé à une quantité significative de mobilier, révèle clairement la présence d'un habitat (Gransard 2020 : 65-80). A noter également pour l'Âge du Bronze Moyen, la découverte isolée d'une hache à talon en alliage cuivreux lors du diagnostic au nord de la ZAC Isoparc de 2014 (37.250.085 OP, Philippon 2014 : 42-45).

En outre, on signalera quelques traces d'occupations mal caractérisées datées de la Protohistoire au sens large, en l'absence d'indice de datation plus précis. Ainsi, sur les diagnostics de la ZAC Isoparc, les occupations 37.250.018 AH, 37.250.019 AH et 37.250.022 AH, ont-elles livrées des nuages des trous de poteaux (sans bâtiment restituable) et quelques fosses ayant livré du mobilier céramique de la Protohistoire indéterminée (Porcell 2006 : 17-25 et 36-37). De même sur le site du « Petit Netilly » à Monts, quelques structures en creux datées de la « Protohistoire ancienne » ont été identifiées (37.159.020. AH, Godignon 2017 : 97-104).

Pour la Protohistoire récente, on trouve dans l'environnement de notre diagnostic, à 500 m au sud-ouest de notre emprise, des traces d'un

probable habitat daté de La Tène Ancienne ou Moyenne, représenté par une « nébuleuse » de trous de poteaux (sans plan de bâtiments) et un grenier, identifiée lors de la fouille de sauvetage de la « Longue-Plaine » (37.250.008 AH, Champagne 2001). Plus au sud-ouest encore, sur la commune de Monts, à environ deux kilomètres de l'emprise du présent diagnostic, un site d'habitat (fosses trous de poteaux), vraisemblablement entouré d'un enclos daté de La Tène Moyenne, a été mis au jour lors du diagnostic de la LGV, mais qui n'a pas donné lieu à une fouille préventive (37.159.028 AH, Roy 2012 : 50-51).

La période de La Tène finale est très bien représentée dans la carte archéologique du secteur. Les opérations récentes ont en effet occasionné la découverte de cinq établissements ruraux à enclos fossoyé (trois clairement avérés et deux probables). Deux de ces fermes gauloises sont localisées directement dans l'environnement de notre diagnostic. L'une se trouve à 150 m au nord-ouest. Il s'agit du site du « Petit-Netilly », dont la partie orientale de l'enclos avait été identifiée lors du diagnostic de la ZAC Isoparc de 2009 (37.152.020 AH, De Mauriage 2009). En 2011, la suite de ce site vers l'ouest a été diagnostiquée (Gransard 2011 : 67-79), puis a fait l'objet d'une fouille préventive à l'occasion des opérations de la LGV (Godignon 2017). Avec un enclos de 1,2 ha et des fossés de 1,90 à 2,50 m de profondeur, il s'agit donc ici d'un établissement relativement important qui s'installe au cours de la Tène D2b. L'autre se trouve à moins de 400 m au sud-ouest de la première, où les diagnostics de la LGV ont permis de détecter la présence d'un très probable angle d'enclos, dont les fossés atteignent 2,10 m de large et 1,70 m de profondeur (37.250.025 OP, Bouillon 2012 : 82-85)<sup>2</sup>. Le mobilier de ces fossés renvoie à La Tène D1 (130-80 av. J.-C.). A noter qu'une quantité significative de mobilier de cette même période, piégé dans des colluvionnements a été recueillis un peu plus au sud (Bouillon 2012 : 85-86). Ces deux derniers sites pourraient donc se succéder dans le temps, et être

<sup>2</sup> La suite de cet établissement n'a pas été vu lors du diagnostic de l'élargissement de l'A10 en 2019 (Landreau 2019). Cette portion était en effet malheureusement totalement inaccessible aux tranchées.

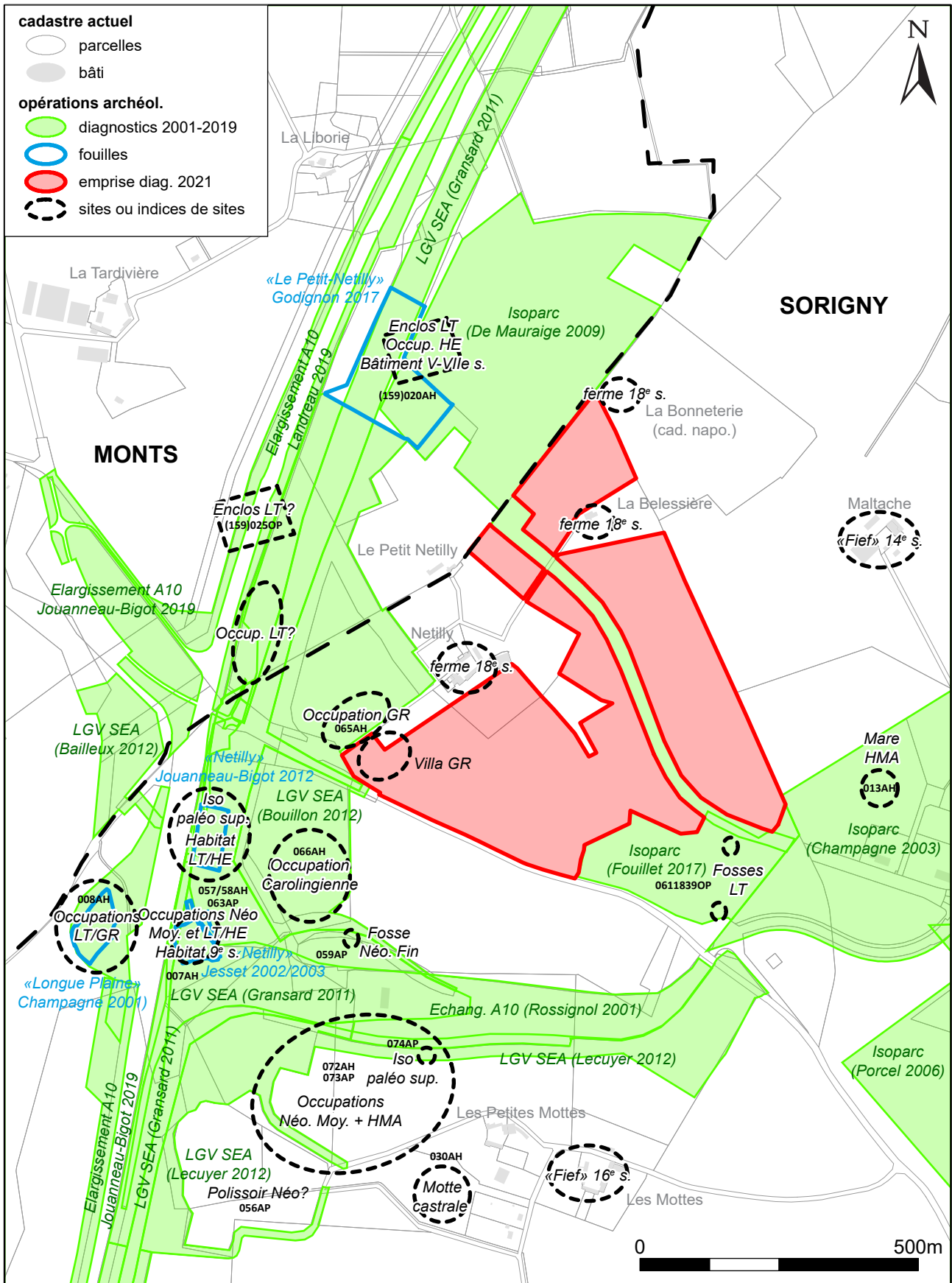


Figure 15 : Plan des opérations et sites archéologiques mis au jour dans l'environnement proche de la zone diagnostiquée



le fruit du déplacement d'un établissement rural au cours de La Tène Finale.

Le troisième établissement de ce type à avoir été récemment découvert se trouve à « Montisson », à près de 3km au sud-ouest du présent diagnostic (37.250.049 AH). Là encore dans le cadre des travaux de la LGV, celui-ci a été repéré lors d'une phase de diagnostic en 2012, puis a fait l'objet d'une fouille préventive (Poitevin 2017 : 82-192). Il se structure autour d'un enclos de 6300 m<sup>2</sup> de surface interne, ayant livré de nombreux plans de bâtiment d'habitation et d'exploitation, installés vers 80/60 av. J-C.

Le quatrième site de même nature se situe 2,5 km au sud-est de notre diagnostic, au lieu-dit « La Pièce des Viviers » (37.250.084 AH). Il a été reconnu lors d'un diagnostic en 2013 (Djemali 2013) et quasi-intégralement fouillé en 2016 (Sarreste 2017). Sur des traces d'occupations rurales (habitat ouvert) remontant peut-être à la Tène Moyenne, deux états d'un enclos fossoyé ont été mis en évidence. Le premier état implanté lors de La Tène D1b de 4 330 m<sup>2</sup> de surface, laisse rapidement place lors de La Tène D2 à un second plus grand, de 5 470 m<sup>2</sup>. Au sein de ces enclos de nombreux bâtiments ont été mis au jour, permettant de parfaitement documenter la structuration interne de ces enclos.

Enfin, un dernier très probable enclos gaulois, ayant livré un abondant mobilier de La Tène D2/ Augustéen a été mis au jour lors du diagnostic au « Four-à-Chaux » (0612426OP ; Gransard 2020 p. 82-86). Sans autre structure, ce fossé pourrait toutefois témoigner de la présence d'une ferme.

Par ailleurs, les diverses opérations préventives menées dans le secteur ont mis en évidence de très nombreuses traces d'occupations rurales à vocation agropastorale ouvertes, également datables de La Tène finale, plus ou moins bien caractérisées.

La plus importantes se trouve à moins de 150 m à l'ouest de notre emprise et a fait l'objet d'une fouille lors des travaux de la LGV (37.250.057 AH, Bigot-Jouanneau 2013). Elle se caractérise par la présence d'un ensemble d'importants bâtiments sur poteaux, témoignant sans doute d'un habitat ouvert implanté à la toute fin de La Tène finale (vers 30/40 avant J.-C.), qui se structure au sein d'un parcellaire.

Les diagnostics de la ZAC Isoparc ont par ailleurs occasionné la découverte de quelques éléments épars de La Tène Finale. Au nord de la ZAC (Champagne 2003), on signalera : un ensemble de trous de poteaux, dont un grenier, et des fosses dépotoirs (37.250.009 AH) ; une « concentration de mobilier » (37.250.011 AH) ; et une fosse isolée (37.250.012 AH). Au sud de la ZAC (Porcell 2006), a également été découverte toute une série de structures d'occupations mal caractérisées de la même période : des « nuages » de trous de poteaux (37.250.015 AH et 37.250.023 AH) ; quelques fosses éparses (37.250.021 AH) ; et une fosse isolée, dans un petit site qui sera surtout occupé à la période romaine (37.250.017 AH). Des trous de poteaux ont également été mis au jour lors du récent diagnostic de 2018, immédiatement au sud de notre emprise (0611839 OP : Fouillet 2018). Au nord de notre opération, sur la commune de Monts, un site composé de six trous de poteaux d'un probable bâtiment et une fosse, toujours datable de La Tène Finale, a été reconnu (37.159.018 AH, Gransard 2011 : 57-62). Enfin, toujours sur la commune de Monts, un angle d'un fossé (dont la fonction d'enclos reste douteuse avec ses 20 cm de profondeur), peut-être associé à quelques fosses, a été mis au jour aux environs de « Cigogné » (37.028.028 HA, Roy 2012 : 50).

L'ensemble de ces découvertes témoigne donc d'un territoire occupé de manière dense au cours de l'époque gauloise. Autour de quelques grands établissements bien structurés de fermes à enclos, se développe tout un ensemble d'occupations à vocations agro-pastorales témoignant sans nul doute d'une exploitation intensive du plateau. Celle-ci va se poursuivre au cours de la période romaine.

### 1.6.2.3. La période Romaine

Cette période va en effet être marquée par la poursuite de l'occupation des grands établissements ruraux de la période précédente. Ainsi, sur les sites du « Petit-Netilly » (37.159.020 AH), et de la « Pièces des Viviers » (37.250.084 AH), des traces de continuité de l'occupation au cours des premiers siècles de notre ère, ont été identifiées. Sur le premier, des éléments semblent indiquer que l'enclos gaulois reste actif au moins jusqu'à la

fin du Haut-Empire. Des fossés parcellaires et des structures de stockage attestent également de cette prolongation de l'occupation durant la période romaine (Godignon 2017 : 97-240). Sur le second, les vestiges d'un nouvel enclos fossoyé plus modeste et de plusieurs bâtiments sur poteaux, évoquent clairement la présence d'une petite exploitation rurale occupée aux 1<sup>er</sup> et 2<sup>e</sup> s. ap. J.-C. (Sarreste 2017 : 261-282).

Les deux autres établissements à enclos de la période gauloise vont connaître une évolution plus significative, vers ce que l'on peut qualifier de petite *villa*. L'établissement de « Montisson » est actuellement le mieux documenté (37.250.0419 AH, Poitevin 2014 : 193-237). L'enclos de la période précédente est comblé à la fin du 1<sup>er</sup> s. ap. J.-C., et laisse place à l'implantation d'une nouvelle structuration constituée pour partie de fossés, pour partie de restes très arrasés de clôtures en solins de pierre, définissant deux cours, au sein desquelles pour l'une se développe un bâtiment maçonné (résidentiel), pour l'autre des bâtiments sur poteaux (*pars rustica*). Cet établissement va être abandonné à la fin du 2<sup>e</sup> ou au 3<sup>e</sup> s. ap. J.-C.

Au « Four-à-Chaux », le diagnostic a révélé également que l'enclos de La Tène va être réoccupé au cours du 1<sup>er</sup> s. ap. J.-C. par un grand bâtiment maçonné évoquant probablement la partie résidentielle d'une petite *villa*, s'implantant au sein de parcelles fossoyées (0612426 OP : Gransard 2020 : 87-97). Des fosses et bâtiments sur poteaux complètent les vestiges de cette période. Ce site est également abandonné au 3<sup>e</sup> s. La future fouille sur cet établissement permettra de mieux comprendre sa structuration.

Un autre site de très probable *villa* Antique a par ailleurs été mis au jour à quelques 2,5 km au sud de notre emprise, lors des diagnostics de la LGV, au lieu-dit « Les Ruaux » (37.250.078 AH, Colonge 2011 : 44-67). Il est caractérisé par plusieurs ensembles de bâtiments maçonnés se développant autour d'un espace central vide (cour). Cet établissement semble occupé de la période augustéenne au 4<sup>e</sup> s. Des traces d'activités artisanales tournée vers la métallurgie du fer, marquée par la présence de nombreuses scories dans des fosses, découvertes un peu plus au nord, pourraient être associées au domaine de

cette *villa* des « Ruaux » (37.250.062 AH : Gransard 2011 : 113-115). Ces sites n'ont pas fait l'objet de prescription de fouille. Par ailleurs, un parcellaire fossoyé de l'Antiquité mis au jour lors des opérations de l'élargissement de l'A10, est probablement à associer avec l'occupation de cette *villa* (0611818OP, Jouanneau-Bigot 2019 : 43-51).

Sur les sites de « Netilly » et de la « Longue-Plaine », à proximité immédiate au sud-ouest de notre diagnostic, diverses traces d'occupations rurales ont en outre été identifiées. Ainsi lors de la fouille de 2012 (37.250.058 AH, Jouanneau-Bigot 2013 : 182-250), le site se signale par une poursuite de l'occupation de la Tène finale au Haut-Empire, avec l'installation de nouveaux petits bâtiments sur poteaux et d'enclos palissadés. Une vocation plus agro-pastorale que d'habitat est supposée pour cette occupation. Celle-ci pourrait être en lien avec d'autres traces d'occupations mises au jour au sud et au sud-ouest. Sur le gisement de « Netilly » fouillé en 2002-2003, des fossés et quelques fosses sont datables du Haut-Empire (37.250.007 AH, Jesset 2002). Sur le site de la « Longue-Plaine », des bâtiments sur poteaux, un puits, une mare, et quelques fosses ont été mis au jour (37.250.008 AH, Champagne 2001). L'ensemble de ces occupations a parfois été interprété comme étant les éléments d'une *pars rustica* d'un vaste établissement de type *villa*, bien que le centre résidentiel de celle-ci n'a jamais été identifié.

Le même doute subsiste quant aux découvertes effectuées sur la commune de Monts dans le cadre des diagnostics de la LGV. Plusieurs vestiges d'occupations Antiques ont en effet été découvertes aux environs de « Cigogné » (Pallier 2011 ; Roy 2012 : 51-66). Le site 37.159.015 AH a livré une sépulture à inhumation contenant un dépôt funéraire des 1<sup>er</sup>-2<sup>e</sup> s. Les indices 37.159.031 AH et 032 AH sont quant à eux constitués de fossés parcellaires d'une mare et de fosses d'extractions. Forment-ils, comme le pensent les inventeurs, de divers éléments en marge d'un même vaste domaine Antique ?

D'autres traces d'occupations rurales ont également été mises au jour au sud-est de la modeste *villa* de « Montisson ». Un bâtiment sur huit poteaux et quelques fosses datables entre le 1<sup>er</sup> et le 3<sup>e</sup> s. (37.250.070 AH), s'installent le long d'une

« voie » nord-ouest/sud-est, reconnue sur près de 700 m de longueur (37.250.076AH, Poitevin 2012 : 61-63 et 69-73).

A l'est de notre opération, les diagnostics de la ZAC Isoparc ont aussi détecté diverses traces d'occupation romaines. Néanmoins, hormis les indices indiquant la présence d'une petite nécropole du Haut-Empire, très arasée, avec la découverte d'au moins deux sépultures à crémation et une quantité significative de « poches » de mobilier (céramique et verre, 37.250.011 AH, Champagne 2003), les autres indices restent mal caractérisés. On note : un possible enclos en solins de pierre de 18 m de côté, quoique daté uniquement à partir d'une fosse le long de l'un des murs, contenant du mobilier des 1<sup>er</sup>-3<sup>e</sup> s. (37.250.016 AH, Porcell 2006 : 14-15) ; deux occupations rurales signalées par des concentrations de fosses, de trous de poteaux et des fossés, également datées des 1<sup>er</sup>-3<sup>e</sup> s. (37.250.017 AH et 019 AH, Porcell 2006 : 17-25) ; enfin une mare comportant du mobilier romain et comblée au haut Moyen-Âge (37.250.013 AH, Champagne 2003).

On mentionnera enfin quelques sites romains non caractérisés repérés anciennement par prospections pédestres, par la présence de concentrations de mobilier en surface des labours sur la commune de Monts, au nord-ouest de notre diagnostic (37.159.004 AH et 37.159.601 AH), et également au sud, sur la commune de Sorigny (37.250.004AH) (Joly, Pinnoteau 2002 : 29).

#### 1.6.2.4. Une villa dans l'emprise du diagnostic de 2021

Un dernier indice de site romain repéré lors des opérations préventives récentes que nous n'avons pas encore évoqué se situe en limite immédiate de notre emprise. Il s'agit du site 37.250.065 AH, identifié lors d'une phase des diagnostics de la LGV. Elle se caractérise par la présence de fossés, de quelques fosses et d'une mare, structures contenant du mobilier des 1<sup>er</sup>-3<sup>e</sup> s. (Bouillon 2012 : 66-80). De là, Jérôme Bouillon supposait la présence d'un site plus conséquent se développant vers le sud.

Or, à l'occasion de la préparation du présent diagnostic, un coup d'œil à la photo satellite du site « Google Earth » a permis de repérer les traces

évidentes de substructions maçonnées à l'ouest de l'emprise de notre opération, effectivement immédiatement au sud de l'indice de site 065 AH (fig. 16). S'étendant sur une soixantaine de mètres de long et 30 m de large, ces traces dessinaient clairement plusieurs ensembles de bâtiments compartimentés, nettement identifiables comme la partie bâtie d'une villa. Aussi, une visite préalable de terrain a permis de s'apercevoir d'une concentration de TCA, de céramique et de moellons de calcaire en surface du champ. De là, il apparaissait manifeste que le diagnostic allait engendrer la mise au jour d'un important site Antique, qui, étonnamment, n'avait jamais été identifié auparavant. En effet, en dépit de nombreux survols de la zone par des prospecteurs aériens, et une vérification rapide dans le site Géoportail des photographies IGN depuis les années 1950, ces traces n'étaient visiblement jamais apparues. Pour l'anecdote, quelques jours après avoir consulté le site de Google Earth, les photos satellites ont été changées, et les substructions n'apparaissent plus... Nous reviendrons évidemment en détail sur les découvertes dans le corps du rapport.

Quoi qu'il en soit, avec quatre villae connues et de très nombreuses traces d'occupations rurales gallo-romaines, la carte archéologique du secteur fait donc état, dans la continuité de l'époque gauloise, d'une très forte densité d'occupation du territoire de Sorigny.

#### 1.6.2.5. Le haut Moyen-Âge

En ce qui concerne le haut Moyen-Âge, cette densité s'estompe quelque peu. D'une part on note une très faible représentativité d'occupations de l'époque dite « mérovingienne ». Tout au plus peut-on mentionner la découverte d'un probable bâtiment sur solins et quelques fosses des 5<sup>e</sup>-7<sup>e</sup> s., s'installant après un hiatus au-dessus de l'enclos gaulois du « Petit Netilly », à Monts, non loin au nord-est de notre emprise (37.159.020AH, Godignon 2017 : 207-208). Plus au sud, un fossé et quelques structures en creux (trous de poteau et fosses), attribuées aux 6<sup>e</sup>-7<sup>e</sup> s., témoignent également de la réoccupation sporadique de la villa de « Montisson » (37.250.049 AH, Poitevin 2013 : 238-243).

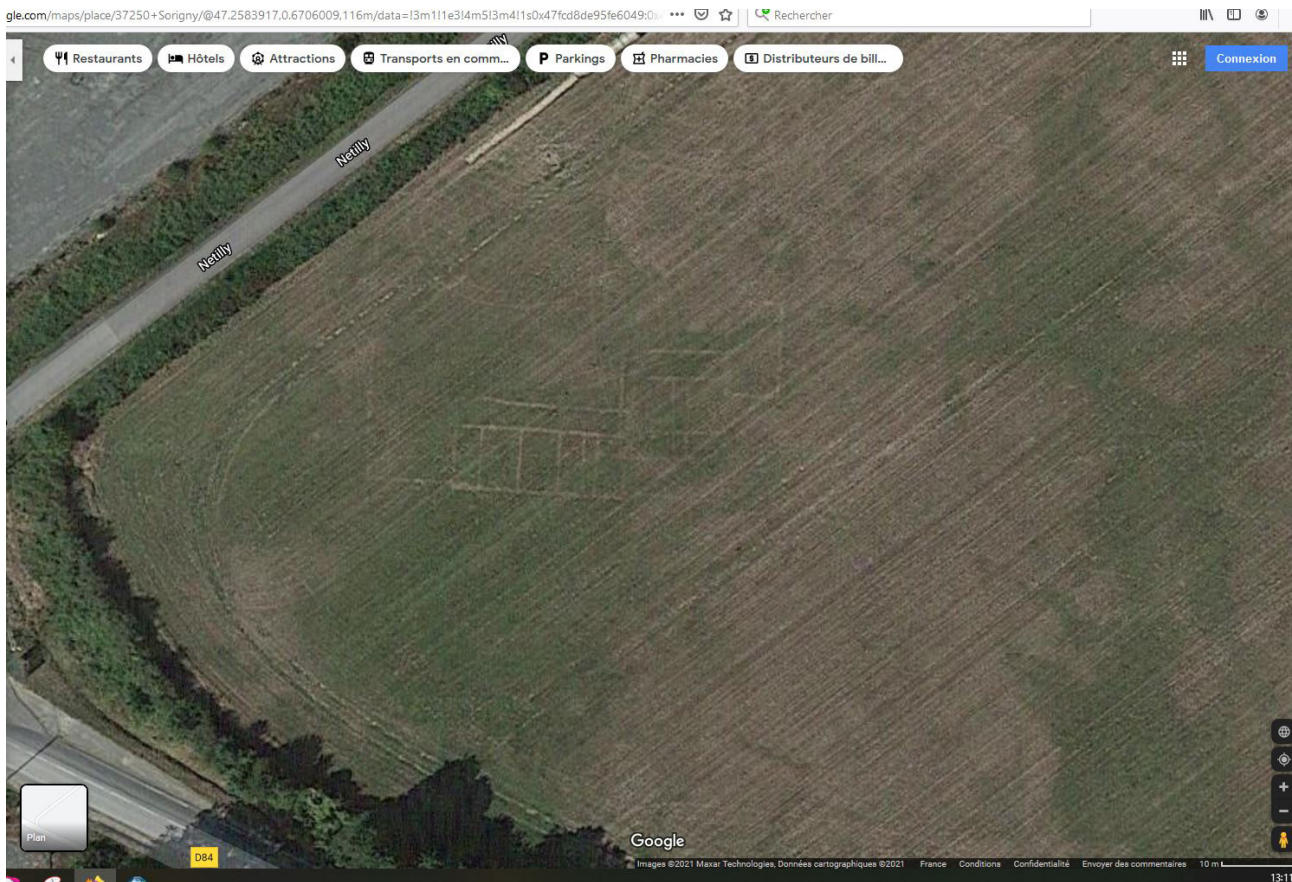


Figure 15 : Capture écran de la photo satellite en date de septembre 2021 du site Google Earth, révélant les substruction d'un établissement gallo-romain dans l'emprise du diagnostic

De fait, l'essentiel des témoignages archéologiques de sites du haut Moyen-Âge relève plutôt de l'époque carolingienne. Les principaux identifiés dans le secteur, se situent au sud-ouest de notre emprise, à proximité immédiate.

On évoquera en premier lieu l'important site de « Netilly », intégralement fouillé en 2002 et 2003 (Jeset *et. al.* 2002 ; Jeset 2003). Celui-ci se caractérise par un enclos palissadé couvrant une surface de 3 425 m<sup>2</sup>, dans lequel se trouvent plusieurs unités bâties sur poteaux distribuées en deux espaces fonctionnels (résidentiel et domestique), de part et d'autre d'une cour. De l'occupation de cet établissement, les indices de datation la calent dans un temps très court : deuxième moitié du 9<sup>e</sup> s. Les données font également état d'une destruction violente du site par un incendie, associée aux restes de quelques cadavres humains dans les niveaux de démolition. Ce site morphologiquement atypique pour cette période carolingienne, témoigne ainsi

probablement d'un établissement rural fortifié relevant sans-doute d'une élite sociale.

Dans l'environnement de ce dernier, d'autres traces d'occupations plus classiques du haut Moyen-Âge ont été mises au jour lors des phases de diagnostic de la LGV. Immédiatement au nord-ouest du site précédemment décrit, un habitat ouvert a été découvert, constitué du contingent de structures en creux de cette époque : plusieurs concentrations de trous de poteaux, des fosses dont au moins un silo et des fosses d'extraction, une sépulture... (37.250.066 AH, Bouillon 2012 : 34-65). Le tout apparaît datable du 9<sup>e</sup>-première moitié 10<sup>e</sup> s., soit en partie contemporain du site de « Netilly ».

Un peu plus au sud, un ensemble de structures en creux a par ailleurs été mis au jour, se diffusant sur une grande surface. Là encore des concentrations de poteaux, des fosses (dont certaines d'extraction) et des fossés attestent d'une occupation, vraisemblablement d'habitat, relativement longue couvrant les 7<sup>e</sup>-10<sup>e</sup> s. (37.250.072 AH, Lecuyer

2012 : 53-75). Notons que ce site se trouve dans l'environnement immédiat nord et nord-est d'une probable motte castrale encore partiellement conservée (au lieu-dit évocateur des « Mottes », 37.250.030 AH).

Plus au sud encore, vers « Montisson », une occupation rurale détectée lors du diagnostic de la LGV, composée d'un enclos fossoyé, et de quelques fosses et trous de poteaux est datée des 9-10<sup>e</sup> s. (37.250.071 AH, Poitevin 2012 : 73-81). Plus au nord, toujours dans le cadre des diagnostics de la LGV sur la commune de Monts, deux concentrations de structures en creux (fossés, fosses, silos) témoignent également de petits habitats ruraux datables des 8<sup>e</sup>-10<sup>e</sup> s. (Roy 2012 : 67-83).

Ajoutons l'existence de plusieurs autres indices sites plus modestes mis au jour dans la ZAC Isoparc. Ont notamment été découvert : un silo datable du 8<sup>e</sup> s. (37.250.007 AH, Champagne 2003) ; deux concentrations de fosses et de trous de poteaux d'une petite occupation rurale (37.252.019 AH) ; un fossé (d'enclos ?) et quelques fosses éparses, datées largement du haut Moyen-Âge (37.252.021 AH, datations non précisées, Porcell 2006 : 17-25 et 34-36).

#### 1.6.2.5. Le Moyen-Âge classique et le bas-Moyen-Âge

Cette époque voit la première mention de Sorigny dans les sources écrites. C'est en effet en 1007, que la *Curte Sorignaco*<sup>3</sup> apparaît, donnée à l'abbaye de Beaumont-lès-Tours lors de sa fondation par Robert-le-Pieux (Lorans 1996 : 128). Ce terme de *curtis* revoie alors à tout un domaine : autour d'une église dédiée à Saint-Pierre (37.250.001 AH<sup>4</sup>), la donation fait mention de vignes, de prés, de bois, d'étangs, de moulins et de terres culte et incultes. Si la formation de la paroisse peut être supposée dès ce 11<sup>e</sup> s., celle-ci ne sera toutefois mentionnée pour la première fois qu'en 1290, et dépendait alors, non plus de Beaumont mais du chapitre de l'église de Tours<sup>5</sup>. Selon certains auteurs, il existait en outre au

13<sup>e</sup> s. à Sorigny une aumônerie ou un hôtel-Dieu, qui sont dits « en ruine » au 16<sup>e</sup> s. (Carré de Buserolles 1883 : 91, Ranjard 1930 : 658). Au cours du Moyen-Âge, la paroisse de Sorigny était divisée en deux fiefs : l'un ecclésiastique relevant du chapitre de Tours, l'autre laïque, dit de la « Tour de Sorigny » ou « Tour d'Isoré » (37.250.005 AH). Celle-ci est mentionnée dès 1331, quand son seigneur, Philippe d'Ysoré, rend hommage au baron de La Haye (actuel Descartes), qui détenait par ailleurs dans la paroisse le fief de « Château-Gaillard<sup>6</sup> » (Carré de Buserolles 1883 : 91). Selon le D<sup>r</sup> Ranjard, il restait du logis seigneurial de la Tour d'Isoré une tour circulaire démolie en 1910 (Ranjard 1930 : 658). Celle-ci apparaît en effet sur le cadastre napoléonien. Il en resterait encore aujourd'hui des communs (grange, écuries...). Outre ces éléments monumentaux, une opération de diagnostic archéologique au nord-est du bourg, au lieu-dit « La Bougerie » a par ailleurs révélé des traces d'habitats (four à chaux, trous de poteaux, fosses, bâtiment maçonné), datés du 9<sup>e</sup> au 15<sup>e</sup> s. (De Belvata Balazy 2005).

En dehors du bourg, quelques sites médiévaux sont recensables dans la commune. Nous avons déjà évoqué plus haut la présence, non loin au sud de notre diagnostic, d'une motte castrale au lieu-dit « Les Mottes », démontrant la présence d'un habitat aristocratique (celui-ci succède-t-il au site de « Nettily » à la suite de sa démolition violente fin 9<sup>e</sup>/10<sup>e</sup> s. ?). Selon carré de Busserolles, le hameau des « Mottes » constitue encore un fief au début du 16<sup>e</sup> s., appartenant à un certain Gilles de Montfort, seigneur d'Esvres-sur-Indre (Carré de Buserolles 1880 : 351).

A l'est de notre Emprise, au sein de la ZAC Isoparc, une autre demeure aristocratique médiévale mérite d'être mentionnée. Il s'agit de la « maison forte » du « Thais » (37.250.003 AH). Celle-ci a été abordé dans le cadre du diagnostic de la ZAC Isoparc de 2006 (Porcell 2006 : 8-13), et d'une fouille préventive portant sur le bâti des éléments encore en élévation

<sup>3</sup> *Gallia Christiana*, XIV, Inst., n°43.

<sup>4</sup> Cette église a été totalement reconstruite en 1866 (Ranjard 1930 : 657).

<sup>5</sup> Cartulaire de l'archevêché de Tours.

<sup>6</sup> Ce toponyme de « Château-Gaillard » apparaît sur le cadastre napoléonien au nord-est de la commune, sous la forme d'un petit hameau. Une « Rue de Château-Gaillard » existe encore aujourd'hui à Sorigny. On ne sait cependant rien d'un éventuel logis seigneurial dans ce secteur, qui n'est jamais évoqué dans la littérature.

(Dalayeun 2013). Le manoir de ce site, apparaissant encore sur des plans anciens, a été démoli en 1853 selon Carré de Buserolles (Carré de Buserolles 1884 : 123). Deux tranchées de diagnostic ont été implantées sur cet édifice. Elles démontrent que les bâtiments étaient entourés de fossés parementés. L'un des murs du manoir de 90 cm d'épaisseur a été reconnu, mais aucun élément de datation n'en est donné. Carré de Buserolles indique que ce manoir aurait été bâti au 16<sup>e</sup> s. Toutefois, les premières mentions<sup>7</sup> d'un seigneur, Pierre de Thaix, remontent à 1220. En 1312, son seigneur, un autre Pierre de Thaix, est dit « chevalier », homme lige de l'archevêque de Tours. En 1358, dans un aveu de Jean de Thaix à l'archevêque, le site est clairement décrit comme un site fortifié (*plesseis desfendable*), comprenant en outre, des *appartenances, mesons, bois, vergers, fuye* (c'est-à-dire pigeonnier), *vignes, étangs, et garenne*. De fait, il ne reste aujourd'hui de cet ensemble que les bâtiments de la ferme associée et du pigeonnier, bien étudiés dans le cadre de la fouille, remontant au mieux au 15<sup>e</sup> s. (aujourd'hui entièrement restaurés). D'autre part, tout un ensemble de traces agraires (fossés parcellaires et fosses) datables du Moyen-Âge et de l'époque Moderne ont par ailleurs été mises au jour autour de cette maison forte lors du diagnostic de la ZAC Isoparc (Porcell 2006 : 8-13). Non loin, au sud-est des vestiges d'un possible enclos datable de la fin du Moyen-Âge ou du début de l'époque Moderne ont également été reconnus (37.250.019 AH).

On signalera enfin que la ferme de « Maltache », non loin au nord-est de notre diagnostic, est mentionnée dès 1365 comme un fief dont le seigneur (Guillaume de Maltâche), rend hommage au seigneur du « Thais » (Carré de Buserolles 1882 : 154).

#### 1.6.2.5. Les époques Moderne et contemporaine

Pour la toute fin du Moyen-Âge et l'époque Moderne, on ne signalera principalement que quelques éléments remarquables, telle l'installation d'un vaste château d'agrément à la « Longue-

Plaine », en limite des communes de Monts et Sorigny. Si J.-M. Couderc en fait remonter certaines parties au 15<sup>e</sup> s., le D<sup>r</sup> Ranjard quant à lui nous dit qu'il est entièrement Moderne.

Deux établissements remarquables à « Cigné » (commune de Monts) et plus au sud à « Montisson » (commune de Sorigny), sont également à mentionner. Ces deux « fermes » qualifiées d'aristocratiques, possèdent des plans très similaires avec leurs plateformes carrées entourées de fossés en eau, refermant habitat et bâtiments d'exploitation (granges). A Montisson, une tour circulaire est encore conservée dans l'un des angles de l'enclos. Les deux fermes sont mentionnées en tant que fief au 16<sup>e</sup> s. : « Cigné » en 1583 est qualifiée de « maison noble », relevant de Villandry (Carré de Buserolles 1879 : 295) ; « Montisson » en 1580, relevait de Montbazou (Carré de Buserolles 1882 : 314). Pour cette dernière, quelques éléments de son environnement immédiat ont été mis au jour lors du diagnostic de la LGV : réseau de fossés, murs de clôtures, chemin, dont les éléments de datation ne remontent pas au-delà du 16<sup>e</sup> s. (37.250.069 AH, Poitevin 2012 : 83-100).

Les diagnostics de la LGV et l'élargissement de l'A10 ont en outre occasionné la découverte de quelques éléments modernes, désormais enregistrés dans la carte archéologique. Du nord au sud on évoquera : un probable enclos fossoyé de la fin du Moyen-Âge ou de l'époque Moderne (commune de Monts, 37.159.018 AH, Gransard 2011 : 63-65) ; des éléments fossoyés et quelques fosses liées au hameau Moderne de « la Gérardelière » (37.250.061 AH, Gransard 2011 : 105-110 ; Colonge 2012 : 68) ; et vers « La Clairière », un parcellaire fossoyé (succédant à celui de l'Antiquité) et une concentration de fosses datées des 15<sup>e</sup>-17<sup>e</sup> s. (0611818OP, Jouanneau-Bigot 2019 : 52-59). Enfin, pour ce qui concerne les découvertes archéologiques Modernes, on signalera sur la ZAC Isoparc celle d'un petit bâtiment maçonné de 17 m de côté (possible grange ?) d'époque moderne (37.250.010 AH, Champagne 2003).

Pour autant, ces rares découvertes ne rendent pas compte de la densité d'occupation de cette période. Classiquement dans la région tourangelle, un coup d'œil à la carte de Cassini et au cadastre napoléonien

<sup>7</sup> Les éléments documentaires qui suivent sont issus de la synthèse de M.D. Dalayeun, auquel nous renvoyons pour toutes les références (Dalayeun 2013 : 28-31).

(levé en 1819), font état de nombreuses fermes et de hameaux émaillant les territoires de Sorigny et de Monts (fig. 17 et 18). Nous n'évoquerons que ceux qui sont au plus proche de notre emprise. Outre « Les Mottes » au sud et « Maltache » au nord, déjà évoqués plus haut car remontant à l'époque médiévale, on en dénombre trois autres fermes très proches : « Netilly », la « Belessière » et « La Bonnetrie ». Les deux premières apparaissant sur la carte de Cassini remontent donc au moins au

18<sup>e</sup> s. et sont encore en élévation actuellement (bien qu'abandonnée). La dernière n'apparaît que sur le cadastre napoléonien et est aujourd'hui démolie. Carré de Buserolles n'indique rien à propos de ces trois établissements modernes.

C'est donc dans ce très riche contexte archéologique que notre diagnostic s'est déroulé et dont nous allons à présent présenter les résultats.



Figure 17 : Extrait de la Carte de Cassini

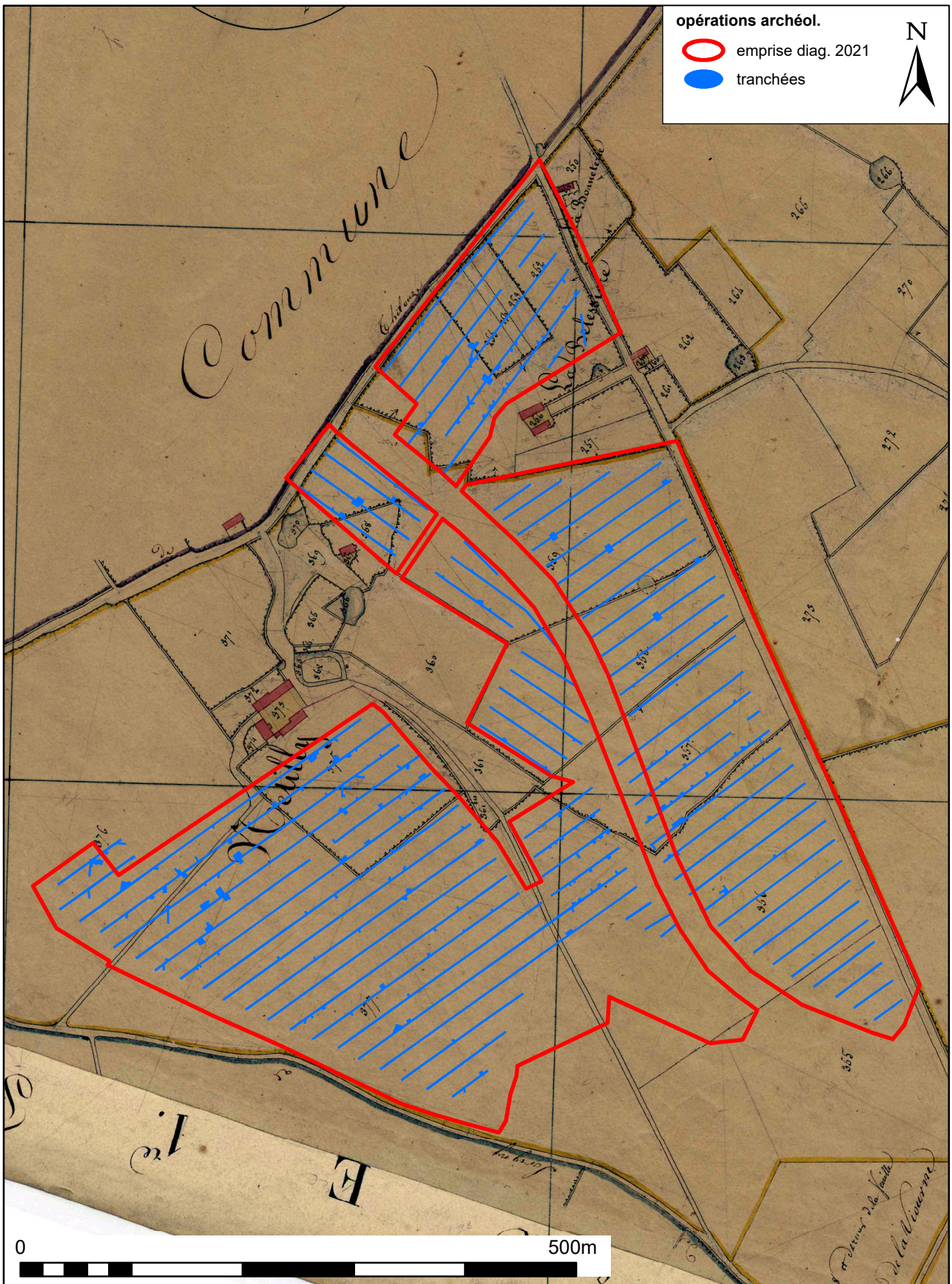


Figure 18 : Extrait du cadastre napoléonien levé en 1819 (ADIL 3P2\_250, section A2 du Thais)





## 2. RÉSULTATS DE L'OPÉRATION

Sur les 81 tranchées ouvertes lors du diagnostic, 572 numéros de faits ou d'« anomalies » ont été enregistrés sur le terrain, dont seulement 78 n'ont pas fait l'objet de fouilles, de nettoyages de surface, de sondages, ou de tests manuels ou mécaniques (fig. 19 à 25). 273 anomalies considérées comme naturelles ont été annulées à la suite de ces tests (sur lesquelles nous reviendrons en détail plus loin). Aussi, par le jeu des équivalences notamment sur les fossés qui ont pu recevoir plusieurs numéros en fonction des tranchées, sur les 299 enregistrements restants, on retiendra au final 262 structures : elles correspondent soit à des faits archéologiques avérés, soit à quelques anomalies qui n'ont pas fait l'objet de tests et qui ont été conservées comme potentielles structures en creux (au nombre somme toute restreint de 25 « fosses »).

En outre, 101 objets archéologiques ont été isolés. Douze de ces isolats correspondent à des objets ramassés au gré du décapage des tranchées et n'appartenant pas à des structures apparentes. Le reste (89) sont des objets métalliques repérés au détecteur à métaux. En effet, la connaissance préalable de la présence d'une *villa* dans l'emprise de notre diagnostic (cf. *supra* chap. 1.6.2.4), nous a poussé à demander en amont de l'opération l'autorisation d'utiliser ce matériel, ce qui a été accordé par le SRA (cf. *supra* note 1). Ces isolations métalliques ont ainsi été essentiellement collectées sur une emprise restreinte, correspondant au site antique.

Chronologiquement, les vestiges archéologiques repérés vont du Paléolithique Moyen à l'époque contemporaine. Les périodes sont toutefois inégalement représentées. La préhistoire est ainsi matérialisée uniquement par de rares isolats de silex taillés. Les périodes plus récentes le sont en revanche par des structures. Sur les 262 enregistrées, 23 peuvent être datées de la protohistoire ; 94 de la période gallo-romaine (de loin la plus présente avec 36% des structures) ; 19 du haut Moyen-Âge ; 12 du Moyen-Âge central ou bas Moyen-Âge ; 47 des

périodes modernes et contemporaines. 67 faits restent de datation indéterminée. Précisons que sur les 195 structures ayant reçu une attribution chronologique, 78 ont été datées directement par le mobilier archéologique (74 faits), ou datations <sup>14</sup>C (5 faits). Le reste a reçu une datation indirecte, basée sur plusieurs critères :

- Soit en raison de leur appartenance stratigraphique ou topographique à des ensembles cohérents, et dont au moins un des éléments est bien daté par le mobilier ou par datation en laboratoire (par exemple : maçonneries de la *villa*, trous de poteaux d'un même bâtiment, sépultures du même ensemble funéraire, orientations de divers fossés d'un réseau estimé cohérent).
- Soit en raison de la confrontation avec les plans anciens (fossés apparaissant sur le cadastre napoléonien notamment).
- Enfin, pour un cas particulier, par typologie (drains du 19<sup>e</sup> s. en terre cuite).

Nous détaillerons et critiquerons le cas échéant les divers critères de datations retenus.

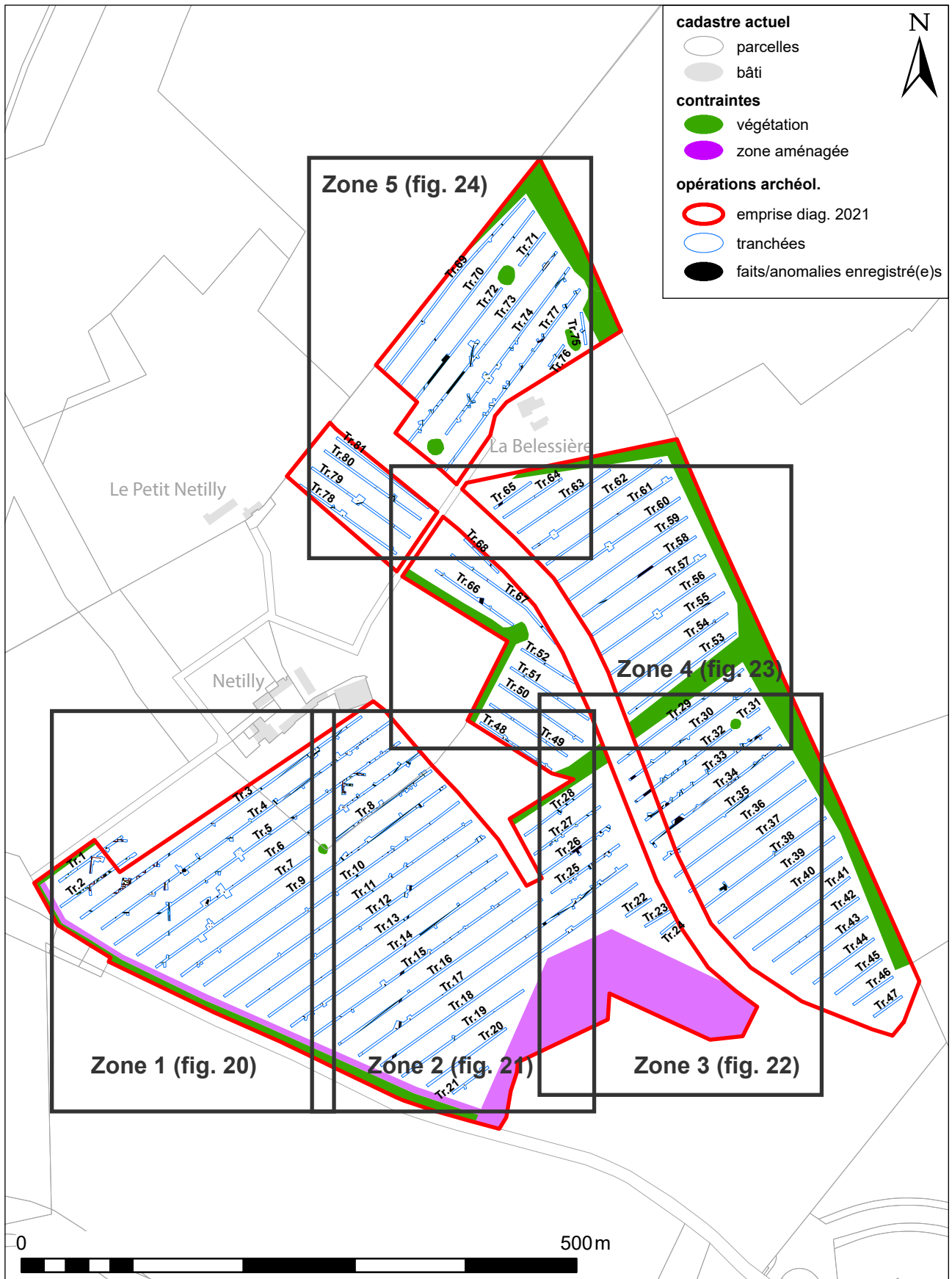


Figure 19 : Plan général de l'opération avec zonage des plans masses (fig. 20 à 24)

Figure 20 : Plan masse de la Zone 1

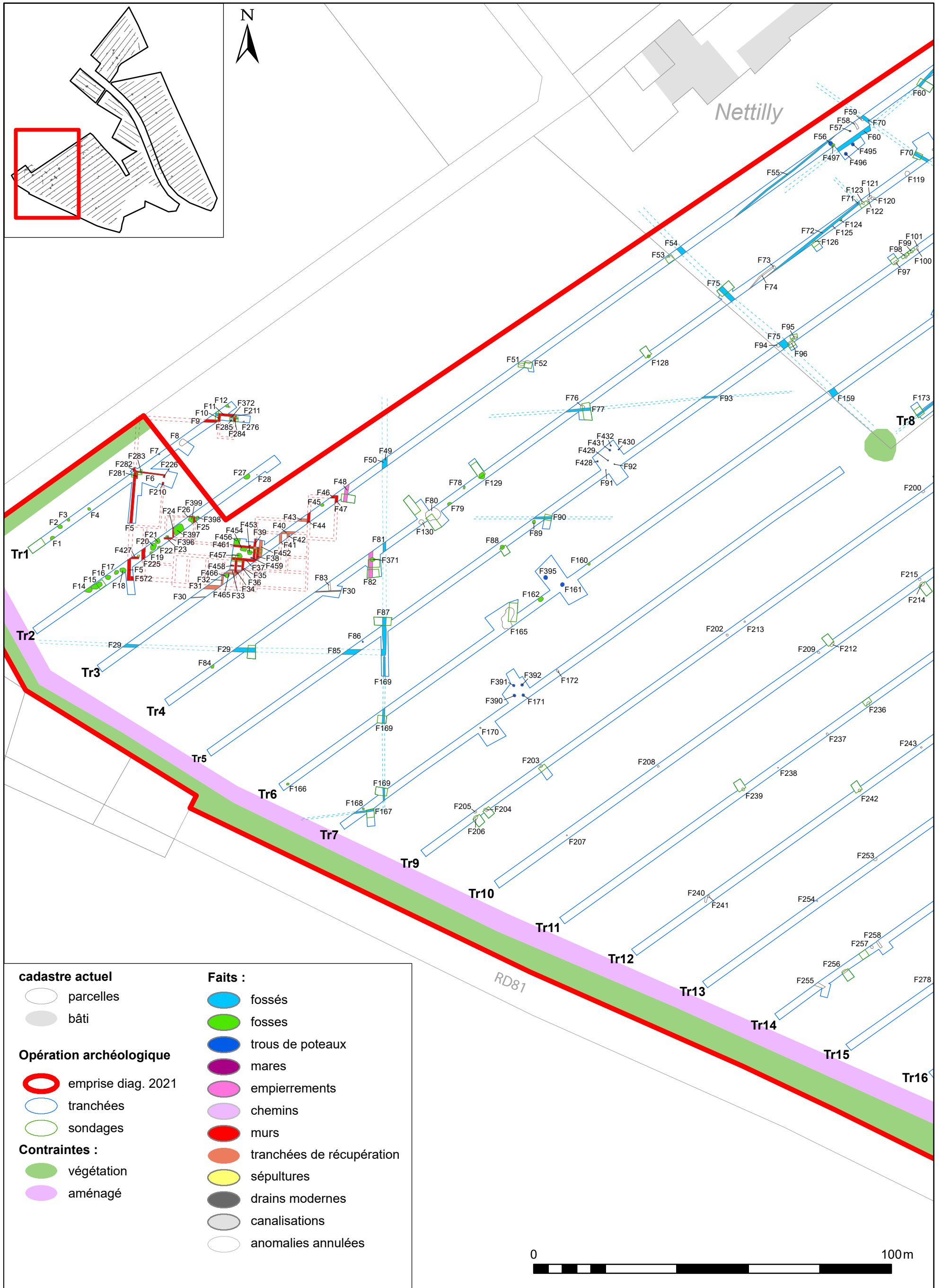




Figure 21 : Plan masse de la Zone 2

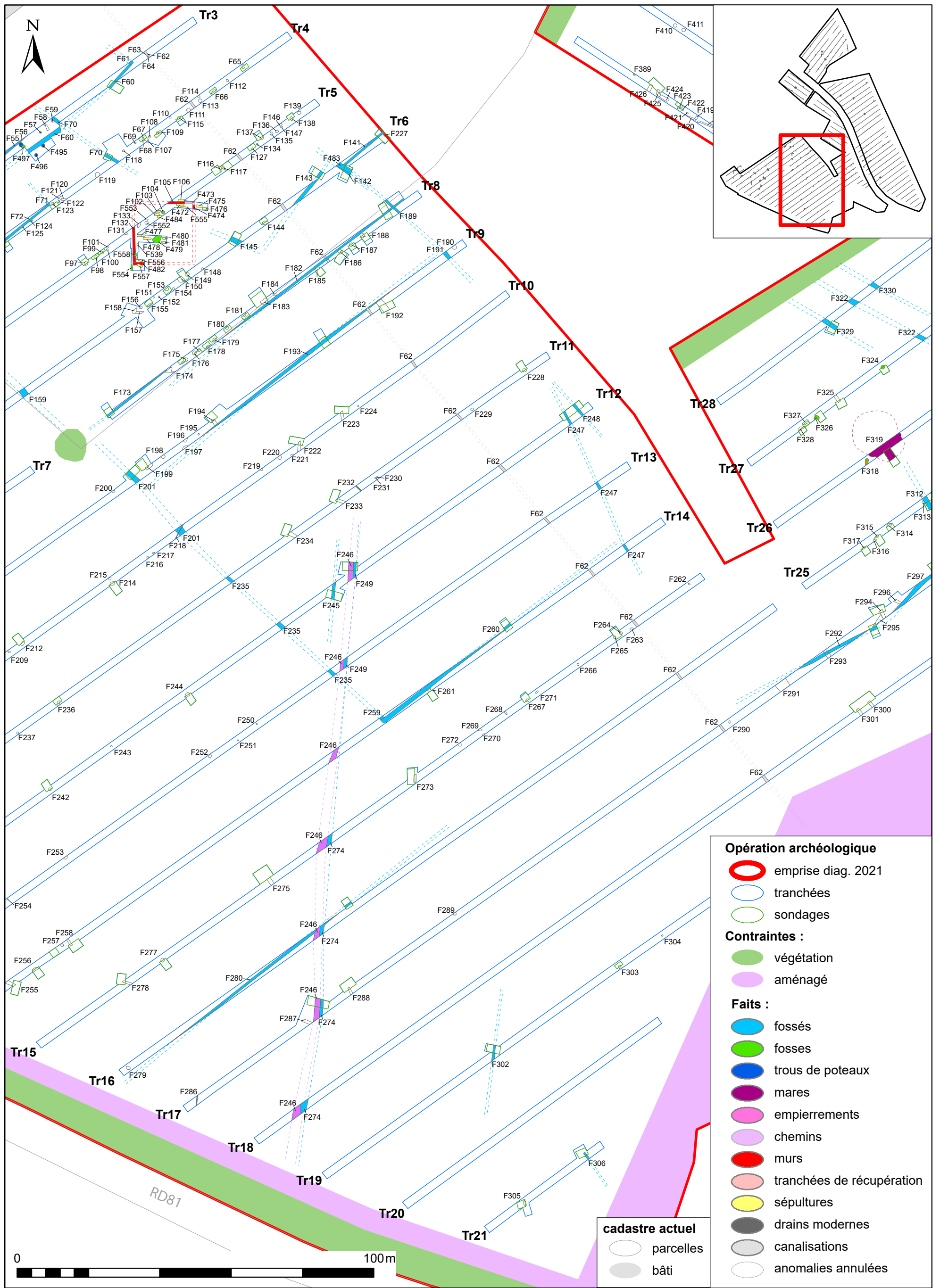
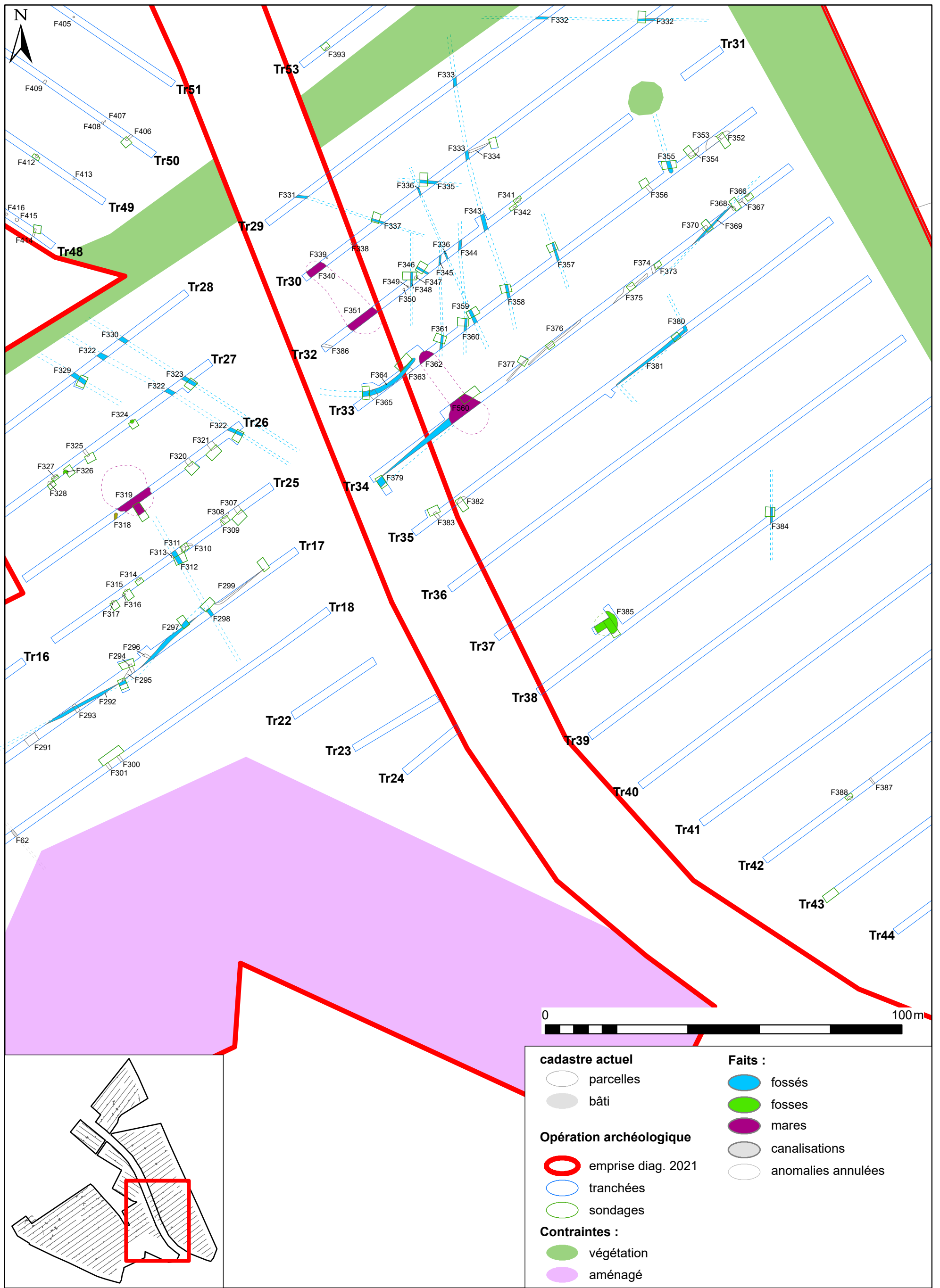




Figure 22 : Plan masse de la Zone 3f







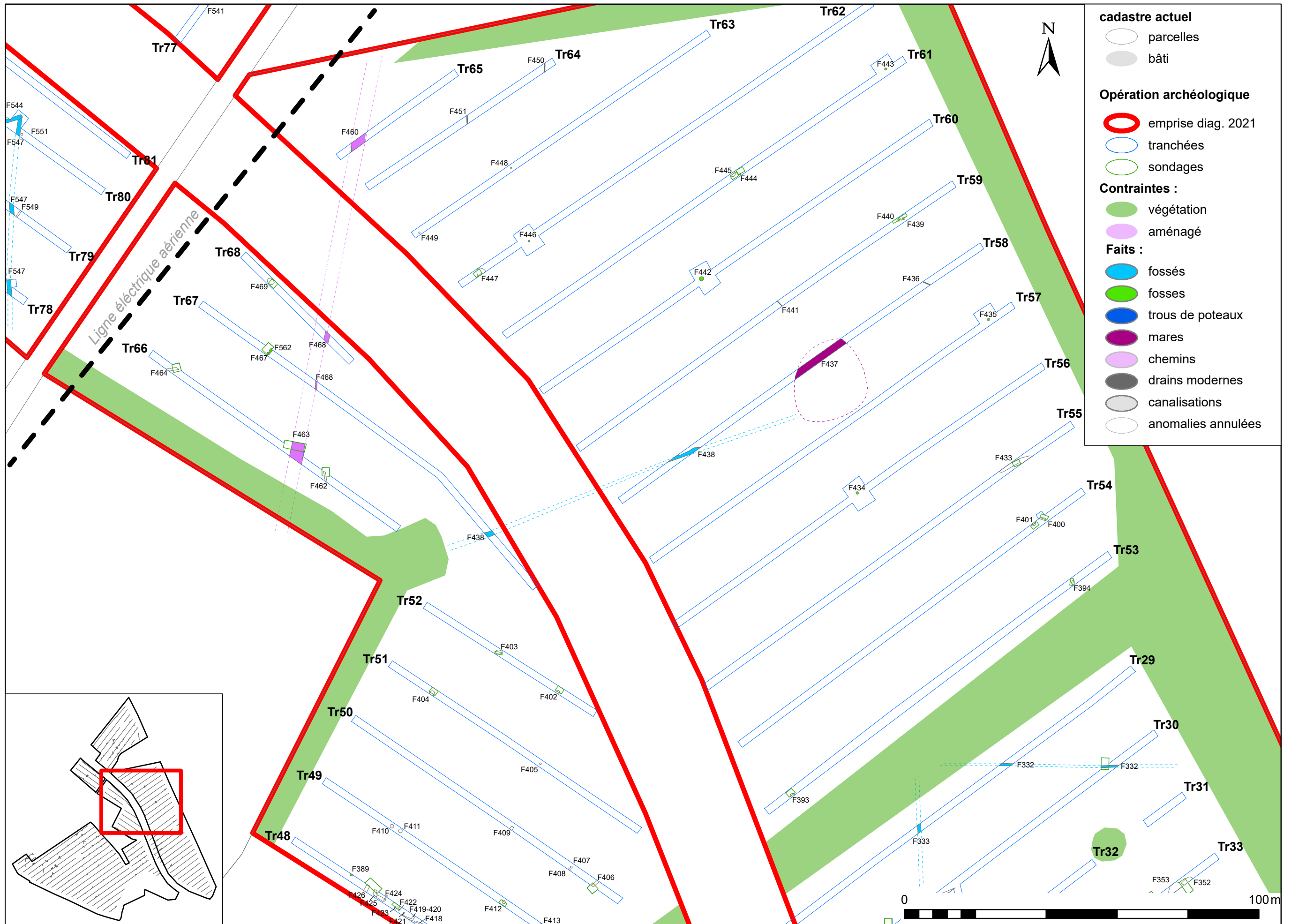
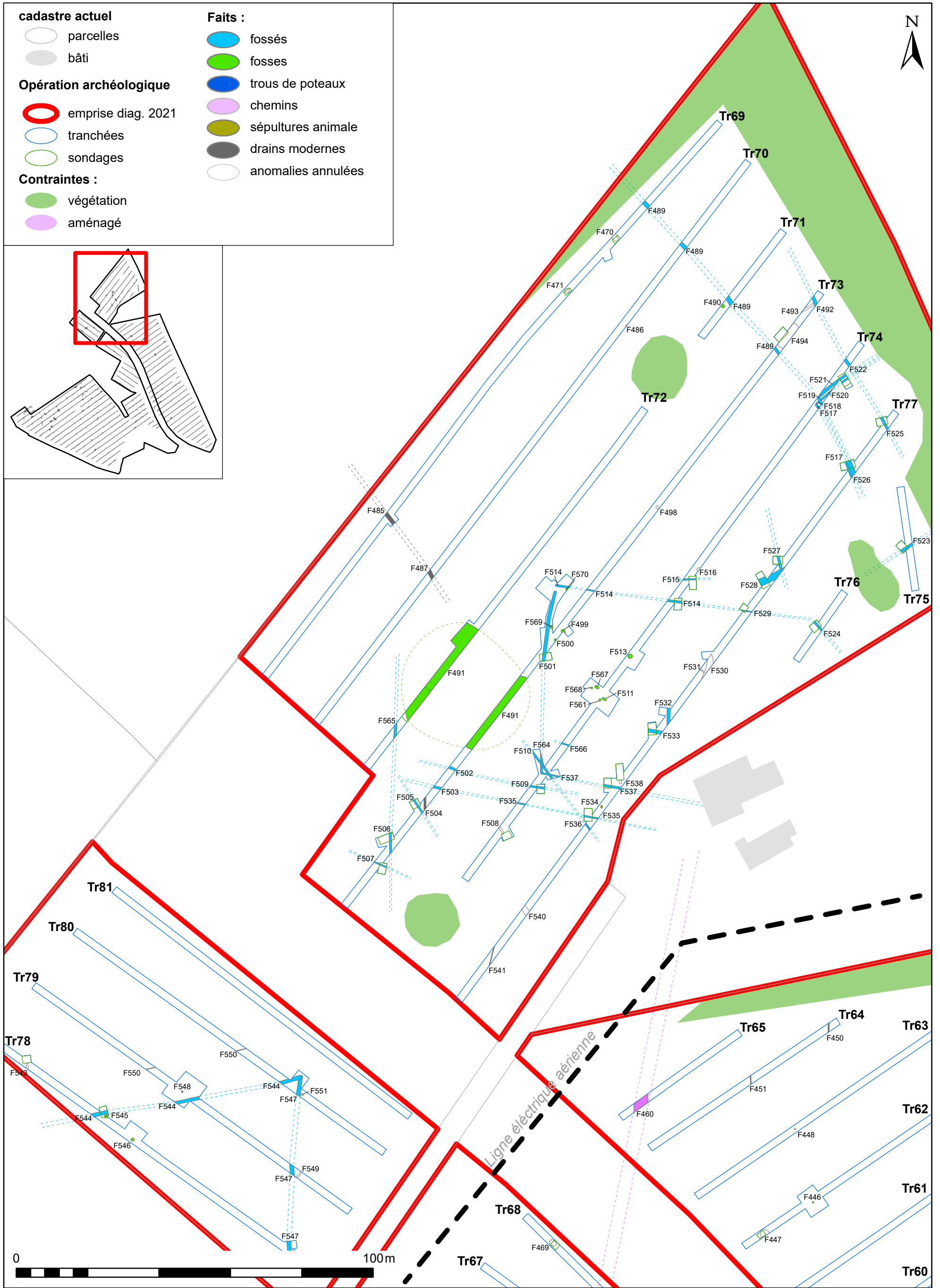


Figure 23 : Plan masse de la Zone 4



Figure 24 : Plan masse de la Zone 5





## 2.1 LES « ANOMALIES NATURELLES »

Comme nous l'avons présenté plus haut, une très grande variété de substrat a été observée sur le terrain, pouvant parfois changer plusieurs fois de nature en l'espace de quelques dizaines de mètres. Cette variété et la nature même du substrat a engendré des difficultés de lecture. En effet, les « anomalies » étaient nombreuses au décapage. Elles s'apparentaient le plus souvent à des « tâches » limoneuses qui pouvaient difficilement, sans test de fouille, être qualifiées de naturelles ou bien de réelles structures en creux d'origine anthropiques.

En conséquence, il a été décidé de procéder à un enregistrement relativement « maximaliste », tout particulièrement dans l'environnement de sites bien identifiés, afin de procéder à un maximum de tests pour bien circonscrire l'extension des occupations avérées (fig. 25). Souvent, un rapide nettoyage de surface, quelques coups de truelle, ou bien dans les cas d'anomalies plus importantes, un sondage mécanique, permettaient de les invalider. Ainsi, 273 numéros de faits donnés de prime abord ont été finalement annulés (soit près de 48%). Un certain nombre de ces anomalies ont toutefois été documentées par des relevés et/ou des photographies pour preuve, en début d'opération.

Parmi celles-ci, deux se distinguent. Il s'agit des anomalies numérotées F80 (tranchée 4) et F165 (tranchée 6) (fig. 26, 27 et 28). De taille conséquente (plusieurs mètres de diamètre), ces anomalies subcirculaires ont fait l'objet de sondages profonds. Or ces deux entités se sont avérées en fait être de larges dépressions aux profils très irréguliers, comblées de limons anthropisés (limons bruns-noirs, comportant des charbons), au-dessous desquelles la forme du substrat géologique indique assez nettement des phénomènes de soutirage (d'origine karstique probable). Situées dans l'environnement de sites gallo-romains et de La Tène, elles avaient la particularité d'avoir « piégé » quelques éléments mobiliers. Ainsi, le sédiment limoneux comblant le sommet de ces dépressions renfermait-ils, pour F80, deux tessons du Haut-Empire (lot 31) et trois fragments de *tegulae* et d'*imbres* (lot 146) ; et pour F165, 10 tessons datables de La Tène finale (lots 44 et 190) et cinq fragments de torchis brûlé (lot 189).

Néanmoins, dans la plupart des cas, les anomalies annulées, de taille plus réduite, se sont le plus souvent avérées lors des tests peu profonds et dotées de profils de petites cuvettes souvent aux bords diffus et/ou irréguliers (fig. 29, 30 et 31). Situées à l'interface entre la couche limoneuse (US19 identifiée sur la majeure partie de la surface du diagnostic) et le substrat, ces anomalies étaient remplies du même limon gris sus-jacent, plus ou moins chargé en éléments ferro-manganiques, et surtout totalement stérile en éléments anthropiques (charbons ou mobilier). Ainsi, bien que celles-ci en surface pussent s'apparenter à de petites fosses, voire parfois des sections de fossés (dans les cas de formes pseudos-linéaires), il s'agissait de fait de légères dépressions, que l'on a donc qualifié de naturelles.

Il faut donc retenir que sur les quelques 25 anomalies qui n'ont pas été testées et qui ont néanmoins été conservées comme « fosses » potentielles (notamment, on le verra, au sein et dans l'environnement de la *villa*), il est possible que certaines correspondent également à des anomalies naturelles. En outre, on doit concéder que si certains faits qui ont été considérés comme réellement anthropiques pouvaient parfois ne pas présenter de profils beaucoup plus convaincants que les anomalies annulées, c'est que leurs complements apparaissaient clairement anthropisés (limons bruns-noirs, présence de charbons...), voire renfermaient du mobilier archéologique.

Quoi qu'il en soit, cette stratégie de test quasi systématique des anomalies repérées en surface a permis de circonscrire avec le plus de précision possible (relative toutefois à l'exercice du diagnostic), l'essentiel des occupations avérées, formant des ensembles plus ou moins cohérents et caractérisables.

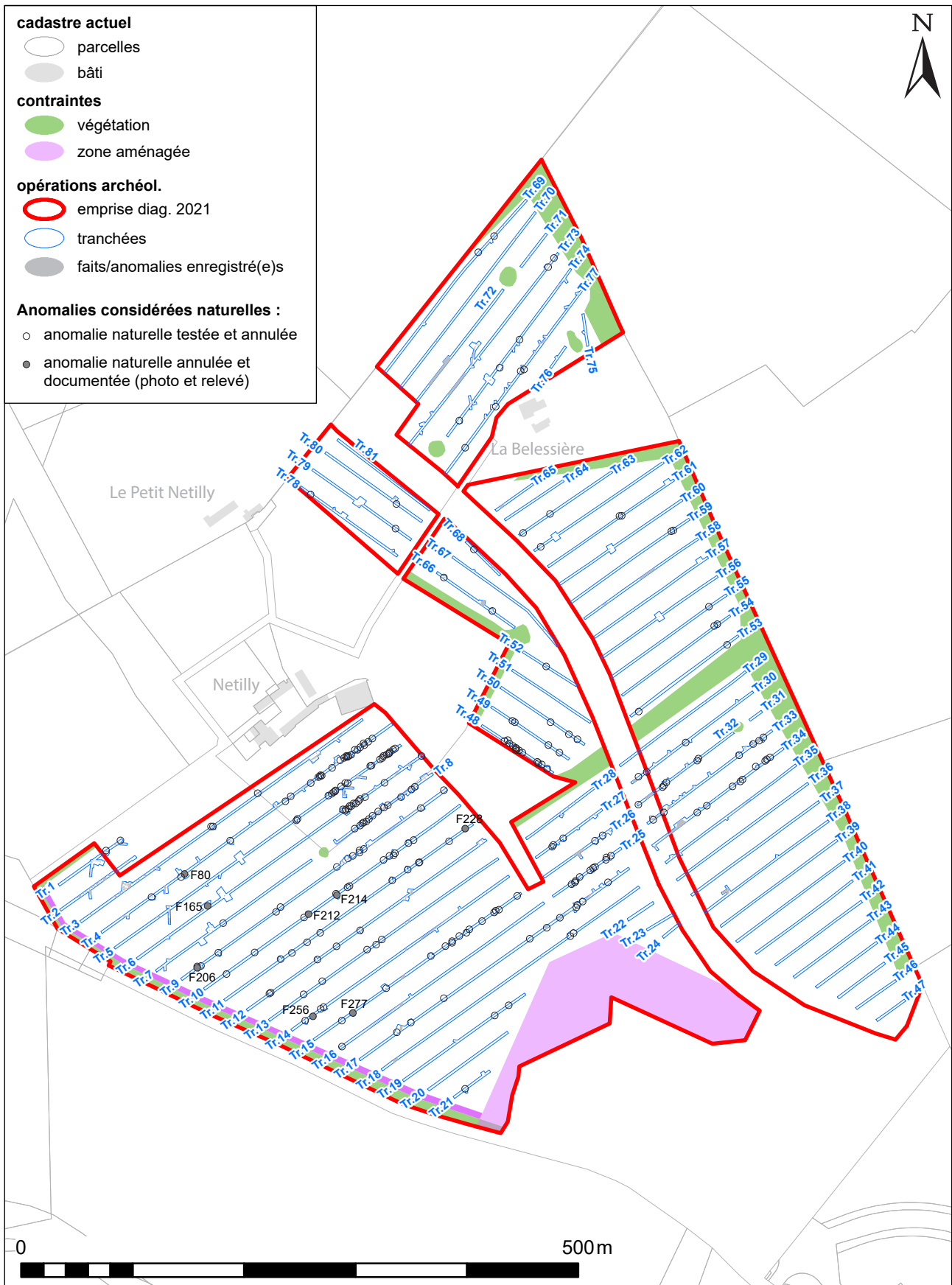


Figure 25 : Plan des anomalies considérées comme naturelles et annulées

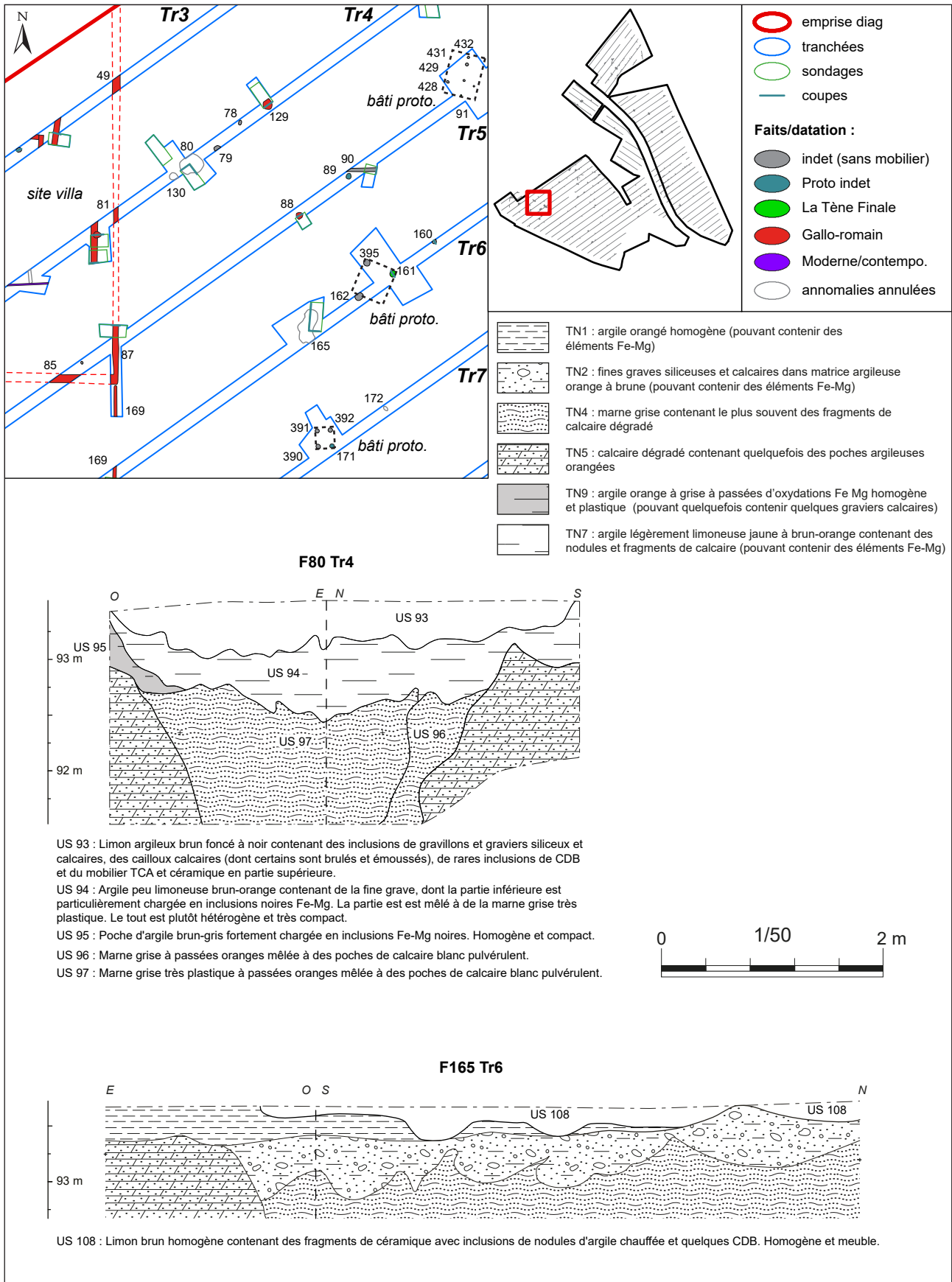


Figure 26 : Coupes des anomalies naturelles F80 et 165





Figure 27 : Photographie de l'anomalie naturelle F80

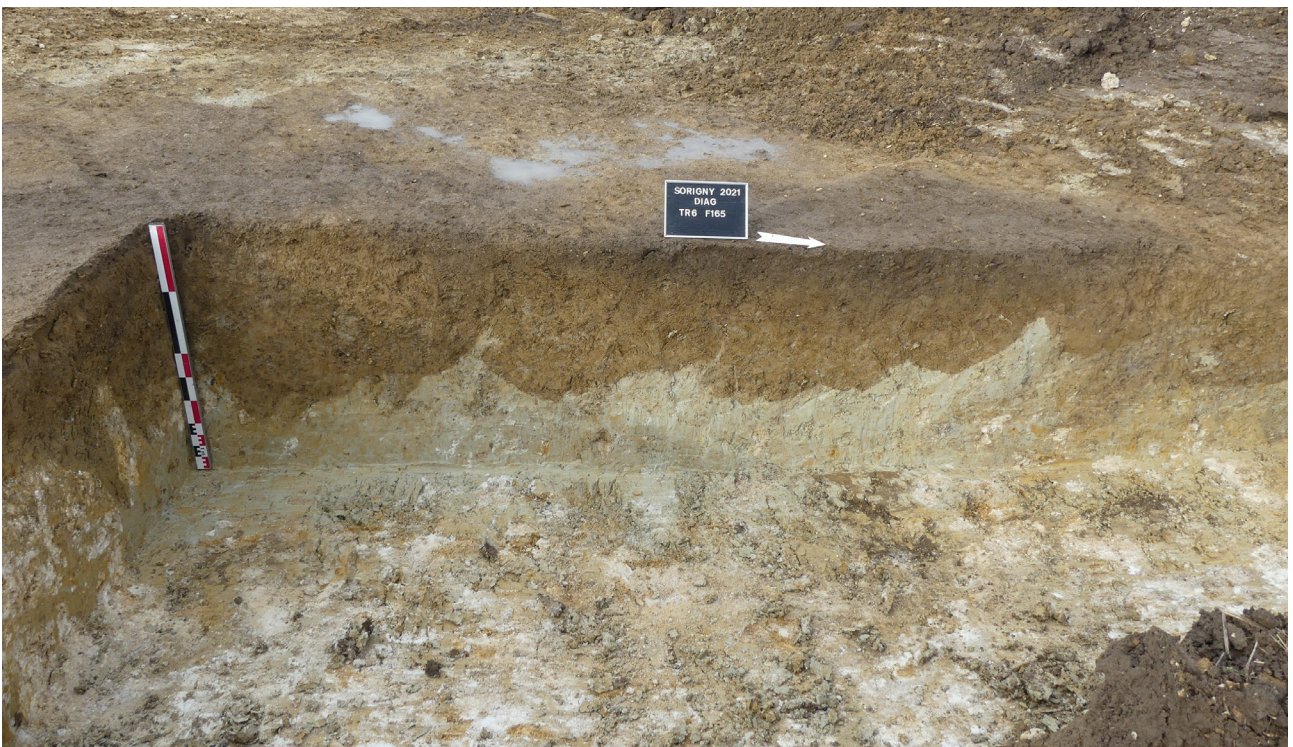


Figure 28 : Photographie de l'anomalie naturelle F165

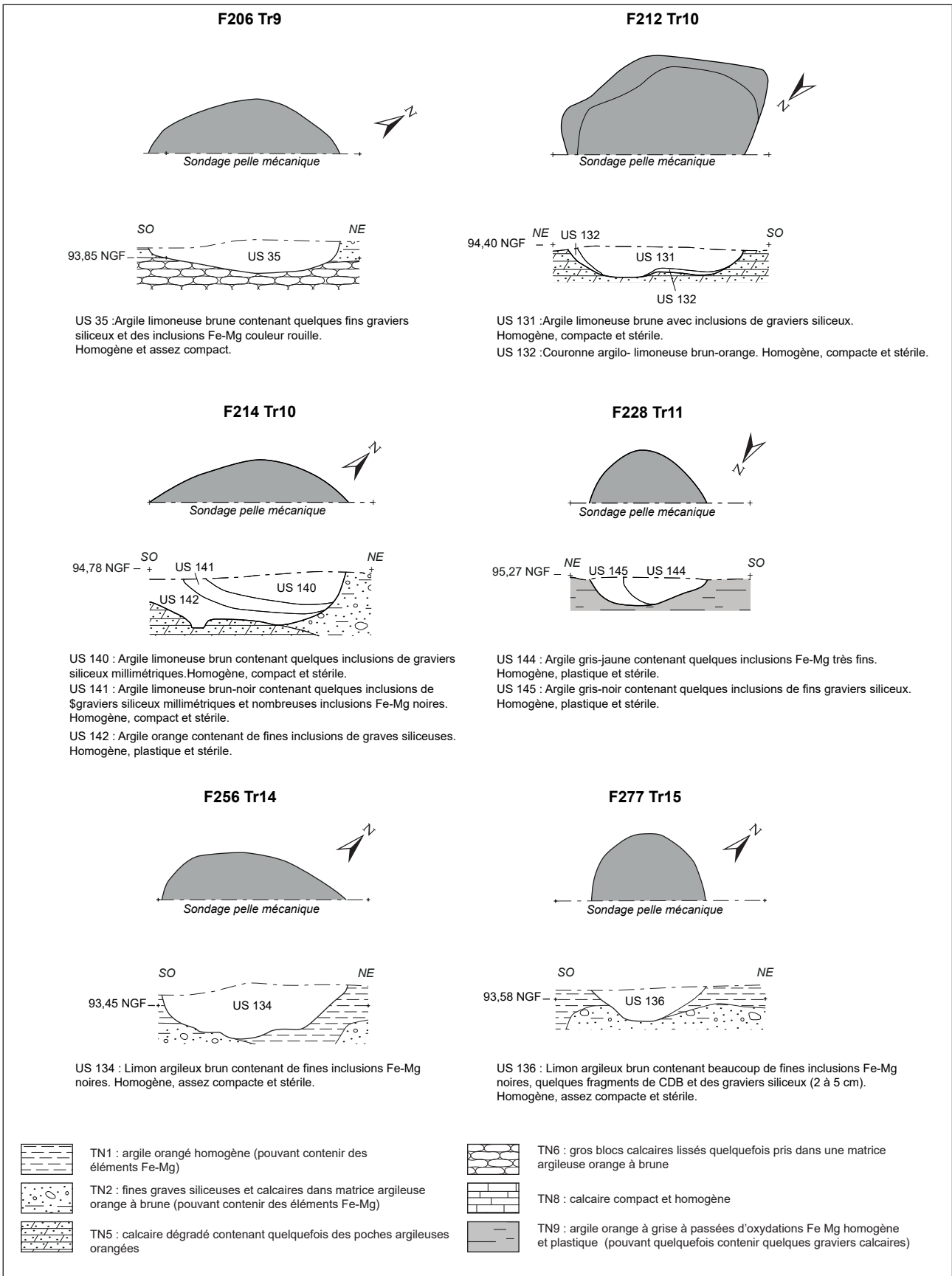


Figure 29 : Quelques exemples de coupes d'anomalies naturelles annulées (cf fig. 25)



Figure 30 : Quelques exemples de photographies d'anomalies naturelles annulées (cf fig. 25)

## 2.2 QUELQUES ARTEFACTS PRÉHISTORIQUES

Si le diagnostic n'a pas livré de structures, ni même de concentration particulière d'artefacts préhistoriques, quelques pièces lithiques ont toutefois été ramassées au gré des décapages. Celles-ci pouvaient donc aussi bien venir de la terre végétale, que de la couche de limons sous-jacente (US19), à l'interface avec le substrat (fig. 31).

Sur les quatre pièces lithiques isolées mises au jour, deux correspondent seulement à des éclats de taille au percuteur dur, de chronologie indéterminée<sup>8</sup> (Iso 7 et 13, lots 198 et 193<sup>9</sup>). Si le premier (Iso 7), effectué sur galet alluvial, apparaît plutôt frais, le second (Iso 13), de couleur rouge, est fortement patiné.

En revanche, les deux autres objets sont plus remarquables. Ils sont tous deux couverts d'une forte patine blanche. Le premier (Iso 1, lot 197), est très probablement un éclat levallois, renvoyant au Paléolithique Moyen (fig. 32). Le second (Iso 14, lot 199) est un fragment de petite lame à dos et à retouche proximale (manque l'extrémité distale) et à retouches latérales droites courtes régulières et abruptes (fig. 33). Si ce type d'objet est relativement ubiquiste, il ne peut cependant être antérieur au Paléolithique Supérieur, mais pourrait tout aussi bien dater du Néolithique.

Ces rares découvertes isolées, mises au jour dans la terre végétale ou dans le niveau de limons sous-jacent, s'inscrit donc dans la série de découvertes du secteur effectuées dans les mêmes contextes stratigraphiques, quoique celles-ci renvoient essentiellement au Paléolithique Supérieur, la plus importante collection étant située à moins de 250 m au sud-ouest de notre emprise de diagnostic (Jouaneau-Bigot 2013, cf. *supra* 1.6.2.1). L'éclat Levallois du Paléolithique Moyen serait ainsi la deuxième occurrence de cette période sur le territoire communal, après les quelques artefacts mis au jour le diagnostic du « Four à Chaux », à

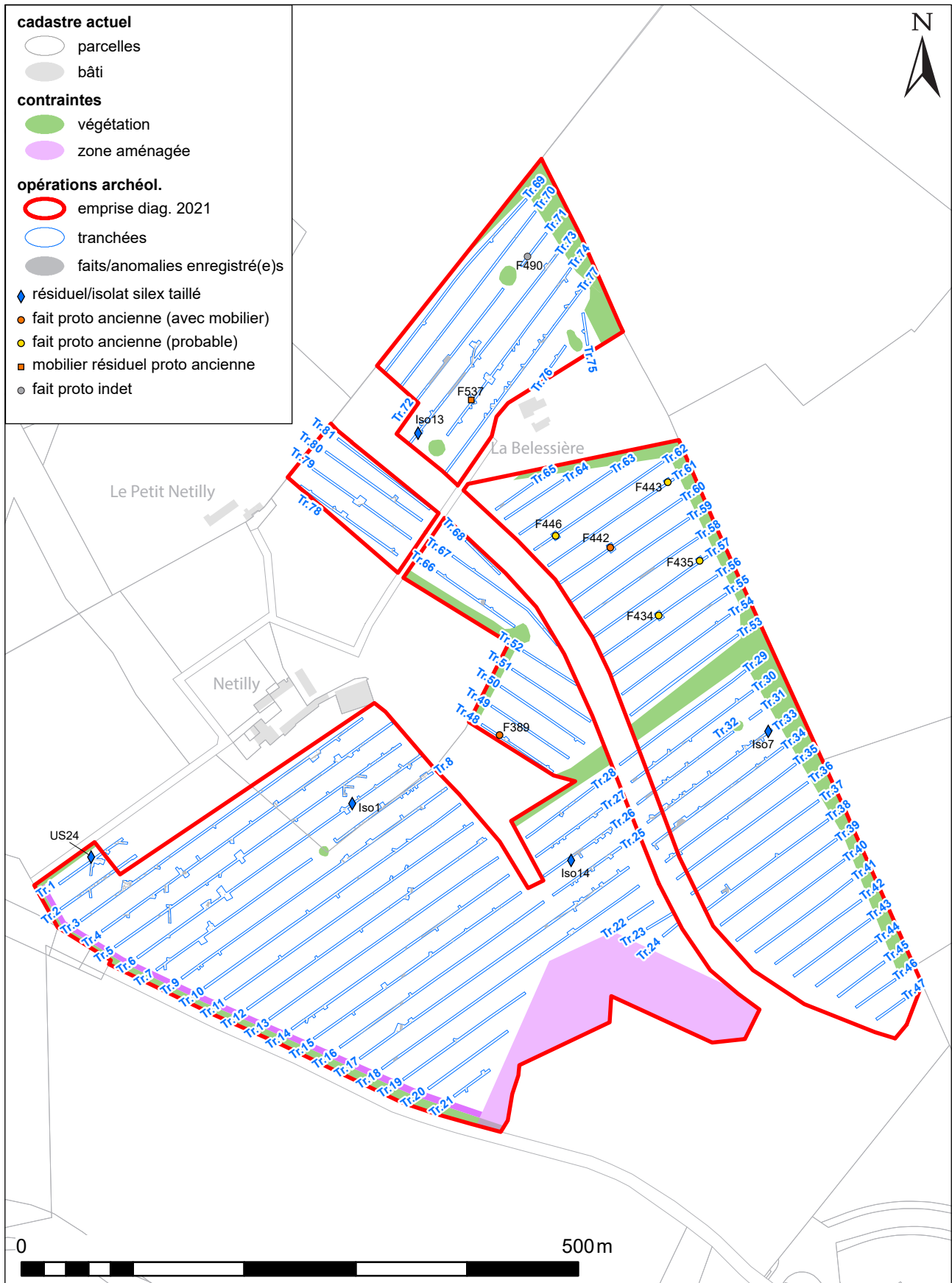
proximité du bourg de Sorigny (Gransard 2020). Ces objets, s'ils témoignent de la fréquentation des lieux au Paléolithique, n'en constituent pas pour autant de réels gisements. Ainsi que cela a été rappelé plus haut, l'érosion du plateau a probablement provoqué une disparition des niveaux très anciens, périodes qui ne sont plus représentées que par des découvertes mobilières en position secondaire.

Un dernier objet découvert lors du diagnostic mérite d'être évoqué dans ce chapitre, bien que celui-ci a été découvert dans le contexte stratigraphique des niveaux d'occupation de la *villa* gallo-romaine (US 24, lot 196). Il s'agit d'une petite hache polie de 7,3 cm de long, 3,4 cm de large au niveau du tranchant, et 1,4 cm d'épaisseur pour environ 100 g. Taillée dans une roche verte (légèrement bleutée), la pierre pourrait être un jade d'origine alpine (pyroxénite sodique ?), selon les comparaisons avec les collections de référence du Musée du Grand-Pressigny et consultation de la littérature sur le sujet (Pétrequin *et. al.* 2012 et 2017). Pour autant, seule une analyse spectroradiométrique permettrait de le confirmer.

Bien que datant du Néolithique, cet objet pourrait donc bien être classable parmi les objets « collectionnés » par les gallo-romains. Leur réutilisation à des fins votive est régulièrement pratiquée durant l'Antiquité. Elles sont ainsi fréquemment mises au jour en contexte de sanctuaire, mais aussi dans la fondation de bâtiments d'habitation (cf. étude de Thomas Boucher, annexe 2).

<sup>8</sup> On rappelle que le matériel lithique a été expertisé par Laure-Anne Millet Richard (Musée du Grand Pressigny). Nous la remercions vivement de ses éclairages.

<sup>9</sup> Les numéros de lots renvoient à l'inventaire du mobilier reporté en annexe 9.



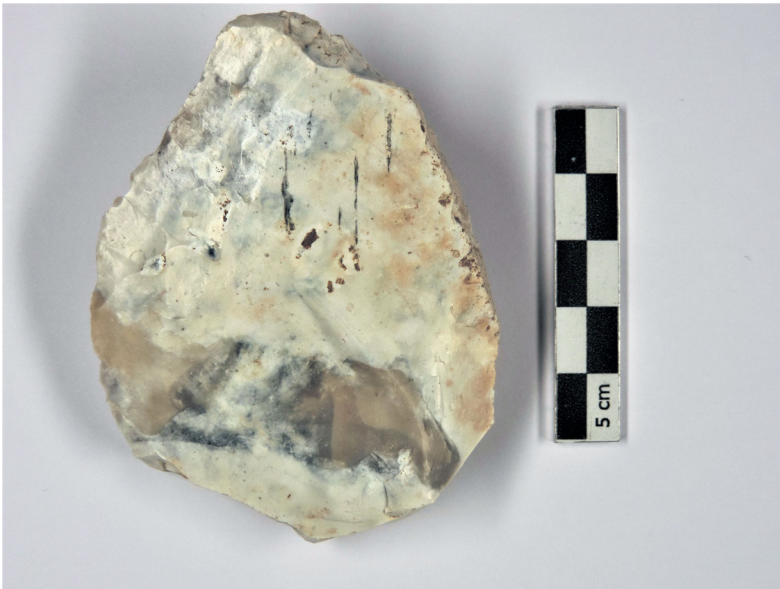


Figure 32 : Probable éclat levallois (Iso 1, lot 197)



Figure 33 : fragment de petite lame à dos (Iso 14, lot 199)



Figure 34 : petite hache polie en roche verte provenant de niveaux gallo-romains (US24, lot 196)

## 2.3. LA PROTOHISTOIRE

### 2.3.1. Des indices diffus d'une occupation de la Protohistoire ancienne

Les structures les plus anciennes mises au jour lors du diagnostic l'ont été dans la tranchée 48 et 60 (fig. 31). Il s'agit de deux fosses, distantes d'environ 200 m l'une de l'autre, toutes deux fouillées à 50 %. (fig. 35)

La première, F389, a été mise au jour le long du bord nord de la tranchée 48 (fig. 36). Cette fosse au creusement de forme subcirculaire, d'environ 1,24 m de diamètre et profonde de 34 cm, présente un profil en cuvette aux bords évasés. Son comblement, constitué de deux couches de limons bruns à gris, renfermait un lot de 27 tessons de céramique. La seconde fosse, F442, tranchée 60, au creusement de forme ovale de 1,64 m de long sur 1,22 m de large, présentait un profil diffus en cuvette irrégulière et aux bords très évasés (fig. 37). Profonde de 25 cm (sous le décapage, elle était donc sans doute mieux conservée), son comblement de limons contenant de très nombreux charbons de bois, a livré 29 tessons de céramique (lot 72, fig. 38), un éclat lithique (lot 195), et un fragment de faune (lot 174).

Selon l'expertise de F. Di Napoli, la céramique de ces deux fosses, non tournée, à pâte contenant un dégraissant grossier, renvoie à la « Protohistoire ancienne ». En l'absence de forme et d'éléments de décors, cette datation ne peut être précisée. A noter qu'un autre tesson similaire a été mis au jour un peu plus au nord, en position redéposé dans le fait F537 (tranchée 74), d'époque romaine.

On ajoutera à ce tableau, une autre fosse isolée, F490, située au nord de l'emprise en tranchée 71 (fig. 38, 39). Celle-ci a en effet livré un petit tesson de céramique non tournée de la Protohistoire au sens large (lot 20). Elle se signale par un creusement peu profond (15 cm) en cuvette de 95 cm de diamètre.

On évoquera pour ce même secteur, quatre autres fosses qui n'ont pas livré de mobilier : F434, tranchée 56 ; F435 tranchée 57 ; F443 tranchée 61 et F446 (fig. 40). Situées dans un secteur qui a livré au final très peu de vestiges archéologiques, il apparaît possible que ces fosses résultent de

la même phase d'occupation. Ces quatre faits, très semblables, se présentent comme des petits creusements circulaires de 60 cm de diamètre et moins de 20 cm de profondeur au fond en cuvette, et au comblement limoneux très charbonneux (fig. 41 et 42). S'ils auraient pu être, par leur taille, interprétés comme des fonds de trous de poteaux arasés, la pratique systématique de fenêtres autour de ces faits n'ayant rien livré, il semble plutôt qu'il s'agisse de fosses plus ou moins isolées.

L'ensemble de ces éléments pourraient ainsi témoigner d'une occupation de la Protohistoire ancienne que l'on qualifiera de « diffuse ». La présence de lots de céramique dans deux larges fosses, quoique modeste (52 restes), indique néanmoins la présence de rejets domestiques. Ces rares vestiges pourraient donc être associés à un large habitat ouvert, dont les structures n'ont pas été perçues ou bien ont disparu.

De par leur nature, les sites de ces périodes sont souvent mal caractérisés et datés, à l'instar des découvertes effectuées à l'est de notre opération (diagnostics de la ZAC Isoparc), ou encore au nord-ouest (fouille du « Petit-Netilly »), avec souvent quelques fosses et possibles trous de poteaux épars dont la chronologie reste mal établie. Le seul site mieux caractérisé et daté de Sorigny a été révélé par le récent diagnostic au « Four-à-Chaux » (fosses et concentrations de trous de poteaux de l'Âge du Bronze Final et du premier Âge du Fer), révélant plus franchement la présence d'un habitat (Gransard 2020 : 65-80). Si ces découvertes restent modestes au regard de la densité de vestiges de la période suivante, elle n'en démontre pas moins un investissement extensif du plateau sud de l'Indre dès la Protohistoire Ancienne.

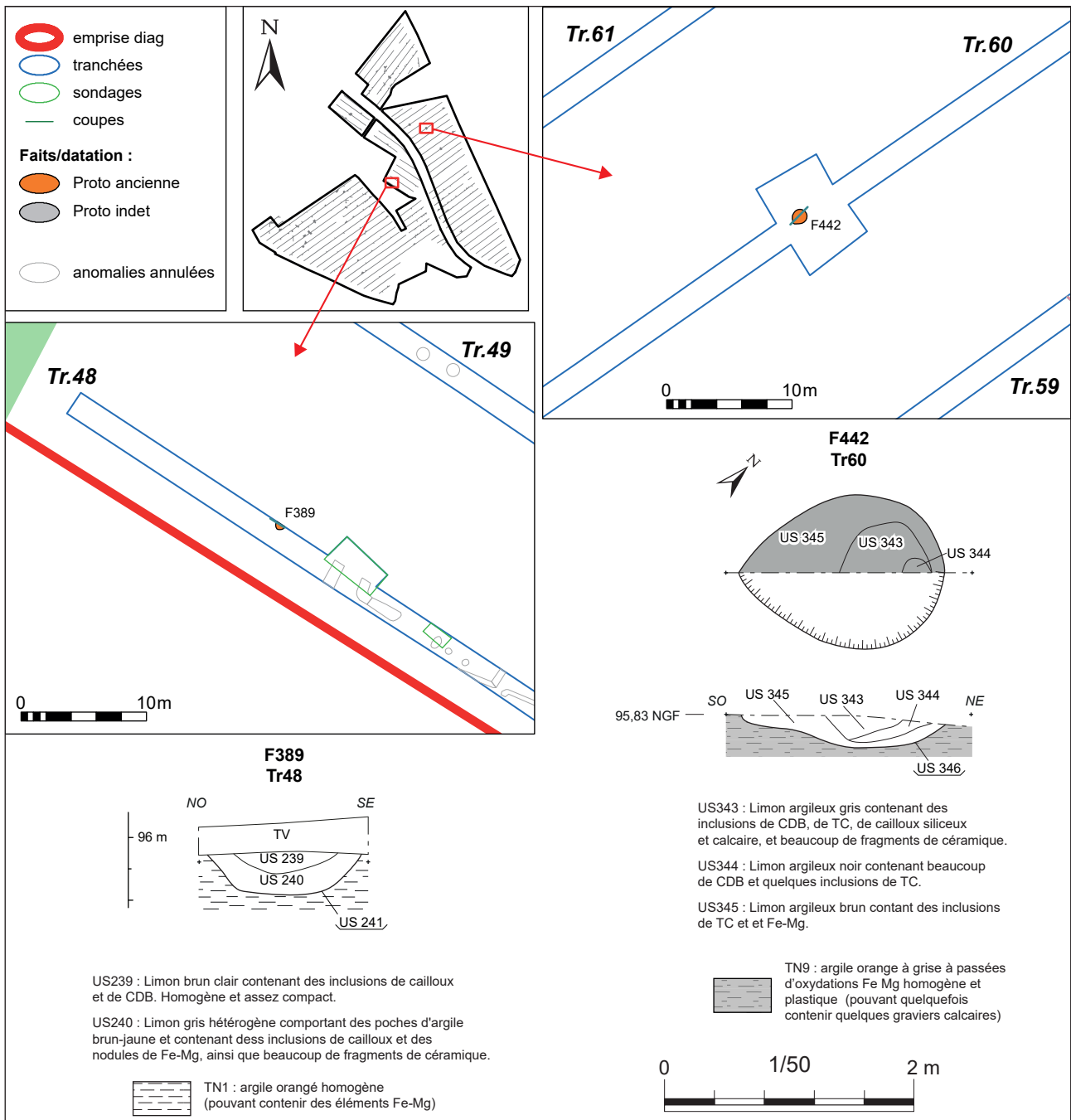


Figure 35 : Coupes des fosses de la Prothistoire ancienne



Figure 36 : Photographie de la fosse F389



Figure 37 : Photographie de la fosse F442





Figure 38 : lot de tessons de la fosse F442



Figure 39 : Photographie de la fosse F490



Figure 41 : Exemple de photographie des fosses charbonneuses indéterminées : la fosse F434

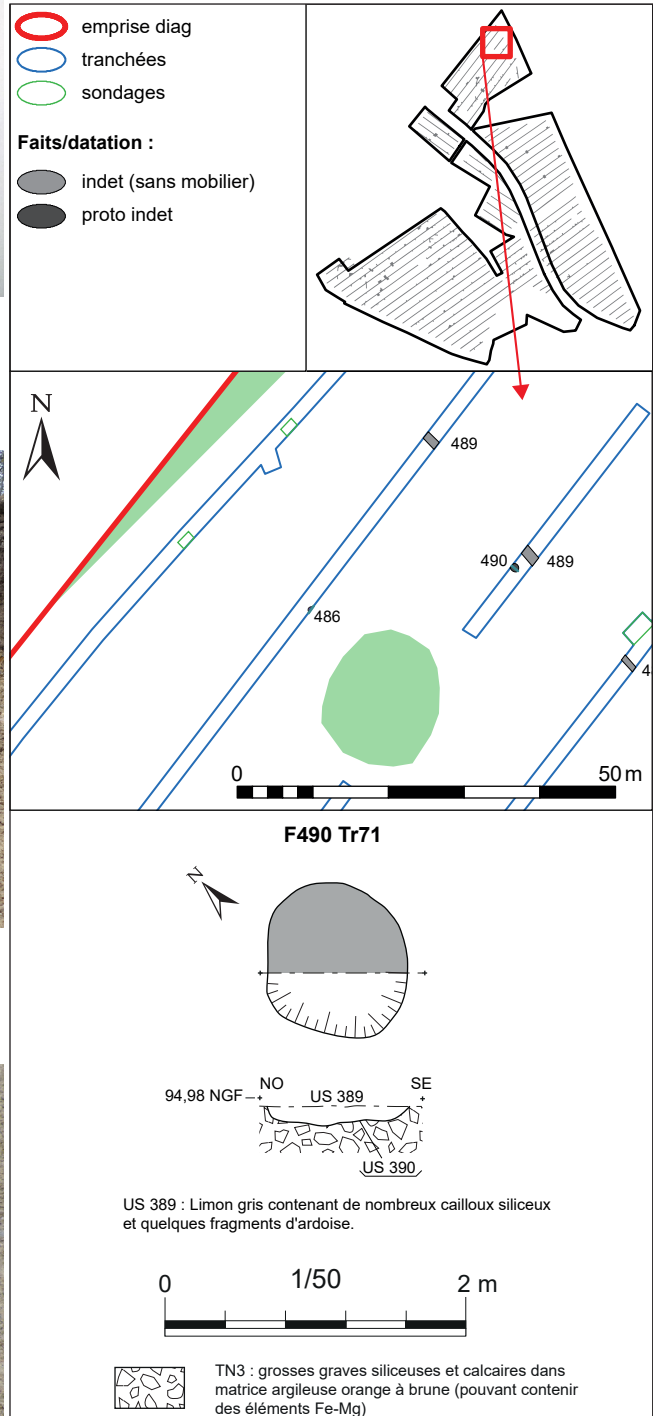


Figure 40 : Coupe de la fosse F490

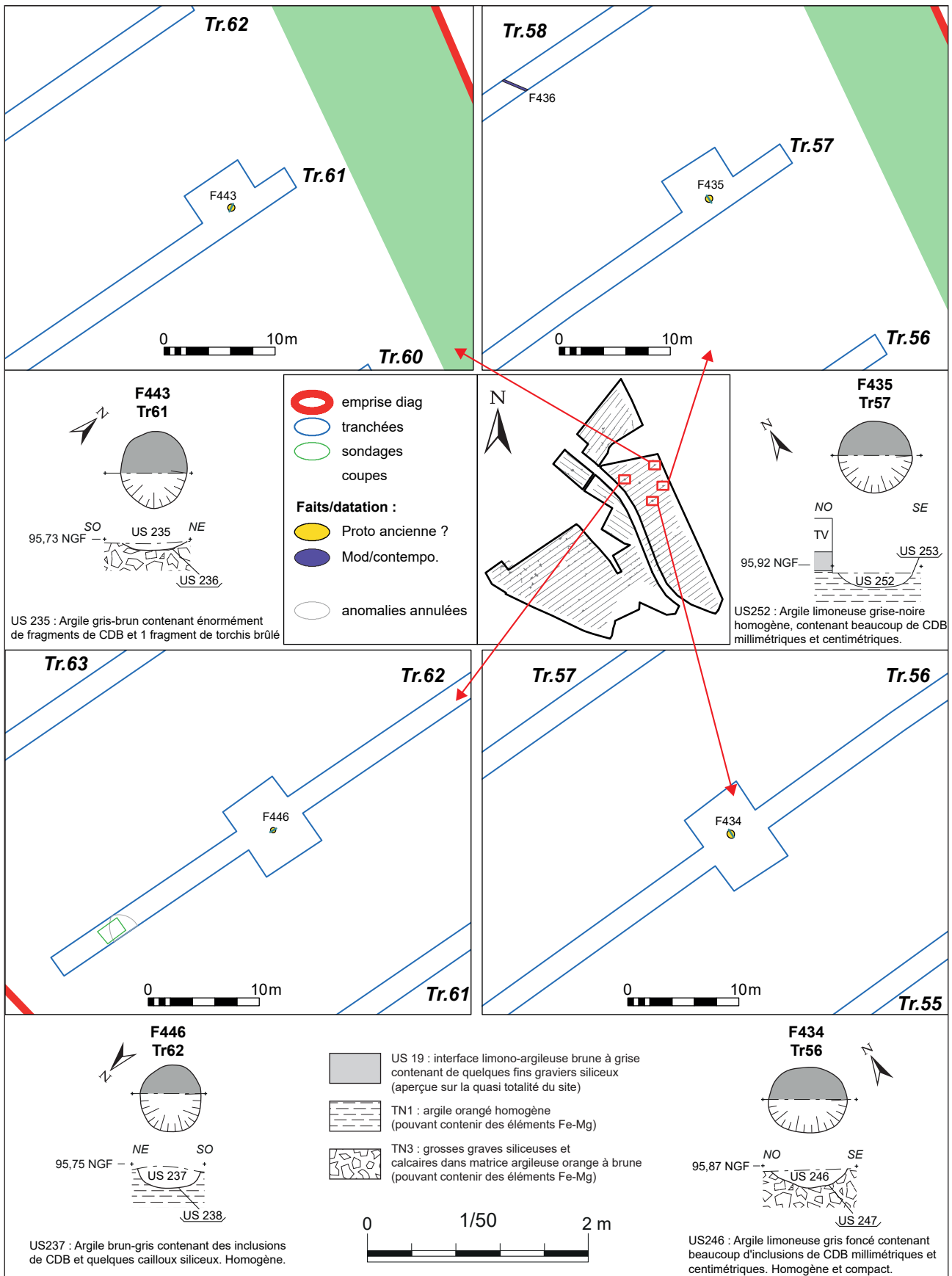


Figure 42 : Coupes des fosses probables de la Prothistoire ancienne du secteur nord-est du diagnostic

### 2.3.2. Une occupation (ouverte ?) de La Tène Moyen et Finale

Pour la protohistoire récente, les occupations mises au jour sont nettement plus concentrées dans la partie occidentale du diagnostic, dans les tranchées 1 à 7 (**fig. 43**). Celles-ci sont partiellement tronquées, ou masquées, par les vestiges postérieurs de la *villa* romaine. Ces vestiges appartiennent à la fois à La Tène Moyenne et à La Tène Finale. Ils se composent de plusieurs bâtiments sur poteaux, de fosses, mais également de découvertes mobilières effectuées au détecteur à métaux.

#### 2.3.2.1. Un bâtiment de La Tène Moyenne

Au nord-est de la tranchée 3, plusieurs trous de poteaux sont apparus, dans un secteur par ailleurs percé de plusieurs fossés postérieurs (**fig. 44**). Deux situés directement dans l'emprise de la tranchée ont été fouillés à 50% (F56 et F57). Le trou de poteau F56 apparaît le plus remarquable. Celui-ci est recoupé par une fosse postérieure qui a livré du mobilier gallo-romain (F497). De forme légèrement ovoïde l'avant trou mesure de 1,25 m de long sur 1,10 m de large. La profondeur de la structure atteint 46 cm sous la surface de décapage, et possède des bords asymétriques. La coupe effectuée dans ce trou de poteau permet de nettement distinguer le négatif de la pièce de bois, de 20 à 30 cm de diamètre (**fig. 45**). Une des parois de ce négatif, légèrement inclinée, pourrait indiquer l'arrachement de la pièce de bois, qui pourrait avoir eu lieu suite à un incendie. En effet, le remplissage du négatif était constitué en partie supérieure (US193) de limon gris rempli d'éléments calcinés (torchis, charbons, céramique). Le fond du négatif (US194), était en revanche comblée d'un limon très argileux gris-noir. Le bourrage du trou de poteau (US195) comportait des blocs de silex et de calcaire servant de calage.

La seconde structure, F57, apparaît en revanche comme un petit creusement de 60 cm de diamètre présentant un profil en cuvette à bords évasés et asymétriques, profond de 23 cm (**fig. 46**). Même s'il ne comportait pas de trace de négatif, il pourrait s'agir d'un petit poteau.

À la suite d'une extension permettant de confirmer la présence d'un bâtiment, deux autres creusements, non fouillés (F495 et F496), ont été

identifiés. Sensiblement du même gabarit que F56, il apparaît ainsi très probable que ces faits appartiennent au même ensemble. Les ouvertures pratiquées ne permettent pas de l'appréhender dans sa totalité. L'ensemble des structures permettent de supposer la présence d'un édifice composé de forts poteaux porteurs (F56, 495, 496), peut-être associé à des poteaux déportés de moindre gabarit (F57).

Les éléments de datations de ce très probable bâtiment sont de plusieurs ordres. D'une part, le trou de poteau F56 a livré un lot de 7 tessons d'une céramique non tournée à pâte noire, à gros dégraissant, dont un bord d'une jatte tronconique que l'expertise place à La Tène Moyenne (lots 86 et 191). Par ailleurs, un charbon de bois prélevé dans le négatif a été daté au radiocarbone, donnant une fourchette chronologique cohérente avec le mobilier céramique, entre 388 et 204 B.C. (95,4% de probabilité), avec peut-être une légère préférence pour le 3<sup>e</sup> s. av. J.-C. (316-204 B.C. à 70,3%, cf. **annexe 6**). Le petit trou de poteau F57 a en outre livré un tesson de céramique non tournée de la Protohistoire indéterminée (lot 5).

#### 2.3.2.2. Les bâtiments de La Tène Finale

Situés à quelques 150 m au sud-est, trois autres ensembles de trous de poteaux signalant la présence de bâtiments protohistoriques (avérés ou très probables) sont apparus dans les tranchées 5, 6 et 7 (**fig. 47 et 48**).

Celui de la tranchée 5, peut-être le moins bien identifié dans sa structure, est représenté par une concentration de 7 creusements circulaires de petits à moyens gabarits (F91, 92, 428 à 432). Seuls F91 et 429 ont été fouillés à 50%. De forme légèrement ovoïde, aux bords évasés, ils mesurent environ 40 cm de diamètre et sont profonds d'une vingtaine de centimètres (**fig. 49, 50 et 51**). Bien qu'ils ne possèdent pas de trace de négatifs avec leur comblement unique de limons brun-noir, comportant des nodules de charbons et de terre cuite, ils semblent néanmoins s'apparenter à des petits trous de poteaux. Ceux-ci pourraient donc fonctionner avec les autres poteaux du secteur appartenant un ou plusieurs bâtiments. Seul le

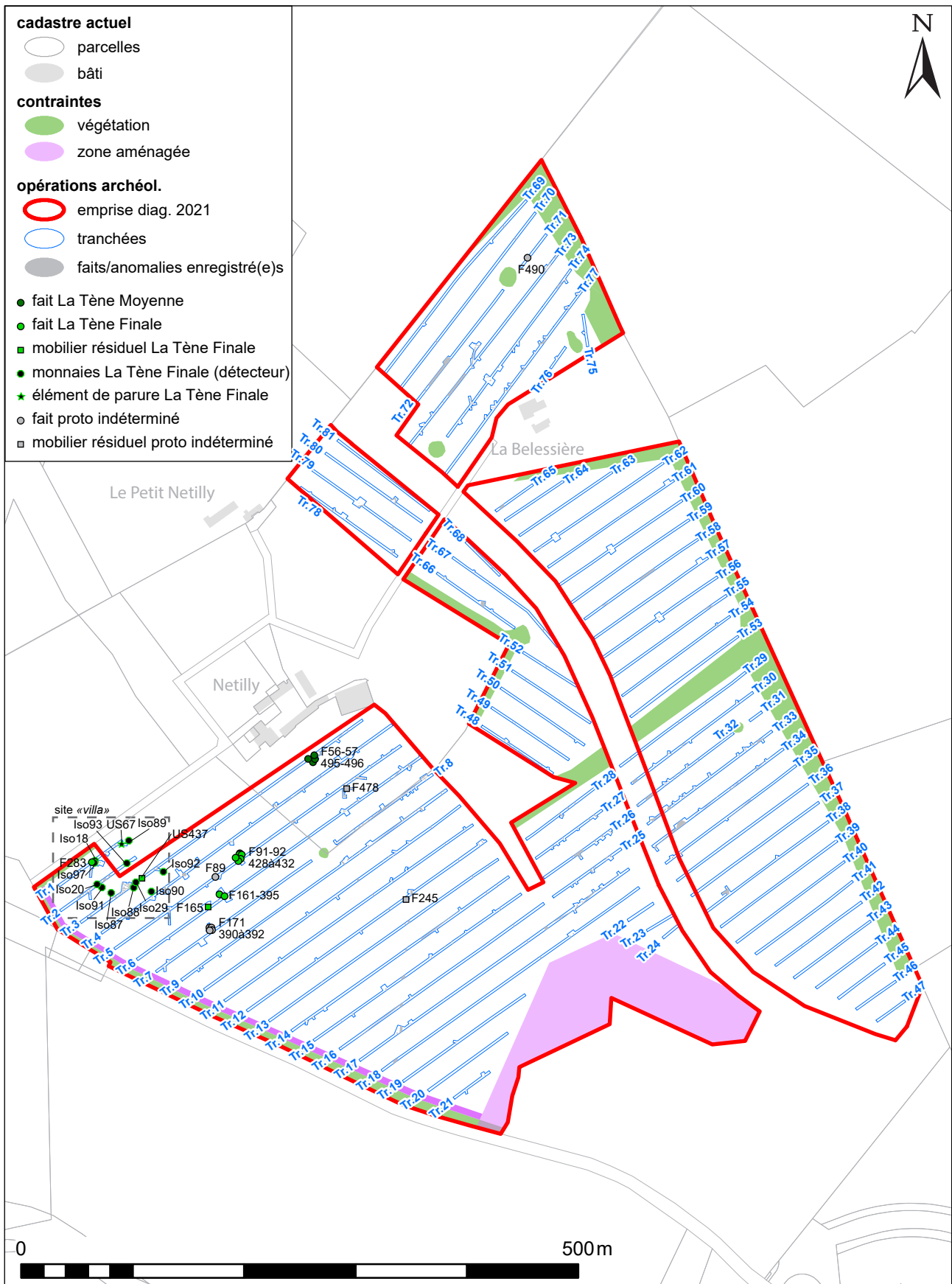


Figure 43 : Plan général de localisation des vestiges de la Protohistoire récente

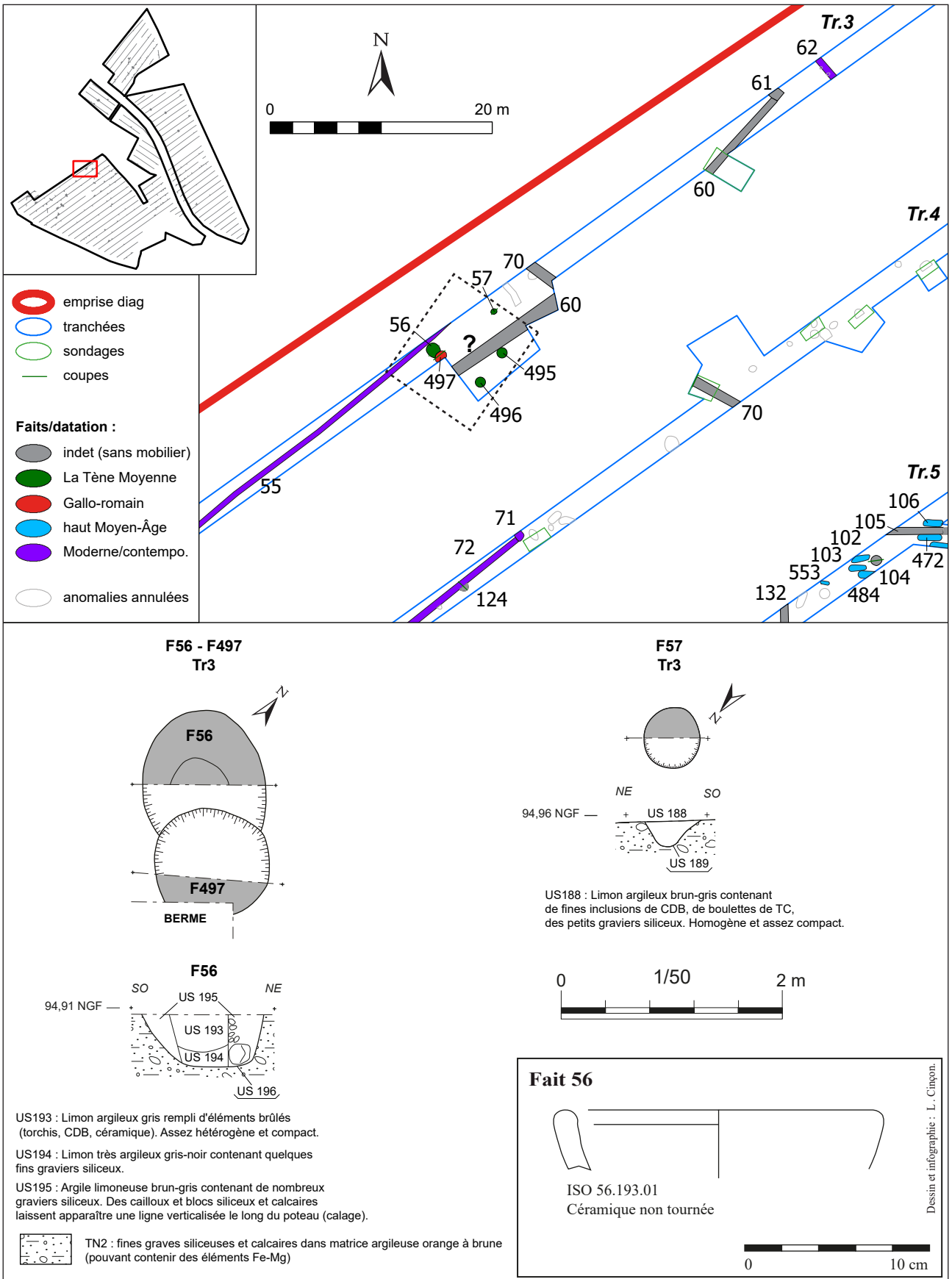


Figure 44 : Plan du bâtiment de La Tène Moyenne et coupes des trous de poteaux F56 et F57



Figure 45 : Photographie du trou de poteau F56



Figure 46 : Photographie du trou de poteau F57

trou de poteau F91 comportait 3 tessons de type Besançon, renvoyant donc certainement à La Tène Finale (lot 63).

Dans la tranchée 6 au moins deux gros trous de poteaux sont apparus (F161 et 395). Seul le fait F161 a été fouillé à 50 % (fig. 52). Il s'agit là d'un creusement de forme circulaire de 1,05 m

de diamètre pour 68 cm de profondeur (sous le décapage), présentant un profil en cuvette à bords relativement droits. Le comblement complexe, fait apparaître le négatif d'un poteau de 20 cm de diamètre qui aurait été arraché. Le comblement supérieur d'abandon de cette structure comportait quelques fragments de probables pesons (US 125, lot 192). Le négatif en lui-même (US 129) a livré quatre tessons de céramiques tournées communes sombres, dont un fragment de col de pot avec décor à baguettes, production courante au cours de La Tène D1 et qui tend à disparaître au cours de La Tène D2a (lot 83). La datation semble donc se resserrer autour de la seconde moitié du 2<sup>e</sup> s./ début du 1<sup>er</sup> s. av. J-C. Si les deux structures F161 et 395, de même gabarit en surface, semblent bien être deux trous de poteaux d'un même bâtiment, ceux-ci pourraient également fonctionner avec un troisième creusement, F162, quoique sans certitude en raison d'un léger décalage. Ce bâtiment pourrait tout aussi bien s'étendre vers le nord-est.

Enfin, le dernier bâtiment, celui de la tranchée 7, est quant à lui mieux cerné (fig. 53). Mis au jour

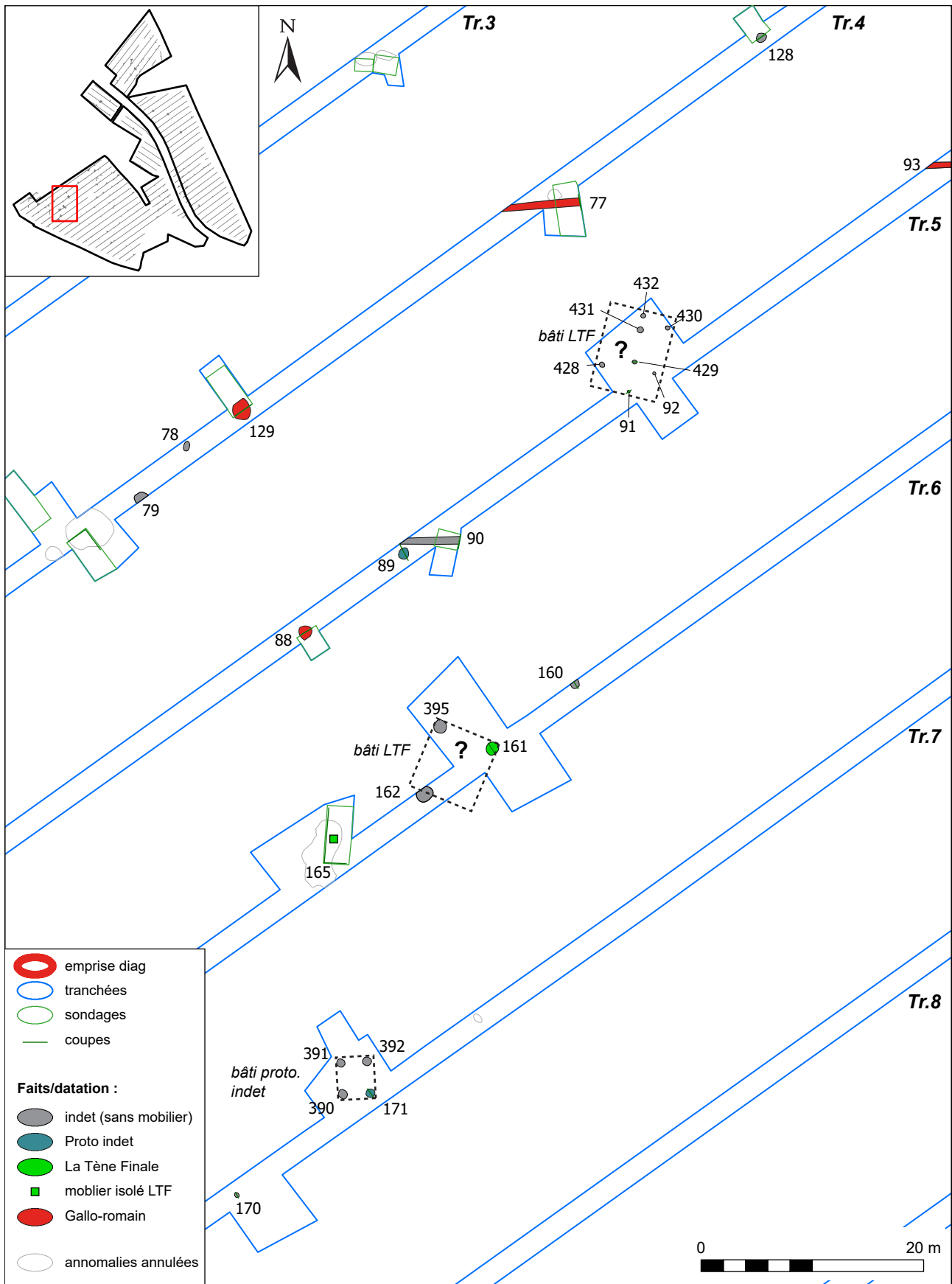


Figure 47 : Plan de détail des ensembles de trous de poteaux de La Tène Finale des tranchées 5 à 7

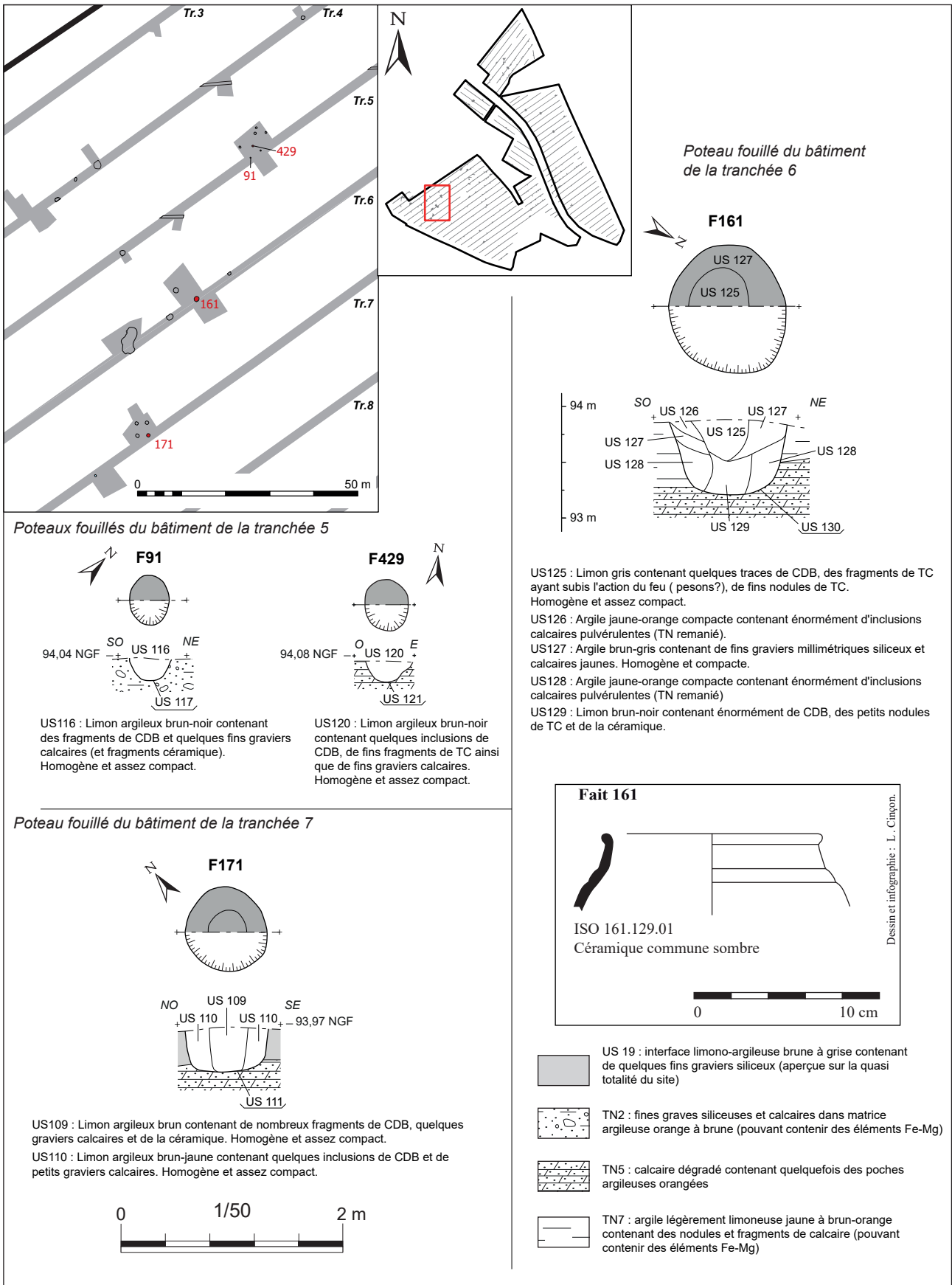


Figure 48 : Coupes des trous de poteaux fouillés des bâtiments de La Tène Finale





Figure 49 : Ensemble de trous de poteaux de la tranchée 5



Figure 50 : Photographie du trou de poteau F91



Figure 51 : Photographie du trou de poteau F429



Figure 52 : Photographie du trou de poteau F161, tranchée 6



Figure 53 : Photographie du bâtiment sur quatre poteaux de la tranchée 7



Figure 54 : Photographie du trou de poteau F171, tranchée 7

en totalité à l'aide d'une extension, il s'agit d'un bâtiment sur quatre poteaux (F171, 390, 392 et 392) formant un carré d'environ 3 m de côté, et qui s'apparente donc à un grenier surélevé. Le trou de poteau F171, lui aussi fouillé à 50 %, possède un gabarit honorable de 70 cm de diamètre pour l'avant trou, pour 40 cm de profondeur (fig. 54). Sa coupe fait clairement apparaître un négatif entre 15 et 18 cm de diamètre. Ce dernier comportait deux tessons de céramique non tournée, de datation protohistorique indéterminée. Son appartenance à La Tène Finale n'est donc pas assurée. Cependant, la proximité des deux autres bâtiments, notamment celui de la tranchée 6 situé 30 m au nord-est, et quelques autres indices mobiliers isolés ou redéposés du secteur (que nous détaillerons plus loin), font pencher la balance vers son attribution à cette même période de La Tène Finale.

### 2.3.2.3. Les fosses

Dans le même secteur, celui des tranchées 1 à 7, deux autres creusements, classés dans les « fosses indéterminées », appartiennent probablement à cette même période de la Protohistoire récente (fig. 55). Nous évoquerons en premier lieu le fait F89, situé tranchée 6, environ 25 m au sud-ouest du probable bâtiment de cette même tranchée décrit plus haut (fig. 56). Il s'agit d'une fosse de forme subcirculaire d'un mètre de diamètre environ et profond de 24 cm, présentant un profil en cuvette et aux parois (arasées) légèrement asymétriques. Son comblement unique et homogène de limon brun foncé, comportait deux tessons de céramique non tournées de la Protohistoire indéterminée (lot 15). Là encore sa proximité avec les bâtiments semble toutefois plaider pour une appartenance à La Tène.

L'autre fosse que nous décrirons ici est mieux datée. Sa localisation, en outre, est intéressante : celle-ci se situe dans la tranchée 1, c'est-à-dire au cœur du secteur de la *villa* (fig. 57). Il s'agit de la fosse F283, qui est apparue lors d'un sondage manuel au droit d'un mur (F6). Celle-ci apparaît clairement, d'un point de vue stratigraphique, sous les niveaux de construction et d'occupation gallo-romains (US24). Sa partie dégagée apparaît de forme oblongue au creusement assez diffus, présentant un profil en cuvette à bords très évasés, profonde

d'une quinzaine de centimètres. Son comblement unique renfermait un seul tesson, mais celui-ci est un bord de gobelet tonnelet en céramique commune sombre, renvoyant clairement à La Tène D1 (seconde moitié du 2<sup>e</sup> s./début du 1<sup>er</sup> s. av. J.-C.). Cette fosse apparaît ainsi dans le secteur de la *villa*, qui, comme nous allons le voir, a par ailleurs livré un nombre significatif d'objets isolés ou redéposés de la Tène Finale. Il est donc très probable que l'occupation de cette période, matérialisée surtout par les bâtiments sur poteaux que nous avons décrits plus haut, s'étende plus largement sous les vestiges gallo-romains postérieurs, l'ayant tronquée ou masquée.

Signalons également que dans l'ensemble de cette zone des tranchées 1 à 7, un certain nombre de fosses non fouillées<sup>10</sup>, ou bien fouillées mais n'ayant pas livré de mobilier<sup>11</sup>, pourrait appartenir à la Protohistoire récente (ou bien à la période romaine, très représentées dans ce secteur).

### 2.3.2.4. Le mobilier redéposé ou isolé

Ce même secteur a livré une quantité significative de mobilier de La Tène Finale, en position secondaire (fig. 43). Ils sont de deux ordres : le mobilier redéposé dans les contextes stratigraphiques postérieurs de la *villa* et le mobilier isolé découvert au détecteur à métaux, essentiellement dans les tas de déblais et la terre végétale entre les tranchées.

Concernant le mobilier redéposé, précisons d'emblée que l'étude de la céramique du secteur de la *villa*, démontre parfaitement que le site ne cesse d'être occupé entre La Tène Finale et l'époque romaine. De ce fait, un grand nombre de tessons de céramiques mais aussi d'amphores italiques mis au jour dans ce secteur, appartiennent à des productions qui circulent aussi bien durant La Tène Finale qu'au tout début de l'époque romaine (dit « gallo-romain précoce »). Nous renvoyons à l'étude de Laureline Cinçon et à son inventaire détaillé (annexe 1), afin d'en avoir la liste exhaustive.

<sup>10</sup> F2 et F4 tranchée 1 ; F14, F16, F17, F18, F19 à F21 et F399, tranchée 2 ; F45, tranchée 3 ; F78 et F79, tranchée 4 ; F166 tranchée 6.

<sup>11</sup> F7, tranchée 1 ; F22 et F27 tranchée 2 ; F45, tranchée 3 ; F84, tranchée 4 ; F86, tranchée 5 ; F160, tranchée 6 ; F170, tranchée 7. Ces faits seront présentés plus loin.

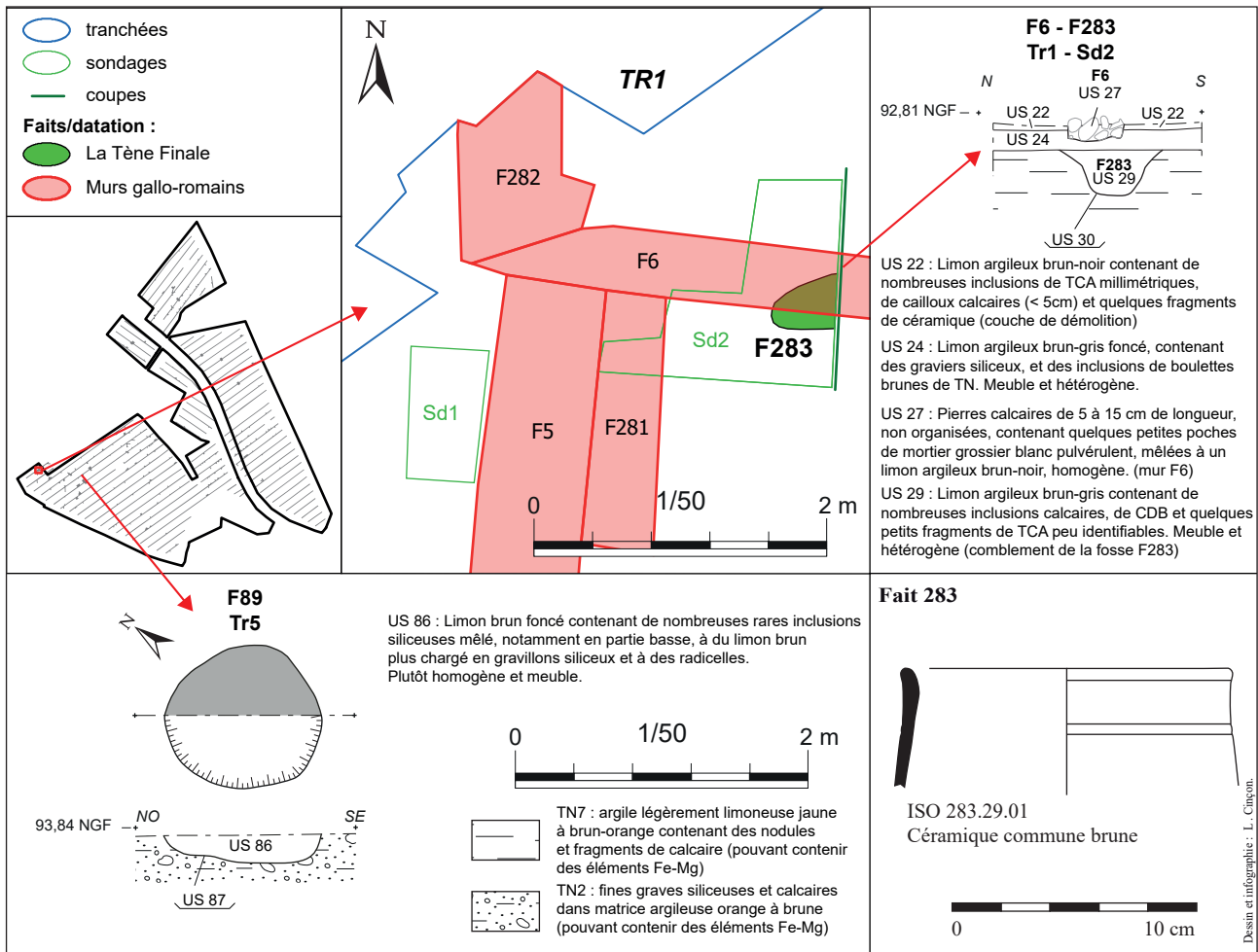


Figure 55 : Plan et coupes des fosses indéterminées de La Tène en tranchées 1 et 5



Figure 56 : Photographie de la fosse F89



Figure 57 : Photographie de la fosse F283, sous les murs gallo-romains

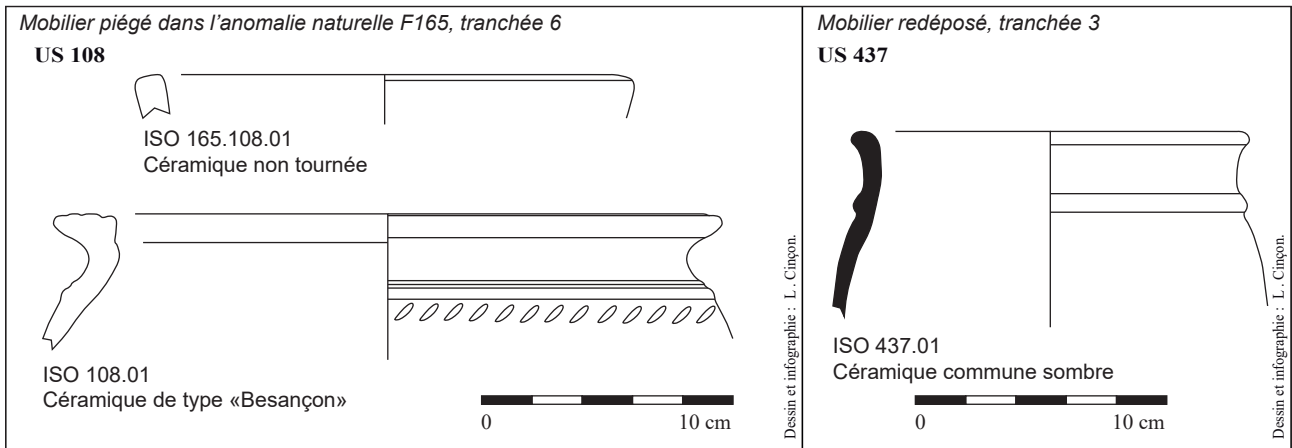


Figure 58 : Mobilier céramique redéposé de La Tène Finale des tranchées 3 et 6 (F165)

Un lot toutefois se détache : celui de l'US437 (tranchée 3). Ce numéro d'US a été donné spécifiquement pour un ramassage de mobilier mis au jour au décapage, dans la nappe de limon brun-gris à l'interface avec le substrat au nord du mur gallo-romain F40, sans structure apparente (lot 74). Or ce lot de cinq tessons comporte, outre deux tessons non tournés et deux tessons de céramique commune sombre enfumée, un bord de pot de céramique commune sombre à décor à baguette datable de la Tène D1 (seconde moitié du 2<sup>e</sup> s./début du 1<sup>er</sup> s. av. J-C., [fig. 58](#)). Enfin, toujours concernant le mobilier redéposé dans le contexte de la villa, on notera, dans l'US67 de la tranchée 1<sup>12</sup>, un fragment de bracelet en lignite, objet circulant essentiellement au cours de la Tène C et D. (lot 320, [fig. 59](#)).

Par ailleurs, nous avons déjà évoqué dans la partie consacrée aux anomalies naturelles (cf. *supra* chap. 2.1), la présence d'une vaste dépression F165, située une dizaine de mètres au sud-ouest du bâtiment de la tranchée 5, ayant « piégé » 14 tessons attribuables à La Tène Finale (lots 44 et 190). On notera particulièrement un bord de jatte tronconique en céramique non tournée, et un bord petite jarre à lèvres plate moulurée de type Besançon renvoyant également à La Tène D1 (150/60 av. J-C., [fig. 58](#)).

Le mobilier « isolé » concerne un lot de 11 monnaies mises au jour au détecteur à métaux



Figure 59 : Fragments de bracelet en lignite mis au jour en contexte redéposé de la tranchée 1

dans le secteur de la villa (isolats 18, 20, 29, 87 à 93 et 97 ; lots 200 à 210 et 214, cf. [fig. 43](#) et étude des monnaies de Murielle Troubaday en [annexe 3](#)). Parmi celles-ci, se trouvent 8 potins « à la tête diabolique », production classique de la cité des

<sup>12</sup> Couche d'occupation en lien avec la villa, enregistrée dans le sondage 3, tranchée 1.

Turons, dont un porte nettement deux coups au revers, marque d'un « sacrifice » (lot 208, iso 93, **fig. 60**). On dénombre également trois monnaies en argent : une production locale (« Argent, à la cavalière », DT 2036-2037, lot 200, iso 87, **fig. 61**) ; une production indéterminée (très usé, fraction illisible, une tête à droite casquée avec mèches longues dans le cou est tout de même discernable au droit, lot 214, iso 97) ; enfin, une production romaine (Argent, quinaire RRC 332/1c de la famille CLOULIA, lot 201, iso 88). Seule cette dernière possède une date de frappe précise : 98 av. J.-C. En revanche, le reste des monnaies a été produit et circule en Touraine tout au long du 1<sup>er</sup> s. av. J.-C. et au cours de la première moitié du 1<sup>er</sup> s. ap. J.-C. Tout comme pour la céramique datable de La Tène Finale ou de l'époque « gallo-romaine précoce », un doute subsiste si ces objets appartiennent au contexte des occupations clairement attribuables à La Tène D, ou bien aux premières occupations de la *villa*.

Quoiqu'il en soit, ce mobilier redéposé ou isolé dénote un important bruit de fond d'époque gauloise dans le secteur de la *villa*. Celui-ci, avec la fosse F283, vient confirmer que l'occupation de La

Tène Finale s'étend très certainement dans cette zone recouverte de vestiges d'époque romaine.

De manière plus anecdotique, on relèvera également la présence de deux tessons redéposés dans deux faits postérieurs, mis au jour de manière plus isolée au sein du diagnostic (hors de l'occupation bien cernée de La Tène décrite plus haut). Il s'agit de deux tessons de céramique non tournée de la « Protohistoire indéterminée », ramassés dans les faits F478, tranchée 5<sup>13</sup> (lot 154) et F245, tranchée 12<sup>14</sup> (lot 6).

### 2.3.2.5. Éléments de synthèse

En résumé, les occupations de la Protohistoire récente se composent :

- des vestiges d'un bâtiment sur poteaux daté La Tène Moyenne au nord-est de la tranchée 3 ;
- des vestiges d'une occupation de La Tène D qui couvre un peu plus d'un hectare à l'ouest des tranchées 1 à 7, matérialisée par les traces d'au moins trois bâtiments sur poteaux, des fosses, et



**Figure 60** : Potin «à la tête diabolique» sacrifié (lot 208)

<sup>13</sup> Sépulture de la nécropole du haut Moyen-Âge.

<sup>14</sup> Fossé d'époque romaine.



**Figure 61** : Monnaie d'argent «à la cavalière» DT 2036-2037 (lot 200)

la présence d'un abondant mobilier en position secondaire.

En termes de chronologie il ne semble pas qu'il y ait une continuité entre le bâtiment de La Tène Moyenne (daté des 4<sup>e</sup>-3<sup>e</sup> av. J.-C.) et l'occupation de La Tène D (seconde moitié du 2<sup>e</sup>-1<sup>er</sup> s. av. J.-C.). Topographiquement, le bâtiment de La Tène Moyenne semble par ailleurs isolé par rapport à l'occupation plutôt attribuable à La Tène Finale – ou tout du moins pourrait-il appartenir à un petit site s'étendant quelque peu hors emprise vers le nord<sup>15</sup>. Cette observation doit être somme toute pondérée, dans la mesure où : d'une part on rappelle qu'une fosse de la tranchée 6 (F89) et le bâtiment (grenier sur quatre poteaux) de la tranchée 7, restent datés sommairement de la « Protohistoire » ; d'autre part, ces observations réalisées dans le cadre de l'exercice du diagnostic restent nécessairement lacunaires. Cette discontinuité spatiale et chronologique entre l'occupation de La Tène Moyenne et celle de La Tène Finale ne pourrait naturellement être confirmées que par une fouille extensive.

Toutefois, si l'occupation de La Tène Moyenne est bien « isolée » et peu étendue, alors elle s'apparenterait au même type d'occupation mise au jour à quelques 500 m au sud-ouest, sur le site de la « Longue-Plaine » fouillé en 2001, où seul une « nébuleuses de trous de poteaux », parmi lesquels un seul grenier était identifiable (Champagne 2001). S'agit-il de petites unités d'habitats ou bien de satellites à vocation agraire d'une occupation plus importante ? la question reste ouverte.

A propos de l'occupation de La Tène Finale, on notera tout d'abord que les parcelles diagnostiquées immédiatement à l'ouest et au sud-ouest, lors du projet LGV, n'ont livré aucun vestige de cette époque (Bouillon 2012). L'emprise de cette occupation semble donc avoir été reconnue dans la quasi-totalité de son étendue. Même si elle est mieux représentée en termes de bâtiments, quelques caractéristiques se dégagent cependant. En premier lieu, on relève l'absence d'éléments structurants, qu'ils soient de type enclos fossoyé, ou même de

fossé parcellaire (les quelques fossés du secteur ayant presque tous livré du mobilier romain). Certes une grande partie de cette occupation est oblitérée et/ou masquée par l'occupation postérieure de la *villa*. Cependant, une bonne partie des tranchées effectuées entre les grands ensembles de maçonneries romaines ont bien atteint le substrat, et il semble ainsi peu probable que ce genre d'élément structurant linéaire, s'ils sont présents, n'ait pas été perçus au moins partiellement. On admettra tout de même que cela reste possible, là encore, l'exercice du diagnostic n'étant pas infaillible. Sous réserve d'une vérification par la fouille, ce site semble ainsi vraisemblablement ouvert.

La découverte d'un assemblage de mobilier atypique pose également la question du statut de cet établissement. Cette problématique est notamment soulevée par M. Troubadou dans son étude de la série des 11 monnaies, qui lui font dire que le site a une fonction au moins en partie d'ordre cultuelle. En effet, d'une part, il apparaît peu fréquent de mettre au jour une telle quantité de monnaies dans un site d'habitat rural classique – d'autant plus dans le cadre d'une opération de diagnostic. D'autre part, elle constate que les monnaies d'argent « à la cavalière » ainsi que la présence d'une monnaie « sacrifiée », ne se trouvent habituellement chez les Turons qu'en contexte de sanctuaire. On peut en outre ajouter à cet assemblage singulier, la découverte du fragment de bracelet en lignite, non fréquemment découvert en contexte d'habitat ruraux, ainsi que la présence d'éléments de céramiques de présentation de qualité (pots à décors) et d'une douzaine de tessons d'amphores italiennes. La présence de ce mobilier amène à se demander si cette occupation, précédant l'évolution vers la *villa*, est simplement un habitat ouvert possédant un riche mobilier, ou bien s'il témoigne du développement d'un petit sanctuaire en marge de sites d'habitats plus classiques dont on connaît l'existence très proche, telles que les grandes fermes à enclos mises au jour à quelques 700 m au nord (De Mauraige 2009, Godignon 2017), et 500 m au nord-est (Bouillon 2012), ou encore de l'habitat ouvert à vocation agro-pastorale fouillé en 2012, seulement 250 m à l'ouest (Jouaneau-Bigot 2013) ? Là encore seule une fouille plus extensive et intégrale du gisement permettrait d'y répondre.

<sup>15</sup> Sur ce point, on notera que le diagnostic réalisé par J. Bouillon pour le projet LGV n'a livré aucune trace d'occupation de La Tène, ce qui laisse peu de place à l'extension du site.

## 2.4. L'ÉPOQUE ROMAINE : UNE VILLA ET SON DOMAINE D'EXPLOITATION ?

Avec ses quelques 94 faits pouvant être attribués directement ou indirectement à la période Antique, celle-ci est de loin la mieux représentée dans l'emprise du diagnostic (fig. 62). Les découvertes révèlent deux sites bien caractérisés. En premier lieu une *villa*, qui était attendue en raison de la photographie satellite (cf. fig. *supra* chap. 1.6.2.4, et

fig. 16). En second lieu, à quelques 500m au nord-ouest, un site à vocation artisanale a été identifié, plus précisément dédié à la métallurgie du fer. Enfin, les indices mis au jour suggèrent la présence d'un chemin et d'un réseau parcellaire, ainsi que quelques éléments isolés (structures en creux, mobilier).

### 2.4.1. Le site de la villa de « Netilly »

L'établissement rural antique mis au jour se développe dans la partie occidentale de l'emprise diagnostiquée sur une surface de 6 500 m<sup>2</sup> environ, dans les tranchées 1 à 5 (fig. 63 et 64). Il se caractérise par un important ensemble bâti clos d'un mur et de structures en creux, le tout enclos d'un fossé.

#### 2.4.1.1. Stratégie et méthode d'évaluation

Afin d'appréhender ce site déjà partiellement perçu par la photographie satellite, il a été décidé, en accord avec le conservateur du SRA en charge du suivi scientifique du chantier, de pratiquer un nombre limité d'extensions. Celles-ci ont toutefois été un peu plus importantes dans la tranchée 1, dans la mesure où cette partie bâtie de la *villa* n'apparaissait pas sur la photographie satellite. Dans la tranchée 2, seule une petite extension a été pratiquée pour vérifier le retour d'une maçonnerie (F5/F572). Dans la tranchée 3 une fenêtre d'une soixantaine de mètres carrés a été réalisée au cœur des éléments bâtis afin d'en évaluer la conservation et la complexité. Enfin dans les tranchées 4 et 5, quelques extensions ont été réalisées afin de sonder les fossés et vérifier leur connexion.

Dans l'emprise de l'ensemble bâti, le décapage est volontairement resté assez haut, au sommet des arases et des niveaux de démolition ou d'occupation, tandis qu'il est systématiquement descendu jusqu'au substrat dans les zones dépourvues de murs. Afin de limiter l'atteinte au site, aucun sondage mécanique n'a été pratiqué dans les structures bâties. En revanche, un nettoyage manuel quasi systématique des éléments en surface a été effectué. Seuls sept micro sondages manuels (numérotés de 1 à 7), ont

été réalisés au droit de certains murs, afin d'évaluer la stratigraphie présente, de mesurer le degré de conservation du gisement, et de prélever du mobilier en contexte. Quelques photogrammétriques ont également été réalisées sur les ensembles bâtis dégagés, afin d'en dresser des plans précis.

Enfin, trois passages du détecteur à métaux ont été effectués<sup>16</sup>. Deux en cours de diagnostic, qui se sont essentiellement concentrés sur les tas de déblais et les espaces compris entre les tranchées, et dans une moindre mesure, dans l'emprise des ouvertures. Dans ce dernier cas, seuls les niveaux de démolition ont été soumis à la prospection et au ramassage des objets. Le dernier passage a été effectué après le rebouchage des tranchées, afin de prospecter sous les tas de déblais.

#### 2.4.1.2. Les fossés

L'ensemble des éléments de cet établissement apparaissent inscrits dans un enclos fossoyé. Celui-ci a été identifié sur deux côtés : à l'est avec un fossé orienté nord/sud reconnu sur une soixantaine de mètres de long, composé des faits F50 (tranchée 3), F81 (tranchée 4) et F87 (tranchée 5) ; et au sud avec un second fossé orienté est-ouest reconnu sur 80 m de long, composé des faits F29 (tranchées 3 et 4) ; et F85 (tranchée 5). Une extension pratiquée dans la tranchée 5 a permis de vérifier la connexion de ces deux éléments, qui forment donc l'angle sud-est

<sup>16</sup> Par Thomas Boucher dans le cadre d'une prestation de 3 jours, également auteur de l'étude du petit mobilier du diagnostic.



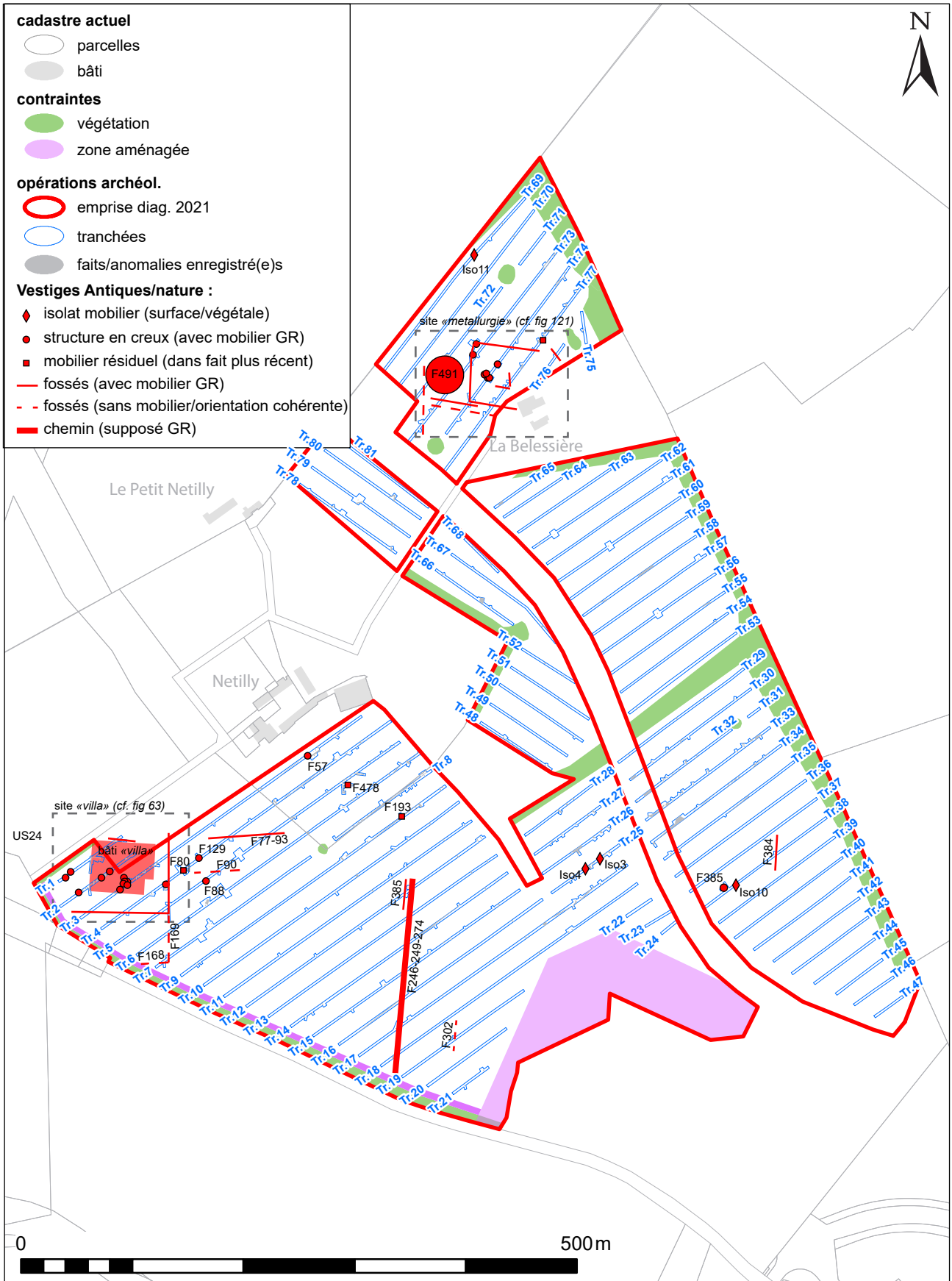


Figure 62 : Plan général de localisation des vestiges de l'époque romaine



Figure 63 : Plan de détail du site de la villa des tranchées 1 à 5 par type de structures

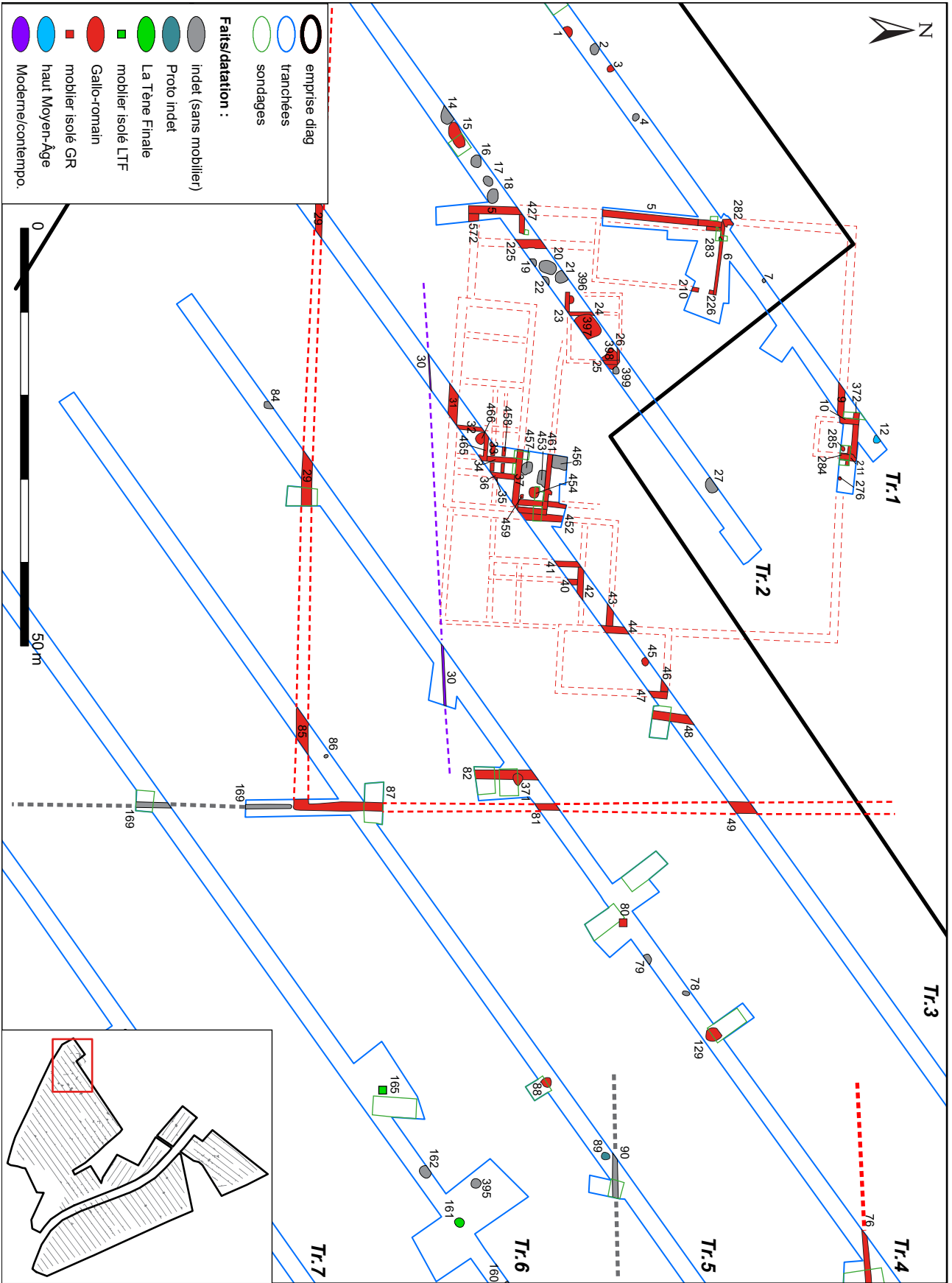


Figure 64 : Plan phasé des vestiges du secteur de la villa

d'un enclos s'étendant plus largement hors emprise à l'ouest et au nord.

Deux sondages mécaniques ont été réalisés dans ces fossés (fig. 65, 66 et 67). Le premier dans la tranchée 4 pour le fossé méridional, et le second dans la tranchée 5 pour le fossé oriental. Les deux coupes réalisées montrent des profils similaires, en V, au fond en cuvette. Avec des largeurs de 1,30 m à 1,40 m à l'ouverture et une profondeur conservée de 75 à 80 cm, ces deux fossés présentent également des gabarits semblables, confirmant qu'il s'agit bien d'un même enclos. Leur comblement apparaît peu complexe et ne témoigne pas de recouvrement, mais probablement toutefois d'un colmatage relativement progressif (dépôts de limons triés au fond : US46-47 et US52 ; et complements plus massifs en surface : US45 et 51).

Le mobilier contenu dans les complements terminaux de ces fossés est peu abondant. Le sondage du fait F87 a permis de recueillir trois tessons datables du Haut-Empire au sens large (lot 118) et trois fragments de *tegulae* (lot 135) ; la surface du fossé F85 a livré 3 tessons de la période gallo-romaine précoce (lot 117) et quatre fragments de *tegulae* et d'*imbrex* (lot 144) ; enfin le sondage dans le fossé F29, trois fragments de *tegulae* et d'*imbrex* (lot 125) et une emboiture de canalisation en plomb (lot 290). Si ces données permettent d'assurer son attribution à la période romaine, et donc au moins

en partie avec les éléments bâtis de l'établissement, leur faible nombre ne permet pas de spécifier s'il a fonctionné tout au long de l'occupation (dont nous verrons qu'elle s'étale probablement jusqu'au 4<sup>e</sup> s.), ou bien s'il a été comblé avant, dès les 1<sup>er</sup>-2<sup>e</sup> s., et fonctionne donc plutôt seulement avec les premières phases bâties de la *villa*.

A ce titre, signalons qu'un troisième fossé a été très partiellement perçu. Il s'agit du fait F372, reconnu dans les sondages manuels 3, 4 et 5, effectué à l'extrémité nord-est de la tranchée 1 (fig. 68 et 69 et *infra* fig.75). Or, cette petite portion de fossé orienté est-ouest, identifié sur une section de quelques mètres, est antérieure à la construction des murs F10, F11 et F284. Avec son profil à fond plat, sa largeur de 82 cm et conservé sur 26 cm de profondeur, il semble différent des fossés d'enclos décrits plus haut. Le comblement de ce fossé, pourtant très peu fouillé, a en outre livré un abondant mobilier : 21 tessons de poteries (lots, 40, 62 et 109) et 4 d'amphores italiques (lot 55), dont l'étude de l'assemblage semble caler son fonctionnement/comblement au tournant de notre ère (-15/20 ap.)<sup>17</sup>.

Si l'on ne peut spécifier si ce fossé F372 a pu fonctionner avec les fossés d'enclos, sa présence

<sup>17</sup> A cela s'ajoute 23 fragments de faune (lots 165 et 166).



Figure 65 : Photographie de la coupe du fossé F87, tranchée 6



Figure 66 : Photographie de la coupe du fossé F29, tranchée 4

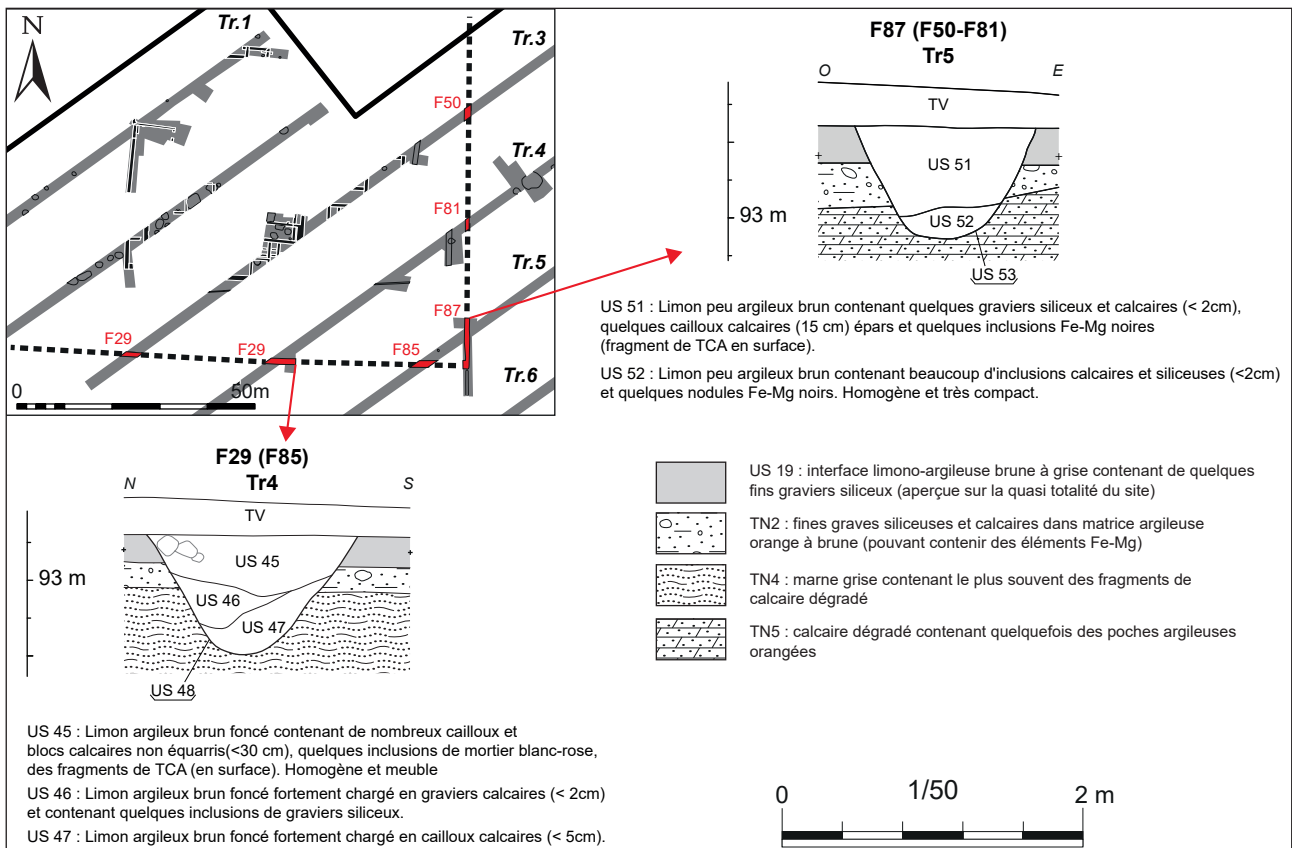


Figure 67 : Coupes des fossés de l'enclos F29 et F87



Figure 68 : Photographie zénithale des sondages 3 et 5, tranchée 1. Au fond, le fossé F372



Figure 69 : Photographie de la coupe du fossé F372 dans le sondage 4, tranchée 1

témoigne toutefois d'un partitionnement de l'espace dès l'époque gallo-romaine précoce, antérieurement à l'édification des éléments bâtis.

### 2.4.1.3. Les éléments bâtis

Les structures bâties ont été rencontrées uniquement dans les tranchées 1 à 3 (fig. 63). Elles sont représentées par 29 murs et une dizaine de tranchées de récupérations. Les ouvertures, extensions et relevés systématiques, couplés à la confrontation du plan avec la photographie satellite, permet de bien circonscrire l'emprise de ces constructions (fig. 70). Elles s'étalent sur une surface estimée à 2500 m<sup>2</sup> environ, pratiquement entièrement contenue dans l'emprise diagnostiquée, à l'exception de l'angle nord-est. Les nettoyages et sondages manuels ont en outre

permis d'en évaluer la complexité stratigraphique et d'identifier plusieurs phases de construction.

### Etat de conservation et stratigraphie générale

Globalement, les murs apparaissent tous installés dans un niveau anthropisé surmontant le substrat, constitué de limons argileux brun-gris, contenant des graviers calcaires, des nodules de terre-cuite, de charbons. Ce niveau a été enregistré sous plusieurs numéros en fonction des sondages pratiqués : US24 dans les sondages 1 et 2, tranchée 1 (fig. 71, 73 et 74) ; US16 et 67 dans les sondages 3 à 5, tranchée 1 (fig. 75 et 79) ; US5/6 dans le sondage 6, tranchée 2 (fig. 80 et 81) ; US206/207 dans les sondages 7 et 8, tranchée 3 (fig. 82, 86 et 87) ; et US383 dans les sondages 9 et 10, tranchée 3 (fig. 82, 88, 89).



Figure 70 : Confrontation de la photographie satellite géoréférencée et des vestiges de murs repérés dans les tranchées 1 à 3

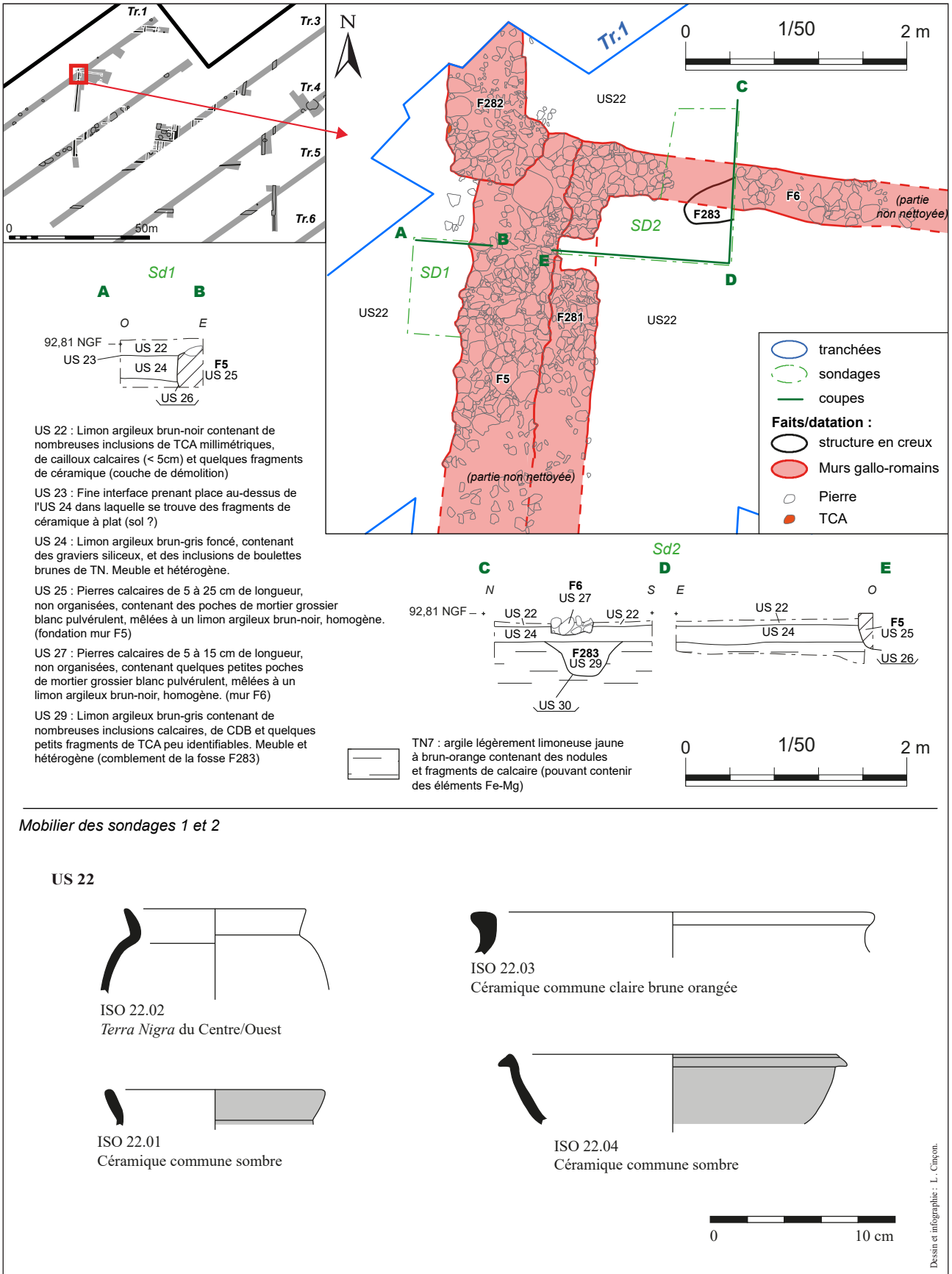


Figure 71 : Plan coupes et mobilier des sondages 1 et 2, tranchée 1



Figure 72 : Ortho-photographie de la zone des sondages 1 et 2, tranchée 1



Figure 73 : Photographie de la coupe AB du sondage 1

Figure 74 : Photographie de la coupe CD du sondage 2









Figure 76 : Ortho-photographie de la zone des sondages 3, 4 et 5, tranchée 1

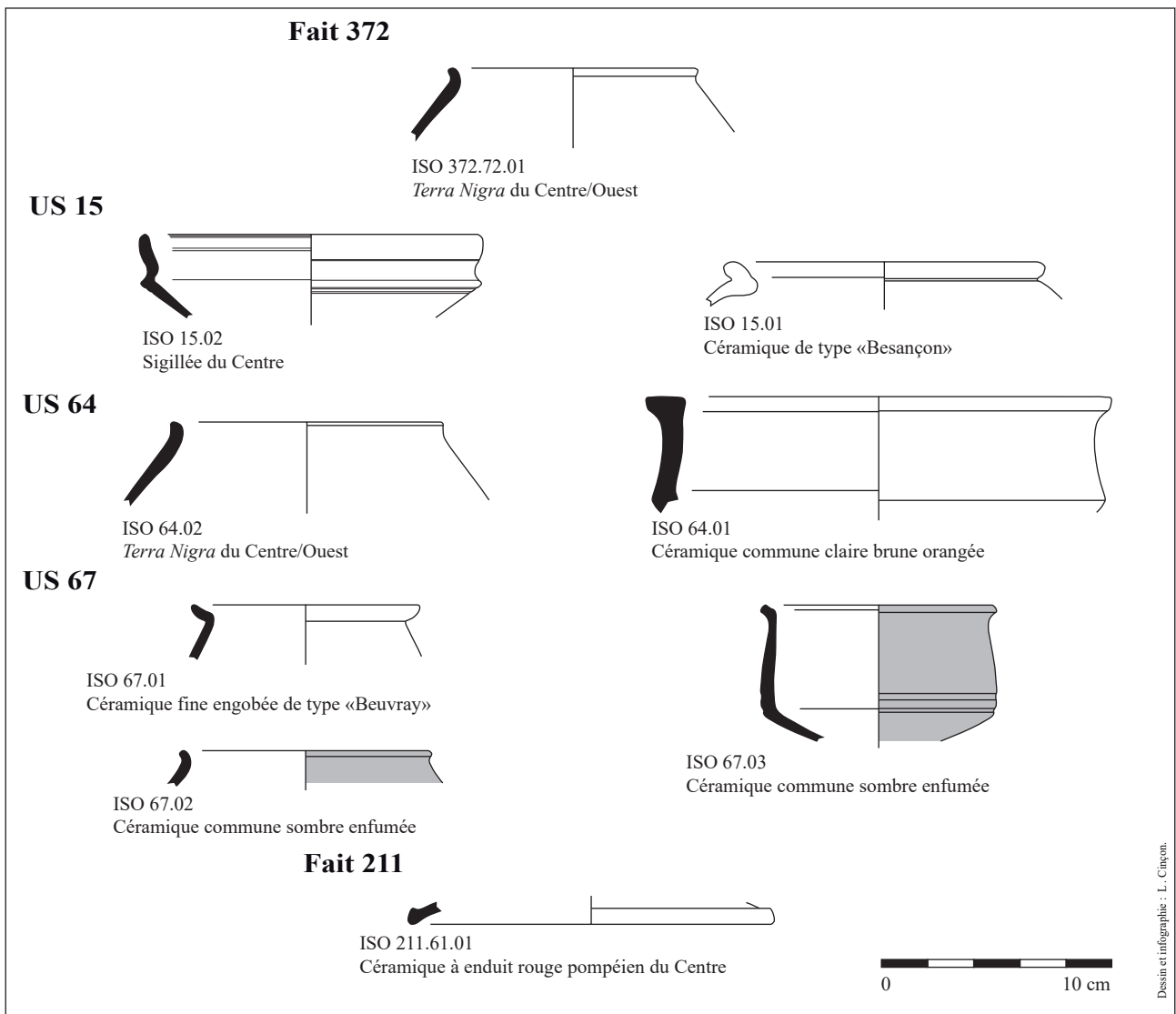


Figure 77 : mobilier des sondages 3, 4 et 5, tranchée 1, planche 1

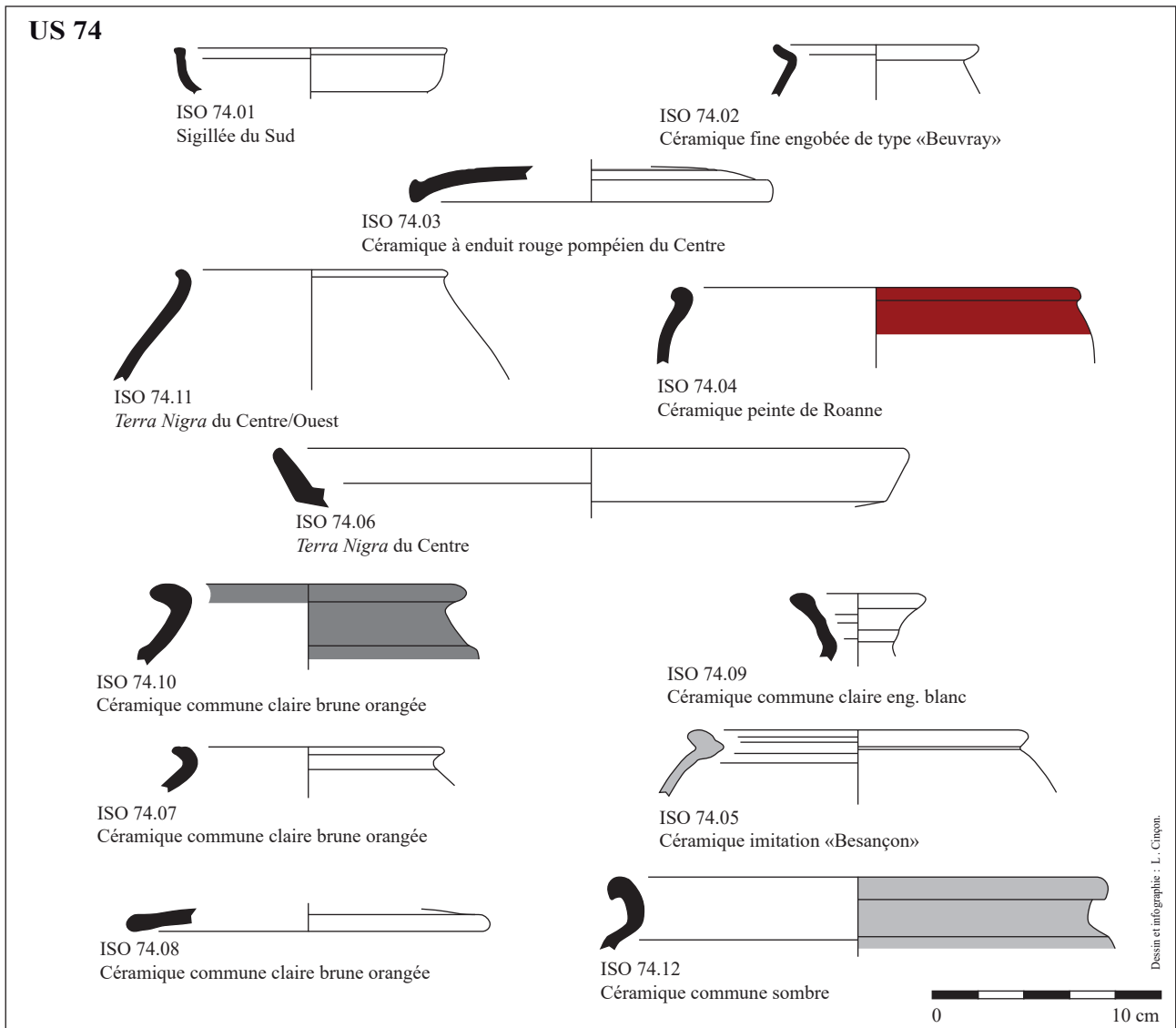


Figure 78 : mobilier des sondages 3, 4 et 5, tranchée 1, planche 2 (US74)



Figure 79 : Photographie de la coupe EF du sondage 3, avec le trou de poteau F285, tranchée 1

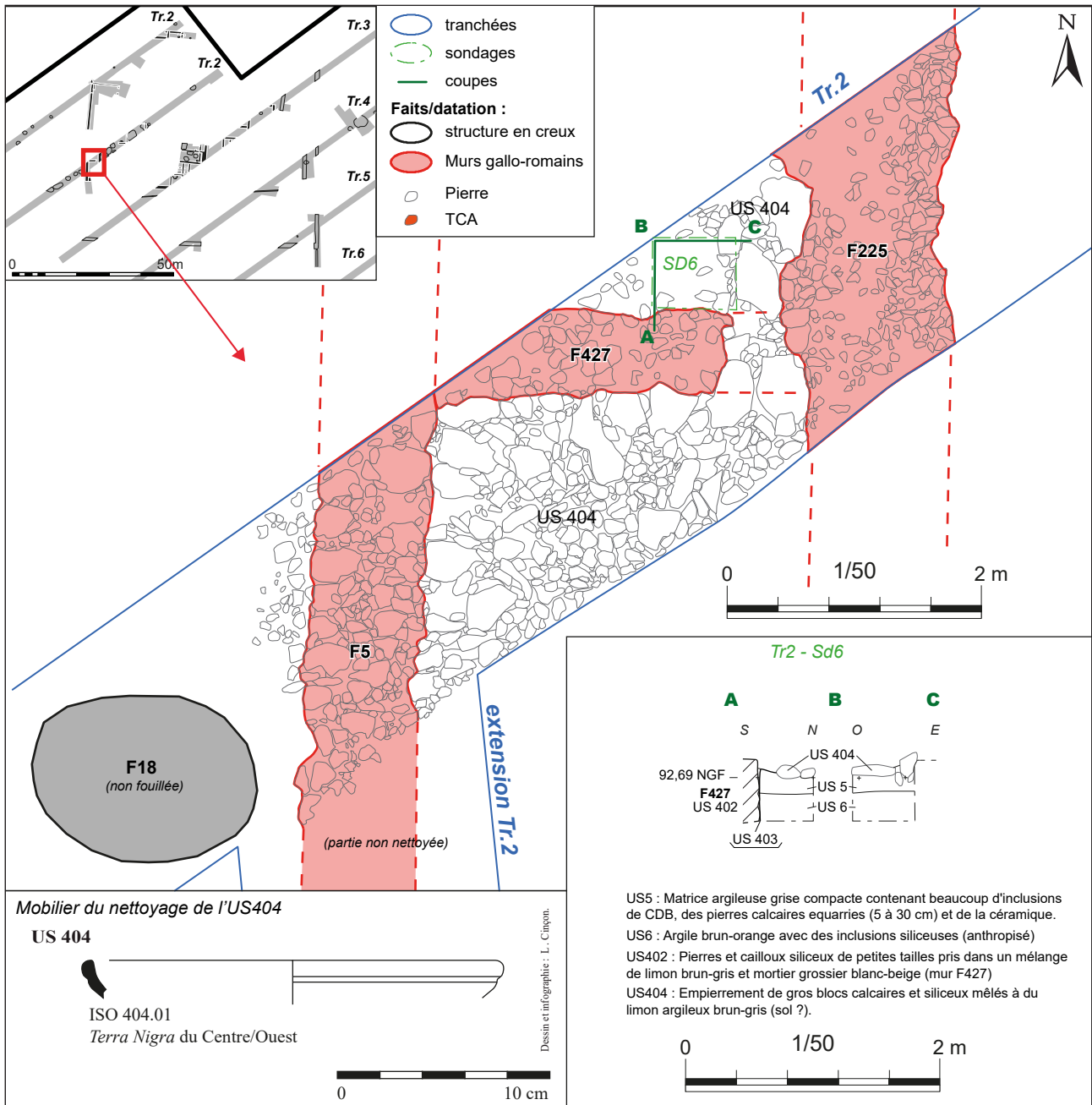


Figure 81 : Photographie de la coupe BC du sondage 6, tranchée 2

Figure 80 : plan coupes et mobilier du sondages 6, tranchée 2

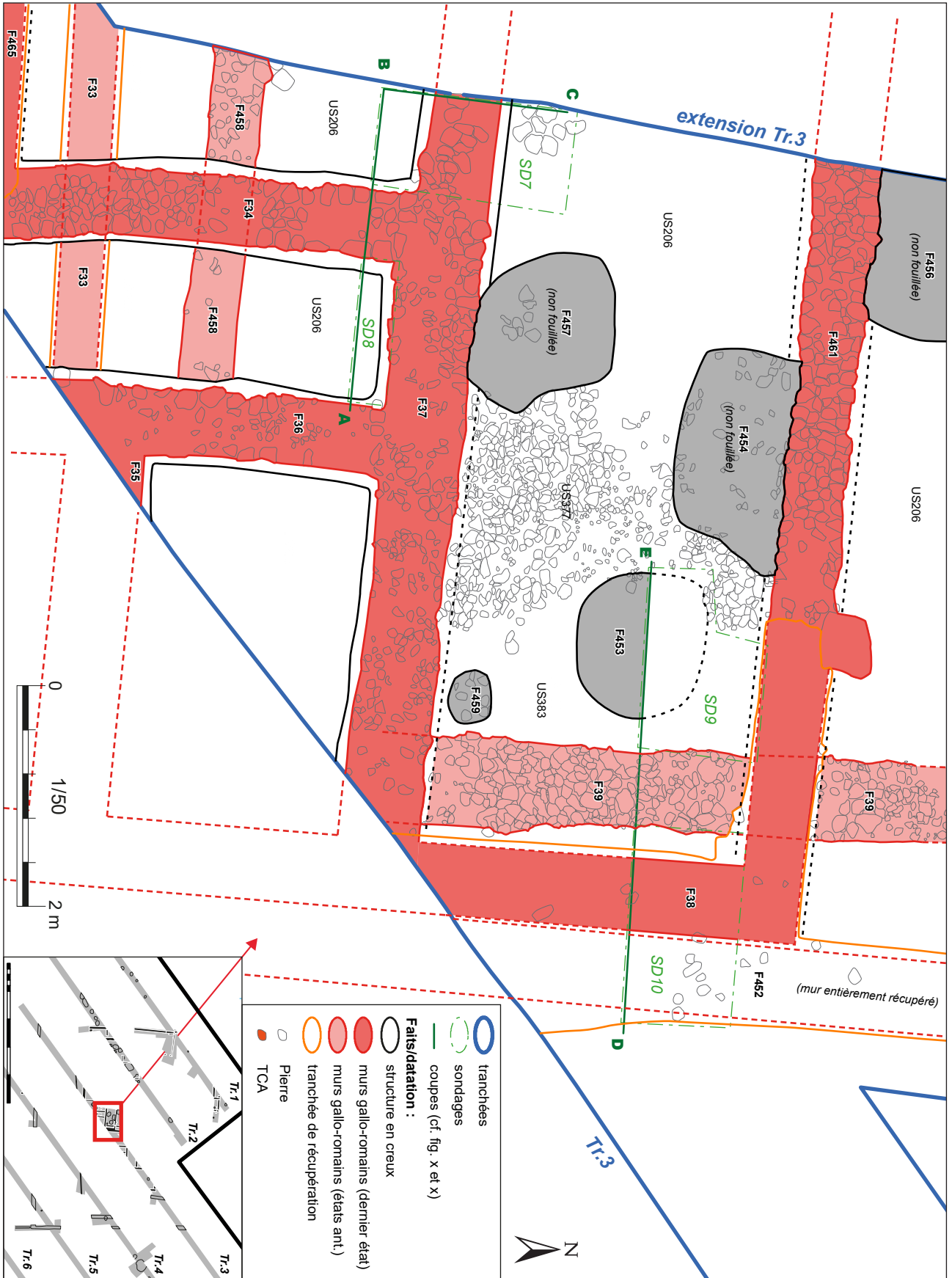


Figure 82 : plan de la zone des sondages 7, 8, 9 et 10, tranchée 3



Figure 83 : vue générale (vers l'est) de la zone de l'extension de la tranchée 3, avant la réalisation des sondages 7 à 10

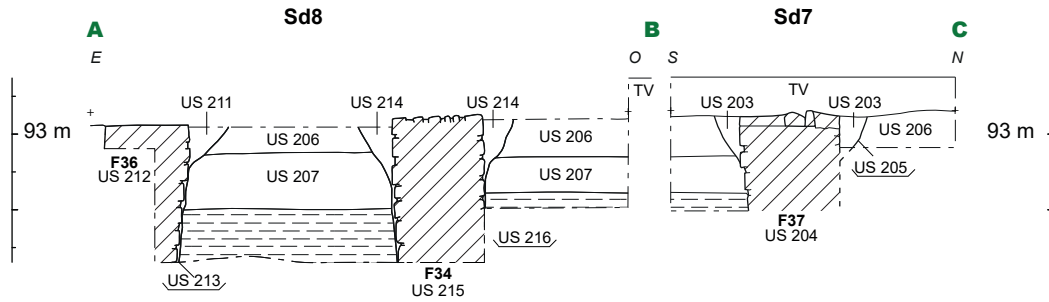


Figure 84 : vue de détail (vers l'ouest) des sondages 7 et 8, tranchée 3



Figure 85 : vue de détail (vers l'ouest) des sondages 9 et 10, tranchée 3

Coupes des sondages 7 et 8 - Tranchée 3 : cf. fig. 82

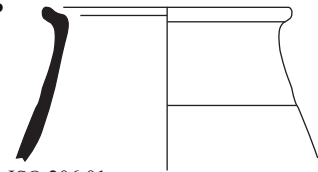


US 206 : Limon argileux gris contenant de très nombreuses inclusions calcaires et TCA centimétriques ainsi que des cailloux calcaires et des fragments de TCA plus gros et d'importantes poches de mortier blanc-gris. Hétérogène et assez meuble.  
 US 207 : Argile grise élastique et homogène contenant de rares inclusions de CDB et quelques cailloux calcaires avec présence de mobilier céramique et faune.

TN1 : argile orangé homogène (pouvant contenir des éléments Fe-Mg)

Mobilier des sondages 7 et 8 - Tranchée 3

US 206

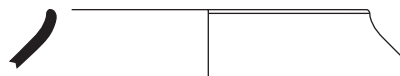


ISO 206.01  
Terra Nigra du Centre/Ouest



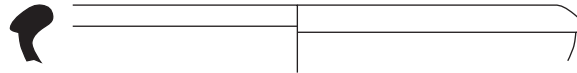
ISO 206.02  
Céramique commune sombre

Fait 37 - US203

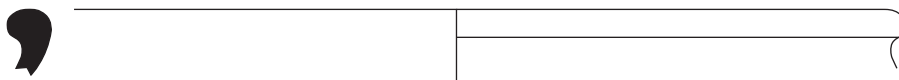


ISO 37.203.01  
Terra Nigra du Centre/Ouest

Fait 34 - US 215



ISO 34.215.02  
Céramique commune claire brune orangée



ISO 34.215.01  
Céramique commune claire brune orangée



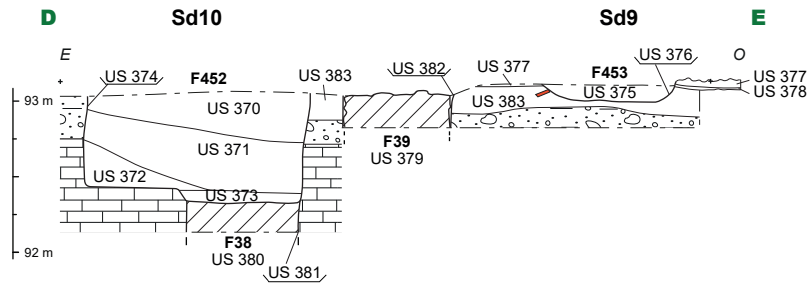
Dessin et infographie : L. Cinqon.



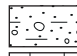

Figure 86 : coupes et mobilier des sondages 7 et 8, tranchée 3

Figure 87 : Photographie de la coupe BC du sondage 7, tranchée 3

Coupes des sondages 9 et 10 - Tranchée 3 : cf. fig. 82



- US 370 : Limon sableux brun-gris, meuble et hétérogène, contenant de nombreux cailloux et graviers, des boulettes de mortier sableux blanc et des inclusions de TCA.
- US 371 : Limon sableux gris-clair, meuble et hétérogène, contenant de nombreux cailloux et graviers, des boulettes de mortier sableux blanc, de mortier rose, de mortier faiblement sableux blanc, ainsi que des inclusions de TCA.
- US 372 : Limon sableux beige-gris, meuble et hétérogène, contenant de nombreux cailloux et graviers, des boulettes de mortier orange et blanc et des inclusions de TCA.
- US 373 : Sable gris (mortier dégradé) contenant des cailloux et graviers. Hétérogène et meuble.
- US 375 : Limon argileux brun foncé contenant des inclusions de TCA, de graviers et de CDB. Homogène et compact. (comblement de la fosse F453)
- US 377 : Radier de cailloux siliceux (<15 cm) pris dans une matrice argileuse brune contenant des inclusions de CDB et de TC (niveau de sol ?).
- US 378 : Fin niveau de limon argileux brun contenant de très nombreux graviers calcaires (préparation sol 377)
- US 379 : Blocs et cailloux siliceux non équarris et non organisés, de 5 à 25 cm de longueur, mêlés à un limon argileux brun-gris contenant de nombreuses inclusions siliceuses millimétriques et des poches de mortier grossier blanc pulvérulent (Radier de fondation du mur F39).
- US 380 : Blocage de cailloux calcaires bruts noyés dans un mortier de chaux sableux gris (Fondation du mur F38)
- US 383 : Limon argileux brun contenant des graviers et de nombreux fragments de céramique. Homogène et compact.

-  TN2 : fines graves siliceuses et calcaires dans matrice argileuse orange à brune (pouvant contenir des éléments Fe-Mg)
-  TN8 : calcaire compact et homogène

Mobilier des sondages 9 et 10 - Tranchée 3

US 377

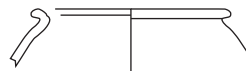


ISO 377.01  
Céramique commune claire brune orangée



ISO 377.02  
Céramique commune claire brune orangée

Fait 453



ISO 453.375.01  
Céramique de type «Besançon»



Dessin et infographie : L. Cincqom.

Figure 88 : coupes et mobilier des sondages 9 et 10, tranchée 3



Figure 89 : Photographie de la partie orientale de la coupe DE du sondage 10, tranchée 3



Il est d'ailleurs intéressant de constater que les seules structures stratigraphiquement antérieures à ce niveau anthropisé sont la fosse F283 (attribuable à La Tène Finale, cf. *supra*) et le fossé gallo-romain précoce F372, en tranchée 1 (fig.71, 74 et 75). Ce niveau que l'on appellera « d'encaissant » des murs contenait par ailleurs du mobilier archéologique, notamment céramique, qui permet de donner une indication sur la chronologie d'installation des premiers éléments bâtis<sup>18</sup>. Ainsi, on constate que ce niveau antérieur aux murs livre surtout des éléments datables du tournant de notre ère (pas

après la première moitié du 1<sup>er</sup> s. ap. J.-C.) et donne ainsi un *terminus post quem* pour l'édification des premières phases de maçonneries de la *villa*. La seule US « encaissante » ayant livré un mobilier plus récent est l'US206 (encaissant des murs F34, F36 et F37), qui a livré 24 tessons dont l'assemblage comporte des éléments datables de la première moitié du 2<sup>e</sup> s. ap. J.-C. (lot 24). Or nous verrons plus loin que ces maçonneries F34, F36 et F37 appartiennent probablement aux dernières phases de construction. En revanche, l'US 207 sous-jacente a livré 11 tessons de 15 av./20 ap. J.-C. (lot 14).

Les éléments bâtis et la stratigraphie correspondant aux niveaux d'occupation présentent un état de conservation médiocre. Les arases des murs apparaissent immédiatement sous la terre végétale à une profondeur de 15 à 20cm. Ceux-ci ont donc subi au cours du temps un écrêtement certain par les labours. Cependant, à quelques endroits, des

<sup>18</sup> L'US24 (sous les murs F5, F6, F281 et F282) contenait 10 tessons datables de 15 av./20 ap. J.-C. (lots 16, 104 et 105) ; l'US5 (sous les murs F225 et F427), 1 tesson de 150 av./20 ap. J.-C. (lot 7) ; l'US16 (sous les murs F9 et F10), 18 tessons de 15 av./70 ap. J.-C. (lot 99) et l'US67 (sous les murs F11 et F284), 26 tessons 15 av./20 ap. J.-C. (lot 99) ; l'US383 (sous le mur F39) 29 tessons de 15 av./70 ap. J.-C. (lots 26, 65 et 66).



Figure 90 : Photographie de détail du sol empierré conservé dans le bâtiment de la tranchée 1 (US63), formé des mur F10, 11 et 284



Figure 91 : Orthophotographie du sol conservé entre les murs F5 et F225, tranchée 2

niveaux de sols, ou du moins de préparation de sols matérialisés par des radiers de pierres brutes, sont conservés. C'est le cas à l'extrémité nord-est de la tranchée 1, à l'intérieur d'un petit édifice matérialisé par les murs F9, F10 et F284 (US63, [fig. 71 et 90](#)) ; dans la tranchée 2 entre les murs F5 et F225 (US404, [fig. 80 et 91](#)) ; et dans la tranchée 3 où un lambeau de radier est présent au sein d'une pièce dessinée par les murs F37, 38 et 461 (US377 [fig. 82 et 83](#)). Ces niveaux de sols ont livré un mobilier datable du 1<sup>er</sup> s. ap. J.-C.<sup>19</sup>

En outre, sous la terre végétale, de potentiels niveaux de démolition, plus ou moins étalés par les labours (à moins qu'ils ne s'agissent de niveaux d'occupation totalement perturbés), apparaissent également conservés par endroits. C'est le cas essentiellement en tranchée 1, au niveau des sondages 1 et 2 (US 22) et des sondages 3 à 5 (US 15/64/74, [fig. 92](#)). C'est dans ces niveaux que l'on trouve le plus de mobilier archéologique<sup>20</sup>. Ces US ont livré globalement des assemblages de céramique de datations hétérogène, mais dont les éléments les plus récents sont datables des 2<sup>e</sup>/3<sup>e</sup> s. ap. J.-C. On voit ainsi se dessiner les premiers éléments d'une chronologie globale, où, à la suite les occupations laténienne et augustéenne, le plus fort de l'occupation de cette *villa*, caractérisé par plusieurs phases de constructions de murs, apparaît datable des 1<sup>er</sup>-3<sup>e</sup> s. ap. J.-C.

### **Typologie et phasage des murs**

Globalement, les murs identifiés sont de deux types. Le premier est celui des solins constitués de pierres calcaire de petit gabarit, brutes ou grossièrement équarries. Ces murs sont plus ou moins profondément implantés, les moellons jetés dans une tranchée et liés à la terre. C'est le cas de la majorité des murs dégagés, avec les faits F5, 6, 9, 210, 226, 281 et 282 en tranchée 1 ; F5, 23, 24, 25, 26, 225 et 527 en tranchée 2 ; F39, 44, 46, 47 et 458, en tranchée 3. Dans ce même type peuvent



**Figure 92** : Photographie de détail du niveau de démolition US74, tranchée 1

être classés trois autres murs, observés dans la tranchée 1 : F10, 11 et 284. Ceux-ci se distinguent des précédents, peut-être simplement en raison d'une meilleure conservation de la stratigraphie dans ce secteur, l'un des rares où des radiers de pierre formant des sols (ou préparation de sols), sont conservés. Or, les murs F10 et 11 possédaient une couche de mortier de chaux de quelques centimètres d'épaisseur, recouvrant les fondations en moellons liés à la terre ([fig. 75, 76 et 90](#)). Cette couche de mortier devait aussi recouvrir le mur F284, mais une petite tranchée de récupération en a fait disparaître la partie supérieure (F211). Ainsi, si les fondations en moellons semblent indiquer la présence de bâtiments probablement peu élevés, elles ne présument peut-être pas systématiquement de la nature (maçonnerie ou en matériaux périssable) de l'élévation qu'elles supportaient.

Le second type de murs identifiés est apparu uniquement en tranchée 3 ([fig. 82 et 83](#)). Il s'agit là de murs dont les fondations sont entièrement maçonnées à la chaux, profondément implantées en tranchée aveugle dans les couches d'encaissant et le substrat. Les faits correspondant à ce type sont les murs F34, 35, 36, 38, 461, auxquels on peut ajouter les murs matérialisés par des tranchées de récupération qui livrent en surface de nombreux éléments de mortier : F31, 32, 40, 41, 42, 465, F452 ([fig. 63](#)). De fait, stratigraphiquement, il semble que ces maçonneries appartiennent à des phases postérieures aux murs sur solins. En effet, dans

<sup>19</sup> L'US404, 25 tessons de 15 av./120 ap. J.-C. (lot 50) ; et l'US377, 10 tessons de 15 av./70 ap. J.-C. (lot 35).

<sup>20</sup> L'US22 a livré 84 tessons (lots 60, 61, 96, 103) ; l'US15 : 69 tessons (lots 17 et 54) ; l'US67 : 27 tessons (lot 27) ; l'US74 : 149 tessons (lots 87 et 88).

l'extension de la tranchée 3, les murs F34, F36, F37 et F461, maçonnés, viennent très clairement recouper les murs F33, 458 et F39 sur solins (**fig. 82 et 83**).

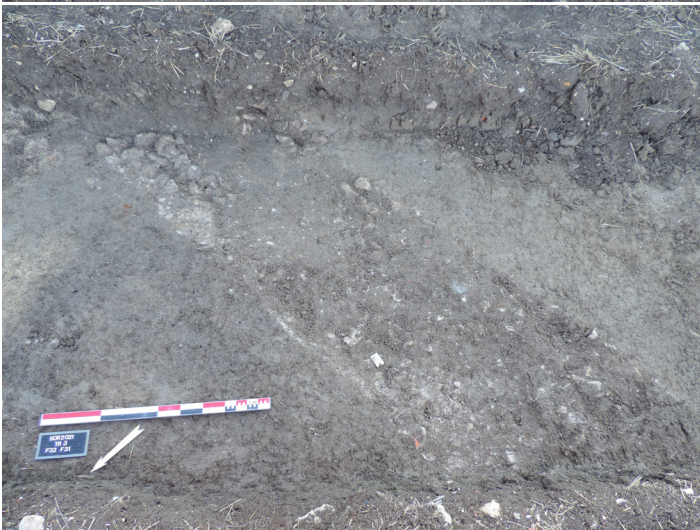
En outre, on peut certainement distinguer deux phases différentes d'implantation de ces murs maçonnés. Cela apparaît très clairement dans le sondage 10 de la tranchée 3. Ici, deux murs accolés l'un à l'autre ont été récupérés en même temps par une tranchée unique (F452, **fig. 82, 88 et 89**). L'un des murs, à l'est, l'a été complètement, jusqu'au au fond de sa tranchée de fondation primitive, descendant à 60cm de profondeur. En revanche, le second qui était accolé à l'ouest du premier, n'a été que partiellement récupéré et est encore représenté par un reste de fondation (F38), beaucoup plus profondément implantée (au fond non reconnu). Ce dernier mur F38 apparaît sous la forme d'une tranchée aveugle comblée

de moellons de calcaire noyés dans un mortier de chaux fin de couleur grise. En revanche, on note que la tranchée de récupération F452 recelait aussi bien des fragments de mortier gris de ce type, mais aussi un second type de mortier différent, de couleur orangée, et qui constituait probablement le liant du mur totalement récupéré.

Par extension, il est donc possible de distinguer deux états de constructions à partir de ces observations : l'un constitué de murs liés avec un mortier de couleur orange, que l'on retrouve présent en surface des tranchées de récupération F452, F40, 41, 42 et 43, **fig. 93** ; l'autre de murs liés avec un mortier gris, soit observé directement pour les murs conservés (F34, 35, 36, 37, 38 et 461), soit en surface des tranchées de récupération (F31, 32 et 465, **fig. 94**). Ces deux types de mises en œuvre semblent donc former des ensembles cohérents, représentant deux phases de construction de



**Figure 93** : Photographie des tranchées de récupération F40, 41 et 43, tranchée 3 comportant des boulettes de mortier orange



**Figure 94** : Photographie de la tranchée de récupération F32, tranchée 3, comportant des boulettes de mortier gris

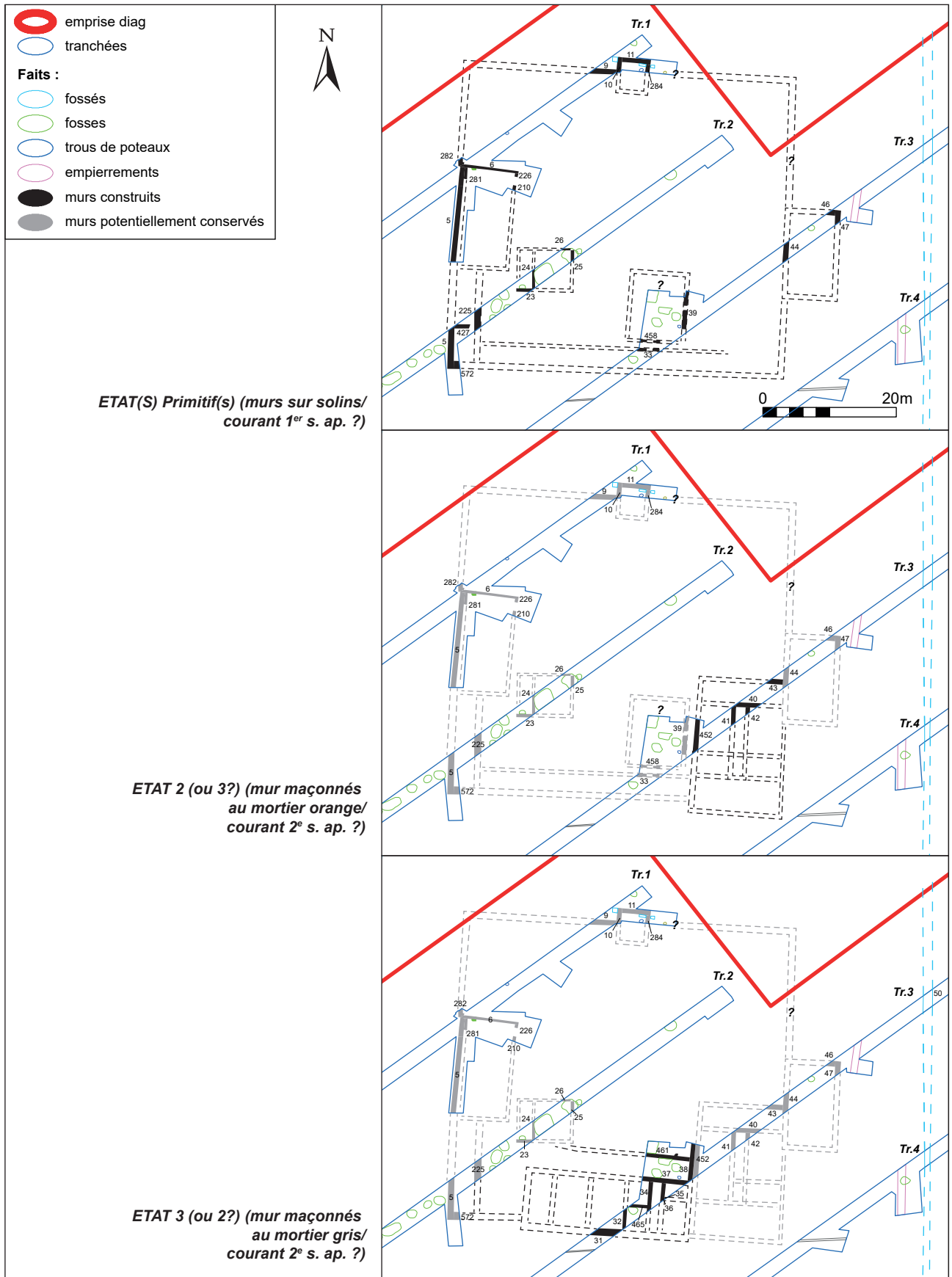


Figure 95 : hypothèses des trois principales phases de construction de la villa

bâtiments, postérieures donc aux murs sur solins (fig. 95). Malheureusement, stratigraphiquement, aucun contact entre les deux types de maçonnerie n'ayant été observé, il apparaît impossible en l'état de spécifier lequel de ces états de construction maçonnés précède l'autre.

Pour ce qui concerne la phase de construction, matérialisée par les murs au mortier de couleur grise (F34, 35, 36, 37, 38 et 461), les sondages 7 et 8, en tranchée 3, ont permis d'observer des fondations descendant à plus de 90 cm de profondeur, sans en atteindre le fond (fig. 96). Ces murs de construction homogène, possédait en outre, une première assise partiellement conservée en moellons équarris et assisé, permettant de supposer une élévation aux parements typique de l'époque romaine. Mesurant entre 60 et 70 cm de larges, ces puissantes fondations devaient ainsi probablement supporter des élévations imposantes, potentiellement à étage. Relevons enfin que l'une des tranchées de fondation de ces murs, observée dans le sondage 7, (F37), a livré 11 tessons de céramique datable de la seconde moitié du 1<sup>er</sup> ou du début du 2<sup>e</sup> s. ap. J.-C. là encore, cela fournit donc un *terminus* pour l'édification de ce dernier état, qui possiblement pourrait avoir eu lieu plutôt au cours du 2<sup>e</sup> s. ap. J.-C.

### Organisation des éléments bâtis de la villa

En résumé, il semble que la première phase construction « en dur » de la villa soit représentée essentiellement par les murs sur solins de pierre (fig. 95 et 97). Ceux-ci s'installent donc vraisemblablement au cours du 1<sup>er</sup> s. ap. J.-C. Cependant, il n'est pas évident que ces premiers murs forment un tout homogène, comme semble le montrer notamment divers collages de certains murs entre eux. Ainsi dans la tranchée 1, les murs F281 et F6 d'un bâtiment, viennent clairement s'accoler au mur F5, de clôture (fig. 71 et 72). Dans cette même zone, il semble que le mur F282, légèrement décalé par rapport au mur F5 et filant vers le nord, soit également postérieur. De même, toujours en tranchée 1, le sondage 4 à l'angle des murs F9 et F10, démontre que le premier est antérieur au second (fig. 75 et 76). Enfin, on notera que pour ce qui concerne le bâtiment de la tranchée 2 formé par les murs F23, F24 et F25, ceux-ci viennent recouvrir une fosse F398, non fouillée, mais qui a livré un lot conséquent de céramiques en surface plutôt datables de la fin du 1<sup>er</sup> s. ou du début du 2<sup>e</sup> s. (45 NR, lot 18, cf *infra* fig. 100).

Quoi qu'il en soit, ces premières constructions sur solins semblent déjà dessiner une vaste cour



Figure 96 : Photographie de la fondation du mur F37, de plus de 90cm de profondeur, maçonné à la chaux



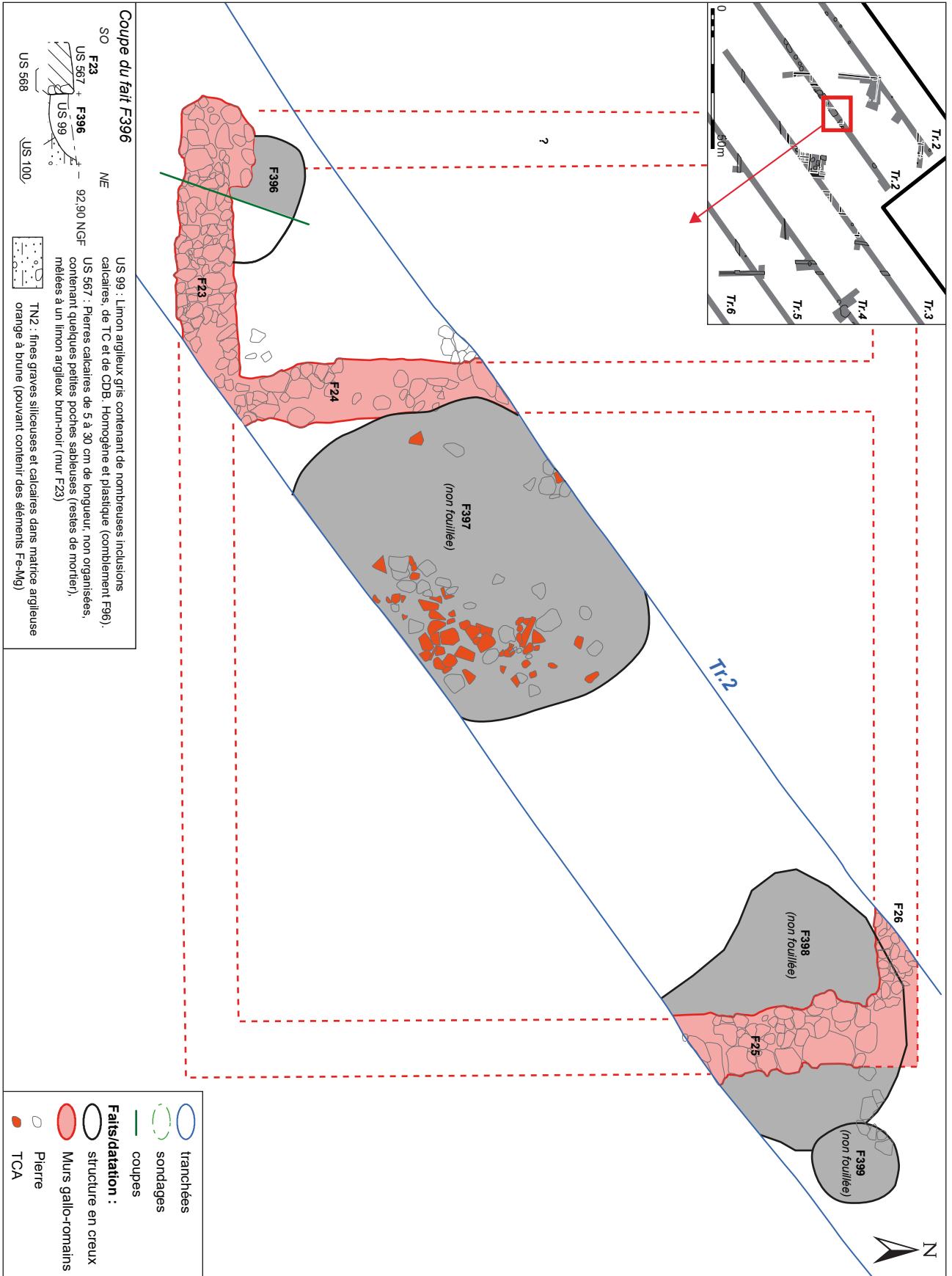
Figure 97 : Photographie de l'angle nord-est du vaste bâtiment occidental sur solins, repéré en tranchée 3 : F46 et 47

carrée, dont de fait, seuls les murs de clôture nord (F9, tranchée 1), ouest (F282 et F5, tranchée 1 et 2) et le retour au sud (F572, tranchée 2), ont été clairement identifiés. Ils sont tous constitués de solins de pierres larges de 70 à 90 cm, implanté dans une tranchée profonde de 30 à 35 cm. La limite occidentale en revanche est matérialisée par un vaste bâtiment formé des faits F44, F46 et 47 (fig. 97). Celui-ci est clairement visible sur la photo satellite, formant un édifice de 13 m de long sur 8 m de large (plus de 100 m<sup>2</sup>) (fig. 70). La continuité de la clôture de ce côté, n'est donc que supposée. Nous la restituons, plutôt dans l'alignement du mur F44 du vaste bâtiment, dans la mesure où, si elle avait été alignée avec l'autre mur gouttereau (F47), elle serait alors apparue en tranchée 4, ce qui n'est pas le cas.

L'entrée de cette cour se situait sans doute au nord. Elle a été matérialisée, au moins dans un second temps (F10 étant postérieur au mur de clôture F9), par l'édification d'un pavillon, représenté par les murs F10, F11 et F284 (fig. 75). Ceux-ci forment un petit édifice quadrangulaire (peut-être carré), dont le seul côté complètement reconnu mesure 5 m hors œuvre. Ce type d'édifice marquant l'entrée est souvent mis au jour dans les établissements antiques, à l'image entre autres des sites tourangeaux de « La Roche-Deniaud » à Parçay-Meslay (Fouillet, Lusson 2015 : 143-144), ou

encore des « Billettes » à Esvres-sur-Indre (Fouillet, Chéroux, David 2006).

Au sein de cet enclos, se trouvent plusieurs bâtiments plus ou moins bien reconnus. Nous avons déjà évoqué le vaste bâtiment le long de la limite ouest, de 100 m<sup>2</sup> (murs F44, F46 et 47). A l'opposé, le long de la limite orientale, un autre vaste bâtiment est présent. Celui-ci est représenté par les murs F6, F281, F226 et F210 (tranchée 1), accolé au mur de clôture F5 (fig. 71). Ce bâtiment est composé de petits solins de pierre très peu implantés (15 cm) et larges d'une quarantaine de centimètres. Notons également que des lacunes dans ce mur pourrait indiquer des éléments en bois composant sa structure (notamment dans le mur F281). Bien que des trous de poteaux n'aient pas formellement été reconnus il s'agit néanmoins vraisemblablement d'un bâtiment en matériaux périssable, eu égard notamment à la faible portance des solins. Une interruption dans le mur gouttereau oriental (entre F210 et F226), marque peut-être la présence d'une porte. La largeur du bâtiment d'environ 8 m peut être appréciée par le dégagement complet de l'un des murs pignon (F6). Quant à la longueur elle excède peut-être la quinzaine de mètres, dans la mesure où le pignon opposé n'a pas été reconnu dans l'extension pratiquée au long du mur F5. Il s'agit donc encore ici probablement d'un vaste bâtiment excédant 100 m<sup>2</sup>. Avec le bâtiment situé



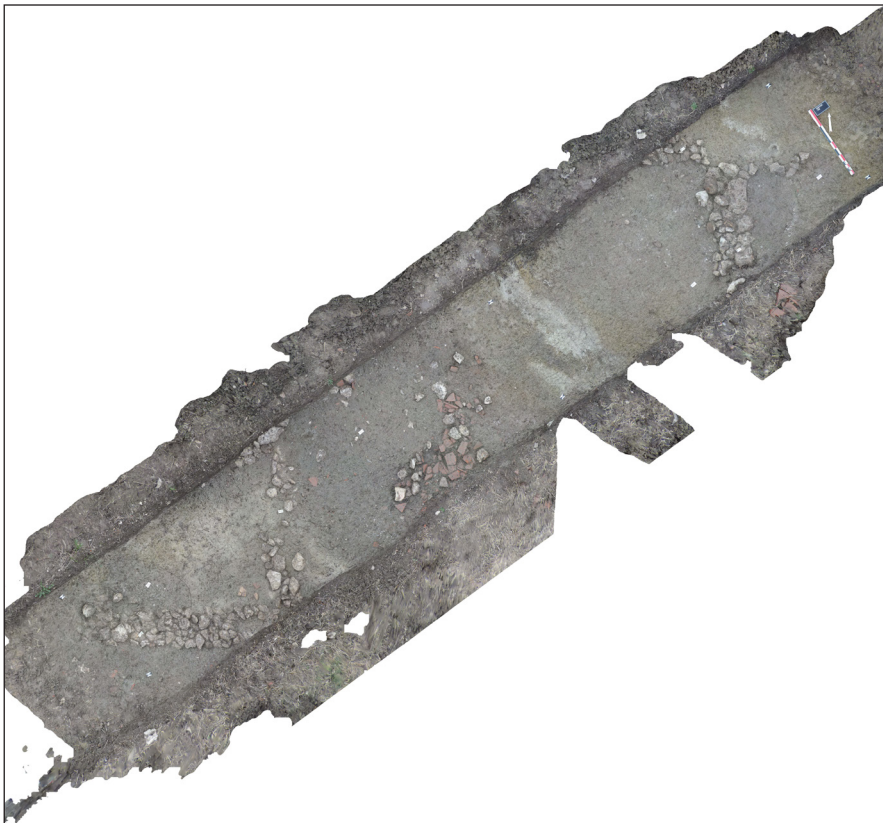


Figure 99 : Ortho-photographie du bâtiment sur solin formé des murs F23, 24, 26 et 27, tranchée 2

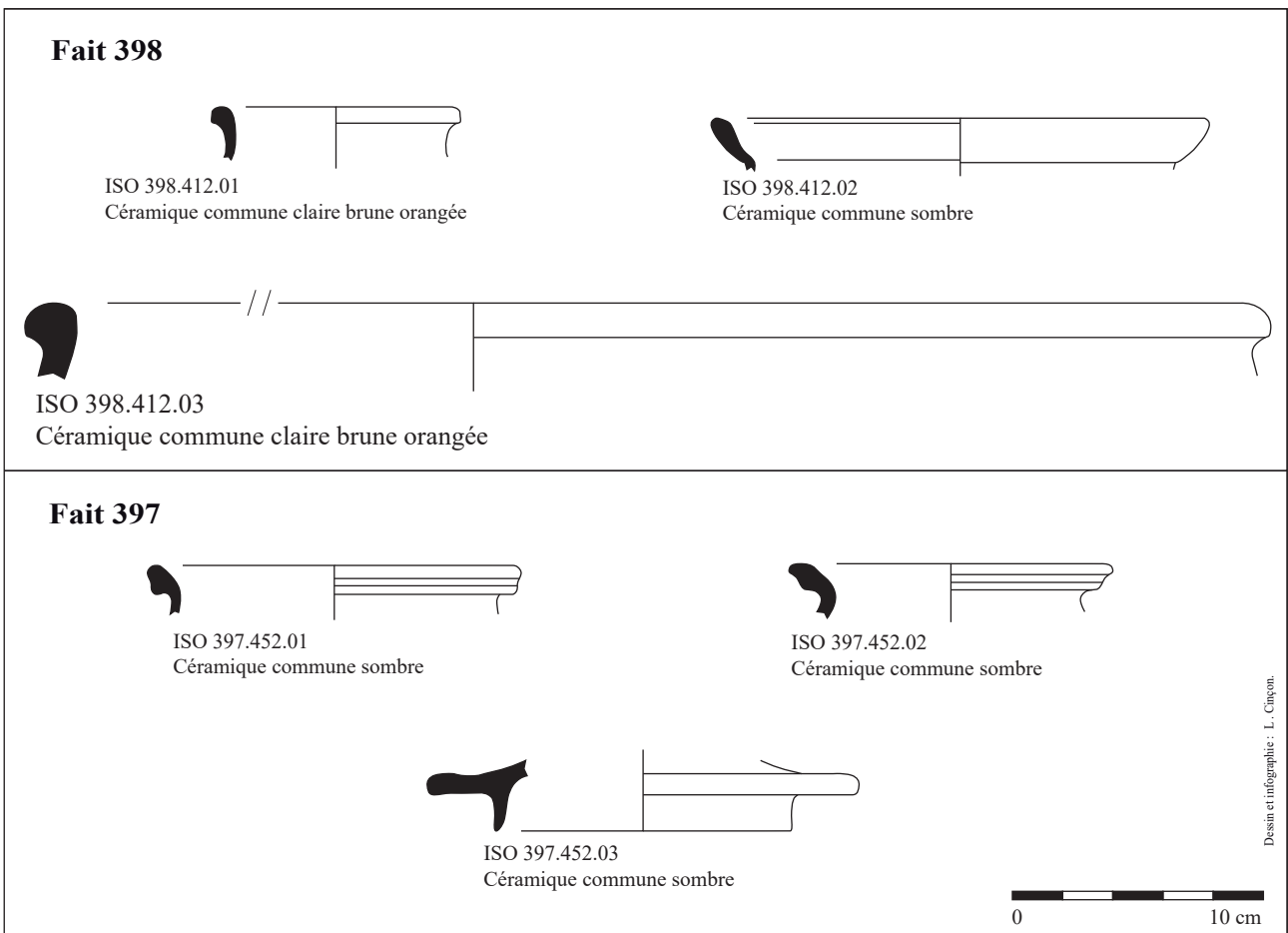


Figure 100 : mobilier des fosses F398 (sous les murs F26 et 27) et F397 (recoupant le mur F24)



à l'opposé, ils pourraient constituer des unités de stockage (entrepôt ?).

Bien que très mal conservé, un troisième bâtiment de ces premières phases peut être restitué dans la tranchée 2, à partir des restes de solins de pierre F23, 24, 26 et 27 (fig. 97, 98 et 99). Là encore, ceux-ci apparaissent peu implantés (20 cm) et peu larges (45 cm). Si ces quatre murs fonctionnent bien ensemble, ils pourraient constituer un bâtiment de 8,80 m de long sur 6,50 m de large, partitionné dans le sens de la largeur en deux pièces inégales. Son plan n'est ainsi pas sans évoquer ceux d'édifices qualifiés de granges, comme ceux qui ont pu être découverts sur de nombreux sites antiques, souvent dans les *pars rustica de villae*.

Enfin, pour ces premières phases, d'autres bâtiments sur solins étaient certainement présents le long de la limite sud, représentés notamment par les murs F39, F33 et F458, tranchée 3 (fig. 82). Le premier, F39 apparaît assez imposant avec ses 70 cm de large pour environ 30 cm de profondeur, appréciable dans les sondages 9 et 10. Les deux autres, simplement nettoyés en surface, mesurent 40cm de large. Bien qu'aucun plan ne puisse ici être restitué, probablement tronqué, dans la mesure notamment où cette zone va subir par la suite d'importantes phases de reconstructions. On peut néanmoins supposer que c'est ici que se trouvait déjà la partie résidentielle de la *villa*.

En effet, au vu de la nature et des types de bâtiments qui vont être reconstruits, probablement donc au cours du 2<sup>e</sup> s. ap. J.-C., il fait peu de doute que nous ayons affaire au cœur de la résidence. Ces deux phases de reconstructions maçonnées présentent deux ensembles de bâtiments rectangulaires (fig. 95). La confrontation de ces éléments à la photographie satellite – notons d'ailleurs que c'est logiquement ces deux imposants ensembles maçonnés qui y apparaissent le mieux (fig. 70) – permettent de restituer des bâtiments très compartimentés, composés de petites pièces rectangulaires ou carrées. Un premier ensemble, dans l'angle de l'enclos maçonné, représenté par les murs récupérés au mortier orange (F40 à 43 et F452), totalise une surface d'environ 280 m<sup>2</sup> (14m par 20m), doté d'au moins 8 pièces. Le second ensemble de bâti le long de (ou à cheval sur) la

limite sud, représenté par les murs au mortier gris (F34, 35, 36, 37, 38 et 461), mesure quant à lui 300m<sup>2</sup> (25m par 12m), avec peut-être une galerie en façade distribuant également au moins 8 pièces.

Comme cela a été dit, aucun sol de ces bâtiments n'est conservé, si ce n'est un lambeau de radier de pierres (US376). Aucun élément mobilier n'a été découvert permettant en outre de supposer la présence de mosaïque (absence de tesselle), de marbre, ou encore d'enduit peint. En outre, aucune trace d'une éventuelle pièce chauffée n'a été identifiée, pas même sous la forme d'éléments redéposés de type *tubulii* ou pilettes.

En résumé, au terme des reconstructions, et si tant est que tout ou partie des bâtiments sur solins aient été conservés au cours des 2<sup>e</sup>-3<sup>e</sup> s., le plan de la partie bâtie de cet établissement apparaît extrêmement bien structuré, avec une entrée au nord matérialisée par un petit bâtiment carré, donnant sur un vaste espace de cour distribuant de part et d'autre des bâtiments possiblement liés au stockage (entrepôts, grange ?), et une partie résidentielle en fond de cour, le long de la limite sud.

#### 2.4.1.4. Les structures en creux

En plus des ensembles bâtis décrits ci-dessus, une trentaine de structures en creux de type fosses ou trous de poteaux ont été mises au jour au sein de ce site, entendu comme à l'intérieur de l'enclos fossoyé (fig. 63, 101 et 102). Quatorze<sup>21</sup>, soit environ la moitié, ont été partiellement fouillées (une totalement), pour deux d'entre elles sondées mécaniquement (F15 et F371). Quatorze ont fourni des éléments de datations par le mobilier, mis au jour soit à la fouille, soit en surface pour les structures non fouillées. Toutefois, il faut rappeler que, parmi les structures non fouillées un certain nombre pourraient correspondre à des anomalies naturelles. D'autre part, parmi les structures non datées, il n'est pas certain qu'elles appartiennent toute à la période Antique. Elles pourraient en effet être rapportables à la période antérieure de La Tène Finale, voire même à la période postérieure du

<sup>21</sup> De ce décompte sont exclus les faits antérieurs déjà évoqués : F283 et F372.

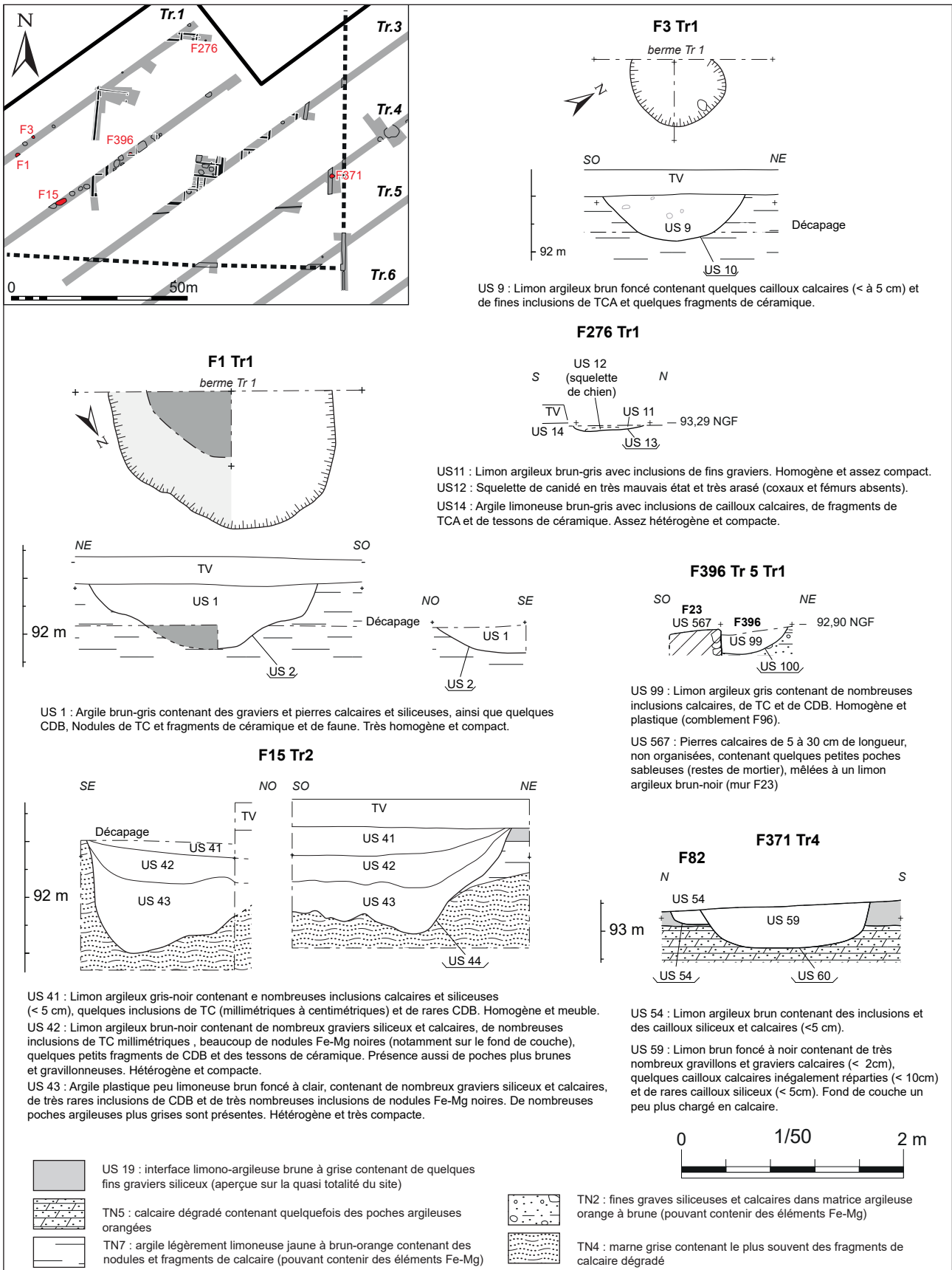


Figure 101 : coupe des fosses ayant livré du mobilier romain dans le secteur de la villa

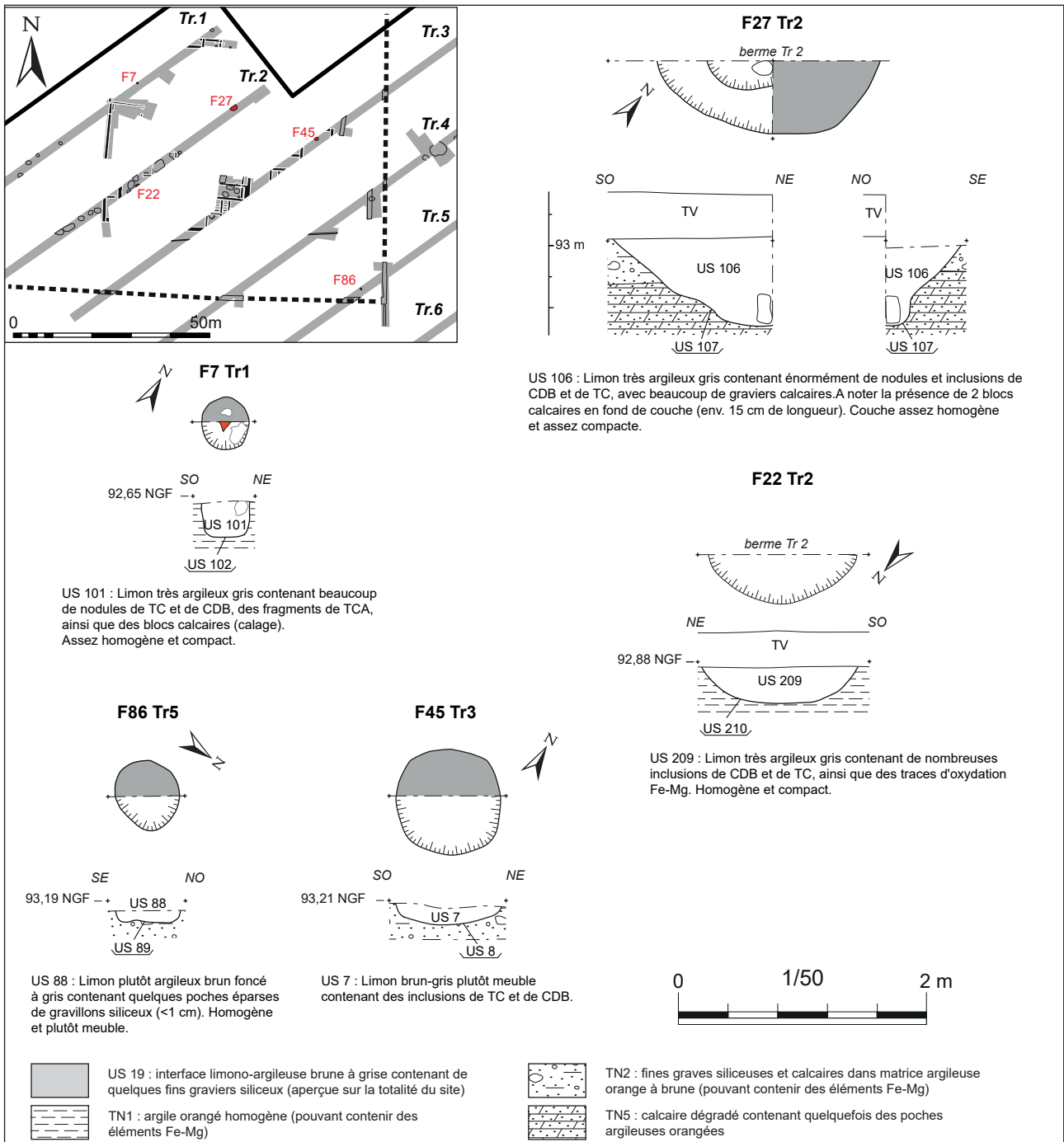


Figure 102 : coupe des fosses sans mobilier dans le secteur de la villa



Figure 103 : photographie de la coupe de la fosse F1, tranchée 1



Figure 104 : photographie zénithale de la fosse F3, tranchée 1

haut Moyen-Âge<sup>22</sup>. Nous évoquerons toutefois ces structures non datées dans ce chapitre.

Pour partie, ces structures en creux se répartissent hors de la partie bâtie et enclose d'un mur de la *villa*. C'est le cas notamment d'une série de 9 fosses identifiées dans les tranchées 1 et 2, à l'ouest du mur de clôture F5 (F1 à F4, tranchée 1 ; F14 à 18, tranchée 2). Dans un certain nombre de cas, il s'agit de fosses de moyen gabarit. Deux ont été fouillées en tranchée 1 : F1 et F3. Celles-ci se caractérisent par des creusements subcirculaires. F1 atteint plus de 2 m de diamètre pour 58 cm de profondeur, aux bords très évasés diffus et au profil en cuvette (fig. 103). F3 est une petite fosse ovoïde de 1,27m de diamètre pour un trentaine de centimètres de profondeur (fig. 104). Difficile de statuer sur la fonction de ces fosses. Leurs aspects irréguliers et diffus en surface comme en profil, pourraient même faire pencher pour des chablis. Quoiqu'il en soit ces fosses contenaient quelques tessons datables largement du Haut-Empire<sup>23</sup>.

La fosse F15 sondée mécaniquement en tranchée 2, est tout aussi problématique dans son interprétation. Celle-ci apparaît de gabarit plus imposant : de forme ovoïde de 3,12m de long pour 1,32 m de large, elle présente un profil au fond très

irrégulier et aux bords asymétriques (fig. 105). Sa profondeur de plus d'un mètre et son comblement probablement progressif, laisse toutefois peu de doute sur le fait qu'il s'agisse bien d'un creusement anthropique et non d'une anomalie naturelle (comme celles évoquées plus haut dans la partie



Figure 105 : photographie de la fosse F15, tranchée 2

<sup>22</sup> C'est le cas notamment pour une fosse F12 datée de la période carolingienne par la céramique, au nord-est de la tranchée 1, dont nous reparlerons dans la partie consacrée au haut Moyen-Âge (*infra*).

<sup>23</sup> 6 tessons et 3 fragments de faune pour F1 (lots 102 et 161) ; 3 tessons pour F3 (lot 58).

2.1.). Avec un fond constitué d'argile plastique (US43) et un comblement supérieur de limons argileux brun à noir (US 41 et 42), cette fosse contenait quelques éléments de céramique commune claire du Haut-Empire, et un clou en fer<sup>24</sup>. Il pourrait s'agir sans certitude d'une fosse d'extraction de marne (présente ici dans le substrat).

Quoiqu'il en soit, ces fosses situées au sein de l'enclos fossoyé, mais hors de la partie résidentielle bâtie pourrait donc être des témoins de la fonction agro pastorale de cet espace.

A noter également, la découverte d'un probable petit trou de poteau de 55 cm de diamètre pour une dizaine de centimètre de profondeur (sous le décapage), à l'angle sud-est de l'enclos fossoyé (F86, tranchée 5, [fig. 102](#)). Il pourrait témoigner de la présence de petits bâtiments sur poteaux dans l'enclos fossoyé de la *villa*. Toutefois, aucun mobilier n'étant présent, et la proximité des bâtiments sur poteaux de La Tène, laisse un doute sur sa datation. On notera également la présence d'une autre fosse, F371 tranchée 4, le long de la limite orientale de l'enclos fossoyé, recoupant une structure empierrée (F82 que nous évoquerons plus loin). De forme subcirculaire de 1,10 m de diamètre pour 38 cm de profondeur, elle présente un profil en cuvette à fond plat ([fig. 101 et 106](#)). Son comblement unique a livré 2 tessons de la fin du 1<sup>er</sup> ou du début du 2<sup>e</sup> s. (lot 107) et un fragment de *tegulae* (lot 134).

Le reste des structures en creux a été observé dans l'emprise de la cour enclose d'un mur renfermant la

partie bâtie de l'établissement. Dans la tranchée 3, elles se situent toutes à l'emplacement même des bâtiments maçonnés. Sur les 5 fosses repérées lors du nettoyage fin au sein de la fenêtre d'extension de la tranchée 3 (F453, F454, F456 F457 et F466, [fig. 82](#)), seule la fosse F453 a été fouillée à 50% dans le cadre du sondage manuel n°9. Elle forme de fait une simple cuvette de 2 m de diamètre très peu profonde (moins de 10 cm, [fig. 107](#)). Elle avait toutefois la particularité de renfermer un mobilier très abondant : pas moins de 82 tessons, plutôt datable du 1<sup>er</sup> s. ap. J.-C. (lots 56, 69 et 70). Bien que ce mobilier renvoie à une période précoce d'occupation de la *villa*, il est possible que cette fosse peu profonde, comme les autres du secteur, résulte du démantèlement des sols des bâtiment. A noter que la fosse F466 (non fouillée) a livré en surface trois tessons également datable du 1<sup>er</sup> s. ou du début du 2<sup>e</sup> s. (lot 106). En outre, on ajoutera à cette série la présence d'un possible trou de poteau (au vu de son diamètre de 50 m environ), F459 (non fouillé), ayant livré en surface un tesson du Haut-Empire (lot 37). Dans cette même tranchée 3, un peu plus au nord-est, une fosse, F45, est également apparu dans le bâtiment formé des murs F44, F45 et F47. Fouillée à 50%, elle forme une petite cuvette de 85cm de diamètre, peu profonde (16 cm sous le décapage), ayant livré un fragment d'*imbres* (lot 42).

Dans la tranchée 2, les neuf fosses identifiées au décapage/nettoyage (F19 à 23, F397 à 399 et F27), ne semblent guère différer en termes de morphologie. Seules les fosses F22, F396 et F27 ont été fouillées à 50%. La première F22, de forme circulaire de 1,26m de diamètre pour un cuvette de

<sup>24</sup> US43 : 8 tessons (lot 59) ; le clou provient de l'US42 (lot 311).



Figure 106 : Photographie de la coupe de la fosse F371



Figure 107 : Photographie de la coupe du sondage 9, tranchée 3, où se trouve la fosse F453



Figure 108 : Photographie de la coupe de la fosse F22, tranchée 2



Figure 109 : Photographie de la coupe de la fosse F27, tranchée 2

30cm de profondeur, ne renfermait pas de mobilier (fig. 108). F396, située contre un mur de bâtiment, est également une petite cuvette peu profonde de 20cm (fig. 98). Un fragment de *tegulae* provient de son comblement. Seule la fosse F27, située plus au nord-est, au centre de la cour, est plus conséquente (fig. 109). Celle-ci, de forme subcirculaire de près de 1,80m de diamètre et 80cm de profondeur, possède un profil en bords évasés et un léger surcreusement en fond, où deux gros blocs de calcaire étaient présents. Aucun mobilier n'a toutefois été trouvé dans cette fosse.

Une dernière fosse non fouillée, F397, mérite toutefois d'être évoquée pour cette tranchée 2. En effet, celle-ci apparaît comme un large creusement irrégulier de 4,10m de longueur, qui a la particularité, d'une part de recouper le mur F24 (donc postérieur à l'abandon du bâtiment) d'autre part de comporter de nombreux éléments de démolition (TCA, moellons). Mais surtout, cette structure est la seule à avoir livré un lot d'une vingtaine de tessons, dont quelques-uns renvoient aux 3<sup>e</sup>-4<sup>e</sup> s. (bord de pot en céramique commune sombre à bord en poulie, couvercle à collerette, fig. 98 et 100). Elle constitue ainsi le seul fait témoignant d'une occupation tardive de la villa.

Dans la tranchée 1, on relève la présence d'un trou de poteau, F7, de 40cm de diamètre pour 30cm de profondeur (fig. 110). Bien que son comblement ne présente pas de trace de négatifs, la présence de blocs de probable calage laisse peu de doute sur sa fonction. Un fragment de TCA (non prélevé)



Figure 110 : photographie de la coupe du trou de poteau F7, tranchée 1

était également présent. Il pourrait témoigner de la présence d'un bâtiment sur poteaux dans l'angle nord-ouest de la cour, bien que l'absence de mobilier datant ne permette pas d'en assurer sa contemporanéité. Un autre trou de poteau (F285) de 70cm de diamètre et 52cm profondeur, a également été identifié plus au nord-est dans la tranchée 1, au sein du sondage 5 (fig. 75, 79 et 111). Sa présence dans le petit pavillon d'entrée formé des murs F10, F11 et F281 permet de douter qu'il a fonctionné en même temps. Il s'agirait peut-être d'un élément antérieur (déjà lié à un système d'entrée ?), à moins que celui-ci ne soit lié à la construction même du bâtiment. Son comblement renfermait quatre tessons datables du 1<sup>er</sup> ou du début du 2<sup>e</sup> s. ap. J.-C. (lot 8).

Enfin, nous terminerons ce chapitre par une dernière fosse située à l'est du pavillon d'entrée. Il s'agit de la fosse F276, qui a la spécificité d'être une sépulture animale. Très arasée (8 cm de profondeurs conservée), le squelette dégagé est apparu en très mauvais état (coxaux et fémurs étaient notamment absents), mais les éléments du crâne et des dents permettent d'identifier un petit canidé, allongé sur le côté gauche. Un tesson du haut Empire était également présent (lot 53). Il pourrait donc s'agir, dans l'entrée même de la cour refermant la partie résidentielle d'une sépulture d'un chien appartenant au propriétaire de la villa ou à sa familia.



Figure 111 : photographie zénithale du trou de poteau F285 (sondage 3), tranchée 1

2.4.1.5. Des aires de circulation ?

Les derniers faits que nous décrivons pour la *villa* sont deux structures linéaires orientées nord-sud, située à l'est, entre la cour maçonnée de la partie résidentielle et le fossé d'enclos de l'établissement. Ces deux faits, F48 en tranchée 3 et F82 en tranchée 4, s'apparentent à des petits fossés ou des empièvements de cailloutis calcaire d'environ 1m de large, prenant place dans de légères dépressions de 30 à 50cm de centimètres de profondeur (fig. 63 et 112 et 113). Trois tessons datables des 2<sup>e</sup>-3<sup>e</sup> s. ap. J.-C. ont été prélevé dans F48 (lot 13). F82 contenait

quant à lui 18 tessons du 1<sup>er</sup> s. ap. J.-C. (lots 2 et 42) et deux fragments de faune (lot 181).

Sans certitude, ces faits linéaires, qui n'ont pas été vus dans les autres tranchées, pourraient évoquer des aires de circulations le long du bord ouest de la *villa*.

2.4.1.6. Le mobilier isolé

Les trois passages du détecteur à métaux dans le secteur de la *villa* ont permis de collecter 88 objets<sup>25</sup>

<sup>25</sup> L'étude et le catalogue complet des objets figurent dans l'étude de Thomas Boucher en annexe 2.

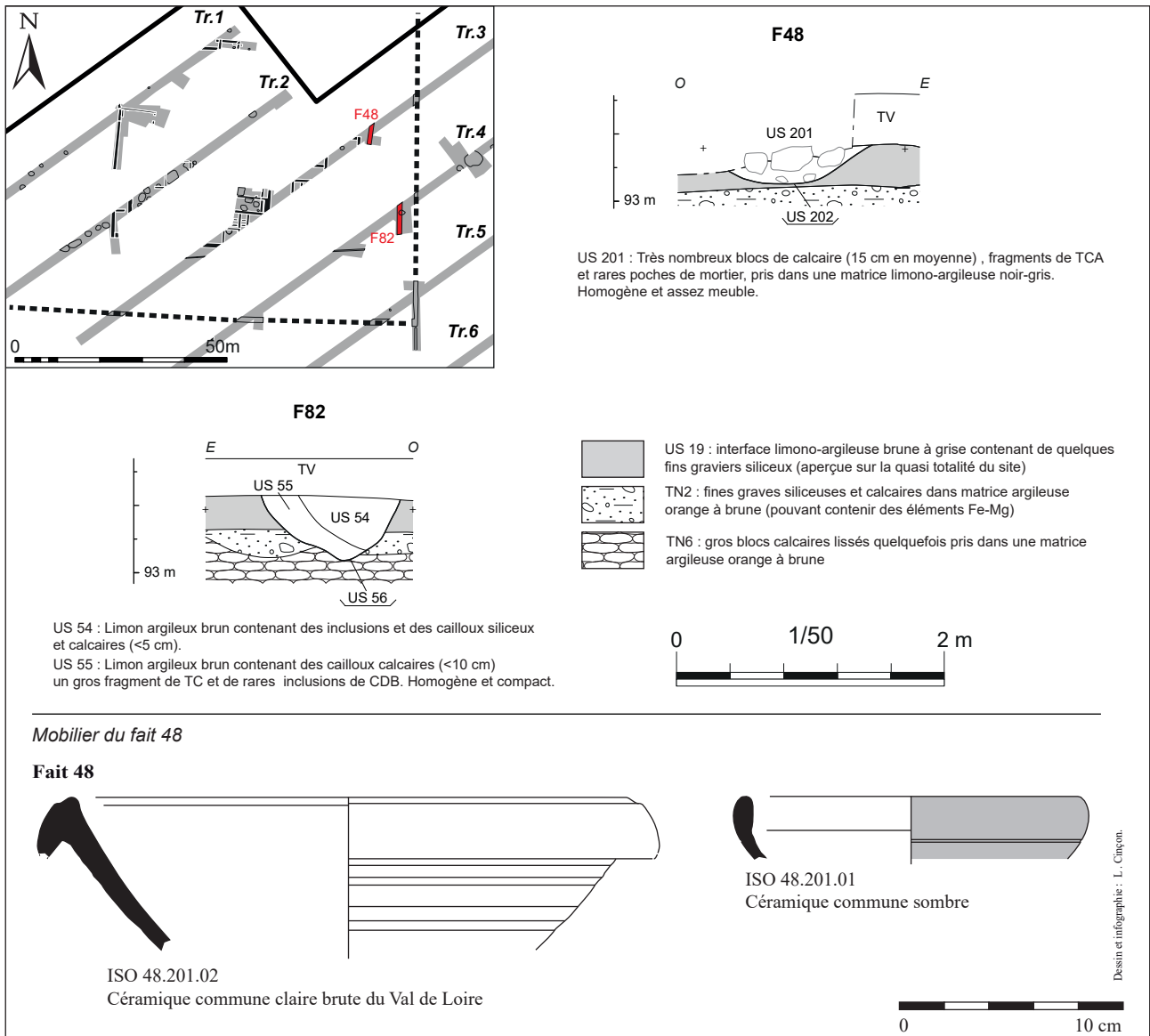


Figure 112 : Coupe et mobilier des structures F48 et F82





Figure 113 : photographie de la structure empierrée F48, tranchee 3

(fig. 115). Tous ne se rapportent cependant pas à la période Antique. Nous avons notamment évoqué plus haut la découverte de 11 monnaies de La Tène Finale. En outre, nous les évoquerons plus loin, 17 objets sont datables des époques postérieures (haut Moyen-Age, Moderne et Contemporaine).

Reste donc 58 objets, parmi lesquels seulement 14 sont assurément de l'époque romaine, huit par typologie et cinq monnaies. Toutefois, parmi le reste des objets de datation indéterminée, il est probable que la majorité se rapporte également à l'occupation de la villa. Il s'agit en effet d'une douzaine de coulures de plomb, de 25 fragments de plaques, tôles, tiges, disques ou anneaux en alliage cuivreux ou en plomb, de quatre clous en fer, d'un rivet en plomb, d'une sonnaile en fer, et de deux ferrures indéterminées...

Sur les objets datables de l'époque romaine, l'objet sans doute le plus singulier mis au jour est un fond de boîte à sceller en alliage cuivreux datable du 1<sup>er</sup> au 3<sup>e</sup> s. (iso 79, lot 303, fig. 114 [4]). On relèvera également la présence de trois éléments de vêtements ou de parures : une fibule circulaire à quatre appendices latéraux de type Feugère 27c datable du milieu du 2<sup>e</sup> s. ou du début du 3<sup>e</sup> s. (iso 33, lot 247, fig. 114 [1]) ; un bouton en alliage cuivreux émaillé également datable des 2<sup>e</sup>-3<sup>e</sup> s. (iso 31, lot 245, fig. 114 [2]) ; enfin une boucle en D en alliage cuivreux des 1<sup>er</sup>-2<sup>e</sup> s. (iso 17, lot 249). Parmi les ustensiles, se trouvent également une emboiture de canalisation en plomb (iso 27,

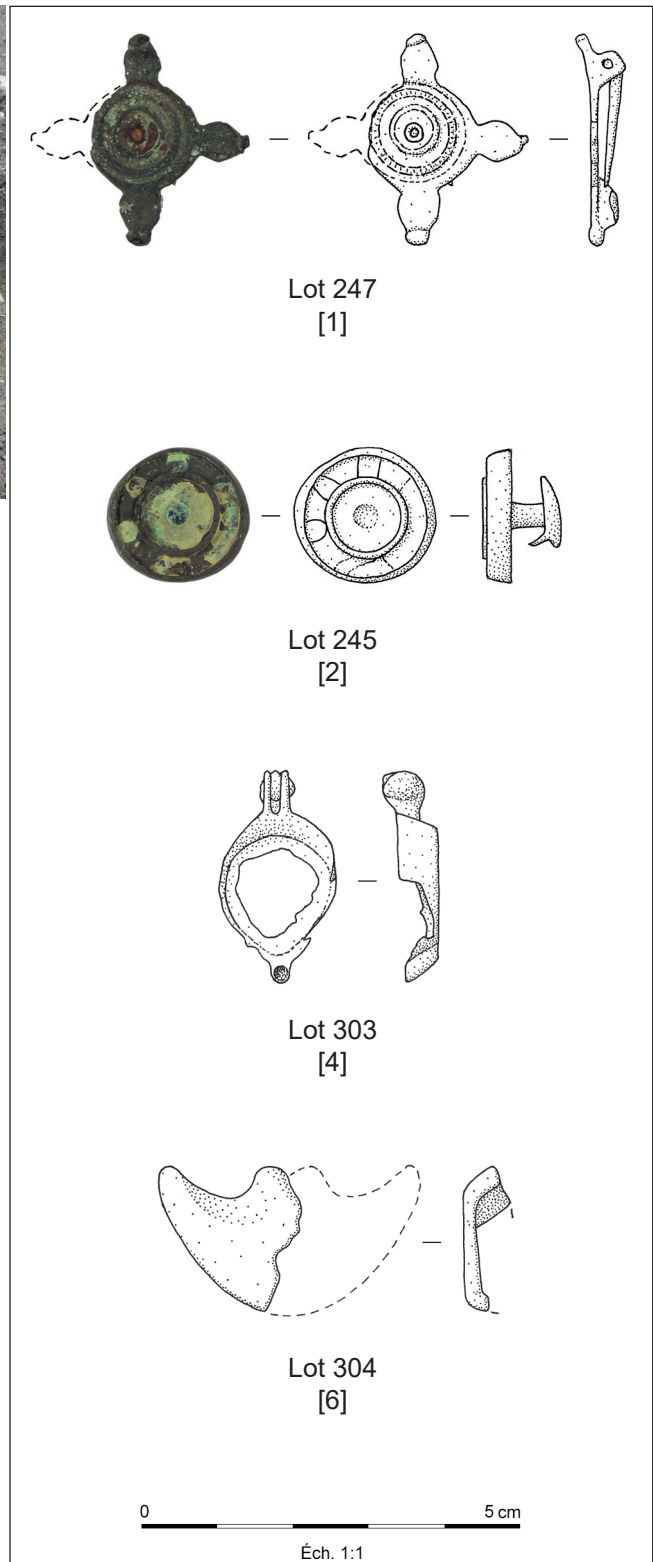


Figure 114 : Quelques objets remarquables mis au jour au détecteur à métaux dans le secteur de la villa

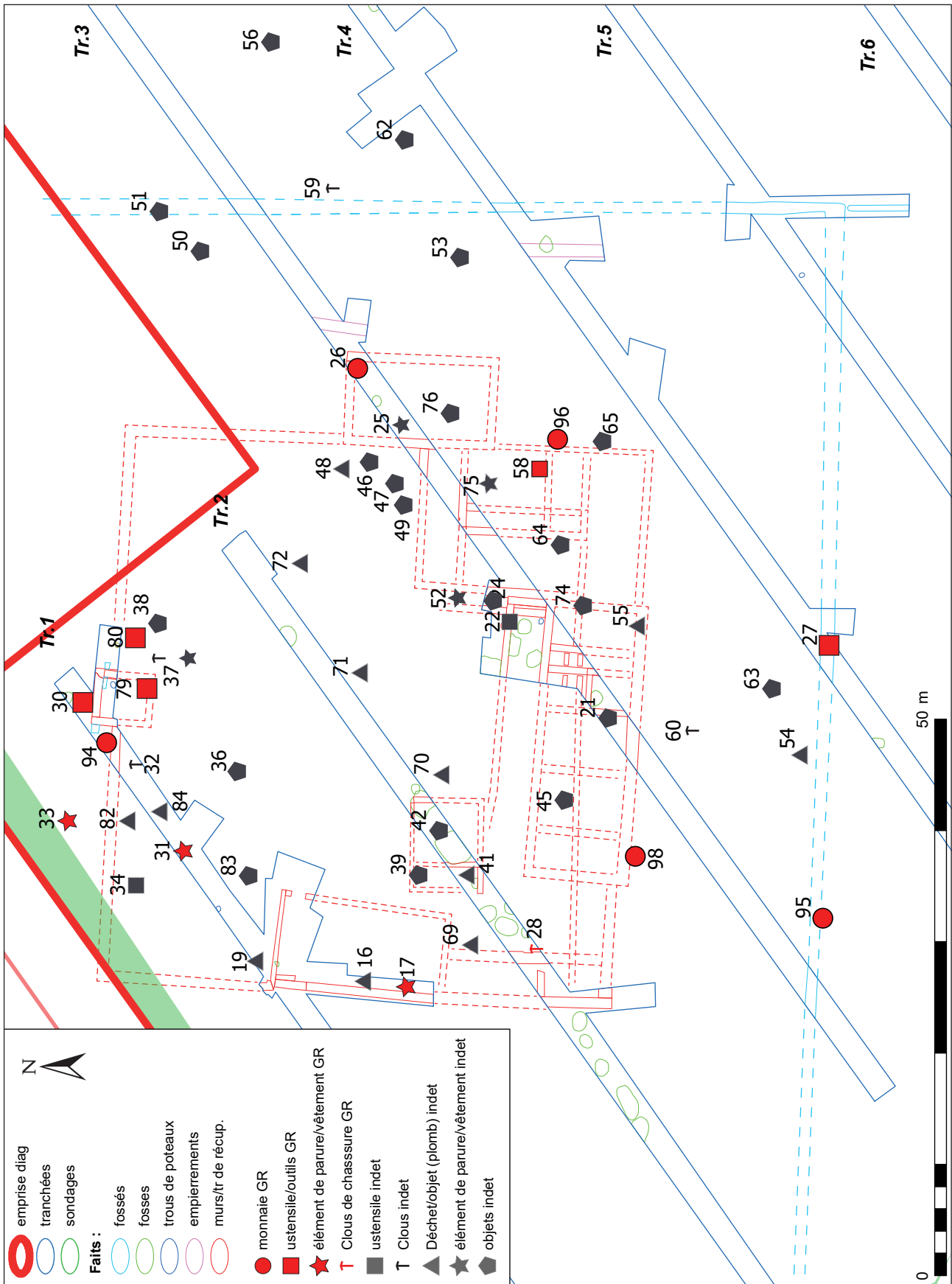


Figure 115 : Plan des objets d'époque romaine et indéterminée mis au jour dans le secteur de la villa

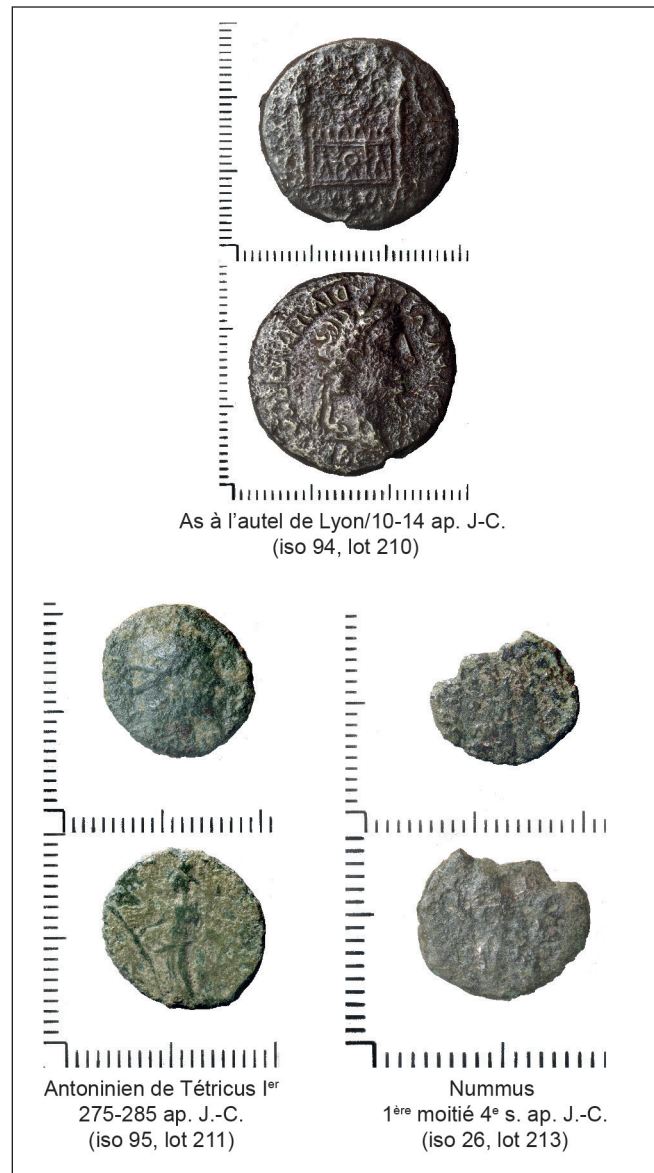
lot 290) ; des éléments de vaisselle dont un pied de casserole en alliage cuivreux des 1<sup>er</sup>-3<sup>e</sup> s. (iso 80 ; lot 304, **fig. 114 [6]**) et un plomb de réparation de pot (iso 30, lot 244). Enfin, on trouve également une serpette en fer (iso 58, lot 281).

Les cinq monnaies découvertes apportent en outre des éléments chronologiques intéressants (**fig. 116**)<sup>26</sup>. En effet, si une d'entre elles apparaît du 1<sup>er</sup> s. (as à l'autel de Lyon frappé en 10-14 ap. J.-C., iso 94, lot 210), quatre renvoient très probablement à la période d'abandon de la *villa* au cours du 4<sup>e</sup> s. On note ainsi deux antoninien de Tétricus I<sup>er</sup> en cuivre (iso 95 et 96, lots 211 et 212), émises entre 275 et 285 ap. J.-C. ; et surtout deux *nummus* en cuivre, qui, quoique indéterminés, renvoient à la première moitié du 4<sup>e</sup> s. (iso 26 et 98, lots 213 et 215).

#### 2.4.1.8. Éléments de synthèse sur le mobilier : chronologie et statut de l'occupation

Ainsi qu'on a pu l'apercevoir dans ce qui a été décrit plus haut, il ne semble pas qu'il y ait de *hiatus* entre l'occupation de La Tène et de l'époque romaine. Comme le montre l'étude de la céramique de Laureline Cinçon (**annexe 1**), des centaines de restes provenant du site de la *villa* renvoient à des datations de la fin du 1<sup>er</sup> s. av. et le début du 2<sup>e</sup> s. ap. J.-C. Somme toute, un seul fait, le fossé F372, peut être précisément daté de l'époque augustéenne (15 av. J.-C. à 20 ap. J.-C.). La période de transition reste ainsi mal documentée par les faits, mais on peut supposer une installation alors composée essentiellement de structures en creux ou de bâtiments peu implantés, qui peuvent avoir été largement tronqués par les constructions postérieures. C'est donc sans doute au cours du 1<sup>er</sup> s. ap. J.-C. que l'enclos fossoyé, le mur de clôture de la partie résidentielle et les premiers bâtiments sur solins sont installés.

Avec 377 restes de céramique pour 55 individus, la période des 2<sup>e</sup> et 3<sup>e</sup> s. est également très bien représentée dans le mobilier céramique. Cette période correspond sans doute à la reconstruction relativement monumentale de la partie résidentielle de la *villa*. La forte représentation de cette époque



**Figure 116** : Quelques monnaies mises au jour au détecteur à métaux dans le secteur de la *villa*

est en outre renforcée par la datation de quelques d'objets métalliques.

En revanche, le Bas-Empire est seulement identifié par 45 restes céramique et 8 individus. Un seul fait, la fosse F397, peut-être clairement daté de cette époque des 4<sup>e</sup>-5<sup>e</sup> s., par la présence de quelques éléments caractéristiques au sein d'un assemblage dominé par de la céramique redéposée du Haut-Empire. Le reste du mobilier de cette époque provient de niveaux de nettoyage de surface (US414, US421, US449), et renvoient donc probablement à l'abandon des bâtiments. Au final

<sup>26</sup> Etude et catalogue des monnaies de Murielle Troubaday en **annexe 3**.

ce sont donc les 4 monnaies du Bas-Empire, mis au jour au détecteur à métaux (dans la terre végétale), qui renseignent probablement le plus précisément la période d'abandon de la *villa*, certainement au cours du 4<sup>e</sup> s.

Globalement que ce soit par les objets métalliques isolés, ou bien la vaisselle céramique, le mobilier renvoie assez naturellement à une occupation plutôt privilégiée, ce qui apparaissait attendu du fait de la nature même des structures rencontrées. Ainsi la céramique comporte-t-elle, parmi des éléments majoritairement locaux somme toute classiques des contextes régionaux (86% des restes provenant ateliers de la cité des turons de Mougou à Crouzilles, de Thésée-Pouillé ou d'Amboise), quelques éléments d'importations. Ils se signalent particulièrement par des fragments de sigillées des officines du Sud et du Centre de la Gaule, et de la céramique fine provenant des officines de Gaule centrale ou bien de Lyon. Quant aux amphores, elles proviennent aussi bien de la péninsule Italique, de Bétique, de Tarraconaise et de Narbonnaise. L'approvisionnement du site révèle donc des liens commerciaux avec la région de Lyon (on rappellera également la présence d'une monnaie frappée à Lyon du 1<sup>er</sup> s. : iso 94, lot 210), le Sud et le Centre de la Gaule ainsi qu'avec les provinces italiennes et hispaniques.

Quoique de manière plus anecdotique, on signalera également la découverte d'un petit nombre d'éléments en verre (10NR, lots 185 à 187<sup>27</sup>). Ces quelques fragments de verre sodique de couleur bleu-vert comprenant un fond de bouteille et des fragments de gobelets, dont la datation gallo-romaine fait peu de doute, témoignent d'un vaisselier de qualité.

En ce qui concerne le mobilier métallique, quelques objets remarquables vont également dans ce sens, à commencer par la boîte à sceller (Iso 79, lot 303), ou encore l'élément de vaisselle métallique (iso 80 ; lot 304), et les quelques éléments de parure (isos 31 et 33, lot 244 et 247).

#### 2.4.1.8. Éléments de synthèse sur la *villa*

Le présent diagnostic réalisé à Sorigny a donc révélé la présence dans l'emprise de l'opération d'un établissement rural antique comprenant une partie bâtie quasi complète formée d'une cour enclose d'un mur, distribuant plusieurs bâtiments « en dur », et entourée d'un grand enclos fossoyé, délimitant sans doute des activités agropastorales, s'étendant plus largement hors emprise à l'ouest et au nord.

A ce titre, on peut associer à ces découvertes, celles effectuées lors des diagnostics de la LGV immédiatement au nord de notre emprise (Bouillon 2012 : 66-80) (fig. 117). On relèvera particulièrement la présence de la jonction de deux fossés à l'ouest renfermant du mobilier des 1<sup>er</sup>-2<sup>e</sup> s., qu'il serait tentant de rapprocher du système d'enclos fossoyé de cet établissement. Bien que ceux-ci présentent des gabarits sensiblement moins importants (70 cm à l'ouverture pour 40 cm de profondeur), que ceux mis au jour dans nos tranchées (1,30 m pour 80 cm de profondeur), il n'est pas exclu que la taille des fossés de l'enclos ait pu varier dans les différentes parties du site. En outre, la continuité de ces fossés vers le nord, de même que la suite de la limite orientale, n'ont pas été reconnus dans le diagnostic de 2012, et il apparaît difficile de situer la limite septentrionale de cet (ou ces) enclos. Toutefois, la présence d'une mare située seulement à une dizaine de mètres de l'angle nord-ouest de la clôture de la partie résidentielle, et de plusieurs fosses dispersées vers le nord datables du Haut-Empire, témoignent sans doute de l'extension des parties à vocation agropastorales de l'établissement ce dans ce secteur. Si l'on prend en considération l'emprise de ces vestiges gallo-romains mis au jour en 2012, alors on est tenté de penser que la surface de la totalité de l'établissement avoisine 2 ha.

A titre de comparaison, pour ne prendre qu'un exemple en Touraine, sans doute l'un des mieux documentés par une fouille récente, on citera tout particulièrement le site de la « La Roche-Deniaux » à Parçay-Meslay, qui présente de grandes similitudes (Fouillet, Lusson 2015, fig. 118). La partie résidentielle est enclose d'un mur tandis que les parties dédiées aux activités pastorales autour sont encloses d'un fossé. L'enclos maçonné

<sup>27</sup> Il provient de contextes de nettoyages de surface notamment au-dessus de l'arase du mur F9 (US 463, tranchée 1) ; de la fosse F14 (US440, tranchée 2) et de la fosse F398 (US 412, tranchée 2).



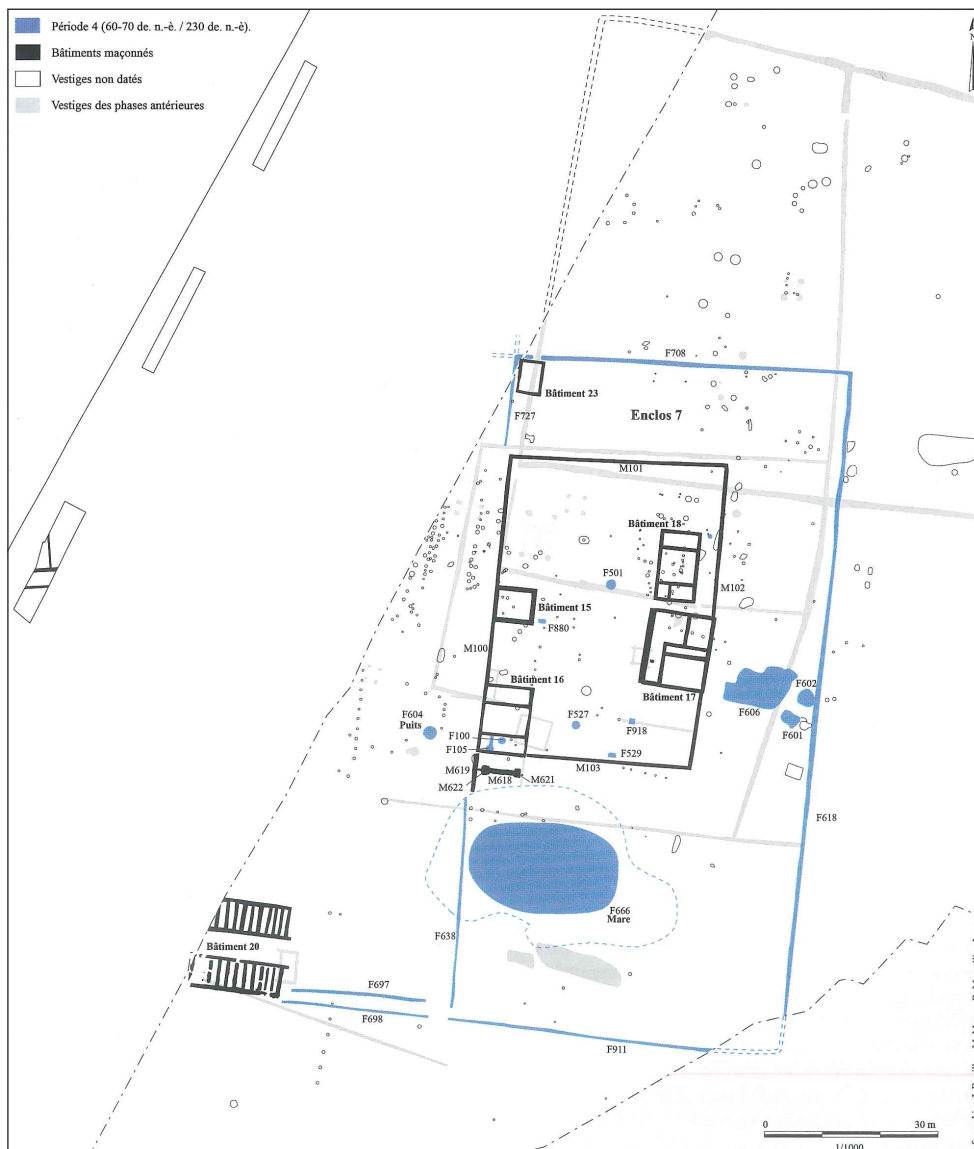
possède un porche d'entrée matérialisé par un petit édifice carré. Une des rares différences réside dans la partie résidentielle, dans la mesure où l'établissement de Sorigny (« Netilly<sup>28</sup> ») apparaît un peu plus développé et structuré, doté de bâtiments plus vastes aux pièces plus nombreuses, et surtout dont les derniers états sont solidement maçonnés à la chaux. Une autre différence peut être soulignée, celle de « la pauvreté du mobilier » constatée par Nicolas Fouillet sur le site de la « Roche-Deniaud » (absence de vaisselle métallique, une seule monnaie, faiblesse du corpus de vaisselle en

verre...). L'établissement de « Netilly » semble ainsi d'un statut social légèrement supérieur au vu des données du seul diagnostic.

Comme le souligne Nicolas Fouillet<sup>29</sup>, si ces sites présentent assurément des caractéristiques propres aux *villae* comme la juxtaposition d'espaces à vocation différentes (résidentielles et d'exploitation) et la présence d'un enclos maçonné muni d'un porche d'entrée, on constate toutefois quelques critères les démarquant nettement des grandes *villae* « classiques » : absences de balnéaires, de décors architectural (mosaïques, enduits peints, marbres), ou d'entités architecturales ostentatoire

<sup>28</sup> Nous l'appellerons ainsi pour la différencier des autres sites qualifiés de *villae* sur le territoire communal des « Ruaux » et de « Montisson », voire du « Four à Chaux » (cf. *supra* 1.6.2.3.).

<sup>29</sup> Que nous remercions vivement pour les échanges que nous avons pu avoir avec lui à propos de cette découverte.



(porche monumental, galerie sur façade, pavillons d'angle...)<sup>30</sup>. Aussi Nicolas Fouillet parle plutôt, pour la « Roche Deniaud » de « petite villa », voire de « grosse ferme » (Fouillet, Lusson 2015 : 192).

Selon les critères de classification définis par Cristina Gandini sur l'habitat rural antique de la cité des Bituriges (classification largement utilisée également en Touraine), ce site de « Nétilly » à Sorigny, serait probablement à classer dans les « villae moyennes à petites » (Gandini 2008 : 246). Cette catégorie comprend en effet les établissements dotés de bâtiments résidentiels structurés, maçonnés à la chaux, avec un caractère symétrique peu marqué, s'étendant sur moins d'une centaine de mètres, et présentant un assemblage de mobilier diversifié, avec présence d'importations. Toujours selon ce même travail, il faudrait probablement classer notre établissement rural dans la classe morphologique « Morpho G », c'est à dire un « habitat doté d'une clôture maçonnée enserrant la totalité des bâtiments » (résidentiels et d'exploitation type grange ou entrepôts, Gandini 2008 : 192). Cette tentative de classification doit cependant être prise à titre indicatif, dans la mesure où, d'une part, les données sont forcément lacunaires dans le cadre d'un diagnostic (il n'est notamment pas exclu qu'une fouille extensive mette au jour des bâtiments sur poteaux dans les espaces agropastoraux), et d'autre part, comme le souligne A. Ferdière, les tentatives de typologies sur l'habitat rural antique, restent souvent trop figées et restrictives (Ferdrière 2005 : 224).

Quoi qu'il en soit, la petite ou moyenne villa de « Nétilly », avec sa partie résidentielle dotée de deux bâtiments maçonnés à la chaux totalisant une vingtaine de pièces, semble toutefois bien mieux structurée que celles jusqu'ici mises au jour sur le territoire de Sorigny. Ainsi l'établissement de « Montisson », que Grégory Poitevin n'hésite à classer dans les « petites villae », ne possède-t-elle que deux espaces de cours encloses de murs et de fossés, dont l'un accueille la partie résidentielle dotée d'un seul bâtiment rectangulaire « en dur » sur solins

doté de six pièces (Poitevin 2014 : 413, fig. 119). De même, sur le diagnostic au « Four-à-Chaux »<sup>31</sup>, un seul bâtiment sur solins rectangulaire de 4 ou 6 pièces (résidentiel) et un autre sur poteau n'a, à ce jour, été identifié (Gransard 2020). Quant au site des « Ruaux » il livre deux bâtiments en pierre, dont un maçonné à la chaux à vocation résidentielle, mais les données de ce diagnostic restent trop partielles pour bien évaluer la structuration du site (Colonge 2011). La villa de « Nétilly » devait donc représenter l'un des sites les plus importants dans ce secteur.

<sup>31</sup> Marc Gransard ne parle pas de villa dans son rapport de diagnostic, mais « d'établissement rural ». La fouille de ce site permettra de mieux caractériser cet ensemble qui, en l'état, présente néanmoins de grandes similitudes avec la villa de « Montisson ».

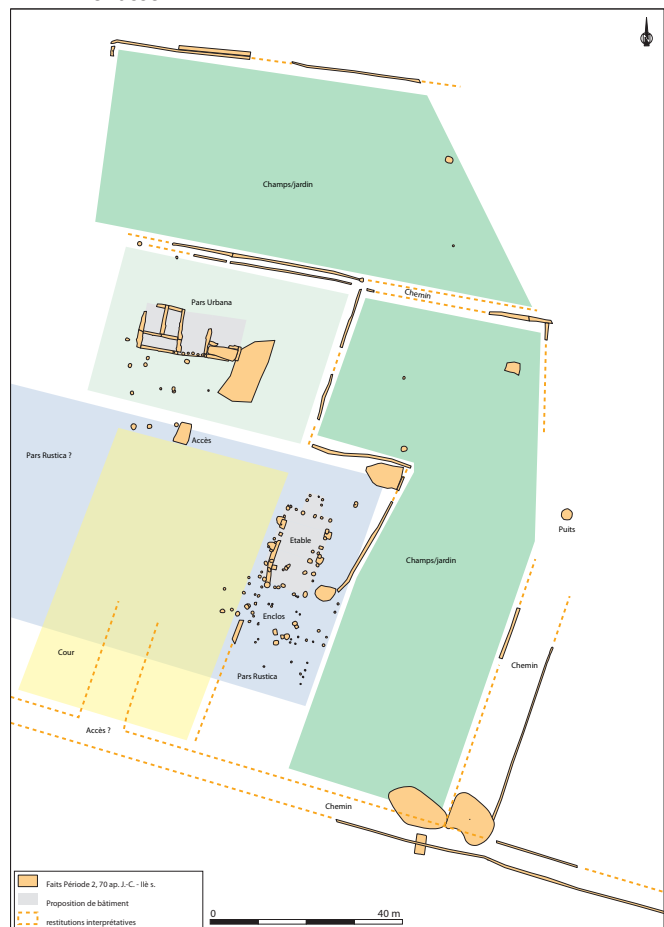


Figure 119 : Etablissement de « Montisson » à Sorigny (Poitevin 2014, p.237)

<sup>30</sup> Tels sont les critères retenus dans la notice de *l'Atlas archéologique de Touraine* pour les « grandes villae » (Ferdrière, Lauzanne, Seigne, Dubois 2014)

### 2.4.2. Un site à vocation sidérurgique

Un second site d'époque Antique est apparu lors du diagnostic. Celui-ci se développe à environ 500 m au nord-est de la *villa*, au nord de l'emprise du diagnostic (tranchées 72, 73, 74, 76 et 77, **fig. 62, 120 et 121**). Cette occupation s'étend sur une surface d'environ 7000 m<sup>2</sup> comprise dans la prescription. Ce gisement s'étend toutefois hors emprise, vers le sud-est.

L'occupation mise au jour est composée pratiquement uniquement structures en creux : fossés et fosses. Les fossés semblent en premier lieu dessiner un enclos quadrangulaire. D'autres éléments de fossés aux alentours, notamment au sud, semblent également s'inscrire dans cette occupation. Au sein de l'enclos, plusieurs structures sont apparues : des fossés, peut-être de partition, mais surtout des fosses. Enfin, une très grande fosse d'extraction apparaît présente au nord-ouest, à l'extérieur de l'enclos. Ce site a surtout la

particularité d'avoir livré des traces d'activité de forge.

#### 2.4.2.1. Les éléments structurants : les fossés

##### Les fossés de l'enclos

Les vestiges mis au jour permettent d'abord de définir les contours d'un enclos fossoyé. Celui-ci a été reconnu sur trois côtés. Au sud se trouve le fossé F537 (tranchées 74 et 77), orienté légèrement nord-ouest/sud-est. Sa connexion avec la limite ouest en angle quasi-droit a été reconnue à l'aide d'une extension dans la tranchée 74. Cette dernière limite, nord/sud, est composée du fossé F564/F501 (tranchée 73 et 74). Celui-ci se termine dans la tranchée 73, ou une autre extension a été pratiquée afin de vérifier la connexion avec la limite nord. Une interruption dans l'angle du fossé d'enclos est ici

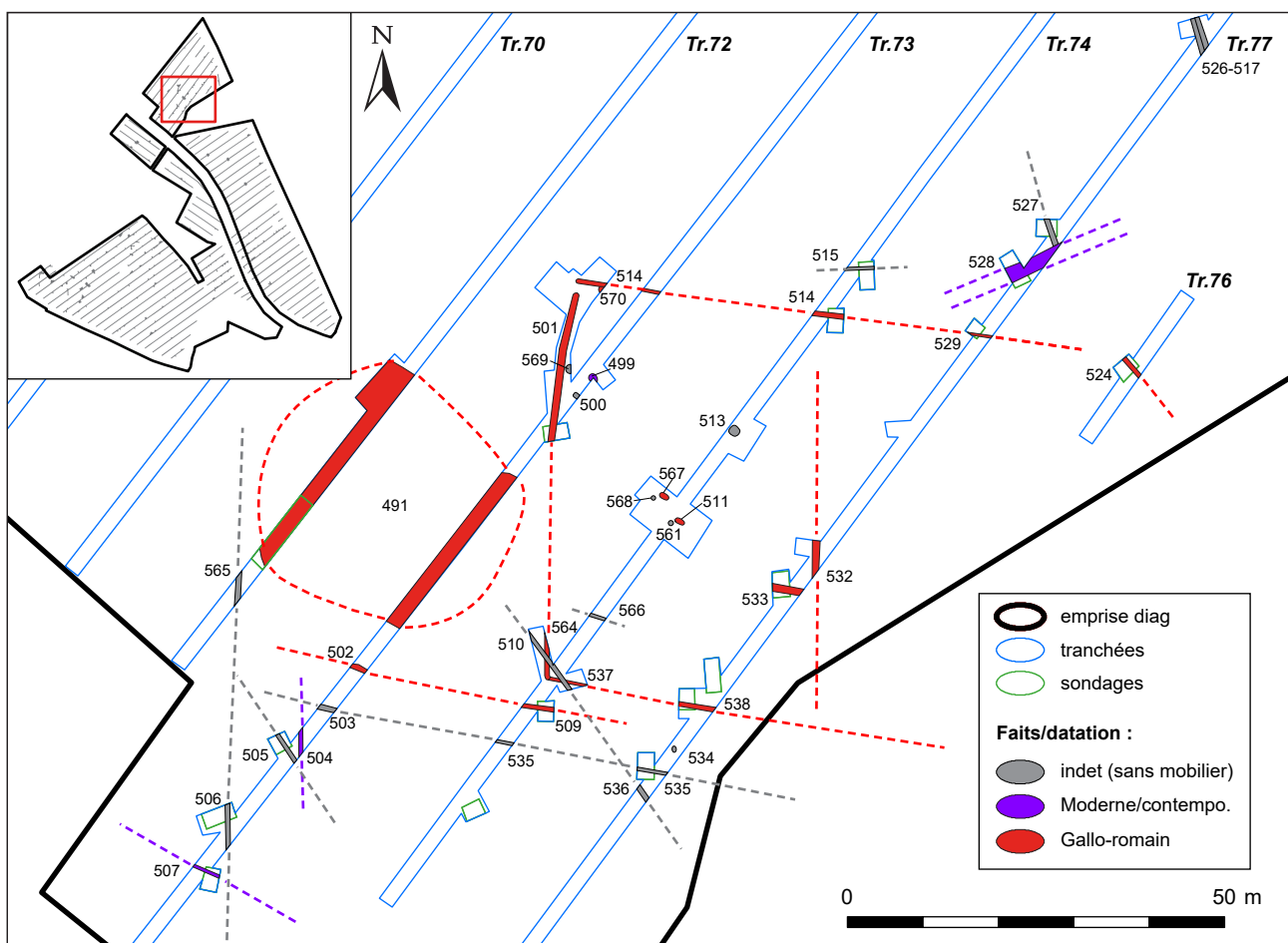


Figure 120 : Plan phasé des vestiges de l'occupation antique des tranchées 72 à 74 et 77



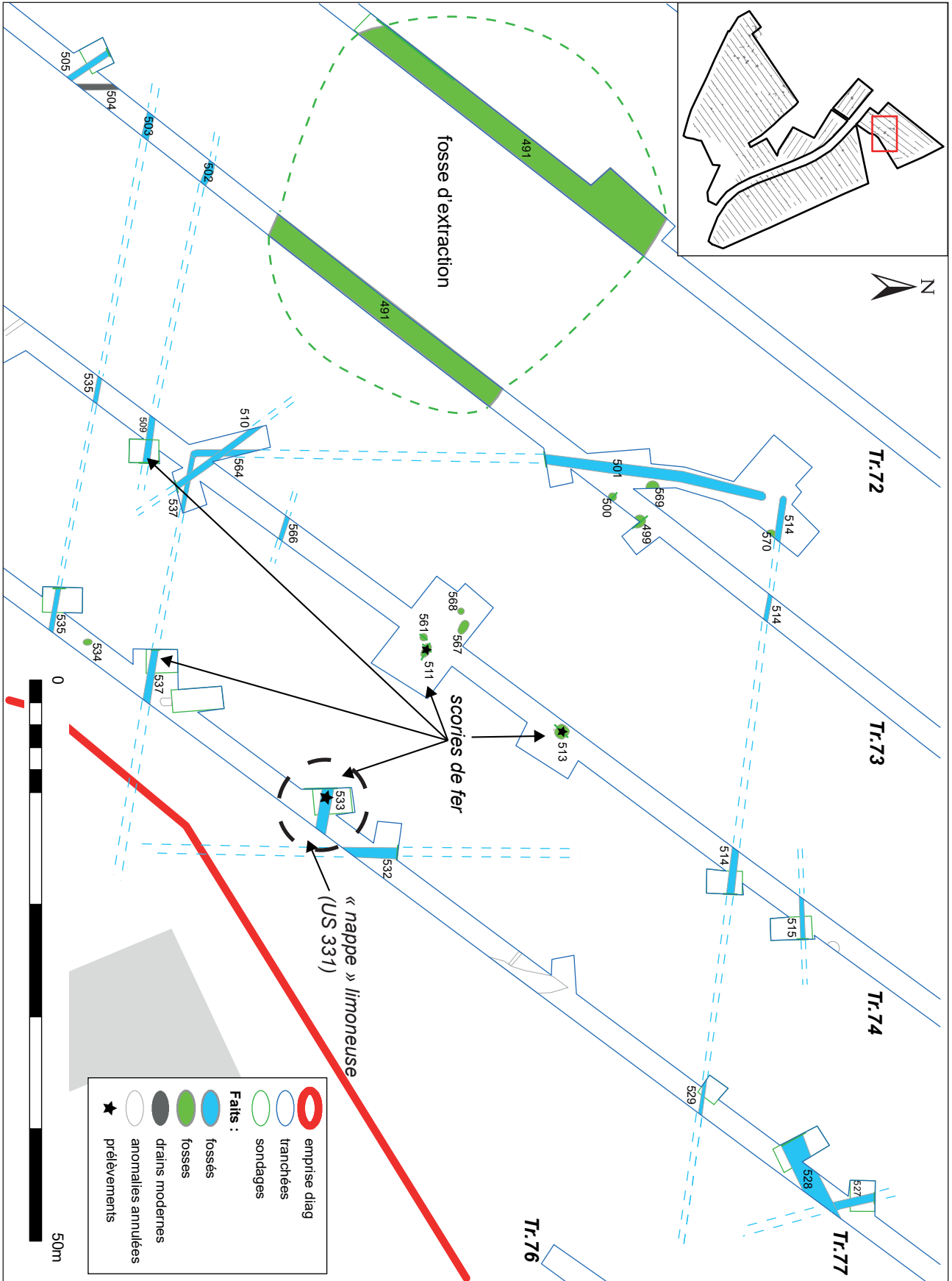


Figure 121 : Plan de détail des vestiges de l'occupation antique des tranchées 72 à 74 et 77, par type de structure

constatée. La limite nord a toutefois été identifiée, avec les fossés F514/F529 (tranchée 73, 74 et 77).

Les fossés de cet enclos apparaissent de taille modeste et peu profonds (fig. 122). Ainsi les coupes réalisées dans le fossé F537 (tranchée 74 fig. 126) au sud, F501 (tranchée 73 fig. 124) à l'ouest, et F514 (tranchée 74 fig. 125) au nord, font-ils apparaître de légers creusements aux bords très évasés. De taille variable à l'ouverture allant de 0,60 m à 1,14 m, ils sont tous profonds d'environ 40 cm.

Ces fossés renfermaient du mobilier. La limite ouest formée par le fossé F501 a livré la plus importante collection, composé de : 54 tessons de poterie dont l'assemblage a été daté de 40-70 ap. J.-C. (lot 1) ; 7 fragments de *tegulae* (portant des traces de chauffe, lot 132) ; et 3 objets en fer (1 tête de clou, 1 petite plaque, 1 fragment indéterminé, lot. 225). Le

mobilier mis au jour dans la limite nord se compose d'un tesson de pot (F514, lot 321) et de cinq restes de *dolium* du Haut-Empire (F529 : lot 120). Quant au fossé F537 au sud celui-ci comportait, outre un tesson protohistorique redéposé (lot 82), une scorie de fer (lot 316).

Un dernier fossé est peut-être associé, sans certitude, à la limite nord de l'enclos. Il s'agit du fossé F524 (tranchée 76, cf. *infra* fig. 130), qui se trouve dans le prolongement du fossé F514/529. Mesurant 90 cm de large à l'ouverture pour 50 cm de profondeur, un tesson du Haut-Empire (lot 115) a été recueilli dans ce fossé. Toutefois, il présente une nette différence d'orientation (nord-ouest/sud-est), ce qui laisse un doute sur sa connexion avec la limite nord, qui effectue peut-être un retour vers le sud avant la tranchée 76.

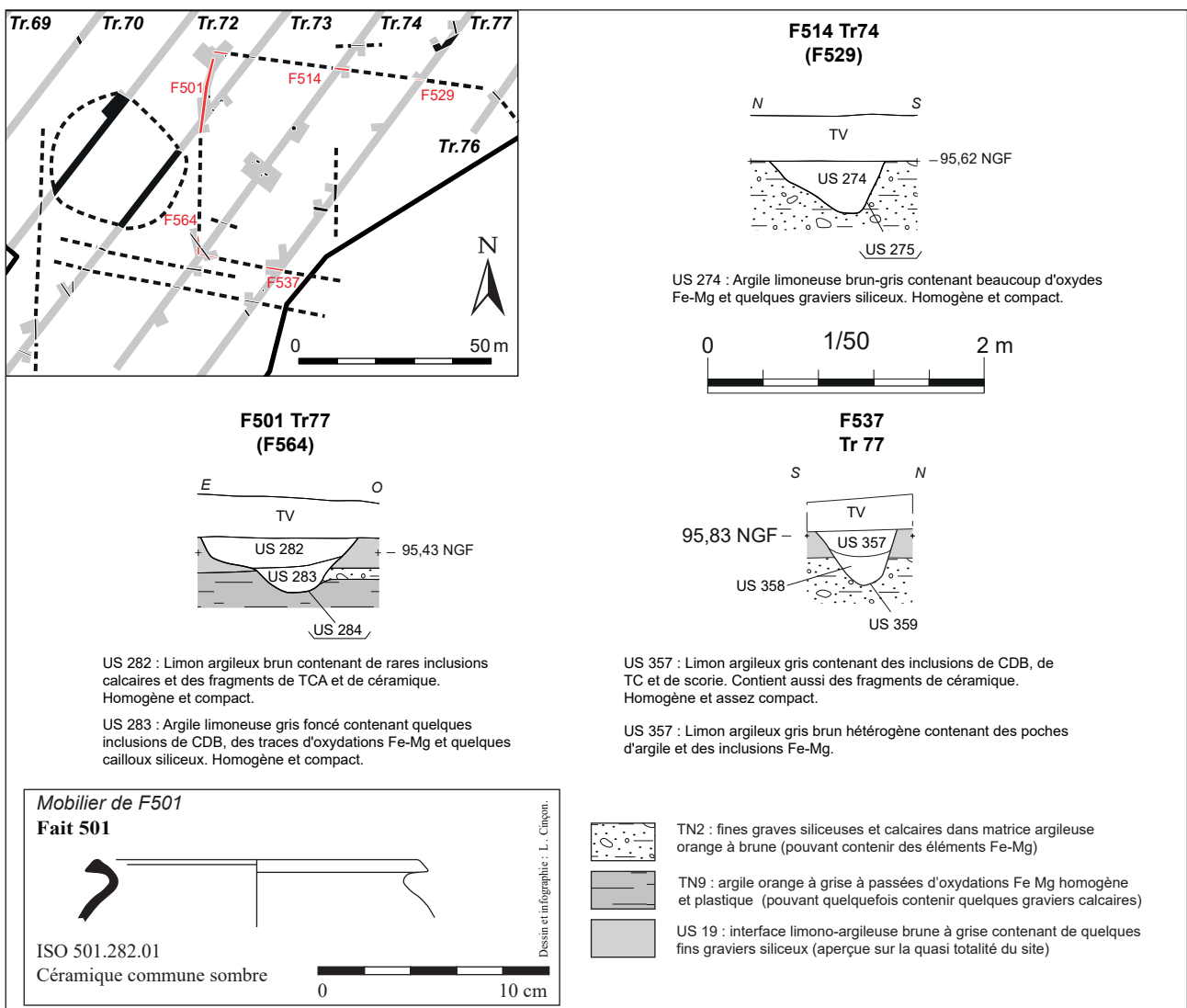


Figure 122 : Coupes des fossés de l'enclos



Figure 123 : Vue de l'angle nord-est de l'enclos (F501/514) dans l'extension de la tranchée 73



Figure 124 : Photographie du fossé F501, tranchée 73



Figure 126 : Photographie du fossé F537, tranchée 77



Figure 125 : Photographie du fossé F514, tranchée 74

Le tout formerait ainsi un enclos quadrangulaire (ou polygonal si l'on prend en compte le fossé F524), dont la limite orientale est en partie hors emprise. La surface de l'enclos comprise dans le diagnostic est d'environ 3 000m<sup>2</sup>.

#### ***Les fossés à l'intérieur de l'enclos***

Trois autres structures linéaires ont été identifiées au sein de l'enclos. L'une d'elle, F506, est une section d'un probable fossé de faible largeur (42 cm) situé en tranchée 74, qui n'a pas été sondé. Il apparaît toutefois parallèle à la limite sud (ou perpendiculaire à la limite ouest), et s'inscrit donc dans les orientations de l'enclos. Quoiqu'il n'ait pas

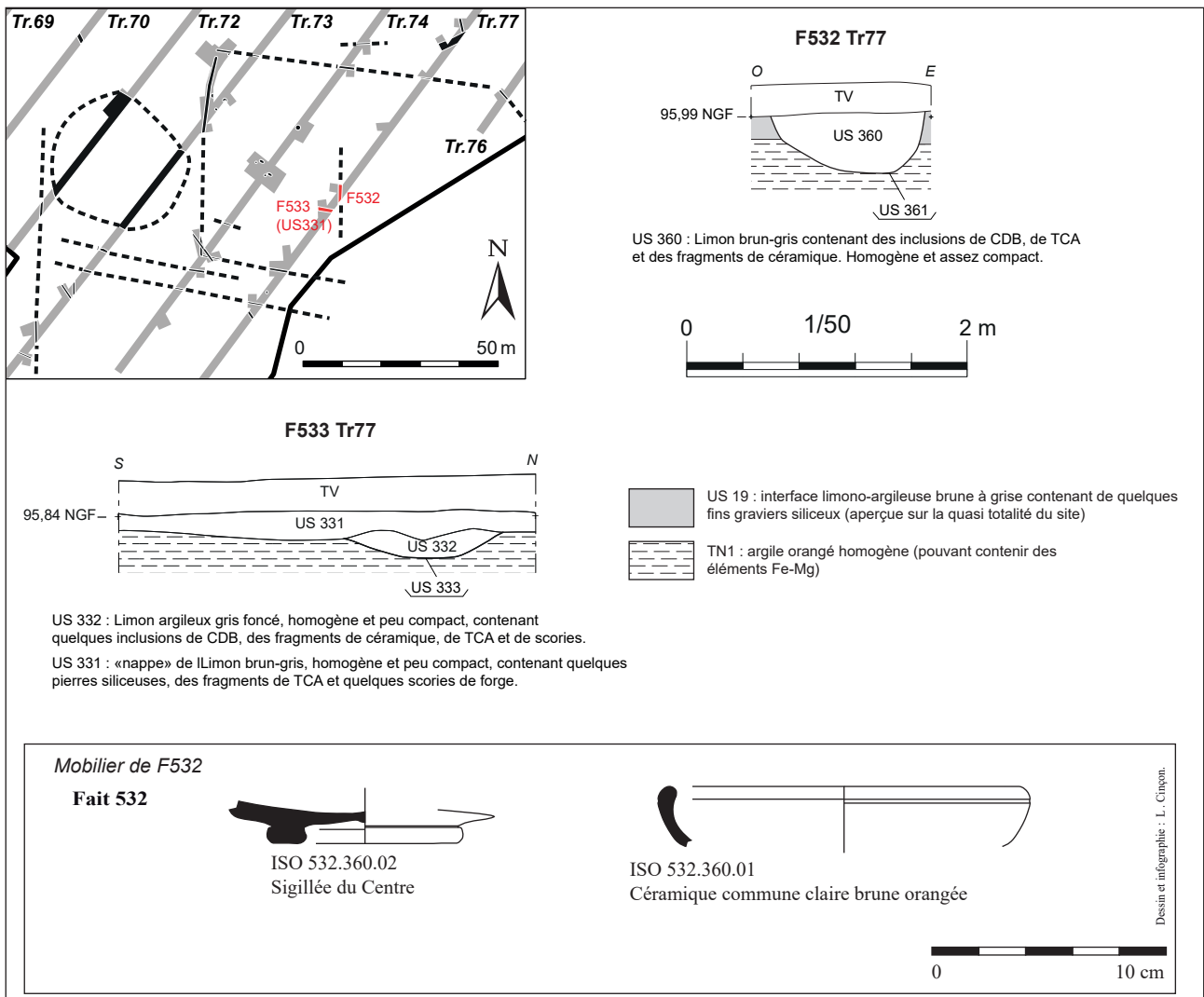


Figure 127 : Coupes des fossés F532 et F533, tranchée 77

été vu en tranchée 77, à l'est, il pourrait s'agir d'un fossé de partitionnement.

Les deux autres structures se situent en tranchée 77 (fig. 127). La première est un fossé orienté nord/sud, F532, s'accordant là encore avec l'alignement des fossés de l'enclos (fig. 128). De 1,08 m à l'ouverture pour 43 cm de profondeur, son gabarit semble en outre, proche de ceux observés pour les autres fossés. Sept tessons de poterie ont été mis au jour lors du sondage, se rapportant à la première moitié du 2<sup>e</sup> s. (lot 67), ainsi que 2 fragments de *tegulae* (lot 128). Il pourrait là aussi s'agir d'une partition de l'enclos.

On hésitera à qualifier de fossé la dernière structure linéaire observée, F533, quoique là encore, son orientation est/ouest apparaît conforme à celle



Figure 128 : Photographie du fossé F532, tranchée 77



Figure 129 : Coupe de la «nappe limoneuse» US331 et du fait F533

de l'enclos. En effet, si une légère cuvette a bien été observée au niveau du substrat, celle-ci n'excède pas 20 cm de profondeur. En revanche, cette structure à la particularité d'être recouverte de ce que l'on appellera, par défaut faute de pouvoir l'interpréter, une « nappe limoneuse » (US331). Il s'agit d'une couche cendreuse de limon brun-gris dont les limites diffuses n'ont pas été clairement perçues. Il ne s'agit donc pas d'un creusement. Cette couche et le fait F533 ont livré : 1 tesson du Haut-Empire (lot 230), 10 fragments de TCA dont des tegulae portant des traces de chauffe (lots 129 et 133), 1 tige en fer (lot 230), mais aussi 7 scories (lots 314 et 319).

### Les fossés à l'extérieur de l'enclos

Une série de fossés situés au sud de l'enclos apparaissent s'inscrire dans cette occupation. En premier lieu, on évoquera deux fossés, strictement parallèles à la limite méridionale de l'enclos (fig. 130).

Le premier a été reconnu sur deux tranchées (F502/F509, tranchée 72 et 73, fig. 131). Le second, au sud du premier a été enregistré sous les numéros F503/535 et reconnu sur trois tranchées (73, 74 et 77, fig. 132). Sondé en tranchée 73 pour le premier et en tranchée 77 pour le second, les coupes observées apparaissent semblables, et évoquent des profils en cuvette à bords obliques, larges de 80cm environ et peu profonds (34cm et 54cm). Le sondage dans le fossé F509, le plus proche de l'enclos a livré une douzaine de tessons du Haut-Empire (lot 23) ; 2 fragments d'*imbrex* (lot 145) et 5 scories de fer (lot 313). Le second fossé n'a pas livré

de mobilier. Avec une distance de 4,80 m entre les deux, ces deux éléments pourraient constituer un espace de circulation bordant le sud de l'enclos.

Un dernier fossé pourrait être associé à cette même occupation, enregistré sous les numéros F506 et F565 (tranchées 72 et 73). Bien que ne comportant pas de mobilier, ce fossé apparaît perpendiculaire aux précédents, et présente là encore un gabarit modeste et un profil semblable (75 cm de large pour 44 cm de profondeur). Il borde en outre le rebord ouest de la fosse d'extraction F491, dont nous reparlerons plus loin. Ce fossé pourrait constituer la limite ouest de l'occupation antique. Il n'a néanmoins pas été reconnu plus au nord.

### 2.4.2.2. Les fosses

A l'intérieur de l'enclos neuf fosses ont été identifiées dont cinq ont été fouillées partiellement (fig. 121 et 133). Une n'appartient assurément pas à l'occupation gallo-romaine (F499, ayant livré un tesson de bouteille contemporain). En revanche, sur les 8 autres, 3 ont bien livré du mobilier datant de l'Antiquité. Ce qui permet en outre de les associer, est la nature de leur comblement : elles sont en effet toutes remplies d'un sédiment de limons argileux, charbonneux et cendreaux.

Cinq fosses ont été repérées en tranchée 74. Parmi celles-ci, deux curieux couples de deux fosses ont été repérés au sein d'une extension F511/F561 et F567/568 (fig. 134). Ils se présentent sous la forme d'une fosse oblongue de 1,30 à 1,40 m de long sur 75 à 85 cm de large, bordé d'une fosse circulaire

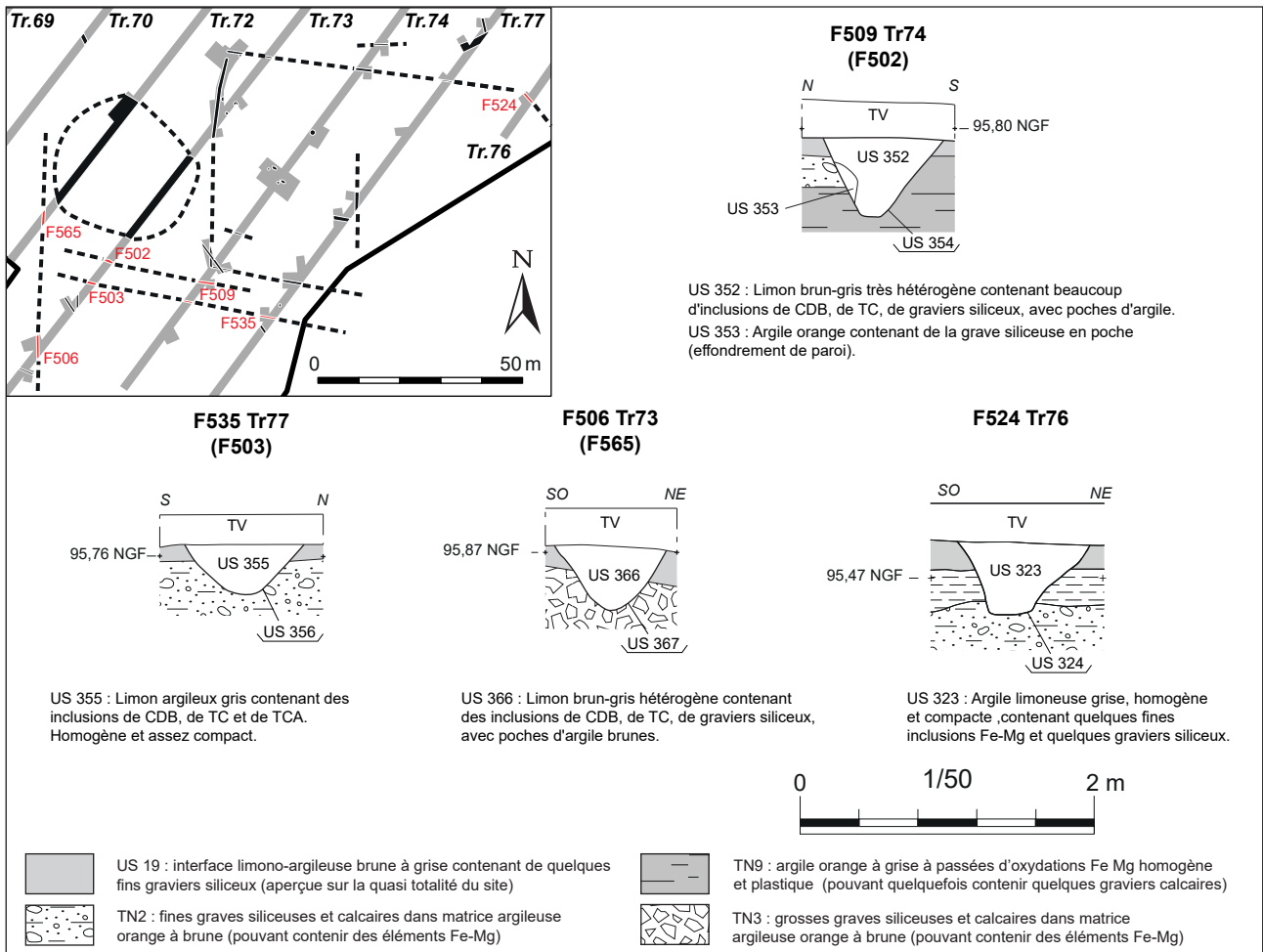


Figure 130 : Coupes des fossés périphériques attribuables à l'Antiquité



Figure 131 : Photographie du fossé F509, tranchée 74



Figure 132 : Photographie du fossé F535, tranchée 77

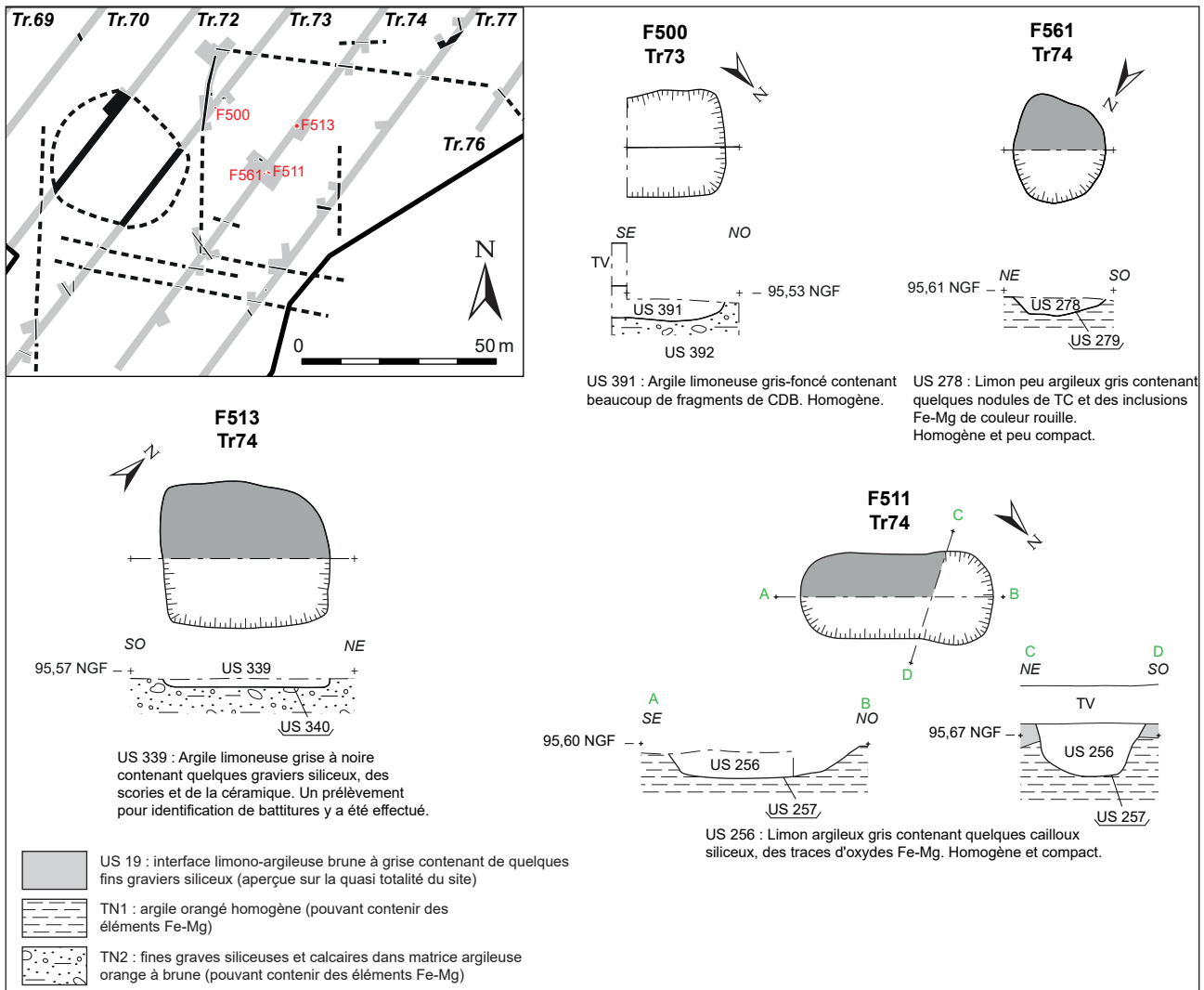


Figure 133 : Coupes des fosses fouillées au sein de l'enclos attribuables à l'Antiquité



Figure 134 : Photographie des fosses F511, 561, 568, 569 dans l'extension de la tranchée 74



Figure 135 : Coupe (CD) de la fosse F11, tranchée 74

d'une soixantaine de centimètres de diamètre. La fouille à 75% de la fosse oblongue F511 montre un creusement de 40 cm de profondeur, possédant un profil en cuvette au fond relativement plat (fig. 135). Son comblement particulièrement charbonneux a livré une scorie de fer (lot 235) et huit tessons de poterie du Haut-Empire (lot 68). La fosse circulaire à proximité (F561), fouillée à 50%, présentait une petite cuvette de 12 cm conservé sous le niveau de décapage. Elle n'a pas livré de mobilier. Les deux autres fosses similaires à proximité n'ont pas été fouillées. Un tesson gallo-romain (sans précision), a toutefois été ramassé en surface de F567 (lot 47).

Plus au nord-ouest, une autre fosse a été sondée à 50% (F513). De forme subrectangulaire de 1,20 m de long sur 1,08 m de large, elle présentait une faible profondeur (10 cm) bien que le décapage ait pu dans cette zone fortement raser la structure. Néanmoins, son comblement d'argile limoneuse grise à noire, et la présence de 2 scories de fer (lot 312), ne laisse aucun doute sur sa nature anthropique.

Dans la tranchée 73, une seule fosse a été fouillée, en limite de tranchée. Il s'agit de la fosse F500, là encore de forme subrectangulaire et toujours au comblement cendreux, de 78 cm large et 16 cm de profondeur (fig. 136). Les deux autres fosses de cette tranchée (hors F499, contemporaine), n'ont pas été fouillées. On notera toutefois que la fosse F570, qui semble recoupée par le fossé nord de l'enclos F514, a livré un tesson de la Tène Finale ou



Figure 136 : Photographie zénithale de la fosse F500, tranchée 73

Gallo-romain précoce (lot 93) ; ainsi qu'une scorie de fer (lot 318).

#### 2.4.2.2. La fosse d'extraction F491

A l'ouest de l'enclos, une très vaste fosse est présente (fig. 137). Celle-ci a été reconnue sur deux tranchées (72 et 73), et mesure un peu plus d'une trentaine de mètres de diamètre. Un sondage a été pratiqué sur un bord de cette fosse dans la tranchée 72 (fig. 138). Le fond n'a pas été atteint dans le sondage mécanique, qui s'est arrêté vers 1,90 m de profondeur sous le sol actuel. Ce sondage montre toutefois une fosse aux bords obliques, creusée ici dans un des rares endroits où le substrat calcaire apparaît relativement compact et homogène. Son comblement fait apparaître une certaine complexité, avec une succession de couches argileuses grise à orange, plus ou moins sableuses et chargées en cailloux et graviers. Toutefois, aucune marque d'hydromorphie n'est perceptible.

En conséquence, ce vaste creusement ne semble pas être une mare, mais plus certainement une fosse d'extraction de matériaux. C'est ici probablement le calcaire que l'on est venu chercher, peut-être en vue de constructions (extractions de cailloux ou fabrication de chaux ?).

Son appartenance à l'occupation gallo-romaine ne fait en outre aucun doute avec un lot de 23 tessons du Haut-Empire provenant de ce sondage (lot 11) et 5 fragments de TCA (lot 130). Là encore cette fosse a livré également quelques scories de fer, au nombre de quatre (lot 317).



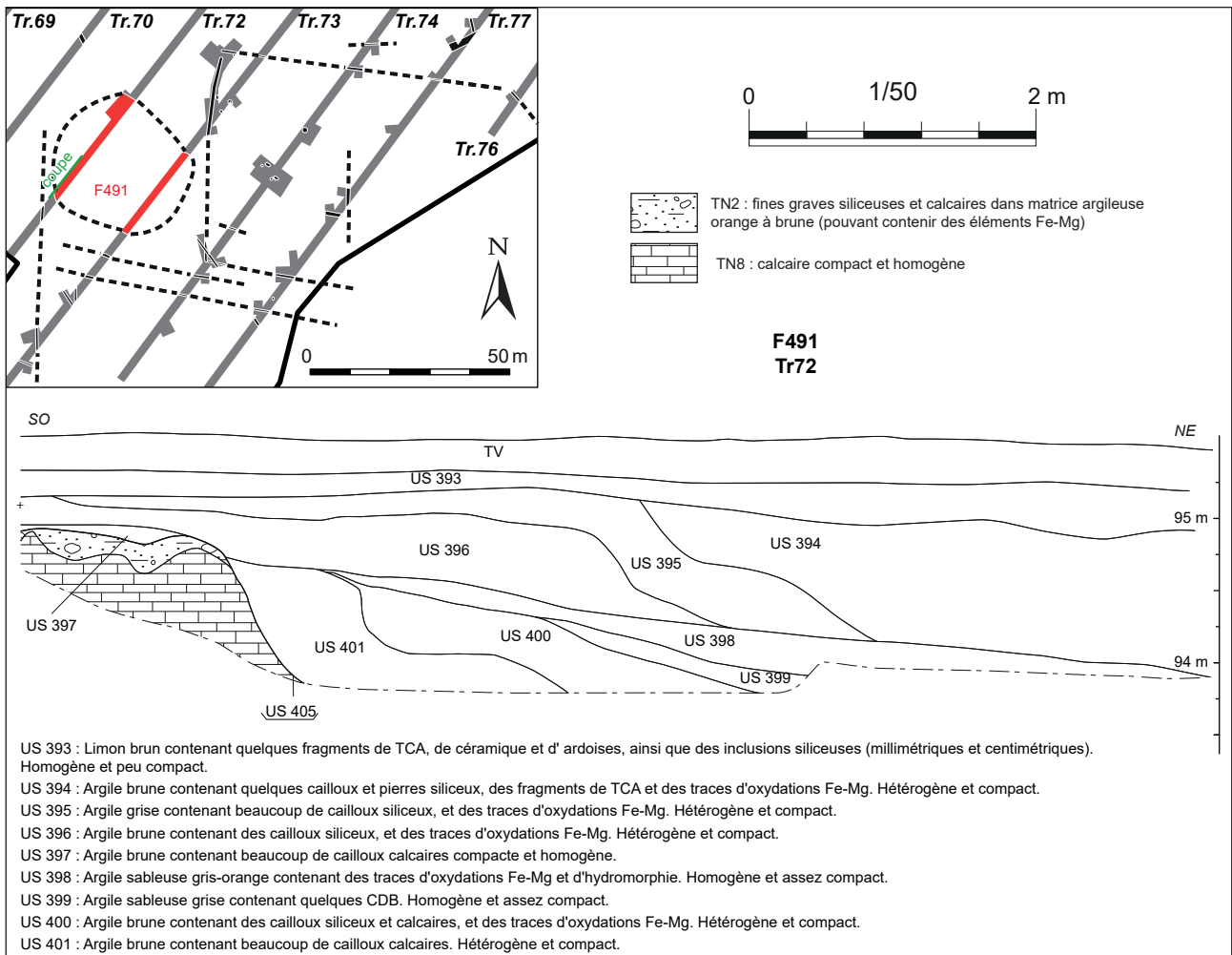


Figure 137 : Coupes du sondage dans la fosse d'extraction F491, tranchée 72



Figure 138 : Photographie de la coupe dans la fosse d'extraction F491, tranchée 72

### 2.4.2.3. Éléments chronologiques et fonctionnels : un site à vocation sidérurgique du 1<sup>er</sup> s. ?

Parmi le mobilier céramique récolté sur ce site, relativement pauvre avec seulement 113 restes, un élément chronologique semble néanmoins apparaître : celui d'une occupation relativement courte. S'il l'on excepte les éléments datables du Haut-Empire au sens large et hormis de rares éléments rapportables au début du 2<sup>e</sup> s. (dans l'abandon du fossé F532), le reste des éléments datant les plus précis semblent centrés sur le 1<sup>er</sup> s. ap. J-C.

D'un point de vue fonctionnel, on notera que ce mobilier céramique, s'il comporte quelques éléments de transport et de stockage (jarres, dolia), n'est toutefois pas exempt d'éléments domestiques classiques de contexte de transformation et de consommation d'aliments. On notera particulièrement la présence d'un fond de sigillée du Centre, d'un bord de marmite de cuisson en céramique commune brune (F532 lot 67), ou encore d'un fragment d'amphore italique (F501, lot 1).

Mais si la fonction d'habitat est probable (bien qu'aucun bâtiment ni même trou de poteaux n'ont été perçus), une autre fonction transparait dans les vestiges mis au jour : celui de la présence d'une petite collection d'une vingtaine de restes de déchets sidérurgiques (pour 1,3 kg), qui se répartissent assez largement au sein de l'enclos (F491, 509, 511, F513, F533 et US331, F537). En outre la majorité des comblements de fosses à l'aspect cendreux et charbonneux, indique assez nettement une activité liée au feu. Aussi, au vu de ces caractéristiques, il a été décidé sur le terrain de réaliser trois prélèvements de sédiments (dans F511, F513 et F533, [fig. 121](#)), afin de les tamiser et effectuer des tests de battitures. Ceux-ci se sont avérés positifs.

L'ensemble de ces déchets ont été confiés à Florian Sarreste (Eveha), spécialiste de la sidérurgie Antique pour étude ([annexe 4](#)). Celle-ci fait apparaître que les éléments mis au jour sont tous liés à une activité de post-réduction (épuration ou forge<sup>32</sup>). On relèvera

particulièrement la présence de quatre culots de forge (F509, lot 313 ; F491, lot 317 ; F513, lot 312 ; et US331, lot 319, [fig. 139](#)). Les battitures, si elles sont bien présentes, apparaissent toutefois en quantité infimes (quelques milligrammes, effectif inférieur à 100). Les autres éléments magnétiques issus des tamisages des trois prélèvements correspondent à des petits fragments de scories. Le fait F533 est celui qui en recelait le plus. Ainsi, comme l'indique F. Sarreste dans son étude, si la présence d'une activité sidérurgique est incontestable sur le site, ces micros-résidus témoignent plus d'une pollution des sols liés à une activité de forge située à peu de distance, mais dont l'emplacement n'a pas été identifié au diagnostic (peut-être proche de F533 et de la nappe limoneuse US331 ?).

Si l'on y ajoute la fonction d'extraction de matériaux avec la fosse F491, ce site révèle donc plusieurs activités particulières, liées à la fois à l'artisanat, mais aussi à l'exploitation des ressources locales (extraction de pierre pour la construction ?). Or cette occupation, bien que courte, est sans conteste contemporaine des premières phases de la *villa* située à quelques 500 m. Il se pourrait donc que ce petit site soit directement en lien avec le domaine d'exploitation contrôlé par cette dernière. Pour autant, nous reprendrons ici les conclusions de F. Sarreste : « seule la fouille extensive de



Figure 139 : Photographie de la face supérieure d'un culot de forge quasi-complet issu de l'US331, lot 319

<sup>32</sup> On ajoutera qu'aucune formation géologique du secteur ne semble renfermer de minerais de fer. L'activité de réduction est donc improbable.

ces aménagements liés à l'enclos et à la fosse d'extraction F491 permettrait, outre la mise au jour des éventuelles structures d'habitat, d'analyser l'ensemble des résidus sidérurgiques associés<sup>33</sup>.

<sup>33</sup> Nous ajouterons, et de peut-être mettre au jour l'emplacement d'une ou plusieurs forges.

### 2.4.3. Les structures gallo-romaines hors sites

En dehors des deux sites bien localisés et caractérisés de la *villa* et de l'occupation à vocation domestique et sidérurgique, huit autres structures dispersées mises au jour lors du diagnostic, peuvent être attribuées directement ou indirectement à l'occupation antique du secteur (fig. 63). Il s'agit d'un probable chemin, de fossés parcellaires, et de fosses isolées. De plus, quelques éléments de mobilier isolés, redéposés ou hors structure apparente, ont été collectés.

#### 2.4.3.1. Le parcellaire et les fosses dans l'environnement de la *villa*

##### Les fossés

Quatre fossés parcellaires ont été identifiés dans l'environnement de la *villa* (fig. 140, voir aussi *supra* fig. 64). Deux ont été repérés dans deux tranchées à l'est de cette dernière. Le premier a été enregistré sous les numéros F77/F93 (tranchée 4 et 5). Celui-ci est orienté est-ouest et apparaît quasi perpendiculaire au fossé d'enclos de la *villa*. Il a été sondé dans la tranchée 4. Sa coupe présente un profil en cuvette à bords évasés, large à l'ouverture d'environ 1m et profond de 36 cm (fig. 141). Celui-ci a livré un important mobilier céramique composé de 40 restes datables du 1<sup>er</sup> s. ap. J.-C. (-15 av./70 ap. J.-C., lot. 30). Le second fossé, bien que sans mobilier, apparaît strictement parallèle au précédent, situé une trentaine de mètres au sud. Il a été identifié dans la tranchée 5 (non perçu dans les tranchées 4 et 6). Il mesure 80 cm à l'ouverture pour 30 cm de profondeur, et possède un profil similaire au précédent.

Enfin, deux fossés ont été reconnus au sud de la *villa*, dans les tranchées 5 à 7. Il s'agit des fossés

et F169 (fig. 142 et 143). Ce dernier, orienté nord-sud, bien que sans connexion, apparaît strictement dans l'alignement de la limite orientale de l'enclos fossoyé de la *villa*. Sondé à deux reprises dans les tranchées 6 et 7, son profil apparaît variable. De 1m à l'ouverture et 30 cm de profondeur en tranchée 6, aux bords évasés et à fond plat, celui-ci apparaît réduit en tranchée 7 à 44 cm à l'ouverture pour 15cm de profondeur en tranchée 7, au profil en cuvette. Quant au fossé F167, pratiquement perpendiculaire à F169, il présente un gabarit et un profil quasi similaire à celui constaté pour F169 en tranchée 7. Ces deux fossés n'ont livré aucun élément mobilier. Mais au vu de leurs positions et de leurs orientations, il semble ne faire guère de doute qu'ils constituent des éléments parcellaires en lien avec l'occupation antique du secteur.

L'ensemble de ces fossés orientés est-ouest ou nord-sud, autour de l'enclos de *villa*, témoigne donc sans doute de la mise en place d'un parcellaire dans le domaine d'exploitation agro-pastoral de l'environnement immédiat de l'établissement antique.

Les fosses

##### Les fosses

A l'est de l'enclos fossoyé de la *villa* trois fosses isolées renfermant du mobilier antique ont en outre été mises au jour, signalant là encore d'une occupation diffuse de ce secteur à vocation agraire.

La plus remarquable est la fosse F129, en tranchée 4 (fig. 140 et 144). Il s'agit d'une grande fosse de forme ovoïde (1,75 m par 1,53 m), présentant un profil en auge aux bords droits et à fond plat légèrement irrégulier. Cette fosse se signale par un comblement complexe, indiquant un comblement progressif, avec les couches inférieures

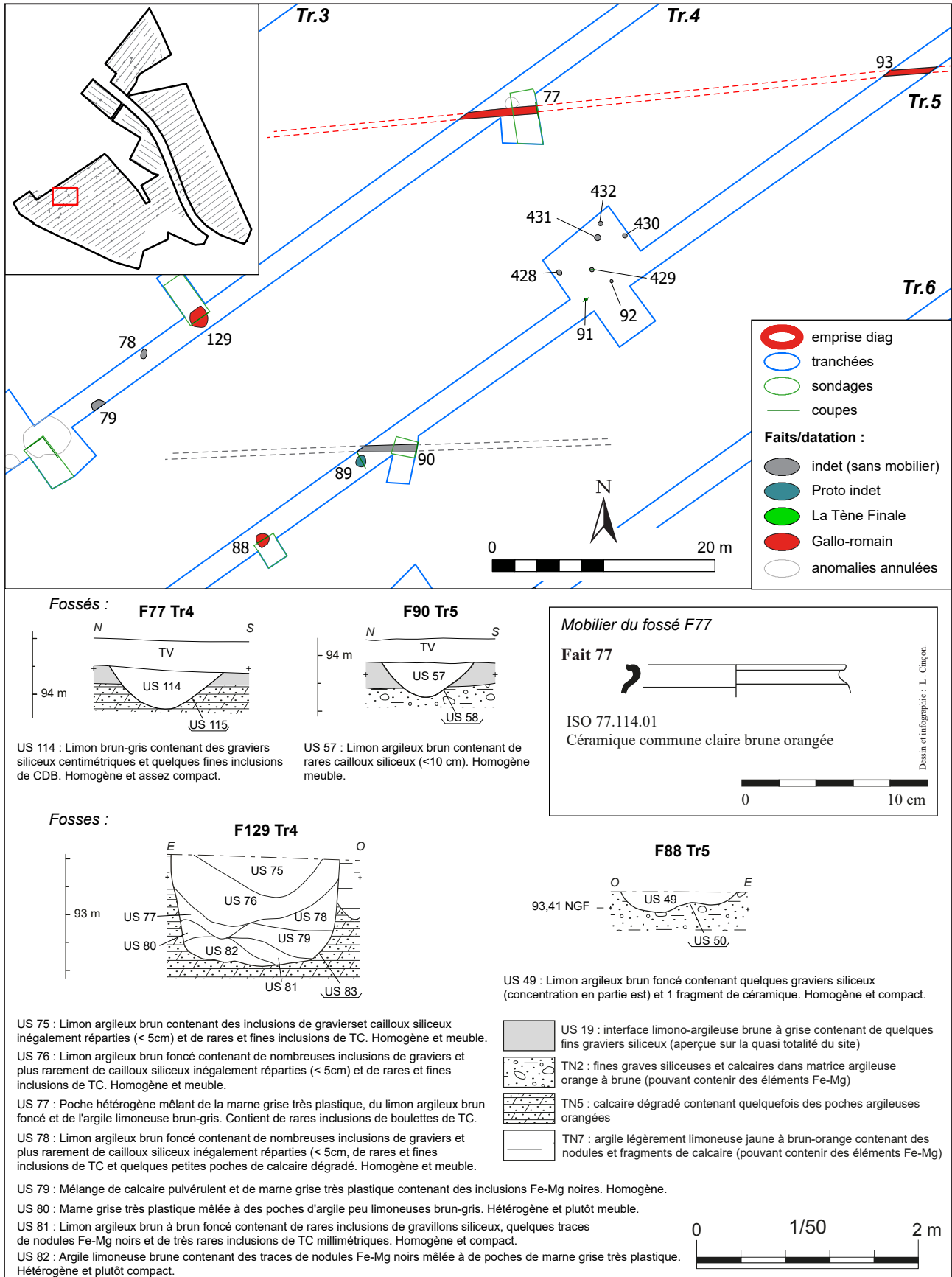


Figure 140 : Coupes des faits hors site, situés à l'est de la villa, attribuables à l'Antiquité



Figure 141 : Photographie de la coupe fossé parcellaire F77, tranchée 4



Figure 142 : Photographie de la coupe fossé parcellaire F169, tranchée 7

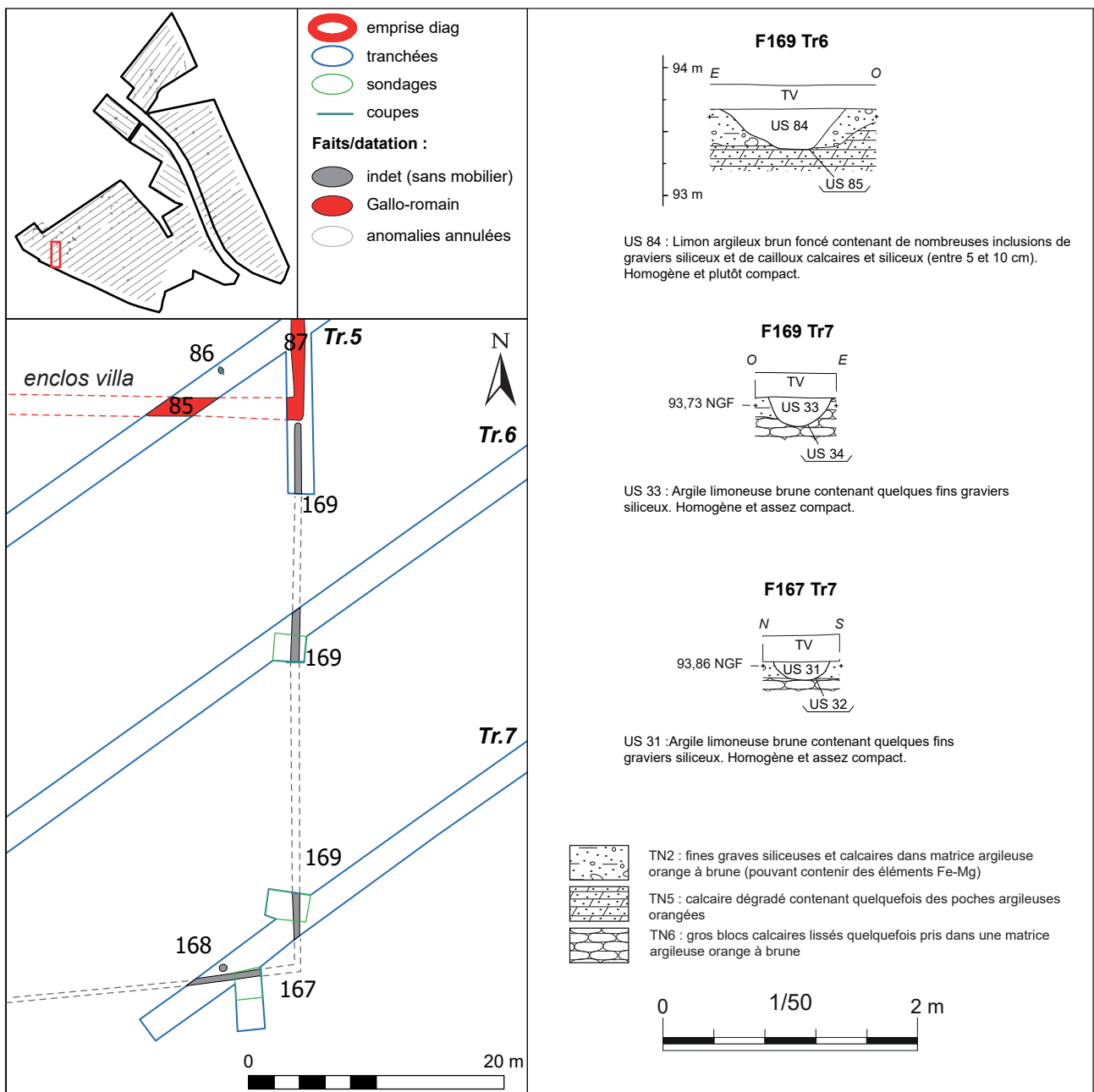


Figure 143 : Coupes des fossés parcellaires hors site, situés au sud de la villa, attribuables à l'Antiquité



Figure 144 : Photographie de la coupe de la fosse F129, tranchée 4

constituées de substrat remanié (US77 et 79 à 82 : marnes grises, argile et calcaire), et un comblement supérieur plus massif constitué de limons argileux bruns (US 75, 76 et 78). Cette fosse ne renfermait qu'un tessou du Haut-Empire (lot 119), et trois fragments de TCA (lot 141). Fosse d'extraction (de marne ?) ou fosse liée à tout autre activité agro pastorale ? La question reste ouverte pour cette structure située à seulement 25 m à l'ouest de l'enclos fossoyé de la *villa*.

Non loin au sud, en tranchée 5, un autre petit creusement (F88), une petite fosse, aux formes irrégulières de 1 m de diamètre pour une vingtaine de centimètres de profondeur a été identifiée. Bien que douteuse au prime abord, son comblement de limons bruns anthropisés renfermant un tessou du Haut-Empire (lot 64), a conduit à la valider en tant que fait anthropique.

La dernière fosse isolée du secteur est de la *villa* se trouve un peu plus éloignée à quelques 150 m au nord-ouest de l'enclos en tranchée 3 (fig. 145 et 146). Cette fosse F497, recoupe le trou de poteau F56 attribuables à La Tène Moyenne. De forme circulaire de 1 m de diamètre environ, présentant un profil en cuvette à bords évasés. Fouillée à 50%, un tessou gallo-romain (sans précision) a été mis au jour dans son comblement (lot 20).

Là encore, il convient également de rappeler un nouvelle fois qu'un certain nombre de fosses non

fouillées<sup>34</sup>, ou bien fouillées mais n'ayant pas livré de mobilier<sup>35</sup>, dans ce secteur oriental et méridional de la *villa*, déjà évoquées pour la période de La Tène, pourrait se rapporter à l'occupation antique.

### Le mobilier isolé

Le mobilier isolé du secteur est peu abondant. Nous avons déjà signalé plus haut (cf. chap. 2.1.), la présence d'un mobilier antique « piégé » dans ce qui a été qualifié d'anomalie naturelle F80, constitué de deux tessous du Haut-Empire (lot 31) et trois fragments de *tegulae* et d'*imbres* (lot 146). A celui-ci, on ajoutera pour cette zone, la présence d'un tessou de céramique commune brune du haut-Empire (lot 155), mis au jour en position redéposé dans le fait F478<sup>36</sup>, tranchée 5, et un autre de même type dans F193<sup>37</sup> en tranchée 9 (lot 49).

### 2.4.3.2. Les vestiges d'un chemin antique ?

Un peu plus de 200 m à l'est de la *villa*, les vestiges d'un très probable chemin ont été identifiés (F246, fig. 147 et 148). Ceux-ci ont été reconnus dans 7 tranchées successives (tranchées 12 à 18). Sondé à deux reprises en tranchée 12 et 16, il présente les caractéristiques d'un chemin creux, de 2,20m de large environ, dont un empièchement de pierres calcaire de 5 à 40cm de module, vient combler une légère dépression d'une trentaine de centimètres de profondeur conservée directement sous la terre végétale. Les traces d'un fossé, peut-être antérieur (à moins qu'il ne soit contemporain, les limites étant très diffuses), ont en outre été identifiés tout au long de son bord oriental (F249/274). Un autre fossé (bordier ?), le long du bord ouest, large de 80cm et profond de 30cm, a été mis au jour uniquement en tranchée 12 (F245).

La datation de ce chemin, ne repose de fait que sur très peu d'éléments mobilier. Seuls 3 tessous

<sup>34</sup> F2 et F4 tranchée 1 ; F14, F16, F17, F18, F19 à F21 et F399, tranchée 2 ; F45, tranchée 3 ; F78 et F79, tranchée 4 ; F166 tranchée 6.

<sup>35</sup> F7, tranchée 1 ; F22 et F27 tranchée 2 ; F45, tranchée 3 ; F84, tranchée 4 ; F86, tranchée 5 ; F160, tranchée 6 ; F170, tranchée 7. Ces faits seront présentés plus loin.

<sup>36</sup> Sépulture d'une nécropole du Haut Moyen Âge, que nous présenterons ci-après

<sup>37</sup> Fossé d'époque moderne ou contemporaine

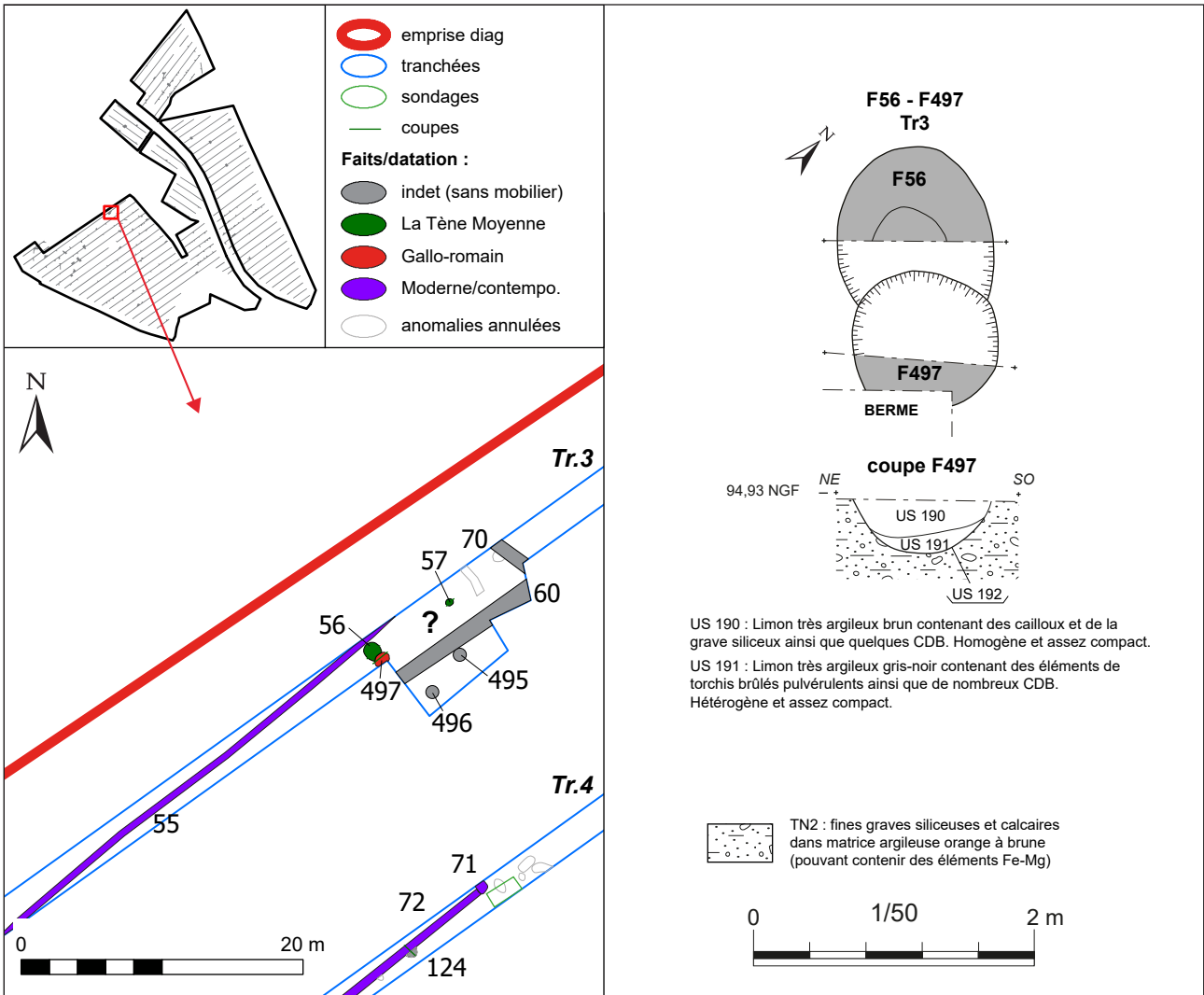


Figure 145 : Plan et coupe de la fosse F497



Figure 146 : Photographie de la coupe de la fosse F497

datables du haut-Empire ont été prélevés dans le sondage effectué dans le fossé F245. Aucun mobilier ne provient du chemin en lui-même. Néanmoins, son orientation nord-sud, dans la même orientation que les vestiges de la *villa*, et du parcellaire évoqué plus haut, plaide en faveur d'un axe de circulation d'origine antique.

Ce chemin n'a en revanche pas été reconnu plus au nord. Sa continuité, dans cette partie « haute » du diagnostic, n'est pas improbable et peut-être que les labours en ont effacé totalement les vestiges.

Un dernier fossé, F302, peut être également évoqué. Celui-ci, mis au jour sur une seule portion en tranchée 19, apparaît strictement parallèle au chemin (fig. 147). De 68 cm de large pour 27 cm de profondeur, son profil et son orientation tendent

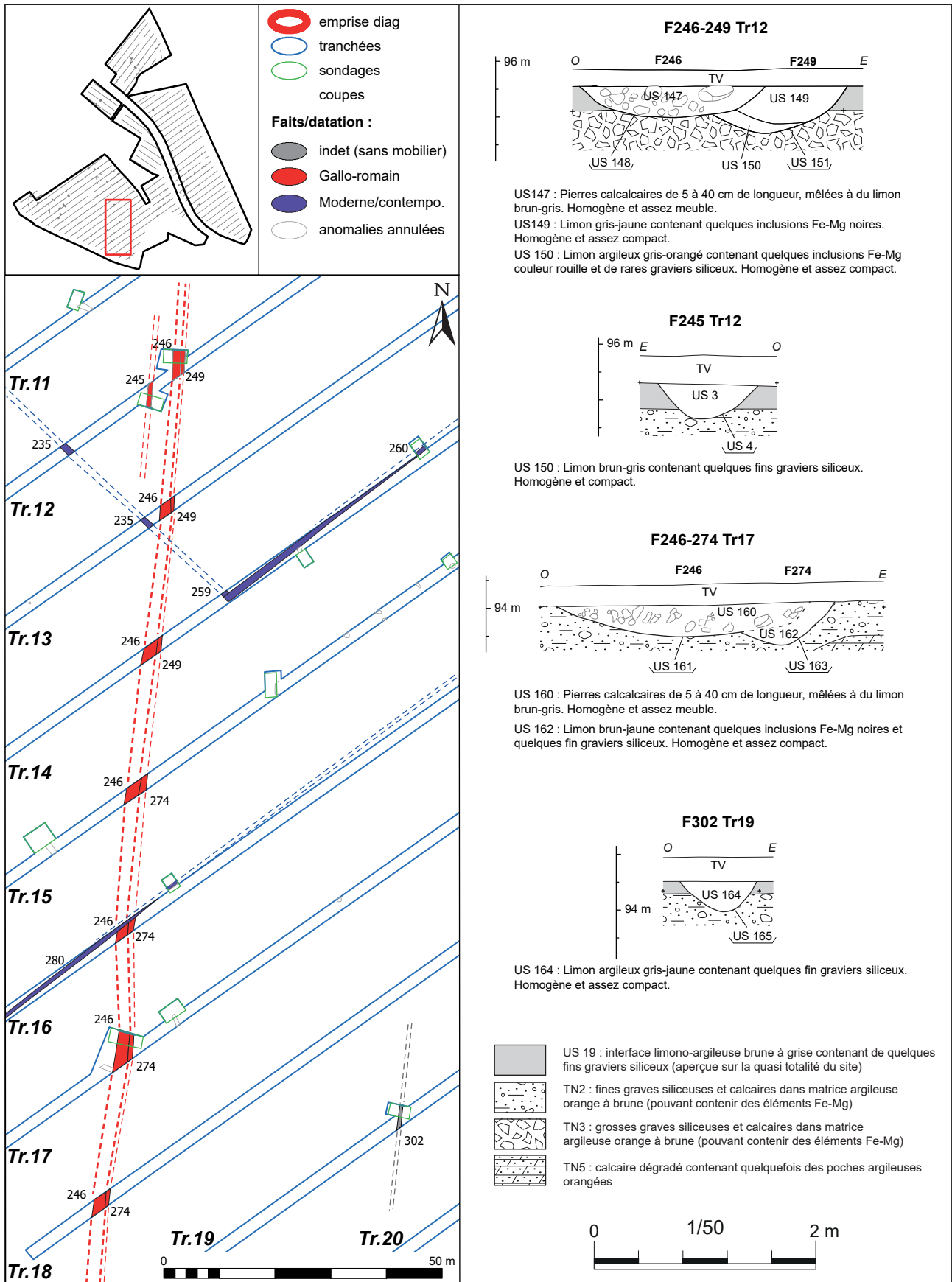


Figure 147 : Plan et coupes du chemin F246 et du probable parcellaire antique





Figure 148 : Photographie du sondage dans le chemin F246, tranchée 17

également à l'inscrire dans l'occupation antique, bien que celui-ci n'ait pas livré de mobilier.

#### 2.4.3.2. Les vestiges de la tranchée 38 : fosse d'extraction et parcellaire

A 500 m à l'est de la villa, et 500 m au sud-est du site à vocation sidérurgique, en tranchée 38, deux faits de datation gallo-romaine ont enfin été identifiés (fig. 149).

Le premier est une large fosse circulaire (F385) de 6,75 m de diamètre. Celle-ci a été sondée mécaniquement jusqu'à 1,85 m de profondeur sous le sol actuel, sans en reconnaître le fond (fig. 150). Son seul bord reconnu présente des ressauts successifs. La fosse possède dans cette partie supérieure un comblement massif de limon argileux brun. Il s'agit donc vraisemblablement d'une fosse d'extraction (de calcaire), dans laquelle ont été mis au jour 6 tessons de poterie du Haut-Empire, (lot 315), 3 fragments de terre cuite (probable plaque foyère, lot 126), et 1 scorie de fer (lot 315).

A 50 m au nord-est, dans la même tranchée 38, une section d'un petit fossé a par ailleurs été reconnue (F384), présentant un profil en cuvette à bords obliques légèrement asymétriques, de 68cm de large à l'ouverture pour 34cm de profondeur (fig. 151). Si la continuité au nord et au sud de ce fossé n'a par été vue, on note cependant là encore

une orientation strictement nord/sud, c'est-à-dire parallèle au chemin mis au jour à 300 m à l'ouest. Ce fossé renfermait quatre tessons de céramique du Haut-Empire (lot 10).

Entre les fait 384 et 385, on signalera en outre la présence d'un isolat de mobilier, ramassé à l'interface entre la terre végétale et le substrat, dans structure apparente (iso 10, lots 149 et 150). Celui-ci était composé d'un gros fragment d'amphore Italique (150 g) et d'un tesson de dolium.

#### 2.4.3.2. Le mobilier isolé

A mi-chemin entre les faits de la tranchée 38 et le chemin des tranchées 12 à 18, deux autres objets isolés d'époque romaine ont été découverts dans la tranchée 25, dans le même contexte d'interface entre la terre végétale et le substrat (isos 3 et 4). L'isolat n°4 est un autre fragment de dolium (lot 123). L'isolat n°3 en revanche, est un fragment d'un fusaïole en céramique, dont la pâte semble romaine (lot 151, fig. 152).

Enfin, un dernier isolat doit être évoqué. Celui-ci a été mis au jour tout au nord de l'opération en tranchée 69 (iso 11). Il s'agit de quatre tessons d'un même pot en céramique en commune sombre à pâte grossière, dont la datation au Bas-Empire est supposée (lot 124). Ces quelques fragments constituent ainsi peut-être l'un des rares

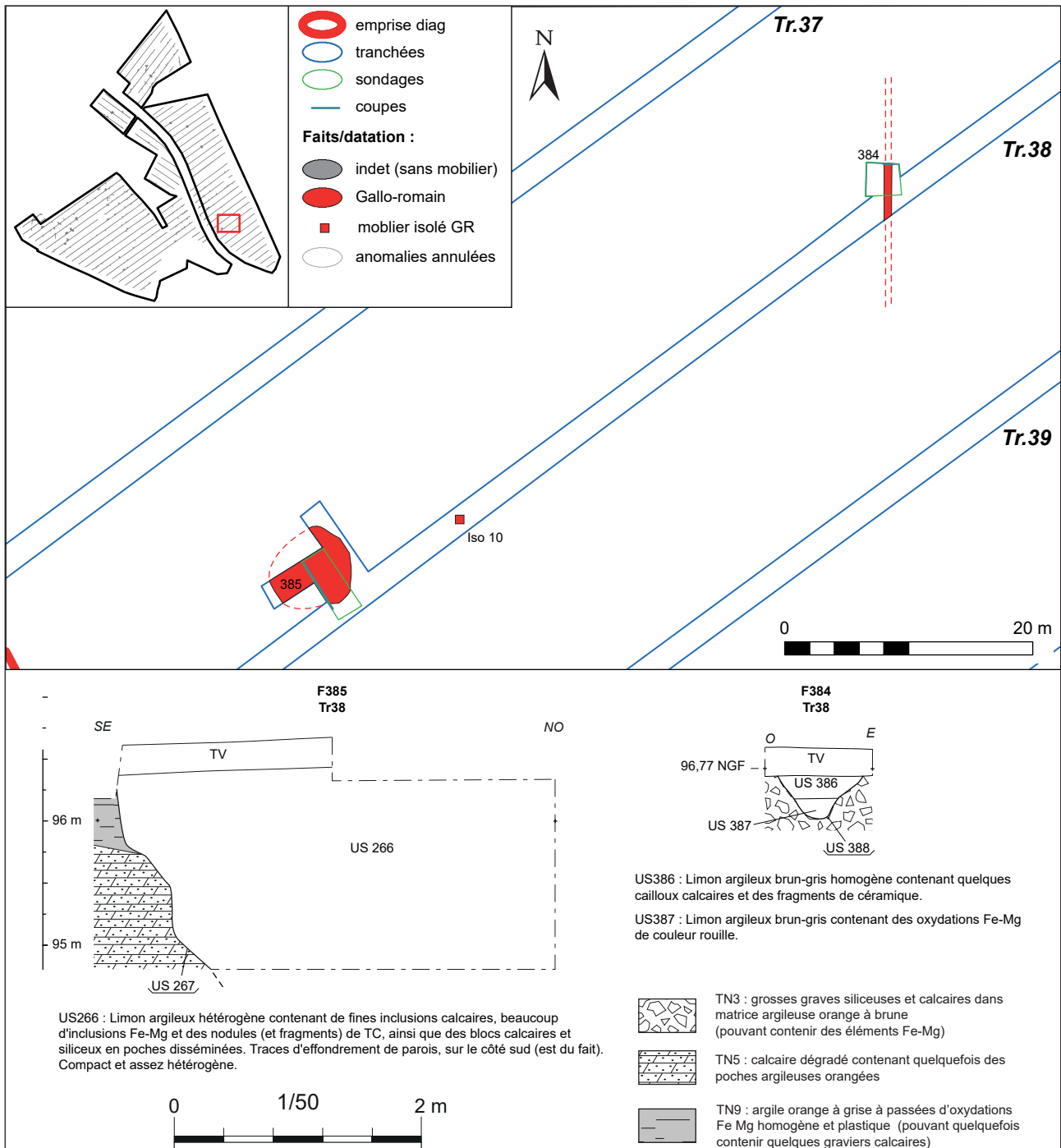


Figure 149 : Plan et coupes de la fosse d'extraction F385 et du fossé parcelaire F384, tranchée 38



Figure 150 : Photographie de la coupe de la fosse d'extraction F385



Figure 151 : Photographie de la coupe du fossé parcellaire F384, tranchée 38

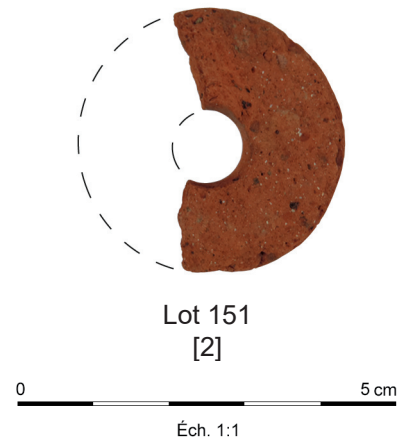


Figure 152 : Photographie de la fusaiole découverte en position isolée tranchée 25 (iso 3)

témoignages de l'occupation du secteur durant cette période tardive de l'Antiquité.

#### 2.4.4. Éléments de synthèse sur l'occupation gallo-romaine

En résumé pour la période gallo-romaine, le diagnostic réalisé en 2021 à Sorigny à occasionné la mise au jour :

- D'un établissement rural pouvant être qualifié de petite ou moyenne *villa*, occupée de la

période augustéenne au 4<sup>e</sup> s. ap. J.-C. (au-dessus des vestiges d'une occupation laténienne) ;

- D'un site cumulant probablement la fonction d'habitat et d'artisanat tourné vers la métallurgie du fer, datable du 1<sup>er</sup> s. (voire début du 2<sup>e</sup> s.) ap. J.-C.

- De diverses traces d'un chemin, de fossés parcellaires (dont on note d'ailleurs, en dépit d'une conservation sans doute lacunaire, la grande cohérence d'orientation globalement nord/sud et est/ouest, en accord avec l'orientation des fossés d'enclos des deux sites caractérisés<sup>38</sup>), de fosses (dont une d'extraction) et de mobilier isolé, globalement datable du Haut-Empire.

Ces vestiges qui semblent occuper une vaste surface témoignent ainsi d'une occupation dense et probablement intense de cette zone de plateau durant l'époque romaine. A titre de réflexion, on peut se poser d'ailleurs la question de la continuité de l'occupation avec la période antérieure, tout aussi dense dans le secteur : ces vestiges évoquent ainsi possiblement le déplacement de l'épicentre de l'habitat entre la Tène Finale et le Haut-Empire, notamment entre les fermes à enclos situées un peu plus nord, et le vaste établissement rural mis au jour lors du présent diagnostic (fig. 153).

De même, ainsi que nous l'avons déjà évoqué, se pose la question spécifiquement pour la période Antique, de la relation entre les divers éléments découverts dans le secteur. Dans l'emprise même du diagnostic, le petit site à vocation artisanale serait-il directement lié au domaine de la *villa* ? le chemin pourrait-il être une desserte de son domaine, dont les traces parcellaires évoquent une exploitation agricole à large échelle ?

Si l'on sort de l'emprise du diagnostic, la même question se pose désormais pour les occupations mises au jour sur les trois sites fouillés au sud-ouest entre 2001 et 2012 (37.250.008 AH, Champagne 2001 ; 37.250.007 AH, Jesset 2002 ; 37.250.058 AH, Jouanneau-Bigot 2013). Les vestiges d'époque romaine sur ces gisements se situent en effet entre 200 m et 500 m de la *villa* de « Netilly ». Or ceux-ci se signalent avant tout par de petits bâtiments sur poteaux, des palissades, des segments de fossés et des fosses (dont un puits, une mare, une vaste fosse d'extraction), globalement datables du 1<sup>er</sup> au 4<sup>e</sup> s. ap. J.-C. Toutes ces occupations, contemporaines donc de l'occupation de la *villa*

de « Netilly » et qui ont toutes été qualifiées « à vocation agro-pastorales », ont parfois été interprétées comme étant les éléments d'une *pars rustica* d'un vaste établissement de type *villa*, dont le centre résidentiel n'avait pas été identifié (Jesset 2002 : 18). Ces éléments doivent-ils désormais être relus à la lumière de nos découvertes, comme des « annexes » de la *villa* de « Netilly » ? De même, les traces d'occupations antiques identifiées sur le site de la ferme gauloise du « Petit-Netilly » à Monts, 700 m au nord, pourraient-ils également être considérée comme une extension du domaine d'exploitation de la *villa* de « Netilly » ? On relèvera en outre, sur le site médiéval fouillé en 2002-2003, la présence de nombreux éléments lapidaires récupérés (moellons liés à la chaux, claveaux) recueillis dans les faits carolingiens (Jesset 2002 : 20-21). Ces éléments pourraient ainsi potentiellement provenir de récupérations tardives dans les ruines de la *villa*.

Ces questions ouvertes mériteraient peut-être, dans le cadre de l'économie d'une opération de fouille, de faire l'objet d'une étude spécifique (comparaisons de assemblages de mobilier, cartographie et analyse précise des structures parcellaires et de leur orientation...), afin d'apporter d'éventuels éléments de réponse. Quoiqu'il en soit, il semble bien que la *villa* de « Netilly » constitue bien « l'épicentre » d'une vaste occupation antique de ce secteur du plateau.

Pour finir, si l'on élargit à présent un peu la focale, on s'aperçoit que cette *villa* de « Netilly » (et ses possibles annexes donc), s'inscrivent dans tout un réseau d'établissements ruraux (fig. 154). Au *villae* déjà évoquées plus haut du « Four à Chaux », des « Ruaux » et de « Montisson », sur la commune de Sorigny, peuvent être également ajoutées celle des « Girardières », sur la commune de Monts, anciennement identifiée par photo aérienne et abordée lors d'un diagnostic en 2012<sup>39</sup> (Aunay 2012), ou encore celle très récemment fouillée en 2021 à « Vaudgourdon » sur la commune de Veigné (Fouillet à paraître). Tous ces sites de grands établissements antiques se situent entre 2 et 4 km autour de la *villa* de « Netilly ». En outre,

<sup>38</sup> Alors que l'on verra par la suite, un basculement s'opérer dans les orientations pour les périodes récentes (cf. *infra*).

<sup>39</sup> Ce site, prescrit, n'a à ce jour pas été fouillé.

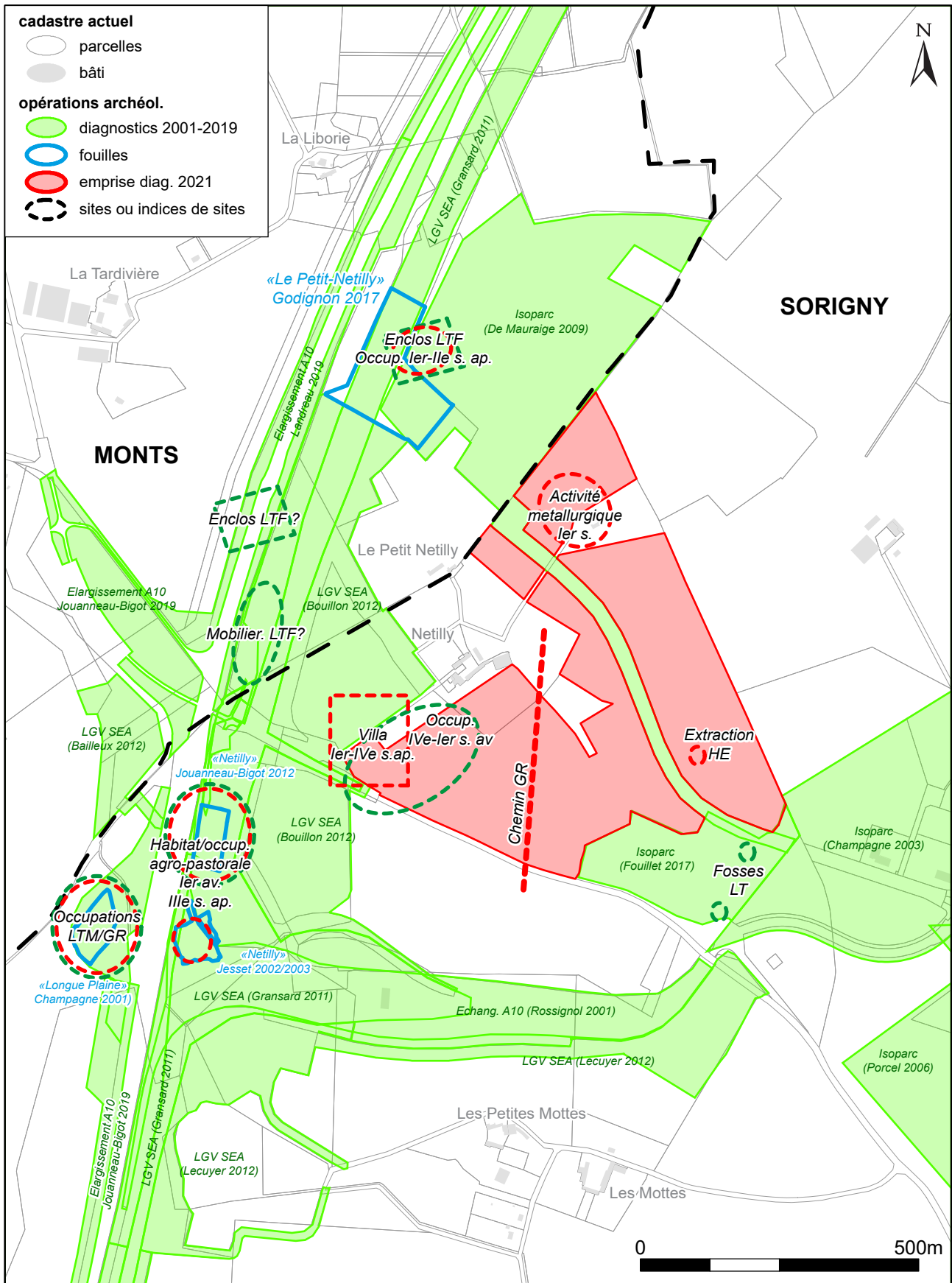


Figure 153 : Plan des occupations de La Tène Finale et de l'époque romaine dans le secteur du diagnostic de 2021



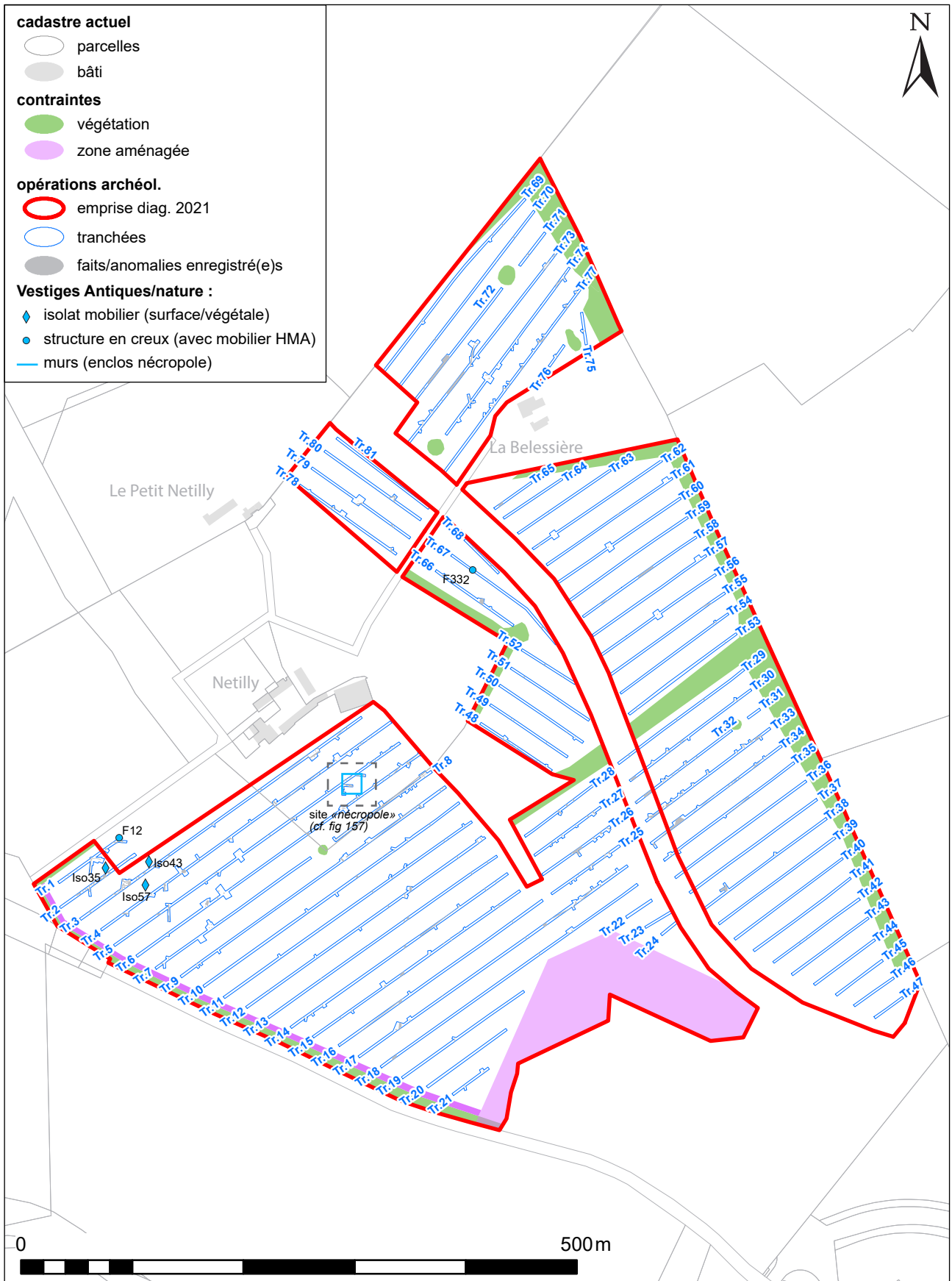


Figure 155 : Plan de localisation des vestiges du haut Moyen-Âge

### 2.5.1. De rares objets isolés de l'époque mérovingienne sur le site de la villa

Comme nous l'avons indiqué plus haut, la *villa* semble abandonnée au 4<sup>e</sup> s. ap. J.-C. Cependant, sur ce site, trois objets métalliques d'époque mérovingienne<sup>40</sup> ont été découverts au détecteur à métaux (hors contexte).

Le premier est un ferret passe-courroie en alliage cuivreux linguiforme et allongé (Iso 35, lot 252, [fig. 156 \[4\]](#)). Il est décoré d'une tresse longitudinale et son sommet est percé d'un trou de fixation. Ces objets, constituant des garnitures de jarretières ou de chaussures, fréquents en contexte funéraires, sont en général associés à des contextes du 7<sup>e</sup> s. Toutefois, un exemplaire de ce type a notamment été mis au jour non loin, sur le site du « Petit-Nettily » (commune de Monts) fouillé en 2012, dans un contexte mal défini, mais probablement associé à un petit habitat d'époque mérovingienne (Godignon 2017 : 202-203 et 393).

Le deuxième objet est une plaque-boucle monobloc à plaque ronde (type Lorren IVCA), probablement de chaussure ou de baudrier (iso 43, lot 261, [fig. 156 \[5\]](#)). Là encore très souvent mis au jour en contextes funéraires, ce type de boucle apparaîtrait au début du 6<sup>e</sup> s. et seraient en usage jusqu'à la fin du 7<sup>e</sup> s.

Enfin, le dernier objet est un fragment de bouclette en alliage cuivreux, plutôt à mettre en relation là encore avec la fixation d'éléments vestimentaires (aumônières, jarretières, chaussures, etc.) ou bien à la suspension de fourreau de couteau, de scramasaxe ou d'épée (iso 57, lot 280, [fig. 156 \[6\]](#)). Sa datation est centrée sur le 6<sup>e</sup> s.

Ces trois objets vestimentaires semblent ainsi suggérer une « fréquentation » du site durant l'époque mérovingienne (6<sup>e</sup>-7<sup>e</sup> s.). Totalement absente dans le spectre du mobilier céramique, cette époque ne semble toutefois pas se rapporter à une occupation domestique ou funéraire. L'arasement du site par les labours a pu toutefois faire disparaître nombre de traces d'éventuelles réoccupations tardives. L'exercice du diagnostic touche en outre ici

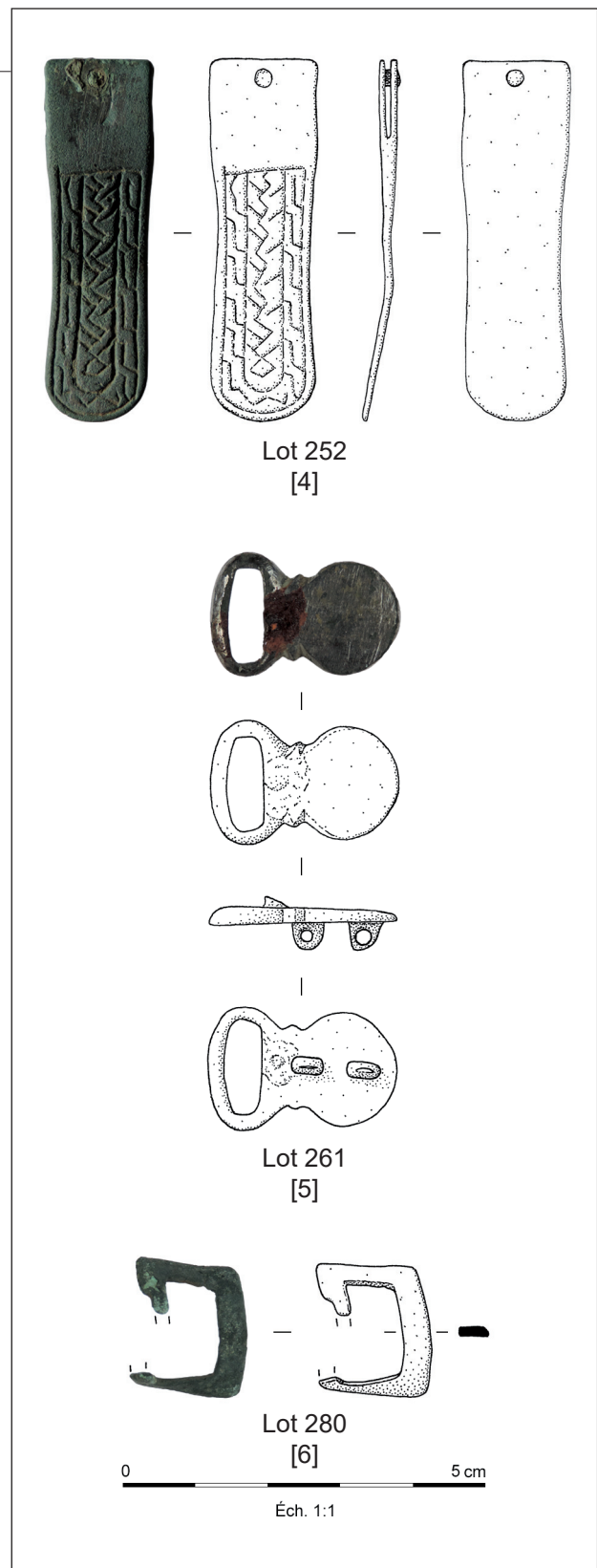


Figure 156 : Objets isolés de l'époque mérovingienne mis au jour au détecteur à métaux sur le site de la villa

<sup>40</sup> Pour le détail des identifications et de la bibliographie associée, cf. étude de Thomas Boucher en [annexe 2](#).



ses limites : seule une fouille exhaustive de la villa permettrait de s'assurer d'un réel abandon total du site après le 4<sup>e</sup> s.

### 2.5.2. Une petite nécropole des 7<sup>e</sup>-10<sup>e</sup> s.

Le diagnostic de 2021 à Sorigny a révélé la présence d'une petite aire funéraire datable du haut-Moyen-Âge. Celle-ci se trouve à environ 200 m au nord-est du site de la villa. Elle se compose d'un enclos et de 16 fosses à inhumations (avérées ou probables). Elle est entièrement contenue dans la tranchée 5 (fig. 157 et 158). En dépit des tests systématiques des anomalies dans les tranchées 4 et 6 de part et d'autre, ainsi qu'en amont et aval du site dans la tranchée 4, aucune structure n'a été mise en évidence aux alentours, si ce n'est des

fossés parcelaires plus récents ou indéterminés. Aussi, plusieurs extensions ont-elles été nécessaires dans la tranchée 5 afin de bien circonscrire ce site.

#### 2.5.2.1. L'enclos

L'espace funéraire identifié s'articule autour d'un élément structurant constitué de solins de pierre. A l'aide des extensions, quatre murs ont été reconnus : au nord F105 ; à l'est F474 ; au sud F482, et à l'ouest F132 (fig. 159 et 160). Le tout dessine un

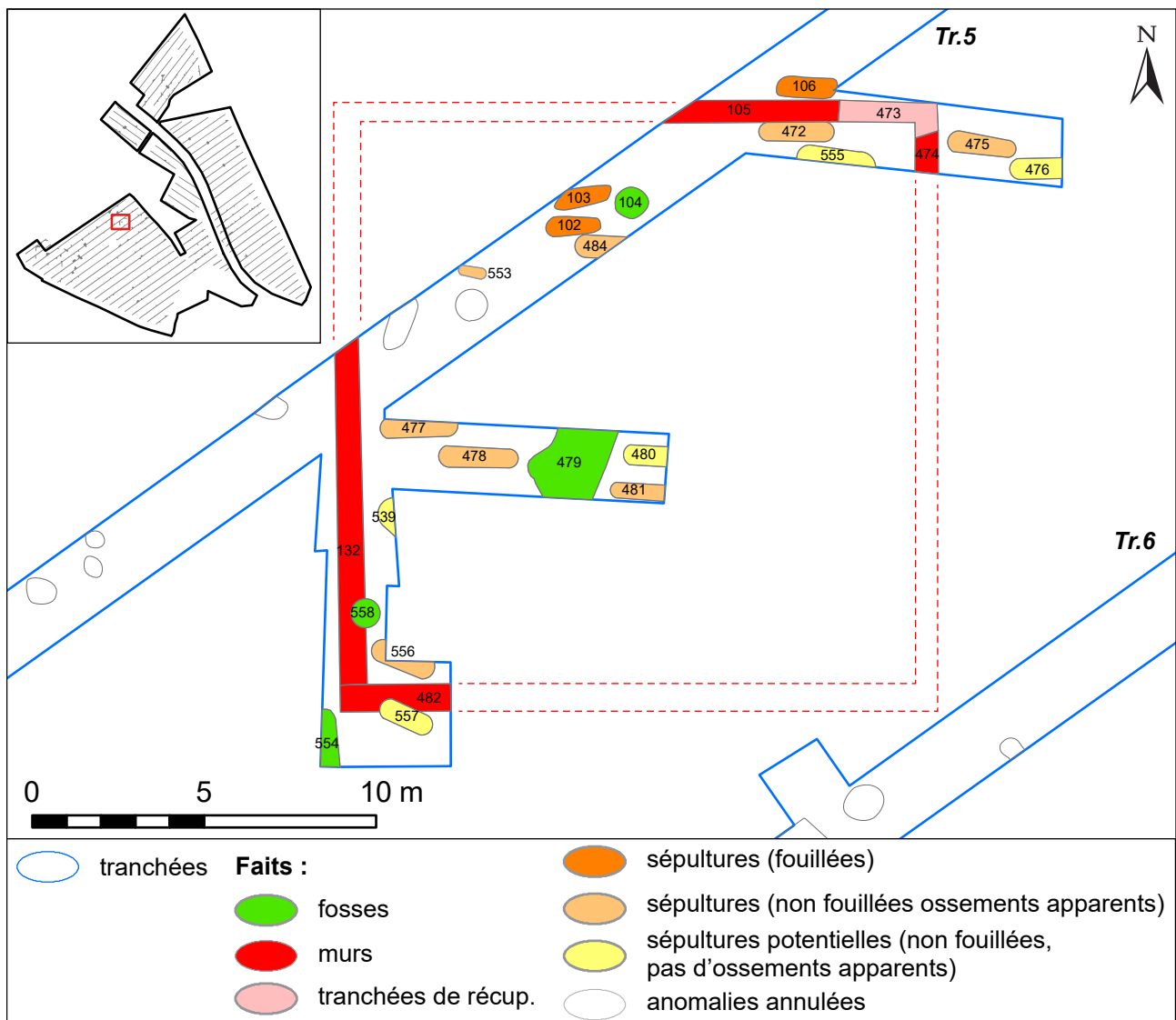


Figure 157 : Plan de détail des vestiges de la nécropole du haut Moyen-Âge par type de structure

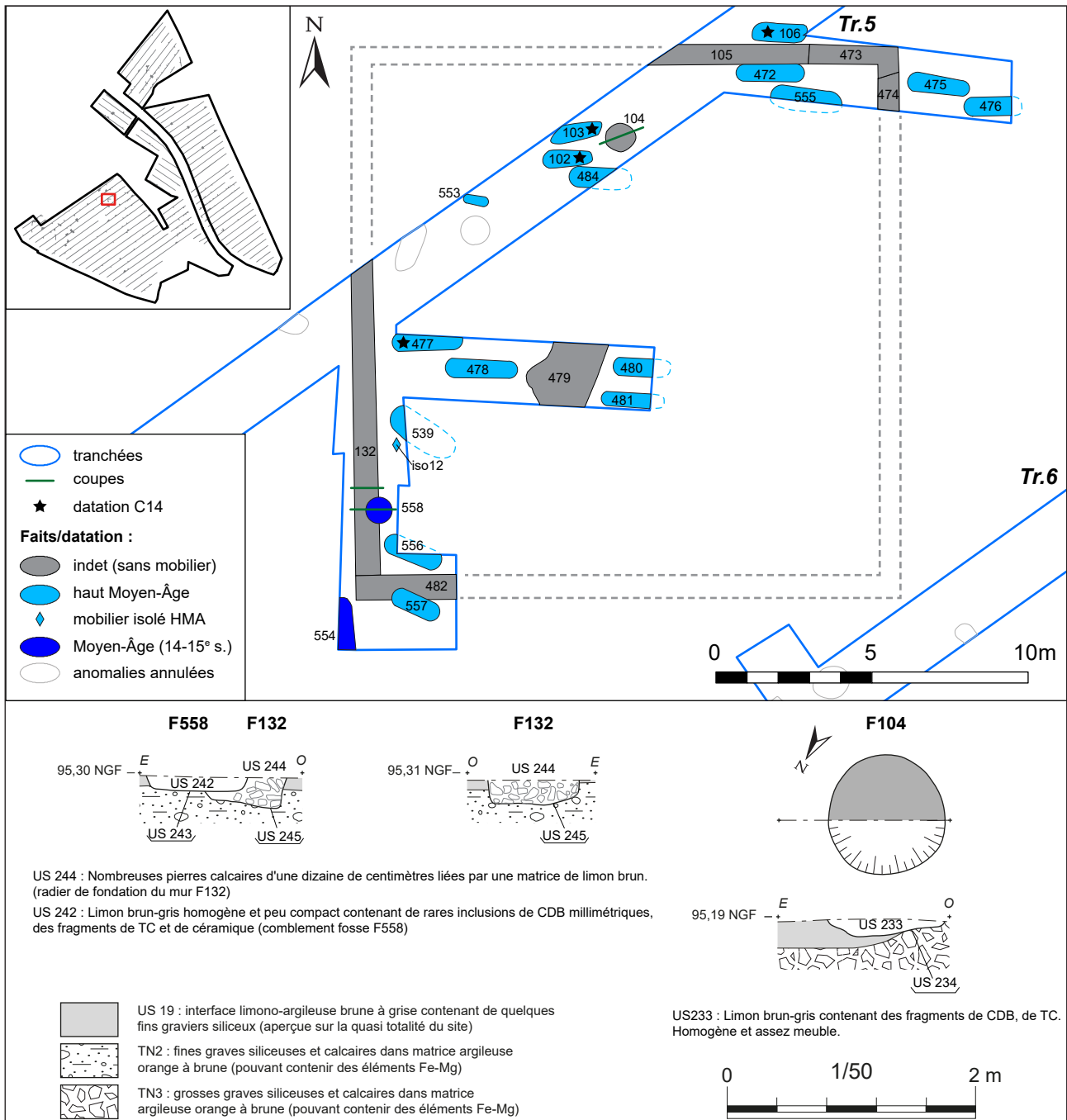


Figure 158 : Plan phasé et coupes des vestiges du secteur de la nécropole du haut Moyen-Âge

carré parfait de 17,60 m de côté (hors œuvre), soit une surface de 310 m<sup>2</sup> (260 m<sup>2</sup> environ en œuvre). Au vu de la taille et de la forme de cet ensemble de murs, ils ne peuvent certainement pas avoir été bâtis pour accueillir une charpente. L'interprétation d'un enclos apparaît donc plus logique.

Les solins de pierres calcaire de cet enclos sont plus ou moins bien conservés en fonction des

secteurs décapés. Apparaissant directement sous la terre végétale présentant ici un recouvrement d'une vingtaine de centimètres au maximum, l'arase des murs a pu être entamée par les labours, comme cela semble être le cas pour le mur F105, n'étant plus perceptible par endroits que par quelques pierres éparées. En outre, des parties de ces murs d'enclos ont pu être récupérées, comme par exemple à



Figure 159 : Photographie de l'angle nord-est de l'enclos (au premier plan les sépultures F475 et 476)



Figure 160 : Photographie de la limite occidentale de l'enclos (F132) ; au fond l'angle sud-ouest

l'angle nord-est, ou deux nettes interruptions font supposer la présence d'une petite tranchée de récupération (F473).

Toutefois, un petit sondage manuel dans le mur sud (F132), dans une partie assez bien conservée, fait apparaître une tranchée de fondation de 20 cm de profondeur pour 65 cm de largeur, aux bords droits et au fond plat, comblée de pierre calcaire brutes d'une dizaine de centimètres de module, liées à la terre (fig. 158 et 161). Selon les endroits nettoyés de l'enclos, on relève la présence de quelques pierres chauffées.

Aucun élément n'a été recueilli pour dater cette construction (question sur laquelle nous reviendrons plus loin). Seuls deux probables tessons protohistoriques (par ailleurs douteux, Francesca Di Napoli n'a pu déterminer s'il s'agissait de tessons ou de torchis brûlé), ont été ramassés lors du sondage dans le mur F132 (lot 94). On notera par ailleurs la présence de rares éléments de TCA dans la maçonnerie.



Figure 161 : Photographie de la coupe dans le mur d'enclos (F132)

### 2.5.2.2. Les sépultures

Au sein et autour de cet enclos, 16 fosses individuelles à inhumations sont apparues au gré du décapage et des nettoyages fins de surface.

#### **Les problèmes de lecture du terrain**

Ce chiffre doit néanmoins être pris avec une certaine prudence. En effet, le terrain apparaît ici particulièrement difficile à lire. A titre d'exemple, une fosse a notamment été identifiée uniquement par la découverte d'un crâne (F484), dont le creusement n'avait pas été vu de prime abord. En dépit d'un nettoyage manuel de la zone, les limites de cette fosse restent très floues. Bien souvent, ce n'est que lors de l'apparition des ossements au décapage que les inhumations se révèlent distinctement. Somme toute, pour certaines fosses, qui paraissaient tout de même lisibles au nettoyage, celui-ci est parfois resté trop haut pour voir apparaître les ossements en place.

En résumé, sur les 16 fosses enregistrées comme sépultures, 11 sont absolument certaines : celles fouillées (F102, 103, 106) et celles aux ossements apparus en surface (F472, 475, 477, 478, 481, 484, 472 et 556). En revanche 5 fosses restent « potentielles », car non fouillées, et sans ossements apparents (F476, 480, 539, 555, 557). Parmi ces dernières, on aura peu de doutes sur les cas de F476, 480 et 557, fosses oblongues aux contours assez bien lisibles. On sera plus réservé sur ceux de F539 et F555, aux contours plus diffus.

En bref, en dépit de ces deux derniers cas vraiment incertains, si l'on doit émettre des réserves quant à la densité de sépultures observée, ce serait plutôt en faveur d'une sous-estimation. En effet, il apparaît plus probable qu'un certain nombre de fosses n'ont pas été vues au décapage/nettoyage au vu des difficultés de lecture du terrain, plutôt qu'un « sur-enregistrement » de structures douteuses.

#### **Etendue du site et calcul de densité**

La répartition de ces inhumations, on le voit immédiatement sur le plan, apparaît plutôt dispersée et de densité homogène. On ne constate pas de concentrations de fosses, ni réellement d'organisation en rangées. Les fosses se répartissent

cependant sans recoupements apparents, ce qui suggère une bonne gestion de l'espace funéraire. Elles sont implantées à la fois à l'intérieur de l'enclos, mais aussi sur la bordure extérieure. C'est le cas avant tout au nord-est, où quelques inhumations se trouvent clairement à l'extérieur (F106, F475, F476), mais aussi au sud-ouest, où une fosse paraît même recouper en partie le mur d'enclos (F557, **fig. 162**).

Ainsi, si l'on prend ce chiffre brut de 16 inhumations, et si l'on estime le gisement à environ 500 m<sup>2</sup> (en prenant une marge de quelques mètres autour de l'enclos), et sachant qu'au sein de cet espace, environ 100 m<sup>2</sup> ont été ouverts (20%), alors on peut estimer le nombre de sépultures de cette nécropole à environ 80 inhumations. Si l'on considère à présent la difficulté de lecture du terrain et que l'on juge raisonnablement de quelques fosses ont pu être manquées au sien des tranchées ouvertes, alors il serait sans doute plus prudent de laisser une fourchette d'incertitude située entre 80 et 120 inhumations présentes au sein de ce site. Au regard de ce chiffre, on peut ainsi qualifier sans hésitation ce site de *petite nécropole* rurale.

#### **Les observations anthropologiques (avec la collaboration de M. Gautier)**

Trois sépultures ont été fouillées lors du diagnostic. Le choix a été fait de fouiller les trois inhumations présentes dans la tranchée de base (avant extensions), dont les ossements étaient déjà largement apparus au décapage : F102, 103 et 106<sup>41</sup> (**fig. 163**). Globalement, celles-ci présentent un état de conservation très mauvais.

La sépulture F102 est celle d'un adulte de sexe indéterminé (**fig. 164**). Peu d'éléments subsistent du squelette qui est très arasé sans doute du fait des pratiques agricoles récentes. Le corps repose en décubitus, tête à l'ouest. Les mains semblent ramenées vers le pubis (membres supérieurs légèrement fléchis). L'espace de décomposition ne peut être déterminé compte tenu du peu d'observation taphonomiques possibles. Aucune pathologie n'a été repérée sur les fragments osseux conservés. L'état dentaire n'est pas observable.

<sup>41</sup> Pour les détails, nous renvoyons aux fiches biologiques et taphonomiques en **annexe 5**.



Figure 162 : Photographie l'angle sud-ouest de l'enclos, en partie recoupé par une sépulture (F557)

La sépulture F103 est celle d'un adulte de sexe indéterminé également mal conservé (fig. 165). Il n'en subsiste, pour l'essentiel, que des fragments de la calotte crânienne, des diaphyses des os des membres et des fémurs. L'extrémité des membres inférieurs a peut-être été recoupée par une fosse plus récente (F104 ?). Le corps repose en décubitus, tête à l'ouest. Les mains sont ramenées sur le pubis (membres supérieurs légèrement fléchis). L'espace de décomposition ne peut être déterminé compte tenu du peu d'observations taphonomiques possibles. Toutefois, la position de la calotte crânienne, très proche de l'épaule gauche et dont les fragments les plus méridionaux s'alignent avec la diaphyse de l'humérus droit suggère une bascule du crâne et donc un espace vide autour de l'individu au moment de la décomposition du corps. Aucune pathologie n'a été repéré sur les fragments osseux conservés. Aucune carie n'a été repérée sur les dents conservées, elles présentent une usure faible (découvertes d'ilots dentinaires ou simples facettes d'usure) et un peu de tartre (particulièrement sur les incisives de la mandibule).

La troisième sépulture F106, fouillée dans le cadre du diagnostic est tout aussi mal conservée (fig. 166). Il s'agit également d'un adulte de sexe indéterminé. Peu profondément enterré, comme les deux autres,

le squelette a subi des dégradations liées notamment aux pratiques agricoles contemporaines. La tombe a été placée le long du mur septentrional de l'enclos carré. Le corps repose en décubitus, tête à l'ouest. Les membres supérieurs sont en extension le long du corps. La jambe droite est légèrement fléchie. On observe un effet d'alignement entre le genou droit et les fragments du membre supérieur droit (possible effet de paroi ?). De plus, la position relative du crâne qui apparaît par sa face antéro-inférieure et de la mandibule qui repose sur le fond de la tombe en face supérieure indique qu'il y a eu une déconnexion et un mouvement des os en dehors du volume corporel à ce niveau lors de la décomposition du corps. Ces deux indices plaident pour une décomposition en espace vide. Compte tenu de l'étalement osseux des membres, la présence d'un contenant en bois est probable. La pierre visible à l'extrémité des membres inférieurs a pu participer au calage ou à l'élaboration de ce contenant. Aucune pathologie n'a été repéré sur les fragments osseux conservés. L'état dentaire n'est pas observable.

### **Synthèse sur les sépultures**

En résumé, les trois sépultures fouillées présentent une conservation osseuse très médiocre.

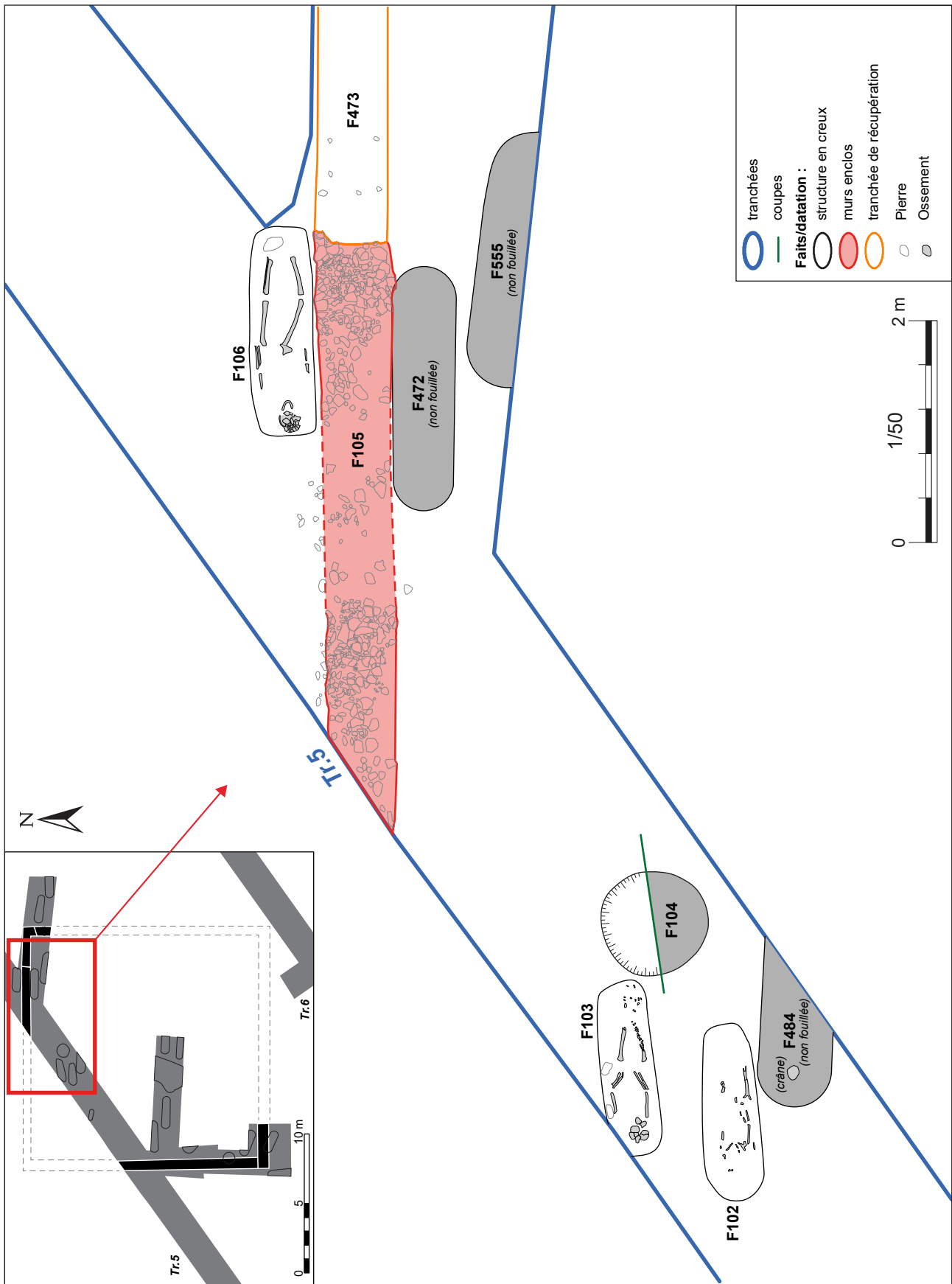


Figure 163 : Plan de détail des trois sépultures fouillées (F102, 103 et 106)



Figure 164 : Photographie de sépulture F102 (la flèche indique le crâne de F484)



Figure 165 : Photographie de sépulture F103

Elles sont toutes orientées est-ouest, tête à l'ouest et reposent en décubitus dorsal. On peut supposer sans trop de doute une homogénéité dans ce mode d'inhumation pour le reste des inhumations. Si le mode de décomposition n'est pas assuré, deux d'entre elles présentent néanmoins de possibles indices d'un contenant en bois par les observations taphonomiques. Aucune autre trace d'architecture particulière n'a cependant été perçue pour ces trois fosses (sauf peut-être des calages de pierre), ni pour celles décapées et non fouillées.

Les sépultures fouillées sont toutes celles d'adultes. Au vu de la taille des fosses non fouillées mises au jour, il est probable que le recrutement de cette nécropole connaisse un déficit d'inhumations d'immatures. De fait, une seule fosse de petite taille, où quelques ossements apparaissaient en surface, est vraisemblablement la tombe d'un enfant (F553).

En ce qui concerne les orientations, toutes les sépultures sont globalement est/ouest, c'est-à-dire alignées (parallèles ou perpendiculaires) aux murs de l'enclos. Deux cas (F556 et F557), voire un



Figure 166 : Photographie de sépulture F106

troisième (F539), situés au sud-ouest de l'enclos, sortent de l'ordinaire : elles s'avèrent en effet nettement désaxées nord-ouest/sud-est. En outre, l'une d'entre elle (F557) semble recouper le mur d'enclos. Aurions-nous affaire à une phase tardive d'inhumations à un moment où l'enclos n'est alors plus prégnant dans la structuration de la nécropole ?

Aucun mobilier n'est associé aux défunts. Le seul mobilier découvert dans les fosses est : un fragment de tige courbe en fer dans F102 (lot 223) ; 2 tessons roulés ramassés en surface de F478 (non fouillée), dont un du Haut-Empire et un de la protohistoire indéterminée (lots 154 et 155). Par ailleurs, les autres fosses non fouillées ainsi que les tas de déblais et la surface de la terre végétale entre les tranchées, ont fait l'objet d'un passage au détecteur à métaux qui n'a rien révélé.

### 2.5.2.3. Les fosses indéterminées du site

Au sein et autour de l'enclos, en plus des inhumations, quatre fosses non sépulcrales ont été identifiées, dont deux ont été fouillées (**fig. 158**). Ces deux dernières F104 et F558 apparaissent simples, circulaires, respectivement de 80 et 95cm de diamètre, et peu profondes (14cm et 11cm). Ces petites cuvettes ont livré quelques éléments mobiliers permettant d'assurer qu'il s'agit bien de creusements anthropiques. F104 a livré un clou (lot 227) et trois fragments de TCA (lot 137). Sa datation contemporaine de la nécropole n'est donc pas certaine, et il est même possible qu'elle ait recoupé la sépulture F104. D'autant que la seconde, F558, est en revanche avec certitude postérieure, puisqu'elle recoupe l'un des murs de l'enclos, et a livré 2 tessons de poterie du 14<sup>e</sup> s. (lot 77).

Les deux autres fosses sont moins caractérisables. Nous passerons rapidement sur la fosse F554, mise au jour partiellement au sud-ouest de l'enclos, si ce n'est pour indiquer qu'elle a livré en surface 1 tesson des 14-15<sup>e</sup> s. (lot 92), et permet donc de ne pas l'associer à l'occupation funéraire altomédiévale.

La dernière, F479, est plus problématique. Il s'agit d'une large « tâche limoneuse » grise au comblement homogène présentant des inclusions ferro-manganiques, d'au moins 2,10m de large, de forme irrégulière en surface, située entre les sépultures F478 et F480/481 (dans l'extension de la

tranchée 5). Celle-ci, au cœur de l'enclos, n'a pas été fouillée ni sondée (simplement nettoyée en surface). Aucun élément anthropique (charbon, céramique, TCA...) n'est visible en surface, si bien qu'il pourrait s'agir d'une anomalie naturelle comme il y en a tant dans le secteur et qui ont été annulées. Toutefois, F479 ne semble pas recoupée (ni n'est recoupée) par des fosses de sépultures, ce qui irait en faveur d'un réel creusement. Sa fonction et sa nature reste donc indéterminée.

Ces fosses, on l'a vu, sont donc au moins pour une part, non contemporaines de l'utilisation de la nécropole. La datation au Bas-Moyen Âge pour deux d'entre elles le prouve. La fosse F104, non datée, pourrait être également postérieure. Aucun creusement n'a par ailleurs été identifié qui pourrait constituer des marquages de tombes (poteaux). Seule la question de la fosse F479 (naturelle ou anthropique, et dans ce dernier cas, contemporain ou non de la nécropole) reste ouverte.

### 2.5.2.4. Les éléments de datation du site

#### **Les indices de datation des tombes**

En l'absence de mobilier dans les tombes, quatre datations au radiocarbone ont été effectuées sur les ossements : trois sur les tombes fouillées (F102, F103, F106) et une sur le prélèvement d'un fragment d'os sur une sépulture non fouillée (F477). Les résultats sont les suivants :

- F102 : 602 - 669 (cal. AD à 95.4%)
- F103 : 598 - 660 (cal. AD à 95.4%)
- F106 : 675-778 (cal. AD à 61.6%) ; 786-835 (cal. AD à 26.6%) et 848-876 (cal. AD à 7.2%) ;
- F477 : 772-790 (cal. AD à 10.0%) et 820-979 AD (cal. AD à 85.4%).

Autrement-dit, il ne fait aucun doute que la nécropole s'installe dès le 7<sup>e</sup> s., et perdure au moins jusqu'à la fin du 8<sup>e</sup> s. (TPQ à 772 pour F478) En revanche, la période d'abandon est moins bien cernée : selon les datations <sup>14</sup>C les plus récentes, l'occupation funéraire pourrait avoir duré jusqu'au 9<sup>e</sup> s., voire 10<sup>e</sup> s. On rappellera également que certaines tombes présentent une orientation légèrement divergente (F556 et F557, voire F539), dont une recoupe un des murs de l'enclos, pouvant constituer les vestiges les plus tardifs d'utilisation du



site en tant qu'espace funéraire. Si ces tombes sont bien les plus récentes, alors un abandon au cours du 10<sup>e</sup> s., après 3 siècles d'utilisation, n'apparaît pas impossible.

### **Discussion autour de la datation de l'enclos**

Comme nous l'avons spécifié plus haut, aucun indice mobilier, ni même architectural, ne permet de dater formellement la construction de l'enclos. Tout au plus, au regard de la position des sépultures, pouvons-nous être à peu près certains que celui-ci est en place dès le 7<sup>e</sup> s., lors de l'implantation des premières tombes. Une question se pose alors : l'enclos est-il contemporain de l'installation de la nécropole, ou bien est-il bien antérieur ?

En effet, une des interrogations qui s'est posée dès le terrain, était de savoir s'il on pouvait avoir affaire à un élément d'époque romaine, dont les ruines auraient été réinvesties au haut Moyen-Âge par des inhumations. L'un des arguments qui pourrait aller en cette faveur, outre la proximité avec la *villa*, est celle de l'orientation similaire (nord/sud et est/ouest) des fossés d'enclos et du bâti de la *villa*, ainsi que du parcellaire environnant. En outre, si l'on prolonge vers le nord le tracé supposé du chemin attribué à l'époque romaine partiellement mis au jour dans les tranchées 12 à 18, alors celui-ci est censé passer à environ 40m à l'est de l'enclos de la nécropole. L'hypothèse d'une construction antique installée non loin d'un axe de circulation, à l'écart de l'habitat, n'apparaît donc pas impossible.

Les caractéristiques de l'enclos auraient ainsi, par exemple, pu faire penser au mur extérieur d'un petit *fanum*. Aussi, l'extension pratiquée vers le centre de l'enclos avait justement pour but de vérifier la présence d'une *cella*. Cette vérification s'est avérée négative.

Une autre hypothèse serait celle d'un monument funéraire antique réoccupé au haut Moyen-Âge. En effet, l'existence d'enclos carrés à vocation funéraire d'époque romaine, installés à l'écart de grands établissements ruraux, n'est pas inconnue. Nous pourrions citer notamment celui découvert à La Chapelle-Vendômoise (Loir-et-Cher), quoique pour ce site, la petitesse de l'enclos (7m par 7m) et la robustesse des murs, font pencher les inventeurs vers l'existence d'un petit mausolée-tour, peut-être

une pile (Couvin, Delémont, Fontaine, Gardère 2022). Mais l'existence d'enclos plus vaste est également bien attestée. L'enclos carré de 26 m de côté sur solins de pierre mis au jour sur le site des « Belounes » à La-Celle-Saint-Avant (Indre-et-Loire), renfermait en son centre une aire de crémation, ainsi que des fosses à cendre et une fosse d'incinération de la première moitié du 1<sup>er</sup> s. ap. J.-C. (Sartou 2013, fig. 167). À Saint-Patrice (Indre-et-Loire), un autre enclos a été partiellement fouillé, de 17,60m de côté – on notera la similitude des dimensions de notre enclos – où l'on constate en revanche la mise en œuvre d'un appareil soigné, solidement maçonné à la chaux. Dans et autour de cet enclos, se trouvait tout un ensemble de crémations et d'inhumations datées entre le 1<sup>er</sup> et le début du 3<sup>e</sup> s. (Lelong 1999). On évoquera un troisième site sur la commune de Villebarou (Loir-et-Cher), quoiqu'ici la vocation funéraire ne soit pas totalement assurée (de rares restes osseux brûlés, non identifiés), mais où ont été fouillés deux enclos maçonnés quadrangulaires accolés, d'une vingtaine de mètres de côté, associés à des dépôts de céramiques du 1<sup>er</sup> s. ap. J.-C. (Guiot 1998).

Enfin, on mentionnera la découverte d'un enclos sur solins de pierre d'environ 18m de côté lors du diagnostic de la ZAC Isoparc à Sorigny de 2006, à un peu plus d'un kilomètre à l'est du site qui nous concerne (37.250.016 AH, Porcell 2006 : 14-15). Pour ce cas, la fonction funéraire n'est même pas supposée par l'inventeur (un enclos « agropastoral » est évoqué), et l'ensemble est par ailleurs daté uniquement à partir d'une fosse le long d'un des murs contenant du mobilier des 1<sup>er</sup>-3<sup>e</sup> s. Toutefois, les exemples mentionnés ci-dessus invitent à porter un nouveau regard sur cette découverte.

Toujours est-il que, à l'exception de ce dernier exemple probablement mal appréhendé, on note néanmoins que tous les sites mentionnés ci-dessus, au caractère funéraire mieux affirmé, ont livré des éléments mobiliers abondants, voire des traces de bûchers, de fosses à cendres, voire d'incinérations ou d'inhumations.

Or c'est ici le point problématique de l'enclos mis au jour lors du présent diagnostic de 2021. Celui-ci n'a livré pratiquement aucun élément mobilier, à l'exception de deux petits tessons roulés du Haut-

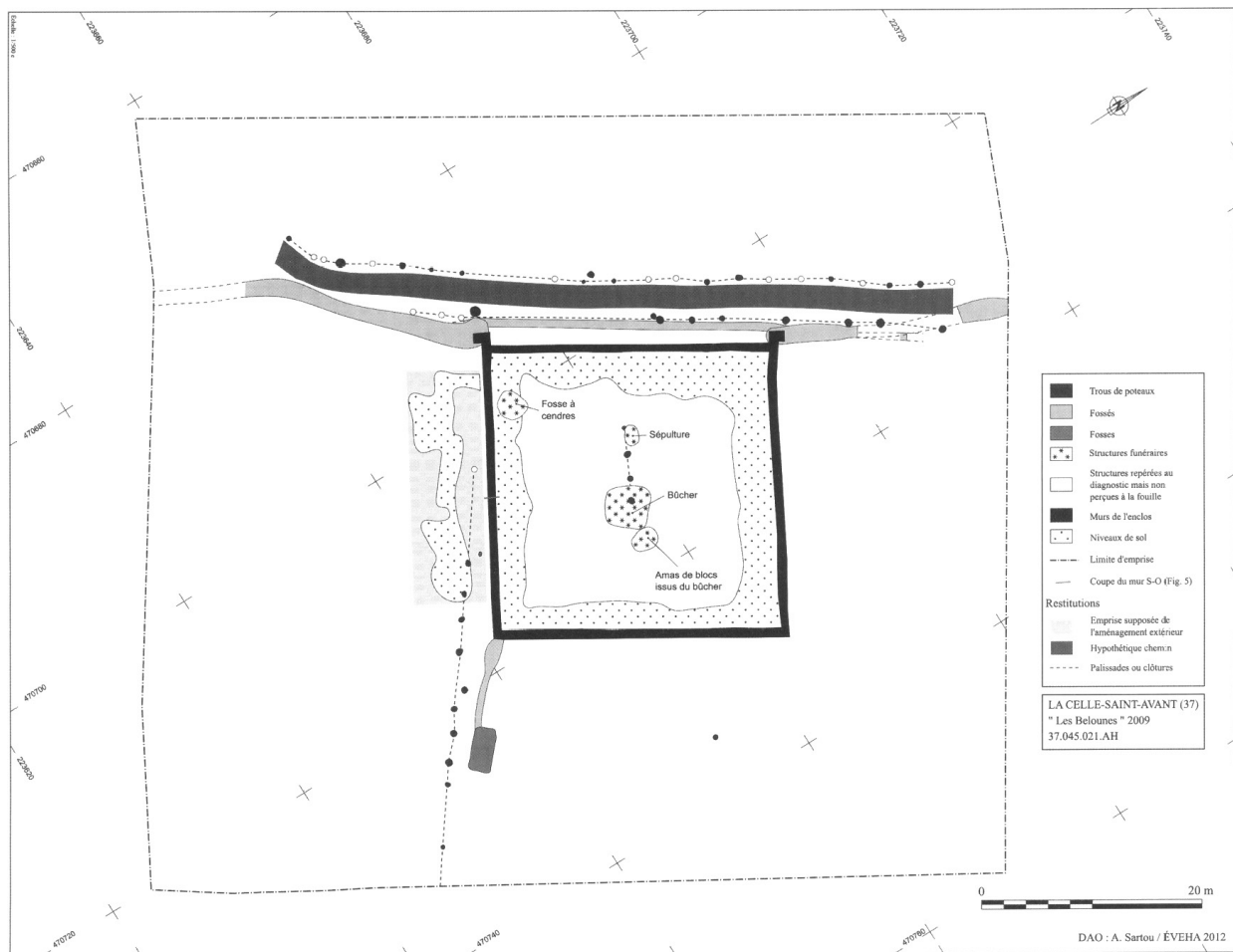


Figure 167 : Plan du site des «Belounes» à La-Celle-Saint-Avant (issu de Sartou 2013, p.12)

Empire et de la Protohistoire en position redéposé dans la sépulture F478 (lot 154, 155), et d'un tesson isolé (iso 12, lot 121) des 8<sup>e</sup>-9<sup>e</sup> s. Quand bien même le site est-il clairement arasé par les labours, on aurait pu penser que, s'il s'agissait d'un site funéraire romain (voire d'un site cultuel), en lien avec la *villa* proche, ce type d'occupation aurait dû laisser bien plus de trace mobilière (on rappellera également que le détecteur à métaux a été passé dans le secteur, sans aucun résultat). De même, hormis quelques pierres chauffées dans les fondations de l'enclos, aucune trace, même indirecte, d'une éventuelle pratique de la crémation n'a été détectée (la fosse F479, au centre de l'enclos, ou encore la fosse F104, ne comportent notamment aucune trace de chauffe ou de cendres...).

La question de la datation de l'enclos reste donc en l'état des données en suspens. Si la théorie du réinvestissement de ruines antiques

est séduisante, il convient de constater qu'hormis les quelques comparaisons mentionnées ci-dessus, rien ne permet de prouver que l'enclos est d'époque romaine. Quant à son orientation cohérente avec les vestiges antiques, rien ne dit non plus que ces orientations n'ont pas perduré dans le paysage du haut Moyen-Âge. De la même façon, hormis l'alignement des sépultures avec les murs, rien ne permet d'assurer non plus que l'enclos est datable de l'installation même de la nécropole au 7<sup>e</sup> s.

Il n'est cependant pas impossible que des éléments aient pu échapper au diagnostic. On relève notamment que le site des « Belounes » à La Celle-Saint-Avant mentionné plus haut n'a livré qu'une seule incinération et une fosse à cendre dans un enclos de 26m de côté (soit 676m<sup>2</sup>). La large partie non explorée de l'enclos de Sorigny, notamment à l'est et au sud, pourrait tout à fait livrer des surprises. Cette question de la datation

de l'enclos ne saurait donc être résolue que par une éventuelle fouille exhaustive du gisement.

#### 2.5.2.5. Éléments de synthèse sur le site funéraire du haut Moyen-Âge

Quoi qu'il en soit, l'occupation funéraire datable des 7<sup>e</sup>-10<sup>e</sup> s. mise au jour lors du diagnostic semble quelque peu atypique dans le paysage des pratiques de l'époque carolingienne en Région Centre. D'un point de vue chronologique, elle ne s'inscrit pas dans les sites de la typologie des « nécropoles mérovingiennes » réunissant des dizaines, voire des centaines d'individus, situées à l'écart des habitats, dont aucune ne perdure au-delà des 7<sup>e</sup>-8<sup>e</sup> s (Blanchard 2014).

Pour l'époque carolingienne, on trouve en général en milieu rural des sépultures isolées ou des petits groupes d'inhumations dépassant rarement la vingtaine d'individus, le plus souvent directement dans les sites d'habitat, ou bien en périphérie immédiate (Gaultier 2010). Si les cas de réinvestissement de ruines antiques, plutôt à l'écart des habitats, sont bien connus, les de tombes sont souvent limitées à quelques individus, à l'instar en Touraine du site de Langeais, « Les Béziaux », avec quatre inhumations datées des 8<sup>e</sup>-9<sup>e</sup> s. au sein d'un bâtiment antique (Guiot 2002).

On distingue en général ces petits groupes d'ensembles plus conséquents, de plusieurs centaines d'individus, mais là clairement associés à des lieux de cultes à l'origine d'églises paroissiales, comme sur les sites tourangeaux bien documentés de Rigny-Ussé ou de Joué-lès-Tours (Zadora-Rio, Galiné 2020, Papin *et al.* 2015). Quelques cas un peu « hybrides » existent toutefois, tels celui de Sainte-Catherine-de-Fierbois (Indre-et-Loire), où 63 sépultures des 7<sup>e</sup>-11<sup>e</sup> s. ont été mises au jour en marge d'un habitat, dans les ruines d'un balnéaire romain, associées à une solide construction sur poteaux interprétée comme une chapelle (Ben Kaddour 2015).

A Sorigny, nous avons donc affaire à un possible réinvestissement de ruines antique (si tel est bien le cas), par une nécropole pouvant atteindre la centaine d'individus, à l'écart de tout lieu de culte. En outre, si l'enclos est bien contemporain des premières sépultures (c'est-à-dire du 7<sup>e</sup> s.), alors

ce site aurait un aspect tout à fait singulier pour cette époque où les regroupements de tombes sont classiquement en aire ouverte.

De plus, cet ensemble funéraire apparaît bien à l'écart de tout habitat (fig. 168). En effet, l'exploration de la zone a été suffisamment large et intense pour exclure la possibilité d'un site proche de cette nécropole. De fait, l'habitat le plus voisin mis au jour par des opérations archéologiques récentes dans le secteur est le site identifié lors du diagnostic de la LGV en 2012, situé à 400m au sud-ouest de la nécropole (37.250.066 AH, Bouillon 2012 : 34-65). Ce site avait notamment livré les éléments d'un habitat ouvert, constitué de concentrations de trous de poteaux, des fosses dont au moins un silo, de fosses d'extraction et une sépulture. Selon les données du diagnostic il aurait été occupé aux 9<sup>e</sup>-première moitié 10<sup>e</sup> s. Il se trouve en outre non loin du site « privilégié » de ferme fortifiée fouillé en 2002-2003 (37.250.008 AH, Jesset *et al.* 2002 et Jesset 2003). Toutefois, ce dernier n'est occupé que de manière très courte (deuxième moitié du 9<sup>e</sup> s.). Ainsi les occupations de ces deux établissements ne semblent guère recouvrir la totalité de l'occupation de la nécropole mise au jour lors du diagnostic de 2021.

En revanche, plus au sud, un ensemble de structures en creux a également été identifié lors des diagnostics de la LGV, se diffusant sur une grande surface (37.250.072 AH, Lecuyer 2012 : 53-75). Là encore des concentrations de poteaux, des fosses (dont certaines d'extraction) et des fossés attestent d'une occupation, vraisemblablement d'habitat, relativement longue couvrant les 7<sup>e</sup>-10<sup>e</sup> s. Nous nous trouvons ici à plus de 500 m au sud de notre site funéraire.

Ainsi, bien qu'assez éloignés de la nécropole mise au jour lors du diagnostic, il apparaît possible que ce soient ces habitats qui ont procuré le recrutement de notre site funéraire. Toutefois, une centaine d'individus sur environ trois siècles ne devait pas constituer la totalité de la population de ces communautés. Il est possible notamment que les immatures n'aient pas tous été enterrés ici, au regard du déficit qui semble apparaître au diagnostic. Ces réflexions mériteraient naturellement d'être complétées par une fouille plus complète.

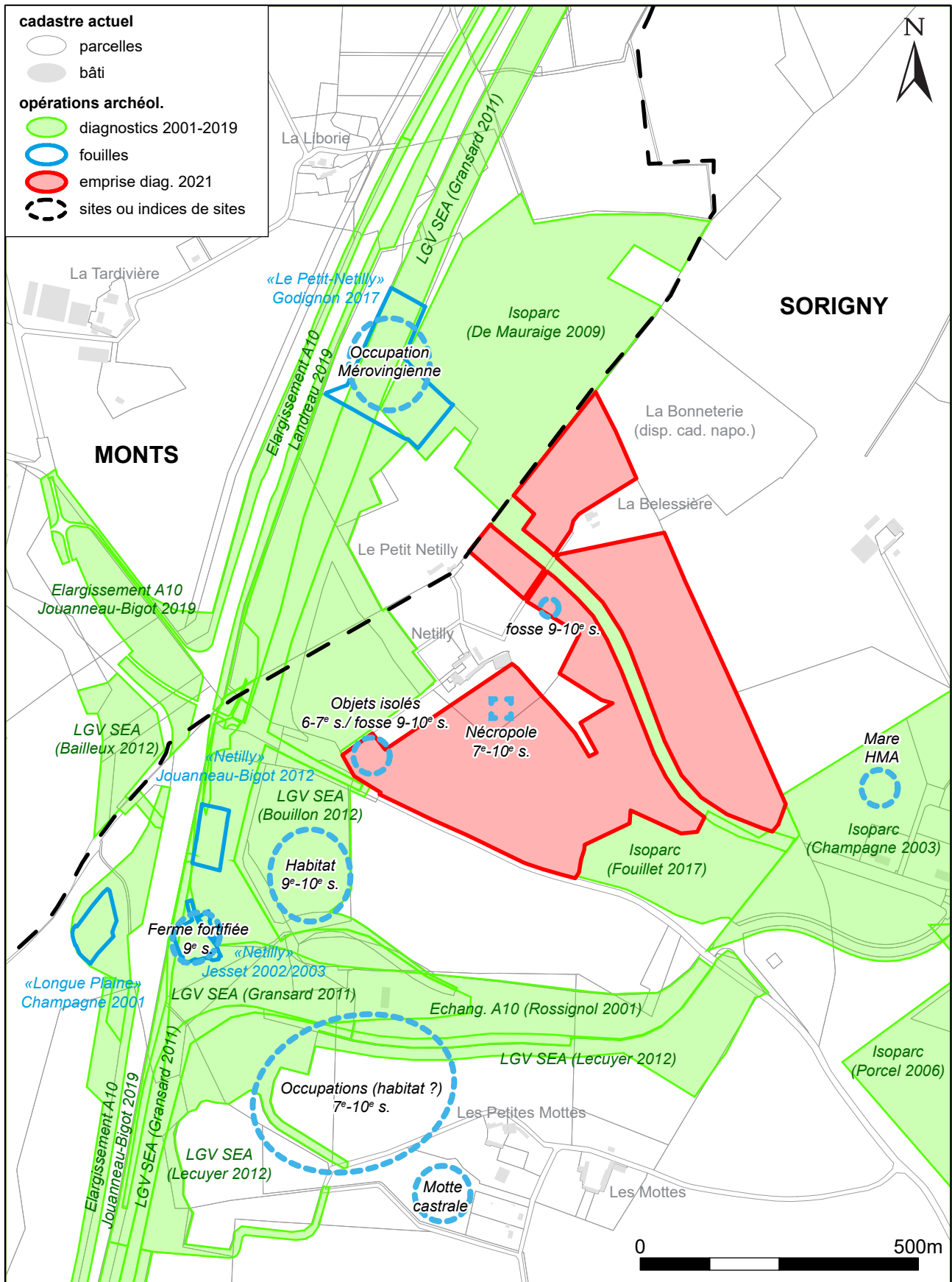


Figure 168 : Plan des occupations altomédiévales du secteur du diagnostic de 2021

### 2.5.3. Les fosses isolées de la fin du haut Moyen-Âge

Pour finir sur le haut Moyen-Âge, deux fosses qui semblent isolées ont été mises au jour (fig. 169). La première se trouve sur le site même de la villa, à l'extrémité nord-est de la tranchée 1 (F12). De forme subcirculaire présentant un profil en auge, aux parois droites, elle a été fouillée en limite d'emprise à 50% (fig. 170). Elle mesure 90 cm de diamètre pour 44 cm de profondeur. Son comblement unique a livré 6 tessons de poterie à pâte blanche grise et

rosée, se rapportant aux 9-10<sup>e</sup> s.<sup>42</sup> (lot 41). Aucune autre fosse du site ne semble se rapporter à cette époque, ni mobilier isolé que ce soit céramique ou métallique collecté à l'aide du détecteur à métaux. En outre, le diagnostic de J. Bouillon de 2012, n'a livré aucun vestige de cette période dans la zone

<sup>42</sup> Pour rappel, le mobilier médiéval et moderne, qui n'a pas fait l'objet d'une étude en bonne et due forme au vu de sa faible quantité, a été expertisé par Philippe Husi (LAT/CITERES).

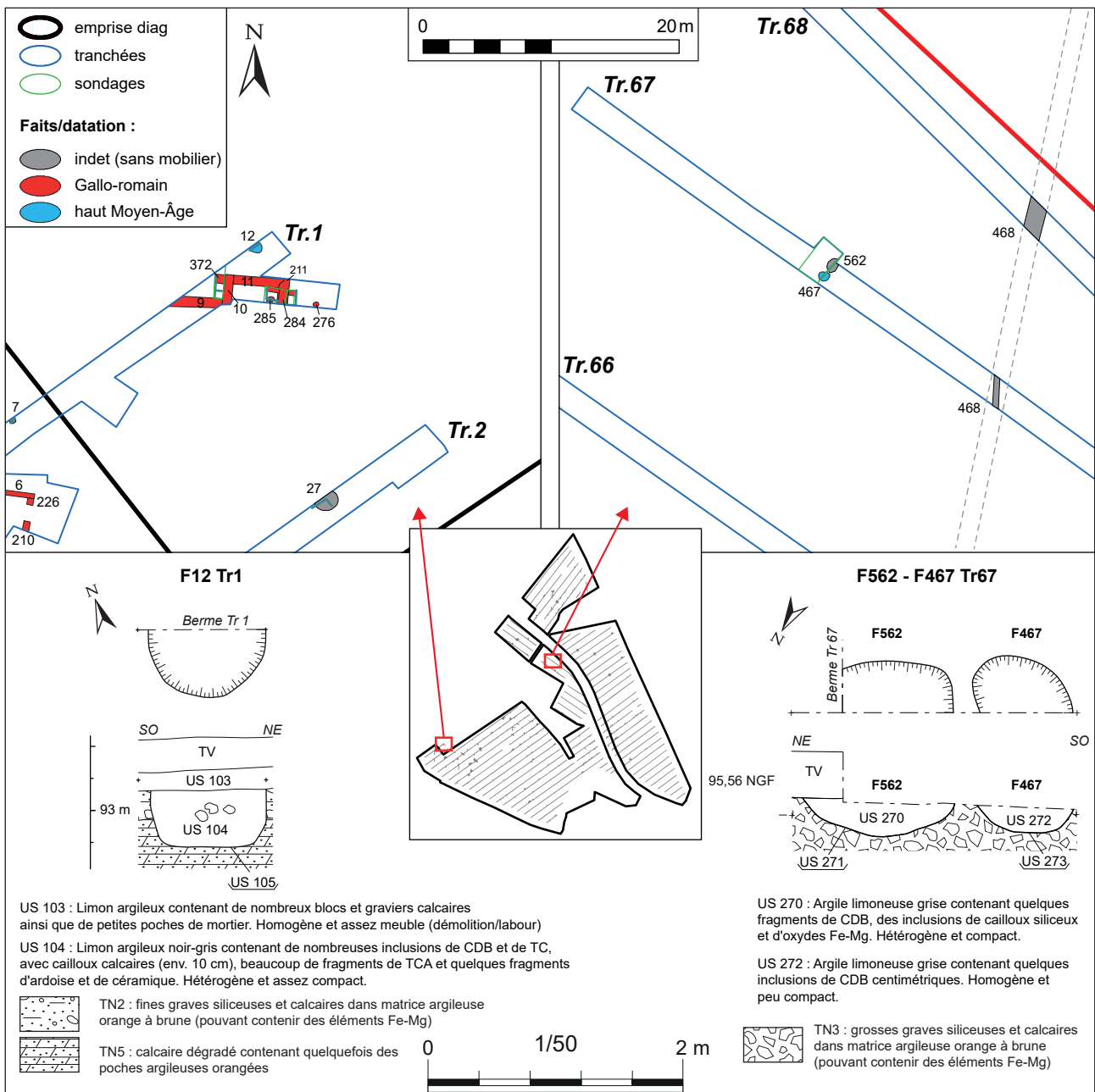


Figure 169 : Plans et coupes des deux fosses isolées de la fin du haut Moyen-Âge

située juste au nord. Tout juste cette fosse pourrait-elle témoigner là encore d'une fréquentation des ruines de la *villa* à une époque tardive. Rappelons que le site de la ferme fortifiée de « Netilly » (Jeset *et. al.* 2002 et 2003), du 9<sup>e</sup> s., a livré tout un ensemble d'éléments lapidaires gallo-romains qui indiquent que des récupérations ont-eu lieu à l'époque carolingienne, peut-être sur le site même de la *villa*.

La seconde fosse attribuable à cette même période a été mise au jour en tranchée 67 (fig. 171). Il s'agit là encore d'une fosse circulaire simple au

comblement unique, de 70 cm de diamètre pour 20 cm de profondeur. Elle offre un profil en cuvette à bords évasés et légèrement asymétriques. Cette fosse, sondée à 50% renfermait trois tessons d'un même pot à pâte blanche des 9<sup>e</sup>-10<sup>e</sup> s. Une deuxième fosse (F562), de forme ovoïde (1,20 m par 0,83 m) présentant un profil en cuvette de 30 cm de profondeur se situe immédiatement au sud. Celle-ci n'a livré aucun mobilier. Ces deux fosses ont été découvertes dans une zone n'ayant pas livré de concentration particulière de structures.



Figure 170 : Photographie de la fosse F12, tranchée 1



Figure 171 : Photographie des fosses F562 et 467, tranchée 67

## 2.6. LE MOYEN-ÂGE CENTRAL ET LE BAS MOYEN-ÂGE : QUELQUES VESTIGES D'UNE OCCUPATION AGROPASTORALE

Le Moyen-Âge central et le bas Moyen-Âge sont peu représentés sur le diagnostic, avec seulement

8 sections de fossés, 4 fosses ou mares, et un isolat de mobilier (fig. 172).

### 2.6.1. Les vestiges des tranchées 25 à 34

C'est dans ce secteur sud-est du diagnostic que les vestiges appartenant au Moyen Âge central et au Bas-Moyen-Âge sont les plus denses (fig. 173). Dans cette zone élargie d'environ 2 ha, tout un ensemble de fossés parcellaires, de mares (ou grande fosses) et quelques fosses isolées ont été mises au jour. Parmi ces structures, bon nombre sans mobilier datant restent de datation indéterminée,

d'autres sont attribuables à l'époque moderne ou contemporaine, soit par le mobilier, soit par comparaison avec le cadastre ancien. Toutefois, 7 fossés et deux probables mares dans cette zone, ont livré des éléments de céramique globalement datables des 11-12<sup>e</sup> s. au 15-16<sup>e</sup> s.

Dans ce secteur des tranchées 17, 25 à 34, l'ensemble des fossés découverts n'apparaît pas

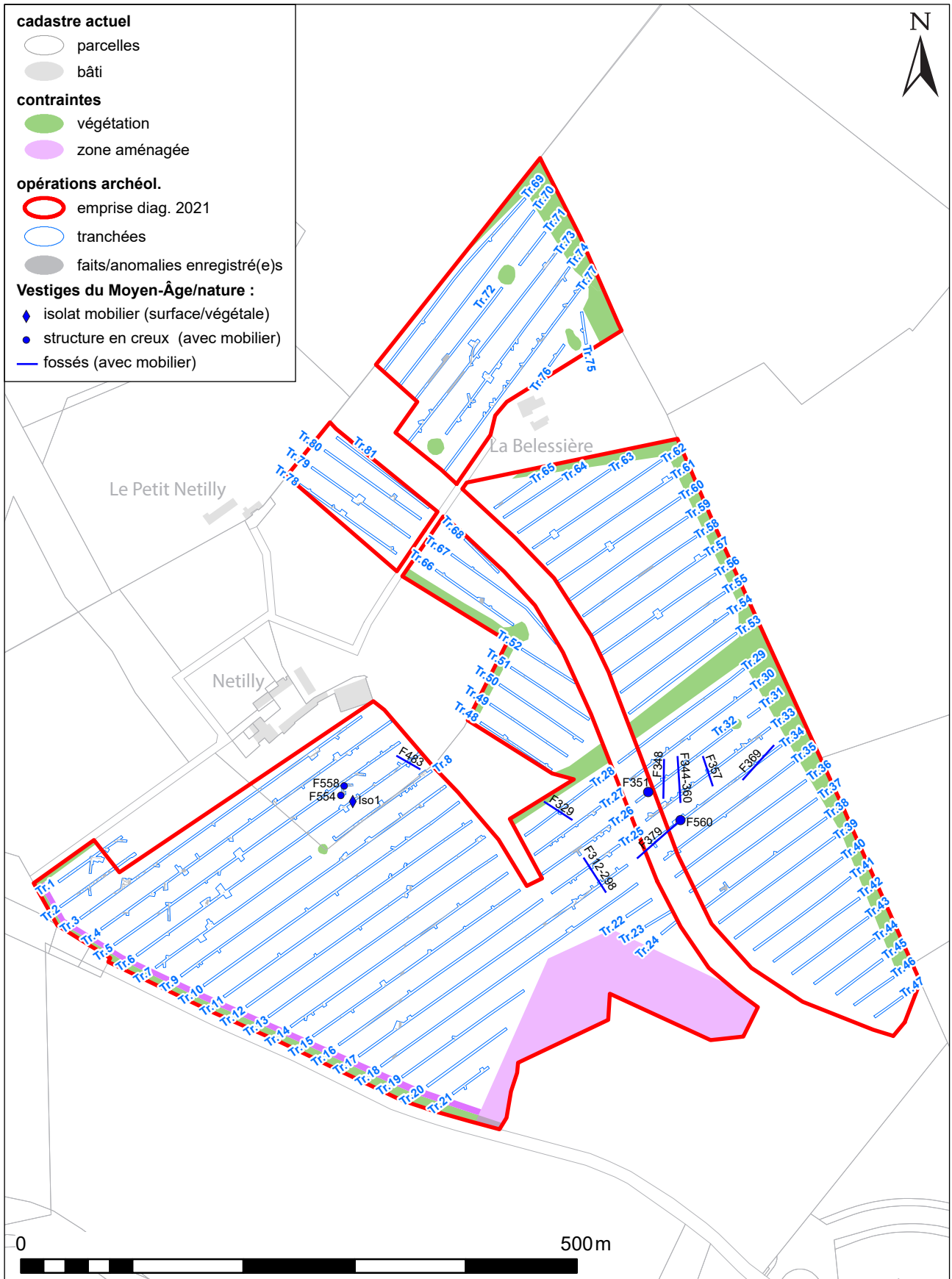


Figure 172 : Plan de localisation des vestiges Moyen-Âge central et du Bas-Moyen-Âge

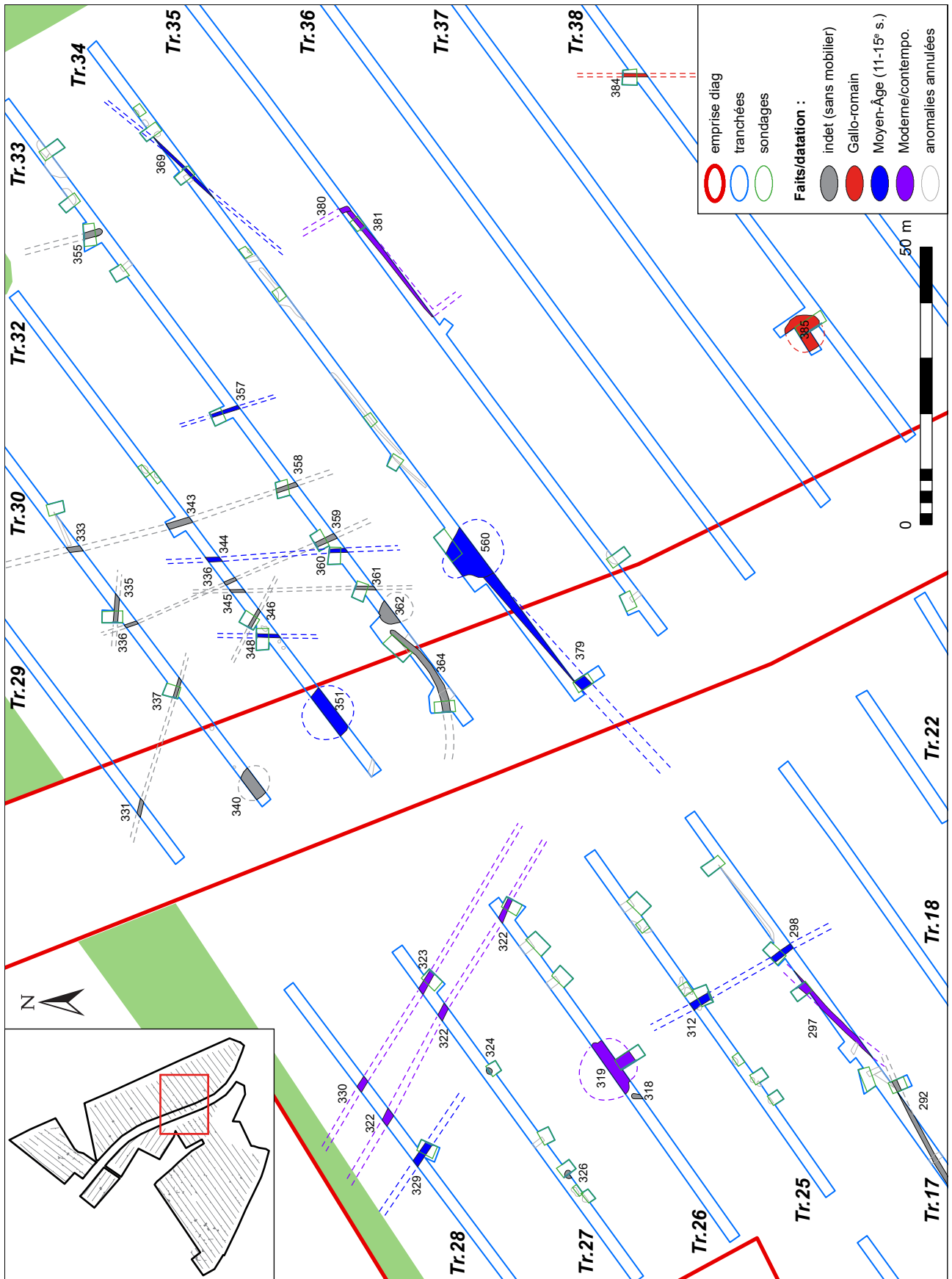


Figure 173 : Plan de détail phasé de la zone ayant livré des vestiges de fossés du Moyen-Âge



d'une organisation facilement lisible : ils présentent des orientations, des formes et des gabarits forts variables. Leur éventuelle organisation en réseau est d'autant moins cernable que pour beaucoup, ils ne sont apparus que sur une à deux tranchées, rarement plus. Afin de ne pas surcharger ce texte de descriptions fastidieuses et redondantes, nous renvoyons au tableau suivant pour les principales caractéristiques des fossés (**fig. 174**), ainsi qu'à leur planche de relevés (**fig. 175**). Ce tableau inclut les fossés de datation indéterminée à des fins de comparaisons, dont la planche des coupes est également présentée ici (**fig. 176**).

D'un point de vue chronologique, les éléments les plus anciens appartiennent donc aux 11<sup>e</sup>-12<sup>e</sup> s. Ainsi le sondage effectué dans le petit fossé F357, qui n'a été vu que dans une tranchée (33), a-t-il tout de même livré quelques 37 tessons à pâte claire, blanche grise et rosée du 12<sup>e</sup> s., toutefois très fragmentés (moins de 100 g en tout) (**fig. 177**). Nous ajouterons à cette structure la fosse (ou mare) F351 (tranchée 32, non sondée), en surface de laquelle un lot de 11 tessons à pâte claire, blanche ou grise, dont un fragment d'anse de grand pot et un tesson vernissé vert, renvoient aux 11-12<sup>e</sup> s. A ces deux structures du Moyen-Âge classique succèdent des fossés appartenant plutôt au Bas-Moyen-Âge, voire au début du 16<sup>e</sup> s. (F298/312, 329, 348, 369, 344/360 et F379, **fig. 178, 179 et 180**).

Si la majorité des fossés du secteur apparaissent d'un gabarit modeste (60 à 100 m de large pour 20 à 40 cm de profondeur), certains se signalent toutefois par leur taille remarquable. Ainsi le fossé F379 atteint-il plus de 2 m à l'ouverture pour 1,10 m de profondeur. Notons que celui-ci, comportant deux tessons du 14<sup>e</sup> s., semble connecté à une probable mare, ou grande fosse puisard d'environ 10 m de diamètre, qui n'a été que partiellement sondée (F560). Un lot conséquent de 72 tessons des 13-14<sup>e</sup> s. ont été collectés en surface (lot 21). Parmi les fossés indéterminés, se signale également le fossé F364, de plan curviligne avec un profil particulier à fond plat (**fig. 181**).

Rapellons en outre que certains faits du secteur semblent appartenir à des périodes plus récentes, tels le fossé F322 (voire le fossé parallèle 323/330), apparaissant sur le cadastre napoléonien, reprenant d'ailleurs l'orientation du fossé F329, non loin, datable du Bas-Moyen-Âge. On peut ajouter la mare F319 qui a livré deux tessons de grès contemporain

Au final, il apparaît bien difficile de démêler les choses dans cet enchevêtrement de fossés et de probables mares, qui semblent se succéder dans des orientations différentes, entre les 11-12<sup>e</sup> s. et le

TR	NUM	Orientation	Largeur	Profond.	Profil	NR Céram	Datation	Lot
33	357	NNO/SSE	78	30	cuvette	37	12e s.	52
32	348	N/S	80	35	cuvette asymétrique	3	13-15e s.	113
28	329	NO/SE	133	49	cuvette à bords évasés	3	14e s.	112
34	379	OSO/ENE	212	110	cuvette à bords évasés	2	14e s.	114
34	369	OSO/ENE	66	26	cuvette à bords évasés	5	15-16e s.	32
32-33	344-360	N/S	82	36	cuvette à bords évasés	1	15-16e s.	84
17-25	298-312	NNO/SSE	166	66	V à bords évasés	12	15-16e s.	9
29-30	331-337	NO/SE	60	34	cuvette à bords évasés	0	Indet	
32-33	345-361	N/S	64	20	cuvette à bords évasés	0	Indet	
32	346	NO/SE	78	30	cuvette à bords évasés	0	Indet	
30-32-33	336-359	NNO/SSE	94	40	cuvette à bords évasés	0	Indet	
29-30-32-33	333-343-358	NNO/SSE	95	33	cuvette à bords évasés	0	Indet	
30	335	E/O	100	55	cuvette à bords évasés	0	Indet	
33	355	NNO/SSE	129	64	cuvette à bords évasés	0	Indet	
33	364	curviligne	164	76	cuvette à fond plat	0	Indet	

Figure 174 : Tableau des caractéristiques des fossés de la zone ayant livré des vestiges du Moyen-Âge

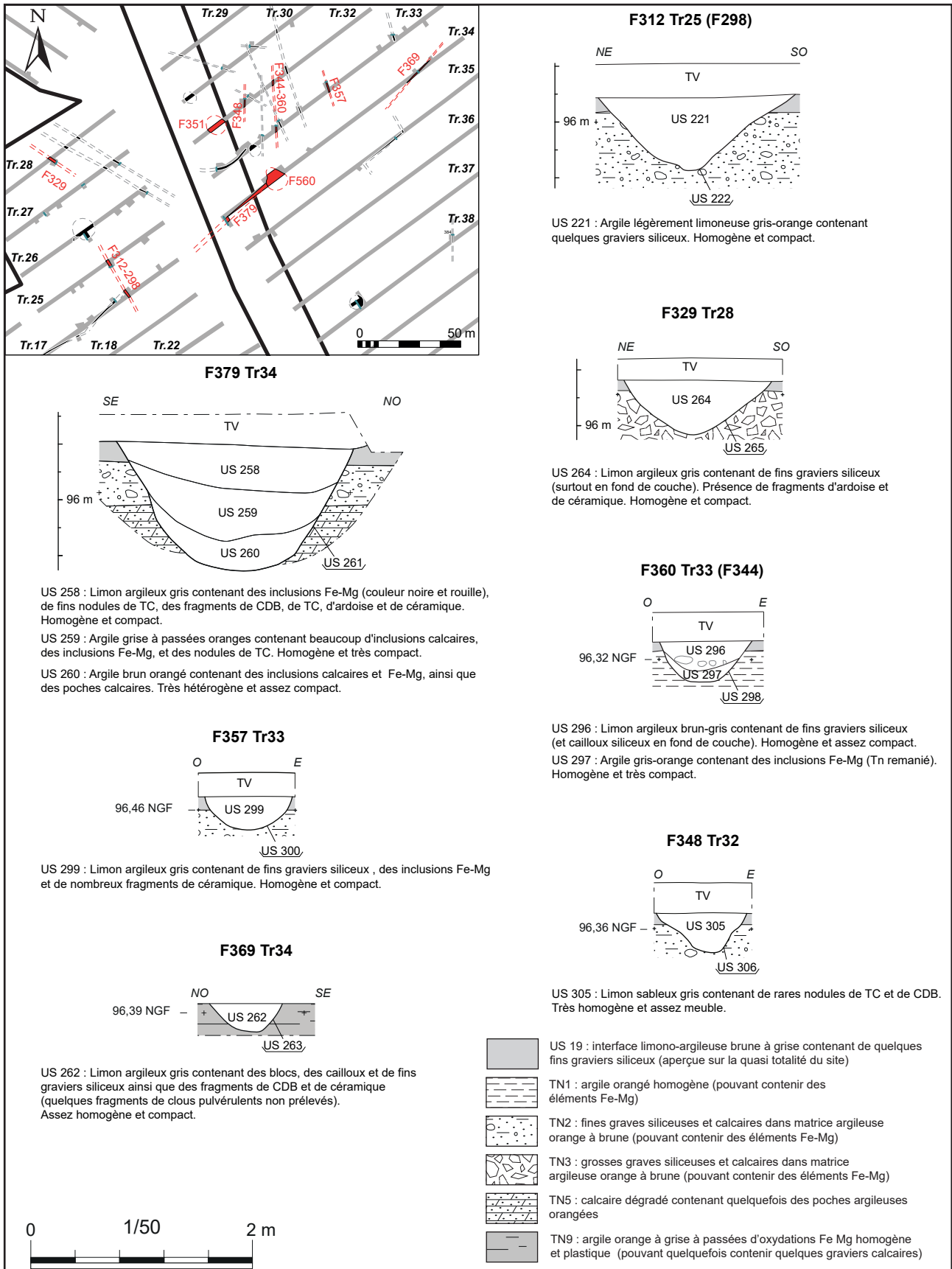


Figure 175 : Coupes des fossés ayant livré du mobilier du Moyen-Âge

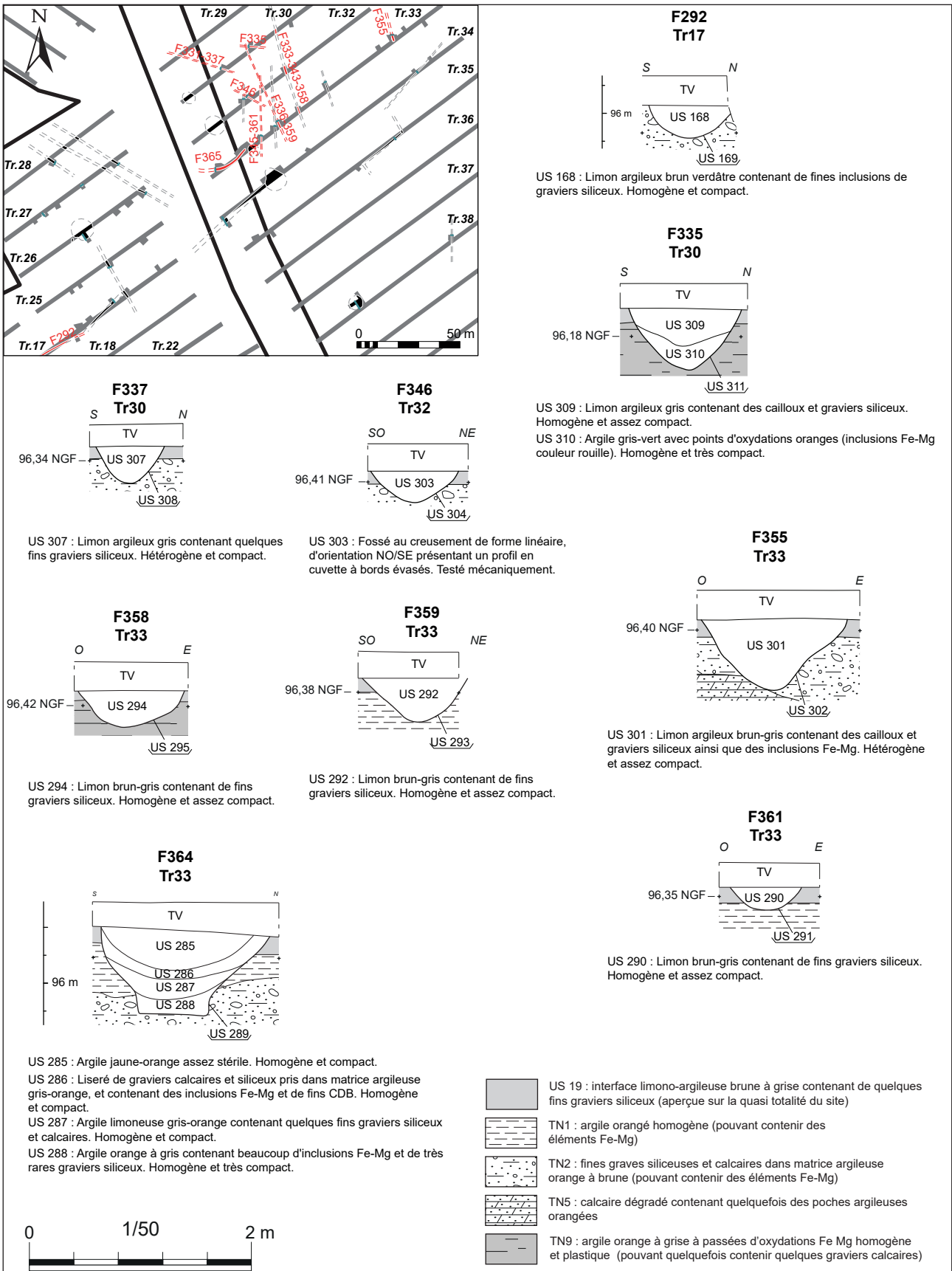


Figure 176 : Coupes des fossés sans mobilier de la zone ayant livré des vestiges du Moyen-Âge



Figure 177 : Photographie de la coupe du fossé F357 ayant livré du mobilier des 11-12<sup>e</sup> s.



Figure 179 : Photographie de la coupe du fossé F329 ayant livré du mobilier du 14<sup>e</sup> s.



Figure 178 : Photographie de la coupe du fossé F312 ayant livré du mobilier des 15-16<sup>e</sup> s.



Figure 180 : Photographie de la coupe du fossé F379 ayant livré du mobilier du 14<sup>e</sup> s.

19<sup>e</sup> s. Dans ces terres humides<sup>43</sup>, il semble qu'il y ait eu une volonté constante de drainer le terrain, ou bien de faire des mares afin de l'\*e mettre en valeur. Cependant, on doit admettre que la présence de lots parfois de plusieurs dizaines de tessons dans certaines structures, témoignent de rejets domestiques. Toutefois, aucune structure type trous de poteau ou murs de bâtiment n'ont été vus dans le secteur. Un habitat pourrait se trouver hors-emprises vers le nord-est. Notons que ces terres appartiennent au fief de «Maltâche», mentionné dès le 14<sup>e</sup> s. dans les sources (cf. *supra* 1.6.2.5.).

<sup>43</sup> Selon l'exploitant actuel de ces parcelles avec lequel nous avons pu échanger, cette zone est en effet particulièrement difficile à cultiver en raison d'un sol retenant constamment l'humidité. Seule la culture du maïs et de prairie d'herbe pour le pâturage sont possibles.



Figure 181 : Photographie de la coupe du fossé F364, sans mobilier

## 2.6.2. Les vestiges des tranchées 5 et 6

Nous avons déjà évoqué plus haut la présence de deux fosses datables du Bas-Moyen-Âge situées dans le site de la nécropole, en tranchée 5 (F554 et F558, [fig. 182, 184](#)). L'une a été fouillée à 50% : de forme circulaire de 95 cm de diamètre, et profonde 11 cm, cette petite fosse en cuvette recoupant un des murs de l'enclos a livré, 2 tessons de poterie du 14<sup>e</sup> s. (lot 77). La seconde, F554, a été mise au jour partiellement au sud-ouest de l'enclos. Un tesson des 14-15<sup>e</sup> s. (lot 92), a été ramassé au nettoyage au sommet de cette structure qui n'a pas été fouillée.

A ces deux faits de la tranchée 5, on peut ajouter la présence d'un isolat de mobilier situé au sud en tranchée 6, sans structure apparente. Un petit lot

de tesson a été ramassé à l'interface entre la terre végétale et le substrat, composé de 8 tessons, dont un bord de céramique dite « rose-bleue » et des tessons vernissés verts, de la fin du 15<sup>e</sup> s. ou du début du 16<sup>e</sup> s. (lot 1).

Plus au nord dans cette même tranchée, un fossé a été mis au jour, identifié sur une seule tranchée (F483, [fig. 183](#)). Il est apparu sous un fossé plus récent qui en reprend globalement l'orientation nord-ouest/sud-est (F142). Mesurant 1,10 m de large pour 80 cm de profondeur, le sondage effectué dans son comblement a livré un tesson du 15<sup>e</sup> s. (lot 39).

## 2.7. L'ÉPOQUE MODERNE ET CONTEMPORAINE : PARCELLAIRE, FOSSES ET MOBILIER ISOLÉ

Les périodes moderne et contemporaine sont représentées avant tout par 29 sections de fossés parcellaires. On compte également une fosse et deux mares ([fig. 185](#)). Onze drains d'époque contemporaine ont en outre été mis au jour. Enfin, on dénombre quelques 15 objets isolés, dont 14

ont été découverts à l'aide du détecteur à métaux, tout particulièrement sur le site de la *villa*. Enfin, une canalisation d'eau récente a été identifiée traversant l'emprise (F62), apparaissant sur les DICT, sur laquelle nous ne reviendrons pas.

### 2.7.1. Les fossés parcellaires

Parmi les 29 fossés attribués aux périodes récentes, 8 sont datés directement par du mobilier archéologiques et 9 autres par la confrontation avec

les cadastres récents. Les 12 derniers sont supposés de ces mêmes époques en raison de leur orientation ou leur cohérence dans le réseau parcellaire mis



**Figure 182** : Photographie zénithale de la fosse F554 (tranchée 5, recoupant le mur d'enclos de la nécropole), ayant livré du mobilier des 14-15<sup>e</sup> s.



**Figure 183** : Photographie de la coupe du fossé F483, ayant livré du mobilier des 15-16<sup>e</sup> s.

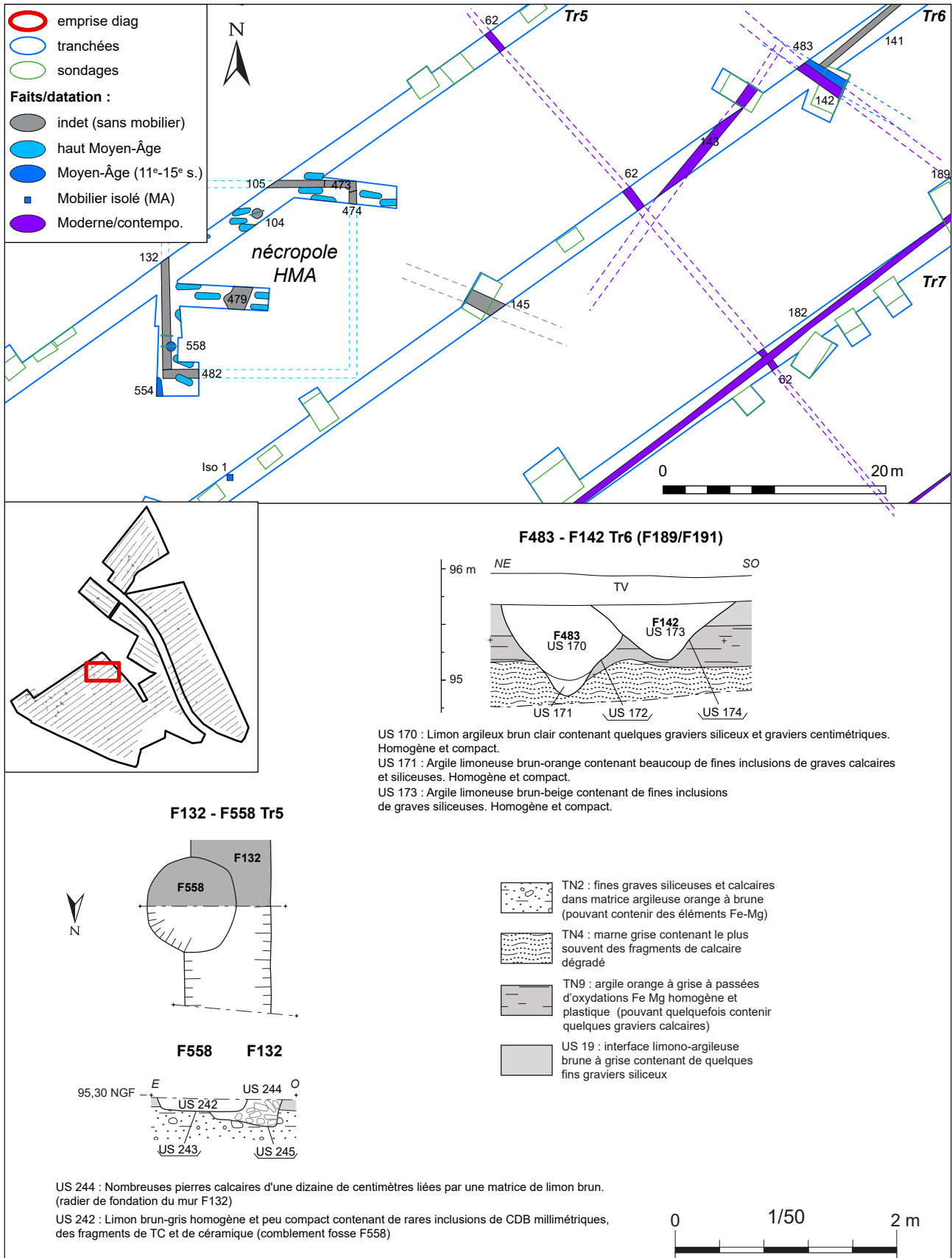


Figure 184 : Plan et coupes des structures des tranchées 5 et 6 ayant livré du mobilier du Moyen-Âge

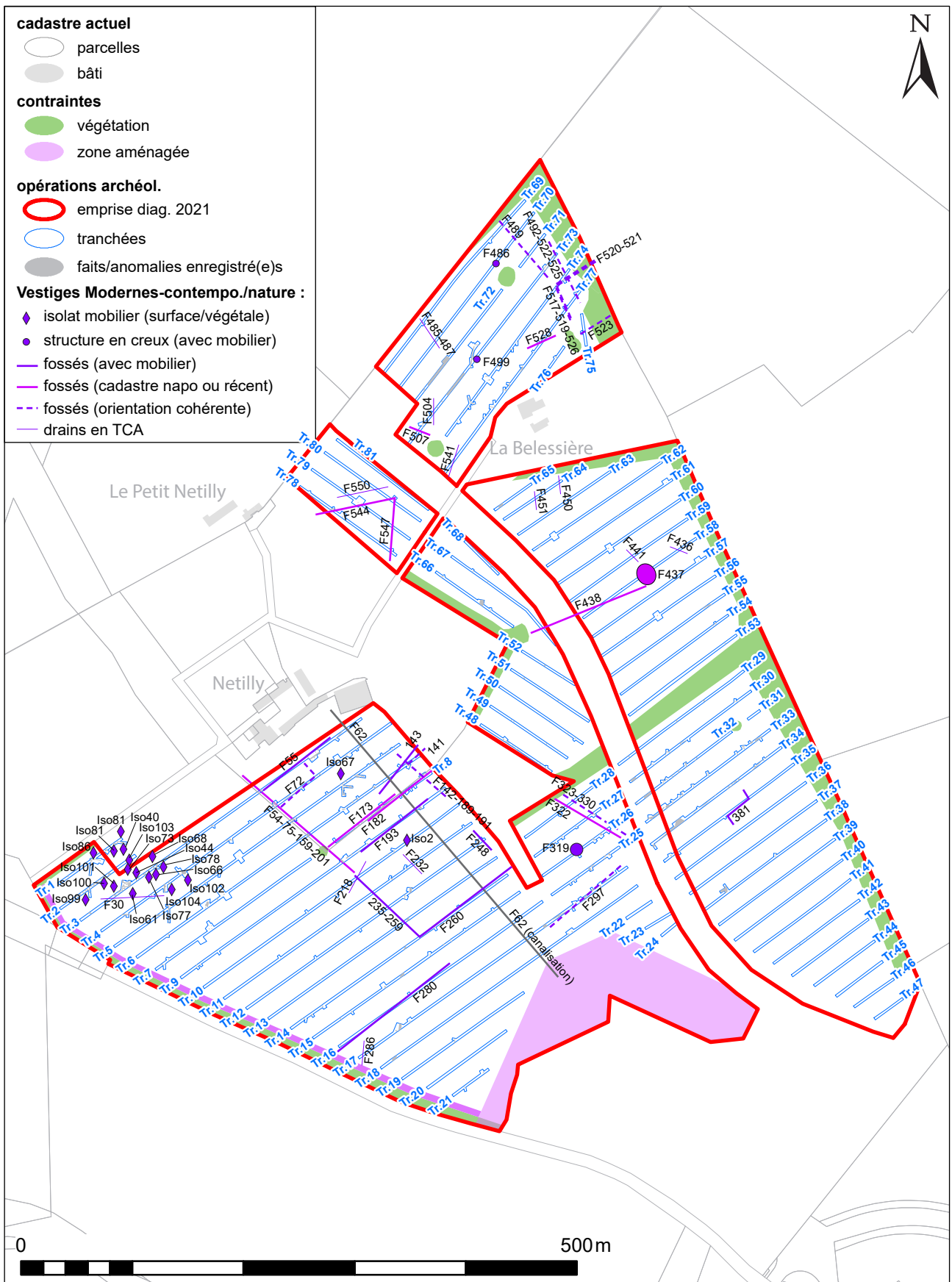


Figure 185 : Plan de localisation des vestiges des époques moderne et contemporaines

au jour. La encore, afin de ne pas surcharger le discours, un tableau est proposé présentant les critères descriptifs de ces multiples fossés (fig. 186). On traitera ces vestiges par secteurs.

### 2.7.1.1. Les fossés des tranchées 3 à 17 et 35

Une série de fossés ont été mis au jour au nord-est des tranchées 3 à 14 (fig. 187 et 188). Une première confrontation avec le cadastre napoléonien de 1819, permet de s'apercevoir que ceux-ci s'inscrivent dans une sorte de « clos » dépendant de la ferme de « Netilly » (fig. 189). Ainsi le fossé enregistré sous les numéros F54, 75, 159 et 201, suivi des tranchées 3 à 5 et 9, correspond parfaitement à l'emplacement

de la limite sud-ouest de ce clos (parcelle 375 du cadastre ancien). Cette limite correspond encore partiellement à une limite parcellaire actuelle. Ce fossé, coupé a deux reprises dans les tranchées 4 et 9, est de taille importante (1,60 m à 1,83 m à l'ouverture pour 60 cm à 91 cm de profondeur, fig. 190). Celui-ci faisait un retour à angle droit vers le nord-est, que l'on peut situer selon le plan ancien entre les tranchées 9 et 10. Toutefois, on s'aperçoit que ce clos a été prolongé vers le sud-est, avec, dans la continuité de F54/75/159/201, le fossé F235/259, lui-même faisant un retour d'équerre vers le nord-est observé dans la tranchée 14 (F260, fig. 191). Bien que ce dernier soit un peu moins conséquent en taille (1,30 m de large pour 46 cm de profondeur),

TR	NUM	Orientation	Largeur	Profondeur	Profil	Critère de datation	NR Céram	Datation	Lot
3 à 9	54-75-159-201	NO/SE	183	91	V évasé	cad napo	-	-	-
3	55	SO/NE	45	non sondé	non sondé	céramique	1	19-20e s.	4
4	72	SO/NE	56	16	cuvette à bords évasés	orientation	-	-	-
6	141	SO/NE	104	58	V	TCA (carreau)	-	-	143
6 à 8	142-189-191	NO/SE	130	50	cuvette à bords évasés	orientation	-	-	-
6	143	SO/NE	128	52	cuvette à bords évasés	céramique	1	18-20e s.	28
8	173	SO/NE	52	20	cuvette	orientation	-	-	-
8	182	SO/NE	87	36	cuvette à fond plat	cad actuel	-	-	-
9	193	SO/NE	134	72	cuvette à bords évasés	orientation	-	-	-
10 à 14	235-259	NO/SE	90	non sondé	non sondé	orientation	-	-	-
12	248	NO/SE	126	43	cuvette à bords évasés	orientation	-	-	-
14	260	SO/NE	130	46	cuvette à bords évasés	mobilier	1	19-20e s.	38
16	280	SO/NE	73	37	cuvette assymétrique	mobilier	1	19-20e s.	29
17	297	SO/NE	180	65	cuvette assymétrique	orientation	-	-	-
26 à 28	322	NO/SE	70	30	cuvette	cad napo	-	-	-
26 et 27	323-331	NO/SE	98	44	cuvette	cad napo	-	-	-
35	381	SO/NE	60	11	cuvette à bords évasés	mobilier	3	19-20e s.	75
58 et 67	438	SO/NE	140	non sondé	non sondé	cad napo	-	-	-
78 à 80	544	SO/NE	138	42	cuvette à bords évasés	cad napo/TCA	-	-	139
78 à 80	547	N/S	120	45	cuvette assymétrique	cad napo	-	-	-
73	507	NO/SE	76	44	cuvette à bords évasés	cad napo	-	-	-
77	528	SO/NE	348	22	irrégulier	cad napo	-	-	-
69 à 71 et 73	489	NO/SE	130	non sondé	non sondé	orientation	-	-	-
73, 74 et 77	492-522-525	NO/SE	130	50	irrégulier	orientation	-	-	-
74 et 77	517	NO/SE	74	30	cuvette assymétrique	orientation	-	-	-
74 et 77	519-526	NO/SE	110	46	cuvette à bords évasés	orientation	-	-	-
74	520	SO/NE	100	40	cuvette à bords évasés	orientation	-	-	-
74	521	SO/NE	92	40	cuvette	orientation	-	-	-
75	523	SO/NE	102	54	cuvette à bords évasés	orientation	-	-	-

Figure 186 : Tableau des caractéristiques des fossés des époques moderne et contemporaines



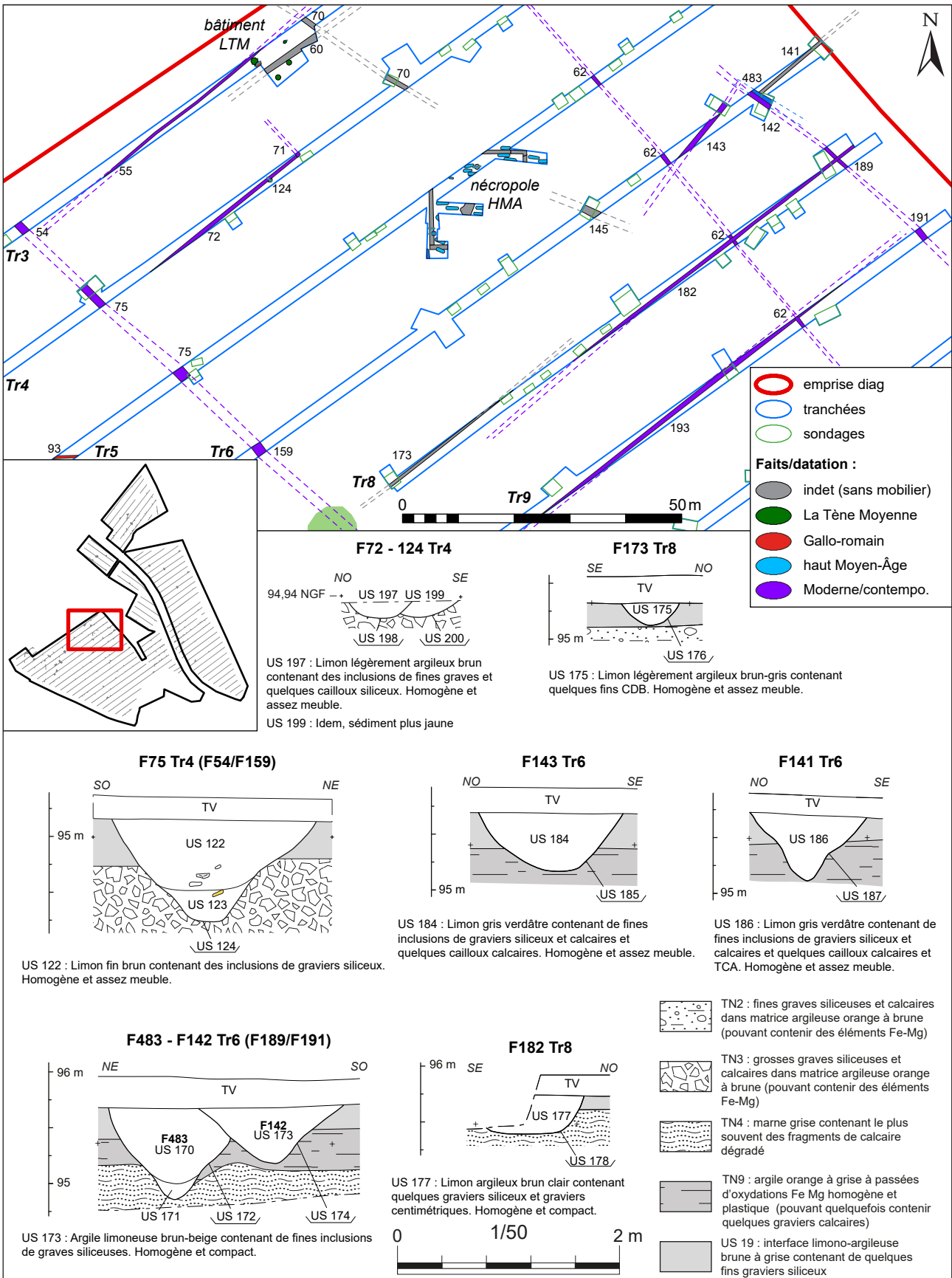


Figure 187 : plan et coupes des fossés des époques moderne et contemporaines des tranchées 3 à 8

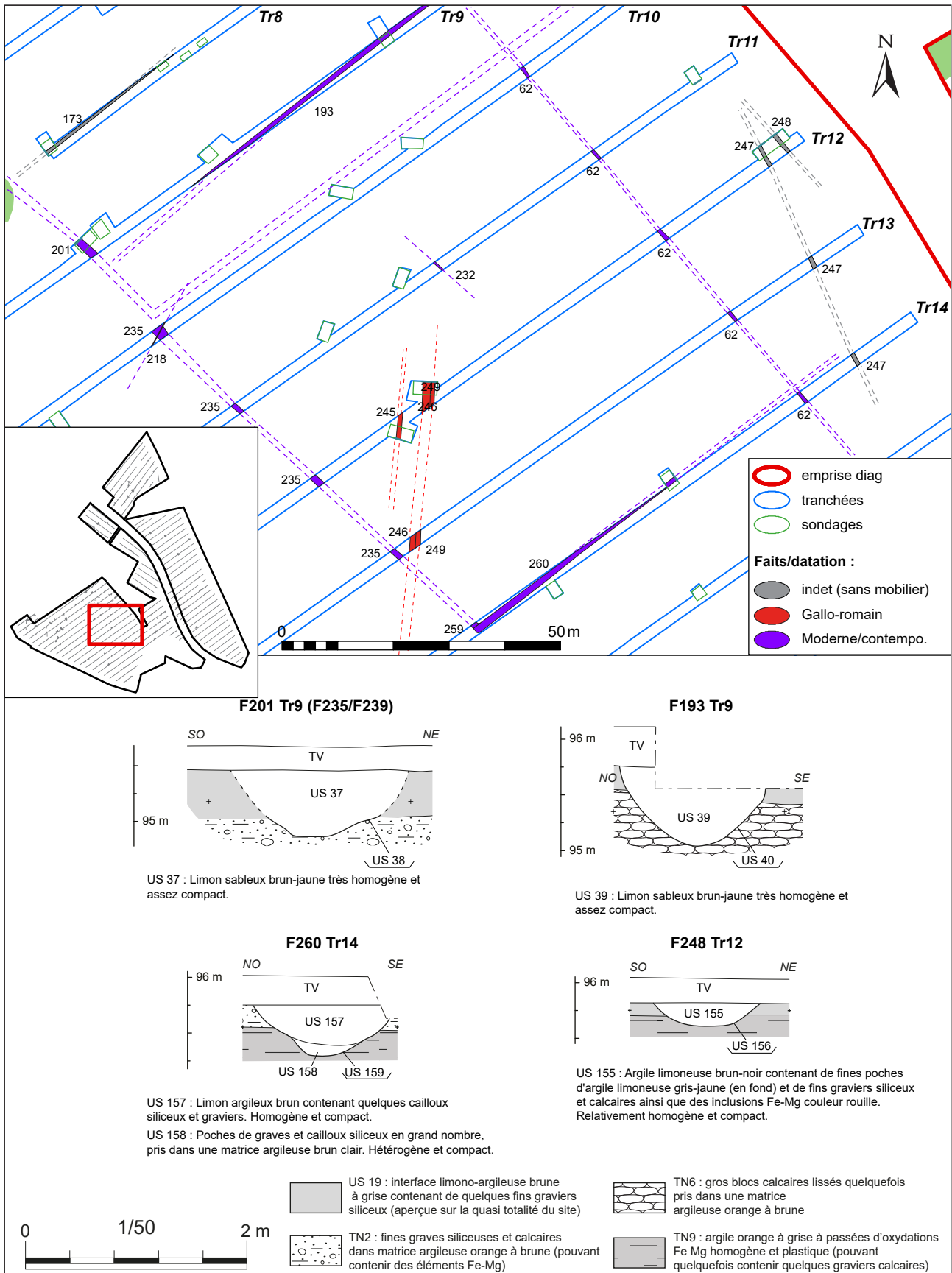


Figure 188 : plan et coupes des fossés des époques moderne et contemporaines des tranchées 9 à 14

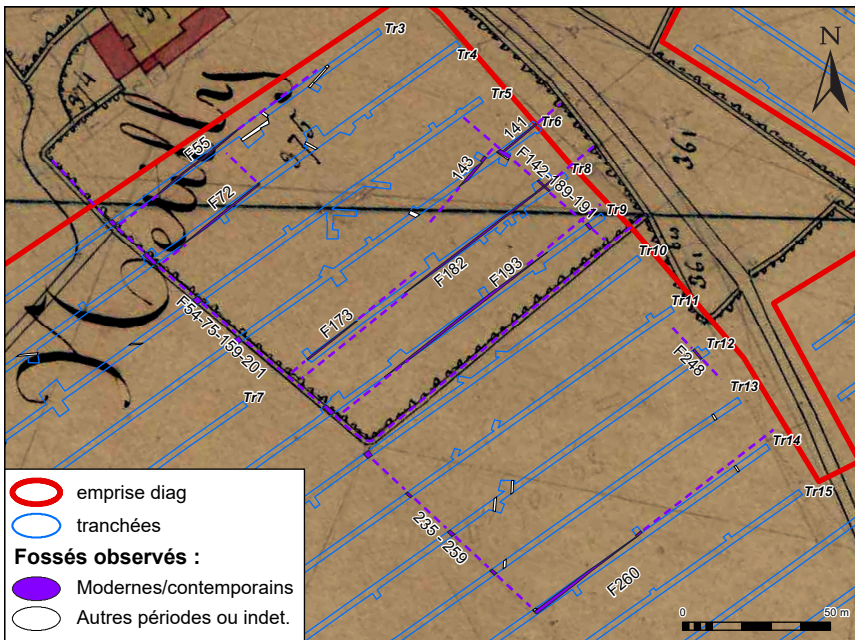


Figure 189 : plan des fossés des époques moderne et contemporaines des tranchées 3 à 14 sur fond de cadastre de 1819

son appartenance à la période contemporaine ne fait guère de doute par la découverte d'un tesson d'assiette en faïence (lot 38). En outre, les petits fossés F173 et F182, en tranchée 8, reprennent une limite parcellaire actuelle.

Il semble que ce clos dépendant de la ferme de « Nettily », ait été partitionné en plusieurs parcelles. Ainsi une série de petits fossés, F55, F72, F193 (fig. 192) et F141 reprennent-ils l'orientation NE/SO, perpendiculaire aux fossés F54/75/159/201 et F235/259. D'autres parallèles à ces derniers (F142/189/191 et F248) doivent sans doute appartenir à ce même réseau. Un tesson de grès contemporain a d'ailleurs été recueilli en surface du fossé F55 (lot 4), tandis qu'un carreau de pavement

en terre cuite moderne ou contemporain a été découvert dans le fossé F141 (lot 143). Un autre fossé au sein de ce clos, F143 (fig. 193), quoique dans une orientation légèrement divergente, a livré un tesson de grès récent (lot 28), et doit donc également participer de ce même partitionnement.

À l'extérieur de ce clos, un fossé (F280), mis au jour plus au sud-est dans la tranchée 16, d'orientation similaire, appartient vraisemblablement au même système parcellaire (fig. 194). Un tesson de grès récent a également été mis au jour dans son comblement (lot 29). De même, bien que sans mobilier, le fossé F297 de la tranchée 17, doit sans doute être considéré comme moderne ou contemporain (fig. 195).



Figure 190 : Photographie de la coupe du fossé F75



Figure 191 : Photographie de la coupe du fossé F260



Figure 192 : Photographie de la coupe du fossé F193



Figure 193 : Photographie de la coupe du fossé F143

Un peu plus au nord-est en tranchée 35, un autre fossé (F381), reprend cette même orientation sud-ouest/nord-est, quoique décrivant ici une sorte de baïonnette (fig. 194). Ce petit fossé appartient également avec certitude au réseau contemporain, dans la mesure où 3 tessons de céramique dite « cul-

noir », datable entre la toute fin du 18<sup>e</sup> et le 20<sup>e</sup> s. ont été découverts dans cette structure (lot 75).

### 2.7.1.2. Les fossés des tranchées 25 à 28

Plusieurs fossés assurément récents ont été mis au jour dans le secteur des tranchées 25 à

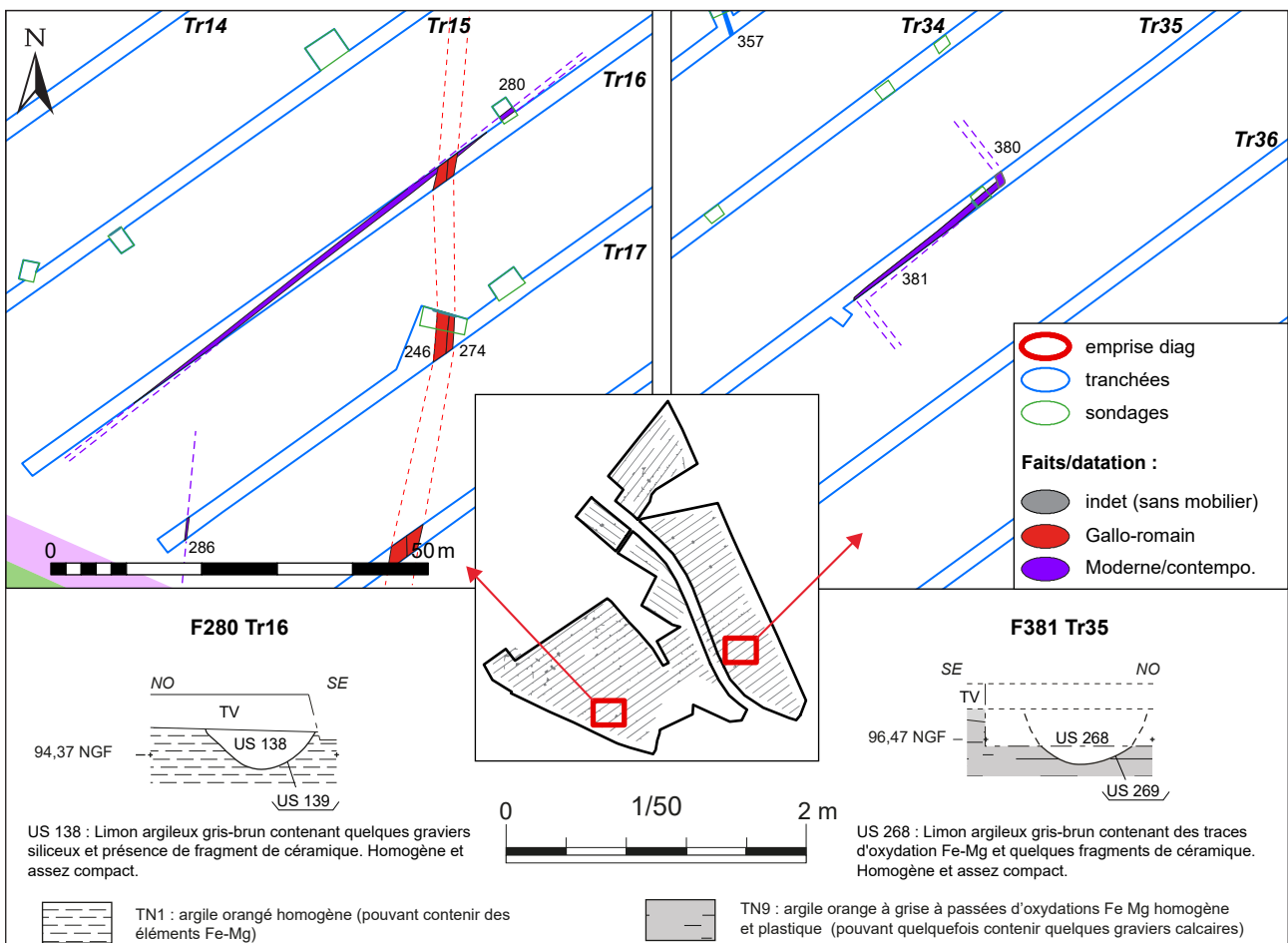


Figure 194 : Plans et coupes des fossés F280 et 381

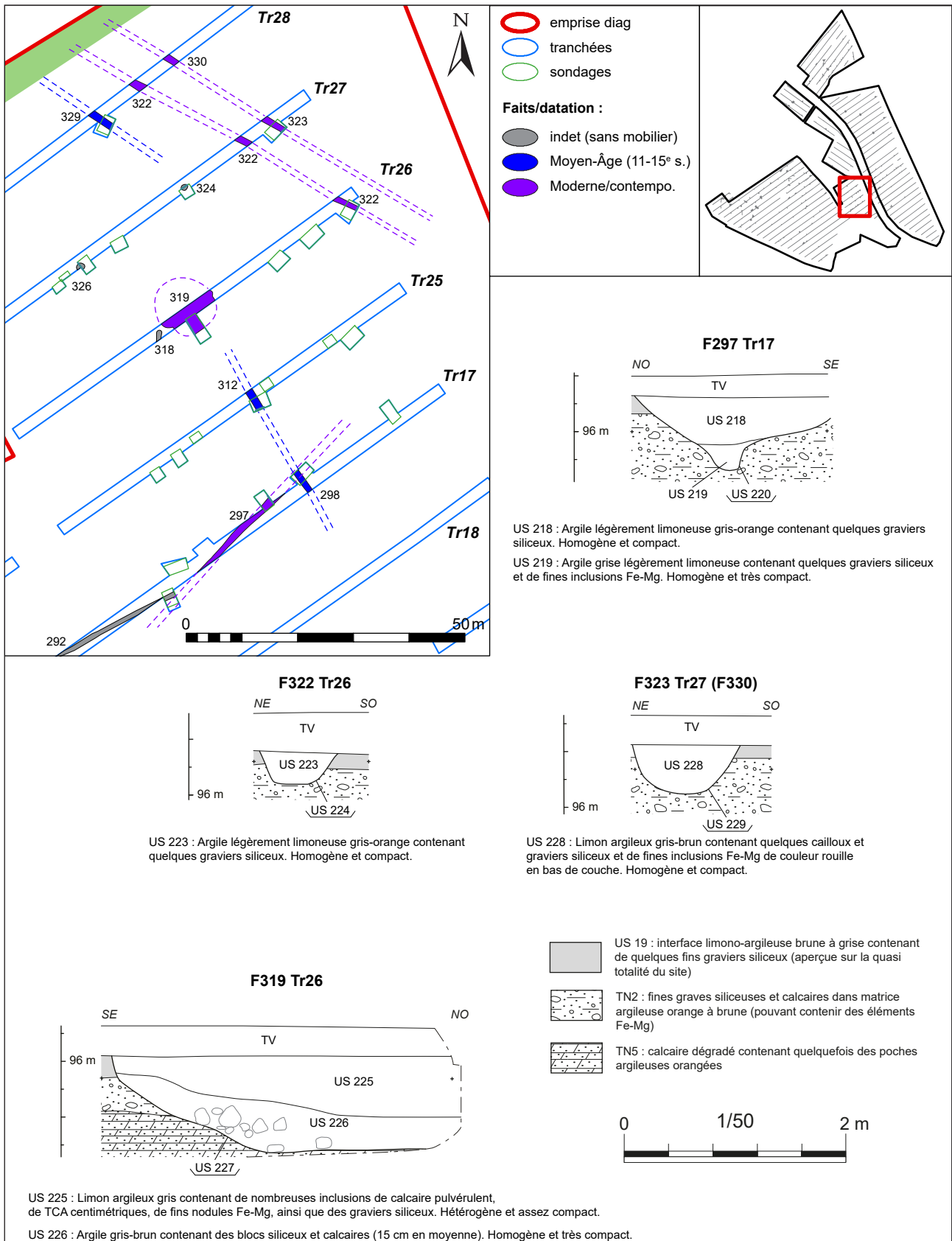


Figure 195 : Plan et coupes des vestiges modernes et contemporains des tranchées 17, 25 à 28

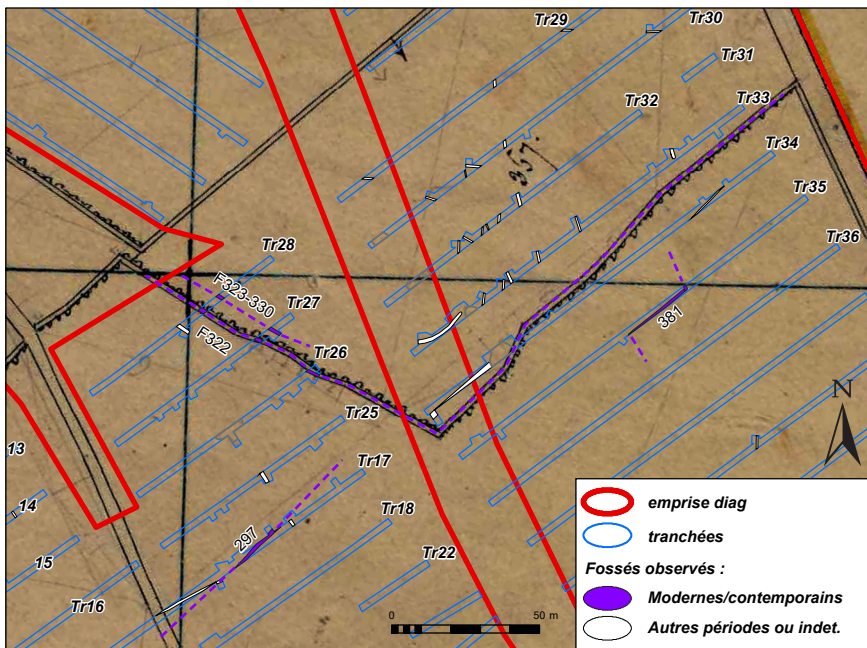


Figure 196 : plan des fossés des époques moderne et contemporaines des tranchées 17, 25 à 34 sur fond de cadastre de 1819

28, qui a également livré bon nombre d'éléments parcellaire du Moyen-Âge (cf. *supra* chap. 2.6.2), mais aussi chronologiquement indéterminés. Sur ces structures, se trouvent deux fossés strictement parallèles (F322 et 323/330), qui reprennent eux-mêmes l'orientation du fossé F329 daté de la fin Moyen-Âge. Or, l'une de ces structures (F322), reprend l'emplacement d'un fossé représenté sur le cadastre de 1819 (fig. 196, 197). Ainsi ces 3 fossés semblent signaler la variation latérale d'une même limite parcellaire qui a légèrement bougé entre la fin du Moyen-Âge et l'époque contemporaine.

#### 2.7.1.3. Le fossé F438

Celui-ci a été mis au jour dans les tranchées 67 et 58. Il n'a pas été sondé. Cependant, il apparaît sur le cadastre de 1819 (fig. 198). Il apparaît connecté à une mare, qui a été également repéré en tranchée 58 (non sondée également).

#### 2.7.1.4. Les fossés des tranchées 73 et 78 à 80

Plus au nord du diagnostic, trois autres fossés correspondent à des éléments visibles sur le cadastre ancien. Il s'agit des fossés F544 et 547, en tranchées 78 à 80 (fig. 199 à 202). Ceux-ci forment un angle aigu observé en tranchée 80. Bien que légèrement décalés par rapport au géoréférencement du cadastre de 1819, ils paraissent bien correspondre à un petit clos

entourant un bâtiment situé à l'écart des fermes de « Netlily et du « Petit-Netilly ». Leur gabarit apparaît relativement similaire avec une largeur de 1,20 m à 1,38 m pour une quarantaine de centimètres de profondeur. Le fossé F544 a livré quelques éléments de tuiles à crochet modernes (lot 139).

Un troisième fossé au nord-est, F507, tranchée 73, reprend également une limite visible sur le cadastre ancien, entourant la ferme de « La Belessière ». Il mesure 76 cm de large à l'ouverture pour 44 cm de profondeur (fig. 200 et 203).



Figure 197 : Photographie de la coupe du fossé F322

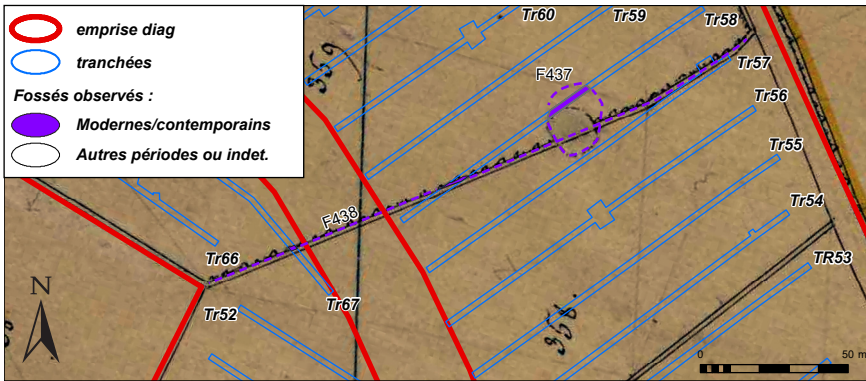


Figure 198 : plan du fossé F438 et de la mare F437 sur fond de cadastre de 1819

2.7.1.5. Les fossés au nord-est des tranchées 69 à 71, 73 à 75 et 77

Enfin nous terminerons ce tour d’horizon des fossés récents par une dernière série mise au jour à l’extrémité nord du diagnostic (fig. 204 et 205). La

structure F528, tranchée 77, correspond bien à une limite visible sur le cadastre ancien. Celle-ci, plutôt qu’un simple fossé, apparait comme un creusement large (plus de 3m) et de forme très irrégulière qui

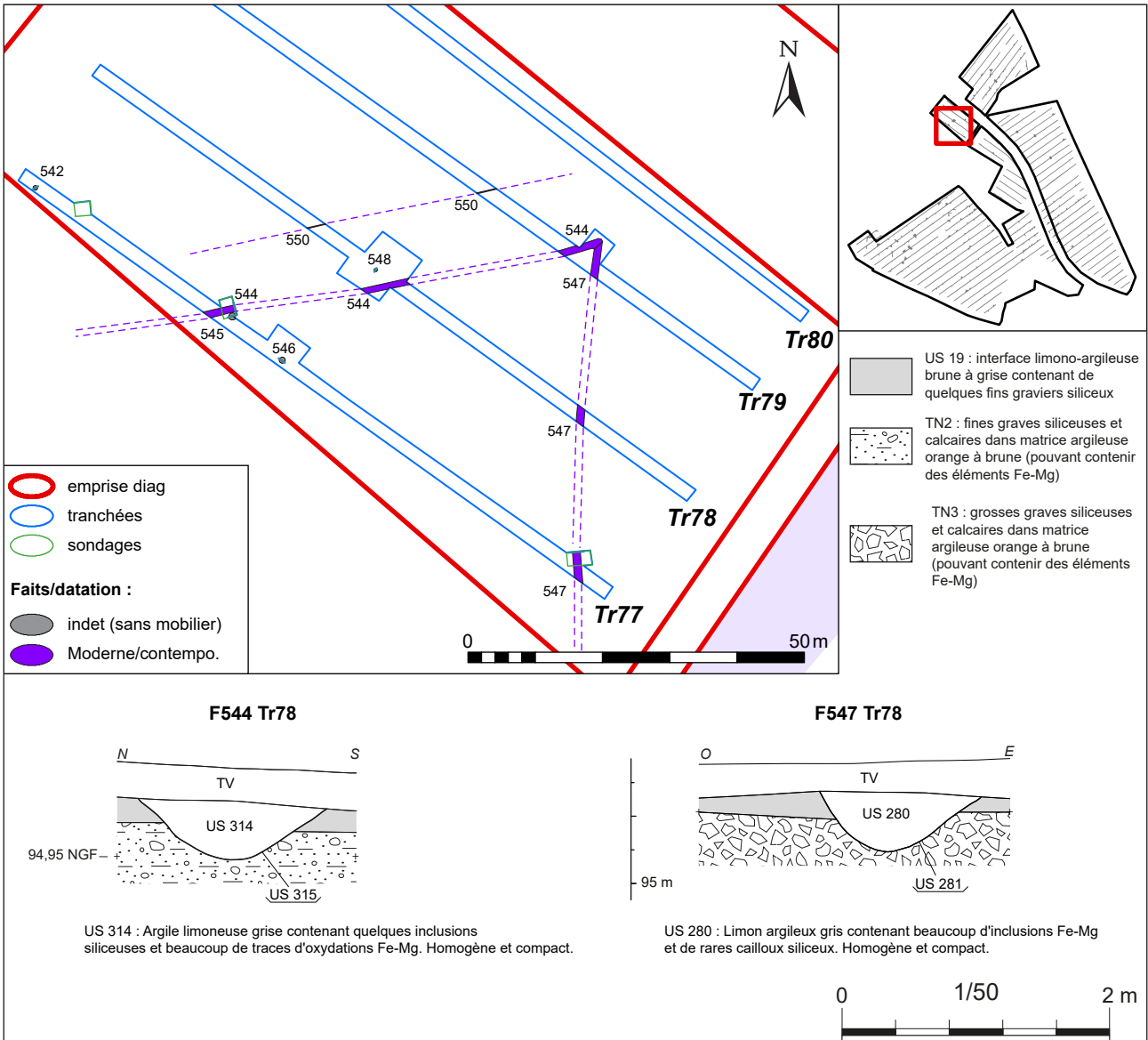


Figure 195 : Plans et coupes des vestiges modernes et contemporains des tranchées 77 à 79

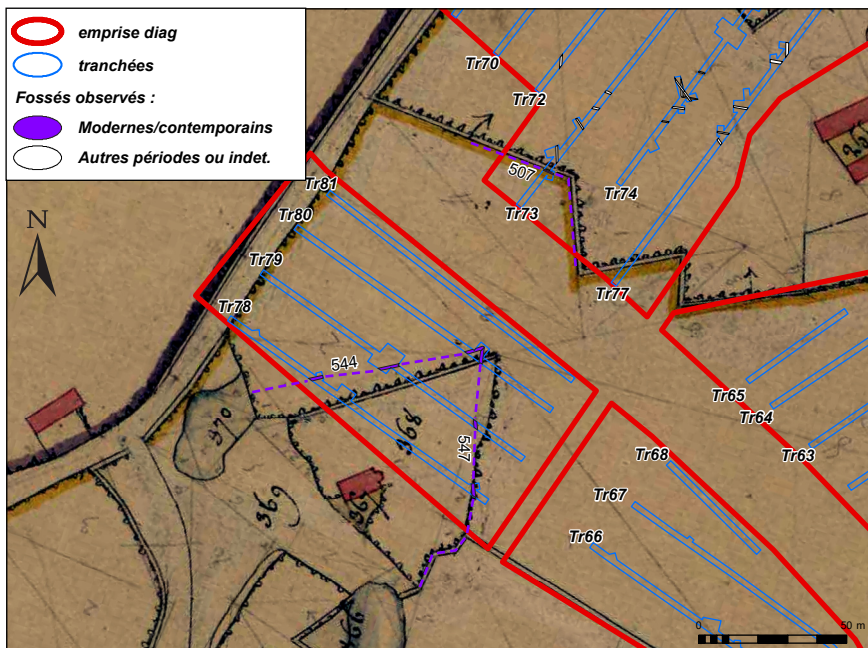


Figure 200 : plan des fossés modernes et contemporains des tranchées 73 et 77 à 79 sur fond de cadastre de 1819



Figure 201 : Photographie de la coupe du fossé F547



Figure 202 : Photographie de la coupe du fossé F544

pourrait renvoyer aux vestiges d'une haie bordée d'un fossé (fig. 206).

En revanche, c'est uniquement par leur orientation cohérente avec le parcellaire récent que les 7 sections de fossés situées plus au nord-est ont été attribuées aux périodes moderne ou contemporaine. Ils font état de plusieurs phases

de parcellaire (comme le montre le recreusement légèrement décalé de l'angle de fossés F520-F519/ F526 et F521-F517, fig. 207). Si aucun n'a livré de mobilier, on constate toutefois que leur orientation rompt avec le parcellaire plus ancien, notamment celui de l'enclos de l'époque romaine renfermant les activités artisanales (cf. *supra* chap. 2.4.2).

### 2.7.2. Les mares

Deux mares appartenant aux périodes récentes ont été mises au jour, toutes deux déjà évoquées plus haut. La première F437 en tranchée 58,

apparaissant sur le cadastre de 1819. Celle-ci n'a pas été sondée (fig. 198).

La seconde mare, F319 est située en tranchée 26. D'un diamètre de 10 m, le sondage



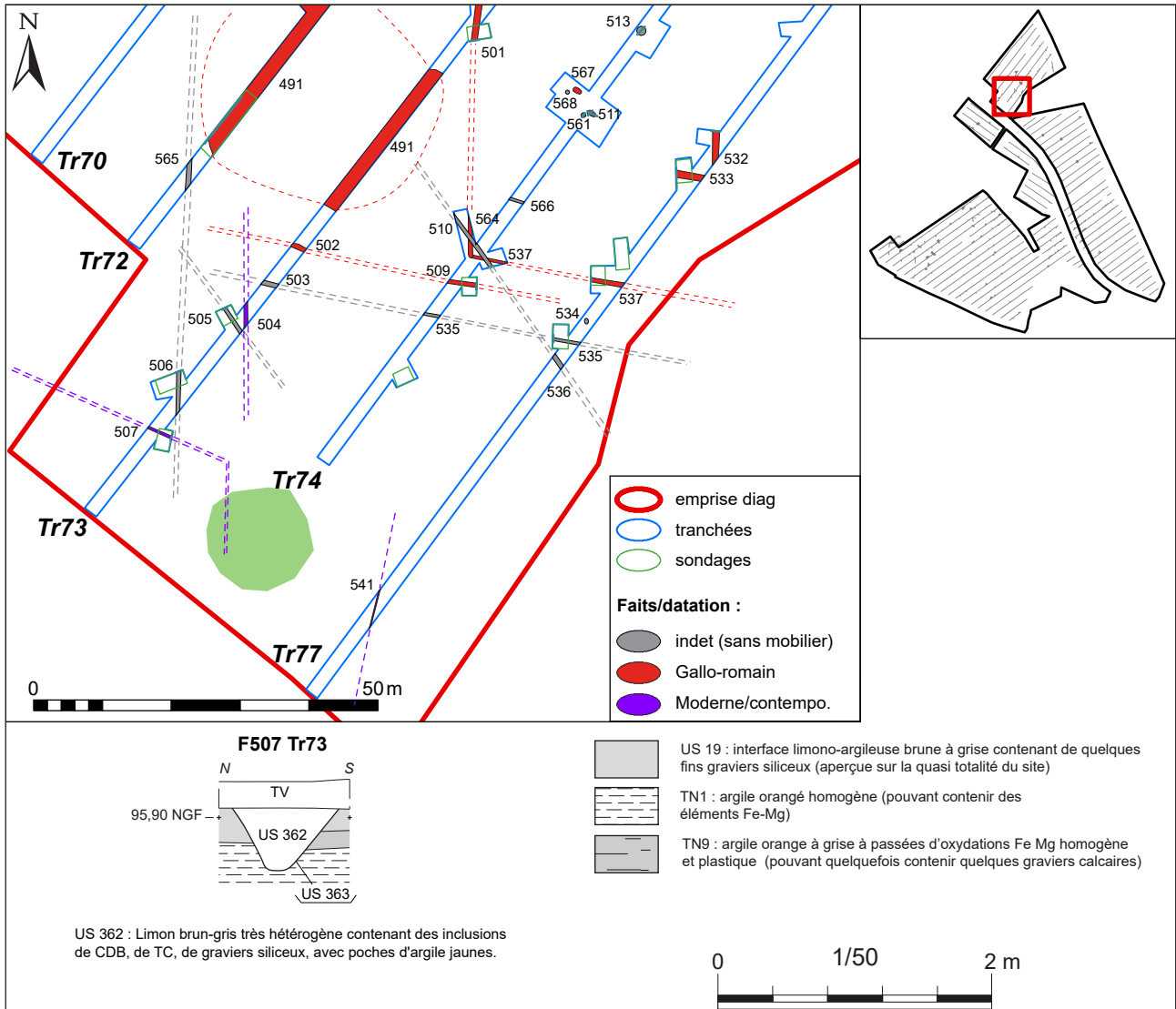


Figure 203 : Plan des vestiges modernes et contemporains des tranchées 73, 74 et 77 et coupe du fossé F507

praticqué indique une profondeur de 88cm, dont le comblement inférieur (US226), constituée d'une argile grise-brune affirme le caractère hydromorphe de la structure (fig. 195, 208). Trois tessons de grès contemporains ont été mis au jour dans le comblement terminal (US225) lors du sondage

(lot 3). Cette mare identifiée dans le secteur ayant livré de nombreux fossés parcellaire (et drainants) et d'autre probables mares, allant de la fin du Moyen-Âge à la période contemporaine, témoigne du souci constant de la gestion de l'eau dans cette zone humide (cf. *supra* chap. 2.6.1.).

### 2.7.3. La fosse F499

Une fosse contemporaine a été identifiée dans la tranchée 73, au nord du diagnostic (F499, fig. 204). Elle se signale par un creusement oblong et irrégulier (1,44m par 1m pour 40 cm de profondeur) dont le comblement a livré un tesson de bouteille contemporaine (non ramassé).

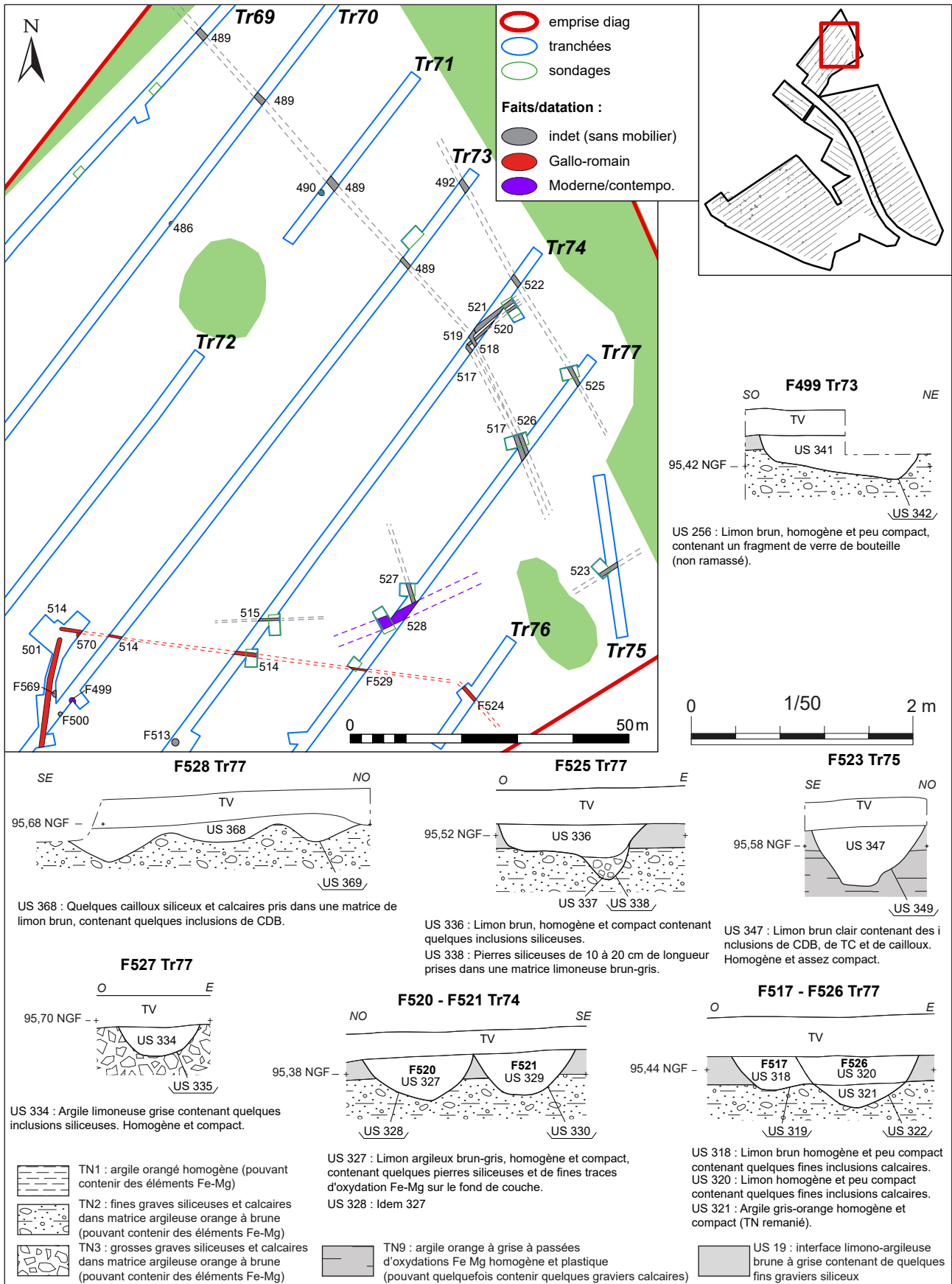


Figure 204 : Plan et coupes des vestiges modernes et contemporains au nord-est des tranchées 69 à 77

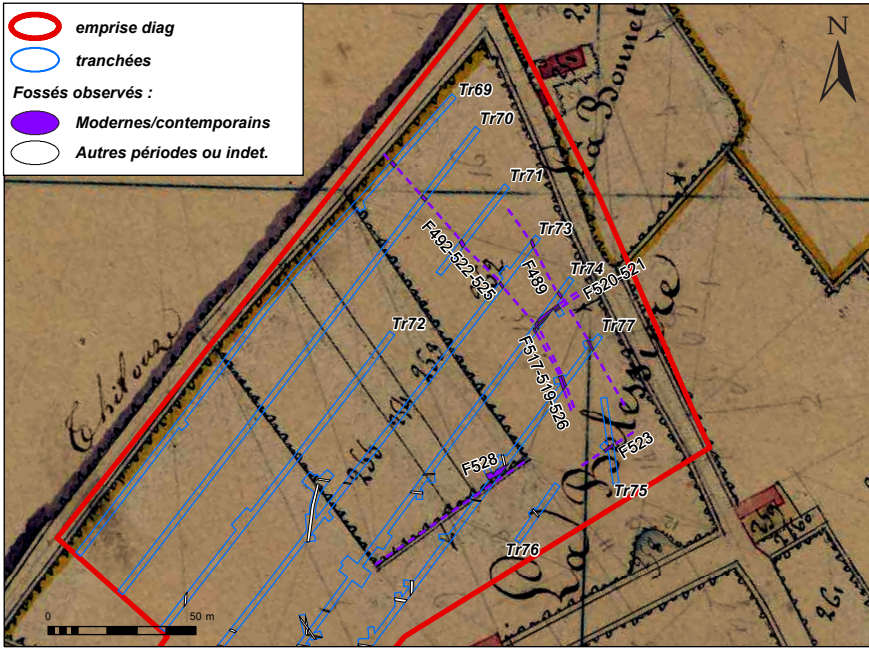


Figure 205 : plan des fossés modernes et contemporains au nord-est des tranchées 69 à 77 sur fond de cadastre de 1819



Figure 206 : Photographie de la coupe du fossé F528



Figure 207 : Photographie de la coupe des fossés F520 et 521



Figure 208 : Photographie de la coupe de la mare F319

#### 2.7.4. Les drains en terre cuite

Les tranchées ouvertes ont par ailleurs livré quelques drains d'époque récente (fig. 185). Ceux-ci ont la particularité d'être composés de sections de

tubes en terre cuite. Onze structures de ce type ont été identifiées. Cependant ils doivent probablement être beaucoup plus nombreux et étendus. En effet,

les creusements de ces drains étaient pratiquement invisibles au décapage au sommet du substrat. Seul l'apparition des tubes en terre cuites, lorsque les tranchées entamaient légèrement le terrain naturel, permettait de les détecter.

Ainsi, les faits de ce type identifiés se répartissent ponctuellement sur toute la surface du diagnostic. Ils n'ont en outre que rarement été identifiés sur plusieurs tranchées consécutives. Curieusement, ils se présentent dans des orientations très différentes :

- F30, tranchée 3 et 4, d'orientation est/ouest ;
- F218, tranchée 10, d'orientation sud-ouest/nord est ;
- F232, tranchée 11, d'orientation nord-nord-ouest/sud-sud-est ;
- F232, tranchée 11, d'orientation nord-nord-ouest/sud-sud-est ;
- F436, tranchée 58, d'orientation nord-ouest/sud-est ;
- F441, tranchée 59, d'orientation nord-nord-ouest/sud-sud-est ;
- F450 et F451, tranchée 64, d'orientation nord / sud ;
- F485-487, tranchées 69 et 70, d'orientation nord-ouest/sud-est ;
- F504, tranchée 73, d'orientation nord/sud ;
- F550, tranchée 79 et 80, d'orientation sud-ouest/nord-est ;

Seul le fait F30 des tranchée 3 et 4 a fait l'objet d'un dégagement de surface et d'un prélèvement de 3 éléments en terre cuite (fig. 209 et 210). Ceux-ci se présentent comme des tubes de 31 cm de longueur, 5,5 cm de diamètre, à la paroi de 1 cm d'épaisseur. Ils sont simplement placés bout à bout, sans joints, au fond d'un creusement étroit.

Une rapide recherche sur internet semble indiquer que ce système de drainage des sols humides à l'aide de tubes en terre cuite, apparaît au 19<sup>e</sup> s. Dans le *Dictionnaire d'agriculture : encyclopédie agricole complète*, de J.-A. Barral<sup>44</sup> publié entre 1886 et 1892, la pratique drainage est largement théorisé. Il est notamment indiqué que « c'est en 1846 qu'on a introduit en France le drainage moderne qui consiste à remplacer les pierres, tuiles, etc. par des tuyaux en poterie ». Il est aussi précisé que « les tuyaux en poterie utilisé dans le drainage moderne pour les terres, ont de 0<sup>m</sup>30 à 0<sup>m</sup>40 de longueur ; mais au lieu de s'adapter les uns dans les autres ; ils se touchent seulement, et c'est par les joints imparfaits qu'on y observe, que l'eau s'y introduit pour s'épancher en dehors du champ », soit exactement le système observé

<sup>44</sup> Continué par H. Sagnier : 1886-1892, vol. 2, p. 682 et suivantes. Consulté le site de la BnF, *Gallica*.



Figure 209 : Tubes en terre cuite prélevés dans le drain F30



Figure 210 : Photographie du drain F30, tranché 3

dans nos tranchées. Un peu plus loin, pour désigner ce système de drainage avec tuyaux de poterie, l'auteur de la notice parle de « *drainage anglais* ». Ce système est estimé peu coûteux au regard du gain de production engendré par l'assainissement des sols. Pourtant, au vu de l'ampleur de la mise en œuvre sur une telle surface, c'est certainement

des tonnes de tuyaux en terre cuite qui ont été implantés dans le secteur...

Il semble que ce système de drainage ait été pratiqué jusque dans les années 1960, et s'est amenuisé seulement avec la généralisation des drains en plastique.

### 2.7.5. Les objets isolés

Enfin, le diagnostic a occasionné la découverte de 19 objets isolés en métal hors contexte (terre végétale), datant de l'époque moderne ou contemporaine. Pour 17 d'entre eux, ils ont été mis au jour sur le site de la *villa* antique à l'aide du détecteur à métaux<sup>45</sup> (fig. 185). Deux autres ont été ramassés plus au nord-est : l'iso 67, également au détecteur à métaux lors d'un passage autour du site de la nécropole du haut Moyen-Âge ; enfin le dernier lors d'un ramassage de surface au décapage (iso 2).

Sur l'ensemble de ces objets, on dénombre notamment 6 monnaies (isos 99 à 104, lots 216 à 221) :

- Un « Demi gros de Nesle » ou « Gros de trois blancs » en argent, frappé à Paris en 1550-1551 (fig. 211)
- 1 Liard de France en cuivre frappé entre 1655 et 1658
- 2 Liards indéterminés en cuivre du 17<sup>e</sup> s.
- Un denier tournois indéterminé en cuivre du 17<sup>e</sup> s.
- 5 centimes en cuivre frappé entre 1850 et 1890

Parmi les objets couramment retrouvés se trouvent également 4 fusaioles, dite « à cabochons » en plomb (isos 44, 61, 77, 81 ; lots 262, 284, 301 et 305, fig. 212 [1 à 4]). Ces objets circulent à l'époque Moderne jusqu'au début du 20<sup>e</sup> s. On compte par ailleurs 3 boucles de harnachements en fer moderne voire contemporaine (isos 73, 85 et 86 ; lots 297, 309 et 310, fig. 212 [9]).

Quelques éléments vestimentaires ont également été collectés : une boucle rectangulaire

à deux fenêtres en alliage cuivreux (iso 67, lot 291) ; un bouton indéterminé en plomb (iso 40 ; lot 257) ; et un autre bouton d'infanterie « à la grenade enflammée », provenant d'un vêtement militaire en usage de 1871 à 1915 (iso 78, lot 302, fig. 212 [6]).

On note enfin, un fragment de marmite en fer des 19-20<sup>e</sup> s. (iso 68, lot 292) ; un élément de machine agricole récent (iso 2, lot 233) ; et un fragment de plaque circulaire décoré en plomb (iso 66 ; lot 289).

La concentration de ces objets en métal aux alentours du site de la *villa* antique est évidemment en grande partie due à un effet de source, lié au passage répété du détecteur à métaux dans cette zone. Cette collection formée de mobilier domestique, vestimentaire ou à vocation agricole, est toutefois peut-être à mettre en lien avec la proximité de la ferme de « Netilly », et particulièrement d'un chemin menant à celle-ci représenté sur le cadastre de 1819 (qui n'a d'ailleurs laissé aucune trace matérielle). L'objet le plus ancien bien datable, le « Demi gros de Nesle » en argent émis au milieu du 16<sup>e</sup> s., renseigne à ce titre peut-être sur la période d'implantation de cette ferme.

Au final, entre les fossés, les mares, les drains, les rares fosses et les objets isolés mis au jour à proximité de la ferme de « Netilly », les vestiges des



Figure 211 : Demi-Gros de Nesles - 1550-1551 (iso 99, lot 216)

<sup>45</sup> Là encore, pour le détail du catalogue et des dessins de ces objets, voir étude de M. Troubaday et T. Boucher (annexes 2 et 3).

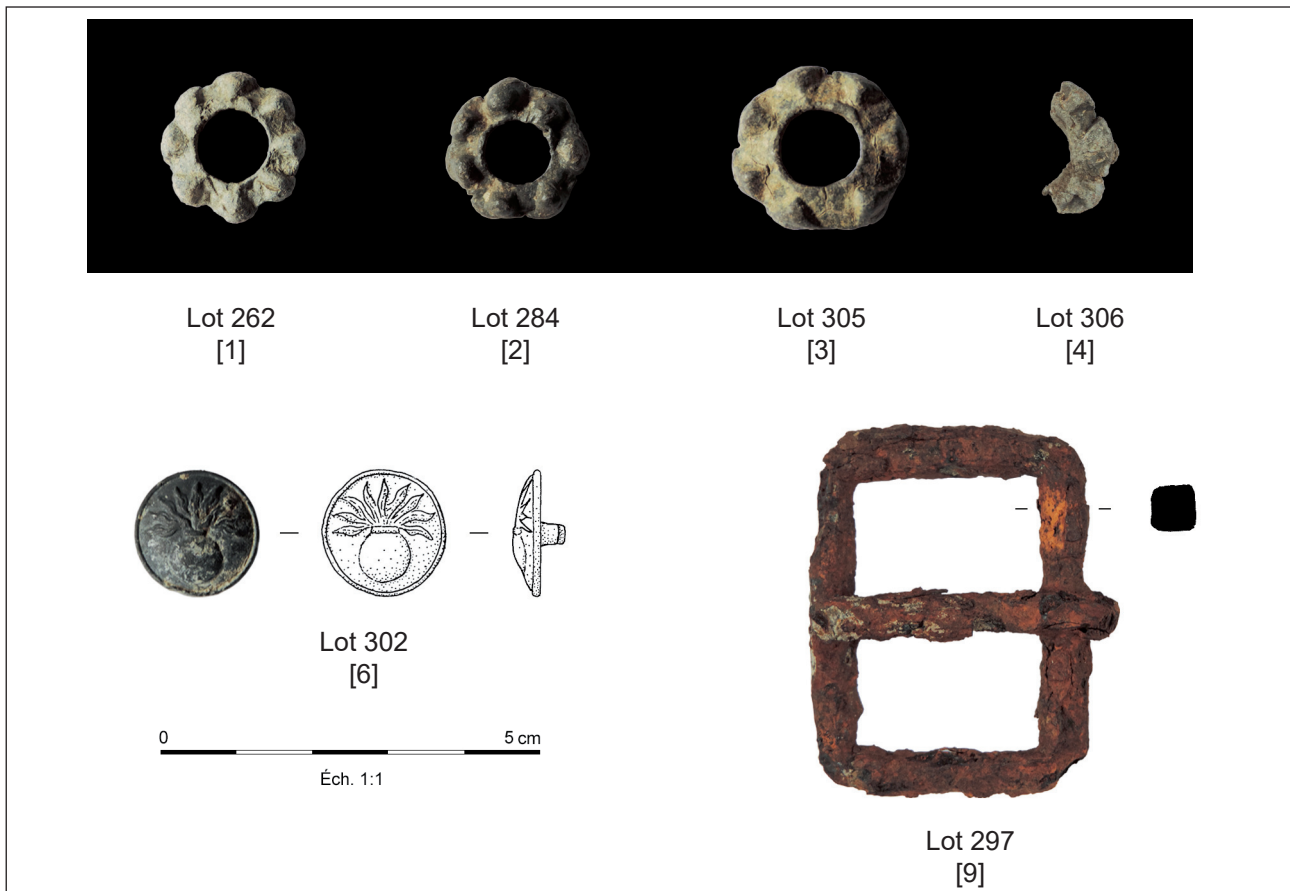


Figure 212 : Quelques objets modernes et contemporains mis au jour au détecteur à métaux dans le secteur des tranchées 1 à 5

époques moderne et contemporaines renvoient pratiquement uniquement à la mise en valeur agricole du secteur.

## 2.8. LES STRUCTURES DE DATATIONS INDÉTERMINÉES

Comme tout diagnostic en milieu rural, le diagnostic de Sorigny a livré son contingent de structures en creux qui restent de datation

indéterminée. On dénombre ainsi : 32 fosses ou trous de poteaux ; 18 fossés ; et les vestiges d'un probable chemin (fig. 213).

### 2.8.1. Les fosses

Nous en avons déjà évoqué une partie lors de la présentation des vestiges de la *villa*, pour un certain nombre de structures en creux n'ayant pas livré de mobilier (F2, 4, 7, 14, 16 à 18, 19 à 22, 27, 399, voir fig. 102) et pouvant appartenir soit à la période romaine, soit à la Tène Finale, voire au haut Moyen-âge dans la mesure où une fosse du secteur est

datée de l'époque carolingienne (F12). A ces fosses, on peut en ajouter toute une série d'autres situées aux alentours de la *villa*, de la nécropole du haut Moyen-Âge, dans un secteur ayant par ailleurs livré des bâtiments sur poteaux de La Tène (tranchées 4 à 7) : F84, F124, F128, F160, F170, fouillées à 50%, mais sans mobilier (fig. 214, 215) ; mais aussi F78,

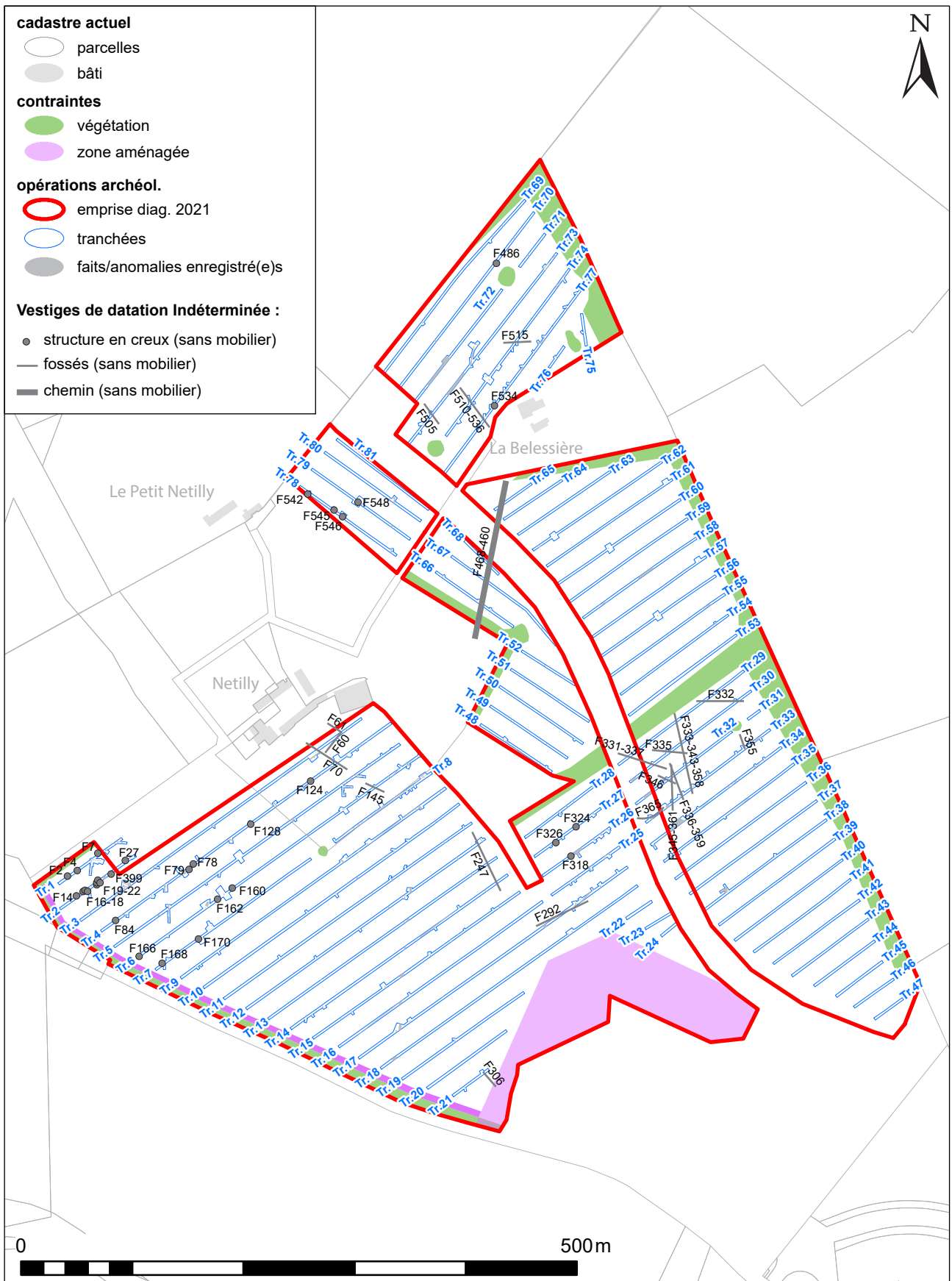


Figure 213 : Plan de localisation des vestiges indéterminés

79, 160, 162, ou 168, non fouillées (et dont on ne peut de plus, pas garantir qu'il ne s'agisse pas d'anomalies naturelles). Quoiqu'il en soit, toutes celles fouillées s'avèrent en général de petites fosses circulaires peu profondes, à l'exception de F84, qui se développe sur 50cm de profondeur (fig. 216).

Dans le secteur des tranchées 26 et 27, ayant livré de nombreux fossés et mares dont certains datent

de la fin du Moyen-Âge, 3 fosses sans mobilier ont également été fouillées (F318, tranchée 26 ; F326 et F324 en tranchée 27, fig. 217, 218). Si F318 s'apparente là encore à une petite fosse circulaire de 85cm de diamètre pour 30 cm de profondeur, les deux autres présentent des particularités. La fosse F324 est un creusement circulaire de 1,15 m et 40 cm de profondeur, rempli de cailloux calcaire.

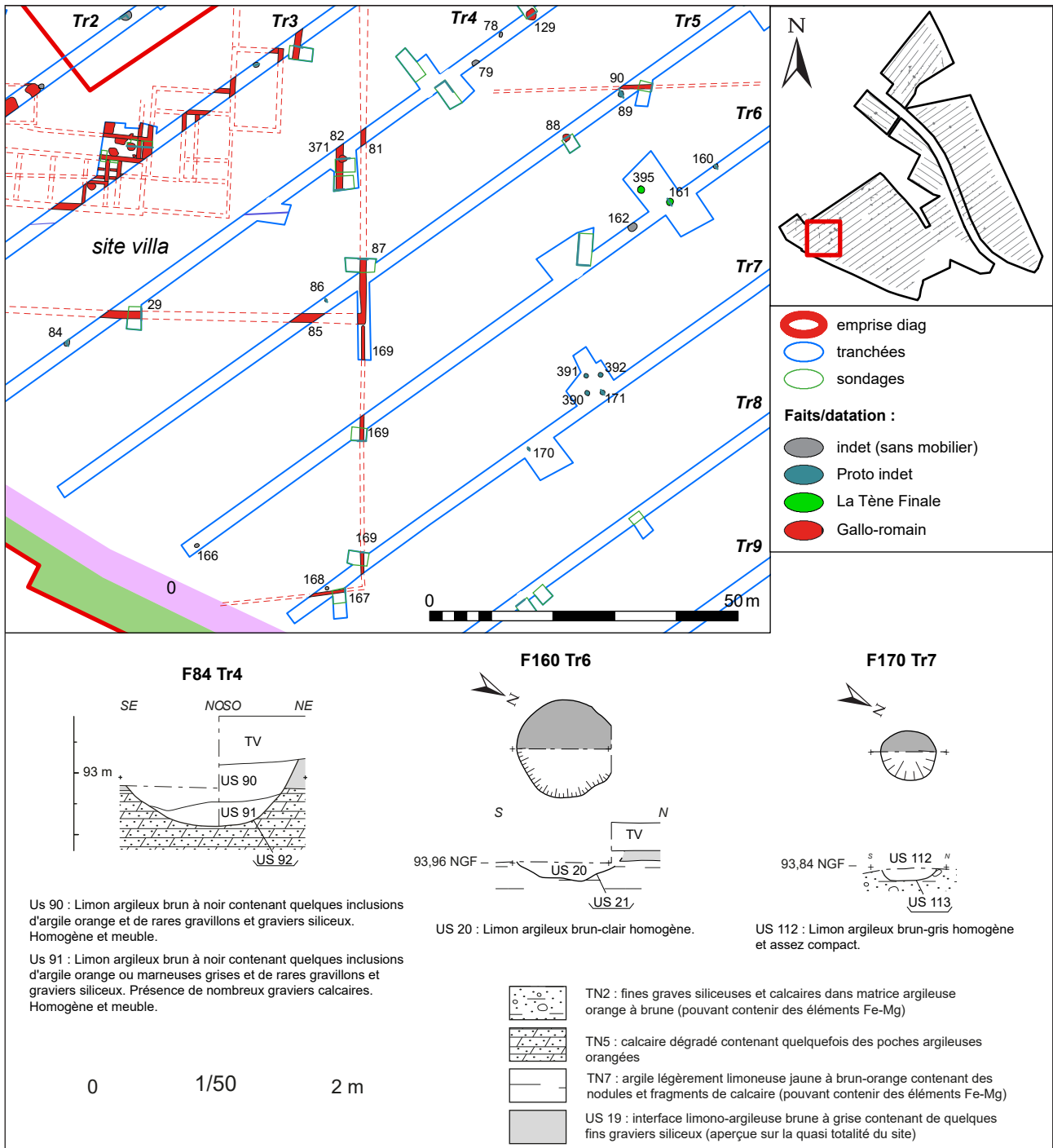


Figure 214 : Plan et coupes des vestiges indéterminés dans l'environnement de la villa



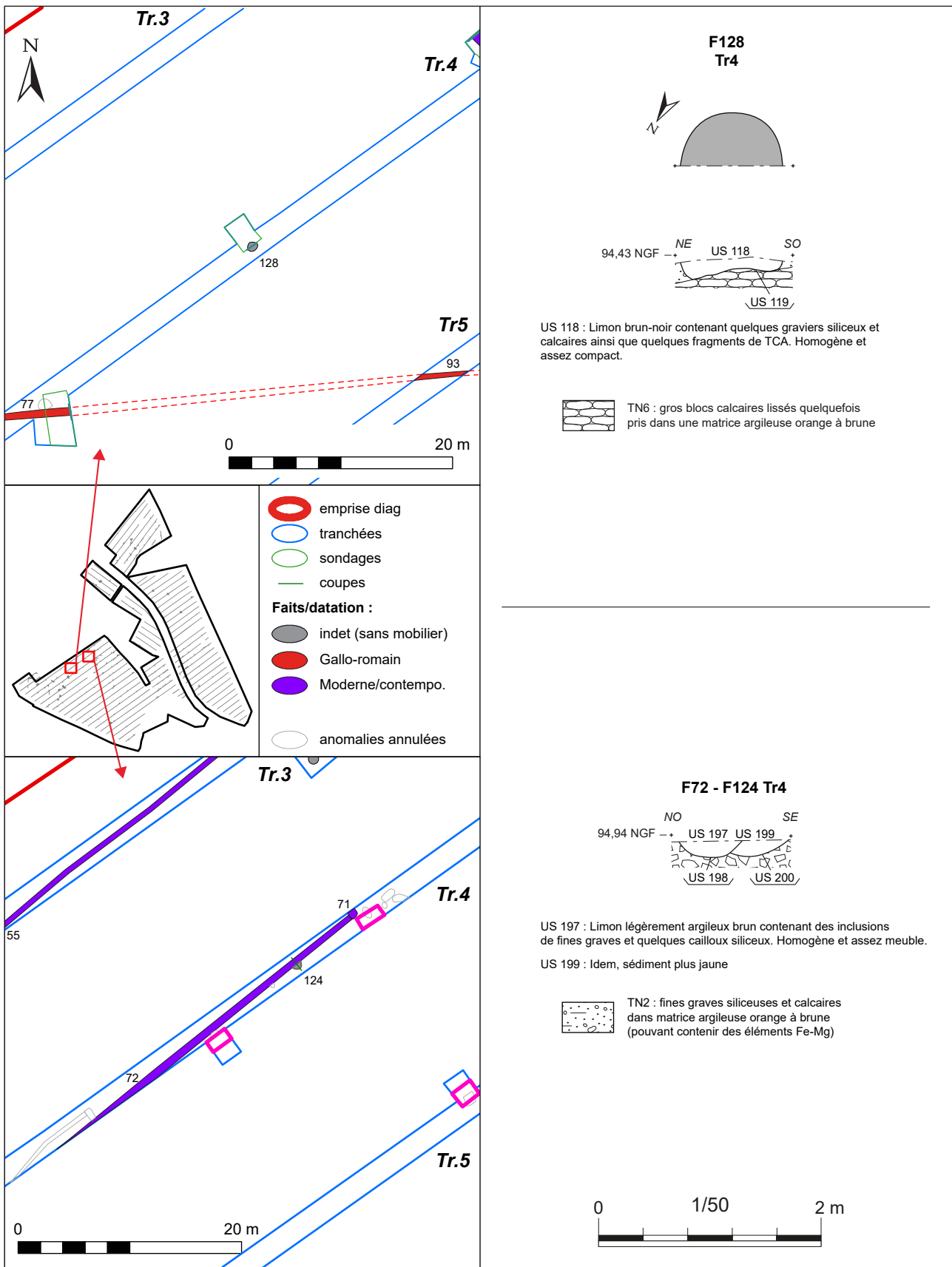


Figure 215 : Plan et coupes des fosses indéterminées de la tranchée 4



Figure 216 : Photographie de la fosse F84, tranchée 4



Figure 217 : Photographie de la coupe de la fosse F324, tranchée 27

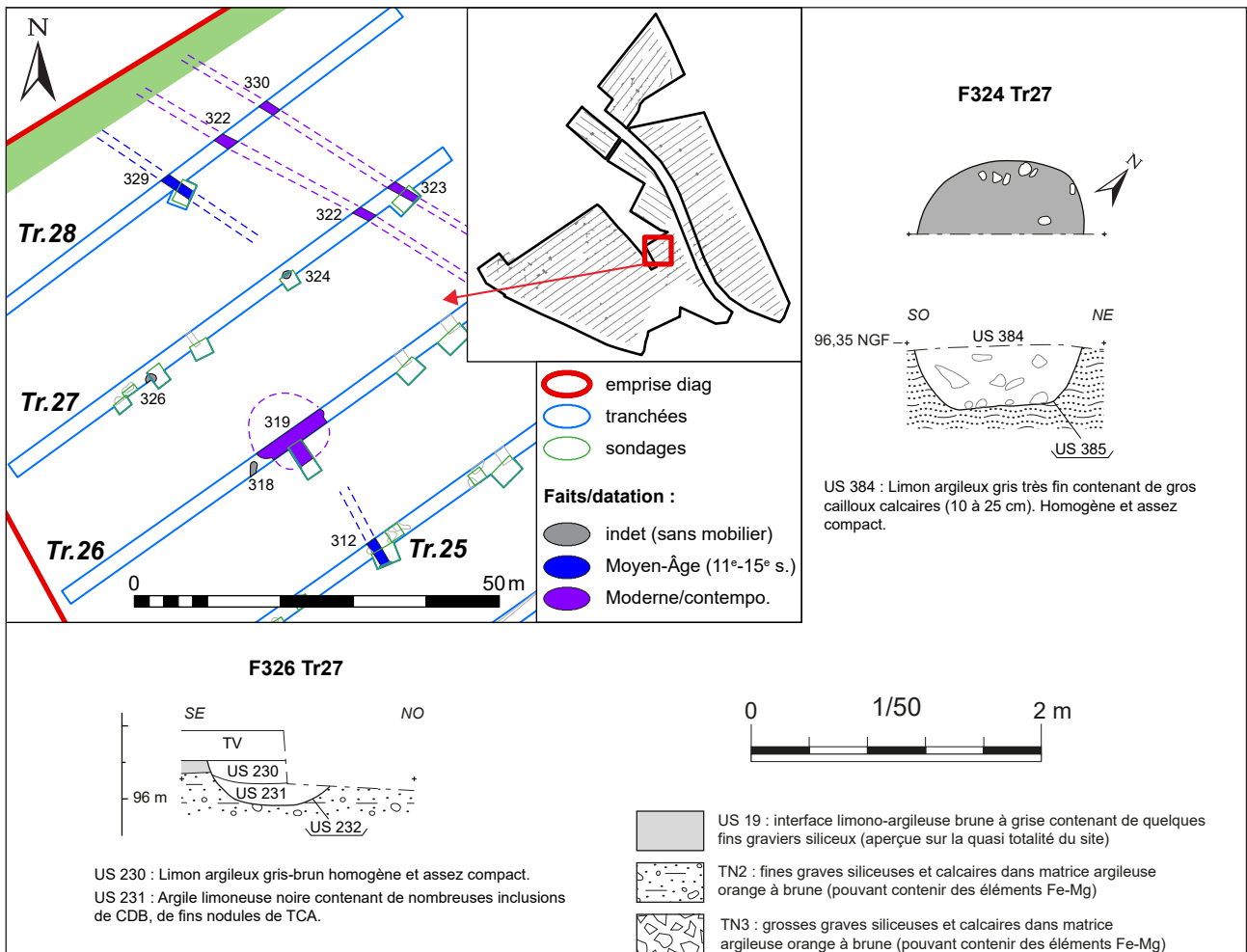


Figure 218 : Plan et coupes des fosses indéterminées des tranchées 26 et 27

La troisième fosse indéterminée du secteur, F318 est une sépulture animale (herbivore, probable jeune bovin), très mal conservée. Située à proximité de la mare d'époque moderne ou contemporaine, il pourrait s'agir classiquement, d'un animal mort malade et relégué.

Une autre sépulture animale, F534, du même type a été mise au jour plus au nord, tranchée 77 (fig. 219). Celle-ci située près de la ferme de « la Bellesière », pourrait procéder de la même volonté de relégation d'un animal malade. Encore plus au nord, tranchée 70, une fosse circulaire isolée de 94 cm de diamètre et 26 cm de profondeur a été fouillée (F486).



Figure 219 : Photographie de la sépulture animale F534, tranchée 77

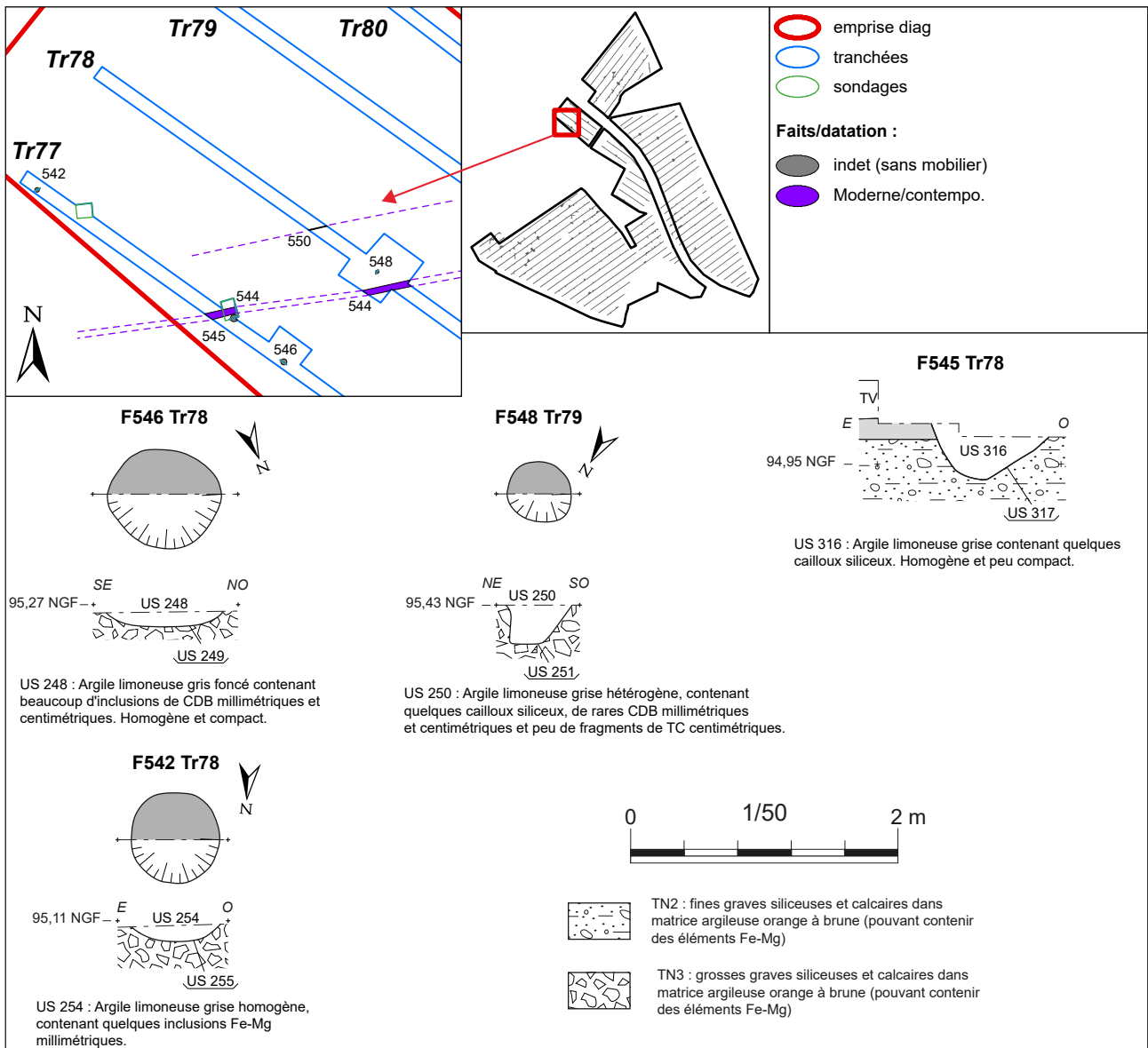


Figure 220 : Plan et coupes des fosses indéterminées des tranchées 78 et 79

Enfin, on évoquera 4 autres structures en creux dans les tranchées 78 et 79, mises au jour à proximité du « clos » de fossés apparaissant sur le cadastre ancien (F5423, 545, 546 et 548, [fig. 220, 221](#)). Les trois premières sont des petites fosses circulaires peu profondes, la dernière est un probable trou de poteau. L'extension réalisée autour n'a rien révélé.

### 2.8.2. Les fossés

Sont seulement pris en compte dans ce chapitre, les fossés sans mobilier qui ne s'inscrivent pas, soit dans le parcellaire d'époque romaine, soit dans celui des périodes moderne et contemporaine (avéré ou supposé par leur orientation).

Il en est ainsi des fossés F60-61, 70 et 145 des tranchées 3, 4 et 6 ([fig. 222, 223](#)). Ceux-ci présentent une orientation plutôt nord-ouest/sud-est, et apparaissent discordants avec les structures antiques et les structures récentes. Ces fossés, sans mobilier à l'exception d'un fragment probable de *tegulae* dans F145 (lot 147), sont de taille honorable entre 0,90 m et 1,30 m de large à l'ouverture pour 45 à 60 cm de profondeur. A noter que les continuités théoriques des fossés F70 et F145 sont censés passer à travers la nécropole du haut Moyen-Âge, mais ils n'ont cependant pas été vus. Il n'est cependant pas exclu, au vu des difficultés de lecture du terrain, que ceux-ci oblitèrent une partie des vestiges de cette dernière.

Un peu plus au sud-est, on évoquera également le fossé F247, suivi sur les tranchées 12 à 14, qui ne semble pas s'inscrire dans le parcellaire moderne ou contemporain ([fig. 223](#)). Sondé en tranchée 12, il présente une ouverture de 1,30 m de large pour 40 cm de profondeur.

A l'extrémité sud du diagnostic, en tranchée 21, une extrémité de fossé (à moins qu'il ne s'agisse d'une fosse oblongue), a été mis au jour, F306. Celui-ci est de taille modeste : 62 cm de large pour 26 cm de profondeur, [fig. 224](#)).

Plus au nord-ouest, à la série de fossés indéterminés déjà évoqués plus haut, car situé dans la zone de concentration de structures fossoyées dont certains ont livré du mobilier du Moyen-Âge ([fig. 176](#)), on peut ajouter le fossé F332, un peu plus au nord ([fig. 224](#)). Suivi dans les tranchées 29 et 30,



Figure 221 : Photographie de la coupe du trou de poteau F548, tranchée 79

il présente une orientation est-ouest qui pourrait évoquer les orientations en usage à l'époque Antique. Toutefois, d'autres fossés de la zone, orientés nord/sud contenaient du mobilier de la fin du Moyen-Âge. Ce petit fossé de 60 cm de large pour 26 cm de profondeur reste donc de datation indéterminée, bien que son origine ancienne soit plutôt supposée (antique ou médiévale).

Enfin, plus au nord, aux abords du site gallo-romain à vocation artisanale, trois autres fossés sans mobilier apparaissent d'orientation discordante avec l'enclos antique ou les fossés modernes/contemporains ([fig. 225](#)). Au sud du site, on peut citer les fossés F505 (tranchée 73) et F510-536 (tranchée 74 et 77). Ce dernier recoupe d'ailleurs l'angle de l'enclos antique, ce qui le situe au moins postérieurement à cette époque. Ces deux fossés



Figure 222 : Photographie de la coupe du fossé F70, tranchée 4

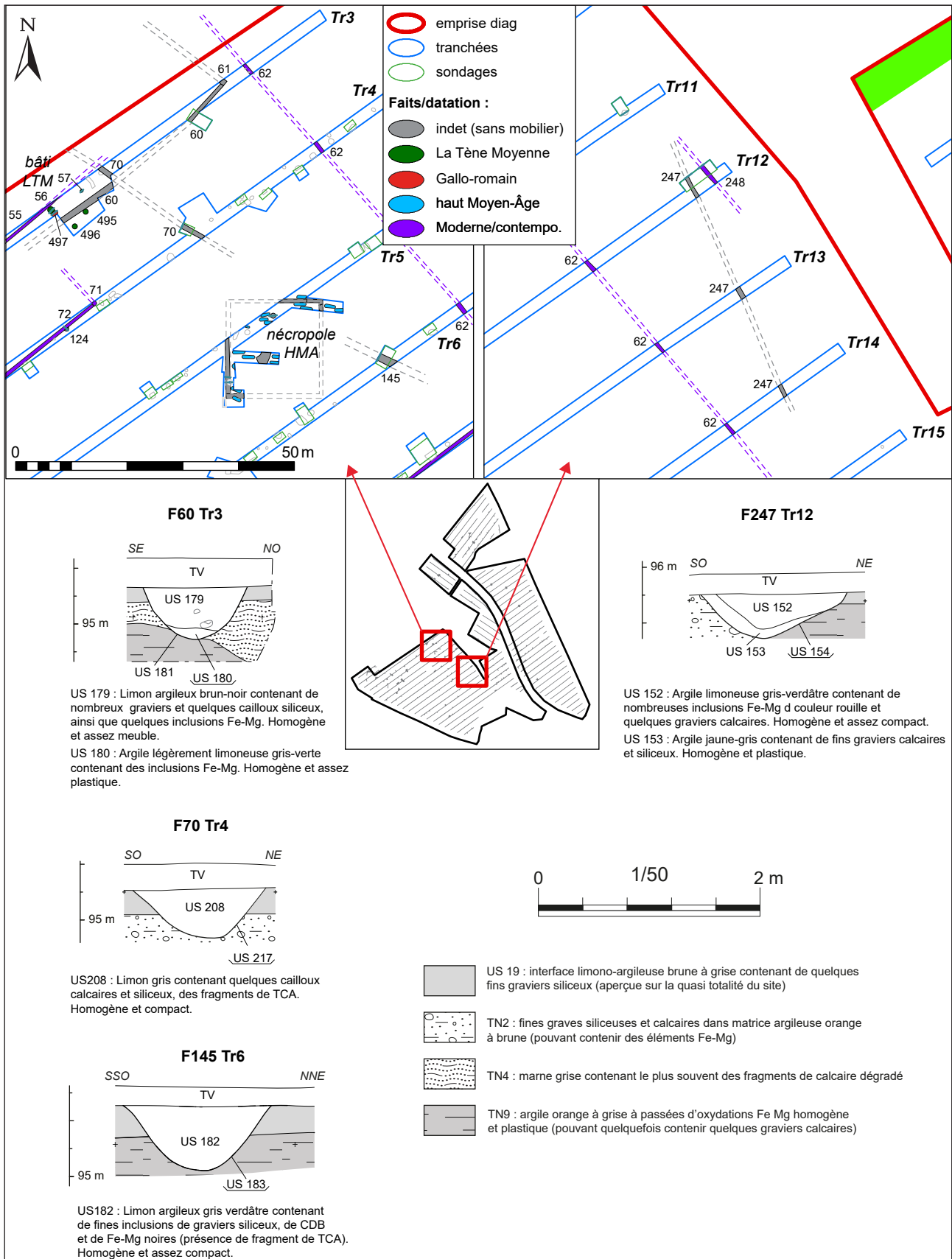


Figure 223 : Plan et coupes des fossés indéterminés des tranchées 3, 4, 6 et 12

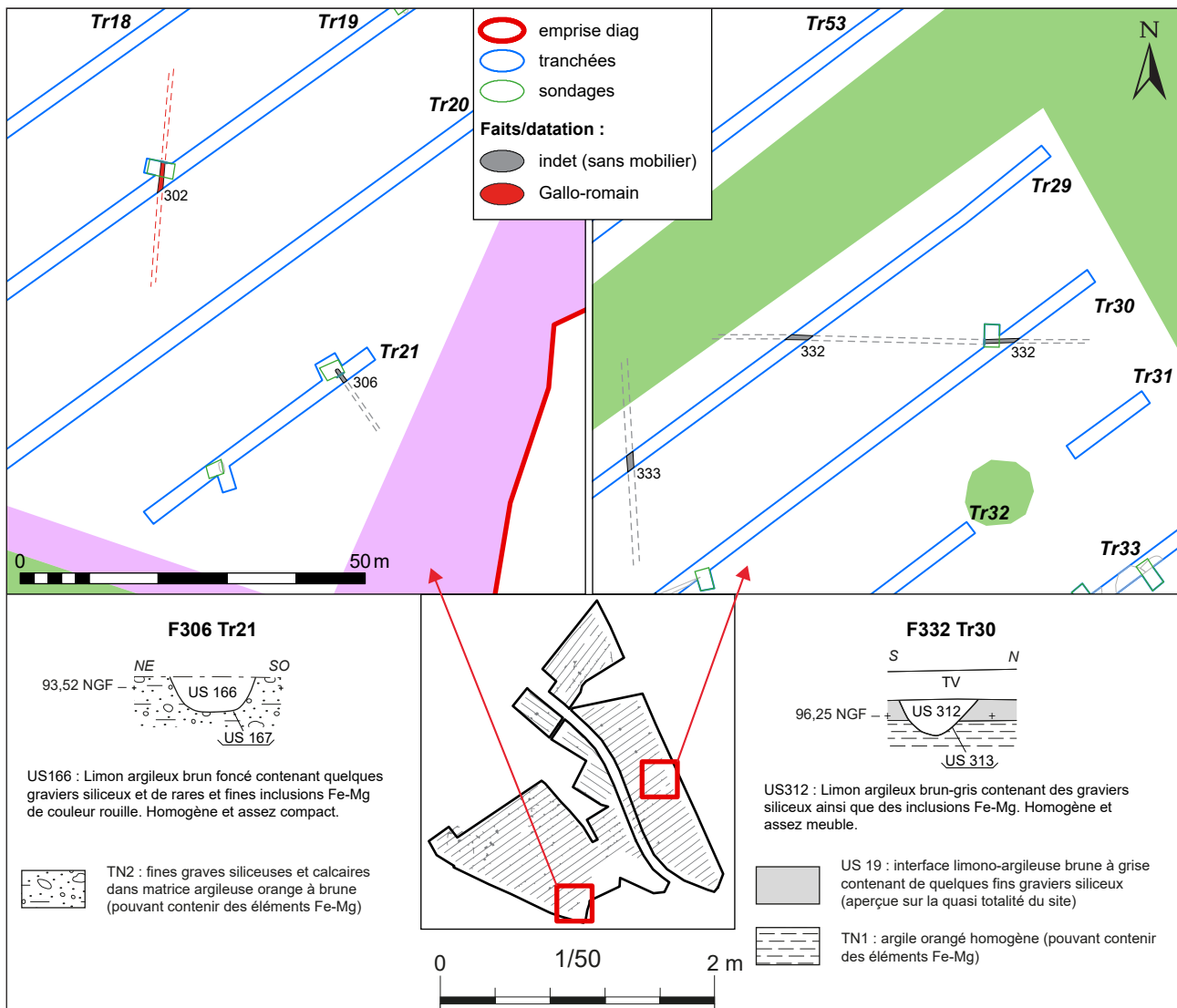


Figure 224 : Plan et coupes des fossés indéterminés des tranchées 21 et 29-30

parallèles orientés nord-ouest/sud-est possèdent en outre des gabarits et profils similaires à fond plat, de 26 cm de profondeur et 65 à 85 cm de large.

Un dernier fossé indéterminé se situe au nord du site : F515. De 82 cm de large pour 37 cm de profondeur, ce fossé n'a été aperçu que sur une seule tranchée (74).

### 2.8.3. Le chemin F460-468

La dernière structure de datation indéterminée que nous présenterons est un très probable chemin creux, situé au sud du site antique précité (fig. 226 et 227). D'orientation nord-nord-est/sud-sud-ouest, coupé en tranchée 66 (F463), il présente un profil arasé peu perceptible, de 3,50 m de large pour une vingtaine de centimètre de profondeur.

Son comblement est composé d'un lit de pierres calcaires (2 à 5 cm) et de blocs siliceux (d'environ 10 cm de longueur) pris dans une matrice limoneuse brun-gris. Ce fait F463 apparaît certainement équivalent à F468 (très mal conservé en tranchées 67 et 68) et à F460 plus au nord (tranchée 65), plus nettement visible ici au décapage par la présence

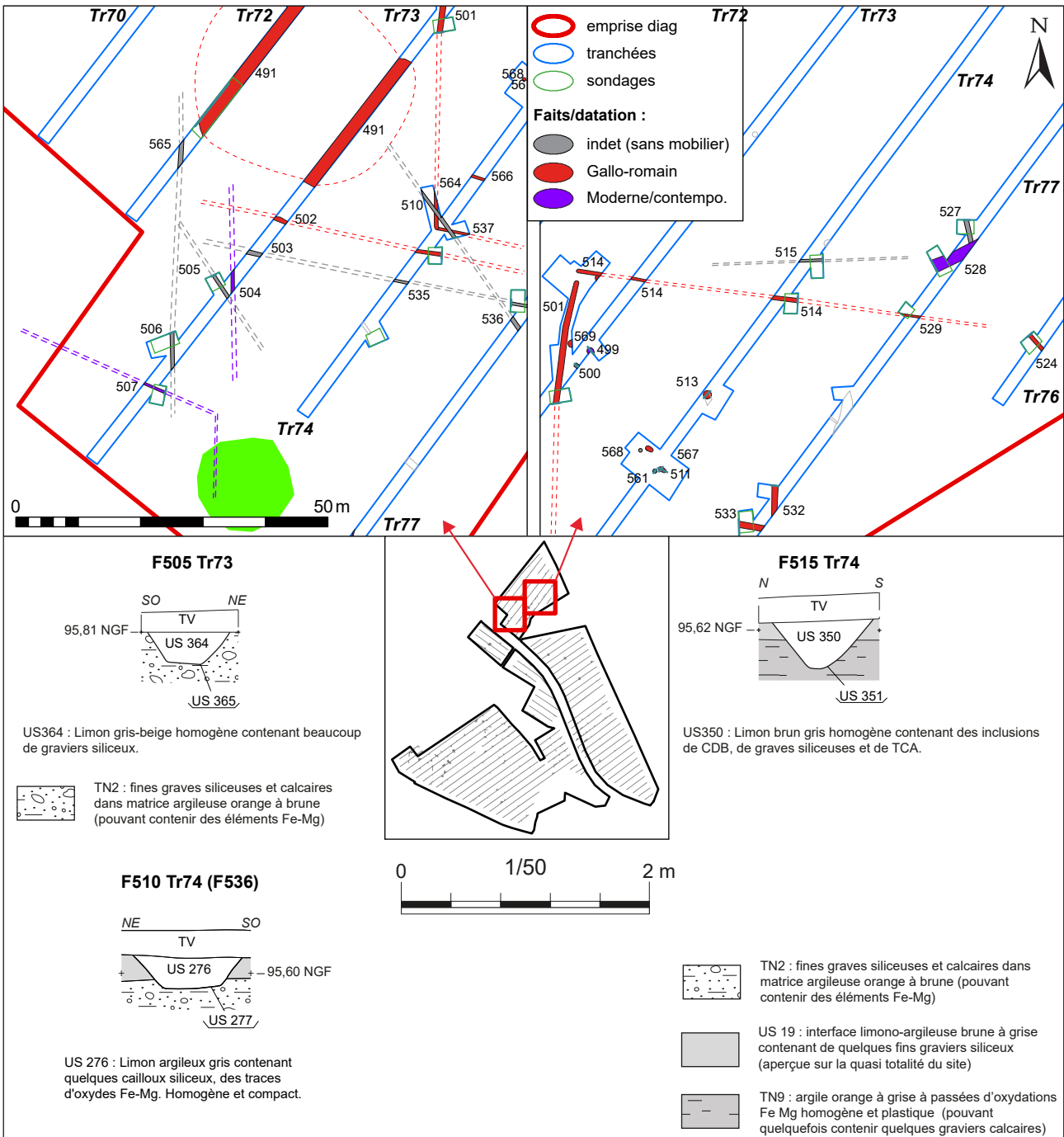


Figure 225 : Plan et coupes des fossés indéterminés des tranchées 73 et 74

de pierres. A noter que ce chemin, si l'on poursuit son tracé vers le sud, n'apparaît pas se situer tout à fait dans la continuité du chemin antique mis au jour dans les tranchées 12 à 18 (cf. *supra* 2.4.2.1), à moins d'imaginer une légère « divagation » du tracé de l'axe. Il ne correspond pas non plus à un axe visible ou d'orientation cohérente avec les cadastres récents. Il reste donc de datation indéterminée.

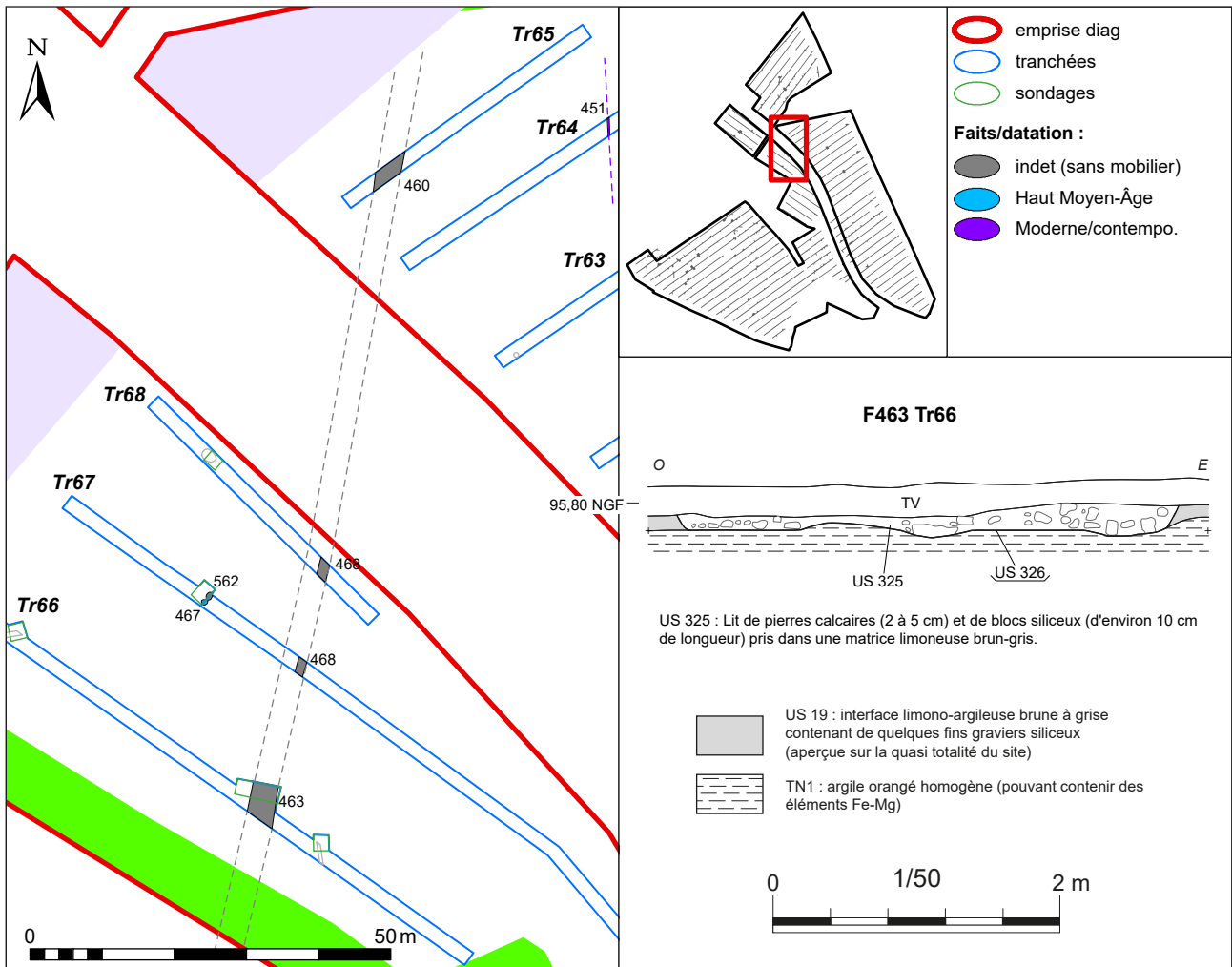


Figure 226 : Plan et coupes du chemin indéterminé des tranchées 65 à 68



Figure 227 : Photographie de la coupe du chemin indéterminé, tranchée 66



## CONCLUSION

Le diagnostic réalisé à Sorigny en 2021 à l'occasion de l'extension de la ZAC Isoparc sur une surface de 26 ha, a donc engendré la découverte de nombreux vestiges, démontrant une occupation dense et sur la longue durée de cette zone de plateau situé au sud de l'Indre.

Les ouvertures ont ainsi mis en évidence, au plus ancien, la présence d'un rare bruit de fond de silex taillés préhistoriques, dont un probable éclat levallois datant du Paléolithique Moyen, et quelques autres fragments. Parmi ceux-ci on note une lame à dos de période plus récente (Paléolithique supérieur ou Néolithique). A noter également la découverte, dans un contexte antique, d'une petite hache polie en jade. La période de la Protohistoire ancienne (sans précision en l'absence de forme ou de décor dans le mobilier céramique) a en outre livré quelques fosses, sans concentration remarquable, et s'étalant de manière diffuse sur une grande surface.

Les occupations plus structurées apparaissent à la Protohistoire récente. Les tranchées ouvertes ont permis de mettre en évidence plusieurs bâtiments sur poteaux datant pour le plus ancien de La Tène Moyenne, et pour les plus récents de La Tène D. Ces occupations semblent ouvertes (sans élément fossoyé structurant identifié). Ce site du second Âge du Fer semble en outre s'étaler sous les vestiges plus récents d'une occupation rurale antique, comme en témoigne au moins une fosse, et surtout un monnayage relativement abondant mis au jour à l'aide d'un détecteur à métaux. Certaines de ces monnaies (un potin sacrifié et une monnaie d'argent « à la cavalière »), amène à se poser la question de la fonction de cet établissement protohistorique (petit sanctuaire ?).

Cette occupation de la Protohistoire récente précède donc, sans discontinuité chronologique apparente dans le spectre du mobilier céramique, l'installation d'un vaste établissement rural ayant fonctionné au moins jusqu'au 4<sup>e</sup> s. ap. J.-C. Il se caractérise en premier lieu par la présence d'un

enclos bâti muni d'un porche d'entrée ouvrant sur une cour distribuant divers bâtiments, dont une partie résidentielle qui se signale notamment par de puissants bâtiments maçonnés à la chaux au moins à partir du 2<sup>e</sup> s. ap. J.-C. Le tout est plus largement entouré de fossés, partitionnant le site en plusieurs espaces à vocations agro-pastorales. Au regard de ces caractéristiques, ce site peut, sans trop d'hésitation, être qualifié de petite ou moyenne *villa*.

A 500 m au nord-est de cet établissement, un second site Antique a été reconnu : celui d'un enclos fossoyé ayant au moins en partie renfermé une vocation artisanale (et peut-être d'habitat ?), tournée vers la métallurgie du fer. Une vaste fosse d'extraction en marge de l'enclos apparaît également en lien avec cette occupation. Selon l'étude du mobilier céramique celle-ci semble centrée sur le 1<sup>er</sup> s., voire le début du 2<sup>e</sup> s. ap. J.-C. Ainsi, la question se pose de la relation entre les deux sites antiques, le dernier évoqué pouvant en effet constituer une « annexe » au sein d'un vaste domaine contrôlé par la *villa*. L'emprise du diagnostic est en outre émaillée d'un chemin et de fossés parcellaires datés de l'époque gallo-romaine, démontrant une exploitation extensive de cette zone.

Ces établissements du second Âge du Fer et de l'époque romaine s'inscrivent ainsi dans tout un réseau de sites mis au jour lors des très nombreuses opérations archéologiques ayant eu lieu sur les territoires de Monts et de Sorigny, laissant entrevoir une occupation extrêmement dense et structurée de cette zone de plateau, s'échelonnant de manière continue de La Tène Finale au 4<sup>e</sup> s. ap. J.-C.

A la suite de l'abandon de la *villa* au 4<sup>e</sup> s., il semble qu'un léger *hiatus* d'occupation ait lieu dans l'emprise explorée. Seuls trois objets métalliques isolés des 6<sup>e</sup>-7<sup>e</sup> s., collectés au détecteur à métaux dans la terre végétale, sont présents sur le site de la *villa*. À 250 m au nord-est, une petite nécropole à inhumations s'implante au 7<sup>e</sup> s, réoccupant peut-être un enclos d'origine Antique. Cette occupation

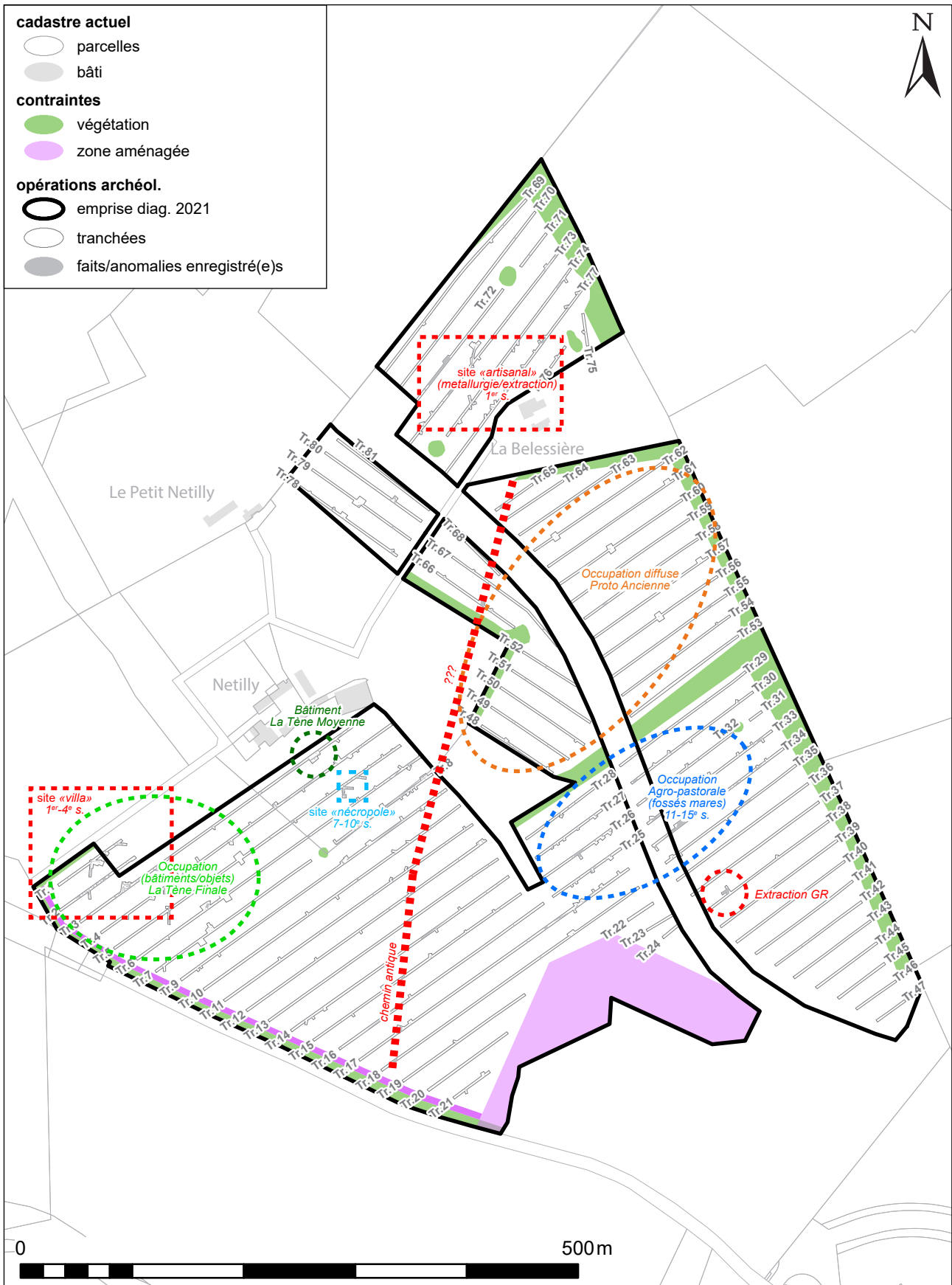


Figure 228 : Plan de synthèse des résultats de l'opération de diagnostic 2021

funéraire peut être estimée à une centaine d'individus. Son occupation s'échelonne au moins jusqu'au 9<sup>e</sup> voire 10<sup>e</sup> s. La relation de cette nécropole avec un habitat proche n'est pas évidente à établir, les seules occupations altomédiévales connues du secteur étant situées à plusieurs centaines de mètres au sud et au sud-ouest.

Par la suite, les occupations du Moyen-Âge central et du Bas Moyen-Âge, puis des époques

modernes et contemporaines, se signalent uniquement par des structures à vocation agraire (nombreux fossés, mares, rares fosses...), témoignant d'une exploitation toujours aussi intensive de la zone, comme en témoigne en outre, les nombreuses fermes de l'époque médiévale et moderne s'implantant dans le secteur.

## BIBLIOGRAPHIE

- ACALYDE, RASPLUS 1971 : G. Alcaydé, L. Rasplus – *Carte Géologique France (1/50 000), Feuille de Langeais (n°487). Notice explicative*, Orléans, BRGM, 11p.
- BELVATA-BALAZY 2005 : Ch. Belvata-Balazy – *Sorigny « La Bougrie » (Indre-et-Loire) site N°37.250.014AH*, Rapport final d'opération de diagnostic archéologique, Inrap, CIF, SRA Centre, 19 p. + fig.
- BEN KADDOUR C. *et. al.* 2015 : C. Ben Kaddour – *Pré de la Fosse/Les Clavaux. Sainte-Catherine-de-Fierbois (37)*, Rapport final de fouille archéologique, Eveha, SRA Centre, 3 vol.
- BLANCHARD 2014 : P. Blanchard – « Les lieux d'inhumation du haut Moyen Age (400-1000) », in E. Zadora-Rio (dir.) - *Atlas Archéologique de Touraine*, Supplément à la Revue Archéologique du Centre de la France, 53, FERACF, Tours, 2014. URL : <http://a2t.univ-tours.fr/notice.php?id=111>
- BOUILLON 2012 : J. Bouillon – *Monts-Sorigny, Indre-et-Loire. LGV SEA 2 phase 96*. Rapport de diagnostic archéologique, Inrap, SRA Centre, 154 p.
- CARRE DE BUSSEROLLES 1878 : J.X. Carré-de-Busserolles – *Dictionnaire géographique, historique et Biographique d'Indre-et-Loire et de l'ancienne province de Touraine, Tome I*, Mém. de la Soc. Archéol. de Touraine, t. XXVII, 480 p.
- CARRE DE BUSSEROLLES 1879 : J.X. Carré-de-Busserolles – *Dictionnaire géographique, historique et Biographique d'Indre-et-Loire et de l'ancienne province de Touraine, Tome II*, Mém. de la Soc. Archéol. de Touraine, t. XXVIII, 489 p.
- CARRE DE BUSSEROLLES 1880 : J.X. Carré-de-Busserolles – *Dictionnaire géographique, historique et Biographique d'Indre-et-Loire et de l'ancienne province de Touraine, Tome III*, Mém. de la Soc. Archéol. de Touraine, t. XXIX, 419 p.
- CARRE DE BUSSEROLLES 1882 : J.X. Carré-de-Busserolles – *Dictionnaire géographique, historique et Biographique d'Indre-et-Loire et de l'ancienne province de Touraine, Tome IV*, Mém. de la Soc. Archéol. de Touraine, t. XXX, 434 p.
- CARRE DE BUSSEROLLES 1883 : J.X. Carré-de-Busserolles – *Dictionnaire géographique, historique et Biographique d'Indre-et-Loire et de l'ancienne province de Touraine, Tome V*, Mém. de la Soc. Archéol. de Touraine, t. XXXI, 440 p.
- CARRE DE BUSSEROLLES 1884 : J.X. Carré-de-Busserolles – *Dictionnaire géographique, historique et Biographique d'Indre-et-Loire et de l'ancienne province de Touraine, Tome VI*, Mém. de la Soc. Archéol. de Touraine, t. XXXII, 440 p.
- CHAMPAGNE 2001 : F. Champagne – *Sorigny, « La longue Plaine », site N°37.250.008 AH*. Document Final de Synthèse de fouille de sauvetage archéologique, Afan, Centre, non paginé.
- CHAMPAGNE 2003 : F. Champagne – *Sorigny, « Parc Sud Indre », phase 1*. Rapport d'évaluation archéologique, Inrap, SRA Centre, non paginé.
- COLONGE 2012 : D. Colonge – « *La Gérandelière* », *Sorigny, Indre-et-Loire, LGV SEA 2*. Rapport de diagnostic Archéologique, Inrap, SRA Centre 99 p.
- CORDIER 1992 : G. Cordier – « Un nouveau Polissoir en Touraine », *Bull. de la Soc. Archéol. de Touraine*, t. XLIII : 367-384.
- COUDERC 1987 : J.-M. Couderc (dir.) – *Dictionnaire des Communes de Touraine*, C.L.D., Chambray-lès-Tours, 967 p.
- COUVIN, DELEMONT, FONTAINE, GARDERE 2022 : F. Couvin, M. Delémont, A. Fontaine et P. Gardère - « Note sur la découverte d'un petit monument funéraire à proximité d'une villa, à La Chapelle-Vendômoise (Loir-et-Cher) », *Revue archéologique du Centre de la France* [En ligne], Tome 57. URL : <http://journals.openedition.org/racf/2969>
- DALAYEUN 2013 : M.-D. Dalayeun – *Sorigny, Indre-et-Loire, « la ferme du Thais » Etude archéologique d'une maison médiévale*, Rapport final de Fouille archéologique, Inrap, SRA Centre, 122 p.
- DJEMMALI N. 2013 : N. Djemmali – *Sorigny, Indre-et-Loire, La Pièce des Viviers, projet de lotissement*.

- Rapport de diagnostic archéologique Inrap, SRA Centre, 63 p.
- FERDIÈRE 2005 : A. Fedièrre – *Les Gaules II<sup>e</sup> s. av. J.-C. V<sup>e</sup> s. ap. J.-C.*, Armand Colin, Paris, 246 p.
- FERDIÈRE, LAUZANNE, SEIGNE, DUBOIS 2014 : A. Ferdièrre, S. Lauzanne, J. Seigne, J. Dubois – « Les grandes villae gallo-romaines », in E. Zadora-Rio (dir.) - *Atlas Archéologique de Touraine*, Supplément à la Revue Archéologique du Centre de la France, 53, FERACF, Tours, 2014. URL : <http://a2t.univ-tours.fr/notice.php?id=77>
- FOUILLET 2018 : N. Fouillet – *Centre-Val-de-Loire, Indre-et-Loire, Sorigny « Nettilly »*. Rapport de diagnostic archéologique, Inrap, SRA Centre, 52 p.
- FOUILLET 2018 : N. Fouillet – *Centre-Val-de-Loire, Indre-et-Loire, Sorigny-Villeperdue-Saint-Epain Section 1, Tronçon 5. Projet d'aménagement en 2x3 voies de l'Autoroute A10 entre Poitiers et Veigné*, Rapport de diagnostic archéologique, Inrap, SRA Centre, 70 p.
- FOUILLET, CHEROUX, DAVID 2006 : N. Fouillet, A. Cheroux, S. David – *Esvres-sur-Indre Autoroute A.85, section M4 « Les Billettes » (Indre-et-Loire) Site 57 (37 104 009 AH)*, Rapport final de fouille archéologique, Inrap, SRA Centre, 2 vol.
- FOUILLET, LUSSON 2015 : N. Fouillet, D. Lusson – « Deux établissements ruraux gaulois et gallo-romains du territoire des Turons : « La Roche Deniau » à Parçay-Meslay et « La Cave Blanchette » à Monnaie (Indre-et-Loire) », in A. FERDIÈRE (dir.), *Établissements ruraux laténiens et gallo-romains du centre de la Gaule - 1*, 57<sup>e</sup> supplément à la RACF, Tours : FERACF, pp. 109-202.
- GODIGNON 2017 : D. Godignon – *LGV SEA 2 – Une occupation agro-pastorale de La Tène Finale à l'époque Moderne à Monts « Le Petit-Nettily », Indre-et-Loire (37)*. Rapport Final de Fouille Archéologique, Inrap, SRA Centre, 460 p.
- GRANSARD *et. al.* 2011 – M. Gransard *et. al.* – *Sorigny et Monts, Indre-et-Loire (37), Tours-Angoulême. LGV SEA 2, phase 43*, Rapport de diagnostic archéologique, Inrap, SRA Centre, 162 p.
- GRANSARD 2020 – M. Gransard – *Centre-Val-de-Loire, Indre-et-Loire (37), Sorigny « le Four à Chaux »* Rapport de diagnostic archéologique, Inrap, SRA Centre, 197 p.
- GAULTIER 2010 : M. Gaultier – « Les sépultures en contexte d'habitat sur les sites ruraux médiévaux en région Centre : état de la question », in A. Nissen-Jaubert (dir.) – *Rapport de PRC habitat rurale en Région Centre*, 2010.
- GUIOT 1998 : Th. Guiot (dir.) – *Rocade nord de Blois, Villebarou " Les Mardeaux " (41.276.001.AH)*, Document final de synthèse, AFAN, Orléans, SRA Centre.
- GUIOT (dir.) 2002 : T. Guiot (dir.) - *L'établissement antique des « Béziaux » à Langeais (Indre-et-Loire)*, Rapport final de fouille archéologique, Inrap Orléans, SRA Centre, 199 p.
- JESSET *et. al.* 2002 : S. Jesset *et. al.* – *Sorigny « Nettilly », échangeur A10*, Document Final de Synthèse de fouille de sauvetage archéologique, Afan, Centre, 72 p. + annexes.
- JESSET 2003 : S. Jesset – *Sorigny « Nettilly », 37.250.007 AH*, Rapport de fouilles programmées, SRA Centre, 21 p.
- JOLY, PINOTEAU 2002 : S. Joly, C. Pinoteau – *Etude d'archéologie et morphologie paysagère sur l'emprise du site Isoparc-Parc d'activité de Touraine/ ZAC Sud Indre développement (Indre-et-Loire)*, Rapport préliminaire de prospection inventaire et thématique, Inrap, SRA Centre, non paginé.
- JOUANNEAU-BIGOT 2013 : S. Jouanneau-Bigot – *Sorigny « Nettilly », Indre-et-Loire. LGV SEA 2. Une occupation agro-pastorale de La Tène Finale au Haut-Empire*, Rapport Final de Fouille Archéologique, Inrap, SRA Centre, 539 p.
- JOUANNEAU-BIGOT 2019 : S. Jouanneau-Bigot – *Centre-Val-de-Loire, Indre-et-Loire, Monts-Sorigny Section 1, Tronçon 4. Projet d'aménagement en 2x3 voies de l'Autoroute A10 entre Poitiers et Veigné*, Rapport de diagnostic Archéologique, Inrap, SRA Centre, 121 p.
- LANDREAU 2019 : C. Landreau - *Centre-Val-de-Loire, Indre-et-Loire, Monts Section 1, Tronçon 3. Projet*

- d'aménagement en 2x3 voies de l'Autoroute A10 entre Poitiers et Veigné*, Rapport de diagnostic archéologique, Inrap, SRA Centre, 38 p.
- LECUYER 2012 : S. Lecuyer – *Sorigny, Indre-et-Loire. LGV SEA 2 phase 97*. Rapport de diagnostic archéologique, Inrap, SRA Centre, 117 p.
- LELONG 1999 : C. Lelong – « La nécropole gallo-romaine de Saint-Patrice (Indre-et-Loire), canton de Langeais », *Mémoire de la Société Archéologique de Touraine*, 64 : 9-56.
- LORANS 1996 : E. Lorans – *Le lochois du haut Moyen-Âge au XIII<sup>e</sup> s. Territoires, habitats et paysages*, Publication de l'Université de Tours, Tours, 290 p.
- PALLIER *et al.* 2011 – Y. Pallier *et al.* – *Villeperdue Sorigny et Monts, Indre-et-Loire (37), LGV SEA 2, phase 42*, Rapport de diagnostic archéologique, Inrap, SRA Centre, 162 p.
- PAPIN *et al.* 2015 : P. Papin, J. Livet, C. Vanhove et F. Yvernault - « Contribution à la connaissance de la topographie d'un centre paroissial en milieu rural : le cas de Joué-lès-Tours (Indre-et-Loire) », *Revue archéologique du Centre de la France*, t.54, URL : <http://journals.openedition.org/racf/2284>
- PETREQUIN *et al.* 2012 : *Jade - Grandes haches alpines du néolithique européen, V<sup>e</sup> et IV<sup>e</sup> millénaires avant J-C*, Cahiers de la MSHE, Presse Universitaire de Franche-Comté, Tomes 1 & 2.
- PETREQUIN *et al.* 2017 : *Jade - Objets-signes et interprétations sociales des jades alpins dans l'Europe néolithique*, Cahiers de la MSHE, Presse Universitaire de Franche-Comté Tomes 3 & 4.
- PHILIPPON 2014 : S. Philippon – *Sorigny « Thais »*, ZAC Isoparc, Rapport de diagnostic archéologique, SADIL/CG37, SAR Centre, 80 p.
- POITEVIN 2012 : G. Poitevin – *Sorigny, Indre-et-Loire. LGV SEA 2 phase 100*. Rapport de diagnostic archéologique, Inrap, SRA Centre, 221 p.
- POITEVIN 2014 : G. Poitevin – *Montisson, Sorigny, Indre-et-Loire. LGV SEA – D'un habitat rural à enclos gaulois à une villa Antique à deux cours en sud Touraine*, Rapport Final de Fouille Archéologique, Inrap, SRA Centre, 595 p.
- PORCELL *et al.* 2006 – *Sorigny « Thais » (Indre-et-Loire)*, Rapport de diagnostic archéologique, Inrap, SRA Centre, 47 p. + fig.
- PROVOST 1988 : M. Provost – *Carte Archéologique de la Gaule. Indre-et-Loire*, Publication de l'Académie des Inscriptions et Belles-Lettres, Paris, 141 p.
- RANJARD 1930 : R. Ranjard – *La Touraine Archéologique*, Edition Régionales de l'Ouest, Mayenne, 10 ed. 1994, 744 p.
- REDAIS 2012 : S. Redais – *Sorigny, Villeperdue, Indre-et-Loire (37), LGV SEA 2, phase 102*, Rapport de diagnostic archéologique, Inrap, SRA Centre, 88 p.
- ROSSIGNOL 2001 : C. Rossignol – *Sorigny, Indre-et-Loire Echangeur A10*, Rapport préliminaire de fouille d'évaluation archéologique, Afan, SRA Centre, 18 p.
- ROY 2012 : G. Roy – *Monts, Indre-et-Loire (37), LGV SEA 2 phase 99*. Rapport de diagnostic archéologique, Inrap, SRA Centre, 170 p.
- SARRESTE 2017 : F. Sarreste – *Sorigny, « La Pièce des Viviers »*. *Occupations rurales de La Tène Moyenne au début du II<sup>e</sup> s. ap. J.-C.* Rapport Final de Fouille Archéologique, Eveha, SRA Centre val-de-Loire, 571 p.
- SARTOU 2013 : A. Sartou – « Le site des « Belounes » à La-Celle-Saint-Avant (Indre-et-Loire) : un enclos maçonné gallo-romain à vocation funéraire » in A. Ferdière (dir.) - *Ensembles funéraires gallo-romains de la Loire moyenne - II.*, 44<sup>e</sup> supplément à la Revue archéologique du Centre de la France, Tours, pp. 9-24.
- ZADORA-RIO, GALINIE 2020 : E. Zadora-Rio, H. Galinié (dir.) – *L'église de Rigny et ses abords. De la colonia de Saint-Martin de Tours au transfert du centre paroissial (600-1865)*, Publication logicieste en ligne, Université de Caen, URL : <https://www.unicaen.fr/puc/rigny>



## LISTE DES ILLUSTRATIONS

<b>Figure 1</b> : Localisation du site sur la carte topographique au 1 / 250 000°	11
<b>Figure 2</b> : Localisation du site sur une carte IGN au 1 / 25 000° (© IGN Paris - Scan 25, 2005 - Autorisation de reproduction n° 2006/CUDC/0186)	12
<b>Figure 3</b> : Emprise du diagnostic sur le fond cadastral, carroyage principal Lambert 93 CC47 (sources : Direction générale des Impôts)	13
<b>Figure 4</b> : Plan d'implantation des tranchées et des contraintes de l'intervention	31
<b>Figure 5</b> : Topographie de la zone d'intervention	33
<b>Figure 6</b> : Quelques vues générales des parcelles diagnostiquées	34
<b>Figure 7</b> : profils topographiques de la zone d'intervention	35
<b>Figure 8</b> : Carte géologique au 1/50 000	36
<b>Figure 9</b> : Logs géologiques relevés au cours du diagnostic	37
<b>Figure 10</b> : Photographie du log 2, tranchée 4	38
<b>Figure 11</b> : Photographie du fossé F379, tranchée 34, log 11	38
<b>Figure 12</b> : Photographie du log 1, tranchée 1	38
<b>Figure 13</b> : photographie de la tranchée 14, avec les formations argileuses de décarbonatation du calcaire	38
<b>Figure 14</b> : Carte archéologique de la zone de Sorigny et Monts	41
<b>Figure 15</b> : Plan des opérations et sites archéologiques mis au jour dans l'environnement proche de la zone diagnostiquée	43
<b>Figure 16</b> : Capture écran de la photo satellite en date de septembre 2021 du site Google Earth, révélant les substructions d'un établissement gallo-romain dans l'emprise du diagnostic	47
<b>Figure 17</b> : Extrait de la Carte de Cassini	50
<b>Figure 18</b> : Extrait du cadastre napoléonien levé en 1819 (ADIL 3P2_250, section A2 du Thais)	51
<b>Figure 19</b> : Plan général de l'opération avec zonage des plans masses (fig. 20 à 24)	54
<b>Figure 20</b> : Plan masse de la Zone 1	55
<b>Figure 21</b> : Plan masse de la Zone 2	57
<b>Figure 22</b> : Plan masse de la Zone 3	59
<b>Figure 23</b> : Plan masse de la Zone 4	61
<b>Figure 24</b> : Plan masse de la Zone 5	63
<b>Figure 25</b> : Plan des anomalies considérées comme naturelles et annulées	66
<b>Figure 26</b> : Coupes des anomalies naturelles F80 et 165	67



<b>Figure 27</b> : Photographie de l'anomalie naturelle F80	68
<b>Figure 28</b> : Photographie de l'anomalie naturelle F165	68
<b>Figure 29</b> : Quelques exemples de coupes d'anomalies naturelles annulées (cf fig. 25)	69
<b>Figure 30</b> : Quelques exemples de photographies d'anomalies naturelles annulées (cf fig. 25)	70
<b>Figure 31</b> : Plan général de localisation des vestiges préhistoriques et de la Protohistoire ancienne	72
<b>Figure 32</b> : Probable éclat levallois (Iso 1, lot 197)	73
<b>Figure 33</b> : fragment de petite lame à dos (Iso 14, lot 199)	73
<b>Figure 34</b> : petite hache polie en roche verte provenant de niveaux gallo-romains (US24, lot 196)	73
<b>Figure 35</b> : Coupes des fosses de la Prothistoire ancienne	75
<b>Figure 36</b> : Photographie de la fosse F389	75
<b>Figure 37</b> : Photographie de la fosse F442	75
<b>Figure 38</b> : lot de tessons de la fosse F442	76
<b>Figure 39</b> : Photographie de la fosse F490	76
<b>Figure 40</b> : Coupe de la fosse F490	76
<b>Figure 41</b> : Exemple de photographie des fosses charbonneuses indéterminées : la fosse F434	76
<b>Figure 42</b> : Coupes des fosses probables de la Prothistoire ancienne du secteur nord-est du diagnostic	77
<b>Figure 43</b> : Plan général de localisation des vestiges de la Protohistoire récente	79
<b>Figure 44</b> : Plan du bâtiment de La Tène Moyenne et coupes des trous de poteaux F56 et F57	80
<b>Figure 45</b> : Photographie du trou de poteau F56	81
<b>Figure 46</b> : Photographie du trou de poteau F57	81
<b>Figure 47</b> : Plan de détail des ensembles de trous de poteaux de La Tène Finale des tranchées 5 à 7	82
<b>Figure 48</b> : Coupes des trous de poteaux fouillés des bâtiments de La Tène Finale	83
<b>Figure 49</b> : Ensemble de trous de poteaux de la tranchée 5	84
<b>Figure 50</b> : Photographie du trou de poteau F91	84
<b>Figure 51</b> : Photographie du trou de poteau F429	84
<b>Figure 52</b> : Photographie du trou de poteau F161, tranchée 6	85
<b>Figure 53</b> : Photographie du bâtiment sur quatre poteaux de la tranchée 7	85
<b>Figure 54</b> : Photographie du trou de poteau F171, tranchée 7	85
<b>Figure 55</b> : Plan et coupes des fosses indéterminées de La Tène en tranchées 1 et 5	87
<b>Figure 56</b> : Photographie de la fosse F89	87
<b>Figure 57</b> : Photographie de la fosse F283, sous les murs gallo-romains	87
<b>Figure 58</b> : Mobilier céramique redéposé de La Tène Finale des tranchées 3 et 6 (F165)	88

<b>Figure 59</b> : Fragments de bracelet en lignite mis au jour en contexte redéposé de la tranchée 1	88
<b>Figure 60</b> : Potin «à la tête diabolique» sacrifié (lot 208)	89
<b>Figure 61</b> : Monnaie d'argent «à la cavalière» DT 2036-2037 (lot 200)	89
<b>Figure 62</b> : Plan général de localisation des vestiges de l'époque romaine	92
<b>Figure 63</b> : Plan de détail du site de la <i>villa</i> des tranchées 1 à 5 par type de structures	93
<b>Figure 64</b> : Plan phasé des vestiges du secteur de la <i>villa</i>	94
<b>Figure 65</b> : Photographie de la coupe du fossé F87, tranchée 6	95
<b>Figure 66</b> : Photographie de la coupe du fossé F29, tranchée 4	95
<b>Figure 67</b> : Coupes des fossés de l'enclos F29 et F87	96
<b>Figure 68</b> : Photographie zénithale des sondages 3 et 5, tranchée 1. Au fond, le fossé F372	96
<b>Figure 69</b> : Photographie de la coupe du fossé F372 dans le sondage 4, tranchée 1	96
<b>Figure 70</b> : Confrontation de la photographie satellite géoréférencée et des vestiges de murs repérés dans les tranchées 1 à 3	97
<b>Figure 71</b> : Plan coupes et mobilier des sondages 1 et 2, tranchée 1	98
<b>Figure 72</b> : Ortho-photographie de la zone des sondages 1 et 2, tranchée 1	99
<b>Figure 73</b> : Photographie de la coupe AB du sondage 1	99
<b>Figure 74</b> : Photographie de la coupe CD du sondage 2	99
<b>Figure 75</b> : Plan et coupes des sondages 3, 4 et 5, tranchée 1	100
<b>Figure 76</b> : Ortho-photographie de la zone des sondages 3, 4 et 5, tranchée 1	101
<b>Figure 77</b> : mobilier des sondages 3, 4 et 5, tranchée 1, planche 1	101
<b>Figure 78</b> : mobilier des sondages 3, 4 et 5, tranchée 1, planche 2 (US74)	102
<b>Figure 79</b> : Photographie de la coupe EF du sondage 3, avec le trou de poteau F285, tranchée 1	102
<b>Figure 80</b> : plan coupes et mobilier du sondages 6, tranchée 2	103
<b>Figure 81</b> : Photographie de la coupe BC du sondage 6, tranchée 2	103
<b>Figure 82</b> : plan de la zone des sondages 7, 8, 9 et 10, tranchée 3	104
<b>Figure 83</b> : vue générale (vers l'est) de la zone de l'extension de la tranchée 3, avant la réalisation des sondages 7 à 10	105
<b>Figure 84</b> : vue de détail (vers l'ouest) des sondages 7 et 8, tranchée 3	105
<b>Figure 85</b> : vue de détail (vers l'ouest) des sondages 9 et 10, tranchée 3	105
<b>Figure 86</b> : coupes et mobilier des sondages 7 et 8, tranchée 3	106
<b>Figure 87</b> : Photographie de la coupe BC du sondage 7, tranchée 3	106
<b>Figure 88</b> : coupes et mobilier des sondages 9 et 10, tranchée 3	107
<b>Figure 89</b> : Photographie de la partie orientale de la coupe DE du sondage 10, tranchée 3	107

<b>Figure 90</b> : Photographie de détail du sol empierré conservé dans le bâtiment de la tranchée 1 (US63), formé des mur F10, 11 et 284	108
<b>Figure 91</b> : Ortho-photographie du sol conservé entre les murs F5 et F225, tranchée 2	108
<b>Figure 92</b> : Photographie de détail du niveau de démolition US74, tranchée 1	109
<b>Figure 93</b> : Photographie des tranchées de récupération F40, 41 et 43, tranchée 3 comportant des boulettes de mortier orange	110
<b>Figure 94</b> : Photographie de la tranchée de récupération F32, tranchée 3, comportant des boulettes de mortier gris	110
<b>Figure 95</b> : hypothèses des trois principales phases de construction de la <i>villa</i>	111
<b>Figure 96</b> : Photographie de la fondation du mur F37, de plus de 90cm de profondeur, maçonné à la chaux	112
<b>Figure 97</b> : Photographie de l'angle nord-est du vaste bâtiment occidental sur solins, repéré en tranchée 3 : F46 et 47	113
<b>Figure 98</b> : plan des vestiges du possible bâtiment type grange formé des murs F23, 24, 26 et 27, tranchée 2	114
<b>Figure 99</b> : Ortho-photographie du bâtiment sur solin formé des murs F23, 24, 26 et 27, tranchée 2	115
<b>Figure 100</b> : mobilier des fosses F398 (sous les murs F26 et 27) et F397 (recoupant le mur F24)	115
<b>Figure 101</b> : coupe des fosses ayant livré du mobilier romain dans le secteur de la <i>villa</i>	117
<b>Figure 102</b> : coupe des fosses sans mobilier dans le secteur de la <i>villa</i>	118
<b>Figure 103</b> : photographie de la coupe de la fosse F1, tranchée 1	119
<b>Figure 104</b> : photographie zénithale de la fosse F3, tranchée 1	119
<b>Figure 105</b> : photographie de la fosse F15, tranchée 2	119
<b>Figure 106</b> : Photographie de la coupe de la fosse F371	120
<b>Figure 107</b> : Photographie de la coupe du sondage 9, tranchée 3, où se trouve la fosse F453	121
<b>Figure 108</b> : Photographie de la coupe de la fosse F22, tranchée 2	121
<b>Figure 109</b> : Photographie de la coupe de la fosse F27, tranchée 2	121
<b>Figure 110</b> : photographie de la coupe du trou de poteau F7, tranchée 1	122
<b>Figure 111</b> : photographie zénithale du trou de poteau F285 (sondage 3), tranchée 1	122
<b>Figure 112</b> : Coupe et mobilier des structures F48 et F82	123
<b>Figure 113</b> : photographie de la structure empierrée F48, tranchée 3	124
<b>Figure 114</b> : Quelques objets remarquables mis au jour au détecteur à métaux dans le secteur de la <i>villa</i>	124
<b>Figure 115</b> : Plan des objets d'époque romaine et indéterminée mis au jour dans le secteur de la <i>villa</i>	125
<b>Figure 116</b> : Quelques monnaies mises au jour au détecteur à métaux dans le secteur de la <i>villa</i>	126
<b>Figure 117</b> : Plan de synthèse sur l'occupation de <i>villa</i> de «Nettily»	128

<b>Figure 118</b> : Etablissement de «La Roche Deniaud» à Parçay-Meslay (Fouillet, Lusson 2015, p.190)	129
<b>Figure 119</b> : Etablissement de «Montisson» à Sorigny (Poitevin 2014, p.237)	130
<b>Figure 120</b> : Plan phasé des vestiges de l'occupation antique des tranchées 72 à 74 et 77	131
<b>Figure 121</b> : Plan de détail des vestiges de l'occupation antique des tranchées 72 à 74 et 77, par type de structure	132
<b>Figure 122</b> : Coupes des fossés de l'enclos	133
<b>Figure 123</b> : Vue de l'angle nord-est de l'enclos (F501/514) dans l'extension de la tranchée 73	134
<b>Figure 124</b> : Photographie du fossé F501, tranchée 73	134
<b>Figure 125</b> : Photographie du fossé F514, tranchée 74	134
<b>Figure 126</b> : Photographie du fossé F537, tranchée 77	134
<b>Figure 127</b> : Coupes des fossés F532 et F533, tranchée 77	135
<b>Figure 128</b> : Photographie du fossé F532, tranchée 77	135
<b>Figure 129</b> : Coupe de la «nappe limoneuse» US331 et du fait F533	136
<b>Figure 130</b> : Coupes des fossés périphériques attribuables à l'Antiquité	137
<b>Figure 131</b> : Photographie du fossé F509, tranchée 74	137
<b>Figure 132</b> : Photographie du fossé F535, tranchée 77	137
<b>Figure 133</b> : Coupes des fosses fouillées au sein de l'enclos attribuables à l'Antiquité	138
<b>Figure 134</b> : Photographie des fosses F511, 561, 568, 569 dans l'extension de la tranchée 74	138
<b>Figure 135</b> : Coupe (CD) de la fosse F11, tranchée 74	139
<b>Figure 136</b> : Photographie zénithale de la fosse F500, tranchée 73	139
<b>Figure 137</b> : Coupes du sondage dans la fosse d'extraction F491, tranchée 72	140
<b>Figure 138</b> : Photographie de la coupe dans la fosse d'extraction F491, tranchée 72	140
<b>Figure 139</b> : Photographie de la face supérieure d'un culot de forge quasi-complet issu de l'US331, lot319	141
<b>Figure 140</b> : Coupes des faits hors site, situés à l'est de la <i>villa</i> , attribuables à l'Antiquité	143
<b>Figure 141</b> : Photographie de la coupe fossé parcellaire F77, tranchée 4	144
<b>Figure 142</b> : Photographie de la coupe fossé parcellaire F169, tranchée 7	144
<b>Figure 143</b> : Coupes des fossés parcellaires hors site, situés au sud de la <i>villa</i> , attribuables à l'Antiquité	144
<b>Figure 144</b> : Photographie de la coupe de la fosse F129, tranchée 4	145
<b>Figure 145</b> : Plan et coupe de la fosse F497	146
<b>Figure 146</b> : Photographie de la coupe de la fosse F497	146
<b>Figure 147</b> : Plan et coupes du chemin F246 et du probable parcellaire antique	147
<b>Figure 148</b> : Photographie du sondage dans le chemin F246, tranchée 17	148

<b>Figure 149</b> : Plan et coupes de la fosse d'extraction F385 et du fossé parcellaire F384, tranchée 38	149
<b>Figure 150</b> : Photographie de la coupe de la fosse d'extraction F385	150
<b>Figure 151</b> : Photographie de la coupe du fossé parcellaire F384, tranchée 38	150
<b>Figure 152</b> : Photographie de la fusaïole découverte en position isolée tranchée 25 (iso 3)	150
<b>Figure 153</b> : Plan des occupations de La Tène Finale et de l'époque romaine dans le secteur du diagnostic de 2021	152
<b>Figure 154</b> : Carte de sites romains du secteur de Sorigny/Monts/Veigné, plateau sud de l'Indre	153
<b>Figure 155</b> : Plan de localisation des vestiges du haut Moyen-Âge	154
<b>Figure 156</b> : Objets isolés de l'époque mérovingienne mis au jour au détecteur à métaux sur le site de la <i>villa</i>	155
<b>Figure 157</b> : Plan de détail des vestiges de la nécropole du haut Moyen-Âge par type de structure	156
<b>Figure 158</b> : Plan phasé et coupes des vestiges du secteur de la nécropole du haut Moyen-Âge	157
<b>Figure 159</b> : Photographie de l'angle nord-est de l'enclos (au premier plan les sépultures F475 et 476)	158
<b>Figure 160</b> : Photographie de la limite occidentale de l'enclos (F132) ; au fond l'angle sud-ouest	158
<b>Figure 161</b> : Photographie de la coupe dans le mur d'enclos (F132)	158
<b>Figure 162</b> : Photographie l'angle sud-ouest de l'enclos, en partie recoupé par une sépulture (F557)	160
<b>Figure 163</b> : Plan de détail des trois sépultures fouillées (F102, 103 et 106)	161
<b>Figure 164</b> : Photographie de sépulture F102 (la flèche indique le crâne de F484)	162
<b>Figure 165</b> : Photographie de sépulture F103	162
<b>Figure 166</b> : Photographie de sépulture F106	162
<b>Figure 167</b> : Plan du site des «Belounes» à La-Celle-Saint-Avant (issu de Sartou 2013, p.12)	165
<b>Figure 168</b> : Plan des occupations altomédiévales du secteur du diagnostic de 2021	167
<b>Figure 169</b> : Plans et coupes des deux fosses isolées de la fin du haut Moyen-Âge	168
<b>Figure 170</b> : Photographie de la fosse F12, tranchée 1	169
<b>Figure 171</b> : Photographie des fosses F562 et 467, tranchée 67	169
<b>Figure 172</b> : Plan de localisation des vestiges Moyen-Âge central et du Bas-Moyen-Âge	170
<b>Figure 173</b> : Plan de détail phasé de la zone ayant livré des vestiges de fossés du Moyen-Âge	171
<b>Figure 174</b> : Tableau des caractéristiques des fossés de la zone ayant livré des vestiges du Moyen-Âge	172
<b>Figure 175</b> : Coupes des fossés ayant livré du mobilier du Moyen-Âge	173
<b>Figure 176</b> : Coupes des fossés sans mobilier de la zone ayant livré des vestiges du Moyen-Âge	174
<b>Figure 177</b> : Photographie de la coupe du fossé F357 ayant livré du mobilier des 11-12 <sup>e</sup> s.	175
<b>Figure 178</b> : Photographie de la coupe du fossé F312 ayant livré du mobilier des 15-16 <sup>e</sup> s.	175
<b>Figure 179</b> : Photographie de la coupe du fossé F329 ayant livré du mobilier du 14 <sup>e</sup> s.	175

<b>Figure 180</b> : Photographie de la coupe du fossé F379 ayant livré du mobilier du 14 <sup>e</sup> s.	175
<b>Figure 181</b> : Photographie de la coupe du fossé F364, sans mobilier	175
<b>Figure 182</b> : Photographie zénithale de la fosse F554 (tranchée 5, recoupant le mur d'enclos de la nécropole), ayant livré du mobilier des 14-15 <sup>e</sup> s.	176
<b>Figure 183</b> : Photographie de la coupe du fossé F483, ayant livré du mobilier des 15-16 <sup>e</sup> s.	176
<b>Figure 184</b> : Plan et coupes des structures des tranchées 5 et 6 ayant livré du mobilier du Moyen-Âge	177
<b>Figure 185</b> : Plan de localisation des vestiges des époques moderne et contemporaines	178
<b>Figure 186</b> : Tableau des caractéristiques des fossés des époques moderne et contemporaines	179
<b>Figure 187</b> : plan et coupes des fossés des époques moderne et contemporaines des tranchées 3 à 8	180
<b>Figure 188</b> : plan et coupes des fossés des époques moderne et contemporaines des tranchées 9 à 14	181
<b>Figure 189</b> : plan des fossés des époques moderne et contemporaines des tranchées 3 à 14 sur fond de cadastre de 1819	182
<b>Figure 190</b> : Photographie de la coupe du fossé F75	182
<b>Figure 191</b> : Photographie de la coupe du fossé F260	182
<b>Figure 192</b> : Photographie de la coupe du fossé F193	183
<b>Figure 193</b> : Photographie de la coupe du fossé F143	183
<b>Figure 194</b> : Plans et coupes des fossés F280 et 381	183
<b>Figure 195</b> : Plans et coupes des vestiges modernes et contemporains des tranchées 17, 25 à 28	184
<b>Figure 196</b> : plan des fossés des époques moderne et contemporaines des tranchées 17, 25 à 34 sur fond de cadastre de 1819	185
<b>Figure 197</b> : Photographie de la coupe du fossé F322	185
<b>Figure 198</b> : plan du fossé F438 et de la mare F437 sur fond de cadastre de 1819	186
<b>Figure 199</b> : Plans et coupes des vestiges modernes et contemporains des tranchées 77 à 79	186
<b>Figure 200</b> : plan des fossés modernes et contemporains des tranchées 73 et 77 à 79 sur fond de cadastre de 1819	187
<b>Figure 201</b> : Photographie de la coupe du fossé F547	187
<b>Figure 202</b> : Photographie de la coupe du fossé F544	187
<b>Figure 203</b> : Plan des vestiges modernes et contemporains des tranchées 73, 74 et 77 et coupe du fossé F507	188
<b>Figure 204</b> : Plan et coupes des vestiges modernes et contemporains au nord-est des tranchées 69 à 77	189
<b>Figure 205</b> : plan des fossés modernes et contemporains au nord-est des tranchées 69 à 77 sur fond de cadastre de 1819	190
<b>Figure 206</b> : Photographie de la coupe du fossé F528	190
<b>Figure 207</b> : Photographie de la coupe des fossés F520 et 521	190

<b>Figure 208</b> : Photographie de la coupe de la mare F319	190
<b>Figure 209</b> : Tubes en terre cuite prélevés dans le drain F30	191
<b>Figure 210</b> : Photographie du drain F30, tranché 3	191
<b>Figure 211</b> : Demi-Gros de Nesles - 1550-1551 (iso 99, lot 216)	192
<b>Figure 212</b> : Quelques objets modernes et contemporains mis au jour au détecteur à métaux dans le secteur des tranchées 1 à 5	193
<b>Figure 213</b> : Plan de localisation des vestiges indéterminés	194
<b>Figure 214</b> : Plan et coupes des vestiges indéterminés dans l'environnement de la <i>villa</i>	195
<b>Figure 215</b> : Plan et coupes des fosses indéterminées de la tranchée 4	196
<b>Figure 216</b> : Photographie de la fosse F84, tranchée 4	197
<b>Figure 217</b> : Photographie de la coupe de la fosse F324, tranchée 27	197
<b>Figure 218</b> : Plan et coupes des fosses indéterminées des tranchées 26 et 27	197
<b>Figure 219</b> : Photographie de la sépulture animale F534, tranchée 77	198
<b>Figure 220</b> : Plan et coupes des fosses indéterminées des tranchées 78 et 79	198
<b>Figure 221</b> : Photographie de la coupe du trou de poteau F548, tranchée 79	199
<b>Figure 222</b> : Photographie de la coupe du fossé F70, tranchée 4	199
<b>Figure 223</b> : Plan et coupes des fossés indéterminées des tranchées 3, 4, 6 et 12	200
<b>Figure 224</b> : Plan et coupes des fossés indéterminées des tranchées 21 et 29-30	201
<b>Figure 225</b> : Plan et coupes des fossés indéterminées des tranchées 73 et 74	202
<b>Figure 226</b> : Plan et coupes du chemin indéterminé des tranchées 65 à 68	203
<b>Figure 227</b> : Photographie de la coupe du chemin indéterminé, tranchée 66	203
<b>Figure 228</b> : Plan de synthèse des résultats de l'opération de diagnostic 2021	205

III.

ANNEXES



# **RAPPORTS D'ANALYSES**

## CÉRAMIQUE PROTOHISTORIQUE ET ANTIQUE - SORIGNY ZAC ISOPARC (NETILLY)

Laureline Cinçon (SADIL)

### Introduction

Le diagnostic archéologique réalisé au lieu-dit « ZAC Isoparc (Netilly) » à Sorigny (37), a livré 1 123 tessons pour au moins 122 individus largement attribuables à la protohistoire et à l'antiquité (cf. inventaire général). Les restes datés de la Protohistoire totalisent 10 % du NR et 5 % du NMI : ces derniers sont caractéristiques de la Protohistoire ancienne, de La Tène Moyenne et de La Tène Finale. La période la mieux attestée demeure le Haut-Empire avec 87 % des restes et 89 % des individus. On note toutefois quelques éléments renvoyant au Bas-Empire (4 % du NR et 7 % du NMI) (Fig. 1 et 2). Les tessons se répartissent inégalement au sein de 57 faits et 26 couches stratigraphiques isolées. La céramique recueillie est dans un état de conservation moyen. Les surfaces et les engobes sont, en effet, très régulièrement altérés. L'inventaire de la céramique a été enregistré dans un tableur compatible avec la base de données du service archéologique du département d'Indre-et-Loire. Quant à la quantification, elle a été réalisée en NR et NMI selon le protocole établi à la Table Ronde du Mont-Beuvray (Arcelin, Tuffreau-Libre 1998). Nous tenons, par ailleurs, à remercier Francesca Di Napoli (Céramologue protohistorienne – INRAP CIF) pour son aide lors de l'identification de la céramique protohistorique.

	NR	% NR	NMI	% NMI
Protohistoire indéterminée ou ancienne	65	6 %	0	0 %
La Tène Moyenne	7	1 %	1	1 %
La Tène Finale	33	3 %	5	4 %
Haut-Empire	973	87 %	108	89 %
Bas-Empire	45	4 %	8	7 %
<b>Totaux</b>	<b>1123</b>	<b>100 %</b>	<b>122</b>	<b>100 %</b>

Fig. 1 : Tableau de la distribution des restes et des individus au sein du corpus étudié.

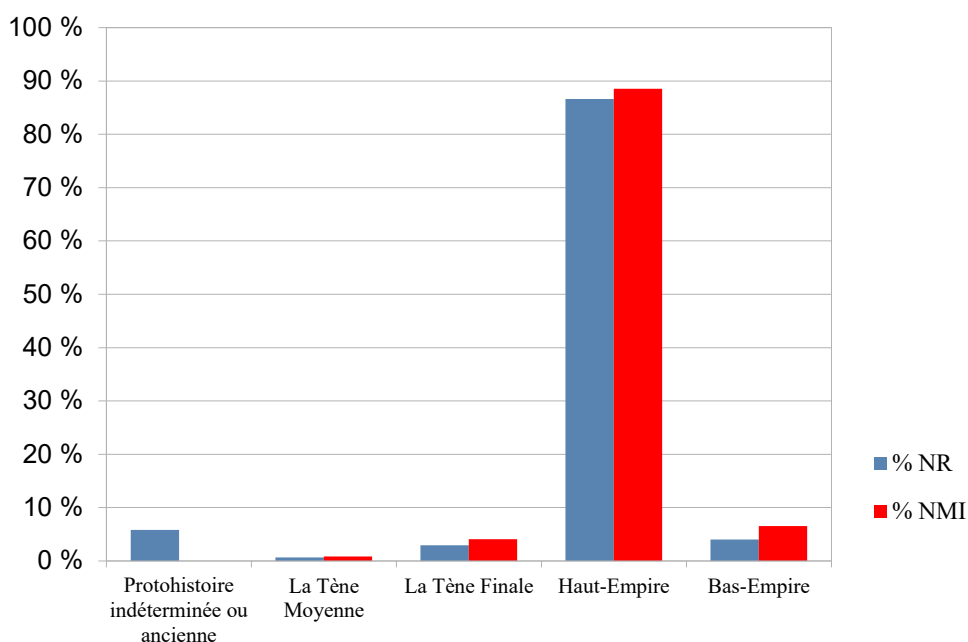


Fig. 2 : Graphique de la distribution des restes et des individus au sein du corpus étudié.

## I / Protohistoire indéterminée ou ancienne

Cette période dénombre 65 restes altérés de céramique non tournée où aucun élément typologique n'a été observé. Huit tessons sont attribués de manière indéterminée à la Protohistoire tandis que 57 fragments sont davantage caractéristiques de la Protohistoire ancienne. Ces derniers ont été identifiés dans les faits **F. 57**, **F. 89**, **F. 132**, **F. 171**, **F. 389**, **F. 442**, **F. 490** et **F. 537**. Les fosses **F. 389** (NR : 27) et **F. 442** (NR : 29) concentrent, cependant, la majorité des restes.

## II / La Tène Moyenne (400 à 200 av. J.-C.)

Cet horizon chronologique recense sept restes de céramique non tournée et un individu : il s'agit d'une jatte tronconique présentant des traces de calcination suggérant un usage culinaire (**Pl. 1 ; Iso 56.193.01**) (Di Napoli, Lusson 2011 : 131132). Ces éléments proviennent d'un unique trou de poteau **F. 56**.

## III / La Tène Finale (150 à 60 av. J.-C.)

33 restes et 5 individus sont attribuables aux années 150 à 60 av. J.-C. (La Tène D1 / La Tène D2a) : il s'agit de fragments de céramique non tournée parfois reprise au tour, de céramique de type « Besançon », de céramique commune brune, de céramique commune brune (pâte Val de Loire), de céramique commune sombre et de céramique commune sombre enfumée. Ces éléments proviennent des faits **F. 85**, **F. 91**, **F. 161**, **F. 165**, **F. 283** et **F. 570** ainsi que des niveaux de nettoyage **US 5**, **US 437** et **US 442**.

Le trou de poteau **F. 161** (NR 4 ; NMI : 1) recense un bord de pot à baguettes en céramique commune sombre (**Pl. 1 ; Iso 161.129.01**). Les caractéristiques de ce dernier tout comme celui livré par l'**US 437** (NR : 5 ; NMI : 1) (**Pl. 1 ; Iso 1437.01**) renvoient aux exemplaires identifiés sur les sites laténiens de « Champ Chardon » et du « Tramway » à Tours (Couderc, Laruz 2018 : 5865 et 225245).

Dans le comblement de l'anomalie naturelle **F. 165** (NR 14 ; NMI : 2), on dénombre un bord de jatte tronconique en céramique non tournée (**Pl. 1 ; Iso 165.108.01**) et un bord de petite jarre à lèvres plate moulurée en céramique de type « Besançon » dont l'épaulement est décoré d'incisions (**Pl. 1 ; Iso 165.108.02**). Ces vases sont inventoriés dans les mêmes contextes archéologiques (Couderc, Laruz 2018 : 5865 et 225245).

Quant à la fosse **F. 283** (NR : 1 ; NMI : 1), elle recense un unique bord de gobelet tonnelet en céramique commune brune (**Pl. 1 ; Iso 283.29.01**). Cette forme est davantage documentée dans les ensembles orléanais datés de La Tène D1 (Riquier 2005 : 2326).

## IV / Le Haut-Empire

25 faits et 6 couches isolées sont largement attribuables au Haut-Empire (Total NR : 127 ; Total NMI : 12). Ces lots très peu documentés sont essentiellement composés de fragments de céramique commune claire micacée, de céramique commune claire brune orangée, de céramique commune claire engobée blanc et de céramique commune sombre sans éléments typologiques distinctifs à l'exception de quelques fonds et anses (*cf.* inventaire). Le fossé **F. 533 a**, toutefois, livré un bord de *dolium* à lèvres en bourrelet en céramique commune claire brune orangée mais il s'agit d'une forme très courante et évoluant peu durant le Haut-Empire (Raux 2005 : 202 ; Couvin 2008 : 430). Il en va de même pour le couvercle en céramique à enduit rouge pompéien du Centre (**Pl. 2 ; Iso 211.61.01**) provenant de la tranchée de récupération **F. 211** (Sellès 2001 : 222225).

### a) La fin du I<sup>er</sup> siècle av. J.-C. et le début du II<sup>e</sup> siècle ap. J.-C.

Les ensembles datés des années 15 av. J.-C. à 120 ap. J.-C. totalisent 466 restes et 41 individus. Il est parfois possible grâce aux éléments inventoriés de restreindre la datation de certains d'entre eux.

Le trou de poteau **F. 285** et la fosse **F. 466** ont livré des fragments de céramique commune claire brune orangée, de céramique commune claire engobée blanc ainsi que des tessons de céramique fine engobée blanc et de *Terra Nigra* du Centre/Ouest. L'association de ces derniers renvoie aux années 15 av. J.-C. à 120 ap. J.-C. Il en va de même pour l'empierrement **US 404** (NR : 25 ; NMI : 2) qui recense en outre une assiette Menez 53/55 en *Terra Nigra* du Centre/Ouest (Pl. 2 ; Iso 404.01) (Couvin 2008 : 408411).

Le mur **F. 11** (NR : 3), les fossés **F. 77** (NR : 40 ; NMI 4) et **F. 82** (NR : 18 ; NMI : 4) ainsi que la fosse **F. 453** (NR : 82 ; NMI : 2) sont, quant à eux, datés des années 15 av. J.-C. à 70 ap. J.-C. Ces derniers ont, en effet, livré des restes de céramique commune claire brune orangée, de céramique commune claire engobée blanc, de céramique commune sombre mais aussi des groupes techniques caractéristiques de ces horizons chronologiques tels que la céramique fine engobée de type « Beuvray », la céramique de type « Besançon » ou encore les amphores de Tarraconaise (Raynaud 1993 ; Couvin 2005 : 103105 ; 2008 : 423). On observe, en particulier, dans l'abandon du fossé **F. 77** une coupe Menez 130 en *Terra Nigra* du Centre/Ouest, un pot *camulodunum* 102 en céramique commune claire brune orangée (Pl. 2 ; Iso 77.114.01) et un pot à lèvre éversée en céramique commune sombre (Couvin 2008 : 408411 et 427 ; 2012 : 154). Deux pots à lèvre moulurée en céramique de type « Besançon » sont, par ailleurs, identifiés dans les faits **F. 82** et **F. 453** (Pl. 2 ; Iso 453.375.01) (Couvin 2008 : 423). Certains niveaux sont, également, attribuables aux années 15 av. J.-C. à 70 ap. J.-C. : il s'agit de l'**US 16** (NR : 18 ; NMI : 1), de l'**US 377** (NR : 10 ; NMI : 3), de l'**US 383** (NR : 29 ; NMI : 1) et de l'**US 410** (NR : 17 ; NMI : 2). Deux pots à lèvre aplatie sur la panse en céramique commune claire brune orangée ont, effectivement, été recueillis lors du nettoyage du sol **US 377** (Pl. 2 ; Iso 377.01 et 02) (Couvin 2008 : 427).

Le fossé **F. 372** (NR : 25 ; NMI : 1) recense des tessons de céramique non tournée, de céramique commune brune (pâte Val de Loire), de céramique commune sombre enfumée mais aussi de céramique commune claire brune orangée et de *Terra Nigra* du Centre ou du Centre/Ouest (coupe Menez 130 (Pl. 2 ; Iso 372.72.01) (Couvin 2008 : 408411). L'association de groupes techniques dont les caractéristiques renvoient à La Tène Finale et de céramiques apparaissant au début du Haut-Empire suggère une datation précoce pour cet ensemble (15 av. J.-C. à 20 ap. J.-C.). On peut faire le même constat pour les niveaux d'occupation **US 24** (NR : 10) et **US 207** (NR : 26 ; NMI : 4). La couche d'occupation **US 67** (NR : 27 ; NMI : 3) livre un ensemble similaire composé de céramique non tournée, d'une coupe Menez 103 et d'une coupe Menez 130 en céramique commune sombre enfumée (Pl. 2 ; Iso 67.02 et 03) inventoriées dans des contextes datant de la Transition ou de la période augustéenne sur le site de « La Butte de César » à Amboise (Laruaz 2017). La présence de céramique commune claire brune orangée, de *Terra Nigra* du Centre et du Centre/Ouest ainsi que d'un gobelet balustre à lèvre déversée en gouttière en céramique fine engobée de type « Beuvray » (Pl. 2 ; Iso 67.01) permet de restreindre la datation de cette couche aux années 15 av. J.-C. à 20 ap. J.-C. (Couvin 2005 : 103105).

Les maçonneries **F. 34** et **F. 37** (NR : 14 ; NMI : 3) dénombrent des tessons de céramique commune claire micacée, de céramique commune claire brune orangée parfois engobée blanc. On reconnaît un bord de *dolium* à lèvre ronde (Pl. 2 ; Iso 34.215.01) et une jatte à lèvre aplatie sur la panse (Pl. 2 ; Iso 34.215.02). Cette dernière est attestée sur les sites turons entre les années 40 et 120 ap. J.-

C. (Couvin 2008 : 428). Quelques fragments de *Terra Nigra* du Centre et du Centre/Ouest (coupe menez 130 (Pl. 2 ; Iso 37.203.01) complètent l'ensemble (Couvin 2008 : 408411).

L'abandon du fossé **F. 501** (NR : 53 ; NMI : 3) est attribuable au milieu du I<sup>er</sup> siècle de notre ère. En effet, on recense des tessons de céramique commune claire micacée, de céramique commune claire brune orangée ainsi qu'un bord de pot à lèvre déversée et terminaison triangulaire (Pl. 2 ; Iso 501.282.01) identifié à Tours entre 40 et 120 ap. J.-C. (Couvin 2005 : 131132). La présence d'une petite jarre à lèvre plate moulurée en céramique de type « Besançon » documentée sur les ensembles ligériens jusqu'à la période flavienne (Couvin 2008 : 423), permet de restreindre la datation aux années 40 à 70 de notre ère.

La fosse **F. 398** (NR : 45 ; NMI : 4) recense des fragments de céramique commune claire micacée, de céramique commune brune orangée dont un pot à lèvre éversée (Pl. 3 ; Iso 398.412.01) et un *dolium* à lèvre ronde (Pl. 3 ; Iso 398.412.03) ainsi que des tessons de céramique commune claire engobée blanc. Ces formes très fréquentes renvoient largement au Haut-Empire (Raux 2005 : 202 ; Couvin 2008 : 430 ; 2012). Quant au pot à lèvre déversée en céramique commune sombre (Pl. 3 ; Iso 398.412.02), il est présent sur le site de « La Prairie de la Bourdillière » à Chanceaux-sur-Choisille et sur le site du « Tertreau » à Notre-Dame-d'Oé entre les années 70 et 120 ap. J.-C. (Couvin 2012 : 159). Le niveau de démolition **US 64** (NR : 15 ; NMI : 4) livre un corpus similaire avec un bord de jatte carénée à lèvre plate en céramique commune claire brune orangée (Pl. 3 ; Iso 64.01). Cette dernière apparaît dans les contextes turons au début de la période flavienne (Couvin 2008 : 428). Une coupe Menez 130 en *Terra Nigra* du Centre/Ouest permet de réduire la datation de cet ensemble des années 70 à 120 ap. J.-C. (Pl. 3 ; Iso 64.02) (Couvin 2008 : 408411).

### **b) Les II<sup>e</sup> et III<sup>e</sup> siècles de notre ère**

Les ensembles attribuables aux II<sup>e</sup> et III<sup>e</sup> siècles de notre ère totalisent 377 restes et 55 individus. Il est parfois possible grâce aux éléments inventoriés de restreindre la datation de certains d'entre-eux.

Le fossé **F. 532** (NR : 7 ; NMI : 3) dénombre quelques tessons de céramique commune sombre et de céramique commune claire brune orangée avec notamment un *dolium* à lèvre plate et une marmite à bord rentrant (Pl. 3 ; Iso 532.360.01). Si le premier apparaît sur les sites ligériens vers les années 40 ap. J.-C. (Raux 2005 : 202 ; Couvin 2008 : 430431), la seconde est seulement attestée à partir de la fin du I<sup>er</sup> siècle de notre ère (Couvin 2012 : 153158). On reconnaît également un fragment de pied annulaire appartenant probablement à une coupe Drag. 37 en sigillée du Centre de la Gaule (Pl. 3 ; Iso 532.360.02). Ce dernier est, par ailleurs, caractéristique de la phase 5 des productions lézoviennes (Brulet et al. 2010 : 95107). Ces éléments renvoient à la 1<sup>ère</sup> moitié du II<sup>e</sup> siècle ap. J.-C. Les restes identifiés dans le niveau de démolition **US 206** (NR : 24 ; NMI : 4) sont attribuables au même horizon chronologique. Il s'agit de tessons de céramique commune claire brune orangée parfois engobée blanc. On observe, à nouveau, un fragment de sigillée du Centre de la Gaule renvoyant aux productions de la phase 5 des officines lézoviennes (Brulet et al. 2010 : 95107). Le gobelet Menez 148 en *Terra Nigra* du Centre/Ouest demeure, quant à lui, caractéristique du I<sup>er</sup> siècle de notre ère (Pl. 3 ; Iso 206.01) (Couvin 2008 : 408411). On constate la présence d'un plat à lèvre simple en céramique commune sombre à surface lustrée (Pl. 3 ; Iso 206.02). Cette variante est documentée dans les ensembles turons à partir de la période flavienne (Couvin 2012 : 153159).

La couche de démolition **US 22** (NR : 82 ; NMI : 8) livre un lot relativement important de céramique largement daté du II<sup>e</sup> siècle de notre ère. Il est toutefois assez hétérogène chronologiquement (Fig. 3). On observe un fragment de sigillée du Sud de la Gaule et un tesson de sigillée du Centre de la Gaule attribuable à la phase 4 des ateliers lézoviens (Bet et al. 1989 ; Passelac, Vernhet 1993).

Si la céramique fine engobée de type « Beuvray » renvoie aux années 15 av. J.-C. À 70 ap. J.-C. (Couvin 2005 : 103105), la céramique fine engobée du Centre est fabriquée entre 70 et 150 ap. J.-C. (Bet, Gras 1999). Quant au gobelet Menez 146 en *Terra Nigra* du Centre/Ouest (Pl. 4 ; Iso 22.02), il est identifié à Tours entre 40 et 120 de notre ère (Couvin 2008 : 408411). On reconnaît, ensuite, un pot à lèvre éversée en céramique commune claire brune orangée (Pl. 4 ; Iso 22.03) ainsi qu'une jatte à lèvre aplatie sur la panse, un pot caréné à lèvre en amande (Pl. 4 ; Iso 22.01) et une coupe à lèvre en collerette (Pl. 4 ; Iso 22.04) en céramique commune sombre à surface brute ou lustrée. Si la première renvoie aux années 40 à 120 ap. J.-C., le pot est, quant à lui, très courant au cours des II<sup>e</sup> et III<sup>e</sup> siècles (Couvin 2012). On compte, enfin, quelques restes caractéristiques de La Tène Finale et de la période augustéenne : céramique non tournée, céramique commune brune (pâte Val de Loire), céramique commune sombre enfumée et amphore italique.

	NR	NMI
Sigillée du Sud	1	1
Sigillée du Centre	2	0
C. Fine eng. De type «Beuvray»	1	1
C. Fine eng. Du Centre	1	0
Terra Nigra du Centre/Ouest	2	1
C. Com. Claire Brune Orangée	24	1
C. Com. Claire eng. Blanc	1	0
C. Com. Brune Val de Loire	6	0
C. Com. Sombre	20	1
C. Com. Sombre Lustrée	12	2
C. Com. Sombre Enfumée	6	1
C. Non Tournée	3	0
Amphore Italique	1	0
Indéterminé	2	0
<b>Total</b>	<b>82</b>	<b>8</b>

Fig. 3 : Distribution des groupes techniques dans l'us 22.

On peut faire des observations similaires pour l'US 436 (NR : 38 ; NMI :11). On reconnaît un bord d'assiette ou de coupe en sigillée du Sud de la Gaule appartenant au Service A dont la fabrication est datée des années 60 à 160 ap. J.-C. (Passelac, Vernhet 1993 : 578) et une coupe Lez. 26 en sigillée du Centre de la Gaule (Pl. 4 ; Iso 436.01) correspondant aux productions des phases 2/3 des officines lézoviennes (Bet et al. 1989 : 43). Il s'agit, ensuite, de céramique commune claire brune orangée parfois engobée blanc ainsi que de céramique commune sombre. Le pichet à large ouverture et col renflé en céramique commune claire brune orangée (Pl. 4 ; Iso 436.02) est documenté sur le site du « Parking Anatole France » à Tours dans le courant du II<sup>e</sup> siècle de notre ère (Couvin, Delage 2006 : 392).

L'empièchement F. 48 (NR : 3 ; NMI : 2) a livré des éléments attribuables aux II<sup>e</sup> et III<sup>e</sup> siècles : il s'agit d'une marmite à bord rentrant en céramique commune sombre à surface lustrée (Pl. 4 ; Iso 48.201.01) et d'un mortier à lèvre en collerette en céramique commune claire brute Val de Loire (Pl. 4 ; Iso 48.201.02). Ces formes sont attestées dans les contextes turons et notamment à Tours sur le site du « Parking Anatole France » (Raux 2005 ; Couvin, Delage 2006 ; Couvin 2012 : 159).

La couche de démolition US 15 (NR : 69 ; NMI : 7) présente un lot relativement important de céramique daté du II<sup>e</sup> et du début du III<sup>e</sup> siècle de notre ère (Fig. 4). On compte, d'abord, un fragment

de pied annulaire en sigillée du Sud de la Gaule (Passelac, Vernhet 1993) et une coupe Lez. 39 en sigillée du Centre de la Gaule caractéristique des productions des phases 2/3 de Lezoux (Pl. 4 ; Iso 15.02) (Bet et al. 1989 : 43). Un reste de céramique fine engobée du Centre est également inventorié (Bet, Gras 1999). La céramique commune claire brune orangée totalise près de 40 % du NR. Seul un bord de *dolium* à lèvre plate est identifié. Cette variante est attestée sur les sites régionaux dès les années 40 ap. J.-C (Raux 2005 : 202 ; Couvin 2008 : 430431). On observe un pot à lèvre moulurée en céramique de type « Besançon » (Pl. 4 ; Iso 15.01). La datation de ce dernier renvoie aux années 15 av. J.-C. à 70 ap. J.-C. (Couvin 2008 : 423). La céramique commune sombre à surface brute ou lustrée cumule un tiers des restes : on reconnaît un pot caréné à lèvre en amande. Cette forme culinaire est très courante dans les ensembles turons au cours des II<sup>e</sup> et III<sup>e</sup> siècles de notre ère (Couvin 2012 : 159).

	NR	NMI
Sigillée du Sud	1	1
Sigillée du Centre	1	1
C. Fine eng. Du Centre	1	0
C. Com. Claire Brune Orangée	28	1
C. Com. Claire eng. Blanc	4	0
C. Com. Claire Brute Val de Loire	1	0
C. Com. Sombre	14	2
C. Com. Sombre Lustrée	10	0
C. Com. Sombre Enfumée Lustrée	4	1
C. De type « Besançon »	1	1
Indéterminé	4	0
Total	69	7

Fig. 4 : Distribution des groupes techniques dans l'us 15.

Le niveau de démolition **US 74** a livré un abondant corpus céramique daté du II<sup>e</sup> et du début du III<sup>e</sup> siècle de notre ère (NR : 149 ; NMI : 17) (Fig. 5). Il est toutefois assez hétérogène chronologiquement. En effet, nombreux sont les éléments résiduels attribuables à La Tène finale et au début du Haut-Empire. On observe une coupe Drag. 27B en sigillée du Sud de la Gaule fabriquée entre 40 et 80 ap. J.-C. (Pl. 5 ; Iso 74.01) (Passelac, Vernhet 1993 : 573), un gobelet balustre à lèvre déversée en gouttière en céramique fine engobée de type « Beuvray » (Pl. 5 ; Iso 74.02) (Couvin 2005 : 103105) et un bol à lèvre en bourrelet en céramique peinte de Roanne (Pl. 5 ; Iso 74.04) (Grand 1995). Une assiette Menez 22/27 en *Terra Nigra* du Centre (Pl. 5 ; Iso 74.06) et une coupe Menez 130 en *Terra Nigra* du Centre/Ouest (Pl. 5 ; Iso 74.11) sont également inventoriées (Couvin 2008 : 408411). Les productions du Centre de la Gaule sont aussi illustrées par un couvercle en céramique à enduit rouge pompéien (Pl. 5 ; Iso 74.03) (Sellès 2001 : 222225). La céramique commune claire brune orangée est la mieux représentée avec 40 restes : on reconnaît un pot *camulodunum* 102 (Pl. 5 ; Iso 74.07), un pot à lèvre éversée en bourrelet (Pl. 5 ; Iso 74.10) et deux couvercles à lèvre simple (Pl. 5 ; Iso 74.08) (Couvin 2008). Quant à la céramique commune claire engobée blanc, elle comptabilise une vingtaine de tessons et une cruche à lèvre à double ressaut (Pl. 5 ; Iso 74.09) documentée à Tours sur le site du « Parking Anatole France » durant le II<sup>e</sup> et au début du III<sup>e</sup> siècle de notre ère (Couvin, Delage 2006 : 392). La céramique commune sombre à surface brute ou lustrée recense un pot à lèvre en poulie (Pl. 5 ; similaire Iso 432.02) et une jatte à profil en S (Pl. 5 ; Iso 74.12) attestée dans les contextes régionaux entre la fin du I<sup>er</sup> siècle et le début du III<sup>e</sup> siècle (Couvin 2012 : 159). Quelques fragments de céramique de type « Besançon » ou de son imitation locale sont également

répertoriés avec un pot à lèvres moulurée (Pl. 5 ; Iso 74.05) qui renvoie davantage aux années 15 av. J.-C. à 70 ap. J.-C. (Couvin 2008 : 423).

	NR	NMI
Sigillée du Sud	1	1
C. Fine eng. De type «Beuvray»	3	1
C. Peinte de Roanne	3	1
Terra Nigra du Centre	3	1
Terra Nigra du Centre/Ouest	22	2
C. Enduit rouge pompéien du Centre	2	1
C. Com. Claire Micacée	1	0
C. Com. Claire Brune Orangée	41	5
C. Com. Claire eng. Blanc	22	1
C. Com. Claire eng. Rouge	1	0
C. Com. Brune Val de Loire	11	0
C. Com. Sombre	4	1
C. Com. Sombre Lustrée	4	1
C. Com. Sombre Enfumée	18	0
C. Non Tournée	1	0
C. De type « Besançon »	5	0
C. Imitation De type « Besançon »	3	1
Amphore de Tarraconaise	2	0
Indéterminé	2	1
<b>Total</b>	<b>149</b>	<b>17</b>

Fig. 5 : Distribution des groupes techniques dans l'us 74.

Les rares éléments recueillis lors du nettoyage **US 432** (NR : 5 ; NMI : 3) datent de la fin du II<sup>e</sup> siècle et du courant du III<sup>e</sup> siècle de notre ère. Il s'agit d'un fragment de pied annulaire appartenant probablement à une coupe Drag. 37 en sigillée du Centre de la Gaule (Pl. 4 ; Iso 432.01). Les caractéristiques techniques de la pâte sont attribuables aux productions des phases 7/8 des ateliers lézoviens (Brulet et al. 2010 : 95107). On reconnaît également un pot à lèvres en poulie en céramique commune sombre (Pl. 4 ; Iso 432.02). Cette variante est similaire aux exemplaires inventoriés entre 40 et 120 ap. J.-C. (Couvin 2012 : 154).

## V / Bas-Empire

Seulement un fait et trois niveaux de nettoyage sont attribués au Bas-Empire (Total NR : 45 ; Total NMI : 8).

La fosse **F. 397** (NR : 20 ; NMI : 6) a livré de nombreux tessons résiduels datant du Haut-Empire mais aussi plusieurs formes en céramique commune sombre renvoyant aux IV<sup>e</sup> et V<sup>e</sup> siècles de notre ère. Il s'agit de deux pots à lèvres en poulie (Pl. 6 ; Iso 397.452.01 et 02) et d'un couvercle à collerette (Pl. 6 ; Iso 397.452.03) attestés dans plusieurs contextes à Tours (Bébién 2005 : 332334).

Le nettoyage **US 414** (NR : 17) compte un fragment de céramique commune sombre à pâte kaolinique attribuable au Bas-Empire. L'**US 421** (NR : 4 ; NMI : 2) recense des restes du Haut-Empire dont un bord de pot *camulodunum* 102 (Pl. 6 ; Iso 421.01) mais aussi un fond plat en céramique



commune sombre grossière que l'on peut dater du Bas-Empire. Il en va de même pour le nettoyage **US 449** (NR : 4) où l'on observe des tessons de céramique commune sombre grossière.

## Conclusion

Les fragments recueillis lors de ce diagnostic renvoient largement à la Protohistoire et à l'Antiquité. On a pu observer quelques restes datant de la Protohistoire ancienne, de La Tène Moyenne et de La Tène ancienne (Fig. 1 et 2) attestant d'occupations de cette période dans l'emprise du diagnostic. La majorité des indices sont, cependant, attribuables au Haut-Empire avec la construction et l'occupation d'une *villa*, son réseau parcellaire fossoyé ainsi qu'un petit atelier métallurgique situé à proximité. Les niveaux précédents l'installation du bâti antique semblent dater de la période augustéenne (15 av. J.-C. à 20 ap. J.-C.) et plaident pour une construction précoce au début du 1<sup>er</sup> siècle de notre ère. Des aménagements et des réfections interviennent, par la suite, aux cours des siècles suivants. De rares éléments suggèrent une continuité de l'occupation jusqu'au Bas-Empire.

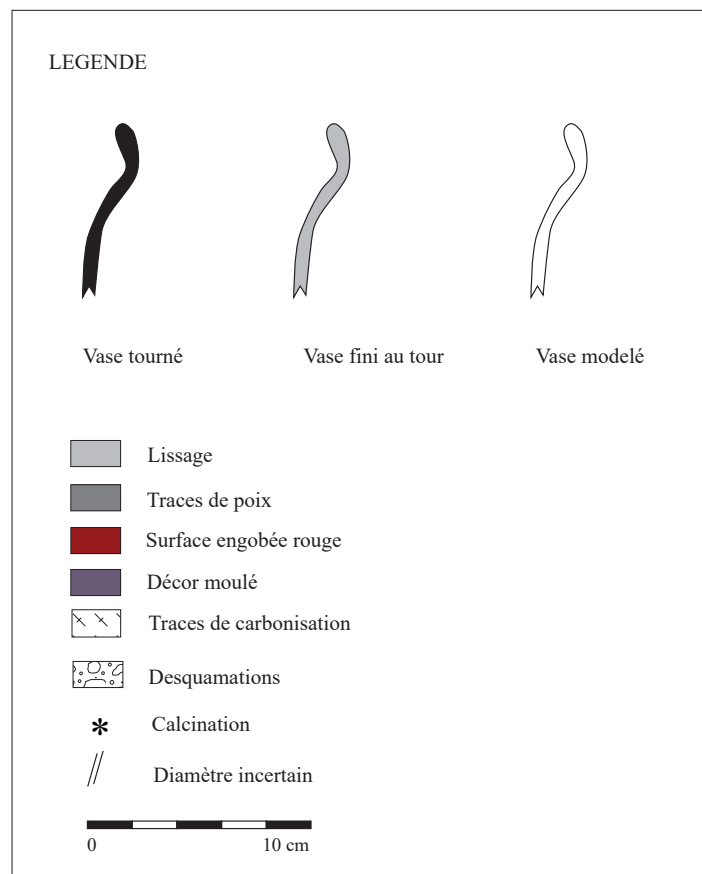
Le répertoire typologique observé demeure caractéristique des ensembles domestiques turons (Couvin 2005 ; 2008 ; 2012). Les formes identifiées sont attestées au sein des productions des différents ateliers connus sur le territoire comme ceux de Mougon à Cruzilles (Schweitz et al. 1986 ; Barthélemy-Sylvand 2013), d'Amboise (Cinçon 2012) et de Thésée-Pouillé (Cadalen-Lesieur 2005). Bien qu'il s'agisse en majorité de céramique produite de manière locale ou régionale (86 % du NR et 76 % du NMI), on note également la présence de céramiques importées de Gaule (8 % du NR et 20 % du NMI) ou du bassin méditerranéen (2 % du NR et 1 % du NMI). On constate une certaine variété dans l'approvisionnement notamment en ce qui concerne la vaisselle destinée au service ainsi que les amphores de grand commerce. On a pu recenser des fragments de sigillée issus des officines du Sud et du Centre de la Gaule. Pour la céramique fine, on compte des vases provenant des officines de Gaule centrale ou bien de Lyon. Quant aux amphores, on a pu observer des emballages provenant de la péninsule Italique, de Bétique, de Tarraconaise et de Narbonnaise. L'approvisionnement du site révèle donc des liens commerciaux avec la région de Lyon, le Sud et le Centre de la Gaule ainsi qu'avec les provinces italiques et hispaniques. Le site est, en effet, situé à moins de 5km de la voie antique Tours-Poitiers ainsi que du point de franchissement de la vallée de l'Indre. La céramique fine ou semi-fine d'origine régionale ou importée cumule, par ailleurs, 12 % du NR et 23 % du NMI. Il s'agit de différentes productions de sigillée, de céramique fine et de *Terra Nigra*. Les restes observés sont, par ailleurs, compatibles avec des rejets détritiques d'origine domestique. Bien que les récipients dédiés au stockage et au transport présentent un certain déficit (11 % du NMI), on constate que le répertoire typologique des formes montre une répartition relativement équilibrée entre la céramique culinaire (30 % du NMI) ainsi que la vaisselle de service et de présentation (29 % du NMI). 29 % des individus demeurent, toutefois, indéterminés à cause de la fragmentation du mobilier.

Malgré le biais du diagnostic, le corpus céramique corrélé à la nature du site suggère un certain niveau de vie. C'est ce que l'on peut attendre de ce type d'habitat et qui présage de la richesse de cette occupation ainsi que de son potentiel scientifique. On peut le rapprocher de plusieurs sites turons notamment de la *villa* de « Montison » à Sorigny (Poitevin 2014) et de la *villa* du « Tiron » à Saint-Patrice (Guiot, Raux 2003) ainsi que des établissements ruraux des « Béziaux » à Langeais (Guiot 2002) et de « La Roche-Deniau » à Parçay-Meslay (Fouillet, Lusson 2015).

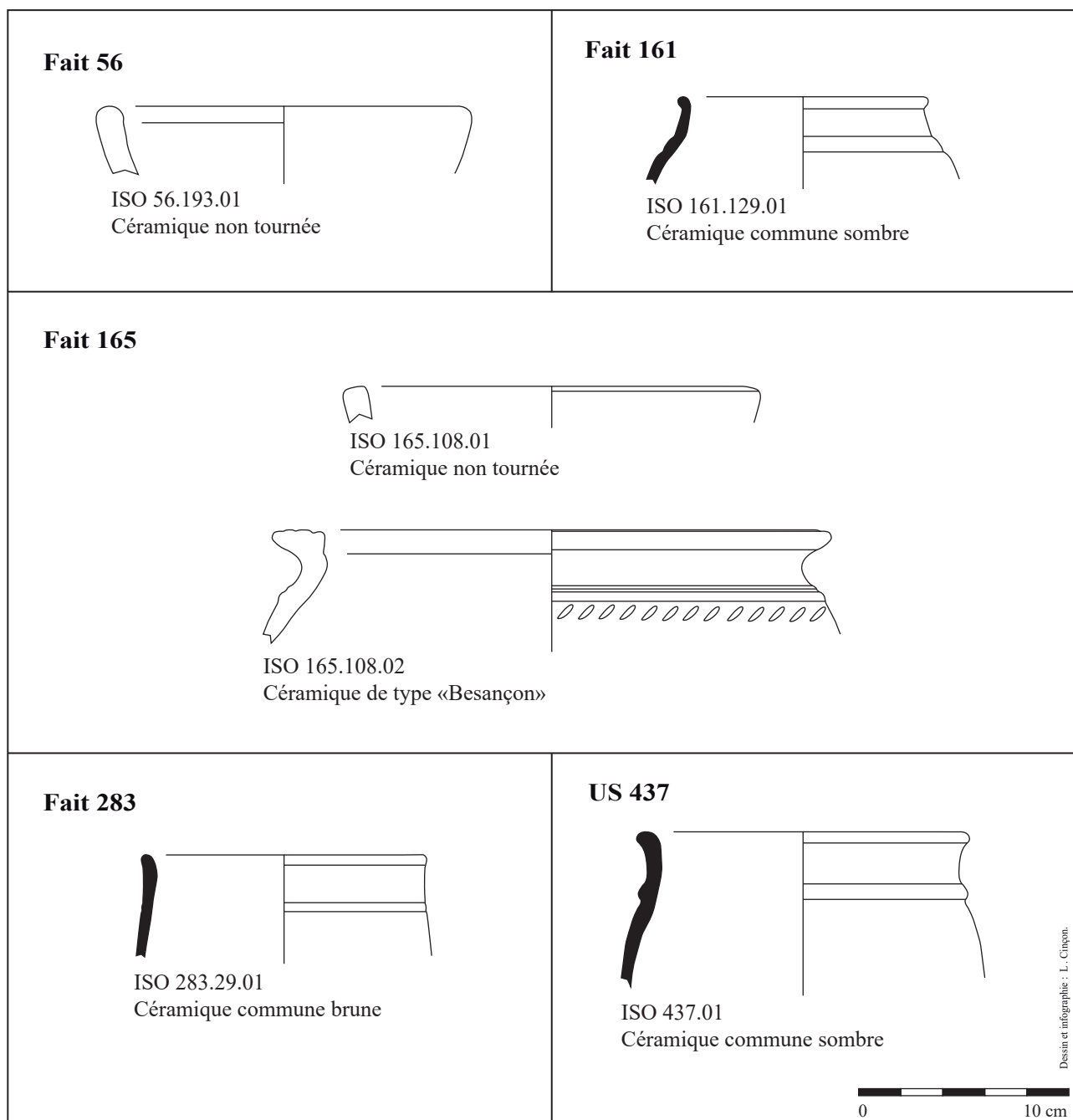
## Bibliographie

- Arcelin, Tuffreau-Libre 1998** : Patrice ARCELIN, Marie TUFFREAU-LIBRE (dir.), *La quantification des céramiques, conditions et protocole, Actes de la table-ronde du Centre archéologique du Mont-Beuvray (7–9 avril 1998)*, Glux-en-Glenne : s.n., coll. « Bibracte », 2.
- Bébien 2005** : BÉBIEN C., « Etude préliminaire de la céramique de l'Antiquité tardive à Tours (Indre-et-Loire) : l'exemple du château », in Lucien RIVET (dir.), *Actes du Congrès de Blois*, Marseille : SFÉCAG, pp. 323336.
- Bet et al. 1989** : BET P., FENET A., MONTINERI D., « La typologie de la sigillée lisse de Lezoux, Ier-IIIe s., considérations et formes inédites », in Lucien RIVET (dir.), *Actes du Congrès de Lezoux*, Marseille : SFÉCAG, pp. 3754.
- Bet, Gras 1999** : BET P., GRAS D., « Parois fines engobées et céramique métallescente de Lezoux », in Raymond BRULET, Robin SYMONDS, Fabienne VILVORDER (dir.), *Actes du colloque organisé à Louvain-la-Neuve (18 mars 1995), Céramiques engobées et métallescentes gallo-romaines*, vol. 8e supplément, Oxford : Rei Cretariae Romanae Fautorum acta, pp. 1338.
- Brulet et al. 2010** : BRULET R., VILVORDER F., DELAGE R., *La céramique romaine en Gaule du Nord, dictionnaire des céramiques, la vaisselle à large diffusion*, Belgique : Brepols.
- Cadalen-Lesieur 2005** : CADALEN-LESIEUR J., « La céramique gallo-romaine sur le site de Thésée-Pouillé (Loir-et-Cher) », in Lucien RIVET (dir.), *Actes du Congrès de Blois*, Marseille : SFÉCAG, pp. 205244.
- Couderc, Laruzac 2018** : Agnès COUDERC, Jean-Marie LARUZAC (dir.), *Des établissements laténiens et gallo-romains sur le plateau de Tours Nord (Indre-et-Loire) : les fouilles de « Champ Chardon » et du « Tramway »*, 69e supplément à la RACF, Tours : FERACF.
- Couvin 2005** : COUVIN F., « Premier aperçu de la céramique du Val de Loire au Ier s. de notre ère, au regard de fouilles récentes des secteurs d'Orléans, Blois et Tours », in Lucien RIVET (dir.), *Actes du Congrès de Blois*, Marseille : SFÉCAG, pp. 99138.
- Couvin 2008** : COUVIN F., « La céramique du Val de Loire au Ier s. de notre ère (seconde partie) », in Lucien RIVET (dir.), *Actes du Congrès de l'Escala-Empúries*, Marseille : SFÉCAG, pp. 401436.
- Couvin 2012** : COUVIN F., « Céramiques culinaires du Val de Loire au Haut-Empire (Ie-IIIe s.) », in Lucien RIVET (dir.), *Actes du Congrès de Poitiers*, Marseille : SFÉCAG, pp. 149166.
- Couvin, Delage 2006** : COUVIN F., DELAGE R., « Un dépotoir du Ie siècle à Caesarodunum (Tours, Indre-et-Loire) », in Lucien RIVET (dir.), *Actes du Congrès de Pézenas*, Marseille : SFÉCAG, pp. 381410.
- Di Napoli, Lusson 2011** : DI NAPOLI F., LUSSON D., « Deux occupations rurales de La Tène ancienne à Sainte-Maure-de-Touraine, Les Chauffeaux (Indre-et-Loire) », *RACF*, 50, pp. 109174.
- Fouillet, Lusson 2015** : FOUILLET N., LUSSON D., « Deux établissements ruraux gaulois et gallo-romains du territoire des Turons : « La Roche Deniau » à Parçay-Meslay et « La Cave Blanchette » à Monnaie (Indre-et-Loire) », in Alain FERDIÈRE (dir.), *Établissements ruraux laténiens et gallo-romains du centre de la Gaule - 1*, vol. 57e supplément à la RACF, Tours : FERACF, pp. 109202.
- Grand 1995** : GRAND K., « Le répertoire décoratif de la céramique peinte gallo-romaine de Roanne (Loire) », *RACF*, 34, pp. 177194.
- Guiot 2002** : Thibaud GUIOT (dir.), *L'établissement antique des "Béziaux" à Langeais (Indre-et-Loire)*, DFS de fouille préventive, Orléans : SRA Centre.



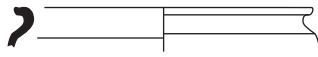
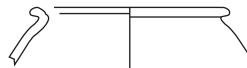


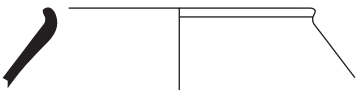
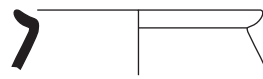
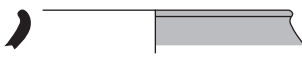
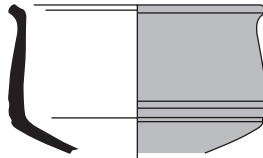
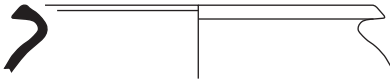
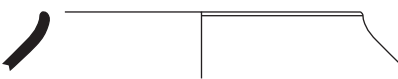



- Guiot, Raux 2003** : GUIOT T., RAUX S., « La villa gallo-romaine de “Tiron” à Saint-Patrice (Indre-et-Loire) », *RACF*, 42, pp. 121167.
- Laruaz 2017** : Jean-Marie LARUAZ (dir.), *Amboise (37), Réserve de la « Butte de César », campagne 2016*, Rapport de fouille archéologique programmée, Orléans : SRA Centre.
- Passelac, Vernhet 1993** : PASSELAC M., VERNHET A., « Céramique sigillée sud-gauloise », in Michel PY (dir.), *Dictionnaire des céramiques antiques en Méditerranée nord-occidentale (VIIe s. av., VIIe s. ap. J.-C.)*, Lattes : Association pour la Recherche Archéologique en Languedoc Oriental, coll. « Lattara », 6, pp. 569580.
- Poitevin 2014** : Grégory Poitevin (dir.), *LGV SEA, Sorigny, Montison, Angoulême-Tours*, Rapport de fouille archéologique préventive, Orléans : SRA Centre.
- Raux 2005** : RAUX S., « Approche chrono-typologique de la céramique du IIe siècle et du début du IIIe siècle après J.-C. à Tours », in Lucien RIVET (dir.), *Actes du Congrès de Blois*, Marseille : SFÉCAG, pp. 177204.
- Raynaud 1993** : RAYNAUD C., « Amphores de Tarraconaise », in Michel PY (dir.), *Dictionnaire des céramiques antiques en Méditerranée nord-occidentale (VIIe s. av., VIIe s. ap. J.-C.)*, Lattes : Association pour la Recherche Archéologique en Languedoc Oriental, coll. « Lattara », 6, pp. 8385.
- Riquier 2005** : RIQUIER S., « Evolution des répertoires céramiques à Orléans/Cenabum (Loiret), entre la fin du IIe siècle avant J.-C. et l'époque augustéenne : aperçu préliminaire », in Lucien RIVET (dir.), *Actes du Congrès de Blois*, Marseille : SFÉCAG, pp. 2138.
- Sellès 2001** : SELLÈS H., *Céramiques gallo-romaines à Chartres et en Pays Carnute, Catalogue typologique, Étude sur Chartres*, 16e supplément à la RACF, Chartres : FERACF.



Légende des planches

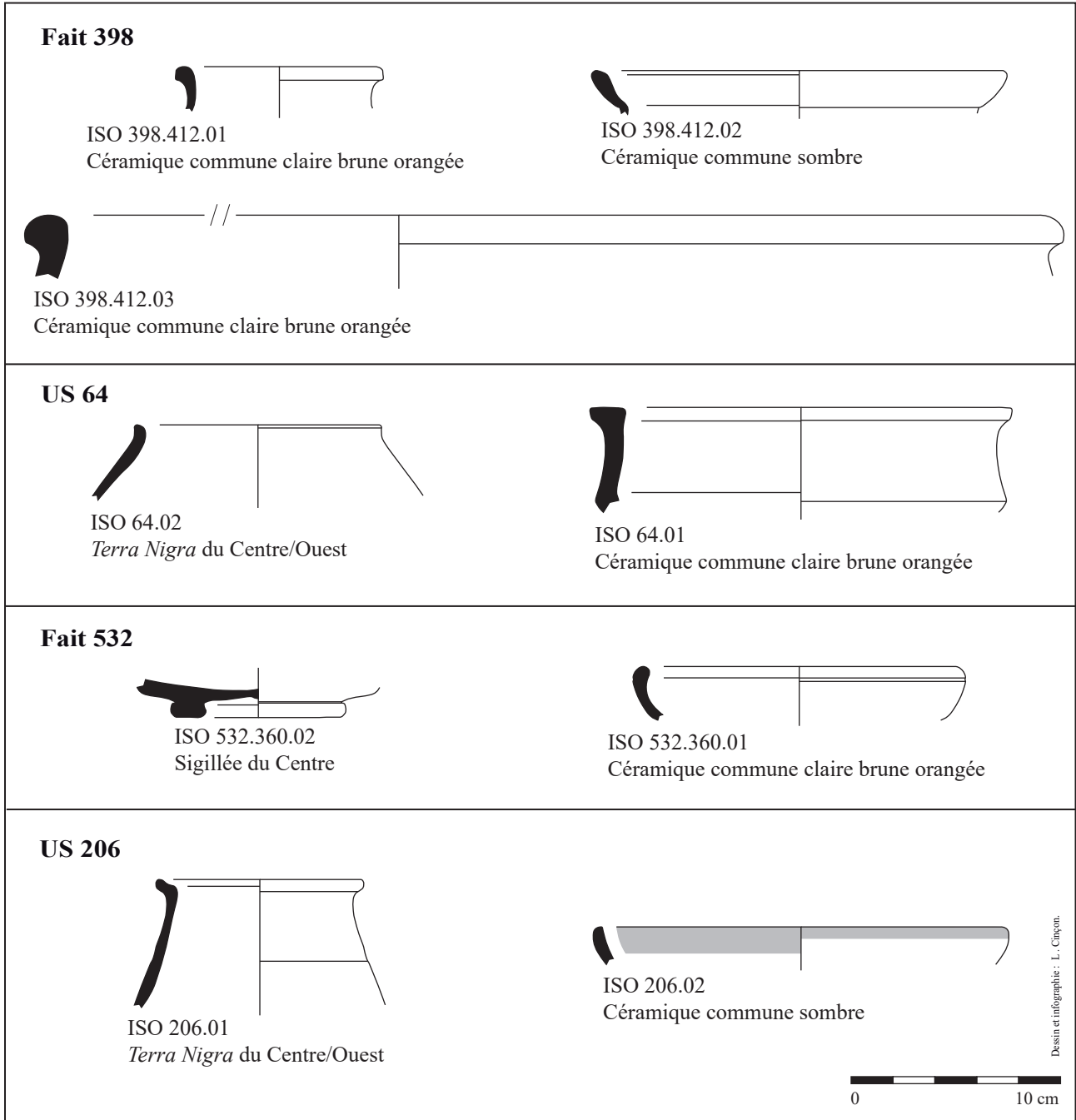


Pl. 1 : Céramiques datant de La Tène Moyenne et de La Tène Finale (SORIGNY Zac Isoparc (Netilly)).

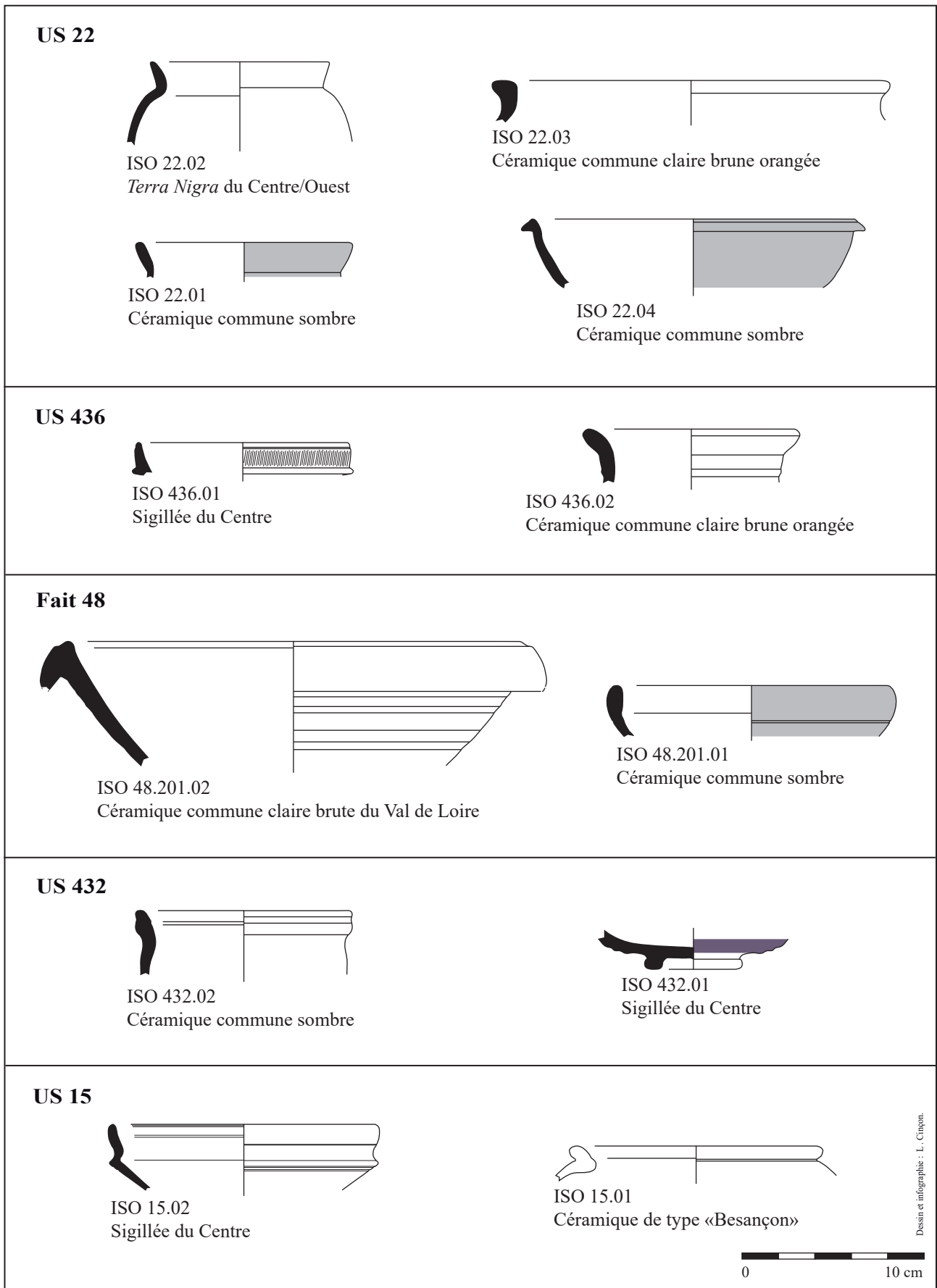
<p><b>Fait 211</b></p>  <p>ISO 211.61.01 Céramique à enduit rouge pompéien du Centre</p>	<p><b>US 404</b></p>  <p>ISO 404.01 <i>Terra Nigra</i> du Centre/Ouest</p>
<p><b>Fait 77</b></p>  <p>ISO 77.114.01 Céramique commune claire brune orangée</p>	<p><b>Fait 453</b></p>  <p>ISO 453.375.01 Céramique de type «Besançon»</p>
<p><b>US 377</b></p>  <p>ISO 377.01 Céramique commune claire brune orangée</p>  <p>ISO 377.02 Céramique commune claire brune orangée</p>	
<p><b>Fait 372</b></p>  <p>ISO 372.72.01 <i>Terra Nigra</i> du Centre/Ouest</p>	<p><b>US 67</b></p>  <p>ISO 67.01 Céramique fine engobée de type «Beuvray»</p>
 <p>ISO 67.02 Céramique commune sombre enfumée</p>	 <p>ISO 67.03 Céramique commune sombre enfumée</p>
<p><b>Fait 501</b></p>  <p>ISO 501.282.01 Céramique commune sombre</p>	
<p><b>Fait 37</b></p>  <p>ISO 37.203.01 <i>Terra Nigra</i> du Centre/Ouest</p>	<p><b>Fait 34</b></p>  <p>ISO 34.215.02 Céramique commune claire brune orangée</p>
 <p>ISO 34.215.01 Céramique commune claire brune orangée</p> <div style="text-align: right;">  <p>0 10 cm</p> </div>	

Desin et infographie : L. Cluon.

Pl. 2 : Céramiques provenant des ensembles datés du Haut-Empire (SORIGNY Zac Isoparc (Netilly)).



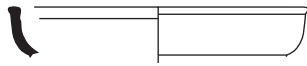
Pl. 3 : Céramiques provenant des ensembles datés du Haut-Empire (SORIGNY Zac Isoparc (Netilly)).



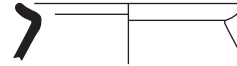
Desin et infographie : L. Clapon.

Pl. 4 : Céramiques provenant des ensembles datés du Haut-Empire (SORIGNY Zac Isoparc (Netilly)).

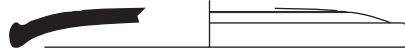
**US 74**



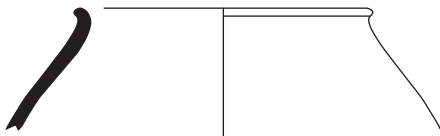
ISO 74.01  
Sigillée du Sud



ISO 74.02  
Céramique fine engobée de type «Beuvray»



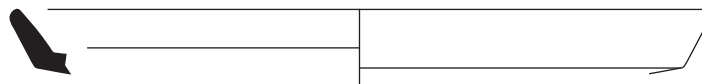
ISO 74.03  
Céramique à enduit rouge pompéien du Centre



ISO 74.11  
*Terra Nigra* du Centre/Ouest



ISO 74.04  
Céramique peinte de Roanne



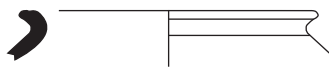
ISO 74.06  
*Terra Nigra* du Centre



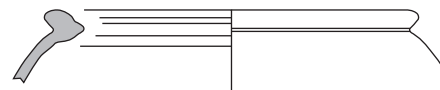
ISO 74.10  
Céramique commune claire brune orangée



ISO 74.09  
Céramique commune claire eng. blanc



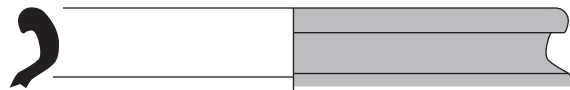
ISO 74.07  
Céramique commune claire brune orangée



ISO 74.05  
Céramique imitation «Besançon»



ISO 74.08  
Céramique commune claire brune orangée



ISO 74.12  
Céramique commune sombre

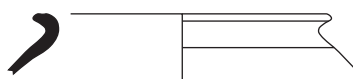


Desin et infographie : L. Chénon

Pl. 5 : Céramiques provenant de l'US 74 (Haut-Empire) (SORIGNY Zac Isoparc (Netilly)).



## US 421



ISO 421.01  
Céramique commune claire brune orangée

## Fait 397



ISO 397.452.01  
Céramique commune sombre



ISO 397.452.02  
Céramique commune sombre



ISO 397.452.03  
Céramique commune sombre

0 10 cm

Dessin et infographie : L. Cunyon.

Pl. 6 : Céramiques provenant des ensembles datés du Bas-Empire (SORIGNY Zac Isoparc (Netilly)).

### Glossaire de l'inventaire général (pages suivantes)

CC	céramique Commune
CCB	céramique Com. Cl. Brune
CCBO	céramique Commune Claire Brune Orangé
CF	céramique fine
CNT	céramique non tournée
CS	céramique commune sombre
CSE	céramique Com. Somb. Enfumée
PBVL	céramique Pâte Brune Val de Loire

Lot	Fait	Sd	US	Isol.	GT	Production	Forme	Fonction	NR	NMI	DESSIN	Etat de conservation	remarques	DATAION (éléments)	DATAION (ensembles)
102.1	1		1		CCBO	Prod. Locale/Régionale	Indéterminée	Indéterminée	2	0		Moyen		Haut-Empire	Haut-Empire
102.2	1		1		CCBO_grossière	Prod. Locale/Régionale	Indéterminée	Indéterminée	2	0		Moyen		Haut-Empire	Haut-Empire
102.3	1		1		CSE	Prod. Locale/Régionale	Indéterminée	Indéterminée	1	0		Mauvais	surf. Altérée	LTF/GR précoce	Haut-Empire
58.1	3		9		CS	Prod. Locale/Régionale	Indéterminée	Indéterminée	1	0		Moyen		Haut-Empire	Haut-Empire
58.2	3		9		Indéterminé	Indéterminée	Indéterminée	Indéterminée	2	0		Mauvais	éclat / calciné	GR	Haut-Empire
98.1	11	3	70		CC eng. Blanc	Prod. Locale/Régionale	Indéterminée	Indéterminée	1	0		Moyen	engobe altéré	Haut-Empire	*-15/70
98.2	11	3	70		CCBO	Prod. Locale/Régionale	Indéterminée	Indéterminée	1	0		Moyen		Haut-Empire	*-15/70
98.3	11	3	70		Besançon	Imp. Gauloise	Indéterminée	Indéterminée	1	0		Moyen		*-15/70	*-15/70
116.1	14		440		CCBO	Prod. Locale/Régionale	Indéterminée	Indéterminée	2	0		Moyen	surf. Altérée	Haut-Empire	Haut-Empire
59.1	15		43		CCBO	Prod. Locale/Régionale	Indéterminée	Indéterminée	7	0		Moyen	fragmenté / surf. Altérée	Haut-Empire	Haut-Empire
59.2	15		43		Indéterminé	Indéterminée	Indéterminée	Indéterminée	1	0		Mauvais	surf. Altérée / émoussé / calciné	Indéterminée	Haut-Empire
25.1	34		215		CC-Micacée	Prod. Régionale	Indéterminée	Indéterminée	1	0		Moyen		Haut-Empire	40/120
25.2	34		215		CCBO	Prod. Locale/Régionale	Dolium à lèvres ronde	Stockage et Transport	2	1	Iso 34.215.01	Moyen		Haut-Empire	40/120
25.3	34		215		CCBO	Prod. Locale/Régionale	Jatte à lèvres aplatie sur la panse	Culinaire	1	1	Iso 34.215.02	Moyen	traces de feu	40/120	40/120
90.1	37	7	203		CNT_grossière	Prod. Locale/Régionale	Indéterminée	Indéterminée	3	0		Moyen		LTF/GR précoce	40/120
90.2	37	7	203		CC-Micacée	Prod. Régionale	Indéterminée	Indéterminée	1	0		Moyen	surf. Altérée	Haut-Empire	40/120
90.3	37	7	203		CC eng. Blanc	Prod. Locale/Régionale	Indéterminée	Indéterminée	1	0		Mauvais	engobe altéré	Haut-Empire	40/120
90.4	37	7	203		Terra Nigra du Centre	Imp. Gauloise	Indéterminée	Service et présentation	1	0		Moyen	émoussé	*-15/120	40/120
90.5	37	7	203		Terra Nigra du Centre/Ouest	Prod. Régionale	Coupe Menez 130	Service et présentation	4	1	Iso 37.203.01	Moyen		*-15/120	40/120
34.1	44		422		PBVL	Prod. Locale/Régionale	Indéterminée	Indéterminée	1	0		Mauvais	surf. Altérée / émoussé	LTF/GR précoce	Haut-Empire
34.2	44		422		CCBO	Prod. Locale/Régionale	Indéterminée	Indéterminée	2	0		Moyen		Haut-Empire	Haut-Empire
34.3	44		422		CS	Prod. Locale/Régionale	Indéterminée	Indéterminée	2	1		Moyen	1 fond plat	Haut-Empire	Haut-Empire
34.4	44		422		Indéterminé	Indéterminée	Indéterminée	Indéterminée	1	0		Mauvais	émoussé / calciné	Indéterminée	Haut-Empire

Lot	Fait	Sd	US	Isol.	GT	Production	Forme	Fonction	NR	NMI	DESSIN	Etat de conservation	remarques	DATELATION (éléments)	DATELATION (ensembles)
13.1	48		201		PBVL	Prod. Locale/Régionale	Indéterminée	Indéterminée	1	0		Moyen	surf. Altérée	LTF/GR précoce	Ile/IIIe siècle
13.2	48		201		CS_Lustrée	Prod. Locale/Régionale	Marmite à bord rentrant	Culinaire	1	1	Iso 48.201.01	Moyen		Ile/IIIe siècle	Ile/IIIe siècle
13.3	48		201		CC Brute Val de Loire (Coulanges)	Imp. Gauloise	Mortier à lèvre en collerette	Culinaire	1	1	Iso 48.201.02	Moyen	passage au feu ?	Ile/IIIe siècle	Ile/IIIe siècle
86.1	56		193		CNT	Prod. Locale/Régionale	Jatte tronconique	Culinaire	4	1	Iso 56.193.01	Moyen	traces de feu	LTM	-400/-200
191.1	56		194		CNT	Prod. Locale/Régionale	Indéterminée	Indéterminée	3	0		Mauvais	surf. Altérée / émoussé	LTM	-400/-200
5.1	57		188		CNT	Prod. Locale/Régionale	Indéterminée	Indéterminée	1	0		Mauvais	surf. Altérée / émoussé	Proto ind	Proto ind
30.1	77		114		Imit_Besançon	Prod. Locale/Régionale	Indéterminée	Indéterminée	1	1		Moyen	1 fond plat / traces de feu	*-15/70	*-15/70
30.2	77		114		CS	Prod. Locale/Régionale	Pot à lèvre éversée	Culinaire	6	1		Moyen	trop fragmenté pour le dessin / 1 fond plat	Haut-Empire	*-15/70
30.3	77		114		Terra Nigra du Centre/Ouest	Prod. Régionale	Coupe Menez 130	Service et présentation	7	1		Mauvais	surf. Altérée / fragmenté	*-15/120	*-15/70
30.4	77		114		Indéterminé	Indéterminée	Indéterminée	Indéterminée	3	0		Mauvais	surf. Altérée / émoussé / calciné	GR	*-15/70
30.5	77		114		CCBO	Prod. Locale/Régionale	Pot canulodunum 102	Culinaire	23	1	Iso 77.114.01	Moyen	surf. Altérée / fragmenté	*-15/70	*-15/70
31.1	80		93		CCBO	Prod. Locale/Régionale	Indéterminée	Indéterminée	1	0		Mauvais	surf. Altérée / émoussé	Haut-Empire	Haut-Empire
31.2	80		93		CSE	Prod. Locale/Régionale	Indéterminée	Indéterminée	1	0		Moyen		LTF/GR précoce	Haut-Empire
2.1	82		54		CC Micacée	Prod. Régionale	Indéterminée	Indéterminée	4	0		Moyen	surf. Altérée	Haut-Empire	*-15/70
2.2	82		54		CC eng. Blanc	Prod. Locale/Régionale	Indéterminée	Indéterminée	4	1		Mauvais	engobe altéré / anse	Haut-Empire	*-15/70
2.3	82		54		CCBO	Prod. Locale/Régionale	Indéterminée	Indéterminée	3	2		Moyen	1 fond plat / 1 fond annulaire	Haut-Empire	*-15/70
2.4	82		54		PBVL	Prod. Locale/Régionale	Indéterminée	Indéterminée	1	0		Moyen	desquamations internes	LTF/GR précoce	*-15/70
2.5	82		54		Besançon	Imp. Gauloise	Pot à lèvre moulurée	Culinaire	1	1		Moyen	trop fragmenté pour le dessin	*-15/70	*-15/70
2.6	82		54		Indéterminé	Indéterminée	Indéterminée	Indéterminée	1	0		Mauvais	surf. Altérée / émoussé	Indéterminée	*-15/70
42.1	82		54		Amphore de Tarraconaise	Imp. Méditerranée	Indéterminée	Stockage et Transport	3	0		Moyen		*-50/50	*-15/70
42.2	82		54		Amphore Indéterminée	Indéterminée	Indéterminée	Stockage et Transport	1	0		Moyen		Indéterminée	*-15/70
117.1	85		441		CSE	Prod. Locale/Régionale	Indéterminée	Indéterminée	3	0		Moyen	émoussé	LTF/GR précoce	*-150/20

Lot	Fait	Sd	US	Isol.	GT	Production	Forme	Fonction	NR	NMI	DESSIN	Etat de conservation	remarques	DATAION (éléments)	DATAION (ensembles)
118.1	87		51		CCBO	Prod. Locale/ Régionale	Indéterminée	Indéterminée	3	0		Moyen	émoussé	Haut-Empire	Haut-Empire
64.1	88		49		CCBO	Prod. Locale/ Régionale	Indéterminée	Indéterminée	1	0		Mauvais	surf. Altérée / émoussé	Haut-Empire	Haut-Empire
15.1	89		86		CNT	Prod. Locale/ Régionale	Indéterminée	Indéterminée	2	0		Mauvais	surf. Altérée / émoussé	Proto ind	Proto ind
63.1	91		116		Besançon	Imp. Gauloise	Indéterminée	Indéterminée	3	0		Moyen		*-120/70	*-150/70
119.1	129		75		CCBO	Prod. Locale/ Régionale	Indéterminée	Indéterminée	1	0		Moyen	fragmenté	Haut-Empire	Haut-Empire
94.1	132		244		CNT	Prod. Locale/ Régionale	Indéterminée	Indéterminée	2	0		Mauvais	émoussé / fragmenté	Proto ind	Proto ind
83.1	161		129		CSE	Prod. Locale/ Régionale	Indéterminée	Indéterminée	2	0		Moyen		LTF/GR précoce	*-150/-80
83.2	161		129		CSE_Lustrée	Prod. Locale/ Régionale	Indéterminée	Indéterminée	1	0		Moyen		LTF/GR précoce	*-150/-80
83.3	161		129		CS	Prod. Locale/ Régionale	Pot à baguettes	Service et Présentation/ Stockage	1	1	Iso 161.129.01	Moyen	décors de baguettes qui tendent à disparaître à LTD2a	*-150/-80	*-150/-80
44.1	165		108		CNT	Prod. Locale/ Régionale	Indéterminée	Indéterminée	1	0		Mauvais	surf. Altérée / émoussé	LTF/GR précoce	*-150/-60
44.2	165		108		CSE	Prod. Locale/ Régionale	Indéterminée	Indéterminée	4	0		Mauvais	surf. Altérée / émoussé	LTF/GR précoce	*-150/-60
44.3	165		108		Besançon	Imp. Gauloise	Petite jarre à lèvres plate moulurée	Stockage et Transport	1	1	Iso 165.108.02	Moyen	décor incisions sur l'épaulement qui disparaissent à LTD2b	*-150/-60	*-150/-60
44.4	165		108		Indéterminé	Indéterminée	Indéterminée	Indéterminée	4	0		Mauvais	surf. Altérée / émoussé / calciné	Indéterminée	*-150/-60
190.1	165		108		CNT	Prod. Locale/ Régionale	Jatte troncon- nique	Culinaire	4	1	Iso 165.108.01	Mauvais	surf. Altérée	LTM/LTF	*-150/-60
19.1	171		109		CNT	Prod. Locale/ Régionale	Indéterminée	Indéterminée	2	0		Mauvais	surf. Altérée / émoussé	Proto ind	Proto ind
49.1	193		39		CCBO	Prod. Locale/ Régionale	Indéterminée	Indéterminée	1	0		Moyen	surf. Altérée	Haut-Empire	Haut-Empire
79.1	211	3	61		PBVL	Prod. Locale/ Régionale	Indéterminée	Indéterminée	1	0		Moyen		LTF/GR précoce	Haut-Empire
79.2	211	3	61		CS	Prod. Locale/ Régionale	Indéterminée	Indéterminée	2	0		Moyen		Haut-Empire	Haut-Empire
79.3	211	3	61		ERP Centre	Imp. Gauloise	Couvercle	Culinaire	1	1	Iso 211.61.01	Moyen	vernis altéré	Haut-Empire	Haut-Empire
6.1	245		3		CC eng. Blanc	Prod. Locale/ Régionale	Indéterminée	Indéterminée	2	1		Moyen	engobe altéré / anse	Haut-Empire	Haut-Empire
6.2	245		3		CNT	Prod. Locale/ Régionale	Indéterminée	Indéterminée	1	0		Mauvais	surf. Altérée / émoussé	Proto ind	Haut-Empire
53.1	276		11		CC eng. Blanc	Prod. Locale/ Régionale	Indéterminée	Indéterminée	1	0		Moyen	engobe altéré	Haut-Empire	Haut-Empire

Lot	Fait	Sd	US	Isol.	GT	Production	Forme	Fonction	NR	NMI	DESSIN	Etat de conservation	remarques	DATAION (éléments)	DATAION (ensembles)
108.1	283	2	29		CCB	Prod. Locale/ Régionale	Gobelet tonnet	Service et présentation	1	1	Iso 283.29.01	Moyen		*-150/-80	*-150/-80
8.1	285	3	68		CCBO	Prod. Locale/ Régionale	Indéterminée	Indéterminée	2	0		Moyen		Haut-Empire	*-15/120
8.2	285	3	68		Terra Nigra du Centre/Ouest	Prod. Régionale	Indéterminée	Service et présentation	1	0		Moyen		*-15/120	*-15/120
8.3	285	3	68		PBVL	Prod. Locale/ Régionale	Indéterminée	Indéterminée	1	0		Mauvais	surf. Altérée / émoussé	LTF/GR précocce	*-15/120
107.1	371		59		CSE_Lustrée	Prod. Locale/ Régionale	Indéterminée	Indéterminée	1	0		Moyen		LTF/GR précocce	70/150
107.2	371		59		Sigillée du Centre	Imp. Gauloise	Indéterminée	Service et présentation	1	0		Mauvais	éclat / vernis altéré	Phase 4/5	70/150
40.1	372	4	17		Indéterminé	Indéterminée	Indéterminée	Indéterminée	2	0		Mauvais	surf. Altérée / émoussé / calciné	GR	*-15/20
55.1	372	3	72		Amphore Italique	Imp. Méditerranée	Indéterminée	Stockage et Transport	4	0		Mauvais	fragmenté / émoussé	*-135/-1	*-15/20
62.1	372	3	72		Terra Nigra du Centre/Ouest	Prod. Régionale	Coupe Menez 130	Service et présentation	1	1	Iso 372.72.01	Moyen	grafito partiel ?	*-15/120	*-15/20
109.1	372	5	72		CCBO	Prod. Locale/ Régionale	Indéterminée	Indéterminée	2	0		Moyen	surf. Altérée	Haut-Empire	*-15/20
109.2	372	5	72		PBVL	Prod. Locale/ Régionale	Indéterminée	Indéterminée	8	0		Mauvais	surf. Altérée / émoussé	LTF/GR précocce	*-15/20
109.3	372	5	72		CNT	Prod. Locale/ Régionale	Indéterminée	Indéterminée	2	0		Moyen		LTF/GR précocce	*-15/20
109.4	372	5	72		CSE	Prod. Locale/ Régionale	Indéterminée	Indéterminée	3	0		Moyen		LTF/GR précocce	*-15/20
109.5	372	5	72		CSE_Lustrée	Prod. Locale/ Régionale	Indéterminée	Indéterminée	2	0		Moyen		LTF/GR précocce	*-15/20
109.6	372	5	72		Terra Nigra du Centre	Imp. Gauloise	Indéterminée	Service et présentation	1	0		Moyen	décor de baguettes	*-40/120	*-15/20
10.1	384		386		CCBO	Prod. Locale/ Régionale	Indéterminée	Indéterminée	4	1		Moyen	1 pied tripode / traces de feu	Haut-Empire	Haut-Empire
91.1	385		266		CCBO	Prod. Locale/ Régionale	Indéterminée	Indéterminée	2	0		Moyen	émoussé	Haut-Empire	Haut-Empire
91.2	385		266		CC eng. Blanc	Prod. Locale/ Régionale	Indéterminée	Indéterminée	1	0		Moyen	engobe altéré	Haut-Empire	Haut-Empire
91.3	385		266		CS	Prod. Locale/ Régionale	Indéterminée	Indéterminée	1	0		Mauvais	émoussé	Haut-Empire	Haut-Empire
91.4	385		266		PBVL	Prod. Locale/ Régionale	Indéterminée	Indéterminée	1	0		Mauvais	émoussé	LTF/GR précocce	Haut-Empire
91.5	385		266		CNT	Prod. Locale/ Régionale	Indéterminée	Indéterminée	1	0		Mauvais	émoussé / fragmenté	LTF/GR précocce	Haut-Empire
45.1	389		240		CNT	Prod. Locale/ Régionale	Indéterminée	Indéterminée	27	0		Mauvais	surf. Altérée / émoussé	Proto ancienne	*-2000/-400

Lot	Fait	Sd	US	Isol.	GT	Production	Forme	Fonction	NR	NMI	DESSIN	Etat de conservation	remarques	DATAION (éléments)	DATAION (ensembles)
36.1	397		452		CC Micacée	Prod. Régionale	Indéterminée	Indéterminée	1	0		Moyen		Haut-Empire	IVe/Ve siècle
36.1	397		452		CS	Prod. Locale/Régionale	Pot à lèvre en poulie	Culinaire	2	2	Iso 397.452.01 et 02	Moyen		IVe/Ve siècle	IVe/Ve siècle
36.11	397		452		CS	Prod. Locale/Régionale	Couvercle à collerette	Culinaire	1	1	Iso 397.452.03	Moyen		IVe/Ve siècle	IVe/Ve siècle
36.2	397		452		CCBO	Prod. Locale/Régionale	Indéterminée	Indéterminée	4	0		Moyen		Haut-Empire	IVe/Ve siècle
36.3	397		452		CC eng. Blanc	Prod. Locale/Régionale	Indéterminée	Indéterminée	1	0		Mauvais	engobe altéré	Haut-Empire	IVe/Ve siècle
36.4	397		452		CS	Prod. Locale/Régionale	Indéterminée	Indéterminée	4	0		Moyen		Haut-Empire/Bas-Empire	IVe/Ve siècle
36.5	397		452		Terra Nigra du Centre/Ouest	Prod. Régionale	Indéterminée	Service et présentation	2	1		Moyen	1 pied annulaire	*-15/120	IVe/Ve siècle
36.6	397		452		Indéterminé	Indéterminée	Indéterminée	Indéterminée	2	1		Mauvais	calciné / trop fragmenté pour identification	Indéterminée	IVe/Ve siècle
36.7	397		452		Sigillée du Sud	Imp. Gauloise	Indéterminée	Service et présentation	1	0		Moyen		Haut-Empire	IVe/Ve siècle
36.8	397		452		Sigillée du Centre	Imp. Gauloise	Indéterminée	Service et présentation	1	0		Moyen	vernis altéré	Phase 4	IVe/Ve siècle
36.9	397		452		Sigillée du Centre	Imp. Gauloise	Indéterminée	Service et présentation	1	1		Moyen	1 pied annulaire	Phase 6/7	IVe/Ve siècle
18.1	398		412		CC eng. Blanc	Prod. Locale/Régionale	Indéterminée	Indéterminée	17	0		Moyen	engobe altéré	Haut-Empire	70/120
18.2	398		412		Besançon	Imp. Gauloise	Indéterminée	Indéterminée	1	0		Moyen		*-15/70	70/120
18.3	398		412		CC Micacée	Prod. Régionale	Indéterminée	Indéterminée	10	0		Moyen		Haut-Empire	70/120
18.4	398		412		Terra Nigra du Centre/Ouest	Prod. Régionale	Indéterminée	Service et présentation	3	0		Moyen	fragmenté	*-15/120	70/120
18.5	398		412		CCBO	Prod. Locale/Régionale	Pot à lèvre éversée	Culinaire	6	1	Iso 398.412.01	Moyen	surf. Altérée / fragmenté / traces de feu	40/120	70/120
18.6	398		412		CS	Prod. Locale/Régionale	Pot à lèvre déversée	Culinaire	2	1	Iso 398.412.02	Moyen		70/120	70/120
18.7	398		412		Indéterminé	Indéterminée	Indéterminée	Indéterminée	4	1		Mauvais	surf. Altérée / émoussé / calciné	Indéterminée	70/120
18.8	398		412		CCBO	Prod. Locale/Régionale	Dolium à lèvre ronde	Stockage et Transport	2	1	Iso 398.412.03	Moyen		Haut-Empire	70/120
72.1	442		343		CNT	Prod. Locale/Régionale	Indéterminée	Indéterminée	29	0		Mauvais	surf. Altérée / émoussé	Proto ancienne	*-2000-400
85.1	443		235		Indéterminé	Indéterminée	Indéterminée	Indéterminée	1	0		Mauvais	émoussé / calciné	LTF/GR	*-120/500
110.1	452	10	370		CCBO	Prod. Locale/Régionale	Indéterminée	Indéterminée	3	0		Moyen		Haut-Empire	Haut-Empire
110.2	452	10	370		PBVL	Prod. Locale/Régionale	Indéterminée	Indéterminée	1	0		Moyen		LTF/GR précoce	Haut-Empire

Lot	Fait	Sd	US	Isol.	GT	Production	Forme	Fonction	NR	NMI	DESSIN	Etat de conservation	remarques	DATAION (éléments)	DATAION (ensembles)
110.3	452	10	370		CSE	Prod. Locale/ Régionale	Indéterminée	Indéterminée	3	0		Mauvais	surf. Altérée	LTF/GR précoce	Haut-Empire
56.1	453		375		CCBO	Prod. Locale/ Régionale	Indéterminée	Indéterminée	4	0		Moyen		Haut-Empire	*-15/70
56.2	453		375		CC eng. Blanc	Prod. Locale/ Régionale	Indéterminée	Indéterminée	1	0		Moyen		Haut-Empire	*-15/70
56.3	453		375		CC eng. Rouge_ lustrée	Prod. Locale/ Régionale	Indéterminée	Indéterminée	3	0		Mauvais	fragmenté / engobe altéré	*-15/120	*-15/70
56.4	453		375		CF eng. Beuvray	Imp. Gauloise	Indéterminée	Service et présentation	1	0		Moyen	décor de guillochis	*-15/70	*-15/70
56.5	453		375		CSE	Prod. Locale/ Régionale	Indéterminée	Indéterminée	1	0		Mauvais	surf. Altérée / émoussé / fragmenté	LTF/GR précoce	*-15/70
69.1	453		375		Besançon	Imp. Gauloise	Pot à levre moulurée	Culinaire	5	1	Iso 453.375.01	Moyen		*-15/70	*-15/70
69.2	453		375		CF eng. Blanc	Prod. Régionale	Indéterminée	Service et présentation	2	0		Moyen	engobe altéré	*-15/120	*-15/70
69.3	453		375		CF eng. Beuvray	Imp. Gauloise	Indéterminée	Service et présentation	4	0		Moyen	fragmenté / décor de guillochis	*-15/70	*-15/70
69.4	453		375		CCB	Prod. Locale/ Régionale	Indéterminée	Indéterminée	14	1		Mauvais	surf. Altérée	LTF/GR précoce	*-15/70
69.5	453		375		CC eng. Rouge	Prod. Locale/ Régionale	Indéterminée	Indéterminée	3	0		Moyen	engobe altéré	GR précoce	*-15/70
69.6	453		375		CSE	Prod. Locale/ Régionale	Indéterminée	Indéterminée	13	0		Moyen	fragmenté	LTF/GR précoce	*-15/70
69.7	453		375		Terra Nigra du Centre/Ouest	Prod. Régionale	Indéterminée	Service et présentation	12	0		Moyen		*-15/120	*-15/70
69.8	453		375		CCBO	Prod. Locale/ Régionale	Indéterminée	Indéterminée	14	0		Moyen	fragmenté	Haut-Empire	*-15/70
69.9	453		375		Indéterminé	Indéterminée	Indéterminée	Indéterminée	3	0		Mauvais	émoussé / calciné	Indéterminée	*-15/70
70.1	453		375		CCBO	Prod. Locale/ Régionale	Indéterminée	Indéterminée	2	0		Moyen	émoussé / probablement dolia ou amphores régionales	Haut-Empire	*-15/70
37.1	459		416		CCBO	Prod. Locale/ Régionale	Indéterminée	Indéterminée	1	1		Bon	1 fond plat (probable dolium)	Haut-Empire	Haut-Empire
106.1	466		439		CCBO	Prod. Locale/ Régionale	Indéterminée	Indéterminée	1	0		Mauvais	fragmenté / émoussé	Haut-Empire	*-15/120
106.2	466		439		CC eng. Blanc	Prod. Locale/ Régionale	Indéterminée	Indéterminée	1	0		Moyen	engobe altéré / 1 départ d'anse	Haut-Empire	*-15/120
106.3	466		439		CF eng. Blanc	Prod. Régionale	Indéterminée	Service et présentation	1	0		Mauvais	engobe altéré / fragmenté	*-15/120	*-15/120
154.1	478		451		CCBO	Prod. Locale/ Régionale	Indéterminée	Stockage et Transport	1	1		Moyen	émoussé / fragment d'amphore régionale (départ d'anse)	Haut-Empire	Haut-Empire
155.1	478		451		CNT	Prod. Locale/ Régionale	Indéterminée	Indéterminée	1	0		Mauvais	surf. Altérée / émoussé	Proto ind	Haut-Empire

Lot	Fait	Sd	US	Isol.	GT	Production	Forme	Fonction	NR	NMI	DESSIN	Etat de conservation	remarques	DATAION (éléments)	DATAION (ensembles)
76.1	490		389		CNT	Prod. Locale/ Régionale	Indéterminée	Indéterminée	1	0		Mauvais	surf. Altérée / émoussé	Proto ind	Proto ind
11.1	491		393		CC Micacée	Prod. Régionale	Indéterminée	Indéterminée	3	2		Moyen	surf. Altérée / 2 anses	Haut-Empire	Haut-Empire
11.2	491		393		CCBO	Prod. Locale/ Régionale	Indéterminée	Indéterminée	18	1		Moyen	surf. Altérée / anse	Haut-Empire	Haut-Empire
11.3	491		393		CS	Prod. Locale/ Régionale	Indéterminée	Indéterminée	1	1		Mauvais	surf. Altérée / trop fragmenté pour identification	Haut-Empire	Haut-Empire
11.4	491		393		Indéterminé	Indéterminée	Indéterminée	Indéterminée	1	0		Mauvais	surf. Altérée / émoussé / calciné	GR	Haut-Empire
20.1	497		190		Indéterminé	Indéterminée	Indéterminée	Indéterminée	1	0		Mauvais	surf. Altérée / émoussé / calciné	GR	GR
1.1	501		282		CNT	Prod. Locale/ Régionale	Indéterminée	Indéterminée	2	0		Mauvais	surf. Altérée / émoussé	LTF/GR précoce	40/70
1.2	501		282		Besançon	Imp. Gauloise	Petit jarre à lèvre plate moulurée	Stockage et Transport	1	1		Mauvais	trop fragmenté pour le dessin	*-120/70	40/70
1.3	501		282		CC Micacée	Prod. Régionale	Indéterminée	Indéterminée	2	0		Moyen	surf. Altérée	Haut-Empire	40/70
1.4	501		282		CS	Prod. Locale/ Régionale	Indéterminée	Indéterminée	6	0		Moyen	traces de feu	Haut-Empire	40/70
1.5	501		282		CCBO	Prod. Locale/ Régionale	Indéterminée	Indéterminée	22	1		Moyen	surf. Altérée / 1 pied annulaire	Haut-Empire	40/70
1.6	501		282		CS	Prod. Locale/ Régionale	Pot à lèvre dé- versée (section triangulaire)	Culinaire	19	1	Iso 501.282.01	Moyen		40/120	40/70
1.7	501		282		Amphore Italique	Imp. Méditer- ranée	Indéterminée	Stockage et Transport	1	0		Moyen		*-135/-1	40/70
23.1	509		352		CCBO	Prod. Locale/ Régionale	Indéterminée	Indéterminée	7	0		Moyen	surf. Altérée	Haut-Empire	Haut-Empire
23.2	509		352		CS	Prod. Locale/ Régionale	Indéterminée	Indéterminée	5	0		Moyen	surf. Altérée	Haut-Empire	Haut-Empire
68.1	511		256		PBVL	Prod. Locale/ Régionale	Indéterminée	Indéterminée	5	0		Moyen		LTF/GR précoce	Haut-Empire
68.2	511		256		CNT	Prod. Locale/ Régionale	Indéterminée	Indéterminée	1	0		Moyen		LTF/GR précoce	Haut-Empire
68.3	511		256		Indéterminé	Indéterminée	Indéterminée	Indéterminée	2	0		Mauvais	surf. Altérée / calciné (pâte à la surface «sablée» ; pas LTF)	Haut-Empire	Haut-Empire
321.1	514		274		CC Micacée	Prod. Régionale	Indéterminée	Indéterminée	1	0		Moyen	surf. Altérée	Haut-Empire	Haut-Empire
115.1	524		323		CCBO	Prod. Locale/ Régionale	Indéterminée	Indéterminée	1	1		Mauvais	fragmenté / 1 fond plat	Haut-Empire	Haut-Empire
120.1	529		444	15	CCBO	Prod. Locale/ Régionale	Indéterminée	Stockage et Transport	5	0		Moyen	probablement dolia	Haut-Empire	Haut-Empire
67.1	532		360		CS	Prod. Locale/ Régionale	Indéterminée	Indéterminée	3	0		Moyen	traces de feu	Haut-Empire	100/150



Lot	Fait	Sd	US	Isol.	GT	Production	Forme	Fonction	NR	NMI	DESSIN	Etat de conservation	remarques	DATAION (éléments)	DATAION (ensembles)
67.2	532		360		CCBO	Prod. Locale/ Régionale	Marmite à bord rentrant	Culinaire	1	1	iso 532.3.60.01	Moyen	surf. Altérée	90/230	100/150
67.3	532		360		Sigillée du Centre	Imp. Gauloise	Indéterminée	Service et présentation	2	1	iso 532.3.60.02	Moyen	1 fragment de pied annulaire bas et élargi (probable coupe Drag. 37)	Phase 5	100/150
67.4	532		360		CCBO	Prod. Locale/ Régionale	Dolium à lèvres plate	Stockage et Transport	1	1		Moyen	surf. Altérée / émoussé / trop altéré pour le dessin	40/300	100/150
322.1	533		332		CCBO	Prod. Locale/ Régionale	Dolium à lèvres en bourrelet	Stockage et Transport	1	1		Moyen	trop fragmenté pour le dessin	Haut-Empire	Haut-Empire
82.1	537		357		CNT	Prod. Locale/ Régionale	Indéterminée	Indéterminée	1	0		Mauvais	émoussé	Proto ancienne	*-2000/-400
47.1	567		420		Indéterminé	Indéterminée	Indéterminée	Indéterminée	1	0		Mauvais	surf. Altérée / émoussé / calciné	GR	GR
93.1	570		433		PBVL	Prod. Locale/ Régionale	Indéterminée	Indéterminée	1	0		Moyen		LTF/GR précoce	*-150/50
7.1		6	5		CSE	Prod. Locale/ Régionale	Indéterminée	Indéterminée	1	0		Mauvais	surf. Altérée / émoussé	LTF/GR précoce	*-150/20
17.1		4	15		CC eng. Blanc	Prod. Locale/ Régionale	Indéterminée	Indéterminée	4	0		Moyen	engobe altéré	Haut-Empire	Ile/ déb. Ile siècle
17.2		4	15		CC Brute Val de Loire (Coulanges)	Imp. Gauloise	Mortier	Culinaire	1	0		Mauvais	émoussé	Haut-Empire	Ile/ déb. Ile siècle
17.3		4	15		CF eng. Centre	Imp. Gauloise	Indéterminée	Service et présentation	1	0		Moyen	décor de guillochis	70/150	Ile/ déb. Ile siècle
17.4		4	15		CS_Lustrée	Prod. Locale/ Régionale	Indéterminée	Indéterminée	10	0		Moyen	1 fragment de carène	haut-Empire	Ile/ déb. Ile siècle
17.5		4	15		CS	Prod. Locale/ Régionale	Pot caréné à lèvres en amande	Culinaire	13	2		Moyen	trop fragmenté pour le dessin	Ile/IIIe siècle	Ile/ déb. Ile siècle
17.6		4	15		CSE_Lustrée	Prod. Locale/ Régionale	Pot à lèvres éversée	Culinaire	3	1		Moyen	trop fragmenté pour le dessin	LTF/GR précoce	Ile/ déb. Ile siècle
17.7		4	15		Indéterminé	Indéterminée	Indéterminée	Indéterminée	4	0		Mauvais	surf. Altérée / émoussé / calciné	Indéterminée	Ile/ déb. Ile siècle
17.8		4	15		CCBO	Prod. Locale/ Régionale	Dolium à lèvres plate	Stockage et Transport	27	1		Moyen	trop fragmenté pour le dessin	40/300	Ile/ déb. Ile siècle
54.1		4	15		CS	Prod. Locale/ Régionale	Indéterminée	Indéterminée	1	0		Moyen	fragmenté	Haut-Empire	Ile/ déb. Ile siècle
54.2		4	15		CCBO	Prod. Locale/ Régionale	Indéterminée	Indéterminée	1	0		Moyen	fragmenté	Haut-Empire	Ile/ déb. Ile siècle
54.3		4	15		Besançon	Imp. Gauloise	Pot à lèvres moulurée	Culinaire	1	1	iso 15.01	Moyen	traces de feu	*-15/70	Ile/ déb. Ile siècle
54.4		4	15		CSE_Lustrée	Prod. Locale/ Régionale	Indéterminée	Indéterminée	1	0		Moyen	fragmenté	LTF/GR précoce	Ile/ déb. Ile siècle
54.5		4	15		Sigillée du Sud	Imp. Gauloise	Indéterminée	Service et présentation	1	1		Moyen	1 fragment de pied annulaire	Haut-Empire	Ile/ déb. Ile siècle

Lot	Fait	Sd	US	Isol.	GT	Production	Forme	Fonction	NR	NMI	DESSIN	Etat de conservation	remarques	DATEATION (éléments)	DATEATION (ensembles)
54.6		4	15		Sigillée du Centre	Imp. Gauloise	Coupe Lez. 39	Service et présentation	1	1	iso 15.02	Mauvais	vernis altéré	Phase 2/3	Ile/ déb. IIIe siècle
99.1		4	16		CCBO	Prod. Locale/Régionale	Indéterminée	Indéterminée	9	0		Moyen		Haut-Empire	*-15/70
99.2		4	16		CC eng. Blanc	Prod. Locale/Régionale	Indéterminée	Indéterminée	2	0		Mauvais	engobe altéré	Haut-Empire	*-15/70
99.3		4	16		PBVL	Prod. Locale/Régionale	Indéterminée	Indéterminée	1	0		Moyen		LTF/GR précoce	*-15/70
99.4		4	16		CS	Prod. Locale/Régionale	Indéterminée	Indéterminée	1	0		Mauvais	fragmenté	Haut-Empire	*-15/70
99.5		4	16		CNT	Prod. Locale/Régionale	Indéterminée	Indéterminée	1	0		Moyen		LTF/GR précoce	*-15/70
99.6		4	16		Besançon	Imp. Gauloise	Jarre à lèvre plate moulurée	Stockage et Transport	2	1		Moyen	trop fragmenté pour le dessin	*-120/70	*-15/70
99.7		4	16		Indéterminé	Indéterminée	Indéterminée	Indéterminée	2	0		Mauvais	surf. Alitérée / émoussé / calciné	Indéterminée	*-15/70
60.1		2	22		PBVL	Prod. Locale/Régionale	Indéterminée	Indéterminée	1	0		Mauvais	surf. Alitérée / émoussé	LTF/GR précoce	Ile siècle
60.2		2	22		CNT	Prod. Locale/Régionale	Indéterminée	Indéterminée	1	0		Mauvais	surf. Alitérée / émoussé	LTF/GR précoce	Ile siècle
60.3		2	22		CSE	Prod. Locale/Régionale	Indéterminée	Indéterminée	2	0		Moyen		LTF/GR précoce	Ile siècle
60.4		2	22		CS_Lustrée	Prod. Locale/Régionale	Indéterminée	Indéterminée	2	0		Moyen	desquamations internes	LTF/GR précoce	Ile siècle
61.1		2	22		Amphore Italique	Imp. Méditerranée	Indéterminée	Stockage et Transport	1	0		Mauvais	émoussé	*-135/-1	Ile siècle
96.1		2	22		CCBO	Prod. Locale/Régionale	Indéterminée	Indéterminée	19	0		Moyen	quelques fragments dolia ou amphores régionales	Haut-Empire	Ile siècle
96.1		2	22		CS	Prod. Locale/Régionale	Indéterminée	Indéterminée	17	0		Mauvais	fragmenté	Haut-Empire	Ile siècle
96.11		2	22		CS_Lustrée	Prod. Locale/Régionale	Pot caréné à lèvre en amande	Culinaire	9	1	Iso 22.01	Moyen	surf. Alitérée / fragmenté	Ile/IIIe siècle	Ile siècle
96.12		2	22		Terra Nigra du Centre/Ouest	Prod. Régionale	Gobelet Menez 146	Service et présentation	1	1	Iso 22.02	Moyen	surf. Alitérée	40/120	Ile siècle
96.13		2	22		Indéterminé	Indéterminée	Indéterminée	Indéterminée	2	0		Mauvais	calciné	Indéterminée	Ile siècle
96.14		2	22		CCBO	Prod. Locale/Régionale	Pot à lèvre éversée	Culinaire	1	1	Iso 22.03	Moyen		Haut-Empire	Ile siècle
96.15		2	22		CS_Lustrée	Prod. Locale/Régionale	Coupe à lèvre en collerette (section triangulaire)	Culinaire	1	1	Iso 22.04	Moyen		Bas-Empire ??	Ile siècle
96.2		2	22		CC eng. Blanc	Prod. Locale/Régionale	Indéterminée	Indéterminée	1	0		Mauvais	engobe altéré	Haut-Empire	Ile siècle

Lot	Fait	Sd	US	Isol.	GT	Production	Forme	Fonction	NR	NMI	DESSIN	Etat de conservation	remarques	DATEATION (éléments)	DATEATION (ensembles)
96.3	2	22			Sigillée du Centre	Imp. Gauloise	Indéterminée	Service et présentation	2	0		Mauvais	vernis altéré	Phase 4	Ile siècle
96.4	2	22			Sigillée du Sud	Imp. Gauloise	Indéterminée	Service et présentation	1	1		Moyen	1 pied annulaire	Haut-Empire	Ile siècle
96.5	2	22			CF eng. Centre	Imp. Gauloise	Indéterminée	Service et présentation	1	0		Moyen	fragmenté / décor de guillochis	70/150	Ile siècle
96.6	2	22			PBVL	Prod. Locale/Régionale	Indéterminée	Indéterminée	1	0		Moyen	surf. Altérée	LTF/GR précoce	Ile siècle
96.7	2	22			PBVL_grossière	Prod. Locale/Régionale	Indéterminée	Indéterminée	4	0		Moyen		LTF/GR précoce	Ile siècle
96.8	2	22			CNT	Prod. Locale/Régionale	Indéterminée	Indéterminée	2	0		Moyen		LTF/GR précoce	Ile siècle
96.9	2	22			CSE	Prod. Locale/Régionale	Indéterminée	Indéterminée	4	1		Mauvais	fragmenté / surf. Altérée / 1 fond balustre	LTF/GR précoce	Ile siècle
103.1	2	22			CCBO	Prod. Locale/Régionale	Indéterminée	Indéterminée	4	0		Moyen		Haut-Empire	Ile siècle
103.2	2	22			CS	Prod. Locale/Régionale	Indéterminée	Indéterminée	2	0		Moyen		Haut-Empire	Ile siècle
103.3	2	22			CF eng. Beuvray	Imp. Gauloise	Indéterminée	Service et présentation	1	1		Mauvais	1 fond de vase balustre / vernis altéré	*-15/70	Ile siècle
103.4	2	22			Terra Nigra du Centre/Ouest	Prod. Régionale	Indéterminée	Service et présentation	1	0		Moyen	fragmenté	*-15/120	Ile siècle
103.5	2	22			CS	Prod. Locale/Régionale	Jatte à lèvres aplatie sur la panse	Culinaire	1	1		Moyen	trop fragmenté pour identification	40/120	Ile siècle
57.1	1	23			CCBO	Prod. Locale/Régionale	Indéterminée	Indéterminée	1	0		Moyen	probablement dolia ou amphores régionales	Haut-Empire	Haut-Empire
16.1	1	24			CC eng. Blanc	Prod. Locale/Régionale	Indéterminée	Indéterminée	2	0		Mauvais	engobe altéré	Haut-Empire	*-15/20
16.2	1	24			CS	Prod. Locale/Régionale	Indéterminée	Indéterminée	1	0		Mauvais	surf. Altérée / émousé	Haut-Empire	*-15/20
104.1	1	24			PBVL	Prod. Locale/Régionale	Indéterminée	Indéterminée	3	0		Mauvais	surf. Altérée	LTF/GR précoce	*-15/20
104.2	1	24			CCB	Prod. Locale/Régionale	Indéterminée	Indéterminée	1	0		Mauvais	surf. Altérée	LTF/GR précoce	*-15/20
104.3	1	24			CSE	Prod. Locale/Régionale	Indéterminée	Indéterminée	1	0		Moyen	surf. Altérée	LTF/GR précoce	*-15/20
104.4	1	24			Amphore Italique	Imp. Méditerranée	Indéterminée	Stockage et Transport	1	0		Mauvais	surf. Altérée / émousé	*-135/-1	*-15/20
105.1	1	24			Amphore Italique	Imp. Méditerranée	Indéterminée	Stockage et Transport	1	0		Moyen	émousé	*-135/-1	*-15/20
100.1	3	64			PBVL	Prod. Locale/Régionale	Indéterminée	Indéterminée	1	0		Moyen	surf. Altérée	LTF/GR précoce	70/120

Lot	Fait	Sd	US	Isol.	GT	Production	Forme	Fonction	NR	NMI	DESSIN	Etat de conservation	remarques	DATAION (éléments)	DATAION (ensembles)
100.2		3	64		Besançon	Imp. Gauloise	Indéterminée	Indéterminée	2	0		Moyen		*-15/70	70/120
100.3		3	64		CC Micacée	Prod. Régionale	Indéterminée	Service et présentation	1	1		Moyen	1 fond	Haut-Empire	70/120
100.4		3	64		CC eng. Blanc	Prod. Locale/Régionale	Indéterminée	Indéterminée	1	1		Mauvais	engobe altéré / trop fragmenté pour identification	Haut-Empire	70/120
100.5		3	64		CCBO	Prod. Locale/Régionale	Jatte carénée à lèvres plate	Culinaire	3	1	Iso 64.01	Moyen		70/200	70/120
100.6		3	64		Terra Nigra du Centre/Ouest	Prod. Régionale	Coupe Menez I30	Service et présentation	1	1	Iso 64.02	Moyen		*-15/120	70/120
101.1		3	64		Amphore de Tarraconaise	Imp. Méditerranée	Indéterminée	Stockage et Transport	5	0		Moyen		*-50/50	70/120
101.2		3	64		Amphore Indéterminée	Indéterminée	Indéterminée	Stockage et Transport	1	0		Moyen		Indéterminée	70/120
27.1		3	67		CNT	Prod. Locale/Régionale	Indéterminée	Indéterminée	2	0		Moyen		LTF/GR précoce	*-15/20
27.1		3	67		CF eng. Beuvray	Imp. Gauloise	Gobelet balustre à lèvres déversée en gouttière	Service et présentation	2	1	Iso 67.01	Moyen	décor de chevrons à la molette	*-15/70	*-15/20
27.11		3	67		CSE_Lustrée	Prod. Locale/Régionale	Coupe Menez I30	Service et présentation	1	1	Iso 67.02	Moyen	fragmenté	*-40/20	*-15/20
27.12		3	67		CSE_Lustrée	Prod. Locale/Régionale	Coupe Menez I03	Service et présentation	6	1	Iso 67.03	Moyen	surf. Alitrée	*-40/20	*-15/20
27.2		3	67		CNT_grossière	Prod. Locale/Régionale	Indéterminée	Indéterminée	3	0		Moyen		LTF/GR précoce	*-15/20
27.3		3	67		Imit_Besançon	Prod. Locale/Régionale	Indéterminée	Indéterminée	1	0		Moyen	traces de feu	*-15/70	*-15/20
27.4		3	67		PBVL	Prod. Locale/Régionale	Indéterminée	Indéterminée	1	0		Moyen		LTF/GR précoce	*-15/20
27.5		3	67		CCBO	Prod. Locale/Régionale	Indéterminée	Indéterminée	5	0		Moyen		Haut-Empire	*-15/20
27.6		3	67		CC eng. Rouge	Prod. Locale/Régionale	Indéterminée	Indéterminée	1	0		Moyen	engobe altéré	GR précoce	*-15/20
27.7		3	67		CSE	Prod. Locale/Régionale	Indéterminée	Indéterminée	1	0		Moyen	1 fragment de carène	LTF/GR précoce	*-15/20
27.8		3	67		Terra Nigra du Centre/Ouest	Prod. Régionale	Indéterminée	Service et présentation	1	0		Moyen		*-15/120	*-15/20
27.9		3	67		Terra Nigra du Centre	Imp. Gauloise	Indéterminée	Service et présentation	1	0		Moyen		*-15/120	*-15/20
43.1		3	67		Amphore de Tarraconaise	Imp. Méditerranée	Indéterminée	Stockage et Transport	2	0		Moyen		*-50/50	*-15/20
87.1		5	74		Besançon	Imp. Gauloise	Indéterminée	Indéterminée	5	0		Moyen	traces de feu	*-15/70	Ile/ déb. IIIe siècle

Lot	Fait	Sd	US	Isol.	GT	Production	Forme	Fonction	NR	NMI	DESSIN	Etat de conservation	remarques	DATAION (éléments)	DATAION (ensembles)
87.1		5	74		Imit_Besançon	Prod. Locale/ Régionale	Pot à lèvres moulurée	Culinaire	3	1	Iso 74.05	Moyen	traces de feu	*-15/70	Ile/ déb. IIIe siècle
87.11		5	74		Terra Nigra du Centre	Imp. Gauloise	Assiette Menez 22/27	Service et présentation	3	1	Iso 74.06	Moyen		*-40/40	Ile/ déb. IIIe siècle
87.12		5	74		CCBO	Prod. Locale/ Régionale	Pot camulodunum 102	Culinaire	2	1	Iso 74.07	Moyen	surf. Altérée	*-15/70	Ile/ déb. IIIe siècle
87.13		5	74		CCBO	Prod. Locale/ Régionale	Couvercle à lèvres simple	Culinaire	2	2	Iso 74.08	Moyen		Haut-Empire	Ile/ déb. IIIe siècle
87.14		5	74		CCBO	Prod. Locale/ Régionale	Indéterminée	Indéterminée	36	1		Moyen	1 pied annulaire	Haut-Empire	Ile/ déb. IIIe siècle
87.15		5	74		CC eng. Blanc	Prod. Locale/ Régionale	Cruche à lèvres à double ressaut	Service et présentation	22	1	Iso 74.09	Moyen	surf. Altérée / 1 anse / 1 pied annulaire	Ile/ déb. IIIe siècle	Ile/ déb. IIIe siècle
87.16		5	74		CCBO	Prod. Locale/ Régionale	Pot à lèvres éversée en bourrelet	Stockage et Transport	1	1	Iso 74.10	Moyen	traces de poix	*-15/20	Ile/ déb. IIIe siècle
87.17		5	74		CSE	Prod. Locale/ Régionale	Indéterminée	Indéterminée	18	0		Moyen		LTF/GR précoce	Ile/ déb. IIIe siècle
87.18		5	74		Indéterminé	Indéterminée	Indéterminée	Indéterminée	2	1		Mauvais	émoussé / fragmenté / trop fragmenté pour identification	Indéterminée	Ile/ déb. IIIe siècle
87.19		5	74		Terra Nigra du Centre/Ouest	Prod. Régionale	Indéterminée	Service et présentation	20	1		Moyen	trop fragmenté pour identification	*-15/120	Ile/ déb. IIIe siècle
87.2		5	74		CNT	Prod. Locale/ Régionale	Indéterminée	Indéterminée	1	0		Moyen		LTF/GR précoce	Ile/ déb. IIIe siècle
87.2		5	74		Terra Nigra du Centre/Ouest	Prod. Régionale	Coupe Menez 130	Service et présentation	2	1	Iso 74.11	Moyen	1 pied annulaire	*-15/120	Ile/ déb. IIIe siècle
87.21		5	74		CS	Prod. Locale/ Régionale	Pot à lèvres en poutle	Culinaire	1	1	similaire Iso 432.02	Moyen		40/120 ?	Ile/ déb. IIIe siècle
87.22		5	74		CS	Prod. Locale/ Régionale	Indéterminée	Indéterminée	3	0		Moyen		Haut-Empire	Ile/ déb. IIIe siècle
87.23		5	74		CS_Lustrée	Prod. Locale/ Régionale	Jatte à profil en S	Culinaire	4	1	Iso 74.12	Moyen	surf. Altérée	70/230	Ile/ déb. IIIe siècle
87.3		5	74		CC eng. Rouge	Prod. Locale/ Régionale	Indéterminée	Indéterminée	1	0		Moyen	engobe altéré	Haut-Empire	Ile/ déb. IIIe siècle
87.4		5	74		CC Micacée	Prod. Régionale	Indéterminée	Indéterminée	1	0		Moyen		Haut-Empire	Ile/ déb. IIIe siècle
87.5		5	74		PBVL	Prod. Locale/ Régionale	Indéterminée	Indéterminée	11	0		Moyen		LTF/GR précoce	Ile/ déb. IIIe siècle
87.6		5	74		Sigillée du Sud	Imp. Gauloise	Coupe Drag. 27b	Service et présentation	1	1	Iso 74.01	Moyen		40/80	Ile/ déb. IIIe siècle
87.7		5	74		CF eng. Beuvray	Imp. Gauloise	Gobelet balustre à lèvres déversée en gouttière	Service et présentation	3	1	Iso 74.02	Moyen	décor de chevrons à la molette	*-15/70	Ile/ déb. IIIe siècle

Lot	Fait	Sd	US	Isol.	GT	Production	Forme	Fonction	NR	NMI	DESSIN	Etat de conservation	remarques	DATAION (éléments)	DATAION (ensembles)
87.8		5	74		ERP Centre	Imp. Gauloise	Couvercle	Service et présentation	2	1	Iso 74.03	Moyen		Haut-Empire	Ile/ déb. IIIe siècle
87.9		5	74		Peinte de Roanne	Imp. Gauloise	Boi à lèvres en burrelet	Service et présentation	3	1	Iso 74.04	Moyen		*-15/120	Ile/ déb. IIIe siècle
88.1		5	74		Amphore de Tarraconaise	Imp. Méditerranée	Indéterminée	Stockage et Transport	2	0		Moyen		*-50/50	Ile/ déb. IIIe siècle
24.1		7	206		CCBO	Prod. Locale/Régionale	Indéterminée	Indéterminée	2	0		Moyen		Haut-Empire	100/150
24.2		7	206		CC eng. Blanc	Prod. Locale/Régionale	Indéterminée	Indéterminée	15	0		Moyen	engobe allié	Haut-Empire	100/150
24.3		7	206		Indéterminé	Indéterminée	Indéterminée	Indéterminée	1	0		Mauvais	fragmenté	Indéterminée	100/150
24.4		7	206		Terra Nigra du Centre/Ouest	Prod. Régionale	Gobelet Menez 148	Service et présentation	3	1	Iso 206.01	Moyen		*-15/120	100/150
24.5		7	206		CS_Lustrée	Prod. Locale/Régionale	Plat à lèvres simple	Culinaire	1	1	Iso 206.02	Moyen		70/300	100/150
24.6		7	206		CS_Lustrée	Prod. Locale/Régionale	Indéterminée	Indéterminée	1	1		Mauvais	trop fragmenté pour le dessin	Haut-Empire	100/150
24.7		7	206		Sigillée du Centre	Imp. Gauloise	Indéterminée	Service et présentation	1	1		Moyen	1 fragment de collerette	Phase 5	100/150
14.1		8	207		CF eng. Blanc	Prod. Régionale	Indéterminée	Service et présentation	1	0		Mauvais	engobe allié	*-15/20	*-15/20
14.2		8	207		CC Miacée	Prod. Régionale	Indéterminée	Indéterminée	1	0		Moyen	émoussé	Haut-Empire	*-15/20
14.3		8	207		CCBO	Prod. Locale/Régionale	Indéterminée	Indéterminée	2	1		Moyen	1 fond plat	Haut-Empire	*-15/20
14.4		8	207		CC eng. Blanc	Prod. Locale/Régionale	Indéterminée	Indéterminée	2	1		Moyen	engobe allié / 1 pied annulaire	Haut-Empire	*-15/20
14.5		8	207		Terra Nigra du Centre/Ouest	Prod. Régionale	Indéterminée	Service et présentation	3	0		Moyen		*-15/120	*-15/20
14.6		8	207		CCBO_grossière	Prod. Locale/Régionale	Indéterminée	Indéterminée	2	1		Moyen	1 fond plat	Haut-Empire	*-15/20
111.1		7	207		CNT	Prod. Locale/Régionale	Indéterminée	Indéterminée	1	0		Mauvais	surf. Allié	LTF/GR précoce	*-15/20
111.1		7	207		CSE	Prod. Locale/Régionale	Indéterminée	Indéterminée	2	0		Mauvais	surf. Allié / émoussé	LTF/GR précoce	*-15/20
111.1		7	207		CCBO	Prod. Locale/Régionale	Indéterminée	Indéterminée	2	0		Mauvais	surf. Allié / émoussé / traces de feu	Haut-Empire	*-15/20
111.1		7	207		CC eng. Blanc	Prod. Locale/Régionale	Indéterminée	Indéterminée	3	0		Moyen	engobe allié	Haut-Empire	*-15/20
111.1		7	207		Terra Nigra du Centre/Ouest	Prod. Régionale	Indéterminée	Service et présentation	4	0		Moyen		*-15/120	*-15/20
111.1		7	207		CF eng. Beuvray	Imp. Gauloise	Indéterminée	Service et présentation	2	0		Moyen		*-15/70	*-15/20

Lot	Fait	Sd	US	Isol.	GT	Production	Forme	Fonction	NR	NMI	DESSIN	Etat de conservation	remarques	DATAION (éléments)	DATAION (ensembles)
111.1	7	207			CF régionale (pâte claire micacée)	Prod. Régionale	Indéterminée	Service et présentation	1	1		Mauvais	1 fond probablement imitation des gobelots de type ACO	*-15/20	*-15/20
35.1	9	377			Imit_Besançon	Prod. Locale/Régionale	Indéterminée	Indéterminée	1	0		Moyen	traces de feu	*-15/70	*-15/70
35.2	9	377			Terra Nigra du Centre/Ouest	Prod. Régionale	Indéterminée	Service et présentation	2	0		Moyen		*-15/120	*-15/70
35.3	9	377			CC eng. Rouge_lustrée	Prod. Locale/Régionale	Indéterminée	Indéterminée	1	0		Moyen		*-15/120	*-15/70
35.4	9	377			CSE	Prod. Locale/Régionale	Indéterminée	Indéterminée	2	1		Moyen	1 pied balustre	LTF/GR précocce	*-15/70
35.5	9	377			CCBO	Prod. Locale/Régionale	Pot à lèvres aplatie sur la pause	Culinaire	4	2	Iso 377.01 et 02	Moyen		*-15/70	*-15/70
89.1	9	378			CCBO	Prod. Locale/Régionale	Indéterminée	Indéterminée	1	0		Mauvais	émoussé	Haut-Empire	Haut-Empire
89.2	9	378			CC eng. Blanc	Prod. Locale/Régionale	Indéterminée	Indéterminée	1	0		Moyen	engobe altéré	Haut-Empire	Haut-Empire
89.3	9	378			CSE	Prod. Locale/Régionale	Indéterminée	Indéterminée	1	0		Moyen		LTF/GR précocce	Haut-Empire
89.4	9	378			PBVL	Prod. Locale/Régionale	Indéterminée	Indéterminée	1	0		Moyen		LTF/GR précocce	Haut-Empire
89.5	9	378			CNT	Prod. Locale/Régionale	Indéterminée	Indéterminée	1	0		Moyen		LTF/GR précocce	Haut-Empire
26.1	9	383			PBVL	Prod. Locale/Régionale	Indéterminée	Indéterminée	2	0		Mauvais	surf. Altérée	LTF/GR précocce	*-15/70
26.2	9	383			CCB	Prod. Locale/Régionale	Indéterminée	Indéterminée	2	0		Moyen		LTF/GR précocce	*-15/70
26.3	9	383			Besançon	Imp. Gauloise	Indéterminée	Indéterminée	3	0		Moyen		*-120/70	*-15/70
26.4	9	383			CCBO	Prod. Locale/Régionale	Indéterminée	Indéterminée	1	0		Moyen		Haut-Empire	*-15/70
26.5	9	383			CSE	Prod. Locale/Régionale	Indéterminée	Indéterminée	2	0		Moyen		LTF/GR précocce	*-15/70
26.6	9	383			CSE_Lustrée	Prod. Locale/Régionale	Indéterminée	Indéterminée	3	0		Moyen		LTF/GR précocce	*-15/70
65.1	9	383			CCBO	Prod. Locale/Régionale	Indéterminée	Indéterminée	6	0		Moyen	fragmenté	Haut-Empire	*-15/70
65.2	9	383			CS	Prod. Locale/Régionale	Indéterminée	Indéterminée	3	0		Moyen		Haut-Empire	*-15/70
65.3	9	383			Imit_Besançon	Prod. Locale/Régionale	Indéterminée	Indéterminée	1	0		Moyen	traces de feu	*-15/70	*-15/70
65.4	9	383			CF eng. Blanc	Prod. Régionale	Indéterminée	Service et présentation	1	0		Moyen		*-15/120	*-15/70

Lot	Fait	Sd	US	Isol.	GT	Production	Forme	Fonction	NR	NMI	DESSIN	Etat de conservation	remarques	DATAION (éléments)	DATAION (ensembles)
65.5		9	383		CF eng. Beuvray	Imp. Gauloise	Indéterminée	Service et présentation	1	0		Moyen	décor de chevrons à la molette	*-15/70	*-15/70
65.6		9	383		CSE_Lustrée	Prod. Locale/Régionale	Indéterminée	Indéterminée	1	1		Moyen	1 fragment de pied annulaire	LTF/GR précocce	*-15/70
65.7		9	383		Indéterminé	Indéterminée	Indéterminée	Indéterminée	1	0		Mauvais	surf. A litérée / émoussé	Indéterminée	*-15/70
66.1		9	383		Amphore Italique	Imp. Méditerranée	Indéterminée	Stockage et Transport	1	0		Moyen		*-135/-1	*-15/70
66.2		9	383		Amphore Indéterminée	Indéterminée	Indéterminée	Stockage et Transport	1	0		Mauvais	calciné	Indéterminée	*-15/70
50.1		6	404		CCBO	Prod. Locale/Régionale	Indéterminée	Indéterminée	10	0		Moyen	fragmenté	Haut-Empire	*-15/120
50.2		6	404		CS	Prod. Locale/Régionale	Indéterminée	Indéterminée	5	0		Moyen	fragmenté	Haut-Empire	*-15/120
50.3		6	404		CC Micacée	Prod. Régionale	Indéterminée	Indéterminée	1	0		Moyen	émoussé	Haut-Empire	*-15/120
50.4		6	404		CC eng. Blanc	Prod. Locale/Régionale	Indéterminée	Indéterminée	4	1		Moyen	engobe altéré / 1 anse	Haut-Empire	*-15/120
50.5		6	404		Terra Nigra d'Aquitaine	Imp. Gauloise	Indéterminée	Service et présentation	1	0		Moyen	surf. A litérée	*-15/120	*-15/120
50.6		6	404		Terra Nigra du Centre/Ouest	Prod. Régionale	Assiette Menez 53/55	Service et présentation	2	1	Iso 404.01	Moyen		*-15/120	*-15/120
50.7		6	404		Indéterminé	Indéterminée	Indéterminée	Indéterminée	2	0		Mauvais	surf. A litérée / fragmenté	Haut-Empire	*-15/120
46.1		6	410		PBVL	Prod. Locale/Régionale	Indéterminée	Indéterminée	2	0		Moyen		LTF/GR précocce	*-15/70
46.2		6	410		CCBO	Prod. Locale/Régionale	Indéterminée	Indéterminée	4	0		Moyen		Haut-Empire	*-15/70
46.3		6	410		Besançon	Imp. Gauloise	Indéterminée	Indéterminée	3	0		Moyen	traces de feu	*-15/70	*-15/70
46.4		6	410		CF eng. Blanc	Prod. Régionale	Indéterminée	Service et présentation	3	1		Moyen	engobe altéré / anse	*-15/120	*-15/70
46.5		6	410		CF eng. Beuvray	Imp. Gauloise	Indéterminée	Service et présentation	1	0		Moyen	engobe altéré / décor de chevrons à la molette	*-15/70	*-15/70
46.6		6	410		Terra Nigra du Centre/Ouest	Prod. Régionale	Indéterminée	Service et présentation	3	1		Moyen	1 fragment de pied annulaire	*-15/120	*-15/70
51.1		6	410		Amphore de Tarraconaise	Imp. Méditerranée	Indéterminée	Stockage et Transport	1	0		Moyen		*-50/50	*-15/70
33.1		6	414		CNT	Prod. Locale/Régionale	Indéterminée	Indéterminée	1	0		Mauvais	fragmenté	LTF/GR précocce	Bas-Empire ?
33.2		6	414		CCBO	Prod. Locale/Régionale	Indéterminée	Indéterminée	9	0		Moyen	traces de feu	Haut-Empire	Bas-Empire ?
33.3		6	414		CS	Prod. Locale/Régionale	Indéterminée	Indéterminée	2	0		Moyen	fragmenté	Haut-Empire	Bas-Empire ?
33.4		6	414		Terra Nigra du Centre/Ouest	Prod. Régionale	Indéterminée	Service et présentation	2	0		Moyen	émoussé	*-15/120	Bas-Empire ?



Lot	Fait	Sd	US	Isol.	GT	Production	Forme	Fonction	NR	NMI	DESSIN	Etat de conservation	remarques	DATAION (éléments)	DATAION (ensembles)
33.5			414		Terra Nigra du Centre	Imp. Gauloise	Indéterminée	Service et présentation	1	0		Moyen		*-15/120	Bas-Empire ?
33.6			414		Amphore de Bétique	Imp. Méditerranée	Dresse 120 ?	Stockage et Transport	1	0		Mauvais	émoussé	Haut-Empire	Bas-Empire ?
33.7			414		CS kaolinique	Imp. Gauloise	Indéterminée	Indéterminée	1	0		Moyen	fragmenté	Bas-Empire ?	Bas-Empire ?
48.1			417		CS	Prod. Locale/Régionale	Indéterminée	Indéterminée	3	0		Moyen		Haut-Empire	Haut-Empire
48.2			417		CC eng. Blanc	Prod. Locale/Régionale	Indéterminée	Indéterminée	1	0		Moyen	engobe altéré	Haut-Empire	Haut-Empire
71.1			421		CC Micacée	Prod. Régionale	Indéterminée	Indéterminée	1	0		Moyen	surf. Altérée	Haut-Empire	Bas-Empire ?
71.2			421		Terra Nigra du Centre/Ouest	Prod. Régionale	Indéterminée	Service et présentation	1	0		Moyen		*-15/120	Bas-Empire ?
71.3			421		CCBO	Prod. Locale/Régionale	Pot camulodunum 102	Culinaire	1	1	Iso 421.01	Moyen		*-15/70	Bas-Empire ?
71.4			421		CS_grossière	Prod. Locale/Régionale	Indéterminée	Indéterminée	1	1		Moyen	1 fond plat	Bas-Empire ?	Bas-Empire ?
80.1			432		Sigillée du Centre	Imp. Gauloise	Indéterminée	Service et présentation	1	1	iso 432.01	Moyen	1 fragment de pied annulaire bas et élargi (probable coupe Drag. 37 avec décor moulé)	Phase 7/8	Fin IIe/IIIe siècle
80.2			432		Terra Nigra du Centre/Ouest	Prod. Régionale	Indéterminée	Service et présentation	1	0		Moyen	fragmenté	*-15/120	Fin IIe/IIIe siècle
80.3			432		CS	Prod. Locale/Régionale	Indéterminée	Indéterminée	1	0		Moyen		Haut-Empire	Fin IIe/IIIe siècle
80.4			432		CS	Prod. Locale/Régionale	Pot àèvre en poule	Culinaire	1	1	iso 432.02	Moyen		40/120 ?	Fin IIe/IIIe siècle
81.1			432		Amphore Italique	Imp. Méditerranée	Indéterminée	Stockage et Transport	1	1		Moyen	1 anse	*-135/-1	Fin IIe/IIIe siècle
95.1			435		CCBO	Prod. Locale/Régionale	Indéterminée	Indéterminée	2	0		Moyen		Haut-Empire	Haut-Empire
95.2			435		CC eng. Blanc	Prod. Locale/Régionale	Indéterminée	Indéterminée	1	0		Moyen	traces de feu	Haut-Empire	Haut-Empire
95.3			435		CS	Prod. Locale/Régionale	Indéterminée	Indéterminée	1	0		Moyen		Haut-Empire	Haut-Empire
97.1			436		CC eng. Blanc	Prod. Locale/Régionale	Indéterminée	Indéterminée	1	0		Moyen	engobe altéré	Haut-Empire	IIe siècle
97.1			436		CCBO_couverte noire	Prod. Locale/Régionale	Amphore régionale Gauloise 5	Stockage et Transport	1	1		Moyen	trop fragmenté pour le dessin	70/200	IIe siècle
97.11			436		Sigillée du Sud	Imp. Gauloise	Assiette/Coupe Service A	Service et présentation	1	1		Mauvais	fragmenté	60/160	IIe siècle
97.12			436		Sigillée du Centre	Imp. Gauloise	Coupe Lez. 26	Service et présentation	1	1	Iso 436.01	Moyen	décor de guillochis	Phase 2/3	IIe siècle

Lot	Fait	Sd	US	Isol.	GT	Production	Forme	Fonction	NR	NMI	DESSIN	Etat de conservation	remarques	DATAION (éléments)	DATAION (ensembles)
97.13			436		CCBO	Prod. Locale/ Régionale	Pichet à large ouverture et col renflé	Service et présentation	1	1	Iso 436.02	Moyen	surf. Altérée	Ile/Ile siècle	Ile siècle
97.14			436		Amphore de Narbonnaise	Imp. Gauloise	Indéterminée	Stockage et Transport	7	1		Moyen	1 anse	Haut-Empire	Ile siècle
97.2			436		CC eng. Rouge	Prod. Locale/ Régionale	Indéterminée	Indéterminée	1	0		Moyen	engobe altéré	Haut-Empire	Ile siècle
97.3			436		CCBO	Prod. Locale/ Régionale	Indéterminée	Indéterminée	12	1		Moyen	trop fragmenté pour identification	Haut-Empire	Ile siècle
97.4			436		CSE	Prod. Locale/ Régionale	Indéterminée	Indéterminée	3	1		Moyen	1 fond plat	LTF/GR précoce	Ile siècle
97.5			436		CSE_Lustrée	Prod. Locale/ Régionale	Indéterminée	Indéterminée	3	1		Moyen	1 fond plat	LTF/GR précoce	Ile siècle
97.6			436		CNT	Prod. Locale/ Régionale	Indéterminée	Indéterminée	1	1		Moyen	1 fond plat	LTF/GR précoce	Ile siècle
97.7			436		CNT reprise au tour	Prod. Locale/ Régionale	Indéterminée	Indéterminée	2	1		Mauvais	surf. Altérée / 1 fond plat	LTF/GR précoce	Ile siècle
97.8			436		CCB	Prod. Locale/ Régionale	Indéterminée	Indéterminée	3	0		Moyen		LTF/GR précoce	Ile siècle
97.9			436		CS	Prod. Locale/ Régionale	Indéterminée	Indéterminée	1	1		Moyen	surf. Altérée / 1 fond plat	Haut-Empire	Ile siècle
74.1			437		CNT	Prod. Locale/ Régionale	Indéterminée	Indéterminée	1	0		Moyen		LTF/GR précoce	*-150/-80
74.2			437		CNT reprise au tour	Prod. Locale/ Régionale	Indéterminée	Indéterminée	1	0		Moyen	traces de feu	LTF/GR précoce	*-150/-80
74.3			437		CSE	Prod. Locale/ Régionale	Indéterminée	Indéterminée	2	0		Moyen		LTF/GR précoce	*-150/-80
74.4			437		CS	Prod. Locale/ Régionale	Por à baguettes	Service et Présentation/ Stockage	1	1	Iso 437.01	Moyen	décor de baguettes qui tendent à disparaître à LTD2a	*-150/-80	*-150/-80
149.1			442	10	CCBO	Prod. Locale/ Régionale	Indéterminée	Stockage et Transport	1	0		Moyen	émoussé / probablement dolia ou amphores régionales	Haut-Empire	Haut-Empire
150.1			442	10	Amphore Italique	Imp. Méditerranée	Indéterminée	Stockage et Transport	1	0		Moyen	émoussé	*-135/-1	*-135/-1
123.1			448	4	CCBO	Prod. Locale/ Régionale	Indéterminée	Stockage et Transport	1	0		Moyen	émoussé / probablement dolia ou amphores régionales	Haut-Empire	Haut-Empire
124.1			449	11	CS_grossière	Prod. Locale/ Régionale	Indéterminée	Indéterminée	4	0		Moyen	surf. Altérée	Bas-Empire ?	Bas-Empire ?

## PETIT MOBILIER DU SITE DE NÉTILLY À SORIGNY (INDRE-ET-LOIRE)

Thomas Boucher

(Chercheur associé à l'UMR5140 CNRS Montpellier, équipe TP2C)

### Présentation du corpus

Le petit mobilier mis au jour lors du diagnostic de Sorigny "Nétilly" totalise 109 NMI (nombre minimum d'individus) pour un poids total de 2457,67 g. Le nombre élevé de découvertes (pour un diagnostic), notamment d'objets métalliques, réside principalement dans l'utilisation soutenue d'un détecteur de métaux. Compte tenu de l'emprise importante du diagnostic (proche de 26 hectares), il a été décidé en concertation avec le responsable de l'opération de concentrer la prospection au détecteur sur la *villa* et sur la zone funéraire (tranchées, extensions, déblais et surfaces du champ situées entre les tranchées). Sur les 109 artefacts, 40 objets proviennent des sondages et nettoyages réalisés dans les tranchées et leurs extensions (soit 36,7 % du total du petit mobilier). Le reste du petit mobilier, 69 objets (soit 63,3 % du total du petit mobilier), a été découvert à l'aide du détecteur de métaux ; il provient, pour l'essentiel, des déblais et des surfaces du champ situées entre les tranchées. Les 22 monnaies découvertes sur le site (voir l'étude de Murielle Troubady) ont également été localisées avec le détecteur de métaux.

La méthodologie employée pour l'étude (quantification, classement fonctionnel des objets) reprend les principes développés à l'occasion de la publication des *Nouvelles de l'Archéologie* paru en mars 2013 et consacré au mobilier métallique et à l'*instrumentum* (Demierre *et al.* 2013 : 10-14 ; Briand *et al.* 2013 : 14-19).

Le petit mobilier provenant de "Nétilly" regroupe différentes matières : le fer, le métal blanc, les alliages à base de cuivre et, dans une moindre mesure, la terre cuite, la lithique, la matière organique fossilisée (MOF).

Les objets en fer avec 53 NR (Nombre de Restes) représentent 48,62 % du petit mobilier et totalisent un poids de 1271,56 g (soit 51,74 % du poids total du petit mobilier). Comme pour la plupart des sites occupés aux périodes historiques, la quantité de fer, aussi bien en NR qu'en poids, est largement supérieure aux autres matériaux rencontrés. Le corpus des artefacts en fer se compose principalement de clous (18 occurrences) et de tiges de section quadrangulaire correspondant probablement à des clous (20 occurrences). Parmi les objets identifiables signalons la présence d'une serpette, d'une emboîture de canalisation, d'une probable sonnaille, d'un clou de chaussure, de trois boucles, d'un fragment de couvercle de marmite et d'une pièce d'engin agricole. Sept éléments indéterminés en fer correspondent à des fragments de ferrures, plaques et éléments informes.

Les artefacts en métal blanc avec 29 NR représentent 26,6 % du petit mobilier et totalisent un poids de 316,02 g (soit 12,86 % du poids total du petit mobilier). D'après Bastien Dubuis, dans les séries de petit mobilier antique, le matériel en plomb arrive habituellement en troisième place, loin derrière celui en alliage cuivreux et celui en fer (Dubuis 2013 : 39). Sur le site de "Nétilly", le plomb arrive en seconde position pour le nombre et en quatrième position pour le poids. Bien que découverts hors stratigraphie, les déchets et coulures diverses en plomb, appartiennent probablement à l'origine aux aménagements de la *villa* et témoignent sans doute d'une activité de recyclage de ce matériau durant la période antique ou au début du haut Moyen-Âge.

Les objets en alliage cuivreux avec 20 NR représentent 18,35 % du petit mobilier et totalisent un poids de 104,8 g (soit 4,26 % du poids total du petit mobilier). Il s'agit d'objets personnels (fibule,

ferret, plaque-boucle, boucles), d'éléments liés au domaine du transport (bouton émaillé et boucle), d'un fond de boîte à sceller, d'un pied de vase et d'un bord de récipient, d'un anneau et de quelques fragments d'objets non identifiés.

Les autres matières, beaucoup moins bien représentées, se répartissent de la façon suivante : un fragment de fusaïole et un peson très fragmenté en terre cuite représentent 1,83 % du petit mobilier et totalisent 519 g (soit 21,11 % du poids total du petit mobilier), une hache polie en roche représente 0,92 % du petit mobilier et totalise 101 g (soit 4,12 % du poids total du petit mobilier), un fragment de bracelet en matière organique fossilisée représente 0,92 % du petit mobilier et pèse 10,5 g (soit 0,43 % du poids total du petit mobilier), une réparation de vase en métal blanc et terre cuite représente 0,92 % du petit mobilier et pèse 115 g (soit 4,68 % du poids total du petit mobilier), un objet indéterminé en métal blanc et fer représente 0,92 % du petit mobilier et pèse 15,33 g soit (0,62 % du poids total du petit mobilier), un bouton en alliage cuivreux et émail représente 0,92 % du petit mobilier et pèse 4,46 g (soit 0,18 % du poids total du petit mobilier).

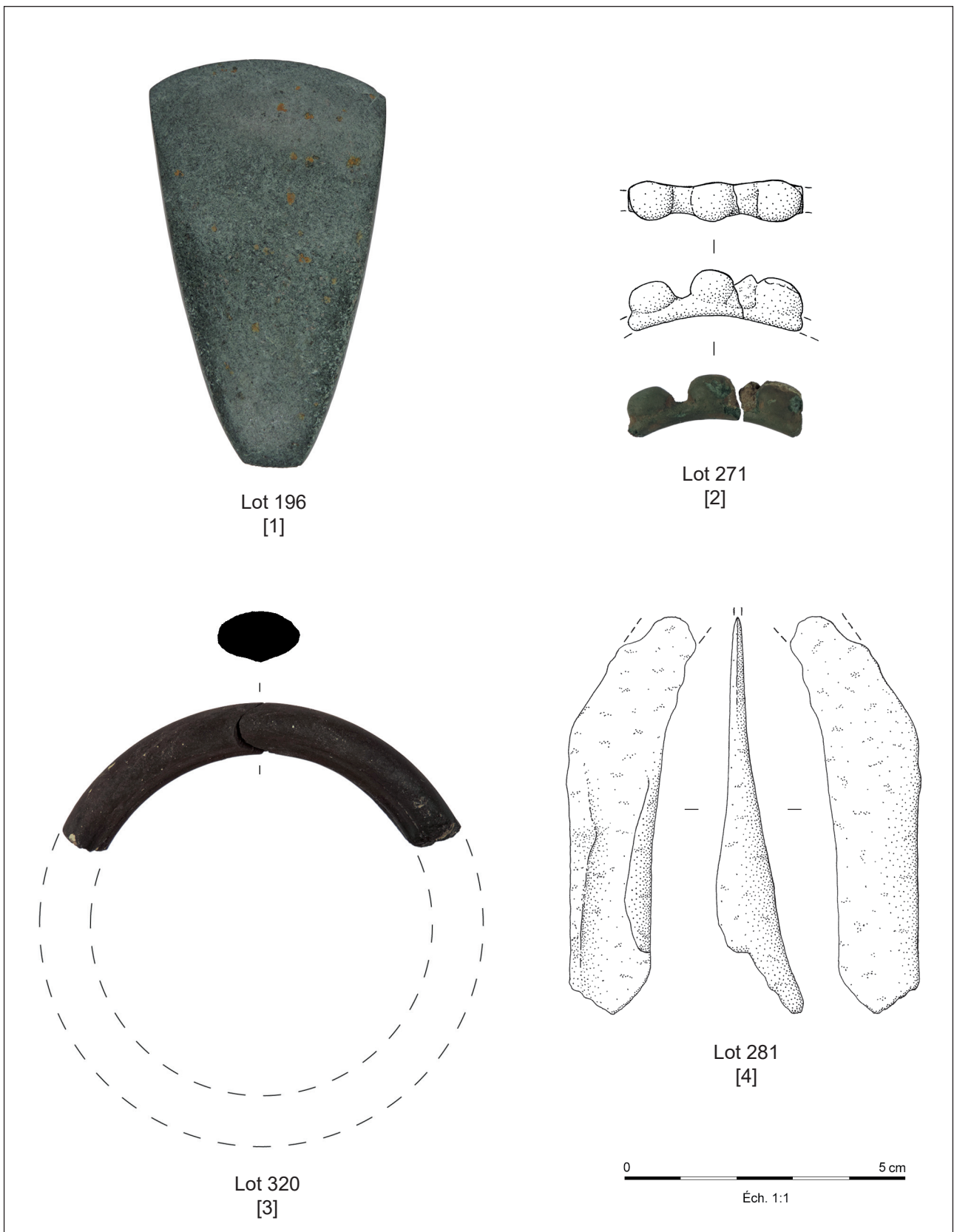
Plusieurs périodes sont représentées au sein du petit mobilier mis au jour à "Nétilly". Quelques rares objets appartiennent à des périodes antérieures à l'occupation de la *villa* : une hache polie, découverte cependant dans un contexte stratigraphique antique, un fragment de bracelet en alliage cuivreux attribuable au VII<sup>e</sup> ou VI<sup>e</sup> s. av. notre ère, un fragment de bracelet matière organique fossilisée, type porté principalement de La Tène C2 à La Tène D2 (180 à 30 av. J.-C.), un peson issu d'un contexte daté de La Tène finale, une petite serpette appartenant à un type utilisé aussi bien à l'époque gauloise qu'à l'époque romaine. La plupart des artefacts datables sont d'époque romaine (25 occurrences) et correspondent à l'occupation de la *villa*. Quatre objets datés des VI<sup>e</sup> et VII<sup>e</sup> siècles témoignent d'une occupation des lieux au début du haut Moyen-Âge ; il s'agit de trois objets se rapportant au vêtement (ferret, plaque-boucle, bouclette) et d'un indéterminé en fer. Le reste du petit mobilier correspond soit à des objets d'époque moderne (fusaïoles, boucle) et contemporaine (boutons, boucles, fragment de marmite et pièce de machine agricole) soit à des éléments non identifiés d'époque indéterminée.

### Le petit mobilier du Néolithique

Une hache polie du Néolithique (**fig. 1, n° 1**) provient d'un niveau d'occupation contemporain à la *villa*. Il s'agit vraisemblablement d'un dépôt volontaire lié à une croyance. En effet, la réutilisation de ce type d'objet à des fins religieuses est régulièrement pratiquée durant l'Antiquité. Les Anciens pensaient que ces pierres, nommées "céraunies", tombaient du ciel durant les orages et ils leur accordaient des vertus protectrices et magiques. De tels dépôts sont attestés au sein du sanctuaire de la Place des Épars à Chartres (Eure-et-Loir) dans un contexte daté III<sup>e</sup> s. ap. J.-C. (Joly *et al.* 2010 : 131-132) ainsi que sur le sanctuaire du "Gué de Sciaux" à Antigny (Vienne) dans des contextes datés du I<sup>er</sup> au IV<sup>e</sup> s. de notre ère (Bertrand 2018 : 541-545). Cette pratique est également attestée en contexte d'habitat comme par exemple sur la *villa* de "Beaudisson" à Mer (Loir-et-Cher) avec un dépôt composé de 9 haches polies, 1 couteau, 3 fibules, 1 monnaie de Domitien, 1 fossile ; **cet ensemble**, daté de la période V (70/90 à 250/275 ap. J.-C.) est interprété comme un dépôt de fondation réalisée à l'occasion d'une des phases de construction de la *villa* (Boucher, Lusson 2018 : 216, fig. 201, n° 1).

### Le petit mobilier de l'âge du Fer

Deux objets illustrent le domaine personnel : un fragment d'anneau de bras ou de jambe en alliage cuivreux et un fragment de bracelet en matière organique fossilisée. Le fragment d'anneau



**Fig. 1** : Sorigny, "Nétilly" (Indre-et-Loire). Hache polie [1] ; anneau de bras ou de cheville [2] ; bracelet [3] ; serpette [4]. Matériaux : alliage cuivreux [2] ; fer [4] ; matière organique fossilisée [3] ; roche [1]. Dessins : Th. Boucher ; photos : Ch. Lebrun ; DAO : É. Laurent.

à **bossettes correspond à une parure** de bras ou de cheville (**fig. 1, n° 2**) portée du premier âge du Fer (Hallstatt) au début de La Tène ancienne. Le fragment de bracelet en roche noire (**fig. 1, n° 3**) appartient à un type extrêmement fréquent tout au long de l'âge du Fer, particulièrement de La Tène C2 à La Tène D1-D2 (Pateyron 2019 : 132-133). Plusieurs bracelets de ce type sont attestés sur l'*oppidum* d'Amboise (Indre-et-Loire) : un exemplaire sur le site de la "Ruelle Farçin", dans un contexte appartenant à la période 1 datée de 30 av. J.-C. à 20 ap. J.-C. (Lusson 2018a : 171, photo 28 et 172, fig. 27, iso. 161) ; un exemplaire provenant de la fouille du VVF des Violettes, dans un contexte attribué à la période 1 datée de 110 av. J.-C. à 20 ap. J.-C. (Lusson 2018b : 155, fig. 59, lot 5183) ; quatre exemplaires sur le site de la "Butte de César", issus de contextes datés de 60 av. J.-C. à 20 ap. J.-C. (Laruaz 2019 : 180, fig. 159, lots 5337, 5345, 5346, 8974).

Un peson en terre cuite très fragmenté (**non figuré**), provenant d'un trou de poteau d'un bâtiment daté de La Tène finale, correspond à une activité de production artisanale.

### Le petit mobilier de l'âge du Fer ou d'époque romaine

Les activités agro-pastorales sont illustrées par une petite serpette à douille ouverte (**fig. 1, n° 4**). De taille réduite, ce type d'instrument est parfaitement adapté à la récolte de fruits ou aux travaux de la vigne (taille ou récolte des grappes). Des exemplaires similaires sont attestés à Mer, "La Gueule" II (Loir-et-Cher), dans un contexte attribué à la période IV datée de 40/30 av. J.-C. à 40/70 ap. J.-C. (Boucher, Lusson 2018 : 226, fig. 212, n° 3) et à Amboise, "Butte de César" (Indre-et-Loire) dans des contextes appartenant à la période 2 datée de 60 av. J.-C. à 20 ap. J.-C. (Laruaz *et al.* 2022 : 536, pl. 28, lot 12669 et 14901).

### Le petit mobilier d'époque romaine

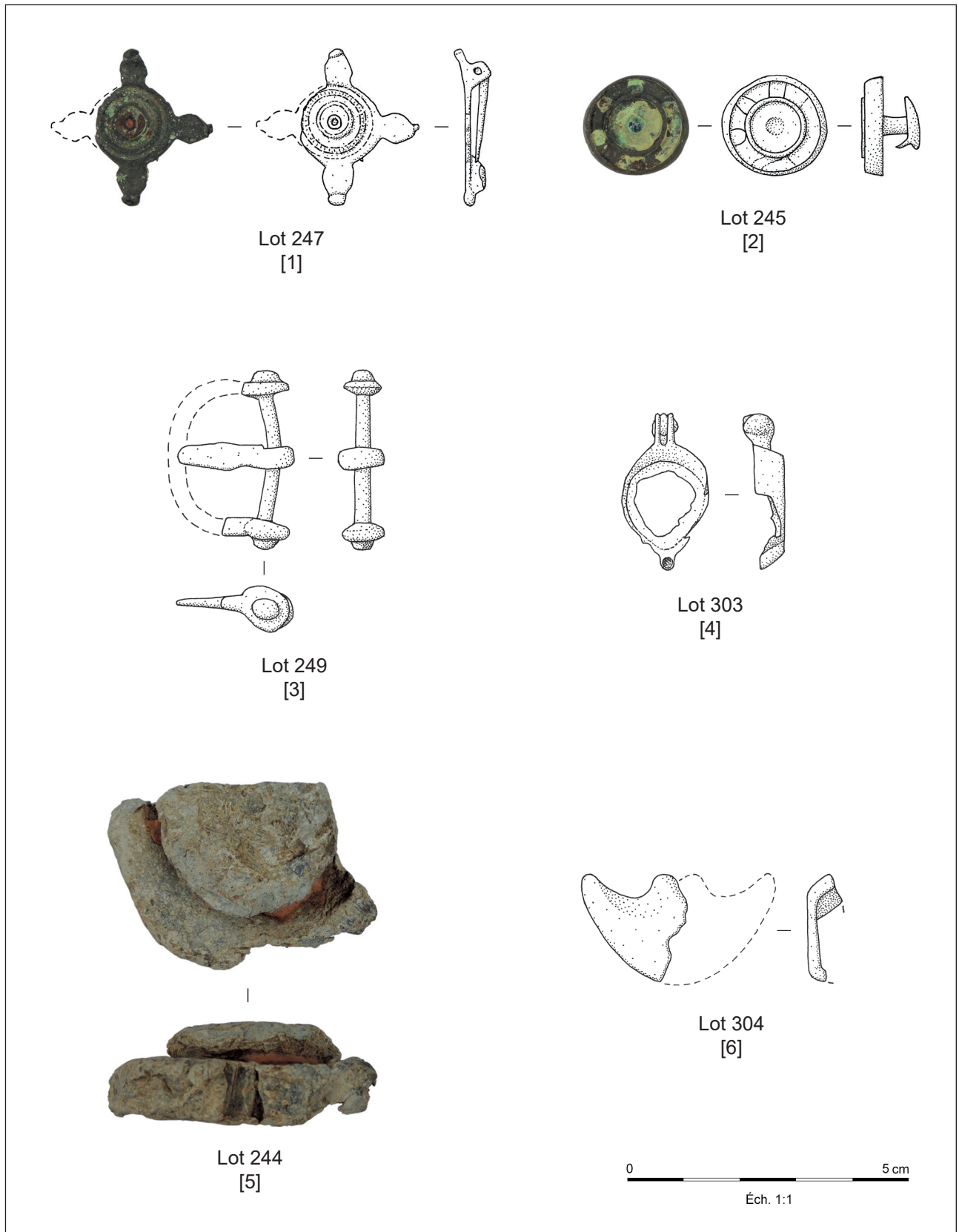
L'époque romaine est la période qui a livré le plus grand nombre d'artefacts (25 occurrences).

Deux objets, une fibule et un clou de chaussure, se rapportent à la parure et au vêtement.

La fibule circulaire à 4 appendices latéraux (**fig. 2, n° 1**) correspond au type F.27c daté du milieu du II<sup>e</sup> s. ap. J.-C. au début du III<sup>e</sup> s. ap. J.-C. (Feugère 1985 : 372). Un petit clou en fer à tête conique (**non figuré**) peut être considéré comme un clou de semelle de chaussure.

Le domaine du transport est illustré par deux objets : un bouton émaillé et un fragment de boucle.

Le bouton émaillé (**fig. 2, n° 2**) correspond à un élément décoratif destiné à orner les courroies de harnais ; cependant, il n'est pas totalement exclu qu'une telle garniture ait pu être utilisée sur un accessoire vestimentaire comme par exemple un ceinturon. Les boutons émaillés apparaissent vers la fin du I<sup>er</sup> s. ap. J.-C. ou le début du II<sup>e</sup> s. ap. J.-C. et sont à leur apogée durant la seconde moitié du II<sup>e</sup> s. et au début du III<sup>e</sup> s. ap. J.-C. Le harnais de tête découvert dans la sépulture du cheval de Beuningen aux Pays-Bas comportait deux boutons circulaires émaillés (Zwart 1998 : 80, fig. 3, n° 11-12) ; d'après A.J.M. Zwart, le cheval a probablement été enterré à la fin du I<sup>er</sup> s. ap. J.-C. ou au début du II<sup>e</sup> s. ap. J.-C. (*ibid.* : 82). Des boutons émaillés sont **également** attestés à Maillé, "Le Perrou", Indre-et-Loire (Boucher 2016 : 316, fig. 140, n° 1), à Angers (Maine-et-Loire) dans un contexte daté de 150 à 200 ap. J.-C. (Mortreau 2008 : 21, pl. 3, n° 7), à Corseul (Côtes-d'Armor) dans un contexte du III<sup>e</sup> s. ap. J.-C. (Le Cloirec 2001 : 83, fig. 21, n° 127), à Reims, Zac du Vieux Port (Marne) dans un contexte daté entre 215/220 et 240/245 ap. J.-C. (Brunet 2016 : 1630, fig. 17, n° OI 1132 - OI 1237), à Villetelle (Hérault) dans un contexte daté entre 125 et 175 ap. J.-C. (Manniez, Dupuy 2009 : 168, fig. 129, n° 1900), à Xanten en Allemagne dans un contexte du premier tiers du III<sup>e</sup> s. ap. J.-C. (Lenz



**Fig. 2 :** Sorigny, "Nétilly" (Indre-et-Loire). Fibule [1] ; bouton [2] ; boucle [3] ; boîte à sceller [4] ; plomb de réparation de vase [5] ; pied de casserole [6]. Matériaux : alliage cuivreux [1, 3-4 et 6] ; alliage cuivreux et émail [2] ; métal blanc et terre cuite [5]. Dessins : Th. Boucher ; photos : Ch. Lebrun ; DAO : É. Laurent.

2006 : pl. 82, n° 849, n° 851), à Avenches en Suisse dans un contexte daté de la deuxième moitié du II<sup>e</sup> s. au III<sup>e</sup> s. ap. J.-C. (Voirol 2000 : 63, pl. 21, n° 236).

Le fragment de boucle de “Nétilly” (**fig. 2, n° 3**) semble correspondre typologiquement à une boucle de harnais. En effet, plusieurs boucles similaires ont été mises au jour dans une écurie de la “Maison de Ménandre” à Pompei (Feugère 2002 : 76 et 77, fig. 2). Les boucles en forme de D apparaissent vers la fin du I<sup>er</sup> s. av. J.-C. ; elles sont principalement utilisées durant le I<sup>er</sup> s. ap. J.-C. et au siècle suivant. Les parallèles sont nombreux aussi bien en contexte civil qu’en contexte militaire : à Amiens, sur le site du “Palais des Sports / Coliseum” (Somme) dans un contexte daté entre 50/60 ap. J.-C. et 100/110 ap. J.-C. ; à Lyon (Rhône) dans un contexte daté de 20-15 av. J.-C. [n° 337] (Guillaud 2019 : 529, pl. 39, n° 334-337) ; **en Suisse, à Augst / Augusta Raurica** (Suisse) dans des contextes principalement datés des I<sup>er</sup> et II<sup>e</sup> s. ap. J.-C. (Deschler-Erb 1999 : pl. 40, n° 735-767), à Windish / *Vindonissa* (Unz, Deschler-Erb 1997 : **pl. 70, n° 2039-2057**) et à Avenches dans des contextes datés du I<sup>er</sup> au III<sup>e</sup> s. ap. J.-C. (Voirol 2000 : 61, pl. 19, n° 193-200) ; à Xanten (Allemagne) dans des contextes du I<sup>er</sup> s. ap. J.-C. (Lenz 2006 : pl. 48, n° 453-468 et pl. 49, n° 469-477).

Les activités socio-économiques sont illustrées par un fond de boîte à sceller en forme de goutte (**fig. 2, n° 4**). Les boîtes à sceller ont longtemps été considérées comme, quasi exclusivement, des objets destinés à sceller la correspondance sur tablettes ou à cacheter des paquets de diverses natures. De récentes recherches tendent à indiquer que ces artefacts ont pu servir de fermoirs de sacs ou de bourses destinés à contenir des objets de valeur comme des monnaies ou des bijoux (Andrews 2012 : 80-98).

Les boîtes à sceller de type 2d correspondent aux boîtes en forme de goutte dont l’absence de couvercle ou de décor sur le couvercle ne permet pas de rattacher l’objet à un modèle particulier du type 2. Dans le Centre-Ouest de la Gaule, le type 2d est attesté par 14 occurrences (Bertrand, Boucher 2021 : 124-125 et 135, pl. 2, n° 40-49) ; il est daté du milieu du I<sup>er</sup> s. ap. J.-C. à la fin du III<sup>e</sup> s. ap. J.-C. (*ibid.* : 116, fig. 8).

Deux objets, une réparation en plomb de récipient en terre cuite et un pied de casserole en alliage cuivreux, se rapportent au domaine domestique et plus spécifiquement aux activités culinaires.

La réparation de vase (**fig. 2, n° 5**) permettait de colmater un trou de petite taille dans un récipient en terre cuite. D’après Bastien Dubuis, la pose de ce type de réparation implique sans doute l’applique de boudins d’argile pour contenir le plomb en fusion (Dubuis 2015b : 319). De telles réparations en plomb sont attestées en Indre-et-Loire à Maillé, “Le Perrou” 1 (Boucher 2016 : 319, fig. 143, n° 1 et n° 5), à Joué-les-Tours, ZAC des Courelières (Boucher 2017 : 125, fig. 23, n° 5) et sur le balnéaire antique de Cinais, “Les Onglées” (Boucher 2019 : 72, fig. 106, n° 5-6). D’autres réparations sont attestées à Mer (Loir-et-Cher) sur le site d’“Herbilly”, encore en place sur un grand vase à liquide du III<sup>e</sup> s. ap. J.-C. (Moireau, Genty 1991 : 198, fig. 5, n° 21), et sur la *villa* de “Beaudisson” (Boucher, Lusson 2018 : 215, fig. 200, n° 13 et 220, fig. 205, n° 20) dans un contexte daté de 70/90 à 250/275 ap. J.-C. (n° 13) ; au Mans, “Place des Jacobins” dans la Sarthe (Chevet *et al.* 2014 : 142, fig. 18, n° 82-83) ; à Changis-sur-Marne, “Chemin de la Fosse de la Haye” / “La Masure à Boquet”, (Seine-et-Marne) dans un contexte daté du III<sup>e</sup> s. ap. J.-C. (Leconte 2016 : 140, fig. 19, n° 10-11) ; à Labergement-Foigny en Côte-d’Or (Dubuis 2015a : 249, n° M-115, 251, n° M-126, 273, n° M-251) ; à Magny-Cours, sanctuaire du “Pré de la Fontaine” dans la Nièvre (Ducreux 2016 : 939, fig. 273, n° 3000-311 et 3000-228).

Le pied en forme de *pelta* correspond probablement à un pied casserole (**fig. 2, n° 6**). Généralement utilisés par trois, les pieds (parfois appelés “supports”) de vaisselle métallique servent à protéger des chocs le fond, souvent très mince, des récipients ; ces pieds sont fixés par brasure. D’après les parallèles datés, ce type de pied semble utilisé durant la seconde moitié du I<sup>er</sup> s. ap. J.-C. et au siècle



suivant. Des exemplaires identiques sont attestés à Parçay-Meslay, “La Roche-Deniau” (Indre-et-Loire) dans un contexte attribué à la période 3 datée de 40 à 60-70 ap. J.-C. (Fouillet, Lusson 2015 : 186, fig. 70, iso. 6181.14) ; à Antigny, au sanctuaire du “Gué-de-Sciaux” (Vienne) dans un contexte daté de la seconde moitié du I<sup>er</sup> s. ap. J.-C. et du II<sup>e</sup> s. ap. J.-C. (Bertrand 2018 : 603, fig. 672, n° 23) ; à Amiens, “Palais des Sports / Coliseum” (Somme) dans un contexte daté entre 50/60 ap. J.-C. et 100/110 ap. J.-C. (Canny, Thuet 2010 : 169, fig. 30, n° 596) ; à Corseul, “La Métrie” 2 dans les Côtes-d’Armor (Petit 2018 : 264, fig. 296, n° 14) ; à Colchester en Grande-Bretagne, dans un contexte daté vers 75/80 ap. J.-C. (Crummy 1995 : 72, fig. 76, n° 2051).

Un fragment d’emboîture de canalisation (fig. 3, n° 1) provient du fossé de l’enclos de la villa. Ce type d’élément métallique, lié aux aménagements hydrauliques, assurait l’assemblage des canalisations en bois destinées à la distribution et à l’évacuation de l’eau (pour une restitution voir : Brissaud, Loiseau : 2015 : 493, fig. 7). La récente étude de Laurence Brissaud et Christophe Loiseau recense plus de 120 occurrences d’emboîtures sur le territoire gaulois (*ibid.* : 516) ; certaines sont encore en position sur la canalisation de bois. En Gaule, si quelques rares canalisations en bois reliées par des emboîtures sont connues dès le dernier tiers du I<sup>er</sup> s. av. J.-C., la grande majorité de ces structures hydrauliques sont associées à des contextes du I<sup>er</sup> s. ap. J.-C. au III<sup>e</sup> s. (*ibid.* : 497). De telles emboîtures sont attestées en Indre-et-Loire, sur le site du balnéaire de Cinais (Boucher 2019 : 81, fig. 114, n° 1), à Veigné, “Vaugourdon” (étude en cours, fouilles N. Fouillet - Inrap) et à Panzoult, villa de “Plat Loup” (découverte de surface en prospection). Ailleurs en région Centre, des emboîtures de canalisations sont connues à Martizay et Saint-Marcel/Argentomagus dans l’Indre, à Lazenay dans le Cher et à Chartres en Eure-et-Loir (Brissaud, Loiseau : 2015 : 516).

L’artisanat du textile est attesté par un fragment de fusaïole en terre cuite à pâte rouge (fig. 3, n° 2).

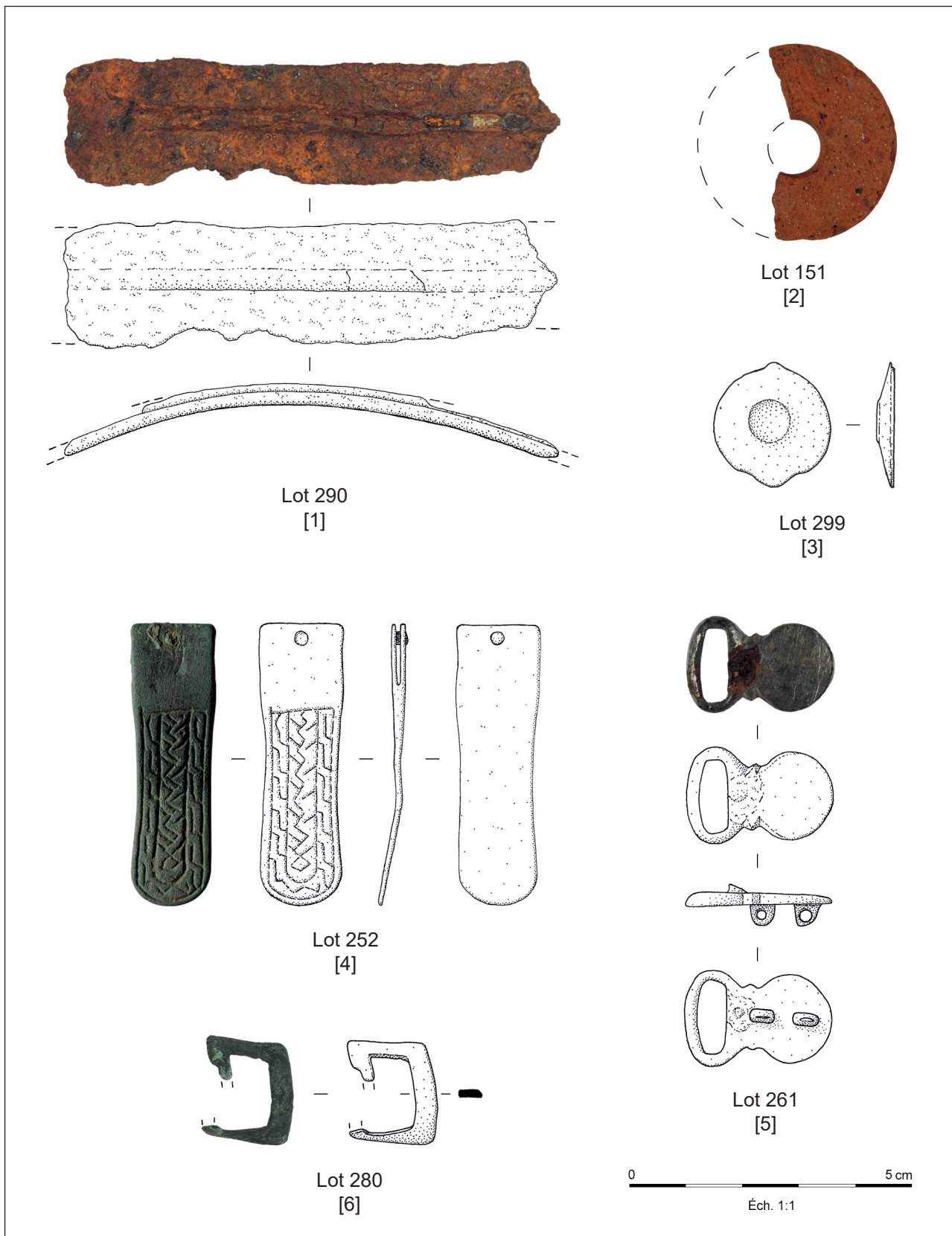
Une petite plaque de forme à peu près circulaire, pourvue d’une dépression centrale également circulaire et destinée sans doute à accueillir à l’origine un décor émaillé, pourrait correspondre à un couvercle ou une applique (fig. 3, n° 3). L’aspect général de l’objet fait penser à une production d’époque romaine.

Le reste du petit mobilier attribué à l’époque romaine se compose d’objets inclassables du fait de leurs usages divers et polyvalents ou indéterminés (non figurés). Il s’agit de 6 clous de menuiserie en fer ; 6 tiges en fer de section quadrangulaire pouvant éventuellement correspondre à des clous ; 1 tige en fer de section ronde ; 1 fragment de plaque en fer et un fragment informe en fer.

## Le petit mobilier du haut Moyen-Âge

Quatre objets du haut Moyen-Âge, plus précisément des VI<sup>e</sup> et VII<sup>e</sup> siècles, ont été mis au jour lors du diagnostic. Il s’agit de trois accessoires de vêtement et d’une petite tôle enroulée de fonction indéterminée. Les trois accessoires vestimentaires proviennent du secteur de la villa et la tôle enroulée est issue d’une sépulture de la nécropole.

Le ferret (fig. 3, n° 4), appelé aussi mordant, constitue une garniture de jarretière ou de chaussure ; il est fixé à l’aide d’un petit rivet à l’extrémité d’une lanière de cuir ou d’un lacet. De tels ferrets linguiformes, généralement datés du VII<sup>e</sup> s., sont attestés en Indre-et-Loire : à Monts, “Le Petit Nétilly” (Bigot 2017 : 393, fig. 434 et 420, fig. 464, iso. 24), à Joué-les-Tours, “La Flottière” (étude en cours, fouilles S. Joly - Inrap) ; à Beaumont-en-Véron, “Le Carroi Ragueneau” (Boucher 2003 : 16, fig. 12, n° 1), au sein des nécropoles de Courçay, “Le Breuil” (Cordier 1973 : 31, fig. 2, n° 5), de Vernou [n° 73-74] et de Saint-Antoine-du-Rocher [n° 75], dans le parc de l’Ardrée (Lelong 1993 : 32, n° 73-75). Toujours en Indre-et-Loire, le sarcophage F6 de la nécropole de Neuillé-le-Lierre a livré



**Fig. 3 :** Sorigny, "Nétilly" (Indre-et-Loire). Emboîture de canalisation [1] ; fusaïole [2] ; applique ou couvercle [3] ; ferret [4] ; plaque-boucle [5] ; bouclette [6]. Matériaux : alliage cuivreux [3-6] ; fer [1] ; terre cuite [2]. Dessins : Th. Boucher ; photos : Ch. Lebrun ; DAO : É. Laurent.

deux ferrets retrouvés au niveau des pieds de l'inhumé (Pichon 2015 : 39, fig. 26, iso. 3 et 6) ; cette sépulture est datée des deux premiers tiers du VII<sup>e</sup> siècle. Signalons également des ferrets similaires mis au jour dans la tombe 39 de la nécropole de Saint-Sauveur dans la Somme (Ben Redjeb 2007 : 111, fig. 92 et 174, fig. 136, T.39, 1-3) ; cette tombe est datée de la fin de la phase MA3 et du début de la phase MR1, soit vers 600/610.

La petite plaque-boucle coulée d'une seule pièce (**fig. 3, n° 5**) correspond soit à une garniture de baudrier, soit, plus probablement, à une garniture de chaussure. Ce type de plaque-boucle apparaît dès le second quart du VI<sup>e</sup> siècle et peut-être même avant ; il est en usage ponctuellement jusqu'à la fin du VII<sup>e</sup> siècle. Au vu des recherches récentes, ces petites plaques-boucles monoblocs sont principalement utilisées entre la seconde moitié du VI<sup>e</sup> siècle et la première moitié du VII<sup>e</sup> siècle (Lorren 2001 : 326). Des exemplaires assez proches (mais pourvus de décors gravés) sont connus à Saint-Sauveur (Somme) dans une tombe attribuée de la phase MA3, soit vers 560/570 à vers 600/610 (Ben Redjeb 2007 : 109, fig. 84 et 219, fig. 165, T. 125, n° 1), à Vorgues (Aisnes) dans des sépultures datées de la deuxième moitié du VI<sup>e</sup> s. [sép. 20] et vers 600 [sép. 25] (Flèche-Mourgues 1988 : 109, fig. 44, sép. 25 et fig. 45, sép. 20), à Goudelancourt-lès-Pierrepont (Aisne) dans une sépulture féminine datée de la phase MR1, soit vers 600/610 à vers 630/640 de notre ère (Nice 2008 : 203, fig. 282, S.298 et 205, fig. 284, S.298). Des petites plaques-boucles monoblocs à **plaques** de formes rondes ou scutiformes sont également signalées à Muids et Pont-Authou dans l'Eure, ainsi qu'à Londinières et Dieppe en Seine-Maritime (Lorren 2001 : pl. 46, n° 1-4).

La bouclette rectangulaire (**fig. 3, n° 6**), trop petite pour servir de fermoir de ceinture, est plutôt à mettre en relation avec la fixation d'autres accessoires vestimentaires tels que les aumônières, les jarretières, les chaussures, etc. (Burnell, Lorans, Theureau 1994 : 148-149). Une telle bouclette a **également pu servir à la suspension de fourreau de couteau, de scramasaxe ou d'épée** (Périn 1985 : 470). Les parallèles sont extrêmement nombreux et indiquent une période d'utilisation centrée sur le VI<sup>e</sup> siècle. En région centre, on retrouve ce type de bouclette à Joué-les-Tours, ZAC des Courelières en Indre-et-Loire (Boucher 2017 : 128, fig. 26, n° 18), à Saint-Firmin-des-Prés (Loir-et-Cher) dans une sépulture datée de 525 à 600 (Burnell, Lorans, Theureau 1994 : 183, pl. 4, n° 3), à Chartres, "Cœur de Ville" (Eure-et-Loir) dans un contexte funéraire résiduel daté de 470 à 640 (Ben Kaddour 2014 : 70, pl. 9, n° C190.60154.2). D'autres bouclettes rectangulaires sont attestées **à Montataire dans l'Oise** (Decormeille-Patin, Blondiaux, Vallet 1999 : 171, fig. 66, S.217 et S.245 et 174, fig. 67, S.246 et S.274) dans des contextes datés de 525 à 600 (S.217 et S.246), du milieu du VI<sup>e</sup> s. (S.245) et de la seconde moitié du VI<sup>e</sup> siècle (S.274), à Goudelancourt-lès-Pierrepont (Aisne) dans des sépultures datées de 560/570 à 600/610 (Nice 2008 : 180), dans le département des Yvelines à Septeuil et à Villette (Barat 2001 : 150, fig. 12, S.42, **n° 3 et 161, fig. 21, S.1**, n° 3) dans des tombes datées de la fin du VI<sup>e</sup> s. (S.42) et du courant du VI<sup>e</sup> s. (S.1), à Valdivienne, nécropole de Cubord-le-Claireau (Vienne) dans la sépulture 96 datée du VI<sup>e</sup> s. de notre ère (Boissavit-Camus 1989 : 115, n° 130), à Clermont-Ferrand, ZAC de Trémonteix lot 1 (Puy-de-Dôme) dans une sépulture datée entre 570 et 600 (Raux 2013 : 222, pl. 1, n° 16).

Un fragment de tôle enroulée de fonction indéterminée (**non figuré**) provient d'une sépulture datée des deux premiers tiers du VII<sup>e</sup> siècle.

### **Le petit mobilier probablement d'époque romaine ou du haut Moyen-Âge**

27 occurrences sont considérées comme pouvant appartenir soit à la période romaine soit au haut Moyen-Âge. Il s'agit principalement d'objets incomplets dont l'identification est rendue de ce fait mal aisée et de déchets liés au recyclage du plomb.

Deux fragments d'objets en plomb, à l'origine discoïdaux et pourvus d'une perforation centrée, sont de fonction incertaine (**fig. 4, n° 1-2**). Selon les auteurs, ces disques percés peuvent correspondre à des poids, à des **lests de filet** ou à des fusaïoles... Signalons que de tels objets sont identifiés comme des fusaïoles à Horbourg-Wihr (Haut-Rhin) dans un contexte du II<sup>e</sup> s. ap. J.-C. (Higelin 2019 : 275 pl. 21, n° 304), sur la *villa* de Grigy à Metz (Brkojewitsch *et al.* 2021 : 181, fig. 180, n° 5) et à Bliesbruck (Sebag 2018 : 152, fig. 15) en Moselle. À Andone (Charente), sur un *castrum* fondé durant la seconde moitié du X<sup>e</sup> et abandonné vers 1020, des objets similaires sont considérés comme des poids (Bourgeois 2009 : 131, fig. 3.6, n° 66-67). Un fragment d'objet, probablement discoïde à l'origine, semble avoir été découpé à l'aide d'une cisaille ou d'un ciseau (**fig. 4, n° 3**) ; il pourrait s'agir d'un objet en cours de recyclage similaire aux deux artefacts précédents. Le fragment de tôle en alliage cuivreux à bord légèrement épaissi correspond sans doute à un fragment de récipient métallique (**fig. 4, n° 4**). L'usage de plusieurs objets ou fragments est plus difficile à interpréter. Il s'agit d'un rivet en plomb (**fig. 4, n° 5**), d'un fragment de manche ou de sonnaile en fer (**fig. 4, n° 6**), d'un fragment de plaquette en alliage cuivreux qui peut appartenir à **une garniture d'ameublement** (**fig. 4, n° 7**) et d'un fragment en plomb, probablement sphérique et perforé à l'origine, qui peut correspondre à **un poids ou à un lest de filet** (**fig. 4, n° 8**).

Les objets restants peuvent être classés comme des déchets artisanaux (coulores et tôles pliées en plomb) et des fragments de tôles et débris en alliage cuivreux (**non figurés ; voir catalogue**).

### Le petit mobilier d'époque moderne

Le petit mobilier pouvant être rattaché à l'époque moderne compte 5 occurrences. Il s'agit de quatre fusaïoles et d'une boucle.

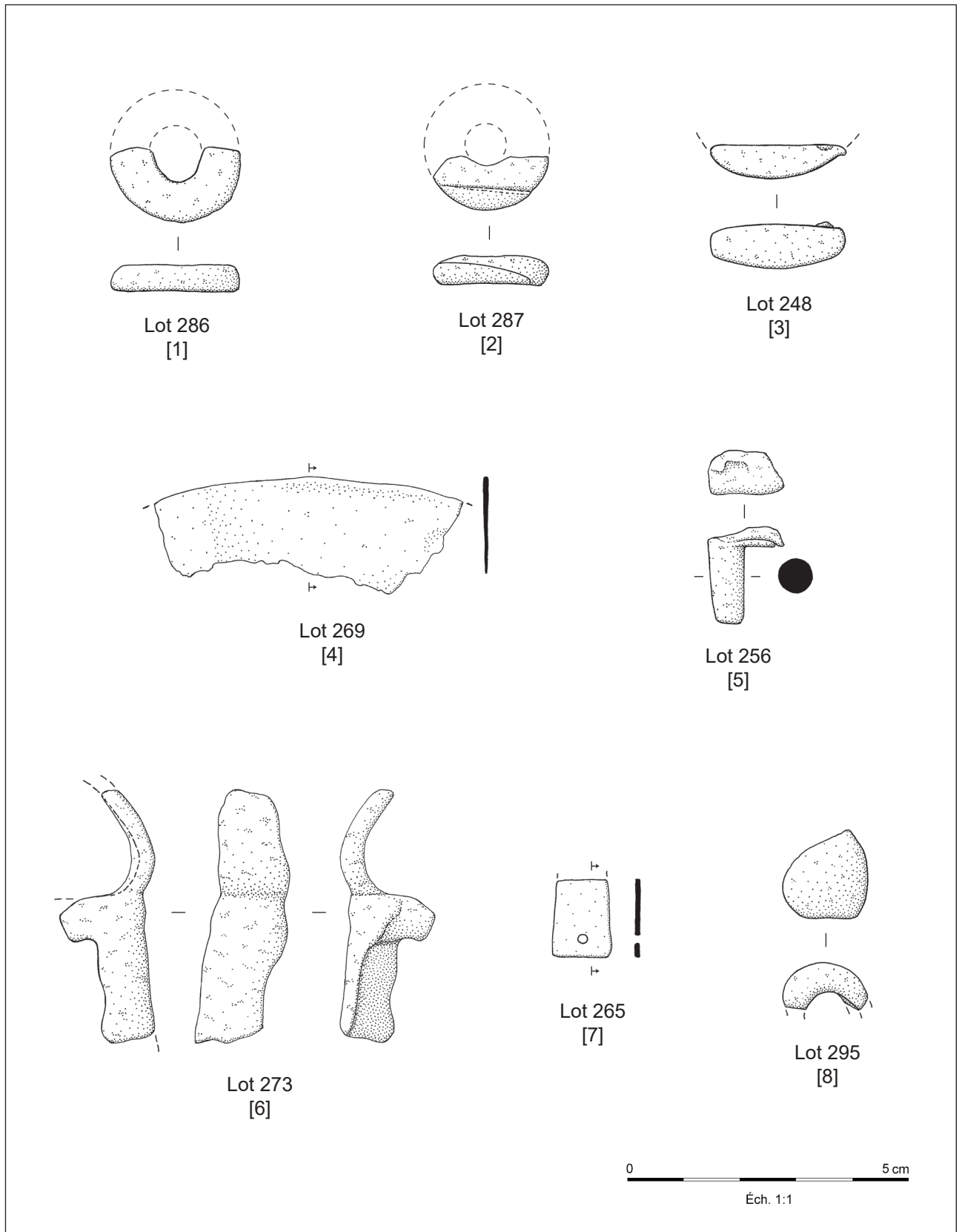
Les quatre fusaïoles à **excroissances triangulaires** (**fig. 5, n° 1, 3-4**) ou globulaires (**fig. 5, n° 2**) correspondent à des objets qui ont longtemps été considérés comme des rouelles gauloises (Dubois 1997 : 123-127 ; Feugère 1997 : 14 ; Giot 1988 : 141-144). Il est aujourd'hui avéré qu'il s'agit en fait de fusaïoles d'époque moderne. Des fusaïoles de ce type sont attestées à Troyes, Campus (Aube) dans un contexte daté des XIV<sup>e</sup> et XV<sup>e</sup> siècles (Legros 2015 : 170, fig. 109, n° 28), à Asnières-sur-Vègre, Manoir de la Cour (Sarthe) dans un contexte daté de la deuxième moitié du XV<sup>e</sup> siècle et du début du XVI<sup>e</sup> siècle (Soulat 2014 : 138, pl. 1, n° 003), à **Rennes, station Sainte-Anne (Ille-et-Vilaine) dans un dépôt daté de la première moitié du XVI<sup>e</sup> siècle** (Labaune-Jean 2014 : 16, fig. 4). Signalons également la découverte d'une fusaïole millésimée à Lamoura (Jura) sur laquelle on peut lire sur une face JEHAN GRVET (probablement le nom du fondeur) et sur l'autre face PATER 1604 correspondant certainement à l'année de fabrication (Montrot 1954 : 77, fig. 6). Plusieurs fragments de moules à fusaïoles (dits moules à rouelles) en schiste ardoisier sont connus en Indre-et-Loire : à Saint-Épain, "La Loutière" (Fréon 1953 : 49), conservé par Société Archéologique de Touraine ; à Huismes, "La Motte" (Bordier 1964 : 297-298) et à Benais, "La Croix Jacquet" (collection des musées de la communauté Chinon, Vienne et Loire ; n° inv. 2014.0.144).

Une petite boucle rectangulaire à deux fenêtres (**fig. 5, n° 5**) dispose d'un parallèle à Tours, Rue du Petit-Saint-Martin (Indre-et-Loire) en position redéposé dans un contexte daté des XV<sup>e</sup> et XVI<sup>e</sup> siècles (Motteau 1991 : 25, n° 99).

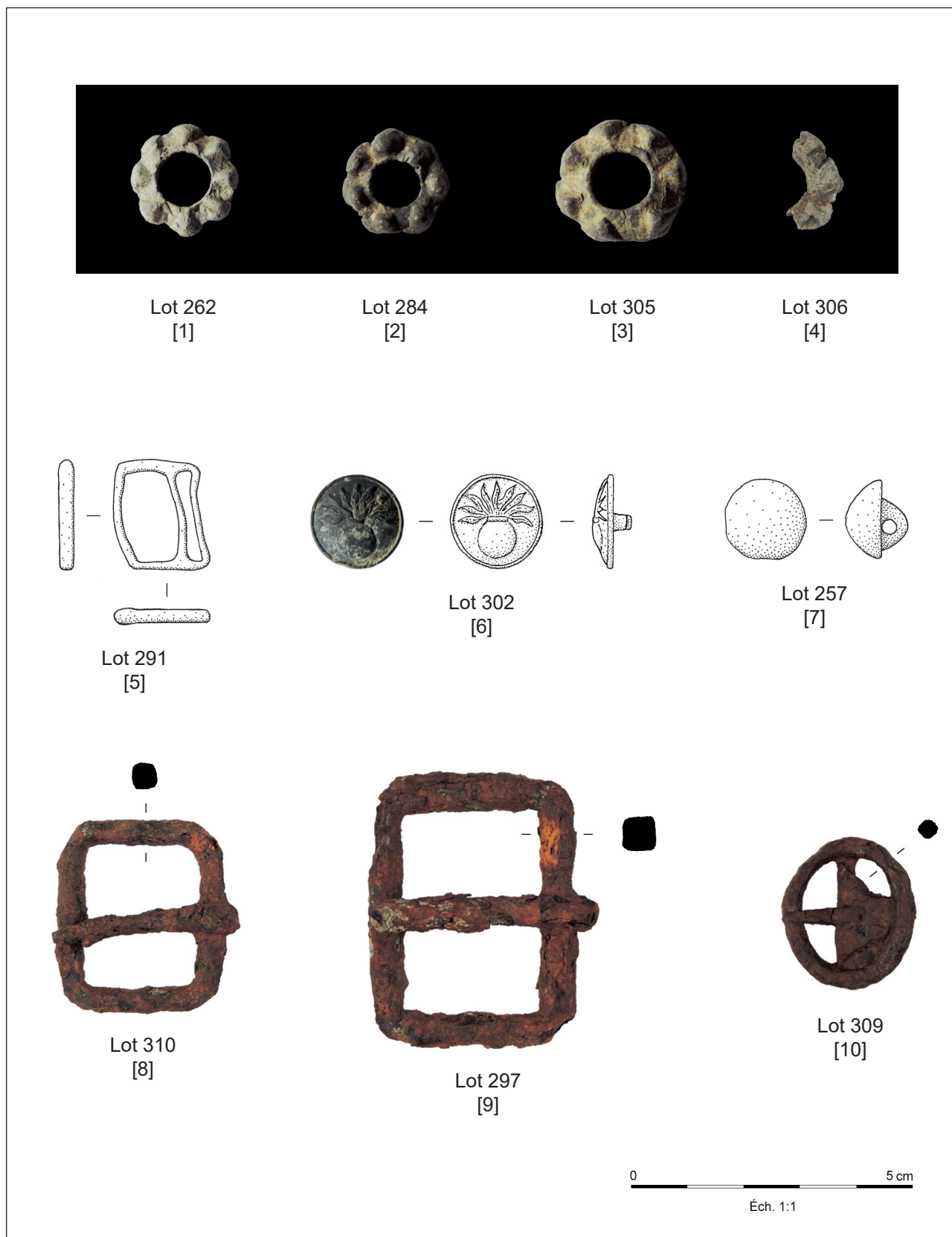
### Le petit mobilier d'époque contemporaine

Quatre objets sont d'époque contemporaine. Il s'agit d'un bouton, d'un élément de machine agricole, d'un fragment de récipient et d'un fragment de tige.

Le bouton dit "à la grenade enflammée" (**fig. 5, n° 6**) équipe l'uniforme des régiments d'infanterie



**Fig. 4 :** Sorigny, “Nétilly” (Indre-et-Loire). Fusaiöles [1-2] ; indéterminé [3] ; bord de récipient [4] ; rivet [5] ; sonnaie ou manche [6] ; applique [7] ; lest de filet [8]. Matériaux : alliage cuivreux [4 et 7] ; fer [6] ; métal blanc [1-3, 5 et 8]. Dessins : Th. Boucher ; photos : Ch. Lebrun ; DAO : É. Laurent.



**Fig. 5 :** Sorigny, “Nétilly” (Indre-et-Loire). Fusaiöles [1-4] ; boucles [5, 8-10] ; boutons [6-7]. Matériaux : alliage cuivreux [5] ; fer [8-10] ; métal blanc [1-4 et 6-7]. Dessins : Th. Boucher ; photos : Ch. Lebrun ; DAO : É. Laurent.

de l'armée française à partir de 1871 et il perdure jusqu'à la fin de la Première Guerre mondiale. Il est probable que ces boutons continuent à être utilisés ultérieurement, en contexte civil, par les anciens combattants.

La pièce de machine agricole correspond à une dent, également appelée "doigt", de barre de coupe de faucheuse (**non figurée**). Les faucheuses à barre de coupe étaient particulièrement utilisées durant la première moitié du XX<sup>e</sup> siècle.

Parmi les objets non figurés, signalons un fragment de couvercle de marmite d'un type fréquent au XIX<sup>e</sup> et XX<sup>e</sup> siècles et un fragment de tige de section quadrangulaire correspondant sans doute à un clou ; ce dernier est issu d'un contexte daté des XIX<sup>e</sup> et XX<sup>e</sup> siècles.

### **Le petit mobilier probablement d'époque moderne ou contemporaine**

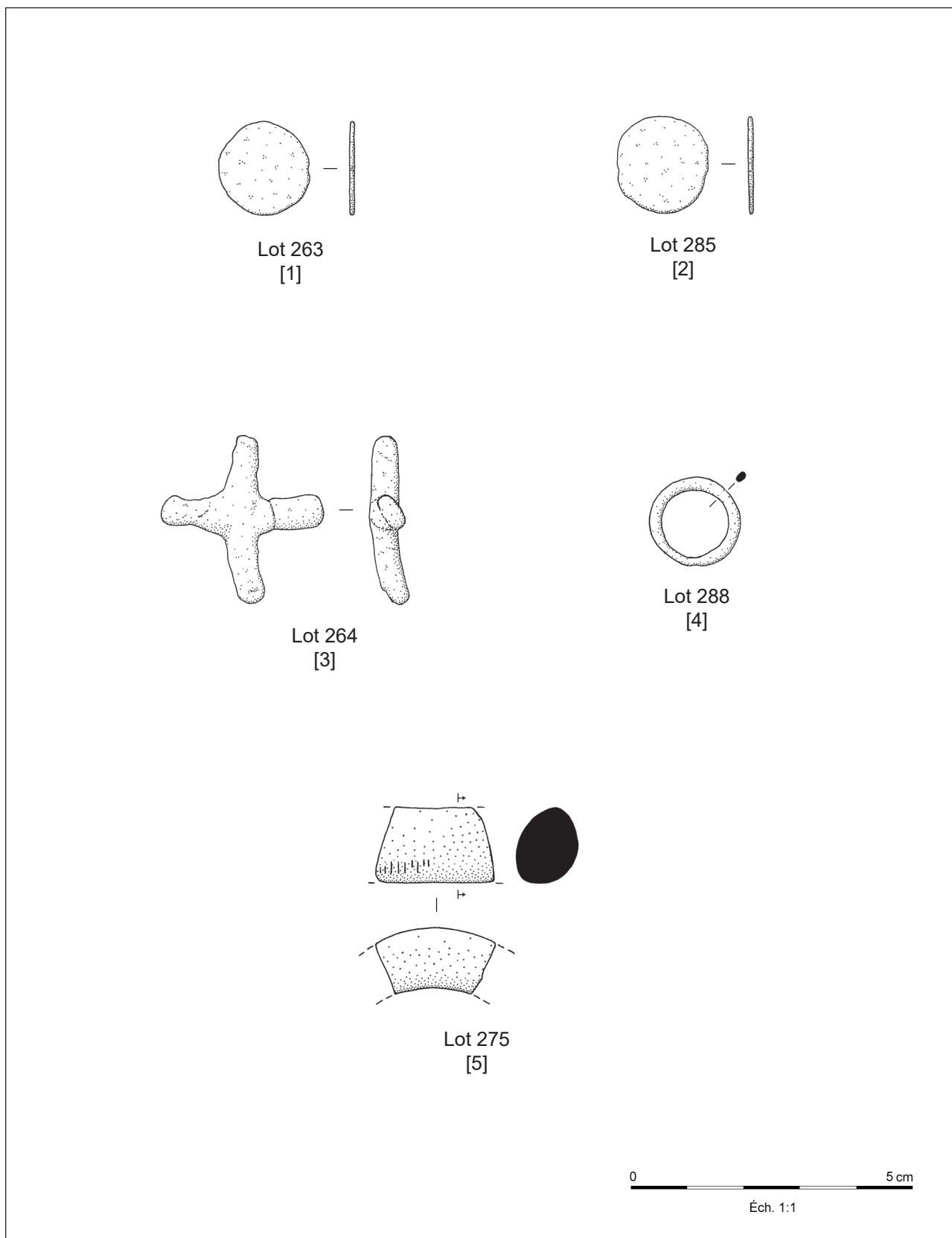
Un bouton en plomb semi-sphérique (**fig. 5, n° 7**) et trois boucles en fer (**fig. 5, n° 8-10**) sont probablement à rattacher soit à l'époque moderne, soit à l'époque contemporaine. Les deux boucles rectangulaires appartiennent à un type destiné à équiper le harnais des chevaux (**fig. 5, n° 8-9**) tandis que la petite boucle ovale est plutôt identifiée comme un accessoire vestimentaire (**fig. 5, n° 10**).

### **Le petit mobilier d'époque indéterminée**

35 occurrences n'ont pas pu être rattachées à une époque particulière. Soit parce qu'il s'agit d'objets utilisés à toutes périodes historiques (anneaux, clous...), soit parce qu'il s'agit d'objets non identifiés ou trop lacunaires (ferrures, rondelles en plomb...).

Parmi les éléments d'époque indéterminée, cinq objets sont illustrés. Il s'agit de deux fines rondelles (**fig. 6, n° 1-2**) et d'une croix (**fig. 6, n° 3**) en métal blanc et de deux anneaux en alliage cuivreux (**fig. 6, n° 4-5**).

Le reste du petit mobilier métallique (**non figuré ; voir catalogue**) se compose de douze clous en fer, dix fragments de tiges de section quadrangulaire en fer correspondant sans doute à des clous, deux ferrures, un fragment de boucle ou de maillon en fer, trois fragments indéterminés en fer, un fragment de tige de section plano convexe en métal blanc traversé par un petit clou de fixation en fer et un fragment de plaque circulaire (?) en métal blanc décoré d'une rainure.



**Fig. 6** : Sorigny, "Nétilly" (Indre-et-Loire). Rondelles [1-2] ; croix [3] ; anneaux [4-5]. Matériaux : alliage cuivreux [4-5] ; métal blanc [1-3]. Dessins : Th. Boucher ; photos : Ch. Lebrun ; DAO : É. Laurent.



## Catalogue

Les dimensions sont données en mm.

### ***Petit mobilier du Néolithique***

#### **Hache (fig. 1, n° 1).**

Lot 196 ; US 24.

Domaine d'activité : spirituel ; catégorie : croyances, funéraire.

Matière : roche verte ; jade d'origine alpine probable (pyroxénite sodique ?).

Dimensions : long. : 73 ; larg. max. : 34 ; ép. : 14. Poids : 101 g.

Dation du contexte : niveau d'occupation de la *villa*.

Datation typologique : néolithique.

Petite hache polie en roche verte.

### ***Petit mobilier de l'âge du Fer***

#### **Anneau de bras ou de cheville (fig. 1, n° 2).** Lot 271 ; US 526 ; objet n° 10.

Domaine d'activité : personnel ; catégorie : parure, vêtement.

Matière : alliage cuivreux.

Dimensions : long. : 31 ; ép. : 7. Poids : 7,02 g.

Datation typologique : parure portée du premier âge du Fer (Hallstatt) au début de La Tène ancienne.

Fragment d'anneau à **bossettes ; en 2 fragments.**

#### **Bracelet (fig. 1, n° 3).** Lot 320 ; US 67.

Domaine d'activité : personnel ; catégorie : parure, vêtement.

Matière : matière organique fossilisée (MOF) ; lignite (?).

Dimensions : long. : 71,25 ; larg. : 15 ; ép. : 9. Poids : 10,5 g.

Datation typologique : Tène C2 à la Tène D2 principalement (180 à 30 av. J.-C.).

Bracelet incomplet en 2 fragments ; section ovale.

#### **Peson(s) (non figuré)** Lot 192 ; F 616 ; US 125.

Domaine d'activité : production ; catégorie : artisanat.

Matière : terre cuite.

Poids : 510 g.

Datation du contexte : trou de poteau d'un bâtiment daté de La Tène finale.

7 fragments brûlés d'un peson.

### ***Petit mobilier de l'âge du Fer ou d'époque romaine***

#### **Serpette (fig. 1, n° 4).** Lot 281 ; US 536.

Domaine d'activité : production ; catégorie : agro-pastorale.

Matière : fer.

Dimensions : long. : 71 ; larg. max. au niveau de la base de la lame : 17,5 ; ép. max. au niveau de la douille : 12. Poids : 17,95 g.

Datation typologique : connu dès l'époque gauloise et durant l'époque romaine.

Petite serpe à douille ouverte dont la lame est brisée.

### **Petit mobilier d'époque romaine**

**Fibule, type Feugère 27c (Feugère 1985 : 368) (fig. 2, n° 1).** Lot 247 ; US 502.

Domaine d'activité : personnel ; catégorie : parure, vêtement.

Matière : alliage cuivreux.

Dimensions : long. : 28 ; larg. : 21 ; ép. : 7. Poids : 2,62 g.

Datation typologique : du milieu du II<sup>e</sup> s. ap. J.-C. au début du III<sup>e</sup> s. ap. J.-C. (Feugère 1985 : 372).

Fibule circulaire comportant 4 appendices latéraux disposés symétriquement. Le corps de la fibule est pourvu de 2 couronnes concentriques à l'origine émaillées. Au centre, une perforation obstruée rappelle la présence initiale d'un élément riveté.

**Clou de chaussure (non figuré)** Lot 258 ; US 513 ; objet n° 13.

Domaine d'activité : personnel ; catégorie : parure, vêtement.

Matière : fer.

Dimensions : long. : 12,5 ; larg. de la tête : 9. Poids : 1,08 g.

Datation typologique : époque romaine.

Clou de chaussure entier à tête légèrement conique et à tige tordue.

**Bouton émaillé (fig. 2, n° 2).** Lot 245 ; US 500.

Domaine d'activité : transport ou personnel ; catégorie : équipement lié à l'animal ou parure, vêtement.

Matières : alliage cuivreux et émail.

Dimensions : diam. max. : 19 ; ép. : 10,5. Poids : 4,46 g.

Datation typologique : II<sup>e</sup> - III<sup>e</sup> s. ap. J.-C.

Bouton à tête circulaire et à bord rabattu. Décor de loges concentriques émaillées. Au revers, un rivet de fixation.

**Boucle (fig. 2, n° 3).** Lot 249 ; US 504 ; objet n° 2.

Domaine d'activité : transport ou personnel ; catégorie : équipement lié à l'animal ou parure, vêtement.

Matière : alliage cuivreux.

Dimensions : long. : 32 ; long. de l'ardillon : 21 ; ép. de l'œillet de l'ardillon : 8,25. Poids : 4,97 g.

Datation typologique : I<sup>er</sup> s. ap. J.-C. (principalement) et II<sup>e</sup> s. ap. J.-C.

Fragment de boucle de courroie à l'origine en forme de D. La partie courbe de la boucle a presque entièrement disparu ; l'axe et l'ardillon sont conservés.

**Fond de boîte à sceller type Furger *et al.* 2d (Furger *et al.* 2009 : 49, tab. 2) (fig. 2, n° 4).** Lot 303 ; US 557.

Domaine d'activité : échange.

Matière : alliage cuivreux.

Dimensions : long. : 28 ; larg. : 15,5 ; ép. : 6,5. Poids : 1,63 g.

Datation typologique : du milieu du I<sup>er</sup> s. ap. J.-C. à la fin du III<sup>e</sup> s. ap. J.-C.

Fond (lacunaire) de boîte à sceller en forme de goutte.

**Plomb de réparation de récipient (fig. 2, n° 5).** Lot 244 ; US 499.

Domaine d'activité : domestique ; catégorie : activité culinaire.

Matières : métal blanc et terre cuite.

Dimensions : long. max. : 50 ; larg. max. : 37 ; ép. : 16,5. Poids : 115 g.

Datation typologique : époque romaine.

Objet en forme de double rivet ; un fragment de récipient en terre cuite à pâte rouge est conservé entre les deux "valves" de plomb.

**Pied de casserole (fig. 2, n° 6).** Lot 304 ; US 558.

Domaine d'activité : domestique ; catégorie : activité culinaire.

Matière : alliage cuivreux.

Dimensions : long. : 16 ; larg. : 19,25 ; ép. : 6,5. Poids : 3,98 g.

Datation typologique : seconde moitié du I<sup>er</sup> s. ap. J.-C. / II<sup>e</sup> s. ap. J.-C.

Fragment de pied de récipient à l'origine en forme de pelte.

**Emboîture de canalisation (fig. 3, n° 1).** Lot 290 ; F 29 ; US 45 ; objet n° 12.

Fossé d'enclos de la *villa* (Haut-Empire).

Domaine d'activité : immobilier ; catégorie : hydraulique.

Matière : fer.

Dimensions : long. : 88,25 ; larg. : 22 ; ép. : 5. Poids : 18,5 g.

Datation typologique : époque romaine (particulièrement du I<sup>er</sup> au III<sup>e</sup> s. ap. J.-C.)

Fragment d'anneau plat dont la surface externe est pourvue d'un bourrelet concentrique.

**Fusaïole (fig. 3, n° 2).** Lot 151 ; US 447 ; iso. 3.

Ramassage de surface durant le décapage.

Domaine d'activité : production ; catégorie : artisanat.

Matière : terre cuite.

Dimensions : diam. restitué : 35 ; ép. : 10. Poids : 9 g.

Datation typologique : époque romaine probable d'après l'aspect de la pâte.

Fragment de fusaïole de forme discoïdale à l'origine.

**Applique ou couvercle (fig. 3, n° 3).** Lot 299 ; US 553.

Domaine d'activité : inclassable ; catégorie : indéterminée.

Matière : alliage cuivreux.

Dimensions : long. : 22,25 ; larg. : 21 ; ép. : 3,25. Poids : 21,6 g.

Disque dont une face est légèrement convexe et pourvue d'une loge circulaire au centre sans doute émaillée à l'origine.

**Clou (non figuré)** Lot 311 ; F 15 ; US 42.

Domaine d'activité : inclassable ; catégorie : divers, polyvalent.

Matière : fer.

Dimensions : long. : 49,25 ; larg. max. de la tête : 17. Poids : 4,8 g.

Datation du contexte : fosse datée du Haut-Empire.

Clou entier à tête ovale allongée.

**1 clou, 1 fragment informe et 1 plaque (non figurés)** Lot 225 ; F 501 ; US 282.

Domaine d'activité : inclassable ; catégories : divers, polyvalent (clou) et indéterminée (fragment informe et plaque).

Fossé daté par la céramique entre 70 et 120 ap. J.-C.

Matière : fer.

Poids : 9,7 g.

Trois objets.

**Tige (non figurée)** Lot 227 ; F 104 ; US 233.

Domaine d'activité : inclassable ; catégorie : indéterminée.

Matière : fer.

Dimensions : long. : 34 ; ép. : 4,25. Poids : 1,9 g.

Datation du contexte : fosse gallo-romaine située dans l'enclos de la nécropole du haut Moyen-Âge.

Fragment de tige de section quadrangulaire tordu à angle droit (clou ?).

**Tige (non figurée)** Lot 230 ; F 533 ; US 332.

Domaine d'activité : inclassable ; catégorie : indéterminée.

Matière : fer.

Dimensions : long. : 84,5 ; diam. : 7. Poids : 12,7 g.

Datation du contexte : fossé daté du Haut-Empire.

Fragment de tige de section ronde dont une extrémité est appointée.

**1 clou, 2 tiges de section quadrangulaire (non figurés)** Lot 232 ; US 64 ; Sd.3 (niveau de démolition).

Domaine d'activité : inclassable ; catégories : divers, polyvalent (clou) et indéterminée (tiges).

Matière : fer.

Poids : 32,6 g.

Datation du contexte : époque romaine.

Trois objets.

**2 clous, 2 tiges de section quadrangulaire (non figurés)** Lot 234 ; F 397 ; US 452.

Domaine d'activité : inclassable ; catégories : divers, polyvalent (clous) et indéterminée (tiges).

Matière : fer.

Poids : 32,2 g.

Datation du contexte : fosse du IV<sup>e</sup>-V<sup>e</sup> s. ap. J.-C.

Quatre objets.

**Tige (non figurée)** Lot 235 ; F 511 ; US 256.

Domaine d'activité : inclassable ; catégorie : indéterminée.

Matière : fer.

Dimensions : long. : 39,25 ; larg. max. : 13. Poids : 8 g.

Datation du contexte : fosse datée du Haut-Empire.

Fragment de tige de section quadrangulaire (clou ?).

**Clou (non figuré)** Lot 243 ; US 498.

Domaine d'activité : inclassable ; catégorie : divers, polyvalent.

Matière : fer.

Dimensions : long. : 61 ; larg. : 15. Poids : 5 g.

Datation du contexte : Haut-Empire.

Clou entier et tordu.

### ***Petit mobilier du haut Moyen-Âge***

**Ferret passe-courroie (fig. 3, n° 4).** Lot 252 ; US 507.

Domaine d'activité : personnel ; catégorie : parure, vêtement.

Matière : alliage cuivreux étamé.

Dimensions : long. : 50 ; larg. : 15 ; ép. : 3,5. Poids : 8,43 g.

Datation typologique : objet particulièrement fréquent au VII<sup>e</sup> siècle.

Ferret linguiforme et allongé dont les longs côtés sont légèrement incurvés. L'objet est décoré d'une tresse longitudinale et son sommet est percé d'un trou de fixation.

**Plaque-boucle coulée d'une seule pièce (type Lorren IVCA) (fig. 3, n° 5).** Lot 261 ; US 516.

Domaine d'activité : personnel ; catégorie : parure, vêtement.

Matière : alliage cuivreux.

Dimensions : long. : 26,25 ; larg. max. au niveau de la boucle : 17,25 ; ép. avec les œillets : 7,5. Poids : 3,96 g.

Datation typologique : du second quart du VI<sup>e</sup> siècle à la fin du VII<sup>e</sup> siècle (entre la seconde moitié du VI<sup>e</sup> s. et la première moitié du VII<sup>e</sup> s. principalement)

Petite plaque-boucle monobloc étamée à plaque ronde sans décor ; deux petites échancrures marquent la jonction entre la boucle et la plaque.

**Bouclette (fig. 3, n° 6).** Lot 280 ; US 535.

Domaine d'activité : personnel ; catégorie : parure, vêtement.

Matière : alliage cuivreux.

Dimensions : long. : 16,75 ; larg. : 18,75 ; ép. : 1. Poids : 1,7 g.

Datation typologique : VI<sup>e</sup> siècle.

Bouclette rectangulaire tordue dont l'un des grands côtés est cassé.

**Tige (non figurée).** Lot 223 ; F 102 ; US 464.

Domaine d'activité : inclassable ; catégorie : indéterminée.

Matière : alliage cuivreux.

Dimensions : long. : 17,25 ; larg. : 4,5 ; ép. : 3. Poids : 0,4 g.

Datation du contexte : sépulture datée des deux premiers tiers du VII<sup>e</sup> siècle.

Petit fragment de tôle enroulée.

***Petit mobilier probablement d'époque romaine ou du haut Moyen-Âge***

**Indéterminé (poids ? lest de filet ? fusaïole ?) (fig. 4, n° 1).** Lot 286 ; US 541.

Domaine d'activité : inclassable ; catégorie : indéterminée.

Matière : métal blanc.

Dimensions : long. : 23 ; larg. : 13,5 ; ép. : 5. Poids : 8,5 g.

Fragment de rondelle pourvu d'une perforation centrale.

**Indéterminé (poids ? lest de filet ? fusaïole ?) (fig. 4, n° 2).** Lot 287 ; US 542.

Domaine d'activité : inclassable ; catégorie : indéterminée.

Matière : métal blanc.

Dimensions : long. : 20,75 ; larg. : 9,5 ; ép. : 5,25. Poids : 5,23 g.

Fragment de rondelle pourvu d'une perforation centrale.

**Indéterminé (jeton ? poids ? lest de filet ? fusaïole ?) (fig. 4, n° 3).** Lot 248 ; US 503.

Domaine d'activité : inclassable ; catégorie : indéterminée.

Matière : métal blanc.

Dimensions : long. : 24,25 ; larg. : 6 ; ép. : 8,25. Poids : 7,46 g.

Fragment de rondelle (jeton ? poids ?).

**Vaisselle métallique (fig. 4, n° 4).** Lot 269 ; US 524 ; objet n° 7.

Domaine d'activité : domestique ; catégorie : activité culinaire.

Matière : alliage cuivreux.

Dimensions : long. : 55,25 ; larg. max. : 19,5 ; ép. : 1. Poids : 3,58 g.

Fragment de bord de récipient en tôle.

**Rivet (fig. 4, n° 5).** Lot 256 ; US 511

Domaine d'activité : inclassable ; catégorie : divers, polyvalent.

Matière : métal blanc.

Dimensions : long. : 17,5 ; larg. : 13,5 ; ép. : 8. Poids : 5,82 g.

Tige de section circulaire surmontée d'une petite tête écrasée.

**Indéterminé (manche d'instrument ? sonnaille ?) (fig. 4, n° 6).** Lot 273 ; US 528.

Domaine d'activité : inclassable ; catégorie : indéterminée.

Matière : fer.

Dimensions : long. : 45 ; larg. : 17 ; ép. : 16. Poids : 11,98 g.

Fragment de manche ou de sonnaille pourvu d'un départ d'anneau de suspension.

**Indéterminé (garniture de meuble ?) (fig. 4, n° 7).** Lot 265 ; US 520.

Domaine d'activité : inclassable ; catégorie : indéterminée.

Matière : alliage cuivreux.

Dimensions : long. : 14 ; larg. : 10,75 ; ép. : 0,75. Poids : 0,86 g.

Datation de l'objet : indéterminée.

Fragment de mince plaquette rectangulaire pourvu d'un trou de fixation.

**Lest de filet (fig. 4, n° 8).** Lot 295 ; US 549.

Domaine d'activité : production ; catégorie : chasse, pêche.

Matière : métal blanc.

Dimensions : long. : 16 ; larg. : 15,25 ; ép. : 8. Poids : 7,9 g.

Fragment de lest sphérique à l'origine.

**Coulure (non figurée).** Lot 250 ; US 505 ; objet n° 1.

Domaine d'activité : production ; catégorie : divers production.

Matière : métal blanc.

Dimensions : long. : 29 ; larg. : 20,5 ; ép. : 5,25. Poids : 13,54 g.

Coulure informe.

**Coulure (non figurée).** Lot 251 ; US 506 ; objet n° 4.

Domaine d'activité : production ; catégorie : divers production.

Matière : métal blanc.

Dimensions : long. max. : 17,5 ; larg. : 7 ; ép. : 3. Poids : 1,49 g.

Coulure informe.

**Coulure (non figurée).** Lot 259 ; US 514.

Domaine d'activité : production ; catégorie : divers production.

Matière : métal blanc.

Dimensions : long. : 56,5 ; larg. max. : 24 ; ép. : 8. Poids : 51,3 g.

Coulure informe.

**Coulure (non figurée).** Lot 266 ; US 521.

Domaine d'activité : production ; catégorie : divers production.

Matière : métal blanc.

Dimensions : long. : 27 ; larg. : 16,25 ; ép. : 7,5. Poids : 16,4 g.  
Coulure informe.

**Coulure (non figurée).** Lot 277 ; US 532.

Domaine d'activité : production ; catégorie : divers production.  
Matière : métal blanc.  
Dimensions : long. : 32,5 ; larg. : 24 ; ép. : 5,5. Poids : 23,46 g.  
Coulure avec un bord coupé en biseau.

**Coulure (non figurée).** Lot 278 ; US 533.

Domaine d'activité : production ; catégorie : divers production.  
Matière : métal blanc.  
Dimensions : long. : 37 ; larg. : 34 ; ép. max. : 6,5. Poids : 25,69 g.  
Coulure informe.

**Coulure (non figurée).** Lot 293 ; US 547.

Domaine d'activité : production ; catégorie : divers production.  
Matière : métal blanc.  
Dimensions : long. : 26,5 ; larg. : 24,5 ; ép. : 7,75. Poids : 17,3 g.  
Coulure de forme circulaire légèrement convexe sur une face et plate sur l'autre.

**Coulure (non figurée).** Lot 294 ; US 548.

Domaine d'activité : production ; catégorie : divers production.  
Matière : métal blanc.  
Dimensions : long. : 28,5 ; larg. : 17,5 ; ép. max. : 3,5. Poids : 7,93 g.  
Fragment fondu et informe.

**Coulure (non figurée).** Lot 296 ; US 550.

Domaine d'activité : production ; catégorie : divers production.  
Matière : métal blanc.  
Dimensions : long. : 24 ; larg. max. : 17 ; ép. : 4,5. Poids : 5,13 g.  
Coulure informe.

**Coulure (non figurée).** Lot 301 ; US 555.

Domaine d'activité : production ; catégorie : divers production.  
Matière : métal blanc.  
Dimensions : long. : 22 ; larg. : 14,25 ; ép. : 4. Poids : 6 g.  
Fragment informe et fondu.

**Coulure (non figurée).** Lot 308 ; US 562

Domaine d'activité : production ; catégorie : divers production.  
Matière : métal blanc.  
Dimensions : long. : 26 ; larg. : 21 ; ép. : 8,5. Poids : 21,05 g.  
Coulure informe.

**Indéterminé (non figuré).** Lot 260 ; US 515.

Domaine d'activité : inclassable ; catégorie : indéterminée.  
Matière : alliage cuivreux.

Dimensions : long. : 37 ; larg. : 32 ; ép. max. : 6. Poids : 21,6 g.  
Disque légèrement convexe sur ses 2 faces.

**Indéterminé (non figuré).** Lot 267 ; US 522.

Domaine d'activité : inclassable ; catégorie : indéterminée.  
Matière : métal blanc.  
Dimensions : long. : 28,5 ; larg. : 25,5 ; ép. : 5,5. Poids : 10,45 g.  
Plaquette pliée (déchet ?).

**Indéterminé (non figuré).** Lot 270 ; US 525 ; objet n° 9.

Domaine d'activité : inclassable ; catégorie : indéterminée.  
Matière : alliage cuivreux.  
Dimensions : long. : 58,5 ; larg. : 18 ; ép. : 0,5. Poids : 2,14 g.  
Fragment de tôle.

**Indéterminé (non figuré).** Lot 272 ; US 527 ; objet n° 8.

Domaine d'activité : inclassable ; catégorie : indéterminée.  
Matière : alliage cuivreux.  
Dimensions : long. : 27,25 ; larg. : 15,5 ; ép. de la tôle : 1. Poids : 2,96 g.  
Fragment de plaquette dont les bords les plus longs sont rabattus à angle droit ; décor de 2 doubles stries longitudinales.

**Indéterminé (non figuré).** Lot 279 ; US 534.

Domaine d'activité : inclassable ; catégorie : indéterminée.  
Matière : métal blanc.  
Dimensions : long. : 30 ; larg. max. : 27. Poids : 13,37 g.  
Plaquette pliée (déchet ?).

**Indéterminé (non figuré).** Lot 298 ; US 552 ; objet n° 9.

Domaine d'activité : inclassable ; catégorie : indéterminée.  
Matière : alliage cuivreux.  
Dimensions : long. : 32 ; larg. : 22,75 ; ép. : 1. Poids : 2,85 g.  
Fragment de tôle.

**Indéterminé (non figuré).** Lot 300 ; US 554.

Domaine d'activité : inclassable ; catégorie : indéterminée.  
Matière : métal blanc.  
Dimensions : long. : 20,5 ; larg. : 19,5 ; ép. max. 6,5. Poids : 14,22 g.  
Fragment de forme rectangulaire avec un épaissement sur un des côtés.

**Indéterminé (non figuré).** Lot 307 ; US 561.

Domaine d'activité : inclassable ; catégorie : divers, polyvalent.  
Matière : alliage cuivreux.  
Dimensions : diam. max. : 21 ; ép. max. : 9. Poids : 11,79 g.  
Fragment d'objet semi-sphérique.



### ***Petit mobilier d'époque moderne***

**Fusaïole à cabochons (fig. 5, n° 1).** Lot 262 ; US 517.

Domaine d'activité : production ; catégorie : artisanat.

Matière : métal blanc.

Dimensions : diam. max. : 20 ; ép. max. : 5. Poids : 6,42 g.

Datation typologique : post médiévale (1500-1900).

Anneau pourvu de 8 excroissances triangulaires.

**Fusaïole à cabochons (fig. 5, n° 2).** Lot 284 ; US 539.

Domaine d'activité : production ; catégorie : artisanat.

Matière : métal blanc.

Dimensions : diam. max. : 19 ; ép. max. : 6,5. Poids : 6,06 g.

Datation typologique : post médiévale (1500-1900).

Anneau pourvu 7 excroissances globulaires.

**Fusaïole à cabochons (fig. 5, n° 3).** Lot 305 ; US 559.

Domaine d'activité : production ; catégorie : artisanat.

Matière : métal blanc.

Dimensions : diam. max. : 23,75 ; ép. max. : 8. Poids : 10,25 g.

Datation de l'objet : post médiévale (1500-1900).

Anneau pourvu de 7 excroissances triangulaires.

**Fusaïole à cabochons (fig. 5, n° 4).** Lot 306 ; US 560.

Domaine d'activité : production ; catégorie : artisanat.

Matière : métal blanc.

Dimensions : long. : 17,5 ; ép. max. : 6. Poids : 3,08 g.

Datation typologique : post médiévale (1500-1900).

Fragment d'anneau pourvu 3 excroissances triangulaires.

**Boucle (fig. 5, n° 5).** Lot 291 ; US 545.

Domaine d'activité : personnel ; catégorie : parure, vêtement.

Matière : alliage cuivreux.

Dimensions : long. : 19,75 ; larg. : 17,25 ; ép. : 3. Poids : 1,83 g.

Datation typologique : époque moderne.

Boucle rectangulaire à 2 fenêtres.

### ***Petit mobilier d'époque contemporaine***

**Bouton d'infanterie (fig. 5, n° 6).** Lot 302 ; US 556.

Domaine d'activité : militaire ou personnel ; catégorie : équipement militaire ou parure, vêtement.

Matière : métal blanc.

Dimensions : diam. : 16,75 ; ép. : 7. Poids : 3,13 g.

Datation typologique : à partir de 1871 et jusqu'en 1915.

Bouton d'infanterie à la grenade enflammée.

**Dent de faucheuse (non figuré).** Lot 233 ; US 0

Domaine d'activité : production ; catégorie : agro-pastorale.

Matière : fer.

Dimensions : long. : 182,5 ; larg. : 76 ; ép. : 34. Poids : 411,6 g.

Datation typologique : XX<sup>e</sup> siècle.

Dent cruciforme (appelée également "doigt") destinée à équiper une barre de coupe de faucheuse.

**Récipient (non figuré).** Lot 292 ; US 546.

Domaine d'activité : domestique ; catégorie : activité culinaire.

Matière : fer.

Dimensions : long. max. : 197,25 ; larg. max. : 68 ; haut. max. : 37. Poids : 249 g.

Datation typologique : XIX<sup>e</sup> - XX<sup>e</sup> s.

Fragment de couvercle de récipient de type marmite.

**Tige (non figurée).** Lot 224 ; F 319 ; US 225.

Datation du contexte : entre le XIX<sup>e</sup>-XX<sup>e</sup> s.

Domaine d'activité : inclassable ; catégorie : indéterminée.

Matière : fer.

Dimensions : long. : 24,25 ; larg. : 6. Poids : 1 g.

Fragment de tige de section quadrangulaire (clou ?).

### ***Petit mobilier probablement d'époque moderne ou contemporaine***

**Bouton (fig. 5, n° 7).** Lot 257 ; US 512.

Domaine d'activité : personnel ; catégorie : parure, vêtement.

Matière : métal blanc.

Dimensions : diam. max. : 14,5 ; ép. : 11,25. Poids : 5,52 g.

Datation typologique : époque moderne ou contemporaine.

Bouton à tête pleine et semi-sphérique pourvu d'une attache semi circulaire au revers.

**Boucle (fig. 5, n° 8).** Lot 310 ; US 564.

Domaine d'activité : transport ; catégorie : équipement lié à l'animal.

Matière : fer.

Dimensions : long. : 33,25 ; larg. : 34,5 ; ép. de l'œillet de l'ardillon : 10. Poids : 11,91 g.

Datation typologique : époque moderne ou époque contemporaine.

Boucle de forme rectangulaire.

**Boucle (fig. 5, n° 9).** Lot 297 ; US 551.

Domaine d'activité : transport ; catégorie : équipement lié à l'animal.

Matière : fer.

Dimensions : long. : 41,25 ; larg. : 48,75 ; ép. max. de l'œillet de l'ardillon : 13,5. Poids : 28,2 g.

Datation typologique : époque moderne ou contemporaine.

Boucle de forme rectangulaire.

**Boucle (fig. 5, n° 10).** Lot 309 ; US 563.

Domaine d'activité : personnel ; catégorie : parure, vêtement.

Matière : fer.

Dimensions : long. : 24,5 ; larg. : 27,25 ; ép. max. de l'anneau : 3,5. Poids : 6,16 g.

Datation typologique : époque moderne ou contemporaine.

Boucle de forme ovale.

**Indéterminé (non figuré).** Lot 289 ; US 544.

Domaine d'activité : inclassable ; catégorie : indéterminée.

Matière : métal blanc.

Dimensions : long. : 34 ; larg. : 21,5 ; ép. : 1,25. Poids : 5,52 g.

Fragment de plaque circulaire (?) décoré d'une rainure.

***Petit mobilier d'époque indéterminée***

**Indéterminé (fig. 6, n° 1).** Lot 263 ; US 518.

Domaine d'activité : inclassable ; catégorie : indéterminée.

Matière : métal blanc.

Dimensions : diam. max. : 16,75 ; ép. : 1. Poids : 2,05 g.

Datation de l'objet : indéterminée.

Fine rondelle.

**Indéterminé (fig. 6, n° 2).** Lot 285 ; US 540.

Domaine d'activité : inclassable ; catégorie : indéterminée.

Matière : métal blanc.

Dimensions : diam. max. : 17,25 ; ép. : 1. Poids : 0,89 g.

Datation de l'objet : indéterminée.

Fine rondelle.

**Croix (fig. 6, n° 3).** Lot 264 ; US 519.

Domaine d'activité : inclassable ou spirituel ; catégorie : indéterminée ou croyances, funéraire.

Matière : métal blanc.

Dimensions : long. : 30 ; larg. : 29 ; ép. : 5. Poids : 10,86 g.

Datation de l'objet : indéterminée.

Croix à 4 branches de section quadrangulaire.

**Anneau (fig. 6, n° 4).** Lot 288 ; US 543.

Domaine d'activité : inclassable ; catégorie : divers, polyvalent.

Matière : alliage cuivreux.

Dimensions : diam. max. : 16,5 ; ép. : 1,75. Poids : 0,8 g.

Datation de l'objet : indéterminée.

Anneau fermé de section ovale.

**Anneau ? (fig. 6, n° 5).** Lot 275 ; US 530.

Domaine d'activité : inclassable ; catégorie : indéterminée.

Matière : alliage cuivreux.

Dimensions : long. : 21,5 ; larg. : 14,25 ; ép. : 11. Poids : 17,16 g.

Objet très lacunaire ; probable anneau massif (élément de parure ?).

**Clou (non figuré).** Lot 226 ; US 458.

Domaine d'activité : inclassable ; catégorie : divers, polyvalent.

Matière : fer.

Dimensions : long. : 59 ; larg. max. de la tête : 11,5. Poids : 6,3 g.

Datation de l'objet : indéterminée.

Fragment de clou dont la tige est tordue.

**Clou (non figuré).** Lot 229 ; US 463.

Domaine d'activité : inclassable ; catégorie : divers, polyvalent.

Matière : fer.

Dimensions : diam. max. de la tête : 25; ép. : 6,75. Poids : 4,5 g.

Datation de l'objet : indéterminée.

Seule la tête et le départ de la tige sont conservés.

**Clou (non figuré).** Lot 231 ; US 16.

Domaine d'activité : inclassable ; catégorie : divers, polyvalent.

Matière : fer.

Dimensions : long. : 23 ; diam. de la tête : 15. Poids : 3,8 g.

Datation de l'objet : indéterminée.

Fragment de clou à tête ronde et semi-circulaire.

**Clou (non figuré).** Lot 236 ; US 417.

Domaine d'activité : inclassable ; catégorie : divers, polyvalent.

Matière : fer.

Dimensions : long. : 28 ; larg. max. de la tête : 18,25. Poids : 5 g.

Datation de l'objet : indéterminée.

Fragment de clou à tête circulaire.

**Clou (non figuré).** Lot 238 ; US 19.

Domaine d'activité : inclassable ; catégorie : divers, polyvalent.

Matière : fer.

Dimensions : long. : 55 ; larg. max. de la tête : 13. Poids : 6,8 g.

Datation de l'objet : indéterminée.

Clou presque entier ; seule la pointe manque.

**Clou (non figuré).** Lot 246 ; US 501.

Domaine d'activité : inclassable ; catégorie : divers, polyvalent.

Matière : fer.

Dimensions : long. : 80 ; diam. max. de la tête : 16. Poids : 6,92 g.

Datation de l'objet : indéterminée.

Clou entier à tête circulaire et plate.

**Clou (non figuré).** Lot 254 ; US 509.

Domaine d'activité : inclassable ; catégorie : divers, polyvalent.

Matière : fer.

Dimensions : long. : 45 ; diam. max. de la tête : 19,25. Poids : 7,49 g.

Datation de l'objet : indéterminée.

Clou entier à tête circulaire et plate ; tige tordue.

**Clou (non figuré).** Lot 282 ; US 537.

Domaine d'activité : immobilier ; catégorie : gros-œuvre.

Matière : fer.

Dimensions : long. : 28 ; larg. max. de la tête : 56,5. Poids : 61 g.

Datation de l'objet : indéterminée.  
Fragment de clou à tête quadrangulaire massive et légèrement convexe.

**Clou (non figuré).** Lot 283 ; US 538.

Domaine d'activité : immobilier ; catégorie : gros-œuvre.  
Matière : fer.  
Dimensions : long. : 40 ; larg. max. de la tête : 34,5. Poids : 75 g.  
Datation de l'objet : indéterminée.  
Fragment de clou à tête quadrangulaire massive et légèrement convexe.

**Tige (non figurée).** Lot 222 ; US 462.

Domaine d'activité : inclassable ; catégorie : indéterminée.  
Matière : fer.  
Dimensions : long. : 45,75 ; larg. : 5. Poids : 5,4 g.  
Datation de l'objet : indéterminée.  
Fragment de tige de section quadrangulaire (clou ?).

**Tige (non figurée).** Lot 239 ; US 22.

Domaine d'activité : inclassable ; catégorie : indéterminée.  
Matière : fer.  
Dimensions : long. : 14,5 ; larg. : 7,75. Poids : 1,5 g.  
Datation de l'objet : indéterminée.  
Fragment de tige de section quadrangulaire (clou ?).

**Tige (non figurée).** Lot 241 ; US 74.

Domaine d'activité : inclassable ; catégorie : indéterminée.  
Matière : fer.  
Dimensions : long. : 21 ; larg. : 4. Poids : 0,7 g.  
Datation de l'objet : indéterminée.  
Fragment de tige de section quadrangulaire (clou ?).

**Tige (non figurée)** Lot 242 ; US 103.

Domaine d'activité : inclassable ; catégorie : indéterminée.  
Matière : fer.  
Dimensions : long. : 44,5 ; larg. : 3. Poids : 1,2 g.  
Datation de l'objet : indéterminée.  
Fragment de tige de section indéterminée (ronde ou quadrangulaire).

**Ferrure (non figurée).** Lot 255 ; US 510.

Domaine d'activité : inclassable ; catégorie : indéterminée.  
Matière : fer.  
Dimensions : long. : 69 ; larg. : 25 ; ép. : 10,5. Poids : 61 g.  
Datation de l'objet : indéterminée.  
Bande rectangulaire s'amincissant progressivement vers une des extrémités ; pourvue d'un trou de fixation.

**Ferrure (non figurée).** Lot 268 ; US 523 ; objet n° 6.

Domaine d'activité : inclassable ; catégorie : indéterminée.  
Matière : fer.

Dimensions : long. : 43,5 ; larg. max. : 27,5 ; ép. : 2. Poids : 11,84 g.  
Datation de l'objet : indéterminée.  
Fragment de bande rectangulaire (en 2 fragments) pourvu d'un trou de fixation.

**Indéterminé (non figuré).** Lot 228 ; US 446.  
Domaine d'activité : inclassable ; catégorie : indéterminée.  
Matière : fer.  
Dimensions : long. : 28,5 ; larg. : 8,5. Poids : 4 g.  
Datation de l'objet : indéterminée.  
Fragment de boucle ou de maillon ?

**Indéterminé (non figuré).** Lot 253 ; US 508.  
Domaine d'activité : inclassable ; catégorie : indéterminée.  
Matière : fer.  
Dimensions : long. : 72,75 ; larg. : 13,25 ; ép. : 7. Poids : 23,73 g.  
Datation de l'objet : indéterminée.  
Fragment de tige courbe de section plano convexe.

**Indéterminé (non figuré).** Lot 274 ; US 529.  
Domaine d'activité : inclassable ; catégorie : indéterminée.  
Matières : métal blanc et fer.  
Dimensions : long. : 47,75 ; larg. max. : 13,75 ; ép. max au niveau du clou : 7,5. Poids : 15,33 g.  
Datation de l'objet : indéterminée.  
Fragment de tige de section plano convexe en métal blanc traversé par un petit clou de fixation en fer.

**Indéterminé (non figuré).** Lot 276 ; US 531.  
Domaine d'activité : inclassable ; catégorie : indéterminée.  
Matière : fer.  
Dimensions : long. max. : 85 ; larg. max. : 43,5 ; ép. : 5. Poids : 79 g.  
Datation de l'objet : indéterminée.  
Fragment de plaque incurvée. Fragment de récipient (?).

**1 clou, 2 tiges de section quadrangulaire et 1 tige plate (non figurés).** Lot 237 ; US 414.  
Domaine d'activité : inclassable ; catégories : divers, polyvalent (clou) et indéterminée (tiges).  
Matière : fer.  
Poids : 12,3 g.  
Datation des objets : indéterminée.  
Quatre objets.

**2 clous, 4 tiges de section quadrangulaire (non figurés).** Lot 240 ; US 432.  
Domaine d'activité : inclassable ; catégories : divers, polyvalent (clous) et indéterminée (tiges).  
Matière : fer.  
Poids : 29,8 g.  
Datation des objets : indéterminée.  
Six objets.

## Bibliographie

- Andrews 2012** : Andrews C.J. - *Roman Seal-Boxes in Britain*, British Archaeological Reports, British Series 567, Oxford, 157 p.
- Barat 2001** : Barat Y. avec la collaboration de Langlois M. et Bricon D. - Habitats et nécropoles du haut Moyen-Âge en vallée de Vaucouleurs (sites de Septeuil et Villette, Yvelines), *R.A.C.F.*, 40 : 133-165.
- Ben Kaddour 2014** : Ben Kaddour C. - Chartres et sa proche campagne au Haut Moyen Age (fin V<sup>e</sup> - fin X<sup>e</sup> siècle). Topographie urbaine et péri-urbaine, analyse de structures et étude du mobilier : un premier bilan, *Revue Archéologique du Centre de la France* [En ligne], Tome 53, 2014, mis en ligne le 15 avril 2015, consulté le 22 février 2022. URL : <http://journals.openedition.org/racf/2014>
- Ben Redjeb 2007** : Ben Redjeb T. - La nécropole mérovingienne de Saint-Sauveur (Somme), *R.A.P.*, 1-2, 2007 : 39-332.
- Bertrand 2018** : Bertrand I. - *Le sanctuaire du Gué-de-Sciaux à Antigny (Vienne, FR) : genèse et évolution d'un lieu de culte picton (I<sup>er</sup> s. av. - IV<sup>e</sup> s. ap. J.-C.)*, 2 vol., Association des Publications Chauvinoises, Mémoire 50, Chauvigny, 1026 p.
- Bertrand, Boucher 2021** : Bertrand I., Boucher Th. avec la collaboration de Willerval S. - Boîtes à sceller d'époque romaine dans le Centre-Ouest de la Gaule, in : **Leger C.**, Raux S. (dir.), *Des objets et des hommes. Études offertes à Michel Feugère*, Monographies Instrumentum 71, Éditions Mergoïl, Drémil-Lafage : **109-142**.
- Bigot 2017** : Bigot S. - Étude de l'*instrumentum*, in : Godignon D. (dir.), *Monts, Le Petit Nétilly, Indre-et-Loire (37). LGV SEA 2 - Une occupation agro-pastorale de La Tène finale à l'époque moderne*, Volume 1, Rapport d'opération, Fouille archéologique, Inrap LGV Sud Europe Atlantique : 375-422.
- Boissavit-Camus 1989** : Boissavit-Camus B. - 131 - Valdivienne, Cubord-le Claireau, in : *Romains et barbares entre Loire et Gironde (IV<sup>e</sup> - X<sup>e</sup> s.)*, Catalogue d'exposition, Musée Sainte-Croix, Poitiers : 114-116.
- Bordier 1964** : Bordier B. - Découverte à Huismes d'un fragment de moule à rouelles, *Bulletin des Amis du Vieux Chinon*, Tome VI, n° 8 : 397-398.
- Boucher 2003** : Boucher Th. - Des Celtes aux Carolingiens, in : Hubert-Pellier M., Cordier G., Boucher Th., *Le Véron : Géographie physique - Préhistoire et Protohistoire - Des Celtes aux Carolingiens*, publication de l'écomusée du Véron : 135-196.
- Boucher 2016** : Boucher Th. - Le mobilier non céramique, in : Salé Ph. (dir.), *Maillé, Le Perrou 1, Indre-et-Loire, LGV SEA, De multiples occupations successives*, Rapport de fouille, vol. 2, Études et inventaires, Inrap CIF, Orléans, SRA Centre-Val-de-Loire : 309-326.
- Boucher 2017** : Boucher Th. - Inventaire raisonné du mobilier métallique issu des prospections antérieures au projet de la ZAC des Courelières, in : **Hirn V.** (dir.), *Joué-Lès-Tours. ZAC des Courelières, phase 1*, Volume 2 : annexes, Rapport de diagnostic archéologique, Service de l'archéologie du département d'Indre-et-Loire : 69-173.
- Boucher 2019** : Boucher Th. - L'*instrumentum* et les monnaies, in : **Boucher Th.**, Couvin F., Lepaon Th., avec les collaborations de Brunet-Gaston V., Gardère Ph., Gaston Ch. et Guérit M., *Le balnéaire antique de Cinais (Indre-et-Loire)*, 72<sup>ème</sup> suppl. à la R.A.C.F., FERACF, Tours : 65-89.
- Boucher, Lusson 2018** : Boucher Th., Lusson D., avec la collaboration de Robin B. - L'*instrumentum*, in : **Couvin F.** (dir.), *Deux établissements ruraux laténiens et gallo-romains du plateau de Petite Beauce : "Beaudisson" et "La Gueule" II à Mer (Loir-et-Cher)*, 68<sup>ème</sup> suppl. à la R.A.C.F., FERACF, Tours : 188-233.
- Bourgeois 2009** : Bourgeois L. - Les autres objets en métaux non ferreux, in : Bourgeois M. (dir.), *Une résidence des comtes d'Angoulême autour de l'an Mil, le castrum d'Andone, fouilles d'André Debord (1971-1995)*, Publications du CRAHM, Caen : 130-132.

- Briand et al. 2013** : Briand A., Dubreucq É., Ducreux A., Feugère M., Galtier C., Girard B., Josset D., Mulot A., Taillandier V., Tisserand N. - Le classement fonctionnel des mobiliers d'*instrumentum*, *Les Nouvelles de l'archéologie*, dossier n° 131, mars 2013, éd. de la MSH : 14-19.
- Brissaud, Loiseau 2015** : Brissaud L., Loiseau Ch. - Les canalisations en bois : techniques de mise en œuvre, diffusion, chronologie en Gaule romaine et étude de cas, *in* : Raux S., Bertrand I., Feugère M. (dir.), *Actualité de la recherche sur les mobiliers non céramiques de l'Antiquité et du haut Moyen Âge*, Actes de la table ronde européenne instrumentum, Lyon (F, Rhône), 18-20 octobre 2012, éditions Monique Mergoil / Association des Publications Chauvinoises, Monographies Instrumentum 51 : 487-516.
- Brkojewitsch et al. 2021** : Brkojewitsch G., Asselin G., Dupond R., Maire É., Marquié S., Sedlbauer S., Trommenschlager L., avec la collaboration de Bellavia V., Brunet M., Daoulas G., Dreier C., Gauthier É., Garnier N., Jouanin G., Leroy M., Lemoine K., Morel A., Naji S., Nüsslein A., Tegel W., Wicha S., *La villa romaine de Grigy à Metz (Moselle)*, 65<sup>ème</sup> suppl. à Gallia, C.N.R.S. Éditions, Paris, 239 p.
- Brunet 2016** : Brunet M. - Étude du mobilier métallique, *in* : Rollet P. (dir.), *Reims - Marne, Zac du Vieux Port, bd. Henrot. Aménagements antiques et médiévaux en bord de Vesle (I<sup>er</sup>-V<sup>e</sup> s. et XIV<sup>e</sup>-XV<sup>e</sup> s.)*, Rapport de fouille, volume 4, Inrap Grand Est Nord, SRA : 1585-1654.
- Burnell, Lorans, Theureau 1994** : Burnell S., Lorans É., Theureau C. - La nécropole du haut Moyen-Âge de la Mouline à Saint-Firmin-des-Prés (Loir-et-Cher), *R.A.C.F.*, 33 : 133-190.
- Canny, Thuet 2010** : Canny D., Thuet A. - Catalogue du petit mobilier de la maison 3, *in* : Binet E. (dir.), *Evolution d'une insula de Samarobriua au Haut-Empire. Les fouilles du "Palais des Sports/Coliseum" (Somme)*, R.A.P. n° spécial 27, Amiens : 168-188.
- Chevet et al. 2014** : Chevet P., Raux S., Van Andringa W., Loiseau Ch., Besombes P.-A., Lepetz S., avec les collaborations de Ferrette R., Thébaud S., Ledauphin A., Bouvet P. - Un étang sacré à Vindinum/Le Mans (Sarthe), *Gallia* 71.2 : 125-162.
- Cordier 1973** : Cordier G. - Précisions sur le cimetière mérovingien du Breuil (commune de Courçay, I-et-L.), *R.A.C.F.* 12, fasc. 1-2 : 27-35.
- Crummy 1995** : Crummy N. - *The Roman small finds from excavations in Colchester, 1971-9*, Colchester Archaeological Report 2, (2<sup>ème</sup> éd.), Colchester, 183 p.
- Decormeille-Patin, Blondiaux, Vallet 1999** : Decormeille-Patin C., Blondiaux J., Vallet F. - Le cimetière mérovingien de Montataire (Oise), *R.A.P.*, 1-2 : 83-182.
- Demierre et al. 2013** : Demierre M., Dubreucq E., Girard B., Roux É. - La quantification des mobiliers d'*instrumentum*, *in* : Fort B., Tisserand N. (dir.), *Le mobilier métallique et l'instrumentum : approches méthodologiques*, Les Nouvelles de l'Archéologie, dossier n° 131, mars 2013, éd. de la MSH : 10-14
- Deschler-Erb 1999** : Deschler-Erb E. - *Ad arma ! Römischer Militär des 1. Jahrhunderts n. Chr. in Augusta Raurica*, *Forschungen in Augst*, 28, Augst, 189 p., 46 pl.
- Dubois 1997** : Dubois J. - Fusaïoles en moyenne Corrèze, *Travaux d'Archéologie Limousine* 17 : 123-127.
- Dubuis 2013** : Dubuis B. - De la consommation au recyclage du plomb, L'étude des déchets de l'agglomération antique de Mathay-Mandeure *Epomanduodurum* (Doubs), *Les Nouvelles de l'archéologie*, 131 : 39-44.
- Dubuis 2015a** : Dubuis B. - Catalogue des plombs antiques, *in* : Burgevin A. (dir.), *Labergement-Foigney, Champ Cottin, Côte-d'Or, Bourgogne*, Pars Rustica : une occupation originale gallo-romaine, Volume 2, Études spécialisées, Rapport d'opération, Fouille archéologique, Inrap Grand Est sud : 246-301.
- Dubuis 2015b** : Dubuis B. - Le mobilier en plomb, *in* : Burgevin A. (dir.), *Labergement-Foigney, Champ Cottin, Côte-d'Or, Bourgogne*, Pars Rustica : une occupation originale gallo-romaine, Volume 2, Études spécialisées, Rapport d'opération, Fouille archéologique, Inrap Grand Est sud : 303-338.



- Ducreux 2016** : Ducreux A. - Étude du mobilier métallique, in : Rocque G. (dir.), *Un sanctuaire antique monumental en lisière de bas marais à Magny-Cours "Pré de la Fontaine" (58.152 - Nièvre - Bourgogne)*, Volume 3/5 : *Études*, Rapport de fouille préventive, Service d'archéologie préventive du département de l'Allier : 891-960.
- Feugère 1985** : Feugère M. - *Les fibules en Gaule méridionale de la conquête à la fin du V<sup>e</sup> ap. J.-C.*, 12<sup>e</sup> supplément à la RAN, CNRS, Paris, 509 p.
- Feugère 1997** : Feugère M. - Des fusaiöles pas des rouelles, *Instrumentum* 6, décembre : 14.
- Feugère 2002** : Feugère M. - Militaria de Gaule méridionale, 19. Le mobilier militaire romain dans le département de l'Hérault (F), *Gladius*, 22 : 73-125.
- Flèche-Mourgues 1988** : Flèche-Mourgues M.-P. - La nécropole mérovingienne de Vorges (Aisne), Actes des VIII<sup>e</sup> journées internationales d'archéologie mérovingienne de Soissons (19-22 Juin 1986), *R.A.P.* 3-4 : 89-125.
- Fouillet, Lusson 2015** : Fouillet N., Lusson D. avec la collaboration de Couvin F., Fontaine A., Linger-Riquier S. - Deux établissements ruraux gaulois et gallo-romains du territoire des Turons : "La Roche Deniau" à Parçay-Meslay et "La Cave Blanchette" à Monnaie (Indre-et-Loire), in : Ferdière A. (éd.), *Établissements ruraux laténiens et gallo-romains du centre de la Gaule*, 1, 57<sup>ème</sup> suppl. à la RACF, FERACF, Tours : 109-202.
- Fréon 1953** : Fréon P.-L. - Rouelles et moules à rouelles, *Bulletin des Amis du musée de Préhistoire du Grand-Pressigny* 4 : 49-51.
- Furger, Wartmann, Riha 2009** : Furger A.R., Wartmann M., Riha E., *Die römischen Siegelkapseln aus Augusta Raurica* (Forschungen in Augst, 44), Augst, 251 p.
- Giot 1988** : Giot P.-R. - Les rouelles en plomb : piège archéologique, *R.A.O.* 5 : 141-144.
- Guillaud 2019** : Guillaud L. - *Militaria de Lugdunum. Étude de l'armement romain et de l'équipement militaire à Lyon (I<sup>er</sup> s. av. - IV<sup>e</sup> s. ap. J.-C.)*, Monographies Instrumentum, 62, Série Mobiliers lyonnais 2, éditions mergoïl, Drémil-Lafage, 606 p.
- Higelin 2019** : Higelin M. - *Activités économiques et vie domestique d'un quartier du vicus de Horbourg-Wihr (68). Étude spatiale et fonctionnelle du mobilier (1<sup>er</sup> - 3<sup>e</sup> siècle)*, Monographies Instrumentum, 61, Éditions Mergoïl, Drémil-Lafage, 330 p.
- Joly et al. 2010** : Joly D., Gordon R., Simon J., van Andringa W., Willerval S., avec la collaboration de Chrzanovki L., Dupont F., Lepetz S., Morin J.-M. - L'attirail d'un magicien rangé dans une cave de Chartres/Autricum, *Gallia*, 67, 2, CNRS Éditions, Paris : 125-208.
- Labaune-Jean 2014** : Labaune-Jean F. - Quelques enseignes de pèlerins et des moules de production de petits objets en plomb découverts à Rennes, *Annales de Bretagne et des Pays de l'Ouest* [En ligne], 121-4, 2014, mis en ligne le 15 décembre 2016, consulté le 19 avril 2019. URL : <http://journals.openedition.org/abpo/2858> ; DOI : 10.4000/abpo.2858.
- Laruaz 2019** : Laruaz J.-M. - Les petits objets en matériaux organiques et en terre cuite. In : J.-M. Laruaz (dir.), *Amboise. Réserve de la Butte de César*, Rapport de fouille programmée (campagne 2018), Service de l'archéologie du département d'Indre-et-Loire, 179-182.
- Laruaz et al. 2022** : Laruaz J.-M. avec la collaboration de Adam P., Bedecarrats S., Borderie Q., Boucher T., Ciesielski E., Cinqon L., Di Napoli F., Dintzer T., Duval J., Gaultier M., Grauby O., Jaffrot E., Lebrun C., Linger-Riquier S., Lusson D., Montagut J., Noël A., Nuviala P., Robin B., Rossetti P., Sarreste F., Schaeffer P., Silberstein G., Sumera F., Tarifa N., Troubady M. - Amboise - Réserve de la Butte de César, campagne 2021 rapport de fouille archéologique programmée. Tours : Conseil départemental d'Indre-et-Loire ; Orléans : SRA Centre, 2022, 2 volumes : 409 p. et 693 p.
- Le Cloirec 2001** : Le Cloirec G. - *Les bronzes antiques de Corseul (Côtes-d'Armor)*, Monographies Instrumentum, 18, Montagnac, 173 p.

- Leconte 2016** : Leconte L. - Étude du mobilier métallique, in : Casasoprana C., *Île-de-France, Seine-et-Marne (77)*. Changis-sur-Marne, « Chemin de la Fosse de la Haye », « La Masure à Boquet ». **Un établissement rural gallo-romain. Volume 2, contributions**, Rapport de fouilles, Inrap CIF : 117-158.
- Legros 2015** : Legros V. - Archéologie de l'objet métallique aux époques médiévale et moderne en Picardie. Approches typologique et fonctionnelle, *R.A.P.*, 1-2, Amiens, 302 p.
- Lelong 1993** : Lelong Ch. - *Catalogue des objets mérovingiens du musée de la Société Archéologique de Touraine, Hôtel Gouïn, Tours, Tours*, 46 p.
- Lenz 2006** : Lenz H.K. - *Römische Waffen, militärische Ausrüstung und militärische Befunde aus dem Stadtgebiet der Colonia Ulpia Traiana (Xanten)*, Bonn, 209 p. et 90 pl.
- Lorren 2001** : Lorren Cl. - *Fibules et plaques-boucles à l'époque mérovingienne en Normandie. Contribution à l'étude du peuplement, des échanges et des influences, de la fin du V<sup>e</sup> au début du VIII<sup>e</sup> siècle*, Association française d'archéologie mérovingienne, Saint-Germain-en-Laye, Mémoires de l'A.F.A.M. 8, Paris, 554 p.
- Lusson 2018a** : Lusson D. - *L'instrumentum*. In : Laruz J.-M., *Centre-Val de Loire, Indre-et-Loire, Amboise, ruelle Farçin. Fouille d'un quartier sur le flanc sud de l'oppidum d'Ambacia. Volume 2 : études spécialisées*, Rapport de fouille, CD37 - Sadil, Inrap Centre-Île-de-France, Tours : 161-221.
- Lusson 2018b** : Lusson D. *Amboise (37), Villages Vacances Familles (VVF) des Violettes, Fouilles sur le flanc nord de l'oppidum d'Ambacia. Volume 2 - Études spécialisées*. In : Laruz J.-M., *Rapport de fouille archéologique*. Tours : Conseil départemental d'Indre-et-Loire, Sadil ; Orléans : SRA Centre : 127-228.
- Manniez, Dupuy 2009** : Manniez Y., Dupuy V. - Étude des petits objets et de l'outillage, in : Fiches J.-L. (dir.) - *Une maison des I<sup>er</sup>-II<sup>e</sup> siècles dans l'agglomération routière d'Ambrussum (Villetelle, Hérault) : fouille de la zone 9 (1995-1999)*, Monographie d'archéologie méditerranéenne 26, Lattes : 145-169.
- Moireau, Genty 1991** : Moireau F., Genty P. - Un ensemble de céramiques du III<sup>e</sup> siècle après J.-C. à Herbilly, commune de Mer (Loir-et-Cher), *R.A.C.F.* 30 : 195-201.
- Montrot 1954** : Montrot E. - Rouelles et fusaioles, *Bulletin des Amis du musée de Préhistoire du Grand-Pressigny* 5 : 72-77.
- Mortreau 2008** : Mortreau M. - Indices de la présence de militaires romains à Angers / *Ivliomagvs* (I<sup>er</sup> av.-III<sup>e</sup> ap. J.-C.), *Archives d'Anjou*, 12 : 9-39.
- Motteau 1991** : Motteau J. - *Catalogue des objets de fouilles de Tours (1973-77)*, Recherches sur Tours 5, 2<sup>e</sup> suppl. à la R.A.C.F., Tours, 140 p.
- Nice 2008** : Nice A. - Boucles et plaques-boucles, in : **Nice A.** (dir.) avec les collaborations de Flèche M.-P., Thouvenot S., Legout R., Fedi L., Feyeux J.-Y. - *La nécropole mérovingienne de Goudelancourt-lès-Pierrepont (Aisne)*, R.A.P. n° spécial 25, Amiens : 179-206.
- Nice 2008** : Nice A. avec les collaborations de Flèche M.-P., Thouvenot S., Legout R., Fedi L., Feyeux J.-Y. - *La nécropole mérovingienne de Goudelancourt-lès-Pierrepont (Aisne)*, RAP n° spécial 25, Amiens, 506 p.
- Pateyron 2019** : Pateyron O. - *Les objets de parure de l'âge du fer du centre-ouest de la Gaule. Bilan et perspectives*, Mémoire de Master 2, Histoire, Civilisations et patrimoine et source, Spécialité Mondes Antiques, sous la direction de Dieudonné-Glad N., Bertrand I., Maguer P., Université de Poitiers, 216 p.
- Périn 1985** : Périn P. avec la collaboration de Velay Ph. et de Renou L. - *Collections mérovingiennes*, Catalogues d'art et d'histoire du musée Carnavalet, II, Paris, 859 p.

- Petit 2018** : Petit P. - Le petit mobilier métallique, in : Ménez N. (dir.), *Corseul (Côtes-d'Armor), La Métrie 2*, Rapport d'opération, Fouille archéologique, Inrap Grand Ouest : 256-277.
- Pichon 2015** : Pichon I. - *Neuillé-le-Lierre, Indre-et-Loire, le Bourg, rue de la République, rue Nationale, rue Jeanne Deshayes, rue Decestre, rue Pierre Fillet. Évolution d'un cimetière paroissial*, Rapport de diagnostic, Inrap CIF, 80 p.
- Raux 2013** : Raux S. - *L'instrumentum*, in : Chuniaud K. (dir.), *Auvergne, Puy-de-Dôme, Clermont-Ferrand, ZAC des Trémonteix lot 1, Les études*, Rapport de fouille, Volume 3, Inrap Rhône-Alpes Auvergne : 211-238.
- Sebag 2018** : Sebag D. - Les objets en plomb de l'agglomération romaine de Bliesbruck (Moselle), *Blesa*, 8, Bliesbruck-Rheinheim 2018 : 138-169.
- Soulat 2014** : Soulat J. - Étude du mobilier métallique, in : **André S.** (dir.), *Asnières-sur-Vègre, Manoir de la Cour (Sarthe)*, Rapport final d'opération, ArchéoLoire, Service Régionale de l'Archéologie des Pays de la Loire : 129-140.
- Unz, Deschler-Erb 1997** : Unz Ch., Deschler-Erb E. - *Katalog der Militaria aus Vindonissa*, Veröff. Ges. Pro Vindonissa, 14, Brugg, 96 p., 86 pl.

## ETUDE DES MONNAIES DU DIAGNOSTIC DE SORIGNY LE NETILLY 2021

**Murielle Troubady, numismate, UMR 5060 CNRS IRAMAT-CEB Université d'Orléans**

Le diagnostic mené sur la villa au Netilly a livré 22 monnaies des périodes gauloise à contemporaine. Leur état général de conservation est bon. Elles ont été nettoyées et inventoriées.

Leur répartition (carte ?) n'indique pas de zone d'occupation antérieure ou postérieure, les monnaies sont mélangées dans les niveaux supérieurs, végétale et décapage. Aucune n'a été mise au jour dans les structures fouillées.

### CATALOGUE

Les monnaies sont classées par période d'émission, par lot et contexte (US et tranchées) et décrites

#### *Age du Fer*

**Lot 200** : Au niveau de F.31 entre la tranchée 2 et la tranchée 3, US 475

Argent, à la cavalière, DT 2036-2037

Poids : 0.78 g / Module : 11 mm / Ep. : 1 mm / Axe : 2 h

D/ Tête d'Apollon laurée à droite, chevelure en trois lignes de mèches

R/ Cavalière chevauchant un cheval à droite, bras en l'air

Circulation : 100 av – 50 ap n.è.

Attribution : Touraine, Turons



**Lot 201** : Déblais, près de F.38 dans la tranchée 3, US 476

Potin, à la tête diabolique classe 2b

Poids : 2.65 g / Module : 15 mm / Ep. : 3.5 mm / Axe : 9 h

D/ Tête moyenne à gauche, trou moyen pour l'œil nez et menton courts

R/ Taureau moyen chargeant à gauche pattes repliées sous le ventre et queue relevée sur le dos

Circulation : 70 av – 50 ap n.è.

Attribution : Touraine, Loire moyenne



**Lot 202** : Au niveau de F.211 entre la tranchée 1 et la tranchée 2, US 477

Argent, quinaire RRC 332/1c de la famille CLOULIA

Poids : 1.31 g / Module : 16 mm / Ep. : 1 mm / Axe : 10 h

D/ Tête laurée de Jupiter à droite, devant sous menton G, lettre de contrôle

R/ Victoire drapée debout à droite, tenant une palme de la main gauche et couronnant de la main droite un trophée d'armes placé dans le champ à droite à ses pieds un captif assis, tourné à gauche, derrière un carnyx. T. CLOVLI // Q

Circulation : 98 av. n.è.

Attribution : Rome



**Lot 203** : Près de F.41 dans la tranchée 3, US 478

Potin, à la tête diabolique classe 2b

Poids : 2.86 g / Module : 16 mm / Ep. : 3.5 mm / Axe : 9 h

D/ Tête moyenne à gauche, trou moyen pour l'œil nez et menton courts

R/ Taureau moyen chargeant à gauche pattes repliées sous le ventre et queue relevée sur le dos

Circulation : 70 av – 50 ap n.è.

Attribution : Touraine, Loire moyenne



**Lot 204** : Près de F.83 entre la tranchée 3 et la tranchée 4, US 479

Potin, à la tête diabolique classe 8c

Poids : 3.38 g / Module : 18 mm / Ep. : 3.5 mm / Axe : 8 h

D/ Tête casquée massive à gauche, un globule dans la bouche R/ Taureau massif chargeant à droite, pattes postérieures en ligne de sol, queue relevée sur le dos

Circulation : 180 av – 50 ap n.è.

Attribution : Touraine, Loire moyenne



**Lot 205** : Près de F.5 et F.6 sondage 2, US 480

Potin, à la tête diabolique classe 1a

Poids : 0.78 g / Module : 11 mm / Ep. : 1 mm / Axe : 2 h

D/ Tête à gauche, chevelure en trois mèches

R/ Petit taureau chargeant à gauche, pattes repliées sous le ventre et queue relevée sur le dos

Circulation : 40/30 av – 50 ap n.è.

Attribution : Touraine, Loire moyenne



**Lot 206** : Près de F.20 entre la tranchée 2 et la tranchée 3, US 481

Potin, à la tête diabolique classe 1b

Poids : 2.87 g / Module : 13 mm / Ep. : 4 mm / Axe : 3 h

D/ Tête à gauche, chevelure en petites mèches

R/ Petit taureau chargeant à gauche, pattes repliées sous le ventre et queue relevée sur le dos x devant.

Usé ou mal empreint

Circulation : 40/30 av – 50 ap n.è.

Attribution : Touraine, Loire moyenne



**Lot 207** : Près de F.48 entre la tranchée 3 et la tranchée 4, US 482

Potin, à la tête diabolique classe 8c

Poids : 1.7 g / Module : 14 mm / Ep. : 2.5 mm / Axe : 3 h

D/ Tête casquée massive à gauche, un globule dans la bouche

R/ Taureau massif chargeant à droite, pattes postérieures en ligne de sol, queue relevée sur le dos

Circulation : 180 av – 50 ap n.è.

Attribution : Touraine, Loire moyenne



**Lot 208** : Déblais, près de F.27 dans la tranchée 2, US 483

Potin, à la tête diabolique classe 2c

Poids : 2.87 g / Module : 17 mm / Ep. : 2.5 mm / Axe : 9 h

D/ Tête moyenne à gauche, trou moyen pour l'œil nez et menton courts. Sommet du crâne carré. Flan large  
R/ Taureau moyen chargeant à gauche, œil visible et cornu, pattes repliées sous le ventre et queue relevée sur le dos. Coup à l'épaule et sur la queue

Circulation : 70 av – 50 ap n.è.

Attribution : Touraine, Loire moyenne



**Lot 209** : Près de F.25 dans la tranchée 2, US 484

Potin, à la tête diabolique classe 2b

Poids : 2.23 g / Module : 16 mm / Ep. : 2 mm / Axe : 9 h

D/ Tête moyenne à gauche, petit trou pour l'œil nez et menton longs et pointus

R/ Taureau moyen chargeant à gauche, pattes repliées sous le ventre dont arrière fourchue et queue relevée sur le dos.

Circulation : 70 av – 50 ap n.è.

Attribution : Touraine, Loire moyenne



**Lot 214** : Déblais, près de F.5 dans la tranchée 1, US 489

Argent, fraction illisible

Poids : 1.4 g / Module : 13 mm / Ep. : 1.5 mm / Axe : ind.

D/ Tête à droite casqué (?) mèches longues dans le cou R/ Illisible, frappe molle

Circulation : 100 av. – 50 de n.è.

Attribution : Indéterminée



**Antiquité**

**Lot 210** : Déblais, près de F.9 dans la tranchée 1, US 485

Cuivre, As à l'autel de Lyon, RIC, I, 233

Poids : 11.75 g / Module : 26.5 mm / Ep. : 3 mm / Axe : 12 h

D/ Tête laurée d'Auguste à droite. [CAESA]R AVGVSTVS - DIVI F PATER PAT[RIAE].

R/ Autel de Lyon ROMETA VG

Emission : 10-14

Attribution : Lyon



**Lot 211** : Déblais, près de F.29 dans la tranchée 4, US 486

Cuivre, antoninien de Tétricus 1er

Poids : 1.39 g / Module : 11 mm / Ep. : 1.5 mm / Axe : 9 h

D/ Tête radiée barbue de Tétricus 1er

R/ Hilaritas à gauche, une palme dans la main droite et une corne d'abondance dans la gauche

Emission : 275-285

Attribution : Indéterminée



**Lot 212** : Déblais, près de F.83 dans la tranchée 4, US 487

Cuivre, antoninien de Tétricus 1er

Poids : 1.72 g / Module : 14 mm / Ep. : 1 mm / Axe : ind

D/ Tête radiée barbue de Tetricus 1er R/ Illisible

Emission : 275-285

Attribution : Indéterminée





**Lot 213** : Près de F.46 dans la tranchée 3, US 488  
Cuivre, nummus indéterminé  
Poids : 1.02 g / Module : 13 mm / Ep. : 1 mm / Axe : 12 h  
D/ Buste lauré à droite fruste  
R/ Soldat et enseigne(s) fruste  
Emission : 300-350  
Attribution : Indéterminée



**Lot 215** : Près de F.30 dans la tranchée 3, US 490  
Cuivre, nummus indéterminé, minime  
Poids : 0.43 g / Module : 10 mm / Ep. : 1.5 mm / Axe : ind  
Lisse, cassé  
Emission : 300-400  
Attribution : Indéterminée



### **Moderne**

**Lot 216** : Près de F.15 dans la tranchée 2, US 491  
Argent, Demi gros de Nesle ou Gros de trois blancs, Dy 995  
Poids : 3.3 g / Module : 24 mm / Ep. : 1.5 mm / Axe : 12 h  
D/ [+ HENRICVS. II. D]. G. FRAN[CO. REX] H couronnée, entre trois lis posés 2 et 1.  
R/ SIT. NOMEN. DNI. - A - .BNEDICTVM 155? Croix évidée fleurdelisée.  
Emission : 1550-1551  
Attribution : Paris



**Lot 217** : Au niveau de F.32 entre la tranchée 2 et la tranchée 3, US 492

Cuivre, Liard, Dy 1588

Poids : 2.31 g / Module : 22 mm / Ep. : 1.5 mm / Axe : 6 h

D/ L. XIII .ROY. DE. FR. ET .DE. NA. 165? Buste à droite de Louis XIV, couronné, drapé et cuirassé.

R/ ,LIARD.. DE.. France.. Fleurs de lis en 2-1 Lettre d'atelier illisible

Emission : 1655-1658

Attribution : Indéterminée



**Lot 218** : Au niveau de F.24 entre la tranchée 2 et la tranchée 3, US 493

Cuivre, Liard indéterminé

Poids : 3 g / Module : 22 mm / Ep. : 1 mm / Axe : ind

Illisible

Emission : 17<sup>e</sup> siècle

Attribution : Indéterminée



**Lot 219** Au niveau de F.80 entre la tranchée 4 et la tranchée 5, US 494

Cuivre, Liard indéterminé

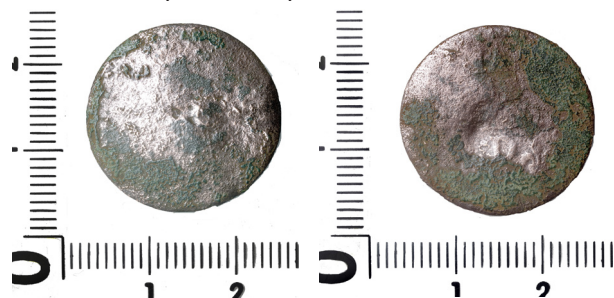
Poids : 2.41 g / Module : 22 mm / Ep. : 1 mm / Axe : ind

D/ Illisible

R/ D comme lettre atelier, fleur de lis

Emission : 17<sup>e</sup> siècle

Attribution : Lyon ou Vimy



**Lot 220** : déblais, près de F.27 dans la tranchée 2, US 495

Cuivre, Denier tournois indéterminé

Poids : 1.07 g / Module : 17 mm / Ep. : 1 mm / Axe : ind.

Illisible et pliée

Emission : 17<sup>e</sup> siècle

Attribution : Indéterminée



**Contemporaine**

**Lot 221** : Au niveau de F.81 entre la tranchée 4 et la tranchée 5, US 496

Cuivre, 5 Centimes, F118

Poids : 4.12 g / Module : 25 mm / Ep. : 1 mm / Axe : 6h

D/ REPUBLIQUE FRANÇAISE. Cérès couronnée à gauche

R/ 5/ CENTIMES/ [A] dans une couronne formée d'une branche d'olivier et d'une branche de laurier. Fruste

Emission : 1850-1890

Attribution : Indéterminée



## COMMENTAIRE

La moitié des monnaies découvertes circulent à l'âge du Fer ou au tournant de notre ère, le bronze à l'autel de Lyon est émis au tout début de notre ère, donc à la même période. Même si le denier républicain est en bon état et daté de 98 av. n.è., le lot de ces 11 pièces pourrait tout à fait correspondre au faciès d'une occupation augusto-tibérienne. La quantité de monnaies de cette période permet de supposer que cette occupation est sous la *villa* ou à proximité. Elle est également assurément au moins en partie d'ordre cultuelle. En effet, la série à la cavalière se trouve dans les sanctuaires chez les Turons (Troubady 2018) et le potin portant une marque au revers est sacrifié. Cette pratique se trouve également en contexte cultuel chez les Turons. (Troubady 2019). C'est notamment le cas à Panzoult ou Lémeré qui sont les deux temples connus les plus proches de Sorigny. Les monnaies ont peu circulé et sont plutôt en bon état, en dehors de la fraction d'argent presque lisse. Ces petites monnaies sont souvent en mauvais état avec des frappes non soignées (Parvenie, Bedel 2019) mais celle-ci peut être tout simplement usée. Des occupations protohistoriques sont connues à Sorigny (SARRESTE 2017, la « Pièce des Viviers », Jouaneau-Bigot 2012, « Nétilly »), mais aucune toute proche qui pourrait expliquer ces découvertes monétaires. Les sites connus sont des

occupations rurales dont les fouilles ont livré peu de monnaies gauloises, dont aucune en argent. Le faciès du diagnostic suggère un site de statut supérieur de type agglomération commerciale ou lieu de culte.

Les autres monnaies antiques sont des imitations locales ou d'ateliers irréguliers de très faible valeur. Les deux antoniniens et les deux *nummi* indiquent la fréquentation du site au IV<sup>e</sup> siècle, rien de plus puisque ces monnaies circulent assez longuement. Les *nummi* sont très usés. Considérant ces données, il semble très probable que la *villa* n'ait pas eu de vocation commerciale, l'absence ou la faiblesse des découvertes monétaires dans des *villae* même cossues est connue et étudiée (Doyen 2014 ; 2015). Elle ne signifie pas que le lieu et ses habitants soient pauvres mais que le commerce n'est pas pratiqué. Cet aspect est renforcé par l'absence de petites pièces au Bas-Empire alors qu'elles sont plus abondantes après la crise du III<sup>e</sup> siècle. Les petites monnaies tardives ont pu également être utilisée dans un contexte encore plus récent si le site est occupé au V<sup>e</sup> s.

Les monnaies modernes sont nombreuses mais en dehors de la pièce en argent, les petits deniers et liards en cuivre sont en très mauvais état, très usés ce qui indique qu'ils proviennent d'une zone de roulement qui a favorisé et rendu les faces lisses. La présence de ces monnaies pourrait indiquer la présence d'une voie ou d'une fréquentation soutenue des lieux autour du XVII<sup>e</sup> siècle.

## BIBLIOGRAPHIE

**CRAWFORD 1974** : Crawford M. – Roman Republican Coinage, Cambridge university press, 2 vol.

**DOYEN 2014** : Doyen J.-M. - La monétarisation des grands domaines ruraux de Gaule septentrionale : une problématique nouvelle In : DERU X., GONZÁLEZ VILLAESCUSA R., *Consommer dans les campagnes de la gaule romaine*. Actes du Xe congrès de l'Association AGER. Revue du Nord, Hors-série. Collection Art et Archéologie N° 21. 2014, 267-276

**DOYEN 2015** : Doyen J.-M. - La monét(ar)isation des grands domaines ruraux de Gaule septentrionale entre gestion capitaliste et commerce de proximité, *Revue Belge de Numismatique*, 161, 121-144

**PARVERIE, BEDEL 2019** : Parverie M., Bedel J.-C. – Les fractions gauloises d'argent du Centre-Ouest, *Cahiers Numismatiques*, : 11-31

**SARRESTE 2017** : Sarreste F. dir. — *Sorigny (37), La Pièce des Viviers. Occupations rurales de la Tène moyenne au début du II<sup>e</sup> siècle après J.-C.*. Rapport final d'opération archéologique, Service régional de l'Archéologie de Centre-Val-de-Loire. Limoges : Éveha, 2017.

**TROUBADY 2011** : Troubaday 2011 - Circulation et diffusion monétaire chez les Turons et les Carnutes au second âge du Fer, Thèse de III<sup>e</sup> cycle sous les directions de S. Fichtl et K. Gruel, Université François Rabelais, Tours, 3 vol.

**TROUBADY 2018** : Troubaday 2018 - Les sanctuaires turons : monnaies et sacrifices In Hiriart E., Genechesi J., Ciccolani V., Martin S., Nieto-Pelletier S., Olmer F. (dir.) Monnaies et archéologie en Europe celtique. Mélanges en l'honneur de Katherine Gruel. *Bibracte* 29, 287-291

**TROUBADY 2019** : Troubaday 2019 - Les monnaies burinées ou limées. Une pratique sacrificielle ? Étude de cas au des sanctuaires communautaires turons. In Barral Ph., Thivet M. (dir.) Sanctuaires de l'âge du Fer, 41<sup>e</sup> colloque international de l'AFEAF, Dole, 25-27 mai 2017, coll. AFEAF 1, p. 411-413

## ÉTUDES DES DÉCHETS SIDÉRURGIQUES

Florian Sarreste (EVEHA)

### Présentation du corpus

Le diagnostic mené dans le cadre de l'extension de la ZAC Isoparc au lieu-dit Nétilly à Sorigny (Indre-et-Loire) a occasionné la mise au jour d'un petit ensemble de déchets sidérurgiques. Il s'agit de 20 restes pour une masse totale de 1 312 g (fig. 1). À ce lot est associé ici un nodule ferreux d'origine naturelle, un pisolithe (6 g), ayant généré un encroûtement composé d'oxyhydroxydes de fer (F570).

Fait	US	NR	Masse (en g)	NMC
385	266	1	3	
491	393	4	252	1
509	352	5	723	1
513	339	2	80	1
533	332	4	41	
537	357	1	76	
/	331	3	137	1
<b>Total</b>		<b>20</b>	<b>1 312</b>	<b>4</b>

Fig. 1 : Tableau d'inventaire des déchets métallurgiques mis au jour par fait et US. Réalisation : F. Sarreste © Éveha, 2022

Une partie du comblement des faits, F511, F513 et F533, a été passée à l'eau dans des tamis de maille 1 et 2 mm. Les refus secs ont été soumis au passage d'un aimant afin de vérifier la présence d'éléments magnétiques. Ce test s'est avéré positif dans les trois cas.

### Répartition des restes

Hormis un petit fragment de scorie argilo-sableuse issu de la fosse d'extraction F385 (3 g), l'ensemble des restes provient de la partie nord de la zone diagnostiquée et plus précisément des aménagements associés à la présence d'un enclos fossoyé. Les résidus sidérurgiques ont été collectés dans les sondages pratiqués dans les fossés F509, F533 et F537 et l'US 331, au sud de l'enceinte restituée, ainsi dans la fosse d'extraction F491 toute proche. Le reste a été ramassé lors de la fouille par moitié des fossés F511 et F513, localisées à l'intérieur de l'aire enceinte (fig. 2). Le corpus réuni ne constitue donc qu'un petit échantillon des résidus présents dans ces aménagements, notamment dans les fossés qui n'ont été, à ce stade, que partiellement sondés. Il est ainsi probable qu'une fouille extensive mette au jour des quantités beaucoup plus importantes de résidus.

Même si, en raison de la nature de l'opération, le nombre de déchets collectés reste faible, leur concentration dans emprise de 2 500 m<sup>2</sup> semble désigner ce secteur comme le lieu de production.

### Nature des déchets

L'ensemble des déchets métallurgiques examinés correspond à des résidus de mise en forme d'objets en fer. Il s'agit de scories et de parois de foyers issus d'activités de post-réduction (épuration et/ou forge) (Mangin 2004) (fig. 3).

Parmi eux, il est possible d'identifier au moins quatre culots, correspondant à autant d'opérations

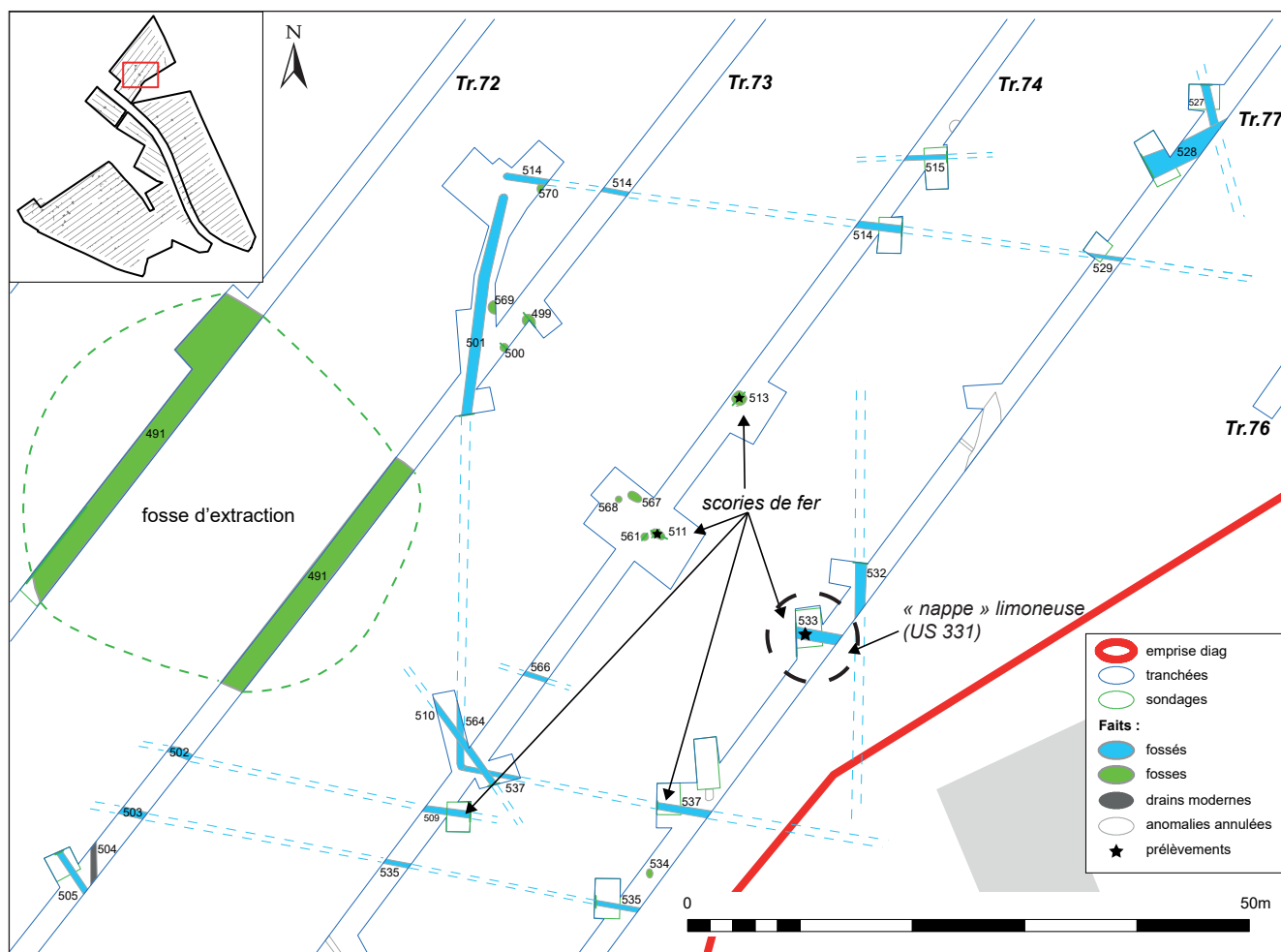


Fig. 2 : Carte de répartition des résidus sidérurgiques dans le nord de l'emprise du diagnostic.

au feu (fig. 4). Les masses restituées pour ces spécimens s'échelonnent de 99 à 587 g. Deux d'entre eux dépassent 200 g indiquant la mise en œuvre de masse de métal relativement importante lors de certaines opérations (plusieurs centaines de grammes). Le lot étudié n'est toutefois sans doute pas représentatif de l'ensemble des déchets générés sur place. C'est pourquoi il paraît prématuré de conclure sur l'importance ou la nature des activités sidérurgiques.

Nature	Morphologie	Conservation	NR	Masse (en g)	NMC
Scorie	Culot	Incomplet	8	950	4
		Fragments	3	151	
	Informe	Complet	1	17	
	Indéterminée	Fragments	6	73	
Paroi de foyer	Indéterminée	Fragments	2	121	
<b>Total</b>			<b>20</b>	<b>1 312</b>	<b>4</b>

Fig. 3 : Tableau d'inventaire des déchets sidérurgiques en fonction de leur nature, de leur forme et de leur conservation. Réalisation : F. Sarreste © Éveha, 2022.

Les trois prélèvements tamisés ont livré des battitures. Ces micro-déchets sont toutefois en quantité très faibles et ne représentent que quelques milligrammes sur les prélèvements de plusieurs décilitres. Les autres éléments magnétiques correspondent à des petits fragments de scories mais aussi à des nodules d'argile cuite ou à des pisolithes (formation naturelle). Seules trois battitures

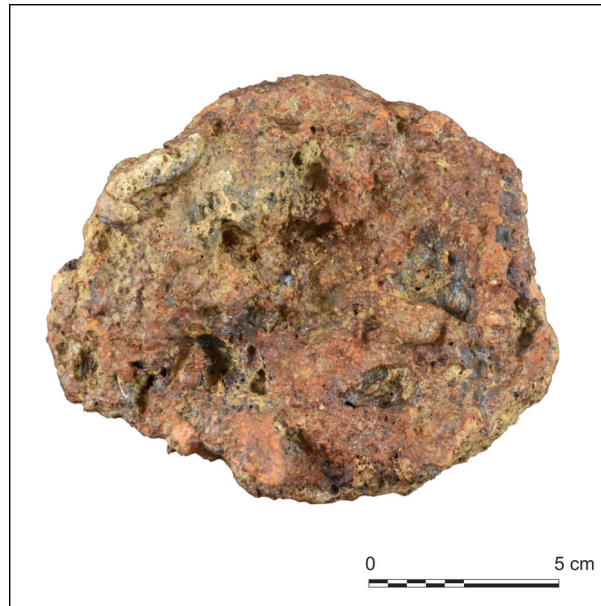


Fig. 4 : Photographie de la face supérieure d'un culot de forge quasi-complet issu de F533. Cliché : F. Sarreste © Éveha, 2022.

lamellaires ont ainsi été identifiées dans le fait 511 et une dizaine dans F513. F533 est celui qui a livré le plus de restes, en billes, lamellaires ou granulaires. L'effectif est cependant inférieur à 100. Ces résidus témoignent d'une pollution des sols par une activité sidérurgique pratiquée à peu de distance. Ils confirment ainsi la présence probable d'un atelier de forge dans la partie sud de l'enclos fossoyé septentrionale, déjà déduite par la concentration des scories.

### Comparaisons et perspectives

Les indices d'activités sidérurgiques sont relativement rares sur le territoire des communes de Monts et Sorigny, ce malgré la forte densité des opérations archéologiques préventives menées ces vingt dernières années sur ce territoire. La plupart des diagnostics réalisés dans le cadre de la création de la ZAC Isoparc, tout comme ceux liés à l'installation de la Ligne Grande Vitesse Sud Europe Atlantique ou au fuseau autoroutier de l'A10 ou aux lotissements et ZAC ne font pas état de la découverte des vestiges métallurgiques. Seule exception à ce constat, l'établissement rural antique des Ruaux à Sorigny, diagnostiqué en 2012, qui a livré 65 scories pour une masse 1 618 g (Colonge 2012). Celles-ci n'ont pas été étudiées (pas détermination de la métallurgie ou de la place dans la chaîne opératoire) et le site n'a pas fait l'objet d'une fouille.

Les renseignements les plus précis proviennent des opérations de fouille. Le curage intégral des creusements liés à l'établissement rural protohistorique et antique de La Pièce des Viviers a ainsi permis de collecter que 70 résidus de post-réduction principalement associés à l'époque romaine (2 881 g) (Sarreste 2017 : 362). De même, l'occupation agricole de La Tène finale et du Haut-Empire du Petit Nétilly, fouillée dans le cadre de l'aménagement de la LGV SEA, n'a occasionné la mise au jour de 11 déchets sidérurgiques liés à la forge (S. Bigot dans Jouanneau-Bigot 2013 : 342, non pesés).

Localement, les données les plus remarquables relatives à la sidérurgie concernent le site de Montison à Sorigny (Poitevin 2014). Un demi-produit de type *currency-bar* y a été mis au jour lors du diagnostic. La mise en forme d'objets en fer sur place durant La Tène D2 est confirmée par la

découverte de 61 scories de post-réduction, toutes issues du remplissage du fossé d'enclos (2 448 g) (D. Lusson dans Poitevin 2014 : 390). Cette activité disparaît toutefois presque totalement à l'époque romaine. Une unique scorie de 13 g est ainsi attestée pour la seconde période d'occupation du site (D. Lusson dans Poitevin 2014 : 394).

Dans ce contexte, la mise au jour de 1,3 kg de déchets de forge lors d'un diagnostic constitue un ensemble relativement important, laissant supposer une activité sidérurgique plus marquée que pour les occupations voisines. Comme il a été établi ci-dessus, les opérations métallurgiques semblent avoir pris place au sein de l'enclos repéré dans la partie nord de la zone prescrite. Les scories y sont associées à des rejets domestiques datés du I<sup>er</sup> siècle. Ceci tendrait à indiquer une occupation relativement courte. Celle-ci serait néanmoins contemporaine des sites évoqués ci-dessus, tous à moins de 3 km, ainsi que de la *villa* mise en évidence à 500 m plus au sud-ouest dans le cadre du présent diagnostic. Un lien entre ce dernier établissement et la production sidérurgique ne peut être exclu, l'enclos fossoyé pouvant appartenir au domaine contrôlé par la *villa*.

La fouille extensive des aménagements liés à l'enclos et la fosse d'extraction F491 permettrait, outre la mise au jour des éventuelles structures d'habitat, d'analyser l'ensemble des résidus sidérurgiques associés à ces aménagements. Cette étude apporterait des données quantitatives (masse de déchets, masse de métal travaillé, nombre d'opérations) mais aussi qualitatives (qualité du métal, types d'opérations réalisées) sur cette production et compléterait très utilement les connaissances sur les activités artisanales réalisées dans les campagnes de la cité des Turons.

## Bibliographie

- Colonge 2012** : COLONGE D. - *LGV SEA - Phase 98 : Sorigny, « La Gérandelière »*, Indre-et-Loire (37). Rapport final d'opération archéologique : diagnostic. L'Isle d'Espagnac : Inrap GSO, SRA Centre, 2012. 99 p.
- Jouanneau-Bigot 2013** : JOUANNEAU-BIGOT S. dir. - *Sorigny, Nétilly, Indre-et-Loire (37). LGV SEA. Une occupation agropastorale enclose de La Tène finale à la fin du Haut-Empire*. Rapport final d'opération archéologique : fouille préventive. Pantin : Inrap CIF, 2013.
- Mangin 2004** : MANGIN M. dir. - *Le fer*. Paris : Errance, 2004. 239 p. (coll. Archéologiques).
- Poitevin 2014** : POITEVIN G. dir. - *Montison, Sorigny, Indre-et-Loire (37). LGV SEA - D'un habitat rural enclos gaulois à une villa antique à deux cours en Sud Touraine*. Rapport final d'opération archéologique : fouille préventive. Pantin : Inrap CIF, 2014. 595 p.
- Sarreste 2017** : SARRESTE F. dir. - *Sorigny (37), La Pièce des Viviers. Occupations rurales de La Tène moyenne au début du II<sup>e</sup> siècle après J.-C.* Rapport final d'opération archéologique : fouille préventive. Limoges : Éveha, 2017. 571 p.



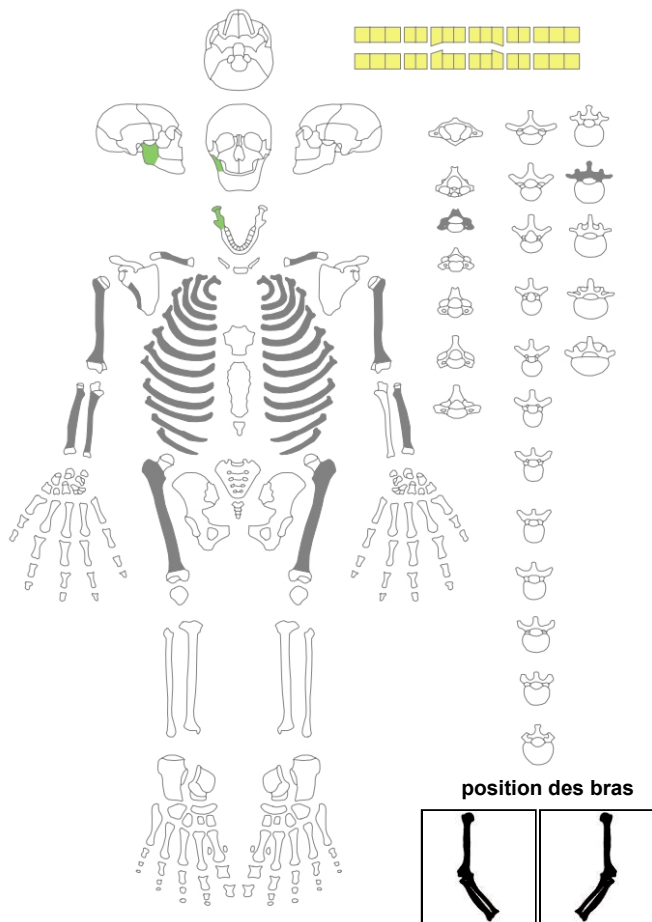
Fait	US	Lot	Nature	Métallurgie	Phase	Morphologie	Conservation	Catégorie	NR	«Masse conservée (en g)»	NMI Culot	Réaction à l'aimant	% conservé	Stratification	«Masse restituée (en g)»	Classe 50g	Remarque
509	352	313	Scorie	Ferreux	Post-réduction	Culot	Incomplet	SGD	1	528	1	1	90	1	586,7	551-600	
509	352	313	Scorie	Ferreux	Post-réduction	Culot	Fragments	SGD	2	75							
509	352	313	Paroi de foyer	Ferreux	Post-réduction	Indéterminée	Fragments	PAR	1	113							
509	352	313	Scorie	Ferreux	Post-réduction	Indéterminée	Fragments	SAS	1	7							
491	393	317	Scorie	Ferreux	Post-réduction	Culot	Incomplet	SGD	3	211	1	0	90	1	234,4	201-250	
491	393	317	Scorie	Ferreux	Post-réduction	Indéterminée	Fragments	SGD	1	41							
570	433	318	Autre	Ferreux	Indéterminée	Indéterminée	Fragments	IND	1	6							Produit de corrosion autour d'un nodule oxydé (naturel ?)
537	357	316	Scorie	Ferreux	Post-réduction	Culot	Fragments	SAS/SGD	1	76							
	331	319	Scorie	Ferreux	Post-réduction	Culot	Incomplet	SAS/SGD	3	137	1	0	75	1	182,7		
513	339	312	Scorie	Ferreux	Post-réduction	Culot	Incomplet	SAS	1	74	1	0	75	1	98,7		
513	339	312	Scorie	Ferreux	Post-réduction	Indéterminée	Fragments	SAS	1	6							
533	332	314	Scorie	Ferreux	Post-réduction	Informe	Complet	SAS	1	17							Bleue
533	332	314	Scorie	Ferreux	Post-réduction	Indéterminée	Fragments	SGD	1	13							
533	332	314	Scorie	Ferreux	Post-réduction	Indéterminée	Fragments	SAS	1	3							
533	332	314	Paroi de foyer	Ferreux	Post-réduction	Indéterminée	Fragments	PAR	1	8							
385	266	315	Scorie	Ferreux	Post-réduction	Indéterminée	Fragments	SAS/SGD	1	3							

**SOR\_NET\_21 F102 - US 465 - Individu 1**

Adulte de Sexe indéterminé

Inhumation Individuelle primaire

Représentation : mauvaise, conservation os : mauvaise



**Légende des inventaires osseux**

dents			squelette		
■ in situ	■ germe présent	■ perte ante mortem	■ os présent	■ os mal latéralisé	
■ présente	■ type identifié	■ perte post mortem	■ os partiellement conservé	■ os mal localisé	
■ germe in situ	■ agénésie	■ non obs.	■ os absent	■ os non obs.	

**État dentaire : caries**

																ind.	
<input type="checkbox"/>	<input type="checkbox"/>	<input type="checkbox"/>	<input type="checkbox"/>	<input type="checkbox"/>	<input type="checkbox"/>	<input type="checkbox"/>	<input type="checkbox"/>	<input type="checkbox"/>	<input type="checkbox"/>	<input type="checkbox"/>	<input type="checkbox"/>	<input type="checkbox"/>	<input type="checkbox"/>	<input type="checkbox"/>	<input type="checkbox"/>	<input type="checkbox"/>	<input type="checkbox"/>
<input type="checkbox"/>	<input type="checkbox"/>	<input type="checkbox"/>	<input type="checkbox"/>	<input type="checkbox"/>	<input type="checkbox"/>	<input type="checkbox"/>	<input type="checkbox"/>	<input type="checkbox"/>	<input type="checkbox"/>	<input type="checkbox"/>	<input type="checkbox"/>	<input type="checkbox"/>	<input type="checkbox"/>	<input type="checkbox"/>	<input type="checkbox"/>	<input type="checkbox"/>	<input type="checkbox"/>

N = non observable, 0 = pas de carie, 1 = dent cariée  
ind. : total / nbre de dents observables

**État dentaire : usure**

																ind.	
<input type="checkbox"/>	<input type="checkbox"/>	<input type="checkbox"/>	<input type="checkbox"/>	<input type="checkbox"/>	<input type="checkbox"/>	<input type="checkbox"/>	<input type="checkbox"/>	<input type="checkbox"/>	<input type="checkbox"/>	<input type="checkbox"/>	<input type="checkbox"/>	<input type="checkbox"/>	<input type="checkbox"/>	<input type="checkbox"/>	<input type="checkbox"/>	<input type="checkbox"/>	<input type="checkbox"/>
<input type="checkbox"/>	<input type="checkbox"/>	<input type="checkbox"/>	<input type="checkbox"/>	<input type="checkbox"/>	<input type="checkbox"/>	<input type="checkbox"/>	<input type="checkbox"/>	<input type="checkbox"/>	<input type="checkbox"/>	<input type="checkbox"/>	<input type="checkbox"/>	<input type="checkbox"/>	<input type="checkbox"/>	<input type="checkbox"/>	<input type="checkbox"/>	<input type="checkbox"/>	<input type="checkbox"/>

N = non observable, 0 = pas d'usure, 1 = usure limité à des facettes d'émail, 2 = découverte d'îlots dentinaires, 3 = confluence des îlots dentinaires, 4 = usure de la moitié ou plus de la hauteur coronale, 5 = disparition de la couronne, racine complète ou presque, 6 = disparition de la moitié ou plus de la racine  
ind. : total / nbre de dents observables

**État dentaire : tartre**

																ind.	
<input type="checkbox"/>	<input type="checkbox"/>	<input type="checkbox"/>	<input type="checkbox"/>	<input type="checkbox"/>	<input type="checkbox"/>	<input type="checkbox"/>	<input type="checkbox"/>	<input type="checkbox"/>	<input type="checkbox"/>	<input type="checkbox"/>	<input type="checkbox"/>	<input type="checkbox"/>	<input type="checkbox"/>	<input type="checkbox"/>	<input type="checkbox"/>	<input type="checkbox"/>	<input type="checkbox"/>
<input type="checkbox"/>	<input type="checkbox"/>	<input type="checkbox"/>	<input type="checkbox"/>	<input type="checkbox"/>	<input type="checkbox"/>	<input type="checkbox"/>	<input type="checkbox"/>	<input type="checkbox"/>	<input type="checkbox"/>	<input type="checkbox"/>	<input type="checkbox"/>	<input type="checkbox"/>	<input type="checkbox"/>	<input type="checkbox"/>	<input type="checkbox"/>	<input type="checkbox"/>	<input type="checkbox"/>

N = non observable, 0 = absence, 1 = tartre faible, 2 = tartre moyen, 3 = tartre important  
ind. : total / nbre de dents observables

**État dentaire : parodonte**

																ind.	
<input type="checkbox"/>	<input type="checkbox"/>	<input type="checkbox"/>	<input type="checkbox"/>	<input type="checkbox"/>	<input type="checkbox"/>	<input type="checkbox"/>	<input type="checkbox"/>	<input type="checkbox"/>	<input type="checkbox"/>	<input type="checkbox"/>	<input type="checkbox"/>	<input type="checkbox"/>	<input type="checkbox"/>	<input type="checkbox"/>	<input type="checkbox"/>	<input type="checkbox"/>	<input type="checkbox"/>
<input type="checkbox"/>	<input type="checkbox"/>	<input type="checkbox"/>	<input type="checkbox"/>	<input type="checkbox"/>	<input type="checkbox"/>	<input type="checkbox"/>	<input type="checkbox"/>	<input type="checkbox"/>	<input type="checkbox"/>	<input type="checkbox"/>	<input type="checkbox"/>	<input type="checkbox"/>	<input type="checkbox"/>	<input type="checkbox"/>	<input type="checkbox"/>	<input type="checkbox"/>	<input type="checkbox"/>

N = non observable, 0 = absence, 1 = destruction faible, 2 = destruction moyenne, 3 = destruction importante  
ind. : total / nbre de dents observables

**Ceinture scapulaire :** La clavicule droite apparaît par sa face supérieure. La clavicule gauche apparaît par sa face supérieure.  
**Membre supérieur droit :** L'humérus droit apparaît par sa face antéro-latérale. L'ulna droite apparaît par sa face postérieure. Le radius droit apparaît par sa face antéro-médiale. Ulna droit a basculé du côté latéral et radius droit côté médial. .  
**Membre supérieur gauche :** L'humérus gauche apparaît par sa face antérieure.  
**Membre inférieur droit :** Le fémur droit apparaît par sa face antérieure.  
**Membre inférieur gauche :** Le fémur gauche apparaît par sa face antérieure.

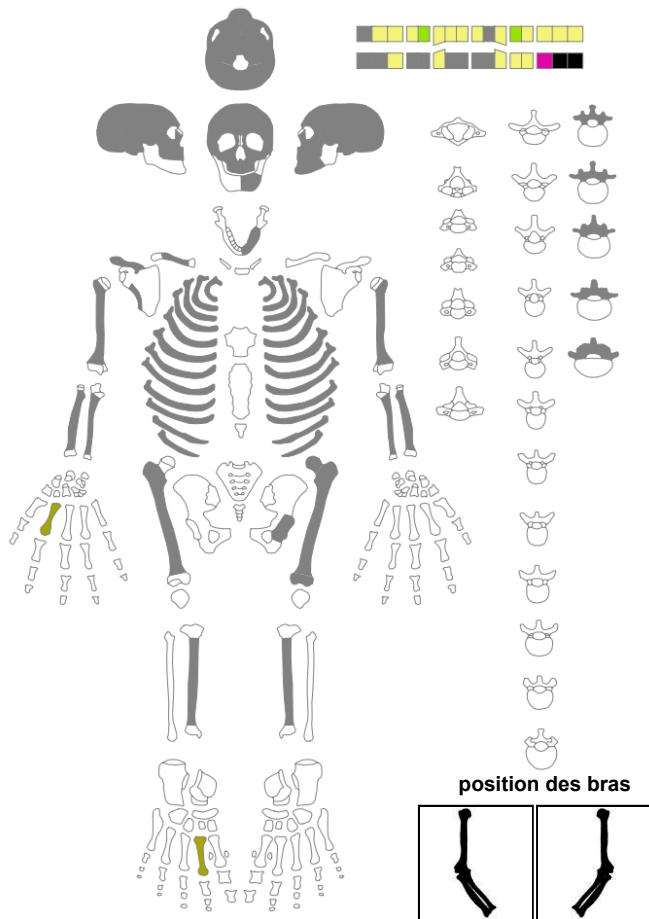
**Présence d'effet(s) de paroi :** humérus et fémur droits alignés.  
**L'espace de décomposition du corps est indéterminé.**  
**Architecture funéraire : indéterminée.**  
 Sépulture très arasée dont il ne reste que la partie centrale (de la ceinture scapulaire aux fémurs). Le fond de la fosse d'inhumation devait donc être en cuvette.  
 Malgré le peu d'observations taphonomiques possibles, on peut supposer que l'individu a été inhumé dans un coffrage en matériaux périssables (bois) qui aurait permis une décomposition en espace vide (cf. écartement des deux os de l'avant-bras droit)..

**SOR\_NET\_21 F103 - US 468 - Individu 1**

Adulte de Sexe indéterminé

Inhumation Individuelle primaire

Représentation : mauvaise, conservation os : mauvaise



**Légende des inventaires osseux**

dents			squelette		
<span style="background-color: black; color: black;">■</span> in situ	<span style="background-color: cyan; color: black;">■</span> germe présent	<span style="background-color: magenta; color: black;">■</span> perte ante mortem	<span style="background-color: black; color: black;">■</span> os présent	<span style="background-color: green; color: black;">■</span> os mal latéralisé	
<span style="background-color: gray; color: black;">■</span> présente	<span style="background-color: lime; color: black;">■</span> type identifié	<span style="background-color: pink; color: black;">■</span> perte post mortem	<span style="background-color: gray; color: black;">■</span> os partiellement conservé	<span style="background-color: yellow; color: black;">■</span> os mal localisé	
<span style="background-color: blue; color: black;">■</span> germe in situ	<span style="background-color: orange; color: black;">■</span> agénésie	<span style="background-color: yellow; color: black;">■</span> non obs.	<span style="background-color: white; color: black;">■</span> os absent	<span style="background-color: yellow; color: black;">■</span> os non obs.	

État dentaire : caries

		ind.																				
<table border="1" style="width: 100%; text-align: center;"> <tr><td> </td><td> </td><td> </td><td> </td><td> </td><td> </td><td> </td><td> </td><td> </td><td> </td></tr> <tr><td> </td><td> </td><td> </td><td> </td><td> </td><td> </td><td> </td><td> </td><td> </td><td> </td></tr> </table>																						
<table border="1" style="width: 100%; text-align: center;"> <tr><td>0</td><td>N</td><td>N</td><td>N</td><td>0</td><td>N</td><td>N</td><td>N</td><td>N</td><td>0</td><td>N</td><td>N</td><td>N</td><td>N</td><td>N</td></tr> </table>		0	N	N	N	0	N	N	N	N	0	N	N	N	N	N	0,00					
0	N	N	N	0	N	N	N	N	0	N	N	N	N	N								
<table border="1" style="width: 100%; text-align: center;"> <tr><td>0</td><td>0</td><td>N</td><td>0</td><td>0</td><td>N</td><td>0</td><td>0</td><td>0</td><td>N</td><td>N</td><td>N</td><td>N</td><td>0</td><td>0</td></tr> </table>		0	0	N	0	0	N	0	0	0	N	N	N	N	0	0						
0	0	N	0	0	N	0	0	0	N	N	N	N	0	0								

N = non observable, 0 = pas de carie, 1 = dent cariée  
ind. : total / nbre de dents observables

État dentaire : usure

		ind.																				
<table border="1" style="width: 100%; text-align: center;"> <tr><td> </td><td> </td><td> </td><td> </td><td> </td><td> </td><td> </td><td> </td><td> </td><td> </td></tr> <tr><td> </td><td> </td><td> </td><td> </td><td> </td><td> </td><td> </td><td> </td><td> </td><td> </td></tr> </table>																						
<table border="1" style="width: 100%; text-align: center;"> <tr><td>0</td><td>N</td><td>N</td><td>N</td><td>1</td><td>N</td><td>N</td><td>N</td><td>N</td><td>2</td><td>N</td><td>1</td><td>N</td><td>N</td><td>N</td><td>N</td></tr> </table>		0	N	N	N	1	N	N	N	N	2	N	1	N	N	N	N	1,29				
0	N	N	N	1	N	N	N	N	2	N	1	N	N	N	N							
<table border="1" style="width: 100%; text-align: center;"> <tr><td>1</td><td>1</td><td>N</td><td>2</td><td>2</td><td>N</td><td>1</td><td>2</td><td>2</td><td>1</td><td>N</td><td>N</td><td>N</td><td>N</td><td>N</td><td>1</td><td>1</td></tr> </table>		1	1	N	2	2	N	1	2	2	1	N	N	N	N	N	1	1				
1	1	N	2	2	N	1	2	2	1	N	N	N	N	N	1	1						

N = non observable, 0 = pas d'usure, 1 = usure limitée à des facettes d'émail, 2 = découverte d'îlots dentinaires, 3 = confluence des îlots dentinaires, 4 = usure de la moitié ou plus de la hauteur coronale, 5 = disparition de la couronne, racine complète ou presque, 6 = disparition de la moitié ou plus de la racine  
ind. : total / nbre de dents observables

État dentaire : tartre

		ind.																				
<table border="1" style="width: 100%; text-align: center;"> <tr><td> </td><td> </td><td> </td><td> </td><td> </td><td> </td><td> </td><td> </td><td> </td><td> </td></tr> <tr><td> </td><td> </td><td> </td><td> </td><td> </td><td> </td><td> </td><td> </td><td> </td><td> </td></tr> </table>																						
<table border="1" style="width: 100%; text-align: center;"> <tr><td>2</td><td>N</td><td>N</td><td>N</td><td>1</td><td>N</td><td>N</td><td>N</td><td>N</td><td>0</td><td>N</td><td>1</td><td>N</td><td>N</td><td>N</td><td>N</td></tr> </table>		2	N	N	N	1	N	N	N	N	0	N	1	N	N	N	N	1,36				
2	N	N	N	1	N	N	N	N	0	N	1	N	N	N	N							
<table border="1" style="width: 100%; text-align: center;"> <tr><td>1</td><td>1</td><td>N</td><td>0</td><td>1</td><td>N</td><td>2</td><td>2</td><td>2</td><td>2</td><td>N</td><td>N</td><td>N</td><td>N</td><td>N</td><td>2</td><td>2</td></tr> </table>		1	1	N	0	1	N	2	2	2	2	N	N	N	N	N	2	2				
1	1	N	0	1	N	2	2	2	2	N	N	N	N	N	2	2						

N = non observable, 0 = absence, 1 = tartre faible, 2 = tartre moyen, 3 = tartre important  
ind. : total / nbre de dents observables

État dentaire : parodontie

		ind.																				
<table border="1" style="width: 100%; text-align: center;"> <tr><td> </td><td> </td><td> </td><td> </td><td> </td><td> </td><td> </td><td> </td><td> </td><td> </td></tr> <tr><td> </td><td> </td><td> </td><td> </td><td> </td><td> </td><td> </td><td> </td><td> </td><td> </td></tr> </table>																						
<table border="1" style="width: 100%; text-align: center;"> <tr><td>N</td><td>N</td><td>N</td><td>N</td><td>N</td><td>N</td><td>N</td><td>N</td><td>N</td><td>N</td><td>N</td><td>N</td><td>N</td><td>N</td><td>N</td><td>N</td><td>N</td></tr> </table>		N	N	N	N	N	N	N	N	N	N	N	N	N	N	N	N	N	1,00			
N	N	N	N	N	N	N	N	N	N	N	N	N	N	N	N	N						
<table border="1" style="width: 100%; text-align: center;"> <tr><td>N</td><td>N</td><td>N</td><td>N</td><td>N</td><td>N</td><td>N</td><td>N</td><td>N</td><td>N</td><td>N</td><td>N</td><td>N</td><td>N</td><td>N</td><td>1</td><td>1</td></tr> </table>		N	N	N	N	N	N	N	N	N	N	N	N	N	N	N	1	1				
N	N	N	N	N	N	N	N	N	N	N	N	N	N	N	1	1						

N = non observable, 0 = absence, 1 = destruction faible, 2 = destruction moyenne, 3 = destruction importante  
ind. : total / nbre de dents observables

**Bloc crânio-facial :** Le crâne apparaît par sa face latérale gauche. Le BCF très proche de l'épaule droite semble avoir basculé sur la droite mais comme les connexions crano-mandibulaires et crano-vertébrales ne sont pas observables, il est impossible de vérifier si c'était la position primaire du crâne ou non. .

**Ceinture scapulaire :** La scapula droite apparaît par sa face antéro-supérieure.

**Membre supérieur droit :** L'humérus droit apparaît par sa face latérale. L'ulna droite apparaît par sa face postérieure. Le radius droit apparaît par sa face postérieure. Ulna droit a basculé du côté latéral et radius droit côté médial. .

**Membre inférieur droit :** Le fémur droit apparaît par sa face antérieure.

**Membre inférieur gauche :** Le fémur gauche apparaît par sa face antérieure.

**L'espace de décomposition du corps est indéterminé.**

**Architecture funéraire : indéterminée.**

Sépulture recoupée à son pied par la fosse F.104 (morceau de fibula retrouvé dans le comblement de cette fosse qui peut correspondre à l'individu de la sép.103).

Observation de possibles mouvements d'os (crâne et avant-bras droit) en faveur d'une décomposition en espace vide et d'un contenant en matériaux périssables.





DÉPARTEMENT  
ARCHÉOLOGIE

**Dossier 1121-AR-854V**

Diagnostic 2021  
Sorigny Netilly – Indre-et-Loire (37)

**DATATION RADIOCARBONE  
DE PRÉLÈVEMENTS OSSEUX ET DE CHARBON**

sur demande de  
M. Pierre PAPIN  
Conseil départemental d'Indre et Loire  
Service de l'Archéologie  
Place de la Préfecture  
37927 Tours CEDEX 9

Patrick Rossetti, ing. pour CIRAM

le 13 décembre 2021 à Martillac

*Avertissement – Liste des abréviations*

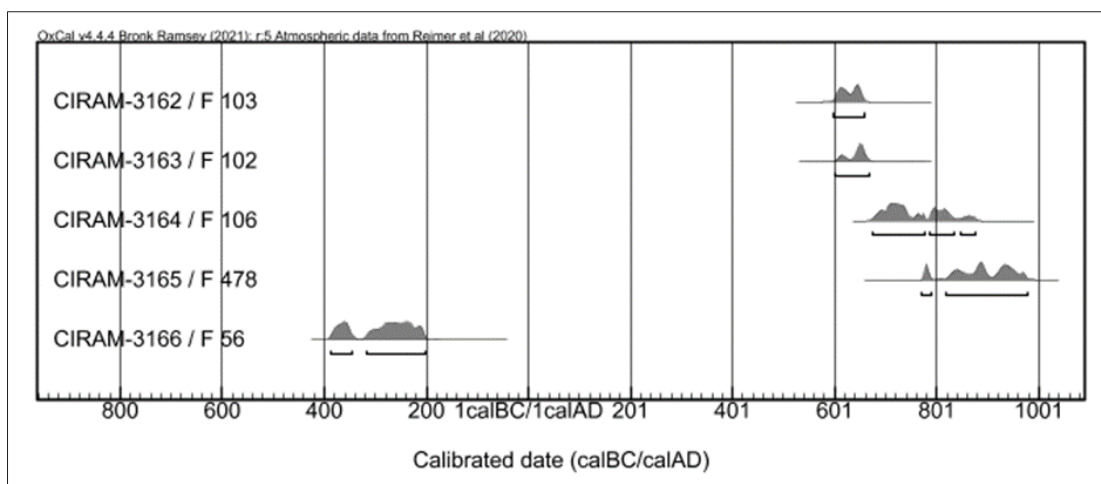
L'âge conventionnel est exprimé en années avant 1950, « BP » signifiant before present.  
Dans nos rapports nous n'utilisons pas les abréviations « av. J.-C. » et « apr. J.-C. » mais « BC » qui, en anglais, signifie before Christ et « AD » qui, en latin, signifie Anno Domini.

## LISTE DES PRÉLÈVEMENTS

Code laboratoire	Structure	Nature
CIRAM-3162	F 103	Os (humain)
CIRAM-3163	F 102	Os (humain)
CIRAM-3164	F 106	Os (humain)
CIRAM-3165	F 478	Os (humain)
CIRAM-3166	F 56	Charbon de bois

**Tableau 1** : Référencement CIRAM, structure de provenance et nature des prélèvements.

## SYNTHÈSE DES RÉSULTATS



**Figure 1** : Représentation graphique de l'ensemble des distributions de probabilité des datations obtenues sur les structures datées de Diagnostic 2021, Sorigny Netilly – Indre-et-Loire (37).

L'ensemble des résultats est homogène et cohérent. Les différents intervalles remontent au Haut Moyen-Âge et se distribuent sur une période comprise entre la fin du VI<sup>e</sup> siècle et la fin du X<sup>e</sup> siècle.

Seul le prélèvement CIRAM-3166, plus ancien, remonte au Premier âge du Fer. Il comporte deux intervalles chronologiques compris entre le début du IV<sup>e</sup> siècle et la fin du III<sup>e</sup> siècle avant notre ère.

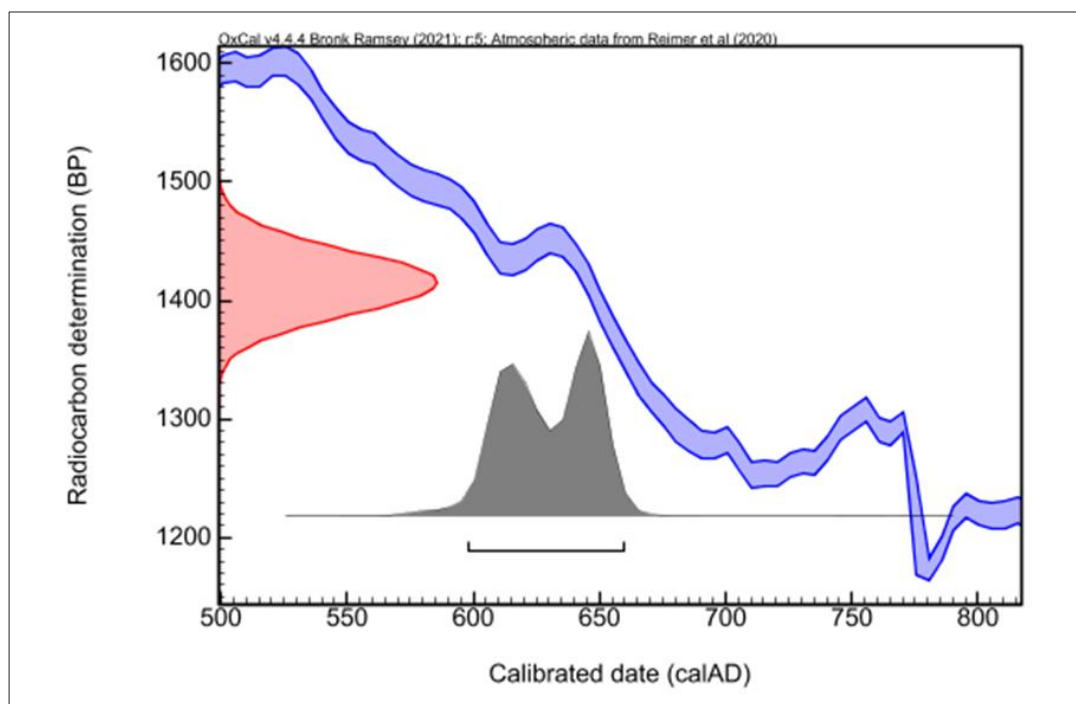


PRÉSENTATION DES RÉSULTATS

CIRAM-3162 – Ossements humains – F 103

Fraction	Âge conventionnel BP	pMC corrigé	$\delta^{13}\text{C}$ (‰)
Collagène, résidus alcalins	1415 $\pm$ 27	83.85 $\pm$ 0.29	-20.09

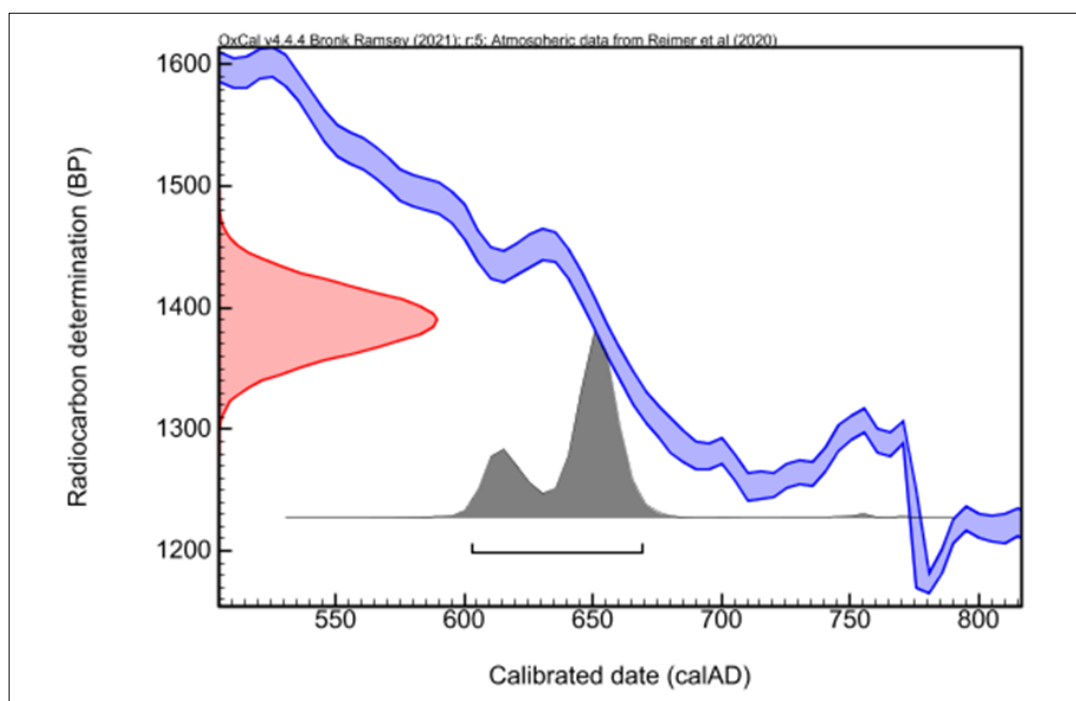
Dates calibrées à 2  $\sigma$  : 598 AD (95.4%) 660 AD  
(Probabilité de 95.4 %)



### CIRAM-3163 – Ossements humains – F 102

Fraction	Âge conventionnel BP	pMC corrigé	$\delta^{13}\text{C}$ (‰)
Collagène, résidus alcalins	1390 ± 28	84.11 ± 0.29	-19.92

Dates calibrées à 2  $\sigma$  : 602 AD (95.4%) 669 AD  
(Probabilité de 95.4 %)

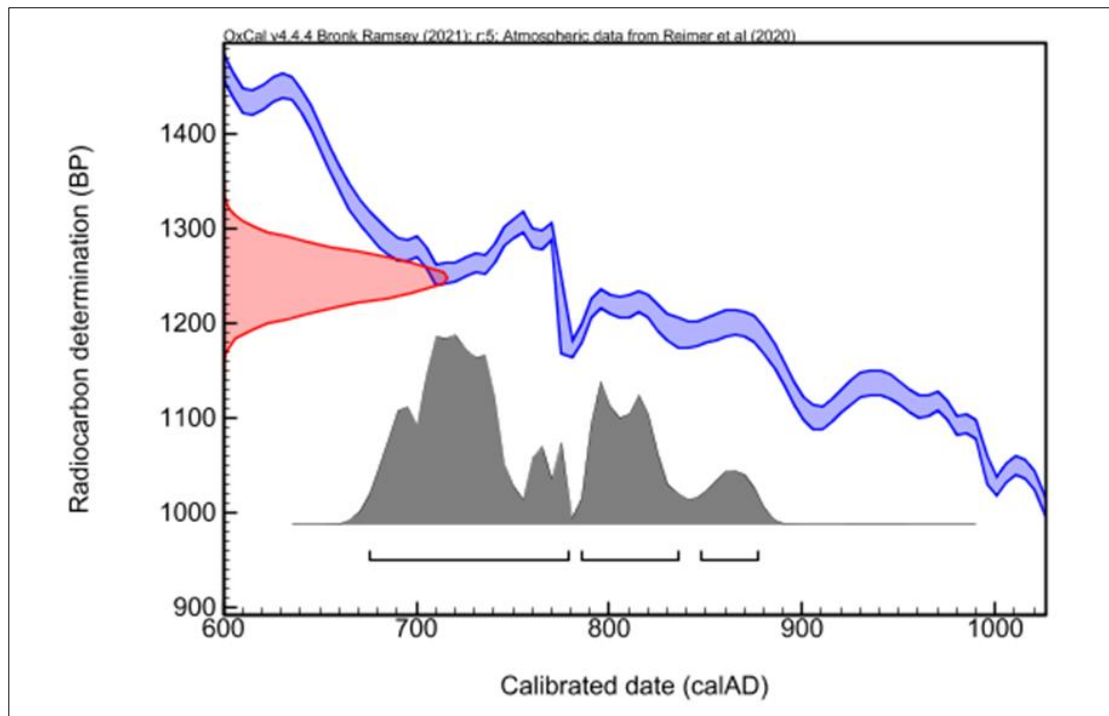




**CIRAM-3164 – Ossements humains – F 106**

Fraction	Âge conventionnel BP	pMC corrigé	$\delta^{13}\text{C}$ (‰)
Collagène, résidus alcalins	1249 ± 27	85.6 ± 0.29	-20.07

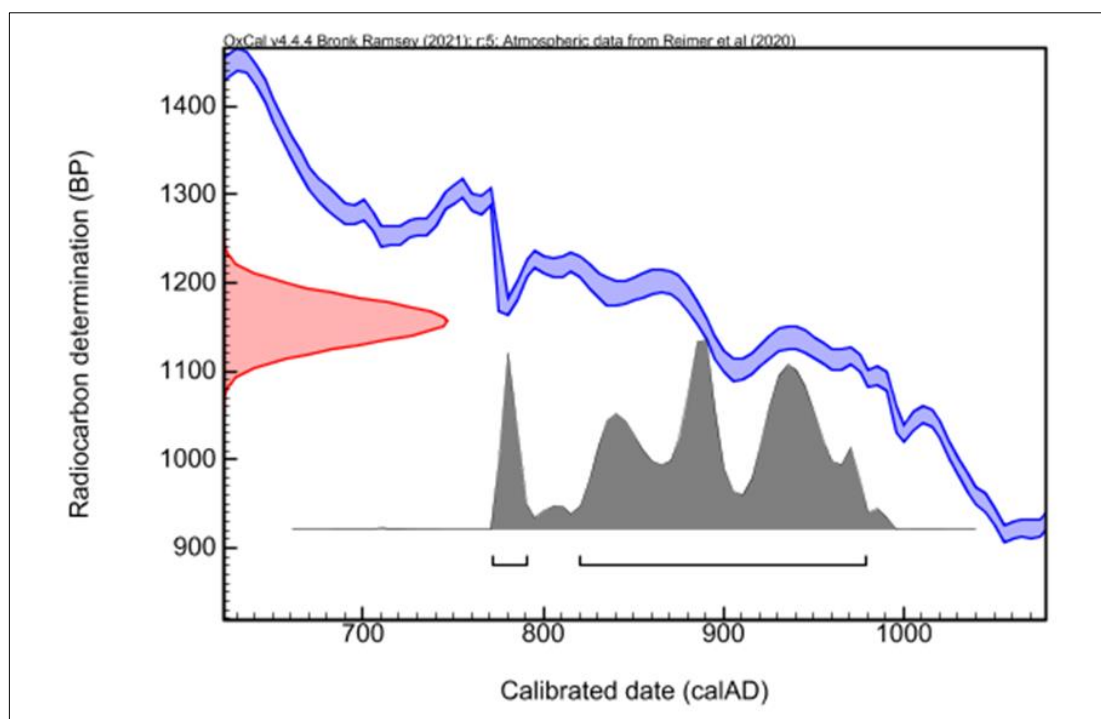
Dates calibrées à 2  $\sigma$  :  
(Probabilité de 95.4 %)      675 AD (61.6%) 778 AD  
786 AD (26.6%) 835 AD  
848 AD (7.2%) 876 AD



## CIRAM-3165 – Ossements humains – F 478

Fraction	Âge conventionnel BP	pMC corrigé	$\delta^{13}\text{C}$ (‰)
Collagène, résidus alcalins	1157 $\pm$ 27	86.58 $\pm$ 0.29	-20.68

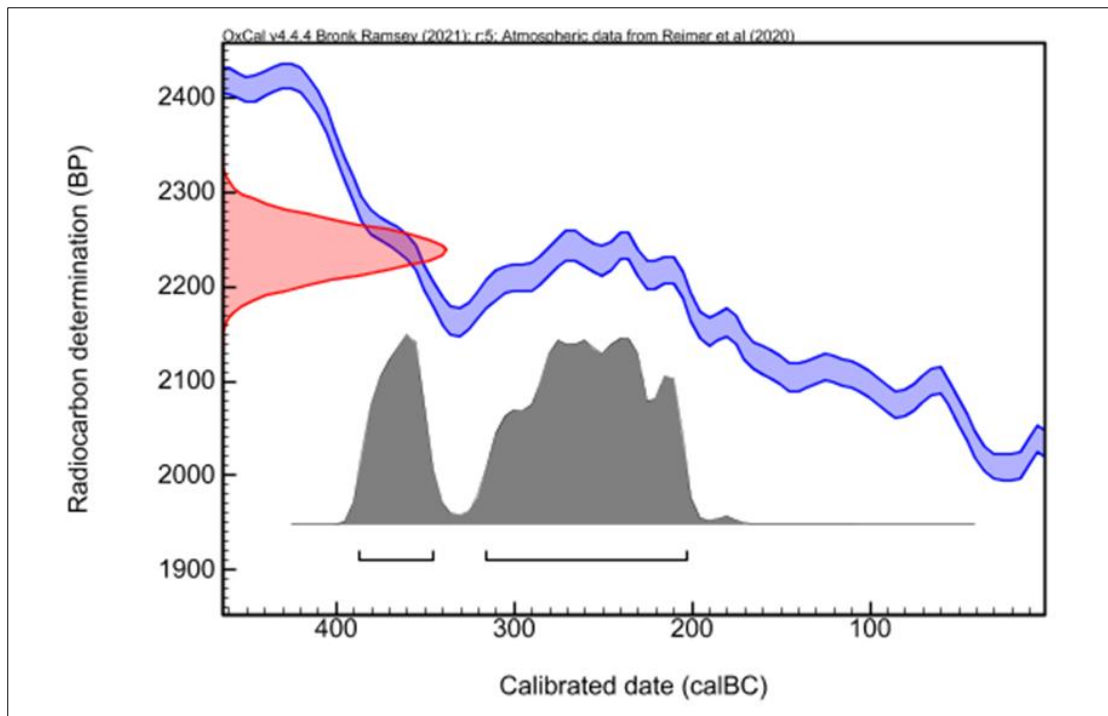
Dates calibrées à 2  $\sigma$  : 772 AD (10.0%) 790 AD  
(Probabilité de 95.4 %) 820 AD (85.4%) 979 AD



**CIRAM-3166 – Charbon de bois – F 56**

Fraction	Âge conventionnel BP	pMC corrigé	$\delta^{13}\text{C}$ (‰)
Cellulose, résidus alcalins	2239 ± 27	75.67 ± 0.26	-28.29

Dates calibrées à 2  $\sigma$  : 388 BC (25.1%) 346 BC  
 (Probabilité de 95.4 %) 316 BC (70.3%) 204 BC



## ANNEXE – MÉTHODOLOGIE MISE EN ŒUVRE POUR LA DATATION PAR CARBONE 14 – AMS

La datation au carbone 14 est basée sur la mesure de l'activité radiologique du carbone 14 contenu dans toute matière organique. Elle permet de déterminer l'intervalle de temps écoulé depuis la mort de l'organisme à dater (l'abattage de l'arbre par exemple).

**Préparation des échantillons**

Les échantillons contenant du collagène sont traités à l'acide chlorhydrique (HCl, 1 M) à froid pendant 24 h, afin d'éliminer toutes contaminations de surface et de détériorer partiellement la partie minérale de l'os rendant ainsi l'extraction du collagène plus efficace. Ceux contenant de la cellulose sont traités à l'acide chlorhydrique (HCl, 1M) à 80 °C pendant 1 heure, afin d'éliminer toute contamination de surface. Ils sont ensuite traités à l'hydroxyde de sodium (0,1 M) à température ambiante pendant 10 minutes, de manière à éliminer les acides humiques et fulviques résiduels. Les échantillons sont une nouvelle fois traités à l'acide chlorhydrique, pour éviter l'absorption du CO<sub>2</sub> atmosphérique due au traitement basique précédent. Les échantillons contenant du collagène sont par la suite gélatinisés.

Chaque échantillon subit ensuite une combustion à 920 °C et est transformé en gaz. Durant cette étape, une première vérification du rapport C/N est effectuée à l'aide d'un analyseur élémentaire (Elementar Vario ISOTOPE Select). Le dioxyde de carbone (CO<sub>2</sub>) résiduel est séparé des autres résidus de combustion à l'aide d'un piège à zéolite. Ce dioxyde de carbone est transformé en graphite à l'aide d'un système automatisé (AGE 3, Ion Plus) par catalyse, suivant la méthode décrite par Vogel *et al.* (1984, *Nuclear Instruments and Methods in Physics Research Section B: Beam Interactions with Materials and Atoms*, 5 (2), 289-293).

**Mesure des teneurs en Carbone 14 résiduel et détermination de l'âge**

Les différents isotopes de carbone ont été séparés par spectrométrie de masse, avec un accélérateur à 0,5 MeV. Puis, la concentration en <sup>14</sup>C a été déterminée en comparant simultanément les mesures de <sup>14</sup>C, <sup>13</sup>C et <sup>12</sup>C avec celles contenues dans des produits de référence (acide oxalique, CO<sub>2</sub> standard, charbon). Le ratio <sup>13</sup>C/<sup>12</sup>C (exprimé δ<sup>13</sup>C) a été mesuré séparément sur spectromètre de masse dédié à la mesure des rapports isotopiques stables, avec une erreur inférieure à 0,1 ‰ (IRMS, Elementar Isoprime precisION).

L'âge <sup>14</sup>C conventionnel a été calculé selon la méthode décrite par Stuiver et Polach (*Radiocarbon*, 19 (3), 1977, 355-363). Il prend en compte la correction du fractionnement isotopique (δ<sup>13</sup>C), basée sur la comparaison des rapports de concentration <sup>13</sup>C/<sup>12</sup>C et <sup>14</sup>C/<sup>12</sup>C. Ce facteur permet de contrôler les effets d'éventuelles pollutions et d'évaluer la fiabilité de la mesure : il s'agit d'un bon indicateur de la « qualité » de l'échantillon. L'incertitude de mesure associée au résultat (σ) regroupe les incertitudes statistiques de comptage du <sup>14</sup>C résiduel, la variabilité des mesures et les effets de la soustraction du « blanc ».

Enfin, les intervalles de dates calendaires sont calculés en utilisant la calibration suivante :

OxCal v4.4 (Bronk Ramsey, 2009, *Radiocarbon*, 51(1), 337-360; Bronk Ramsey and Lee, 2013, *Radiocarbon*, 55(2-3), 720-730; Bronk Ramsey, 2017, *Radiocarbon*, 59(2), 1809-1833).

IntCal 20, *Calibration pour l'hémisphère nord* (Reimer *et al.*, 2020, *Radiocarbon*, 62(4), 725-757 ; Heaton *et al.*, 2020, *Radiocarbon*, 62(4), 821-863).

**Procédure de calibration**

La mesure effectuée est exprimée de deux différentes manières : *part of Modern Carbon* (ou pMC) et âge conventionnel. L'âge conventionnel est exprimé en années avant 1950 (BP signifiant *before present* ou avant 1950), qui est l'année de référence. L'âge est exprimé à un écart-type. Les intervalles de datation reflètent une distribution à deux sigmas, c'est à dire 95,4 % de l'ensemble des solutions. L'événement daté peut se retrouver dans n'importe quel intervalle, sans tenir compte de la distribution de probabilité, donnée à titre indicatif.

La courbe rouge est une transcription des résultats de mesure des isotopes du carbone (l'âge conventionnel). Cette valeur a besoin d'être corrigée avant de fournir la moindre information chronologique, en raison de l'hétérogénéité de la concentration en <sup>14</sup>C dans l'atmosphère à travers le temps. C'est pourquoi la mesure (en rouge), exprimée sous la forme d'une gaussienne, est interpolée avec la courbe de calibration bleue, dans le but de corriger l'âge conventionnel. On obtient alors une distribution *a posteriori* des résultats (en gris), divisée en un ou plusieurs intervalles. Chacun d'entre eux représente une partie de la distribution à deux sigmas.

En l'absence d'informations historiques, textuelles ou autre, il n'est pas possible de privilégier un intervalle. En dépit des pourcentages de probabilité, aucun intervalle ne peut être écarté.



# INVENTAIRES

US	TR	Fait	type US	type action	Description_interpret	Lots mob.	Parcelle
0			Décapage	Passe mécanique	Description : Limon brun-gris stérile. Interprétation : US attribuée pour tous les faits qui ont été testés mécaniquement et manuellement et qui se sont révélés négatifs (anomalies naturelles)	Métal : 233	YD0101
1	1	1	Remblai	Abandon	Description : Argile brun-gris contenant des graviers et pierres calcaires et siliceuses, ainsi que quelques CDB, Nodules de TC et fragments de céramique et de faune. Très homogène et compact. Interprétation : Comblement unique de F1.	Poterie : 102 Faune : 161	YD0101
2	1	1	Creusement	Occupation	Description : Creusement (ou interface) de forme sucirculaire présentant un profil aux bords très diffus au profil en cuvette à bords évasés. Interprétation : Creusement ou interface de la fosse F1.		YD0101
3	12	245	Remblai	Abandon	Description : Limon brun-gris contenant quelques fins graviers siliceux. Homogène et compact. Interprétation : Comblement unique du fossé F245.	Poterie : 6	YD0101
4	12	245	Creusement	Occupation	Description : Creusement linéaire d'orientation N/S présentant un profil en cuvette à bords évasés. Interprétation : Creusement du fossé F245.		YD0101
5	2		Remblai	Démolition	Description : Matrice argileuse grise compacte contenant beaucoup d'inclusions de CDB, des pierres calcaires équarries (5 à 30 cm) et de la céramique. Interprétation : Niveau anthropisé pouvant potentiellement correspondre à un niveau de démolition (peut-être équivalent à l'US 207 tranchée 3).	Poterie : 7	YD0101
6	2		Couche d'occupation	Occupation	Description : Argile brun-orange avec des inclusions siliceuses Interprétation : Probable couche d'occupation (peut-être équivalent à l'US 207 dans la tranchée 3).		YD0101
7	3	45	Remblai	Abandon	Description : Limon brun-gris plutôt meuble contenant des inclusions de TC et de CDB. Interprétation : Comblement unique de la fosse F45.	Terre cuite : 142	YD0101
8	3	45	Creusement	Occupation	Description : Creusement de forme circulaire présentant un profil en cuvette aux parois évasées. Interprétation : Creusement (ou interface) de la fosse F45.		YD0101
9	1	3	Remblai	Abandon	Description : Limon argileux brun foncé contenant quelques cailloux calcaires (< à 5 cm) et de fines inclusions de TCA et quelques fragments de céramique. Interprétation : Comblement unique de la fosse F3.	Poterie : 58	YD0101
10	1	3	Creusement	Occupation	Description : Creusement (ou interface) de forme ovoïde présentant un profil aux bords très diffus et irrégulier. Interprétation : Creusement ou interface de la fosse F3.		YD0101
11	1	276	Remblai	Abandon	Description : Limon argileux brun-gris avec inclusions de fins graviers. Homogène et assez compact. Interprétation : Comblement unique de la sépulture animale F276.	Poterie : 53	YD0101
12	1	276	Squelette	Occupation	Description : Squelette de canidé en très mauvais état et très arasé (coxaux et fémurs absents). Interprétation : Squelette de petit canidé allongé sur le côté gauche.	Faune : 171	YD0101
13	1	276	Creusement	Occupation	Description : Creusement de forme subcirculaire présentant un profil en cuvette à fond plat et aux bords évasés. Interprétation : Creusement de la sépulture F276.		YD0101
14	1		Remblai	Démolition	Description : Argile limoneuse brun-gris avec inclusions de cailloux calcaires, de fragments de TCA et de tessons de céramique. Assez hétérogène et compacte. Interprétation : Éventuelle couche de démolition certainement équivalente à l'US 74 sise à l'est de F211.		YD0101
15	1		Remblai	Démolition	Description : Limon brun contenant des pierres calcaires, des boulettes de mortier de chaux blancs et grossiers, de petits graviers siliceux ainsi que quelques fragments de TC et de céramique. Interprétation : Couche de démolition dont la relation stratigraphique avec les murs F9 et F10 n'a pu être clairement définie. Potentielle équivalence à établir avec US 436, de l'autre côté du mur F9.	Poterie : 17, 54	YD0101
16	1		Remblai	Occupation	Description : Limon argileux brun clair contenant de nombreux graviers siliceux, des fragments de céramique et de faune. Interprétation : Potentielle couche d'occupation.	Poterie : 99 Faune : 168 Métal : 231	YD0101
17	1	372	Remblai	Abandon	Description : Limon argileux brun-clair contenant beaucoup d'inclusions de graviers siliceux, quelques fragments de CDB et de TC (peu de mobilier). Interprétation : Comblement unique de F372	Poterie : 40	YD0101

US	TR	Fait	type US	type action	Description_interpret	Lots mob.	Parcelle
18	1	372	Creusement	Occupation	Description : Creusement linéaire d'orientation O/E présentant un profil en cuvette à bords évasés et fond plat. Interprétation : Creusement de F372.		YD0101
19			Interface	Occupation	Description : Limon argileux brun à gris contenant quelques fins graviers siliceux. Interprétation : Interface directement sous la TV qui a été observée sur la quasi totalité du site et qui est recoupé par les faits.	Métal : 238	YD0101
20	6	160	Remblai	Abandon	Description : Limon argileux brun-clair homogène. Interprétation : Comblement unique de F160		YD0101
21	6	160	Creusement	Occupation	Description : Creusement de forme subcirculaire présentant un profil en cuvette à fond irrégulier et aux bords évasés. Interprétation : Creusement de la fosse F160.		YD0101
22	1		Remblai	Démolition	Description : Limon argileux brun-noir contenant de nombreuses inclusions de TCA millimétriques, de cailloux calcaires (< 5cm) et quelques fragments de céramique. Interprétation : Couche de démolition prenant place au-dessus du mur F5.	Poterie : 60, 61, 96, 103 Faune : 173 Métal : 239 Terre cuite : 136, 148	YD0101
23	1		Interface	Occupation	Description : Fine interface prenant place au-dessus de l'US 24 dans laquelle se trouve des fragments de céramique à plat. Interprétation : Niveau de piétinement ?	Poterie : 57	YD0101
24	1		Couche d'occupation	Occupation	Description : Limon argileux brun-gris foncé, contenant des graviers siliceux, et des inclusions de boulettes brunes de TN. Meuble et hétérogène. Interprétation : Niveau d'occupation.	Poterie : 16, 104, 105 Faune : 177 Terre cuite : 127 Lithique : 196	YD0101
25	1	5	Maçonnerie	Construction	Description : Pierres calcaires de 5 à 25 cm de longueur, non organisées, contenant des poches de mortier grossier blanc pulvérulent, mêlées à un limon argileux brun-noir, homogène. Interprétation : Radier de fondation du mur F5.		YD0101
26	1	5	Creusement	Construction	Description : Creusement linéaire de la tranchée de fondation du mur F5, d'orientation N/S et perpendiculaire à la tranchée de fondation de F6, d'une largeur de 70 cm et de 30 cm de profondeur observable. Interprétation : Creusement de la tranchée de fondation du mur F5.		YD0101
27	1	6	Maçonnerie	Construction	Description : Pierres calcaires de 5 à 15 cm de longueur, non organisées, contenant quelques petites poches de mortier grossier blanc pulvérulent, mêlées à un limon argileux brun-noir, homogène. Interprétation : Radier de fondation du mur F6 qui forme un angle avec F281. Le lien stratigraphique entre F6 et F5 n'a pu être observé.		YD0101
28	1	6	Maçonnerie	Construction	Description : Creusement linéaire de la tranchée de fondation du mur F6, d'orientation E/O et perpendiculaire à la tranchée de fondation de F5, d'une largeur de 40 cm et de 18 cm de profondeur observable. Interprétation : Creusement de la tranchée de fondation du mur F6.		YD0101
29	1	283	Remblai	Abandon	Description : Limon argileux brun-gris contenant de nombreuses inclusions calcaires, de CDB et quelques petits fragments de TCA peu identifiables. Meuble et hétérogène. Interprétation : Comblement unique de la fosse F283.	Poterie : 108	YD0101
30	1	283	Creusement	Occupation	Description : Creusement de forme oblongue, diffus, présentant un profil en cuvette à bords très évasés. Interprétation : Creusement de la fosse F283.		YD0101
31	7	167	Remblai	Abandon	Description : Argile limoneuse brune contenant quelques fins graviers siliceux. Homogène et assez compact. Interprétation : Comblement unique de F167		YD0101
32	7	167	Creusement	Occupation	Description : Creusement linéaire d'orientation E/O présentant un profil en cuvette. Interprétation : Creusement de F167.		YD0101
33	7	169	Remblai	Abandon	Description : Argile limoneuse brune contenant quelques fins graviers siliceux. Homogène et assez compact. Interprétation : Comblement unique de F169		YD0101
34	7	169	Creusement	Occupation	Description : Creusement linéaire d'orientation N/S présentant un profil en cuvette. Interprétation : Creusement de F169.		YD0101
35	9	206	Remblai	Géologique	Description : Argile limoneuse brune contenant quelques fins graviers siliceux et des inclusions Fe-Mg couleur rouille. Homogène et assez compact. Interprétation : Altération de TN dans l'anomalie naturelle F206 (annulée)		YD0101

US	TR	Fait	type US	type action	Description_interpret	Lots mob.	Parcelle
36	9	206	Interface	Géologique	Description : Interface, ou cisaillement naturel de forme peu régulière et présentant un profil en cuvette asymétrique. Interprétation : Interface ou cisaillement naturel de F206.		YD0101
37	9	201	Remblai	Abandon	Description : Limon sableux brun-jaune très homogène et assez compact. Interprétation : Comblement unique de F201.		YD0101
38	9	201	Creusement	Occupation	Description : Creusement linéaire d'orientation N/S, perçu dans les tranchées 9 à 13, et présentant un profil en cuvette au bords asymétriques et évasés. Interprétation : Creusement de F201.		YD0101
39	9	193	Remblai	Abandon	Description : Limon sableux brun-jaune très homogène et assez compact. Interprétation : Comblement unique de F193.	Poterie : 49	YD0101
40	9	193	Creusement	Occupation	Description : Creusement linéaire d'orientation SO/NE, présentant un profil en cuvette au bords évasés. Semble recouper l'US 19. Interprétation : Creusement de F193.		YD0101
41	2	15	Remblai	Abandon	Description : Limon argileux gris-noir contenant e nombreuses inclusions calcaires et siliceuses (< 5 cm), quelques inclusions de TC (millimétriques à centimétriques) et de rares CDB. Homogène et meuble. Interprétation : Comblement terminal de la fosse F15.		YD0101
42	2	15	Remblai	Abandon	Description : Limon argileux brun-noir contenant de nombreux graviers siliceux et calcaires, de nombreuses inclusions de TC millimétriques, beaucoup de nodules Fe-Mg noires (notamment sur le fond de couche), quelques petits fragments de CDB et des tessons de céramique. Présence aussi de poches plus brunes et gravillonneuses. Hétérogène et compacte. Interprétation : Comblement intermédiaire de F15.	Métal : 311	YD0101
43	2	15	Remblai	Abandon	Description : Argile plastique peu limoneuse brun foncé à clair, contenant de nombreux graviers siliceux et calcaires, de très rares inclusions de CDB et de très nombreuses inclusions de nodules Fe-Mg noires. De nombreuses poches argileuses plus grises sont présentes. Hétérogène et très compacte. Interprétation : Comblement primaire de F15.	Poterie : 59	YD0101
44	2	15	Creusement	Occupation	Description : Large creusement ovoïde présentant un profil en cuvette au fond peu régulier et aux bords asymétriques. Interprétation : Creusement de F15.		YD0101
45	4	29			Description : Limon argileux brun foncé contenant de nombreux cailloux et blocs calcaires non équarris (<30 cm), quelques inclusions de mortier blanc-rose, des fragments de TCA (en surface). Homogène et meuble. Interprétation : Comblement terminal du fossé F29	Métal : 290 Terre cuite : 125	YD0101
46	4	29	Remblai	Abandon	Description : Limon argileux brun foncé fortement chargé en graviers calcaires (< 2cm) et contenant quelques inclusions de graviers siliceux. Interprétation : Comblement intermédiaire de F29.		YD0101
47	4	29	Remblai	Abandon	Description : Limon argileux brun foncé fortement chargé en cailloux calcaires (< 5cm). Interprétation : Comblement primaire de F29.		YD0101
48	4	29	Creusement	Occupation	Description : Creusement linéaire d'orientation E/O présentant un profil en cuvette aux parois obliques. Interprétation : Creusement de F29.		YD0101
49	5	88	Remblai	Abandon	Description : Limon argileux brun foncé contenant quelques graviers siliceux (concentration en partie est) et 1 fragment de céramique. Homogène et compact. Interprétation : Comblement unique de F88.	Poterie : 64	YD0101
50	5	88	Creusement	Occupation	Description : Creusement de forme subcirculaire aux contours diffus, présentant un profil en cuvette au fond irrégulier et à bords très évasés. Interprétation : Creusement de F88.		YD0101
51	5	87	Remblai	Abandon	Description : Limon peu argileux brun contenant quelques graviers siliceux et calcaires (< 2cm), quelques cailloux calcaires (15 cm) épars et quelques inclusions Fe-Mg noires (fragment de TCA en surface). Interprétation : Comblement terminal de F87.	Poterie : 118 Terre cuite : 135	YD0101



US	TR	Fait	type US	type action	Description_interpret	Lots mob.	Parcelle
52	5	87	Remblai	Abandon	Description : Limon peu argileux brun contenant beaucoup d'inclusions calcaires et siliceuses (<2cm) et quelques nodules Fe-Mg noirs. Homogène et très compact. Interprétation : Comblement intermédiaire de F87.		YD0101
53	5	87	Creusement	Occupation	Description : Creusement linéaire d'orientation N/S présentant un profil en cuvette aux parois obliques. Interprétation : Creusement de F87		YD0101
54	4	82	Remblai	Abandon	Description : Limon argileux brun contenant des inclusions et des cailloux siliceux et calcaires (<5 cm). Interprétation : Comblement terminal de F82. A noter la présence d'une couche de cailloutis calcaire plus prononcée en haut de cette couche (dans la coupe nord sur l'autre berme de la tranchée).	Poterie : 2, 42 Faune : 181	YD0101
55	4	82	Remblai	Abandon	Description : Limon argileux brun contenant des cailloux calcaires (<10 cm) un gros fragment de TC et de rares inclusions de CDB. Homogène et compact. Interprétation : Comblement primaire de F82.		YD0101
56	4	82	Creusement	Occupation	Description : Creusement linéaire d'orientation N/S présentant un profil en cuvette asymétrique à bords évasés. Interprétation : Creusement de F82.		YD0101
57	5	90	Remblai	Abandon	Description : Limon argileux brun contenant de rares cailloux siliceux (<10 cm). Homogène meuble et stérile. Interprétation : Comblement unique de F90.		YD0101
58	5	90	Creusement	Occupation	Description : Creusement linéaire d'orientation E/O présentant un profil en «V» à bords évasés. Interprétation : Creusement de F90.		YD0101
59	4	371	Remblai	Abandon	Description : Limon brun foncé à noir contenant de très nombreux gravillons et graviers calcaires (< 2cm), quelques cailloux calcaires inégalement réparties (< 10cm) et de rares cailloux siliceux (< 5cm). Fond de couche un peu plus chargé en calcaire. Interprétation : Comblement unique de F371.	Poterie : 107 Terre cuite : 134	YD0101
60	4	371	Creusement	Occupation	Description : Creusement de forme subcirculaire présentant un profil en cuvette à fond plat aux bords légèrement évasés. Interprétation : Creusement de F371.		YD0101
61	1	211	Remblai	Démolition	Description : Quelques petites pierres et cailloux calcaires avec de grosses inclusions de mortier dans une matrice limoneuse brune (quelques fragments de céramique). Homogène et meuble. Interprétation : Comblement de la tranchée récupération du mur F284.	Poterie : 79	YD0101
62	1	211	Creusement	Démolition	Description : Creusement linéaire d'orientation N/S en cuvette arasée. Interprétation : Creusement de F211		YD0101
63	1		Couche d'occupation	Occupation	Description : Empierrement constitué de pierres calcaires (10 à 15 cm de longueur pour la plupart) avec infiltration de limon brun. D'une épaisseur maximale de 15 cm, cet empierrement se situe au sud du mur F11. Interprétation : Empierrement (préparation niveau de sol ?)		YD0101
64	1		Remblai	Démolition	Description : Sédiment argileux brun-gris contenant beaucoup d'inclusions calcaires, des fragments de TC, et de céramique et des poches de mortier de chaux. Assez hétérogène et meuble. Interprétation : Niveau de démolition largement présent dans cette zone.	Poterie : 100, 101 Faune : 163 Métal : 232 Terre cuite : 157	YD0101
65	1	284	Maçonnerie	Construction	Description : Pierres calcaires de 5 à 25 cm de longueur, non organisées, contenant quelques petites inclusions de mortier grossier blanc pulvérulent, mêlées à un limon argileux brun-noir, homogène. Interprétation : Radier de fondation du mur F284 qui forme un angle avec F11.		YD0101
66	1	284	Creusement	Construction	Description : Creusement linéaire de la tranchée de fondation du mur F284, d'orientation N/S et perpendiculaire au mur F11, d'une largeur de 65 cm et de 40 cm de profondeur observable. Interprétation : Creusement de la tranchée de fondation du mur F284.		YD0101
67	1		Couche d'occupation	Occupation	Description : Limon argileux brun contenant peu d'inclusions mais beaucoup de mobilier. Très homogène et assez compact. Interprétation : Probable couche d'occupation.	Poterie : 27, 43 Faune : 162 Organique : 320	YD0101
68	1	285	Remblai	Abandon	Description : Limon argileux brun-noir contenant des inclusions de CDB, de mortier de chaux, quelques fragments de TCA et des cailloux et pierres calcaires (dont certaines > à 30 cm de longueur). Interprétation : Comblement unique de F285.	Poterie : 8	YD0101

US	TR	Fait	type US	type action	Description_interpret	Lots mob.	Parcelle
69	1	285	Creusement	Construction	Description : Creusement de forme subcirculaire et présentant un profil en «U» légèrement asymétrique. Interprétation : Creusement de F285.		YD0101
70	1	11	Maçonnerie	Construction	Description : Pierres calcaires de 5 à 25 cm de longueur, non organisées, contenant quelques petites inclusions de mortier grossier blanc pulvérulent, mêlées à un limon argileux brun-noir. A noter que la partie supérieure comporte en surface une semelle de mortier venant lié les cailloux et blocs sur une dizaine de cm d'épaisseur. Interprétation : Radier de fondation du mur F11 qui forme un angle avec F284.	Poterie : 98	YD0101
71	1	11	Creusement	Construction	Description : Creusement linéaire d'orientation E/O de la tranchée de fondation du mur F11 (qui est perpendiculaire au mur F284), d'une largeur de 70 cm et de 44 cm de profondeur observable. Interprétation : Creusement de la tranchée de fondation du mur F11(certainement en aveugle).		YD0101
72	1	372	Remblai	Abandon	Description : Limon argileux brun-clair contenant beaucoup d'inclusions de graviers siliceux, quelques fragments de céramique et de faune. Interprétation : Comblement unique de F372.	Poterie : 55, 62, 109 Faune : 165, 166, 167	YD0101
73	1	372	Creusement	Occupation	Description : Creusement linéaire d'orientation O/E présentant un profil en cuvette à bords évasés et fond plat. Interprétation : Creusement de F372.		YD0101
74	1		Remblai	Démolition	Description : Argile limoneuse brun-gris avec inclusions de cailloux calcaires, de fragments de TCA et de tessons de céramique. Assez hétérogène et compacte. Interprétation : Éventuelle couche de démolition certainement équivalente à l'US 64 recoupée par F276 à l'est.	Poterie : 87, 88 Faune : 164 Métal : 241	YD0101
75	4	129	Remblai	Abandon	Description : Limon argileux brun contenant des inclusions de gravier-set cailloux siliceux inégalement réparties (< 5cm) et de rares et fines inclusions de TC. Homogène et meuble. Interprétation : Comblement terminal de la fosse F129.	Poterie : 119 Terre cuite : 141	YD0101
76	4	129	Remblai	Abandon	Description : Limon argileux brun foncé contenant de nombreuses inclusions de graviers et plus rarement de cailloux siliceux inégalement réparties (< 5cm) et de rares et fines inclusions de TC. Homogène et meuble. Interprétation : Comblement intermédiaire de la fosse F129.		YD0101
77	4	129	Remblai	Abandon	Description : Poche hétérogène mêlant de la marne grise très plastique, du limon argileux brun foncé et de l'argile limoneuse brun-gris. Contient de rares inclusions de fines boulettes de TC. Interprétation : Comblement intermédiaire de la fosse F129.		YD0101
78	4	129	Remblai	Abandon	Description : Limon argileux brun foncé contenant de nombreuses inclusions de graviers et plus rarement de cailloux siliceux inégalement réparties (< 5cm, de rares et fines inclusions de TC et quelques petites poches de calcaire dégradé. Homogène et meuble. Interprétation : Comblement intermédiaire de la fosse F129.		YD0101
79	4	129	Remblai	Abandon	Description : Mélange de calcaire pulvérulent et de marne grise très plastique contenant des inclusions Fe-Mg noires. Homogène. Interprétation : Comblement intermédiaire de la fosse F129.		YD0101
80	4	129	Remblai	Abandon	Description : Marne grise très plastique mêlée à des poches d'argile peu limoneuses brun-gris. Hétérogène et plutôt meuble. Interprétation : Comblement intermédiaire de la fosse F129.		YD0101
81	4	129	Remblai	Abandon	Description : Limon argileux brun à brun foncé contenant de rares inclusions de gravillons siliceux, quelques traces de nodules Fe-Mg noirs et de très rares inclusions de TC millimétriques. Homogène et compact. Interprétation : Comblement intermédiaire de la fosse F129.		YD0101
82	4	129	Remblai	Abandon	Description : Argile limoneuse brune contenant des traces de nodules Fe-Mg noirs mêlée à de poches de marne grise très plastique. Hétérogène et plutôt compact. Interprétation : Comblement primaire de la fosse F129.		YD0101
83	4	129	Creusement	Occupation	Description : Creusement de forme ovoïde présentant un profil en auge à fond légèrement irrégulier. Interprétation : Creusement de la fosse F129		YD0101
84	6	169	Remblai	Abandon	Description : Limon argileux brun foncé contenant de nombreuses inclusions de graviers siliceux et de cailloux calcaires et siliceux (entre 5 et 10 cm). Homogène et plutôt compact. Interprétation : Comblement unique du fossé F169		YD0101

US	TR	Fait	type US	type action	Description_interpret	Lots mob.	Parcelle
85	6	169	Creusement	Occupation	Description : Creusement linéaire d'orientation N/S présentant un profil en cuvette légèrement asymétrique. Interprétation : Creusement de F169.		YD0101
86	5	89	Remblai	Abandon	Description : Limon brun foncé contenant de nombreuses rares inclusions siliceuses mêlé, notamment en partie basse, à du limon brun plus chargé en gravillons siliceux et à des radicelles. Plutôt homogène et meuble. Interprétation : Comblement unique de F89.	Poterie : 15	YD0101
87	5	89	Creusement	Occupation	Description : Creusement de forme subcirculaire présentant un profil en cuvette et aux parois (arasées) légèrement asymétriques. Interprétation : Creusement de la fosse F89.		YD0101
88	5	86	Remblai	Abandon	Description : Limon plutôt argileux brun foncé à gris contenant quelques poches éparses de gravillons siliceux (<1 cm). Homogène et plutôt meuble. Interprétation : Comblement unique de F86		YD0101
89	5	86	Creusement	Construction	Description : Creusement de forme subcirculaire présentant un profil très arasé à fond légèrement irrégulier. Interprétation : Creusement de F86		YD0101
90	4	84	Remblai	Abandon	Description : Limon argileux brun à noir contenant quelques inclusions d'argile orange et de rares gravillons et graviers siliceux. Homogène et meuble. Interprétation : Comblement terminal de F84.		YD0101
91	4	84	Remblai	Abandon	Description : Limon argileux brun à noir contenant quelques inclusions d'argile orange ou marneuses grises et de rares gravillons et graviers siliceux. Présence de nombreux graviers calcaires. Homogène et meuble. Interprétation : Comblement primaire de F84.		YD0101
92	4	84	Creusement	Occupation	Description : Creusement de forme ovoïde présentant un profil en cuvette. Interprétation : Creusement de F84.		YD0101
93	4	80	Remblai	Géologique	Description : Limon argileux brun foncé à noir contenant des inclusions de gravillons et graviers siliceux et calcaires, des cailloux calcaires (dont certains sont brûlés et émoussés), de rares inclusions de CDB et du mobilier TCA et céramique en partie supérieure. Interprétation : Remblai géologique ayant piégé du matériel à sa surface (ou couche anthropisée ayant été aspirée par phénomène de soutirage naturel).	Poterie : 31 Terre cuite : 146	YD0101
94	4	80	Remblai	Géologique	Description : Argile peu limoneuse brun-orange contenant de la fine grave, dont la partie inférieure est particulièrement chargée en inclusions noires Fe-Mg. La partie est mêlé à de la marne grise très plastique. Le tout est plutôt hétérogène et très compact. Interprétation : Niveau naturel qui outrepassé au sud le cisaillement (ou interface) de ce soutirage naturel.		YD0101
95	4	80	Remblai	Géologique	Description : Poche d'argile brun-gris fortement chargée en inclusions Fe-Mg noires. Homogène et compact. Interprétation : Niveau naturel peut-être lié à un glissement de "paroi".		YD0101
96	4	80	Remblai	Géologique	Description : Marne grise à passées oranges mêlée à des poches de calcaire blanc pulvérulent. Interprétation : Niveau naturel.		YD0101
97	4	80	Remblai	Géologique	Description : Marne grise très plastique à passées oranges mêlée à des poches de calcaire blanc pulvérulent. Interprétation : Niveau naturel.		YD0101
98	4	80	Interface	Géologique	Description : Cisaillement géologique de forme peu régulière et au profil irrégulier à bords semi-verticalisés à "vaguelettes". Interprétation : Cisaillement géologique.		YD0101
99	2	396	Remblai	Abandon	Description : Limon argileux gris contenant de nombreuses inclusions calcaires, de TC et de CDB. Homogène et plastique. Interprétation : Comblement unique de F396.	Terre cuite : 138	YD0101
100	2	396	Creusement	Occupation	Description : Creusement de forme subcirculaire (recoupé en moitié de sa surface par le mur F23), présentant un profil en cuvette à bords évasés. Interprétation : Creusement de F396		YD0101
101	1	7	Remblai	Abandon	Description : Limon très argileux gris contenant beaucoup de nodules de TC et de CDB, des fragments de TCA, ainsi que des blocs calcaires (probablement issus du calage). Assez homogène et compact. Interprétation : Comblement unique de F7.		YD0101

US	TR	Fait	type US	type action	Description_interpret	Lots mob.	Parcelle
102	1	7	Creusement	Construction	Description : Creusement de forme circulaire présentant un profil en auge (bords verticaux et fond plat). Interprétation : Creusement de F7.		YD0101
103	1		Remblai	Démolition	Description : Limon argileux contenant de nombreux blocs et graviers calcaires ainsi que de petites poches de mortier. Homogène et assez meuble. Interprétation : Niveau de démolition observé au-dessus de F12.	Métal : 242	YD0101
104	1	12	Remblai	Abandon	Description : Limon argileux noir-gris contenant de nombreuses inclusions de CDB et de TC, avec cailloux calcaires (env. 10 cm), beaucoup de fragments de TCA et quelques fragments d'ardoise et de céramique. Hétérogène et assez compact. Interprétation : Comblement unique de F12.	Poterie : 41	YD0101
105	1	12	Creusement	Occupation	Description : Creusement de forme subcirculaire présentant un profil en auge. Interprétation : Creusement de F12.		YD0101
106	2	27	Remblai	Abandon	Description : Limon très argileux gris contenant énormément de nodules et inclusions de CDB et de TC, avec beaucoup de graviers calcaires. A noter la présence de 2 blocs calcaires en fond de couche (env. 15 cm de longueur). Couche assez homogène et assez compacte. Interprétation : Comblement unique de la fosse F27.		YD0101
107	2	27	Creusement	Occupation	Description : Creusement de forme subcirculaire présentant un profil en cuvette à bords évasés avec surcreusement en fond. Interprétation : Creusement de F27		YD0101
108	6	165	Couche d'occupation	Occupation	Description : Limon brun homogène contenant des fragments de céramique avec inclusions de nodules d'argile chauffée et quelques CDB. Homogène et meuble. Interprétation : Couche d'épaisseur irrégulière s'étant nappée dans les dépressions naturelles du TN2 (cf F165 annulé).	Poterie : 44, 190 Autre : 189	YD0101
109	7	171	Remblai	Abandon	Description : Limon argileux brun contenant de nombreux fragments de CDB, quelques graviers calcaires et de la céramique. Homogène et assez compact. Interprétation : Comblement d'abandon du poteau.	Poterie : 19	YD0101
110	7	171	Remblai	Construction	Description : Limon argileux brun-jaune contenant quelques inclusions de CDB et de petits graviers calcaires. Homogène et assez compact. Interprétation : Comblement de l'avant-trou (calage poteau).		YD0101
111	7	171	Creusement	Construction	Description : Creusement de forme circulaire présentant un profil en cuvette à bords droits. Interprétation : Creusement de F171.		YD0101
112	7	170	Remblai	Abandon	Description : Limon argileux brun-gris homogène et assez compact. Interprétation : Comblement unique de F170		YD0101
113	7	170	Creusement	Occupation	Description : Creusement de forme subcirculaire présentant un profil en cuvette à fond plat aux bords évasés et arasés. Interprétation : Creusement de F170.		YD0101
114	4	77	Remblai	Abandon	Description : Limon brun-gris contenant des graviers siliceux centimétriques et quelques fines inclusions de CDB. Homogène et assez compact. Interprétation : Comblement unique de F77.	Poterie : 30	YD0101
115	4	77	Creusement	Occupation	Description : Creusement de forme linéaire, d'orientation E/O et présentant un profil en cuvette à bords évasés. Interprétation : Creusement de F77		YD0101
116	5	91	Remblai	Abandon	Description : Limon argileux brun-noir contenant des fragments de CDB et quelques fins graviers calcaires (et fragments céramique). Homogène et assez compact. Interprétation : Comblement unique de F91.	Poterie : 63	YD0101
117	5	91	Creusement	Construction	Description : Creusement de forme légèrement ovoïde présentant un profil en cuvette. Interprétation : Creusement de F91.		YD0101
118	4	128	Remblai	Abandon	Description : Limon brun-noir contenant quelques graviers siliceux et calcaires ainsi que quelques fragments de TCA. Homogène et assez compact. Interprétation : Comblement unique de F128.		YD0101
119	4	128	Creusement	Occupation	Description : Creusement de forme circulaire présentant un profil en cuvette à bords évasés et arasés à fond irrégulier. Interprétation : Creusement de F128.		YD0101

US	TR	Fait	type US	type action	Description_interpret	Lots mob.	Parcelle
120	5	429	Remblai	Abandon	Description : Limon argileux brun-noir contenant quelques inclusions de CDB, de fins fragments de TC ainsi que de fins graviers calcaires. Homogène et assez compact. Interprétation : Comblement unique de F429.		YD0101
121	5	429	Creusement	Construction	Description : Creusement de forme légèrement ovoïde présentant un profil en cuvette aux bords évasés et légèrement asymétriques. Interprétation : Creusement de F429.		YD0101
122	4	75	Remblai	Abandon	Description : Limon fin brun contenant des inclusions de graviers siliceux. Homogène et assez meuble. Interprétation : Comblement terminal de F75.		YD0101
123	4	75	Remblai	Abandon	Description : Argile limoneuse brune contenant beaucoup d'inclusions calcaires centimétriques et quelques cailloux siliceux. Homogène et compact. Interprétation : Comblement primaire de F75.		YD0101
124	4	75	Creusement	Occupation	Description : Creusement de forme linéaire d'orientation NO/SE présentant un profil en "V", aux bords évasés et asymétriques. Interprétation : Creusement de F75.		YD0101
125	6	161	Remblai	Abandon	Description : Limon gris contenant quelques traces de CDB, des fragments de TC ayant subis l'action du feu ( pesons?), de fins nodules de TC. Homogène et assez compact. Interprétation : Us certainement liée à l'arrachage du poteau (destruction/abandon).	Terre cuite : 192	YD0101
126	6	161	Remblai	Construction	Description : Argile jaune-orange compacte contenant énormément d'inclusions calcaires pulvérulentes ( TN remanié). Interprétation : Comblement supérieur de l'avant-trou.		YD0101
127	6	161	Remblai	Construction	Description : Argile brun-gris contenant de fins graviers millimétriques siliceux et calcaires jaunes. Homogène et compacte. Interprétation : Comblement intermédiaire de l'avant-trou dont une partie s'est infiltrée entre l'US 129 et 125 lors de l'arrachage supérieur du poteau.		YD0101
128	6	161	Remblai	Construction	Description : Argile jaune-orange compacte contenant énormément d'inclusions calcaires pulvérulentes ( TN remanié). Interprétation : Comblement primaire de l'avant-trou.		YD0101
129	6	161	Négatif	Construction	Description : Limon brun-noir contenant énormément de CDB, des petits nodules de TC et de la céramique. Interprétation : Reste du négatif de poteau s'étant affaissé sur lui-même, et dans lequel s'est infiltré des fragments de céramique noire.	Poterie : 83	YD0101
130	6	161	Creusement	Construction	Description : Creusement circulaire au profil en cuvette à bords relativement droits. Interprétation : Creusement de F130.		YD0101
131	9	212	Remblai	Géologique	Description : Argile limoneuse brune avec inclusions de graviers siliceux. Homogène, compacte et stérile. Interprétation : Nappe d'argile limoneuse s'étant insérée dans une dépression naturelle.		YD0101
132	9	212	Remblai	Géologique	Description : Couronne argilo- limoneuse brun-orange. Homogène, compacte et stérile. Interprétation : Altération de TN dans l'anomalie naturelle F194(annulée)		YD0101
133	9	212	Interface	Géologique	Description : Interface, ou cisaillement naturel de forme peu régulière et présentant un profil en cuvette asymétrique. Interprétation : Interface ou cisaillement naturel de F194.		YD0101
134	14	256	Remblai	Géologique	Description : Limon argileux brun contenant de fines inclusions Fe-Mg noires. Homogène, assez compacte et stérile. Interprétation : Nappe de limon légèrement argileux s'étant insérée dans une dépression naturelle.		YD0101
135	14	256	Interface	Géologique	Description : Interface, ou cisaillement naturel de forme peu régulière et présentant un profil en cuvette irrégulière. Interprétation : Interface ou cisaillement naturel de F256.		YD0101
136	15	277	Remblai	Géologique	Description : Limon argileux brun contenant beaucoup de fines inclusions Fe-Mg noires, quelques fragments de CDB et des graviers siliceux (2 à 5 cm). Homogène, assez compacte et stérile. Interprétation : Nappe de limon argileux s'étant insérée dans une dépression naturelle.		YD0101
137	15	277	Interface	Géologique	Description : Interface, ou cisaillement naturel de forme subcirculaire et présentant un profil en cuvette asymétrique à bords évasés. Interprétation : Interface ou cisaillement naturel de F277.		YD0101

US	TR	Fait	type US	type action	Description_interpret	Lots mob.	Parcelle
138	16	280	Remblai	Abandon	Description : Limon argileux gris-brun contenant quelques graviers siliceux et présence de fragment de céramique. Homogène et assez compact. Interprétation : Comblement unique de F280.	Poterie : 29	YD0101
139	16	280	Creusement	Occupation	Description : Creusement de forme linéaire d'orientation NE/SO présentant un profil en cuvette légèrement asymétrique. Interprétation : Creusement de F280.		YD0101
140	10	214	Remblai	Géologique	Description : Argile limoneuse brun contenant quelques inclusions de graviers siliceux millimétriques. Homogène, compact et stérile. Interprétation : Altération de TN dans l'anomalie naturelle F214(annulée)		YD0101
141	10	214	Remblai	Géologique	Description : Argile limoneuse brun-noir contenant quelques inclusions de graviers siliceux millimétriques et nombreuses inclusions Fe-Mg noires. Homogène, compact et stérile. Interprétation : Altération de TN dans l'anomalie naturelle F214(annulée)		YD0101
142	10	214	Remblai	Géologique	Description : Argile orange contenant de fines inclusions de graves siliceuses. Homogène, plastique et stérile. Interprétation : Altération de TN dans l'anomalie naturelle F214(annulée)		YD0101
143	10	214	Interface	Géologique	Description : Interface, ou cisaillement naturel de forme ovoïde et présentant un profil en cuvette très irrégulière et asymétrique. Interprétation : Interface ou cisaillement naturel de F214.		YD0101
144	6	228	Remblai	Géologique	Description : Argile gris-jaune contenant quelques inclusions Fe-Mg très fins. Homogène, plastique et stérile. Interprétation : Altération de TN dans l'anomalie naturelle F228(annulée)		YD0101
145	6	228	Remblai	Géologique	Description : Argile gris-noir contenant quelques inclusions de fins graviers siliceux. Homogène, plastique et stérile. Interprétation : Altération de TN dans l'anomalie naturelle F228(annulée)		YD0101
146	11	228	Interface	Géologique	Description : Interface, ou cisaillement naturel de forme ovoïde et présentant un profil en cuvette à bords évasés et asymétriques. Interprétation : Interface ou cisaillement naturel de F228.		YD0101
147	12	246	Remblai	Occupation	Description : Pierres calcaires de 5 à 40 cm de longueur, mêlées à du limon brun-gris. Homogène et assez meuble. Interprétation : Comblement de F246.		YD0101
148	12	246	Interface	Occupation	Description : Interface/creusement linéaire d'orientation N/S présentant un profil en cuvette à bords très évasés. Interprétation : Interface/creusement de F246 qui déborde sur F249.		YD0101
149	12	249	Remblai	Abandon	Description : Limon gris-jaune contenant quelques inclusions Fe-Mg noires. Homogène et assez compact. Interprétation : Comblement terminal de F249.		YD0101
150	12	249	Remblai	Abandon	Description : Limon argileux gris-orangé contenant quelques inclusions Fe-Mg couleur rouille et de rares graviers siliceux. Homogène et assez compact. Interprétation : Comblement primaire de F249.		YD0101
151	12	249	Creusement	Occupation	Description : Creusement de forme linéaire, d'orientation N/S et présentant un profil en cuvette à bords évasés. Interprétation : Creusement de F249.		YD0101
152	12	247	Remblai	Abandon	Description : Argile limoneuse gris-verdâtre contenant de nombreuses inclusions Fe-Mg d couleur rouille et quelques graviers calcaires. Homogène et assez compact. Interprétation : Comblement terminal de F247.		YD0101
153	12	247	Remblai	Abandon	Description : Argile jaune-gris contenant de fins graviers calcaires et siliceux. Homogène et plastique. Interprétation : Comblement primaire de F247.		YD0101
154	12	247	Creusement	Occupation	Description : Creusement de forme linéaire, d'orientation NO/SE et présentant un profil en cuvette à bords évasés et asymétriques. Interprétation : Creusement de F247.		YD0101
155	12	248	Remblai	Abandon	Description : Argile limoneuse brun-noir contenant de fines poches d'argile limoneuse gris-jaune (en fond) et de fins graviers siliceux et calcaires ainsi que des inclusions Fe-Mg couleur rouille. Relativement homogène et compact. Interprétation : Comblement unique de F248.		YD0101

US	TR	Fait	type US	type action	Description_interpret	Lots mob.	Parcelle
156	12	248	Creusement	Occupation	Description : Creusement de forme linéaire, d'orientation NO/SE et présentant un profil en cuvette à bords évasés. Interprétation : Creusement de F248		YD0101
157	14	260	Remblai	Abandon	Description : Limon argileux brun contenant quelques cailloux siliceux et graviers. Homogène et compact. Interprétation : Comblement terminal de F260.	Poterie : 38	YD0101
158	14	260	Remblai	Abandon	Description : Poches de graves et cailloux siliceux en grand nombre, pris dans une matrice argileuse brun clair. Hétérogène et compact. Interprétation : Comblement primaire de F260.		YD0101
159	14	260	Creusement	Occupation	Description : Creusement de forme linéaire, d'orientation NE/SO et présentant un profil en cuvette à bords évasés et légèrement asymétriques. Interprétation : Creusement de F260.		YD0101
160	17	246	Remblai	Occupation	Description : Pierres calcaires de 5 à 40 cm de longueur, mêlées à du limon brun-gris. Homogène et assez meuble. Interprétation : Comblement de F246.		YD0101
161	17	246	Creusement	Occupation	Description : Interface/creusement linéaire d'orientation N/S présentant un profil en cuvette à bords très évasés. Interprétation : Interface/creusement de F246 qui déborde sur F274.		YD0101
162	17	274	Remblai	Abandon	Description : Limon brun-jaune contenant quelques inclusions Fe-Mg noires et quelques fin graviers siliceux. Homogène et assez compact. Interprétation : Comblement unique de F274.		YD0101
163	17	274	Creusement	Occupation	Description : Creusement de forme linéaire, d'orientation N/S et présentant un profil en cuvette à bords évasés. Interprétation : Creusement de F274.		YD0101
164	19	302	Remblai	Abandon	Description : Limon argileux gris-jaune contenant quelques fin graviers siliceux. Homogène et assez compact. Interprétation : Comblement unique de F302.		YD0101
165	19	302	Creusement	Occupation	Description : Creusement de forme linéaire, d'orientation N/S et présentant un profil en cuvette à bords évasés et asymétriques. Interprétation : Creusement de F302		YD0101
166	21	306	Remblai	Abandon	Description : Limon argileux brun foncé contenant quelques graviers siliceux et de rares et fines inclusions Fe-Mg de couleur rouille. Homogène et assez compact. Interprétation : Comblement unique de F306.		YD0101
167	21	306	Creusement	Occupation	Description : Creusement de forme linéaire, d'orientation NO/SE et présentant un profil en cuvette à fond relativement plat. Interprétation : Creusement de F306.		YD0101
168	21	292	Remblai	Abandon	Description : Limon argileux brun verdâtre contenant de fines inclusions de graviers siliceux. Homogène et compact. Interprétation : Comblement unique de F292.		YD0101
169	21	292	Creusement	Occupation	Description : Creusement de forme linéaire, d'orientation NE/SO et présentant un profil en cuvette à bords évasés. Interprétation : Creusement de F292.		YD0101
170	6	483	Remblai	Abandon	Description : Limon argileux brun clair contenant quelques graviers siliceux et graviers centimétriques. Homogène et compact. Interprétation : Comblement terminal de F483.	Poterie : 39	YD0055
171	6	483	Remblai	Abandon	Description : Argile limoneuse brun-orange contenant beaucoup de fines inclusions de graves calcaires et siliceuses. Homogène et compact. Interprétation : Comblement primaire de F483.		YD0055
172	6	483	Creusement	Occupation	Description : Creusement de forme linéaire, d'orientation NO/SE et présentant un profil en "V" à bords supérieurs convexes. Interprétation : Creusement de F483.		YD0055
173	6	142	Remblai	Abandon	Description : Argile limoneuse brun-beige contenant de fines inclusions de graves siliceuses. Homogène et compact. Interprétation : Comblement unique de F142.		YD0055
174	6	142	Creusement	Occupation	Description : Creusement de forme linéaire, d'orientation NO/SE et présentant un profil en cuvette à bords très évasés. Interprétation : Creusement de F142.		YD0055
175	8	173	Remblai	Abandon	Description : Limon légèrement argileux brun-gris contenant quelques fins CDB. Homogène et assez meuble. Interprétation : Comblement unique de F173.		YD0055

US	TR	Fait	type US	type action	Description_interpret	Lots mob.	Parcelle
176	8	173	Creusement	Occupation	Description : Creusement de forme linéaire, d'orientation NE/SO et présentant un profil en cuvette. Interprétation : Creusement de F173.		YD0055
177	8	182	Remblai	Abandon	Description : Limon argileux brun clair contenant quelques graviers siliceux et graviers centimétriques. Homogène et compact. Interprétation : Comblement unique de F182.		YD0101
178	8	182	Creusement	Occupation	Description : Creusement de forme linéaire, d'orientation NE/SO et présentant un profil en cuvette à fond relativement plat. Interprétation : Creusement de F182.		YD0101
179	3	60	Remblai	Abandon	Description : Limon argileux brun-noir contenant de nombreux graviers et quelques cailloux siliceux, ainsi que quelques inclusions Fe-Mg. Homogène et assez meuble. Interprétation : Comblement terminal de F60.		YD0055
180	3	60	Remblai	Abandon	Description : Argile légèrement limoneuse gris-vert contenant des inclusions Fe-Mg. Homogène et assez plastique. Interprétation : Comblement primaire de F60.		YD0055
181	3	60	Creusement	Occupation	Description : Creusement de forme linéaire, d'orientation NE/SO et présentant un profil en cuvette à bords évasés. Interprétation : Creusement de F60.		YD0055
182	6	145	Remblai	Abandon	Description : Limon argileux gris verdâtre contenant de fines inclusions de graviers siliceux, de CDB et de Fe-Mg noires (présence de fragment de TCA). Homogène et assez compact. Interprétation : Comblement unique de F145.	Terre cuite : 147	YD0101
183	6	145	Creusement	Occupation	Description : Creusement de forme linéaire, d'orientation NO/SE et présentant un profil en cuvette à bords évasés. Interprétation : Creusement de F145.		YD0101
184	6	143	Remblai	Abandon	Description : Limon gris verdâtre contenant de fines inclusions de graviers siliceux et calcaires et quelques cailloux calcaires. Homogène et assez meuble. Interprétation : Comblement unique de F143.	Poterie : 28	YD0101
185	6	143	Creusement	Occupation	Description : Creusement de forme linéaire, d'orientation NE/SO et présentant un profil en cuvette à bords évasés. Interprétation : Creusement de F143.		YD0101
186	6	141	Remblai	Abandon	Description : Limon gris verdâtre contenant de fines inclusions de graviers siliceux et calcaires et quelques cailloux calcaires et TCA. Homogène et assez meuble. Interprétation : Comblement unique de F141.	Terre cuite : 143	YD0101
187	6	141	Creusement	Occupation	Description : Creusement de forme linéaire, d'orientation NE/SO et présentant un profil en "V" à bords supérieurs convexes. Interprétation : Creusement de F141.		YD0101
188	3	57	Remblai	Abandon	Description : Limon argileux brun-gris contenant de fines inclusions de CDB, de boulettes de TC, des petits graviers siliceux. Homogène et assez compact. Interprétation : Comblement unique de F57.	Poterie : 5	YD0101
189	3	57	Creusement	Occupation	Description : Creusement de forme circulaire au profil en cuvette à bords évasés et asymétriques. Interprétation : Creusement de F57.		YD0101
190	3	497	Remblai	Abandon	Description : Limon très argileux brun contenant des cailloux et de la grave siliceux ainsi que quelques CDB. Homogène et assez compact. Interprétation : Comblement terminal de F497.	Poterie : 20	YD0055
191	3	497	Remblai	Abandon	Description : Limon très argileux gris-noir contenant des éléments de torchis brûlés pulvérulents ainsi que de nombreux CDB. Hétérogène et assez compact. Interprétation : Comblement primaire de F497.		YD0055
192	3	497	Creusement	Occupation	Description : Creusement de forme circulaire présentant un profil en cuvette à bords évasés. Interprétation : Creusement de F497.		YD0055
193	3	56	Remblai	Démolition	Description : Limon argileux gris rempli d'éléments brûlés (torchis, CDB, céramique). Assez hétérogène et compact. Interprétation : Comblement lié à la démolition du poteau de F56.	Poterie : 86	YD0055
194	3	56	Négatif	Construction	Description : Limon très argileux gris-noir contenant quelques fins graviers siliceux. Interprétation : Négatif de poteau de F56.	Poterie : 191 Autre : 188	YD0055



US	TR	Fait	type US	type action	Description_interpret	Lots mob.	Parcelle
195	3	56	Remblai	Construction	Description : Argile limoneuse brun-gris contenant de nombreux graviers siliceux. Des cailloux et blocs siliceux et calcaires laissent apparaître une ligne verticalisée le long du poteau (calage). Interprétation : Comblement de l'avant-trou de F56.		YD0055
196	3	56	Creusement	Construction	Description : Creusement de forme légèrement ovoïde et présentant un profil en auge à fond plat et à bords asymétriques. Interprétation : Creusement de F56.		YD0055
197	4	72	Remblai	Abandon	Description : Limon légèrement argileux brun contenant des inclusions de fines graves et quelques cailloux siliceux. Homogène et assez meuble. Interprétation : Comblement unique de F72.		YD0055
198	4	72	Creusement	Occupation	Description : Creusement de forme linéaire, d'orientation NE/SO présentant un profil en cuvette à bords évasés. Interprétation : Creusement de F72.		YD0055
199	4	124	Remblai	Abandon	Description : Limon légèrement argileux brun-jaune contenant très peu d'inclusions de fines graves et quelques cailloux siliceux. Homogène et assez meuble. Interprétation : Comblement unique de F124.		YD0055
200	4	124	Creusement	Occupation	Description : Creusement de forme circulaire présentant un profil en cuvette à bords évasés. Recoupé par F72. Interprétation : Creusement de F124.		YD0055
201	3	48	Remblai	Occupation	Description : Très nombreux blocs de calcaire (15 cm en moyenne), fragments de TCA et rares poches de mortier, pris dans une matrice limono-argileuse noir-gris. Homogène et assez meuble. Interprétation : Couche constitutive d'un empiérement d'alignement N/S.	Poterie : 13	YD0101
202	3	48	Interface	Occupation	Description : Interface de forme linéaire et présentant un profil en cuvette à bords très arasés. Interprétation : Interface d'une dépression formée dans l'US 19.		YD0101
203	3	37	Remblai	Construction	Description : Limon brun gris avec fines inclusions de calcaires. Interprétation : Comblement de la tranchée de fondation de F37	Poterie : 90	YD0101
204	3	37	Maçonnerie	Construction	Description : Cailloux et blocs siliceux (15 à 25 cm de longueur) organisés selon un système parement/blocage interne (blocs de parements présentent une face plus plane et grande sur l'extérieur du mur et les blocs constituant le blocage sont soigneusement posés et organisés). Un limon contenant des poches importantes de mortier blancs grossiers et poches sableuses brunâtres. La partie est de la couche comporte moins de cailloux et blocs (mur moins bien conservé). Interprétation : Fondation du mur F37.		YD0101
205	3	37	Creusement	Construction	Description : Creusement de forme linéaire d'orientation E/O présentant un profil peu perceptible à la fouille (tranchée aveugle sur la plus grande partie observée avec un élargissement en parois obliques près de la surface). Interprétation : Creusement de la tranchée de fondation du mur F37.		YD0101
206	3		Remblai	Démolition	Description : Limon argileux gris contenant de très nombreuses inclusions calcaires et TCA centimétriques ainsi que des cailloux calcaires et des fragments de TCA plus gros et d'importantes poches de mortier blanc-gris. Hétérogène et assez meuble. Interprétation : Niveau de démolition ? ou occupation antérieure à l'implantation de F37, 36 et 34.	Poterie : 24 Faune : 169	YD0101
207	3		Remblai	Occupation	Description : Argile grise élastique et homogène contenant de rares inclusions de CDB et quelques cailloux calcaires avec présence de mobilier céramique et faune. Interprétation : Niveau d'occupation antérieur à l'implantation de F37, 36 et 34.	Poterie : 14, 111 Faune : 170	YD0101
208	4	70	Remblai	Abandon	Description : Limon gris contenant quelques cailloux calcaires et siliceux, des fragments de TCA. Homogène et compact. Interprétation : Comblement unique de F70.		YD0101
209	2	22	Remblai	Abandon	Description : Limon très argileux gris contenant de nombreuses inclusions de CDB et de TC, ainsi que des traces d'oxydation Fe-Mg. Homogène et compact. Interprétation : Comblement unique de F22.		YD0101
210	2	22	Creusement	Occupation	Description : Creusement de forme circulaire (prise sous berme) présentant un profil en cuvette aux bords très évasés. Interprétation : Creusement de F22.		YD0101

US	TR	Fait	type US	type action	Description_interpret	Lots mob.	Parcelle
211	3	36	Remblai	Construction	Description : Limon brun gris avec fines inclusions de calcaires. Interprétation : Comblement de la tranchée de fondation de F36		YD0101
212	3	36	Maçonnerie	Construction	Description : Cailloux et blocs siliceux (15 à 25 cm de longueur) organisés selon un système parement/blocage interne (blocs de parements présentent une face plus plane et grande sur l'extérieur du mur et les blocs constituant le blocage sont soigneusement posés et organisés). Tous ces éléments sont pris dans un limon brun-gris contenant des poches de mortier blanc grossier et de quelques fragment de TCA. Interprétation : Fondation du mur F36.		YD0101
213	3	36	Creusement	Construction	Description : Creusement de forme linéaire d'orientation N/S présentant un profil peu perceptible à la fouille (tranchée aveugle sur la plus grande partie observée avec un élargissement en parois obliques près de la surface). Interprétation : Creusement de la tranchée de fondation du mur F36.		YD0101
214	3	34	Remblai	Construction	Description : Limon brun gris avec fines inclusions de calcaires. Interprétation : Comblement de la tranchée de fondation de F34.		YD0101
215	3	34	Maçonnerie	Construction	Description : Cailloux et blocs siliceux (15 à 25 cm de longueur) organisés selon un système parement/blocage interne (blocs de parements présentent une face plus plane et grande sur l'extérieur du mur et les blocs constituant le blocage sont soigneusement posés et organisés). Un limon contenant des poches importantes de mortier blanc grossier et poches sableuses brunâtres. Interprétation : Fondation du mur F34.	Poterie : 25	YD0101
216	3	34	Creusement	Construction	Description : Creusement de forme linéaire d'orientation N/S présentant un profil peu perceptible à la fouille (tranchée aveugle sur la plus grande partie observée avec un élargissement en parois obliques près de la surface). Interprétation : Creusement de la tranchée de fondation du mur F34.		YD0101
217	4	70	Creusement	Occupation	Description : Creusement de forme linéaire, d'orientation NO/SE, présentant un profil en cuvette à bords évasés et légèrement asymétriques. Interprétation : Creusement de F70.		YD0101
218	17	297	Remblai	Abandon	Description : Argile légèrement limoneuse gris-orange contenant quelques graviers siliceux. Homogène et compact. Interprétation : Comblement terminal de F297.		YD0101
219	17	297	Remblai	Abandon	Description : Argile grise légèrement limoneuse contenant quelques graviers siliceux et de fines inclusions Fe-Mg. Homogène et très compact. Interprétation : Comblement primaire de F297.		YD0101
220	17	297	Creusement	Occupation	Description : Creusement de forme linéaire, d'orientation NE/SO, présentant un profil irrégulier en cuvette à bords très évasés et largement asymétriques. Interprétation : Creusement de F297.		YD0101
221	25	312	Remblai	Abandon	Description : Argile légèrement limoneuse gris-orange contenant quelques graviers siliceux. Homogène et compact. Interprétation : Comblement unique de F312.	Poterie : 9	YD0101
222	25	312	Creusement	Occupation	Description : Creusement de forme linéaire, d'orientation NO/SE, présentant un profil en "V" à bords très évasés. Interprétation : Creusement de F312.		YD0101
223	26	322	Remblai	Abandon	Description : Argile légèrement limoneuse gris-orange contenant quelques graviers siliceux. Homogène et compact. Interprétation : Comblement unique de F322.		YD0101
224	26	322	Creusement	Occupation	Description : Creusement de forme linéaire, d'orientation NO/SE, présentant un profil en cuvette à fond plat à bords obliques. Interprétation : Creusement de F322.		YD0101
225	26	319	Remblai	Abandon	Description : Limon argileux gris contenant de nombreuses inclusions de calcaire pulvérulent, de TCA centimétriques, de fins nodules Fe-Mg, ainsi que des graviers siliceux. Hétérogène et assez compact. Interprétation : Comblement terminal de F319.	Poterie : 3 Métal : 224	YD0101
226	26	319	Remblai	Abandon	Description : Argile gris-brun contenant des blocs siliceux et calcaires (15 cm en moyenne). Homogène et très compact. Interprétation : Comblement primaire de F319.		YD0101
227	26	319	Creusement	Occupation	Description : Large creusement irrégulier au profil en cuvette à fond relativement plat et à bords assez évasés. Interprétation : Creusement de F319.		YD0101

US	TR	Fait	type US	type action	Description_interpret	Lots mob.	Parcelle
228	27	323	Remblai	Abandon	Description : Limon argileux gris-brun contenant quelques cailloux et graviers siliceux et de fines inclusions Fe-Mg de couleur rouille en bas de couche. Homogène et compact. Interprétation : Comblement unique de F323.		YD0101
229	27	323	Creusement	Occupation	Description : Creusement de forme linéaire, d'orientation NO/SE, présentant un profil en cuvette. Interprétation : Creusement de F323.		YD0101
230	27	326	Remblai	Abandon	Description : Limon argileux gris-brun homogène et assez compact. Interprétation : Comblement terminal de F326.		YD0101
231	27	326	Remblai	Abandon	Description : Argile limoneuse noire contenant de nombreuses inclusions de CDB, de fins nodules de TCA. Interprétation : Comblement primaire de F326.		YD0101
232	27	326	Creusement	Occupation	Description : Creusement de forme subcirculaire aux contours diffus, présentant un profil en cuvette à bords évasés. Interprétation : Creusement de F232.		YD0101
233	5	104	Remblai	Abandon	Description : Limon brun-gris contenant des fragments de CDB, de TC et quelques os humains fragmentés et sans connexion. Homogène et assez meuble. Interprétation : Comblement unique de F104	Métal : 227 Terre cuite : 137	YD0055
234	5	104	Creusement	Occupation	Description : Creusement subcirculaire présentant un profil irrégulier et arasé. Interprétation : Creusement de F104.		YD0055
235	61	443	Remblai	Abandon	Description : Argile gris-brun contenant énormément de fragments de CDB et 1 fragment de torchis brûlé Interprétation : Comblement unique de F443	Poterie : 85	YD0101
236	61	443	Creusement	Occupation	Description : Creusement de forme circulaire présentant un profil en cuvette très évasée et arasée. Interprétation : Creusement de F443.		YD0101
237	62	446	Remblai	Abandon	Description : Argile brun-gris contenant des inclusions de CDB et quelques cailloux siliceux. Homogène. Interprétation : Comblement unique de F446.		YD0101
238	62	446	Creusement	Occupation	Description : Creusement de forme circulaire présentant un profil en cuvette. Interprétation : Creusement de F446.		YD0101
239	48	389	Remblai	Abandon	Description : Limon brun clair contenant des inclusions de cailloux et de CDB. Homogène et assez compact. Interprétation : Comblement terminal de F389.		YD0101
240	48	389	Remblai	Abandon	Description : Limon gris hétérogène comportant des poches d'argile brun-jaune et contenant des inclusions de cailloux et des nodules de Fe-Mg, ainsi que beaucoup de fragments de céramique. Interprétation : Comblement primaire de F389.	Poterie : 45	YD0101
241	48	389	Creusement	Occupation	Description : Creusement de forme subcirculaire (pris sous berme nord-est), présentant un profil en cuvette aux bords évasés et légèrement asymétriques. Interprétation : Creusement de F389.		YD0101
242	5	558	Remblai	Abandon	Description : Limon brun-gris homogène et peu compact contenant de rares inclusions de CDB millimétriques, des fragments de TC et de céramique. Interprétation : Comblement unique de F558.	Poterie : 77	YD0055
243	5	558	Creusement	Occupation	Description : Creusement de forme circulaire présentant un profil en cuvette à fond relativement plat et aux parois légèrement évasées et très arasés. Interprétation : Creusement de F558.		YD0055
244	5	132	Maçonnerie	Construction	Description : Nombreuses pierres calcaires d'une dizaine de centimètres liées par une matrice de limon brun. Interprétation : Radier de fondation du mur F132 qui forme un angle avec le mur F482.	Poterie : 94	YD0055
245	5	132	Creusement	Construction	Description : Creusement linéaire d'orientation N/S présentant un profil en cuvette à bords droite et fond légèrement irrégulier. Interprétation : Creusement de la tranchée de fondation du mur F132.		YD0055
246	56	434	Remblai	Abandon	Description : Argile limoneuse gris foncé contenant beaucoup d'inclusions de CDB millimétriques et centimétriques. Homogène et compact. Interprétation : Comblement unique de F434.		YD0101

US	TR	Fait	type US	type action	Description_interpret	Lots mob.	Parcelle
247	56	434	Creusement	Occupation	Description : Creusement de forme ovoïde présentant un profil en cuvette à bords légèrement évasés. Interprétation : Creusement de F434.		YD0101
248	78	546	Remblai	Abandon	Description : Argile limoneuse gris foncé contenant beaucoup d'inclusions de CDB millimétriques et centimétriques. Homogène et compact. Interprétation : Comblement unique de F546.		YD0054
249	78	546	Creusement	Occupation	Description : Creusement de forme ovoïde présentant un profil en cuvette à bords très évasés et arasés. Interprétation : Creusement de F546.		YD0054
250	79	548	Remblai	Abandon	Description : Argile limoneuse grise hétérogène, contenant quelques cailloux siliceux, de rares CDB millimétriques et centimétriques et peu de fragments de TC centimétriques. Interprétation : Comblement unique de F548.		YD0054
251	79	548	Creusement	Construction	Description : Creusement de forme circulaire présentant un profil en cuvette à fond plat et aux bords asymétriques (l'un vertical et l'autre oblique). Interprétation : Creusement de F548.		YD0054
252	57	435	Remblai	Abandon	Description : Argile limoneuse gris-noir homogène, contenant beaucoup de fragments de CDB millimétriques et centimétriques. Interprétation : Comblement unique de F435		YD0101
253	57	435	Creusement	Occupation	Description : Creusement de forme circulaire présentant un profil en cuvette aux parois évasées et très arasés. Interprétation : Creusement de F435.		YD0101
254	78	542	Remblai	Abandon	Description : Argile limoneuse grise homogène, contenant quelques inclusions Fe-Mg millimétriques. Interprétation : Comblement unique de F542		YD0054
255	78	542	Creusement	Occupation	Description : Creusement de forme circulaire présentant un profil en cuvette aux parois évasées et très arasées. Interprétation : Creusement de F542.		YD0054
256	74	511	Remblai	Abandon	Description : Limon argileux gris foncé contenant de petites poches d'argile orange et des inclusions de CDB, de TC, avec présences de battitures. Hétérogène et peu compacte. Interprétation : Comblement unique de F511.	Poterie : 68 Métal : 235	YD0054
257	74	511	Creusement	Occupation	Description : Creusement de forme oblongue présentant un profil en cuvette à fond relativement plat, aux bords légèrement asymétriques et évasés en partie supérieure. Interprétation : Creusement de F511.		YD0054
258	34	379	Remblai	Abandon	Description : Limon argileux gris contenant des inclusions Fe-Mg (couleur noire et rouille), de fins nodules de TC, des fragments de CDB, de TC, d'ardoise et de céramique. Homogène et compact. Interprétation : Comblement terminal de F379.	Poterie : 114	YD0101
259	34	379	Remblai	Abandon	Description : Argile grise à passées oranges contenant beaucoup d'inclusions calcaires, des inclusions Fe-Mg, et des nodules de TC. Homogène et très compact. Interprétation : Comblement intermédiaire de F379.		YD0101
260	34	379	Remblai	Abandon	Description : Argile brun orangé contenant des inclusions calcaires et Fe-Mg, ainsi que des poches calcaires. Très hétérogène et assez compact. Interprétation : Comblement primaire de F379.		YD0101
261	34	379	Creusement	Occupation	Description : Creusement de forme linéaire, d'orientation NE/SO et présentant un profil en cuvette à bords obliques, légèrement asymétriques. Interprétation : Creusement de F379.		YD0101
262	34	369	Remblai	Abandon	Description : Limon argileux gris contenant des blocs, des cailloux et de fins graviers siliceux ainsi que des fragments de CDB et de céramique (quelques fragments de clous pulvérulents non prélevés). Assez homogène et compact. Interprétation : Comblement unique de F262.	Poterie : 32	YD0101
263	34	369	Creusement	Occupation	Description : Creusement linéaire d'orientation NE/SO présentant un profil en cuvette à bords asymétriques. Interprétation : Creusement de F369.		YD0101
264	28	329	Remblai	Abandon	Description : Limon argileux gris contenant de fins graviers siliceux (surtout en fond de couche). Présence de fragments d'ardoise et de céramique. Homogène et compact. Interprétation : Comblement unique de F329.	Poterie : 112	YD0101

US	TR	Fait	type US	type action	Description_interpret	Lots mob.	Parcelle
265	28	329	Creusement	Occupation	Description : Creusement de forme linéaire, d'orientation NO/SE, présentant un profil en cuvette à bords évasés. Interprétation : Creusement de F329.		YD0101
266	38	385	Remblai	Abandon	Description : Limon argileux hétérogène contenant de fines inclusions calcaires, beaucoup d'inclusions Fe-Mg et des nodules (et fragments) de TC, ainsi que des blocs calcaires et siliceux en poches disséminées. Traces d'effondrement de parois, sur le côté sud(est du fait). Compact et assez hétérogène. Interprétation : Comblement massif de F385.	Poterie : 91 Métal : 315 Terre cuite : 126	YD0101
267	38	385	Creusement	Occupation	Description : Très large creusement de forme subcirculaire qui n'a pu être observé que sur les 2/3 de sa longueur et sur une partie seulement de sa hauteur. Le profil sud-est observé est à ressauts avec effondrements de parois. Interprétation : Large creusement de F385.		YD0101
268	35	381	Remblai	Abandon	Description : Limon argileux gris-brun contenant des traces d'oxydation Fe-Mg et quelques fragments de céramique. Homogène et assez compact. Interprétation : Comblement unique de F381.	Poterie : 75	YD0101
269	35	381	Creusement	Occupation	Description : Creusement de forme linéaire, d'orientation NE/SO, présentant un profil en cuvette à bords très évasés. Interprétation : Creusement de F381.		YD0101
270	67	562	Remblai	Abandon	Description : Argile limoneuse grise contenant quelques fragments de CDB, des inclusions de cailloux siliceux et d'oxydes Fe-Mg. Hétérogène et compact. Interprétation : Comblement unique de F562.		YD0101
271	67	562	Creusement	Occupation	Description : Creusement de forme ovoïde présentant un profil en cuvette à bords évasés et légèrement asymétriques. Interprétation : Creusement de F562.		YD0101
272	67	467	Remblai	Abandon	Description : Argile limoneuse grise contenant quelques inclusions de CDB centimétriques. Homogène et peu compact. Interprétation : Comblement unique de F467.	Poterie : 73	YD0101
273	67	467	Creusement	Occupation	Description : Creusement de forme subcirculaire présentant un profil en cuvette à bords évasés et légèrement asymétriques. Interprétation : Creusement de F467.		YD0101
274	74	514	Remblai	Abandon	Description : Argile limoneuse brun-gris contenant beaucoup d'oxydes Fe-Mg et quelques graviers siliceux. Homogène et compact. Interprétation : Comblement unique de F514.	Poterie : 22, 321 Terre cuite : 22	YD0054
275	74	514	Creusement	Occupation	Description : Creusement de forme linéaire et d'orientation E/O, présentant un profil en cuvette à bords obliques à évasés (asymétriques). Interprétation : Creusement de F514.		YD0054
276	74	510	Remblai	Abandon	Description : Limon argileux gris contenant quelques cailloux siliceux, des traces d'oxydes Fe-Mg. Homogène et compact. Interprétation : Comblement unique de F510.		YD0054
277	74	510	Creusement	Occupation	Description : Creusement de forme linéaire d'orientation NO/SE, présentant un profil en auge à bords obliques. Interprétation : Creusement de F510.		YD0054
278	74	561	Remblai	Abandon	Description : Limon peu argileux gris contenant quelques nodules de TC et des inclusions Fe-Mg de couleur rouille. Homogène et peu compact. Interprétation : Comblement unique de F561.		YD0054
279	74	561	Creusement	Occupation	Description : Creusement de forme subcirculaire présentant un profil en cuvette à bords évasés et asymétriques, au fond assez irrégulier. Interprétation : Creusement de F561.		YD0054
280	78	547	Remblai	Abandon	Description : Limon argileux gris contenant beaucoup d'inclusions Fe-Mg et de rares cailloux siliceux. Homogène et compact. Interprétation : Comblement unique de F547.		YD0054
281	78	547	Creusement	Occupation	Description : Creusement linéaire d'orientation N/S, présentant un profil en cuvette aux bords asymétriques et évasés. Interprétation : Creusement de F547.		YD0054
282	73	501	Remblai	Abandon	Description : Limon argileux brun contenant de rares inclusions calcaires et des fragments de TCA et de céramique. Homogène et compact. Interprétation : Comblement terminal de F501.	Poterie : 1 Métal : 225 Terre cuite : 132	YD0054

US	TR	Fait	type US	type action	Description_interpret	Lots mob.	Parcelle
283	73	501	Remblai	Abandon	Description : Argile limoneuse gris foncé contenant quelques inclusions de CDB, des traces d'oxydations Fe-Mg et quelques cailloux siliceux. Homogène et compact. Interprétation : Comblement primaire de F501.		YD0054
284	73	501	Creusement	Occupation	Description : Creusement de forme linéaire d'orientation N/S présentant un profil en cuvette à bords évasés et asymétriques. Interprétation : Creusement de F284.		YD0054
285	33	364	Remblai	Abandon	Description : Argile jaune-orange assez stérile. Homogène et compact. Interprétation : Comblement terminal de F364.		YD0101
286	33	364	Remblai	Abandon	Description : Liseré de graviers calcaires et siliceux pris dans matrice argileuse gris-orange, et contenant des inclusions Fe-Mg et de fins CDB. Homogène et compact. Interprétation : Comblement intermédiaire de F364.		YD0101
287	33	364	Remblai	Abandon	Description : Argile limoneuse gris-orange contenant quelques fins graviers siliceux et calcaires. Homogène et compact. Interprétation : Comblement intermédiaire de F364.		YD0101
288	33	364	Remblai	Abandon	Description : Argile orange à gris contenant beaucoup d'inclusions Fe-Mg et de très rares graviers siliceux. Homogène et très compact. Interprétation : Comblement primaire de F364.		YD0101
289	33	364	Creusement	Occupation	Description : Creusement de forme légèrement curviligne présentant un profil en cuvette à bords légèrement asymétriques, à ressauts et à fond plat. Interprétation : Creusement de F364.		YD0101
290	33	361	Remblai	Abandon	Description : Limon brun-gris contenant de fins graviers siliceux. Homogène et assez compact. Interprétation : Comblement unique de F361.		YD0101
291	33	361	Creusement	Occupation	Description : Creusement de forme linéaire, d'orientation N-NE/S-SO présentant un profil en cuvette à bords évasés. Interprétation : Creusement de F361.		YD0101
292	33	359	Remblai	Abandon	Description : Limon brun-gris contenant de fins graviers siliceux. Homogène et assez compact. Interprétation : Comblement unique de F359.		YD0101
293	33	359	Creusement	Occupation	Description : Creusement de forme linéaire, d'orientation N-NO/S-SE présentant un profil en cuvette à bords évasés et asymétriques. Interprétation : Creusement de F359.		YD0101
294	33	358	Remblai	Abandon	Description : Limon brun-gris contenant de fins graviers siliceux. Homogène et assez compact. Interprétation : Comblement unique de F358.		YD0101
295	33	358	Creusement	Occupation	Description : Creusement de forme linéaire, d'orientation N/S présentant un profil en cuvette à bords évasés et asymétriques. Interprétation : Creusement de F358.		YD0101
296	33	360	Remblai	Abandon	Description : Limon argileux brun-gris contenant de fins graviers siliceux (et cailloux siliceux en fond de couche). Homogène et assez compact. Interprétation : Comblement terminal de F360.	Poterie : 84	YD0101
297	33	360	Remblai	Abandon	Description : Argile gris-orange contenant des inclusions Fe-Mg (Tn remanié). Homogène et très compact. Interprétation : Comblement primaire de F360.		YD0101
298	33	360	Creusement	Occupation	Description : Creusement de forme linéaire, d'orientation N/S présentant un profil en cuvette à bords évasés. Interprétation : Creusement de F360.		YD0101
299	33	357	Remblai	Abandon	Description : Limon argileux gris contenant de fins graviers siliceux, des inclusions Fe-Mg et de nombreux fragments de céramique. Homogène et compact. Interprétation : Comblement unique de F357.	Poterie : 52	YD0101
300	33	357	Creusement	Occupation	Description : Creusement de forme linéaire, d'orientation N/S présentant un profil en cuvette. Interprétation : Creusement de F357.		YD0101
301	33	355	Remblai	Abandon	Description : Limon argileux brun-gris contenant des cailloux et graviers siliceux ainsi que des inclusions Fe-Mg. Hétérogène et assez compact. Interprétation : Comblement unique de F355.		YD0101
302	33	355	Creusement	Occupation	Description : Creusement de forme linéaire, d'orientation N/S présentant un profil en cuvette irrégulière à bords évasés. Interprétation : Creusement de F355.		YD0101

US	TR	Fait	type US	type action	Description_interpret	Lots mob.	Parcelle
303	32	346	Remblai	Abandon	Description : Limon sableux gris contenant de rares nodules de TC et de CDB. Très homogène et assez meuble. Interprétation : Comblement unique de F346.		YD0101
304	32	346	Creusement	Occupation	Description : Creusement de forme linéaire, d'orientation NO/SE présentant un profil en cuvette à bords évasés. Interprétation : Creusement de F346.		YD0101
305	32	348	Remblai	Abandon	Description : Limon sableux gris contenant de rares nodules de TC et de CDB. Très homogène et assez meuble. Interprétation : Comblement unique de F348.	Poterie : 113	YD0101
306	32	348	Creusement	Occupation	Description : Creusement de forme linéaire, d'orientation N/S présentant un profil en cuvette irrégulière et asymétrique à bords évasés. Interprétation : Creusement de F348.		YD0101
307	30	337	Remblai	Abandon	Description : Limon argileux gris contenant quelques fins graviers siliceux. Hétérogène et compact. Interprétation : Comblement unique de F337.		YD0101
308	30	337	Creusement	Occupation	Description : Creusement de forme linéaire, d'orientation NO/SE présentant un profil en cuvette à bords relativement obliques. Interprétation : Creusement de F337.		YD0101
309	30	335	Remblai	Abandon	Description : Limon argileux gris contenant des cailloux et graviers siliceux. Homogène et assez compact. Interprétation : Comblement terminal de F335.		YD0101
310	30	335	Remblai	Abandon	Description : Argile gris-vert avec points d'oxydations oranges (inclusions Fe-Mg couleur rouille). Homogène et très compact. Interprétation : Comblement primaire de F335.		YD0101
311	30	335	Creusement	Occupation	Description : Creusement de forme linéaire, d'orientation E/O présentant un profil en cuvette à bords relativement obliques. Interprétation : Creusement de F335.		YD0101
312	30	332	Remblai	Abandon	Description : Limon argileux brun-gris contenant des graviers siliceux ainsi que des inclusions Fe-Mg. Homogène et assez meuble. Interprétation : Comblement unique de F332.		YD0101
313	30	332	Creusement	Occupation	Description : Creusement de forme linéaire, d'orientation E/O présentant un profil en cuvette légèrement asymétrique. Interprétation : Creusement de F332.		YD0101
314	78	544	Remblai	Abandon	Description : Argile limoneuse grise contenant quelques inclusions siliceuses et beaucoup de traces d'oxydations Fe-Mg. Homogène et compact. Interprétation : Comblement unique de F544.	Terre cuite : 139	YD0054
315	78	544	Creusement	Occupation	Description : Creusement de forme linéaire, d'orientation E/O présentant un profil en cuvette à bords évasés et légèrement asymétriques. Interprétation : Creusement de F544.		YD0054
316	78	545	Remblai	Abandon	Description : Argile limoneuse grise contenant quelques cailloux siliceux. Homogène et peu compact. Interprétation : Comblement unique de F545.		YD0054
317	78	545	Creusement	Occupation	Description : Creusement de forme circulaire présentant un profil en cuvette légèrement asymétrique. Interprétation : Creusement de F545.		YD0054
318	77	517	Remblai	Abandon	Description : Limon brun homogène et peu compact contenant quelques fines inclusions calcaires. Interprétation : Comblement unique de F517.		YD0054
319	77	517	Creusement	Occupation	Description : Creusement de forme linéaire, d'orientation NO/SE présentant un profil en cuvette asymétrique. Interprétation : Creusement de F517.		YD0054
320	77	526	Remblai	Abandon	Description : Limon homogène et peu compact contenant quelques fines inclusions calcaires. Interprétation : Comblement terminal de F526.		YD0054
321	77	526	Remblai	Abandon	Description : Argile gris-orange homogène et compact (TN remanié). Interprétation : Comblement primaire de F526.		YD0054
322	77	526	Creusement	Occupation	Description : Creusement de forme linéaire, d'orientation NO/SE présentant un profil en cuvette à bords légèrement évasés. Interprétation : Creusement de F526.		YD0054
323	76	524	Remblai	Abandon	Description : Argile limoneuse grise, homogène et compacte, contenant quelques fines inclusions Fe-Mg et quelques graviers siliceux. Interprétation : Comblement unique de F524.	Poterie : 115	YD0054

US	TR	Fait	type US	type action	Description_interpret	Lots mob.	Parcelle
324	76	524	Creusement	Occupation	Description : Creusement de forme linéaire, d'orientation NO/SE présentant un profil en auge à rebords asymétriques et obliques. Interprétation : Creusement de F524.		YD0054
325	66	463	Remblai	Occupation	Description : Lit de pierres calcaires (2 à 5 cm) et de blocs siliceux (d'environ 10 cm de longueur) pris dans une matrice limoneuse brun-gris. Interprétation : Comblement lié à l'utilisation du chemin F463.		YD0101
326	66	463	Creusement	Occupation	Description : Creusement/interface de forme linéaire et d'orientation N/S, présentant un profil arasé peu perceptible. Interprétation : Creusement/interface peu perceptible du chemin F463.		YD0101
327	74	520	Remblai	Abandon	Description : Limon argileux brun-gris, homogène et compact, contenant quelques pierres siliceuses et de fines traces d'oxydation Fe-Mg sur le fond de couche. Interprétation : Comblement unique de F520.		YD0054
328	74	520	Creusement	Occupation	Description : Creusement de forme linéaire, d'orientation NE/SO présentant un profil en cuvette légèrement asymétrique. Interprétation : Creusement de F520.		YD0054
329	74	521	Remblai	Abandon	Description : Limon argileux brun-gris, homogène et compact, contenant quelques pierres siliceuses et de fines traces d'oxydation Fe-Mg sur le fond de couche. Interprétation : Comblement unique de F521.		YD0054
330	74	521	Creusement	Occupation	Description : Creusement de forme linéaire, d'orientation NE/SO présentant un profil en cuvette. Interprétation : Creusement de F521.		YD0054
331	77		Remblai	Occupation	Description : Limon brun-gris charbonneux, homogène et peu compact, contenant quelques pierres siliceuses, des fragments de TCA et quelques scories de forge. Interprétation : Remblai d'occupation venant napper le fossé F533.	Métal : 319 Terre cuite : 133	YD0054
332	77	533	Remblai	Abandon	Description : Limon argileux gris foncé, homogène et peu compact, contenant quelques inclusions de CDB, des fragments de céramique, de TCA et de scories. Interprétation : Comblement unique de F533.	Poterie : 322 Métal : 230, 314 Terre cuite : 129	YD0054
333	77	533	Creusement	Occupation	Description : Creusement de forme linéaire, d'orientation E/O présentant un profil en cuvette très évasé et arasé. Interprétation : Creusement de F533.		YD0054
334	77	527	Remblai	Abandon	Description : Argile limoneuse grise contenant quelques inclusions siliceuses. Homogène et compact. Interprétation : Comblement unique de F527.		YD0054
335	77	527	Creusement	Occupation	Description : Creusement de forme linéaire, d'orientation N/S présentant un profil en cuvette. Interprétation : Creusement de F527.		YD0054
336	77	525	Remblai	Abandon	Description : Limon brun, homogène et compact contenant quelques inclusions siliceuses. Interprétation : Comblement terminal de F525.		YD0054
337	77	525	Remblai	Abandon	Description : Pierres siliceuses de 10 à 20 cm de longueur prises dans une matrice limoneuse brun-gris. Interprétation : Comblement primaire de F525.		YD0054
338	77	525	Creusement	Occupation	Description : Creusement de forme linéaire, d'orientation NO/SE présentant un profil en cuvette irrégulier et très asymétrique. Interprétation : Creusement de F525.		YD0054
339	74	513	Remblai	Abandon	Description : Argile limoneuse grise à noire contenant quelques graviers siliceux, des scories et de la céramique. Un prélèvement pour identification de battitures y a été effectué. Interprétation : Comblement unique de F513.	Métal : 312	YD0054
340	74	513	Creusement	Occupation	Description : Creusement de forme subrectangulaire présentant un profil très arasé à fond plat. Interprétation : Creusement de F513.		YD0054
341	73	499	Remblai	Abandon	Description : Limon brun, homogène et peu compact, contenant un fragment de verre de bouteille (non ramassé). Interprétation : Comblement unique de F499.		YD0054
342	73	499	Creusement	Occupation	Description : Creusement de forme ovoïde présentant un profil en cuvette à fond plat et aux bords asymétriques. Interprétation : Creusement de F499.		YD0054



US	TR	Fait	type US	type action	Description_interpret	Lots mob.	Parcelle
343	60	442	Remblai	Abandon	Description : Limon argileux gris contenant des inclusions de CDB, de TC, de cailloux siliceux et calcaire, et beaucoup de fragments de céramique. Interprétation : Comblement terminal de F442.	Poterie : 72 Faune : 174 Lithique : 195	YD0101
344	60	442	Remblai	Abandon	Description : Limon argileux noir contenant beaucoup de CDB et quelques inclusions de TC. Interprétation : Comblement intermédiaire de F442.		YD0101
345	60	442	Remblai	Abandon	Description : Limon argileux brun contenant des inclusions de TC et de Fe-Mg. Interprétation : Comblement primaire de F442.		YD0101
346	60	442	Creusement	Occupation	Description : Creusement de forme ovale présentant un profil diffus en cuvette irrégulière et aux bords très évasés. Interprétation : Creusement de F442.		YD0101
347	75	523	Remblai	Abandon	Description : Limon brun clair contenant des inclusions de CDB, de TC et de cailloux. Homogène et assez compact. Interprétation : Comblement terminal de F523.		YD0054
348	75	523	Remblai	Abandon	Description : Limon brun clair contenant des inclusions de CDB, de TC et de cailloux. Homogène et assez compact. Interprétation : Comblement primaire de F523.		YD0054
349	75	523	Creusement	Occupation	Description : Creusement de forme linéaire, d'orientation NE/SO et présentant un profil en cuvette à bords asymétriques et légèrement irréguliers. Interprétation : Creusement de F523.		YD0054
350	74	515	Remblai	Abandon	Description : Limon brun gris homogène contenant des inclusions de CDB, de graves siliceuses et de TCA. Interprétation : Comblement unique de F515.		YD0054
351	74	515	Creusement	Occupation	Description : Creusement de forme linéaire, d'orientation E/O, présentant un profil en cuvette à bords obliques. Interprétation : Creusement de F515.		YD0054
352	74	509	Remblai	Abandon	Description : Limon brun-gris très hétérogène contenant beaucoup d'inclusions de CDB, de TC, de graviers siliceux, avec poches d'argile. Interprétation : Comblement de F509.	Poterie : 23 Métal : 313 Terre cuite : 145	YD0054
353	74	509	Remblai	Abandon	Description : Argile orange contenant de la grave siliceuse en poche (effondrement de paroi). Interprétation : Effondrement de paroi de F509.		YD0054
354	74	509	Creusement	Occupation	Description : Creusement de forme linéaire, d'orientation E/O, présentant un profil en cuvette à bords obliques. Interprétation : Creusement de F509.		YD0054
355	77	535	Remblai	Abandon	Description : Limon argileux gris contenant des inclusions de CDB, de TC et de TCA. Homogène et assez compact. Interprétation : Comblement unique de F535.		YD0054
356	77	535	Creusement	Occupation	Description : Creusement de forme linéaire, d'orientation E/O, présentant un profil en cuvette à bords obliques. Interprétation : Creusement de F535.		YD0054
357	77	537	Remblai	Abandon	Description : Limon argileux gris contenant des inclusions de CDB, de TC et de scorie. Contient aussi des fragments de céramique. Homogène et assez compact. Interprétation : Comblement terminal de F537.	Poterie : 82 Métal : 316	YD0054
358	77	537	Remblai	Abandon	Description : Limon argileux gris brun hétérogène contenant des poches d'argile et des inclusions Fe-Mg. Interprétation : Comblement primaire de F537.		YD0054
359	77	537	Creusement	Occupation	Description : Creusement de forme linéaire, d'orientation E/O, présentant un profil en cuvette à bords obliques légèrement asymétriques. Interprétation : Creusement de F537.		YD0054
360	77	532	Remblai	Abandon	Description : Limon brun-gris contenant des inclusions de CDB, de TCA et des fragments de céramique. Homogène et assez compact. Interprétation : Remblai unique de F532.	Poterie : 67 Terre cuite : 128	YD0054
361	77	532	Creusement	Occupation	Description : Creusement de forme linéaire, d'orientation N/S, présentant un profil en cuvette à bords très évasés et asymétriques. Interprétation : Creusement de F532.		YD0054
362	73	507	Remblai	Abandon	Description : Limon brun-gris très hétérogène contenant des inclusions de CDB, de TC, de graviers siliceux, avec poches d'argile jaunes. Interprétation : Comblement unique de F507.		YD0054

US	TR	Fait	type US	type action	Description_interpret	Lots mob.	Parcelle
363	73	507	Creusement	Occupation	Description : Creusement de forme linéaire, d'orientation E/O, présentant un profil en cuvette à bords obliques. Interprétation : Creusement de F507.		YD0054
364	73	505	Remblai	Abandon	Description : Limon gris-beige homogène contenant beaucoup de graviers siliceux. Interprétation : Comblement unique de F505.		YD0054
365	73	505	Creusement	Occupation	Description : Creusement de forme linéaire, d'orientation NO/SE, présentant un profil en auge à bords obliques. Interprétation : Creusement de F505.		YD0054
366	73	506	Remblai	Abandon	Description : Limon brun-gris hétérogène contenant des inclusions de CDB, de TC, de graviers siliceux, avec poches d'argile brunes. Interprétation : Comblement unique de F506.		YD0054
367	73	506	Creusement	Occupation	Description : Creusement de forme linéaire, d'orientation N/S, présentant un profil en cuvette à bords évasés et légèrement asymétriques. Interprétation : Creusement de F506.		YD0054
368	77	528	Remblai	Occupation	Description : Quelques cailloux siliceux et calcaires pris dans une matrice de limon brun, contenant quelques inclusions de CDB. Interprétation : Comblement lié à l'utilisation de F528.	Faune : 183 Terre cuite : 140	YD0054
369	77	528	Creusement	Occupation	Description : Creusement/interface de forme linéaire et d'orientation NE/SO, présentant un profil arasé et irrégulier. Interprétation : Creusement/interface de F528.		YD0054
370	3	452	Remblai	Démolition	Description : Limon sableux brun-gris, meuble et hétérogène, contenant de nombreux cailloux et graviers, des boulettes de mortier sableux blanc et des inclusions de TCA. Interprétation : Comblement terminal de F452.	Poterie : 110 Faune : 172	YD0101
371	3	452	Remblai	Démolition	Description : Limon sableux gris-clair, meuble et hétérogène, contenant de nombreux cailloux et graviers, des boulettes de mortier sableux blanc, de mortier rose, de mortier faiblement sableux blanc, ainsi que des inclusions de TCA. Interprétation : Comblement intermédiaire de F452.		YD0101
372	3	452	Remblai	Démolition	Description : Limon sableux beige-gris, meuble et hétérogène, contenant de nombreux cailloux et graviers, des boulettes de mortier orange et blanc et des inclusions de TCA. Interprétation : Comblement intermédiaire de F452.		YD0101
373	3	452	Remblai	Démolition	Description : Sable gris (mortier dégradé) contenant des cailloux et graviers. Hétérogène et meuble. Interprétation : Comblement intermédiaire de F452.		YD0101
374	3	452	Creusement	Démolition	Description : Creusement de forme rectangulaire présentant un profil en auge aux parois verticales et à fond asymétrique. Interprétation : Creusement de F452.		YD0101
375	3	453	Remblai	Abandon	Description : Limon argileux brun foncé contenant des inclusions de TCA, de graviers et de CDB. Homogène et compact. Interprétation : Comblement unique de F453.	Poterie : 56, 69, 70 Faune : 178	YD0101
376	3	453	Creusement	Occupation	Description : Creusement de forme subcirculaire présentant un profil en cuvette asymétrique aux bords évasés et arasés. Interprétation : Creusement de F453.		YD0101
377	3		Sol	Construction	Description : Radier de cailloux siliceux (<15 cm) pris dans une matrice argileuse brune contenant des inclusions de CDB et de TC. Interprétation : Radier de sol.	Poterie : 35	YD0101
378	3		Sol	Occupation	Description : Fin niveau de limon argileux brun contenant de très nombreux graviers calcaires. Interprétation : Fin niveau d'occupation (ou de sol)	Poterie : 89	YD0101
379	3	39			Description : Blocs et cailloux siliceux non équarris et non organisés, de 5 à 25 cm de longueur, mêlés à un limon argileux brun-gris contenant de nombreuses inclusions siliceuses millimétriques et des poches de mortier grossier blanc pulvérulent. Interprétation : Radier de fondation du mur F39.		YD0101
380	3	38	Maçonnerie	Construction	Description : Blocage de cailloux calcaires bruts noyés dans un mortier de chaux sableux gris. Interprétation : Reste de semelle de fondation du mur F38, largement récupéré par F452.		YD0101
381	3	38	Creusement	Construction	Description : Creusement linéaire d'orientation N/S et perpendiculaire au murs F461 et F37, d'une largeur de 72 cm et de 10 cm de profondeur observable. Interprétation : Creusement de la tranchée de fondation du mur F38.		YD0101

US	TR	Fait	type US	type action	Description_interpret	Lots mob.	Parcelle
382	3	39	Creusement	Construction	Description : Creusement linéaire d'orientation N/S, recoupé par les murs perpendiculaires F37 et 461, d'une largeur de 70 cm et de 20 cm de profondeur observable. Interprétation : Creusement de la tranchée de fondation du mur F39.		YD0101
383	3		Remblai	Occupation	Description : Limon argileux brun contenant des graviers et de nombreux fragments de céramique. Homogène et compact. Interprétation : Niveau d'occupation antérieur à l'implantation de F39.	Poterie : 26, 65, 66	YD0101
384	27	324	Remblai	Abandon	Description : Limon argileux gris très fin contenant de gros cailloux calcaires (10 à 25 cm). Homogène et assez compact. Interprétation : Comblement unique de F324.		YD0101
385	27	324	Creusement	Occupation	Description : Creusement de forme circulaire présentant un profil en cuvette à fond relativement plat. Interprétation : Creusement de F324.		YD0101
386	38	384	Remblai	Abandon	Description : Limon argileux brun-gris homogène contenant quelques cailloux calcaires et des fragments de céramique. Interprétation : Comblement terminal de F384.	Poterie : 10	YD0101
387	38	384	Remblai	Abandon	Description : Limon argileux brun-gris contenant des oxydations Fe-Mg de couleur rouille. Interprétation : Comblement primaire de F384.		YD0101
388	38	384	Creusement	Occupation	Description : Creusement de forme linéaire, d'orientation N/S, présentant un profil en cuvette à bords obliques légèrement asymétriques. Interprétation : Creusement de F384.		YD0101
389	71	490	Remblai	Abandon	Description : Limon gris contenant de nombreux cailloux siliceux et quelques fragments d'ardoise. Interprétation : Comblement unique de F490.	Poterie : 76	YD0054
390	71	490	Creusement	Occupation	Description : Creusement assez irrégulier présentant un profil en cuvette arasé et irrégulier Interprétation : Creusement de F490.		YD0054
391	73	500	Remblai	Abandon	Description : Argile limoneuse gris-foncé contenant beaucoup de fragments de CDB. Homogène. Interprétation : Comblement de F500.		YD0054
392	73	500	Creusement	Occupation	Description : Creusement subrectangulaire présentant un profil arasé (et partiel car sous berme) en cuvette à fond relativement plat. Interprétation : Creusement de F500.		YD0054
393	72	491	Remblai	Abandon	Description : Limon brun contenant quelques fragments de TCA, de céramique et d'ardoises, ainsi que des inclusions siliceuses (millimétriques et centimétriques). Homogène et peu compact. Interprétation : Comblement terminal de F491.	Poterie : 11 Métal : 317 Terre cuite : 130 Lithique : 194	YD0054
394	72	491	Remblai	Abandon	Description : Argile brune contenant quelques cailloux et pierres siliceux, des fragments de TCA et des traces d'oxydations Fe-Mg. Hétérogène et compact. Interprétation : Comblement intermédiaire de F491.		YD0054
395	72	491	Remblai	Abandon	Description : Argile grise contenant beaucoup de cailloux siliceux, et des traces d'oxydations Fe-Mg. Hétérogène et compact. Interprétation : Comblement intermédiaire de F491.		YD0054
396	72	491	Remblai	Abandon	Description : Argile brune contenant des cailloux siliceux, et des traces d'oxydations Fe-Mg. Hétérogène et compact. Interprétation : Comblement intermédiaire de F491.		YD0054
397	72	491	Remblai	Abandon	Description : Argile brune contenant beaucoup de cailloux calcaires compacte et homogène. Interprétation : Comblement intermédiaire de F491 issu d'un piétinement lié à l'utilisation de cette fosse?		YD0054
398	72	491	Remblai	Abandon	Description : Argile sableuse gris-orange contenant des traces d'oxydations Fe-Mg et d'hydromorphie. Homogène et assez compact. Interprétation : Comblement intermédiaire de F491.		YD0054
399	72	491	Remblai	Abandon	Description : Argile sableuse grise contenant quelques CDB. Homogène et assez compact. Interprétation : Comblement intermédiaire de F491.		YD0054
400	72	491	Remblai	Abandon	Description : Argile brune contenant des cailloux siliceux et calcaires, et des traces d'oxydations Fe-Mg. Hétérogène et compact. Interprétation : Comblement intermédiaire de F491.		YD0054
401	72	491	Remblai	Abandon	Description : Argile brune contenant beaucoup de cailloux calcaires. Hétérogène et compact. Interprétation : Comblement primaire de F491.		YD0054

US	TR	Fait	type US	type action	Description_interpret	Lots mob.	Parcelle
402	2	427	Maçonnerie	Construction	Description : Pierres et cailloux siliceux de petites tailles pris dans un mélange de limon brun-gris et mortier grossier blanc-beige. Interprétation : Maçonnerie constituant le mur F427		YD0101
403	2	427	Creusement	Construction	Description : Creusement linéaire d'orientation E/O, peu observable. Interprétation : Creusement peu observable de la tranchée de fondation du mur F427.		YD0101
404	2		Remblai	Occupation	Description : Gros blocs calcaires et siliceux mêlés à du limon argileux brun-gris. Interprétation : Empierrement se situant le long du côté ouest du mur F225 et le long du côté sud du mur F427.	Poterie : 50	YD0101
405	72	491	Creusement	Occupation	Description : Très large creusement irrégulier dont le côté nord-ouest sondé présente un bord en profil en cuvette à ressaut plat supérieur. Le fond n'a pu être observé. Interprétation : Creusement de F491.		YD0054
406	1	9	Maçonnerie	Construction	Description : Pierres calcaires comprises entre 5 et 25 cm de longueur avec terre limoneuse brune en infiltration. Interprétation : Restes de la fondation du mur F9 (certainement en tranchée aveugle) observable seulement sur 25 cm de profondeur.		YD0101
407	1	9	Creusement	Construction	Description : Creusement linéaire de la tranchée de fondation du mur F9, d'orientation E/O et perpendiculaire à la tranchée de fondation de F10, d'une largeur de 75 cm et de 25 cm de profondeur. Interprétation : Creusement du mur F9.		YD0101
408	1	10	Maçonnerie	Construction	Description : Pierres calcaires comprises entre 5 et 25 cm de longueur avec terre limoneuse brun-gris en infiltration. Il est à noter que le rang de pierres inférieur, directement sur le TN, est constitué de pierres plus grandes que celles comprises dans les 2 rangs supérieurs. De même, le rang supérieur de pierres est pris dans un mortier de chaux blanc-gris grossier. Interprétation : Restes de la fondation du mur F10 (certainement en tranchée aveugle) observable seulement sur 40 cm de profondeur.		YD0101
409	1	10	Creusement	Construction	Description : Creusement linéaire de la tranchée de fondation du mur F10, d'orientation N/S et perpendiculaire à la tranchée de fondation de F9, d'une largeur de 75 cm et de 40 cm de profondeur observable. Interprétation : Creusement du mur F10.		YD0101
410	3		Décapage	Passe mécanique	Description : Limon argileux brun-gris foncé contenant de rares cailloux siliceux (<5cm), quelques inclusions Fe-Mg, de TC et de CDB et des fragments de céramique. Plutôt homogène et meuble. Interprétation : US comprise entre F33 et F31 (correspond à US "H" sur croquis TR 3)	Poterie : 46, 51 Faune : 182	YD0101
411	32	351	Décapage	Passe mécanique	Description : US de ramassage de surface de F351. Interprétation : Couche supérieure de la mare F351.	Poterie : 12	YD0101
412	2	398	Décapage	Passe mécanique	Description : US de ramassage de surface de F398. Interprétation : Couche unique de la fosse F398 qui se situe sur les murs F25 et F26.	Poterie : 18 Verre : 186	YD0101
413	34	560	Décapage	Passe mécanique	Description : US de ramassage de surface de F560, ayant livrée beaucoup de fragments de céramique. Interprétation : Couche supérieure de la mare F560.	Poterie : 21	YD0101
414	2		Décapage	Passe mécanique	Description : Limon gris brun avec présence de fragments de céramique. US de ramassage de surface. Interprétation : Couche située aux abords est du mur F225	Poterie : 33 Faune : 180 Métal : 237	YD0101
416	3	459	Décapage	Passe mécanique	Description : US de ramassage de surface de F459. Interprétation : Couche supérieure de F459.	Poterie : 37	YD0101
417	3		Décapage	Passe mécanique	Description : US de décapage sise au-dessus de F37. Interprétation : US décapage	Poterie : 48 Métal : 236	YD0101
418	3	55	Décapage	Passe mécanique	Description : US de ramassage de surface de F55. Interprétation : Couche supérieure de F55.	Poterie : 4	YD0101
419	4	78	Décapage	Passe mécanique	Description : US de ramassage de surface de F78. Interprétation : Couche supérieure de F78.	Terre cuite : 131	YD0101
420	74	567	Décapage	Passe mécanique	Description : US de ramassage de surface de F567. Interprétation : Couche supérieure de F567.	Poterie : 47	YD0054
421	3		Décapage	Passe mécanique	Description : US de décapage sise au-dessus de F44. Interprétation : US décapage	Poterie : 71	YD0101
422	3	44	Maçonnerie	Construction	Description : Blocs et cailloux siliceux non équarris et non organisés, de 5 à 25 cm de longueur, mêlés à un limon argileux brun-gris contenant de nombreuses inclusions siliceuses millimétriques et des poches de mortier grossier blanc pulvérulent. Interprétation : Radier de fondation du mur F44.	Poterie : 34	YD0101

US	TR	Fait	type US	type action	Description_interpret	Lots mob.	Parcelle
423	3	44	Creusement	Construction	Description : Creusement linéaire de la tranchée de récupération du mur F44, d'orientation N/S et perpendiculaire à la tranchée de récupération F43, d'une largeur de 80 cm. Interprétation : Creusement de la tranchée de construction du mur F44.		YD0101
424	3	41	Remblai	Démolition	Description : Comblement constitué d'un limon brun-gris, de cailloux calcaires, de boulettes de mortier blanc-gris et orange et de rares inclusions de TCA. Interprétation : Comblement de la tranchée de récupération du mur F41.		YD0101
425	3	41	Creusement	Démolition	Description : Creusement linéaire de la tranchée de récupération du mur F41, d'orientation N/S et perpendiculaire à la tranchée de récupération F40, d'une largeur de 65 cm. Interprétation : Creusement de la tranchée de récupération du mur F41.		YD0101
426	3	42	Remblai	Démolition	Description : Comblement constitué d'un limon brun-gris, de cailloux calcaires, de boulettes de mortier blanc-gris et orange et de rares inclusions de TCA. Interprétation : Comblement de la tranchée de récupération du mur F42.		YD0101
427	3	42	Creusement	Démolition	Description : Creusement linéaire de la tranchée de récupération du mur F42, d'orientation N/S et perpendiculaire à la tranchée de récupération F40, d'une largeur de 70 cm. Interprétation : Creusement de la tranchée de récupération du mur F42.		YD0101
428	3	40	Remblai	Démolition	Description : Comblement constitué d'un limon brun-gris, de cailloux calcaires, de boulettes de mortier blanc-gris et orange et de rares inclusions de TCA. Interprétation : Comblement de la tranchée de récupération du mur F40.		YD0101
429	3	40	Creusement	Démolition	Description : Creusement linéaire de la tranchée de récupération du mur F40, d'orientation E/O et perpendiculaire aux tranchées de récupération F41 et 42, d'une largeur de 70 cm. Interprétation : Creusement de la tranchée de récupération du mur F40.		YD0101
430	3	43	Remblai	Démolition	Description : Comblement constitué d'un limon brun-gris, de cailloux calcaires, de boulettes de mortier blanc-gris et orange et de rares inclusions de TCA. Interprétation : Comblement de la tranchée de récupération du mur F43.		YD0101
431	3	43	Creusement	Démolition	Description : Creusement linéaire de la tranchée de récupération du mur F43, d'orientation E/O et perpendiculaire à la tranchée de récupération F44, d'une largeur de 70 cm. Interprétation : Creusement de la tranchée de récupération du mur F43.		YD0101
432	2		Décapage	Passe mécanique	Description : US de décapage dans fine couche limoneuse brun-gris située à l'extrémité nord-est de la tranchée Tr.2. Interprétation : US décapage.	Poterie : 80, 81 Métal : 240 Terre cuite : 156	YD0101
433	73	570	Décapage	Passe mécanique	Description : US de décapage de F570. Interprétation : US décapage.	Poterie : 93 Métal : 318	YD0054
434	5	554	Décapage	Passe mécanique	Description : US de décapage. Interprétation : US décapage de F554.	Poterie : 92	YD0055
435	3		Décapage	Passe mécanique	Description : US de décapage d'une nappe de limon brun-gris au nord de l'angle formé par les murs F43 et 44. Interprétation : US décapage.	Poterie : 95	YD0101
436	1		Remblai	Démolition	Description : Limon brun-gris contenant des blocs calcaires, des fragments de TCA et des boulettes de mortier (fragments céramique) au sud-ouest de F9. Interprétation : Correspond certainement à une US de démolition (=US1 sur ardoise photo et croquis d'enregistrement papier).	Poterie : 97 Faune : 175	YD0101
437	3		Décapage	Passe mécanique	Description : US de décapage d'une nappe de limon brun-gris au nord de F40. Interprétation : US décapage.	Poterie : 74	YD0101
439	3	466	Décapage	Passe mécanique	Description : US de décapage de le fosse F466 Interprétation : US décapage.	Poterie : 106	YD0101
440	2	14	Décapage	Passe mécanique	Description : US de décapage de le fosse F14. Interprétation : US décapage.	Poterie : 116 Verre : 185	YD0101

US	TR	Fait	type US	type action	Description_interpret	Lots mob.	Parcelle
441	5	85	Décapage	Passe mécanique	Description : US de décapage du fossé F85. Interprétation : US décapage.	Poterie : 117 Terre cuite : 144	YD0101
442	38		Décapage	Isolat	Description : US créée pour isolat n°10. Interprétation : US d'isolat.	Poterie : 149 Terre cuite : 150	YD0101
443	5		Décapage	Isolat	Description : US créée pour isolat n°12. Interprétation : US d'isolat.	Poterie : 121	YD0101
444	77	529	Décapage	Isolat	Description : US créée pour isolat n°15. US équivalente à l'US de comblement de F529 (fossé dans la continuité de F514). Interprétation : US d'isolat.	Poterie : 120	YD0101
445	6		Décapage	Isolat	Description : US créée pour isolat n°1. Interprétation : US d'isolat.	Poterie : 122 Lithique : 197	YD0055
446	25		Décapage	Isolat	Description : US créée pour isolat n°5. Interprétation : US d'isolat.	Métal : 228 Terre cuite : 152	YD0101
447	25		Décapage	Isolat	Description : US créée pour isolat n°3. Interprétation : US d'isolat.	Terre cuite : 151	YD0101
448	25		Décapage	Isolat	Description : US créée pour isolat n°4. Interprétation : US d'isolat.	Poterie : 123	YD0101
449	69		Décapage	Isolat	Description : US créée pour isolat n°11. Interprétation : US d'isolat.	Poterie : 124	YD0054
450	73		Décapage	Isolat	Description : US créée pour isolat n°13. Interprétation : US d'isolat.	Terre cuite : 153 Lithique : 193	YD0054
451	5	478	Décapage	Passe mécanique	Description : US de décapage dans laquelle quelques fragments d'ossements humains (notamment os longs des membres inférieurs) sont visibles. Interprétation : US décapage de F478.	Poterie : 154, 155	YD0055
452	2	397	Décapage	Passe mécanique	Description : US de décapage de la fosse F397. Interprétation : US décapage.	Poterie : 36 Métal : 234 Terre cuite : 158	YD0101
453	3	30	Décapage	Passe mécanique	Description : US de décapage du drain F30. Interprétation : US décapage.	Terre cuite : 159	YD0101
454	77	534	Remblai	Abandon	Description : Limon gris brun homogène et assez meuble. Interprétation : Comblement unique de la fosse F534		YD0054
455	77	534	Squelette	Occupation	Description : Squelette animal. Interprétation : Squelette animal compris dans la fosse F534	Faune : 160	YD0054
456	77	534	Creusement	Occupation	Description : Creusement ovoïde et diffus en cuvette très arasée. Interprétation : Creusement de la fosse F534		YD0054
457	1		Remblai	Démolition	Description : Limon brun-gris contenant des blocs calcaires, quelques fragments de TCA et et beaucoup de boulettes de mortier (fragments faune) au sud de F9. Interprétation : Correspond certainement à une US de démolition (=US2 sur ardoise photo et croquis d'enregistrement papier).	Faune : 176	YD0101
458	1		Couche d'occupation	Occupation	Description : Limon argileux brun-gris contenant quelques fragments de céramique à l'ouest des US 457 et 436. Interprétation : Semble correspondre à une éventuelle US d'occupation (=US3 sur ardoise photo et croquis d'enregistrement papier).	Métal : 226	YD0101
459	26	318	Remblai	Abandon	Description : Limon argileux brun-gris contenant quelques fins graviers. Homogène et assez compact. Interprétation : Comblement de F318.		YD0101
460	26	318	Squelette	Occupation	Description : Squelette de bovin très émiétté. Interprétation : Squelette de bovin de la fosse F318	Faune : 179	YD0101
461	26	318	Creusement	Occupation	Description : Creusement de forme oblongue présentant un profil en cuvette à bords évasés et très arasés. Interprétation : Creusement de la fosse F318		YD0101
462	3		Décapage	Passe mécanique	Description : US de décapage sise au-dessus de F34. Interprétation : US décapage	Faune : 184 Métal : 222	YD0101
463	1		Décapage	Passe mécanique	Description : US de décapage sise au-dessus de F9. Interprétation : US décapage	Métal : 229 Verre : 187	YD0101
464	5	102	Remblai	Abandon	Description : Limon argileux brun-gris contenant quelques graviers siliceux. Homogène et assez compact. Interprétation : Comblement de F102.	Métal : 223	YD0055

US	TR	Fait	type US	type action	Description_interpret	Lots mob.	Parcelle
465	5	102	Squelette	Occupation	Description : Squelette humain en position de décubitus dorsal, tête à l'ouest et pieds à l'est. Matière osseuse très altérée (fragmentation++). Interprétation : Squelette de F102.		YD0055
466	5	102	Creusement	Occupation	Description : Creusement de forme oblongue (orientation E/O) présentant un profil très diffus et arasé (moins de 10 cm de profondeur). Interprétation : Creusement de la sépulture F102.		YD0055
467	5	103	Remblai	Abandon	Description : Limon argileux brun-gris contenant quelques graviers siliceux. Homogène et assez compact. Interprétation : Comblement de F103.		YD0055
468	5	103	Squelette	Occupation	Description : Squelette humain en position de décubitus dorsal, tête à l'ouest et pieds à l'est. Matière osseuse très altérée (fragmentation++). Interprétation : Squelette de F103.		YD0055
469	5	103	Creusement	Occupation	Description : Creusement de forme oblongue (orientation E/O) présentant un profil très diffus et arasé (moins de 10 cm de profondeur). Interprétation : Creusement de la sépulture F103.		YD0055
470	5	106	Remblai	Abandon	Description : Limon argileux brun-gris contenant quelques graviers siliceux. Homogène et assez compact. Interprétation : Comblement de F106.		YD0055
471	5	106	Squelette	Occupation	Description : Squelette humain en position de décubitus dorsal, tête à l'ouest et pieds à l'est. Matière osseuse très altérée (fragmentation++). Interprétation : Squelette de F106.		YD0055
472	5	106	Creusement	Occupation	Description : Creusement de forme oblongue (orientation E/O) présentant un profil très diffus et arasé (moins de 10 cm de profondeur). Interprétation : Creusement de la sépulture F106.		YD0055
473	33		Décapage	Isolat	Description : US créée pour isolat n°7. Interprétation : US d'isolat.	Lithique : 198	YD0054
474			Décapage	Isolat	Description : US créée pour isolat n°14 trouvé sur berme sud-est de la tranchée 26, à l'ouest de l'extension. Interprétation : US d'isolat.	Lithique : 199	YD0054
475			Décapage	Isolat	Description : US créée pour isolat (lot 200 - monnaie) trouvé en surface de labours entre Tr.2 et Tr.3 au niveau de F.31 (Tr.3). Interprétation : US d'isolat.	Monnaies : 200	YD0054
476			Décapage	Isolat	Description : US créée pour isolat (lot 201 - monnaie) trouvé dans les déblais de l'extension de Tr.3, proche de F.38 (Tr.3). Interprétation : US d'isolat.	Monnaies : 201	YD0054
477			Décapage	Isolat	Description : US créée pour isolat (lot 202 - monnaie) trouvé en surface de labours entre Tr.1 et Tr.2, au niveau de F.211 (Tr.1). Interprétation : US d'isolat.	Monnaies : 202	YD0054
478	3		Décapage	Isolat	Description : US créée pour isolat (lot 203 - monnaie) trouvé dans la Tr.3, à 10 cm de F.41. Interprétation : US d'isolat.	Monnaies : 203	YD0054
479			Décapage	Isolat	Description : US créée pour isolat (lot 204 - monnaie) trouvé en surface de labours, entre Tr.3 et Tr.4, au niveau de F.83 (Tr.4). Interprétation : US d'isolat.	Monnaies : 204	YD0054
480	1		Décapage	Isolat	Description : US créée pour isolat (lot 205 - monnaie) trouvé dans la Tr.1, proche de F.5 et F.6 (sondage 2). Interprétation : US d'isolat.	Monnaies : 205	YD0054
481			Décapage	Isolat	Description : US créée pour isolat (lot 206 - monnaie) trouvé en surface de labours, entre Tr.2 et Tr.3, au niveau de F.20 (Tr.2). Interprétation : US d'isolat.	Monnaies : 206	YD0054
482			Décapage	Isolat	Description : US créée pour isolat (lot 207 - monnaie) trouvé en surface de labours, entre Tr.3 et Tr.4, au niveau de F.48 (Tr.3). Interprétation : US d'isolat.	Monnaies : 207	YD0054
483			Décapage	Isolat	Description : US créée pour isolat (lot 208 - monnaie) trouvé dans les déblais de Tr.2, proche de F.27 (Tr.2). Interprétation : US d'isolat.	Monnaies : 208	YD0054
484	2		Décapage	Isolat	Description : US créée pour isolat (lot 209 - monnaie) trouvé dans la Tr.2, proche de F.225. Interprétation : US d'isolat.	Monnaies : 209	YD0054
485			Décapage	Isolat	Description : US créée pour isolat (lot 210 - monnaie) trouvé dans les déblais de Tr.1, proche de F.9 (Tr.1). Interprétation : US d'isolat.	Monnaies : 210	YD0054

US	TR	Fait	type US	type action	Description_interpret	Lots mob.	Parcelle
486			Décapage	Isolat	Description : US créée pour isolat (lot 211 - monnaie) trouvé en surface de labours, entre Tr.3 et Tr.4, au niveau de F.29 (Tr.4). Interprétation : US d'isolat.	Monnaies : 211	YD0054
487			Décapage	Isolat	Description : US créée pour isolat (lot 212 - monnaie) trouvé en surface de labours, entre Tr.3 et Tr.4, au niveau de F.83 (Tr.4). Interprétation : US d'isolat.	Monnaies : 212	YD0054
488	3		Décapage	Isolat	Description : US créée pour isolat (lot 213 - monnaie) trouvé dans la Tr.3, proche de F.46. Interprétation : US d'isolat.	Monnaies : 213	YD0054
489			Décapage	Isolat	Description : US créée pour isolat (lot 214 - monnaie) trouvé dans les déblais de Tr.1, proche de F.5 (Tr.1). Interprétation : US d'isolat.	Monnaies : 214	YD0054
490			Décapage	Isolat	Description : US créée pour isolat (lot 215 - monnaie) trouvé en surface de labours, entre Tr.2 et Tr.3, proche de F.230 (Tr.3). Interprétation : US d'isolat.	Monnaies : 215	YD0054
491			Décapage	Isolat	Description : US créée pour isolat (lot 216 - monnaie) trouvé en surface de labours, entre Tr.2 et Tr.3, au niveau de F.215 (Tr.2). Interprétation : US d'isolat.	Monnaies : 216	YD0054
492			Décapage	Isolat	Description : US créée pour isolat (lot 217 - monnaie) trouvé en surface de labours, entre Tr.2 et Tr.3, au niveau de F.32 (Tr.3). Interprétation : US d'isolat.	Monnaies : 217	YD0054
493			Décapage	Isolat	Description : US créée pour isolat (lot 218 - monnaie) trouvé en surface de labours, entre Tr.2 et Tr.3, au niveau de F.24 (Tr.2). Interprétation : US d'isolat.	Monnaies : 218	YD0054
494			Décapage	Isolat	Description : US créée pour isolat (lot 219 - monnaie) trouvé en surface de labours, entre Tr.4 et Tr.5, au niveau de F.80 (Tr.4). Interprétation : US d'isolat.	Monnaies : 219	YD0054
495			Décapage	Isolat	Description : US créée pour isolat (lot 220 - monnaie) trouvé dans les déblais de Tr.2, proche de F.27 (Tr.2). Interprétation : US d'isolat.	Monnaies : 220	YD0054
496			Décapage	Isolat	Description : US créée pour isolat (lot 221 - monnaie) trouvé en surface de labours, entre Tr.4 et Tr.5, au niveau de F.81 (Tr.4). Interprétation : US d'isolat.	Monnaies : 221	YD0054
497	5		Décapage	Passe mécanique	Description : US de décapage sise au-dessus de F132. Interprétation : US décapage		YD0055
498	3	455	Sol	Occupation	Description : US donnée à posteriori pour le matériel trouvé dans F455 ; F455 qui a été précédemment annulé et dont la couche constitutive réelle est l'US 377 ( "radier de cailloux siliceux (<15 cm) pris dans une matrice argileuse brune contenant des inclusions de CDB et de TC"). Interprétation : Radier de sol extérieur.	Métal : 243	YD0055
499			Décapage	Isolat	Description : US créée pour isolat (Lot 244 (métal détecteur) trouvé dans les déblais de la Tr1 à proximité de F11 Interprétation : US d'isolat.	Métal : 244	YD0055
500			Décapage	Isolat	Description : US créée pour isolat (Lot 245 (métal détecteur) trouvé dans les déblais de la Tr1 à proximité de F8 Interprétation : US d'isolat.	Métal : 245	YD0055
501			Décapage	Isolat	Description : US créée pour isolat (Lot 246 (métal détecteur)  Interprétation : US d'isolat.	Métal : 246	YD0055
502			Décapage	Isolat	Description : US créée pour isolat (Lot 247 (métal détecteur) trouvé dans les déblais de la Tr1, entre la Tr1 et la haie, à proximité de F9 Interprétation : US d'isolat.	Métal : 247	YD0055
503			Décapage	Isolat	Description : US créée pour isolat (Lot 248 (métal détecteur) trouvé entre le grillage et la Tr1 à proximité de F8 Interprétation : US d'isolat.	Métal : 248	YD0055
504			Décapage	Isolat	Description : US créée pour isolat (Lot 249 (métal détecteur) trouvé dans l'extension Tr1 à proximité de F5 Interprétation : US d'isolat.	Métal : 249	YD0055
505			Décapage	Isolat	Description : US créée pour isolat (Lot 250 (métal détecteur) trouvé dans l'extension de Tr1 à proximité de F5 Interprétation : US d'isolat.	Métal : 250	YD0055
506	1		Décapage	Isolat	Description : US créée pour isolat (Lot 251 (métal détecteur) trouvé dans la Tr1, à côté de F6 Interprétation : US d'isolat.	Métal : 251	YD0055



US	TR	Fait	type US	type action	Description_interpret	Lots mob.	Parcelle
507			Décapage	Isolat	Description : US créée pour isolat (Lot 252 (métal détecteur) trouvé en surface entre Tr1 et Tr2, à proximité de F26 Interprétation : US d'isolat.	Métal : 252	YD0055
508			Décapage	Isolat	Description : US créée pour isolat (Lot 253 (métal détecteur) trouvé en surface, entre Tr1 et Tr2, au niveau de F8 Interprétation : US d'isolat.	Métal : 253	YD0055
509			Décapage	Isolat	Description : US créée pour isolat (Lot 254 (métal détecteur) trouvé en surface entre Tr1 et Tr2, à proximité de F211 Interprétation : US d'isolat.	Métal : 254	YD0055
510			Décapage	Isolat	Description : US créée pour isolat (Lot 255 (métal détecteur) trouvé en surface, entre Tr1 et Tr2, à proximité de F211 Interprétation : US d'isolat.	Métal : 255	YD0055
511			Décapage	Isolat	Description : US créée pour isolat (Lot 256 (métal détecteur) trouvé en surface entre Tr1 et Tr2, au niveau de F24 Interprétation : US d'isolat.	Métal : 256	YD0055
512			Décapage	Isolat	Description : US créée pour isolat (Lot 257 (métal détecteur) trouvé en surface entre Tr1 et Tr2, à proximité de F211 Interprétation : US d'isolat.	Métal : 257	YD0055
513	2		Décapage	Isolat	Description : US créée pour isolat (Lot 258 (métal détecteur) trouvé en Tr2, contre F225 Interprétation : US d'isolat.	Métal : 258	YD0055
514			Décapage	Isolat	Description : US créée pour isolat (Lot 259 (métal détecteur) trouvé dans les déblais de Tr2, à proximité de F24 Interprétation : US d'isolat.	Métal : 259	YD0055
515			Décapage	Isolat	Description : US créée pour isolat (Lot 260 (métal détecteur) trouvé dans les déblais Tr2, entre F24 et F25 Interprétation : US d'isolat.	Métal : 260	YD0055
516			Décapage	Isolat	Description : US créée pour isolat (Lot 261 (métal détecteur) trouvé en surface entre Tr2 et Tr3, au niveau de F45 (à 5m) Interprétation : US d'isolat.	Métal : 261	YD0055
517			Décapage	Isolat	Description : US créée pour isolat (Lot 262 (métal détecteur) trouvé en surface, entre Tr2 et Tr3, au niveau de F43 Interprétation : US d'isolat.	Métal : 262	YD0055
518			Décapage	Isolat	Description : US créée pour isolat (Lot 263 (métal détecteur) trouvé en surface entre Tr2 et Tr3, proche de F31 et F32 Interprétation : US d'isolat.	Métal : 263	YD0055
519			Décapage	Isolat	Description : US créée pour isolat (Lot 264 (métal détecteur) trouvé en surface entre Tr2 et Tr3, au niveau de F44 Interprétation : US d'isolat.	Métal : 264	YD0055
520			Décapage	Isolat	Description : US créée pour isolat (Lot 265 (métal détecteur) trouvé en surface entre Tr2 et Tr3, au niveau de F43/F44 Interprétation : US d'isolat.	Métal : 265	YD0055
521			Décapage	Isolat	Description : US créée pour isolat (Lot 266 (métal détecteur) trouvé en surface entre Tr2 et Tr3, au niveau de F44 Interprétation : US d'isolat.	Métal : 266	YD0055
522			Décapage	Isolat	Description : US créée pour isolat (Lot 267 (métal détecteur) trouvé en surface entre Tr2 et Tr3, au niveau de F43 Interprétation : US d'isolat.	Métal : 267	YD0055
523	3		Décapage	Isolat	Description : US créée pour isolat (Lot 268 (métal détecteur) trouvé en Tr3, à côté de F32, entre F32 et F31 Interprétation : US d'isolat.	Métal : 268	YD0055
524	3		Décapage	Isolat	Description : US créée pour isolat (Lot 269 (métal détecteur) trouvé dans l'extension de Tr3, à côté de F39 (METAL 7) Interprétation : US d'isolat.	Métal : 269	YD0055
525	3		Décapage	Isolat	Description : US créée pour isolat (Lot 270 (métal détecteur) trouvé dans l'extension de Tr3, à côté de F38. METAL 9 Interprétation : US d'isolat.	Métal : 270	YD0055
526	3		Décapage	Isolat	Description : US créée pour isolat (Lot 271 (métal détecteur) trouvé Tr 3, à côté de F44. METAL 10 Interprétation : US d'isolat.	Métal : 271	YD0055
527	3		Décapage	Isolat	Description : US créée pour isolat (Lot 272 (métal détecteur) trouvé dans l'extension Tr3, à côté de F38 Interprétation : US d'isolat.	Métal : 272	YD0055

US	TR	Fait	type US	type action	Description_interpret	Lots mob.	Parcelle
528			Décapage	Isolat	Description : US créée pour isolat (Lot 273 (métal détecteur) trouvé en surface entre Tr3 et le grillage, proche de F49 Interprétation : US d'isolat.	Métal : 273	YD0055
529			Décapage	Isolat	Description : US créée pour isolat (Lot 274 (métal détecteur) trouvé en surface entre Tr3 et le grillage, proche de F49 Interprétation : US d'isolat.	Métal : 274	YD0055
530			Décapage	Isolat	Description : US créée pour isolat (Lot 275 (métal détecteur) trouvé dans les déblais de l'extension de Tr3, proche de F38 Interprétation : US d'isolat.	Métal : 275	YD0055
531			Décapage	Isolat	Description : US créée pour isolat (Lot 276 (métal détecteur) trouvé en surface entre Tr3 et Tr4, proche de F81 Interprétation : US d'isolat.	Métal : 276	YD0055
532			Décapage	Isolat	Description : US créée pour isolat (Lot 277 (métal détecteur) trouvé en surface entre Tr3 Tr4 au niveau de F84 Interprétation : US d'isolat.	Métal : 277	YD0055
533			Décapage	Isolat	Description : US créée pour isolat (Lot 278 (métal détecteur) trouvé en surface entre Tr3 et Tr4, au niveau de F33 Interprétation : US d'isolat.	Métal : 278	YD0055
534			Décapage	Isolat	Description : US créée pour isolat (Lot 279 (métal détecteur) trouvé en surface entre Tr3 et Tr4, au niveau de F129 Interprétation : US d'isolat.	Métal : 279	YD0055
535			Décapage	Isolat	Description : US créée pour isolat (Lot 280 (métal détecteur) trouvé en surface entre Tr3 et Tr4, au niveau de F83 Interprétation : US d'isolat.	Métal : 280	YD0055
536			Décapage	Isolat	Description : US créée pour isolat (Lot 281 (métal détecteur) trouvé en surface entre Tr3 et Tr4, au niveau de F42 Interprétation : US d'isolat.	Métal : 281	YD0055
537			Décapage	Isolat	Description : US créée pour isolat (Lot 282 (métal détecteur) trouvé en surface entre Tr3 et Tr4, à proximité de F49 Interprétation : US d'isolat.	Métal : 282	YD0055
538			Décapage	Isolat	Description : US créée pour isolat (Lot 283 (métal détecteur) trouvé en surface entre Tr3 et Tr4 au niveau de F30, côté Tr3 Interprétation : US d'isolat.	Métal : 283	YD0055
539			Décapage	Isolat	Description : US créée pour isolat (Lot 284 (métal détecteur) trouvé en surface entre Tr3 et Tr4, au niveau de F37 (côtéTr3) Interprétation : US d'isolat.	Métal : 284	YD0055
540			Décapage	Isolat	Description : US créée pour isolat (Lot 285 (métal détecteur) trouvé en surface entre Tr3 et Tr4, au niveau de F130(Tr4) Interprétation : US d'isolat.	Métal : 285	YD0055
541			Décapage	Isolat	Description : US créée pour isolat (Lot 286 (métal détecteur) trouvé en surface entre Tr3 et Tr4, proche de F29 (Tr4) Interprétation : US d'isolat.	Métal : 286	YD0055
542			Décapage	Isolat	Description : US créée pour isolat (Lot 287 (métal détecteur) trouvé en surface entre Tr3 et Tr4, au niveau de F38 (Tr3) Interprétation : US d'isolat.	Métal : 287	YD0055
543			Décapage	Isolat	Description : US créée pour isolat (Lot 288 (métal détecteur) trouvé en surface entre Tr3 et Tr4, au niveau de F83 (Tr4) Interprétation : US d'isolat.	Métal : 288	YD0055
544			Décapage	Isolat	Description : US créée pour isolat (Lot 289 (métal détecteur) trouvé en surface entre Tr3 et Tr4, au niveau de F48 Interprétation : US d'isolat.	Métal : 289	YD0055
545			Décapage	Isolat	Description : US créée pour isolat (Lot 291 (métal détecteur) trouvé en surface entre Tr5 et Tr6 à proximité de F133(Tr5) Interprétation : US d'isolat.	Métal : 291	YD0055
546			Décapage	Isolat	Description : US créée pour isolat (Lot 292 (métal détecteur) trouvé à proximité de F46 Interprétation : US d'isolat.	Métal : 292	YD0055
547			Décapage	Isolat	Description : US créée pour isolat (Lot 293 (métal détecteur) trouvé sous un tas de déblais Tr2 Interprétation : US d'isolat.	Métal : 293	YD0055
548			Décapage	Isolat	Description : US créée pour isolat (Lot 294 (métal détecteur) trouvé sous tas de déblais Sud, Tr2 Interprétation : US d'isolat.	Métal : 294	YD0055

US	TR	Fait	type US	type action	Description_interpret	Lots mob.	Parcelle
549			Décapage	Isolat	Description : US créée pour isolat (Lot 295 (métal détecteur) ; trouvé sous les déblais Tr2 Interprétation : US d'isolat.	Métal : 295	YD0055
550			Décapage	Isolat	Description : US créée pour isolat (Lot 296 (métal détecteur) ;trouvé Tr2, sous tas de déblais Sud Interprétation : US d'isolat.	Métal : 296	YD0055
551			Décapage	Isolat	Description : US créée pour isolat (Lot 297 (métal détecteur) trouvé Tr2, sous tas de déblais Sud Interprétation : US d'isolat.	Métal : 297	YD0055
552			Décapage	Isolat	Description : US créée pour isolat (Lot 298 (métal détecteur) trouvé Tr3, sous tas de déblais Sud Interprétation : US d'isolat.	Métal : 298	YD0055
553			Décapage	Isolat	Description : US créée pour isolat Interprétation : US d'isolat.	Métal : 299	YD0055
554			Décapage	Isolat	Description : US créée pour isolat (Lot 300 (métal détecteur) ;trouvé Tr3, sous tas de déblais Interprétation : US d'isolat.	Métal : 300	YD0055
555			Décapage	Isolat	Description : US créée pour isolat (Lot 301 (métal détecteur) ;trouvé Tr3, sous tas de déblais Sud Interprétation : US d'isolat.	Métal : 301	YD0055
556			Décapage	Isolat	Description : US créée pour isolat (Lot 302 (métal détecteur) hors tableau excel Thomas ; trouvé Tr3, sous tas de déblais Interprétation : US d'isolat.	Métal : 302	YD0055
557			Décapage	Isolat	Description : US créée pour isolat (Lot 303 (métal détecteur) ;trouvé déblais Tr1, proximité porche d'entrée Interprétation : US d'isolat.	Métal : 303	YD0055
558			Décapage	Isolat	Description : US créée pour isolat (Lot 304 (métal détecteur) ;trouvé Tr1, proximité porche d'entrée Interprétation : US d'isolat.	Métal : 304	YD0055
559			Décapage	Isolat	Description : US créée pour isolat (Lot 305 (métal détecteur) trouvé déblais Tr1 Interprétation : US d'isolat.	Métal : 305	YD0055
560			Décapage	Isolat	Description : US créée pour isolat (Lot 306 (métal détecteur) trouvé Tr1 sous tas de déblais Interprétation : US d'isolat.	Métal : 306	YD0055
561			Décapage	Isolat	Description : US créée pour isolat (Lot 307 (métal détecteur) trouvé Tr1 sous tas de déblais Sud Interprétation : US d'isolat.	Métal : 307	YD0055
562			Décapage	Isolat	Description : US créée pour isolat (Lot 308 (métal détecteur) trouvé dans les déblais de Tr1 Interprétation : US d'isolat.	Métal : 308	YD0055
563			Décapage	Isolat	Description : US créée pour isolat (Lot 309 (métal détecteur) trouvé dans les déblais de Tr1 Interprétation : US d'isolat.	Métal : 309	YD0055
564			Décapage	Isolat	Description : US créée pour isolat (Lot 310 (métal détecteur) trouvé Tr1, sous tas de déblais Nord Interprétation : US d'isolat.	Métal : 310	YD0055
565	70	486	Remblai	Abandon	Description : Limon argileux gris contenant quelques inclusions de CDB millimétriques et centimétriques, et minuscule fragment de céramique "cul-noir". Interprétation : Comblement unique de F486.		YD0054
566	70	486	Creusement	Occupation	Description : Creusement circulaire (pris sous berme SE) présentant un profil en cuvette à fond relativement plat et à bords évasés. Interprétation : Creusement de F486.		YD0054
567	2	23	Maçonnerie	Construction	Description : Pierres calcaires de 5 à 30 cm de longueur, non organisées, contenant quelques petites poches sableuses (restes de mortier), mêlées à un limon argileux brun-noir. Interprétation : Radier de fondation du mur F23 qui forme un angle avec F24 et F571.		YD0055
568	2	23	Creusement	Construction	Description : Creusement linéaire d'orientation E/O et perpendiculaire à F571 et F24, d'une largeur de 50 cm et de 25 cm de profondeur observable. Interprétation : Creusement de la tranchée de fondation du mur F23, recoupant F396.		YD0055

US	TR	Fait	type US	type action	Description_interpret	Lots mob.	Parcelle
569	1	2	Décapage	Passe mécanique	Description : US de décapage. Interprétation : US décapage de F2.		YD0054
570	1	4	Décapage	Passe mécanique	Description : US de décapage. Interprétation : US décapage de F4.		YD0054
571	2	16	Décapage	Passe mécanique	Description : US de décapage. Interprétation : US décapage de F16.		YD0054
572	2	17	Décapage	Passe mécanique	Description : US de décapage. Interprétation : US décapage de F17.		YD0054
573	2	18	Décapage	Passe mécanique	Description : US de décapage. Interprétation : US décapage de F18.		YD0054
574	2	19	Décapage	Passe mécanique	Description : US de décapage. Interprétation : US décapage de F19.		YD0054
575	2	20	Décapage	Passe mécanique	Description : US de décapage. Interprétation : US décapage de F20.		YD0054
576	2	21	Décapage	Passe mécanique	Description : US de décapage. Interprétation : US décapage de F21.		YD0054
577	77	536	Décapage	Passe mécanique	Description : US de décapage. Interprétation : US de surface de F536.		YD0054
578	3	49	Décapage	Passe mécanique	Description : US de décapage. Interprétation : US de surface de F49.		YD0101
579	2	24	Maçonnerie	Construction	Description : Pierres calcaires de 5 à 30 cm de longueur, non organisées, contenant quelques petites poches sableuses (restes de mortier), mêlées à un limon argileux brun-noir. Interprétation : Reliquat du radier de fondation du mur F24 qui forme un angle avec F23.		YD0055
580	2	24	Creusement	Construction	Description : Creusement linéaire d'orientation N/S, d'une largeur de 64 cm. Profil non observé (non fouillé). Interprétation : Creusement de la tranchée de fondation du mur F24.		YD0055
581	2	25	Maçonnerie	Construction	Description : Pierres calcaires et siliceuses de 5 à 45 cm de longueur (gros blocs situés sur la partie est du mur), contenant quelques nodules de mortier blanc-gris, mêlées à un limon argileux brun-noir. Interprétation : Radier de fondation du mur F25 qui forme un angle avec F26.		YD0055
582	2	25	Creusement	Construction	Description : Creusement linéaire d'orientation N/S, d'une largeur de 64 cm. Profil non observé (non fouillé). Interprétation : Creusement de la tranchée de fondation du mur F25.		YD0055
583	2	26	Maçonnerie	Construction	Description : Pierres calcaires et siliceuses de 5 à 30 cm non organisées, contenant quelques nodules de mortier blanc-gris, mêlées à un limon argileux brun-noir. Interprétation : Radier de fondation du mur F26 qui forme un angle avec F25.		YD0055
584	2	26	Creusement	Construction	Description : Creusement linéaire d'orientation E/O, d'une largeur de 64 cm. Profil non observé (non fouillé). Interprétation : Creusement de la tranchée de fondation du mur F26.		YD0055
585	3	31	Remblai	Démolition	Description : Comblement constitué d'un limon sableux gris foncé, contenant des inclusions éparées de cailloux et graviers siliceux (<10 cm), des boulettes de mortier grossier blanc-gris pulvérulent et de rares inclusions de TC (millimétriques). A noter, une concentration de cailloux et boulettes de mortier au niveau de l'angle avec F32 (potentiel reliquat du mur récupéré). Homogène et meuble. Interprétation : Comblement de la tranchée de récupération F31.		YD0055
586	3	31	Creusement	Démolition	Description : Creusement linéaire d'orientation E/O et perpendiculaire à la tranchée de récupération F32, d'une largeur de 100 cm. Profil non observé. Interprétation : Creusement de la tranchée de récupération F31.		YD0055
587	3	32	Remblai	Démolition	Description : Comblement constitué d'un limon sableux gris foncé, contenant des inclusions éparées de cailloux et graviers siliceux (<10 cm), des boulettes de mortier grossier blanc-gris pulvérulent et de rares inclusions de TC (millimétriques). Homogène et meuble. Interprétation : Comblement de la tranchée de récupération F32.		YD0055
588	3	32	Creusement	Démolition	Description : Creusement linéaire d'orientation N/S et perpendiculaire à la tranchée de récupération F31, d'une largeur de 46 cm. Profil non observé. Interprétation : Creusement de la tranchée de récupération F32.		YD0055

US	TR	Fait	type US	type action	Description_interpret	Lots mob.	Parcelle
589	3	33	Remblai	Démolition	Description : Comblement constitué d'un limon argileux brun-gris, contenant des inclusions éparses de cailloux et pierres siliceux (<20 cm), des boulettes de mortier grossier blanc-gris pulvérulent. Homogène et meuble. Interprétation : Comblement de F33.		YD0055
590	3	33	Creusement	Démolition	Description : Creusement linéaire d'orientation E/O, aux contours assez diffus, d'une largeur de 55 cm. Profil non observé. Interprétation : Creusement de la tranchée de récupération F33.		YD0055
591	3	465	Remblai	Démolition	Description : Comblement constitué d'un limon sableux gris-noir contenant des inclusions éparses de cailloux et graviers siliceux (<10 cm), des boulettes de mortier grossier blanc-gris pulvérulent, de TC millimétriques et de quelques fragments de TCA. Homogène et meuble. Interprétation : Comblement de F465.		YD0055
592	3	465	Creusement	Démolition	Description : Creusement linéaire d'orientation E/O (faisant une perpendiculaire N/S au dessus de F34). Présente une largeur d'environ 55 cm. Profil non observé. Interprétation : Creusement de la tranchée de récupération F465.		YD0055
593	3	35	Maçonnerie	Construction	Description : Cailloux et blocs siliceux pris dans un limon brun-gris contenant des inclusions de mortier blancs grossier et de quelques fragment de TCA. Interprétation : Fondation du mur F35.		YD0101
594	3	35	Creusement	Construction	Description : Creusement de forme linéaire d'orientation E/O présentant un profil non observé à la fouille. Interprétation : Creusement de la tranchée de construction du mur F35.		YD0101
595	3	46	Maçonnerie	Construction	Description : Blocs et cailloux siliceux non organisés, de 5 à 25 cm de longueur, mêlés à un limon argileux brun-gris contenant de nombreuses inclusions siliceuses millimétriques, des poches de mortier grossier blanc pulvérulent et quelques fragments de TCA. Interprétation : Radier de fondation du mur F46.		YD0101
596	3	46	Creusement	Construction	Description : Creusement linéaire d'orientation E/O perpendiculaire au mur F47. Présente une largeur d'environ 76 cm. Profil non observé. Interprétation : Creusement de la tranchée de construction du mur F46.		YD0101
597	3	47	Maçonnerie	Construction	Description : Blocs et cailloux siliceux non organisés, de 5 à 25 cm de longueur, mêlés à un limon argileux brun-gris contenant de nombreuses inclusions siliceuses millimétriques, des poches de mortier grossier blanc pulvérulent et quelques fragments de TCA. Interprétation : Radier de fondation du mur F47.		YD0101
598	3	47	Creusement	Construction	Description : Creusement linéaire d'orientation N/S perpendiculaire au mur F47. Présente une largeur d'environ 76 cm. Profil non observé. Interprétation : Creusement de la tranchée de construction du mur F47.		YD0101
599	3	54	Décapage	Passe mécanique	Description : US de décapage. Interprétation : US de surface de F54.		YD0055
600	3	61	Décapage	Passe mécanique	Description : US de décapage. Interprétation : US de surface de F61.		YD0055
601	3	62	Décapage	Passe mécanique	Description : US de décapage. Interprétation : US de surface de F62.		YD0055
602	4	71	Décapage	Passe mécanique	Description : US de décapage. Interprétation : US de surface de F71.		YD0055
603	4	79	Décapage	Passe mécanique	Description : US de décapage. Interprétation : US de surface de F79.		YD101
604	4	81	Décapage	Passe mécanique	Description : US de décapage. Interprétation : US de surface de F81.		YD0101
604	5	92	Décapage	Passe mécanique	Description : US de décapage. Interprétation : US de surface de F92.		YD0101
605	5	430	Décapage	Passe mécanique	Description : US de décapage. Interprétation : US de surface de F430.		YD0101
606	5	428	Décapage	Passe mécanique	Description : US de décapage. Interprétation : US de surface de F428.		YD0101
607	5	431	Décapage	Passe mécanique	Description : US de décapage. Interprétation : US de surface de F431.		YD0101
608	5	432	Décapage	Passe mécanique	Description : US de décapage. Interprétation : US de surface de F432.		YD0101

US	TR	Fait	type US	type action	Description_interpret	Lots mob.	Parcelle
609	5	93	Décapage	Passe mécanique	Description : US de décapage. Interprétation : US de surface de F93.		YD0101
610	5	105	Maçonnerie	Construction	Description : Nombreuses pierres calcaires d'une dizaine de centimètres liées par une matrice de limon brun. Interprétation : Radier de fondation du mur F105.		YD0055
611	5	105	Creusement	Construction	Description : Creusement linéaire d'orientation E/O d'une largeur de 65 cm. Interprétation : Creusement de la tranchée de fondation du mur F105.		YD0055
612	5	473	Remblai	Démolition	Description : Rares pierres calcaires et fragments de TCA pris dans une matrice de limon brun. Interprétation : Comblement de F473		YD0055
613	5	473	Creusement	Démolition	Description : Creusement linéaire (de forme orthogonale en plan) d'une largeur de 65 cm. Interprétation : Creusement de la tranchée de récupération F473.		YD0055
614	5	474	Maçonnerie	Construction	Description : Nombreuses pierres calcaires d'une dizaine de centimètres liées par une matrice de limon brun. Interprétation : Radier de fondation du mur F474.		YD0055
615	5	474	Creusement	Construction	Description : Creusement linéaire d'orientation N/S d'une largeur de 65 cm. Interprétation : Creusement de la tranchée de fondation du mur F474.		YD0055
616	5	482	Maçonnerie	Construction	Description : Nombreuses pierres calcaires d'une dizaine de centimètres liées par une matrice de limon brun. Interprétation : Radier de fondation du mur F482.		YD0055
617	5	482	Creusement	Construction	Description : Creusement linéaire d'orientation N/S d'une largeur de 65 cm. Interprétation : Creusement de la tranchée de fondation du mur F482.		YD0055
618	6	159	Décapage	Passe mécanique	Description : US de décapage. Interprétation : US de surface de F159.		YD0055
619	6	162	Décapage	Passe mécanique	Description : US de décapage. Interprétation : US de surface de F162.		YD0055
620	6	166	Décapage	Passe mécanique	Description : US de décapage. Interprétation : US de surface de F166.		YD0055
621	6	168	Décapage	Passe mécanique	Description : US de décapage. Interprétation : US de surface de F168.		YD0055
622	8	189	Décapage	Passe mécanique	Description : US de décapage. Interprétation : US de surface de F189.		YD0055
623	9	191	Décapage	Passe mécanique	Description : US de décapage. Interprétation : US de surface de F191.		YD0055
624	1	210	Maçonnerie	Construction	Description : Pierres calcaires de 5 à 15 cm de longueur, non organisées, contenant quelques petites poches de mortier grossier blanc pulvérulent, mêlées à un limon argileux brun-noir, homogène. Interprétation : Radier de fondation du mur F210.		YD0101
625	1	210	Creusement	Construction	Description : Creusement de forme linéaire d'orientation N/S d'une largeur de 46 cm. Interprétation : Creusement de la tranchée de fondation du mur F210.		YD0101
626	1	226	Maçonnerie	Construction	Description : Pierres calcaires de 5 à 15 cm de longueur, non organisées, contenant quelques petites poches de mortier grossier blanc pulvérulent, mêlées à un limon argileux brun-noir, homogène. Interprétation : Radier de fondation du mur F226.		YD0101
627	1	226	Creusement	Construction	Description : Creusement de forme linéaire d'orientation N/S d'une largeur de 46 cm. Interprétation : Creusement de la tranchée de fondation du mur F226.		YD0101
628	10	218	Décapage	Passe mécanique	Description : US de décapage. Interprétation : US de surface de F218.		YD0101
629	2	225	Maçonnerie	Construction	Description : Pierres et cailloux siliceux de petites tailles pris dans un mélange de limon brun-gris et mortier grossier blanc-beige. Interprétation : Maçonnerie constituant le mur F225.		YD0101
630	2	225	Creusement	Construction	Description : Creusement linéaire d'orientation N/S et d'une largeur d'environ 100 cm. Interprétation : Creusement de la tranchée de fondation du mur F225.		YD0101
631	11	232	Décapage	Passe mécanique	Description : US de décapage. Interprétation : US de surface de F232.		YD0101

US	TR	Fait	type US	type action	Description_interpret	Lots mob.	Parcelle
632	11	235	Décapage	Passe mécanique	Description : US de décapage. Interprétation : US de surface de F235.		YD0101
633	11	259	Décapage	Passe mécanique	Description : US de décapage. Interprétation : US de surface de F259.		YD0101
634	1	281	Maçonnerie	Construction	Description : Pierres calcaires de 5 à 25 cm de longueur, non organisées, contenant des poches de mortier grossier blanc pulvérulent, mêlées à un limon argileux brun-noir, homogène. Interprétation : Radier de fondation du mur F281.		YD0101
635	1	281	Creusement	Construction	Description : Creusement linéaire d'orientation N/S, perpendiculaire au mur F6 et le long de F5, d'une largeur de 43 cm. Très arasé et diffus, il a difficilement été observé en coupe. Interprétation : Creusement de la tranchée de fondation du mur F281.		YD0101
636	1	282	Maçonnerie	Construction	Description : Pierres calcaires de 5 à 25 cm de longueur, non organisées, contenant des poches de mortier grossier blanc pulvérulent, mêlées à un limon argileux brun-noir, homogène. Interprétation : Radier de fondation du mur F281.		YD0101
637	1	282	Creusement	Construction	Description : Creusement linéaire d'orientation N/S, perpendiculaire au mur F6 (sur son côté nord) et se trouvant légèrement désaxé par rapport au mur F5 situé plus au sud (que ce soit dans son orientation et dans sa jonction). Très arasé et non fouillé (seulement dégagé). Interprétation : Creusement de la tranchée de fondation du mur F282.		YD0101
638	28	330	Décapage	Passe mécanique	Description : US de décapage. Interprétation : US de surface de F330.		YD0101
639	29	331	Décapage	Passe mécanique	Description : US de décapage. Interprétation : US de surface de F331.		YD0101
640	30	336	Décapage	Passe mécanique	Description : US de décapage. Interprétation : US de surface de F336.		YD0101
641	30	340	Décapage	Passe mécanique	Description : US de décapage. Interprétation : US de surface de F340.		YD0101
642	32	344	Décapage	Passe mécanique	Description : US de décapage. Interprétation : US de surface de F344.		YD0101
643	32	345	Décapage	Passe mécanique	Description : US de décapage. Interprétation : US de surface de F345.		YD0101
644	33	362	Décapage	Passe mécanique	Description : US de décapage. Interprétation : US de surface de F362.		YD0101
645	7	390	Décapage	Passe mécanique	Description : US de décapage. Interprétation : US de surface de F390.		YD0101
646	7	391	Décapage	Passe mécanique	Description : US de décapage. Interprétation : US de surface de F391.		YD0101
647	7	392	Décapage	Passe mécanique	Description : US de décapage. Interprétation : US de surface de F392.		YD0101
648	6	395	Décapage	Passe mécanique	Description : US de décapage. Interprétation : US de surface de F395.		YD0101
649	2	399	Décapage	Passe mécanique	Description : US de décapage. Interprétation : US de surface de F399.		YD0101
650	58	436	Décapage	Passe mécanique	Description : US de décapage. Interprétation : US de surface de F436.		YD0101
651	59	441	Décapage	Passe mécanique	Description : US de décapage. Interprétation : US de surface de F441.		YD0101
652	64	450	Décapage	Passe mécanique	Description : US de décapage. Interprétation : US de surface de F450.		YD0101
653	64	451	Décapage	Passe mécanique	Description : US de décapage. Interprétation : US de surface de F451.		YD0101
654	73	504	Décapage	Passe mécanique	Description : US de décapage. Interprétation : US de surface de F504.		YD0054
655	77	541	Décapage	Passe mécanique	Description : US de décapage. Interprétation : US de surface de F541.		YD0054
656	79	550	Décapage	Passe mécanique	Description : US de décapage. Interprétation : US de surface de F550.		YD0054
657	58	437	Décapage	Passe mécanique	Description : US de décapage. Interprétation : US de surface de F537.		YD0101

US	TR	Fait	type US	type action	Description_interpret	Lots mob.	Parcelle
658	58	438	Décapage	Passe mécanique	Description : US de décapage. Interprétation : US de surface de F438.		YD0101
659	3	461	Maçonnerie	Construction	Description : Cailloux et blocs siliceux (15 à 25 cm de longueur) organisés selon un système parement/blocage interne (blocs de parements présentent une face plus plane et grande sur l'extérieur du mur et les blocs constituant le blocage sont soigneusement posés et organisés). Un limon contenant des poches importantes de mortier blanc grossier et des poches sableuses brunâtres est infiltré entre les cailloux. Interprétation : Fondation du mur F461.		YD0101
660	3	461	Creusement	Construction	Description : Creusement de forme linéaire d'orientation E/O présentant un profil peu perceptible à la fouille (certainement tranchée aveugle). Non fouillé, seulement nettoyé. Interprétation : Creusement de la tranchée de fondation du mur F461.		YD0101
661	3	454	Décapage	Passe mécanique	Description : Limon plutôt argileux brun foncé contenant quelques graviers et cailloux siliceux et de rares fragments de TCA. Homogène et meuble. Interprétation : US supérieure de F454.		YD0101
662	3	457	Décapage	Passe mécanique	Description : Limon plutôt argileux brun foncé contenant quelques graviers et cailloux siliceux et de rares fragments de TCA. Homogène et meuble. Interprétation : US supérieure de F457.		YD0101
663	3	456	Décapage	Passe mécanique	Description : Limon plutôt argileux brun-gris contenant quelques graviers et cailloux siliceux, des inclusions de TC millimétriques et de rares boulettes de mortier blanc pulvérulent. Homogène et meuble. Interprétation : US supérieure de F456.		YD0101
664	3	458	Maçonnerie	Construction	Description : Cailloux et blocs siliceux pris dans un limon brun-gris contenant des inclusions de mortier blancs grossier. Interprétation : Fondation du mur F458.		YD0101
665	3	458	Creusement	Construction	Description : Creusement linéaire d'orientation E/O, aux contours assez diffus, d'une largeur de 38 cm. Profil non observé. Interprétation : Creusement de la tranchée de fondation du mur F458.		YD0055
666	65	460	Décapage	Passe mécanique	Description : US de décapage contenant de nombreux cailloux siliceux et calcaires pris dans un limon argileux brun-gris. Interprétation : US de surface de F460.		YD0101
667	68	468	Décapage	Passe mécanique	Description : US de décapage contenant de nombreux cailloux siliceux et calcaires pris dans un limon argileux brun-gris. Interprétation : US de surface de F468.		YD0101
668	5	472	Décapage	Passe mécanique	Description : US de décapage dans laquelle quelques fragments d'ossements humains (notamment quelques os longs, en place) sont visibles. Interprétation : US de surface de F472.		YD0101
669	5	555	Décapage	Passe mécanique	Description : US de décapage dans laquelle quelques fragments d'ossements humains (notamment quelques os longs, en place) sont visibles. Interprétation : US de surface de F555.		YD0101
670	5	475	Décapage	Passe mécanique	Description : US de décapage dans laquelle quelques fragments d'ossements humains (notamment la boîte crânienne dans la partie ouest de la fosse, en place) sont visibles. Interprétation : US de surface de F475.		YD0101
671	5	476	Décapage	Passe mécanique	Description : US de décapage dans laquelle quelques petits fragments d'ossements humains sont visibles. Interprétation : US de surface de F476.		YD0101
672	5	477	Décapage	Passe mécanique	Description : US de décapage dans laquelle quelques fragments d'ossements humains (notamment quelques os longs en place) sont visibles. Interprétation : US de surface de F477.		YD0101
673	5	480	Décapage	Passe mécanique	Description : US de décapage dans laquelle quelques petits fragments d'ossements humains sont visibles. Interprétation : US de surface de F480.		YD0101
674	5	481	Décapage	Passe mécanique	Description : US de décapage dans laquelle quelques fragments d'ossements humains (notamment os longs membre supérieur gauche en place) sont visibles. Interprétation : US de surface de F481.		YD0101
675	5	479	Décapage	Passe mécanique	Description : US de décapage. Interprétation : US de surface de F479.		YD0101



US	TR	Fait	type US	type action	Description_interpret	Lots mob.	Parcelle
676	5	484	Décapage	Passe mécanique	Description : US de décapage dans laquelle quelques petits fragments d'ossements humains sont visibles. Interprétation : US de surface de F484.		YD0101
677	5	553	Décapage	Passe mécanique	Description : US de décapage dans laquelle quelques petits fragments d'ossements humains sont visibles (notamment 2 os en connexion). Interprétation : US de surface de F553.		YD0101
678	5	556	Décapage	Passe mécanique	Description : US de décapage dans laquelle quelques fragments d'ossements humains sont visibles (notamment un os long). Interprétation : US de surface de F556.		YD0101
679	5	557	Décapage	Passe mécanique	Description : US de décapage dans laquelle quelques fragments d'ossements humains sont visibles. Interprétation : US de surface de F557.		YD0101
680	69	485	Décapage	Passe mécanique	Description : US de décapage dans laquelle a été observé des fragments de d'ardoise et un tuyau en TC. Interprétation : US de décapage de F485.		YD0054
681	70	487	Décapage	Passe mécanique	Description : US de décapage dans laquelle a été observé des fragments d'ardoise et un tuyau en TC. Interprétation : US de décapage de F487.		YD0054
682	69	489	Décapage	Passe mécanique	Description : US de décapage. Interprétation : US de surface de F489.		YD0054
683	73	492	Décapage	Passe mécanique	Description : US de décapage. Interprétation : US de surface de F492.		YD0054
684	3	495	Décapage	Passe mécanique	Description : US de décapage. Interprétation : US de surface de F495.		YD0055
685	3	496	Décapage	Passe mécanique	Description : US de décapage. Interprétation : US de surface de F496.		YD0055
686	73	502	Décapage	Passe mécanique	Description : US de décapage. Interprétation : US de surface de F502.		YD0054
687	73	503	Décapage	Passe mécanique	Description : US de décapage. Interprétation : US de surface de F503.		YD0054
688	74	518	Décapage	Passe mécanique	Description : US de décapage. Interprétation : US de surface de F518.		YD0054
689	74	519	Décapage	Passe mécanique	Description : US de décapage. Interprétation : US de surface de F519.		YD0054
690	74	522	Décapage	Passe mécanique	Description : US de décapage. Interprétation : US de surface de F522.		YD0054
691	5	539	Décapage	Passe mécanique	Description : US de décapage. Interprétation : US de surface de F539.		YD0055
692	74	564	Décapage	Passe mécanique	Description : US de décapage. Interprétation : US de surface de F564.		YD0055
693	72	565	Décapage	Passe mécanique	Description : US de décapage. Interprétation : US de surface de F565.		YD0055
694	74	566	Décapage	Passe mécanique	Description : US de décapage. Interprétation : US de surface de F566.		YD0055
695	74	568	Décapage	Passe mécanique	Description : US de décapage. Interprétation : US de surface de F568.		YD0054
696	73	569	Décapage	Passe mécanique	Description : US de décapage. Interprétation : US de surface de F569.		YD0054
0			Terrain naturel	Géologique	Description : Limon brun homogène et assez meuble. Interprétation : Terre végétale.		YD0101

Fait	TR	Type	Dimensions	description fait	liste_US	liste_dessins	Datation
1	1	Fosse	diam. : 205 prof. : 58	Fosse (chablis?) de forme subcirculaire aux bords très diffus et au profil en cuvette en à bords évasés. Testée manuellement.	1 / 2	pl.1 ds.2 / pl.1 ds.3 / pl.1 ds.4	Gallo-romain
2	1	Fosse	diam. : 121	Fosse (chablis?) de forme subcirculaire, pris en partie sous la berme nord-ouest. Non fouillée.	569		Indet
3	1	Fosse	larg. : 127	Fosse (chablis?) de forme ovoïde présentant un profil aux bords très diffus et irrégulier. Testée manuellement.	9 / 10	pl.2 ds.10 / pl.2 ds.8 / pl.2 ds.9	Gallo-romain
4	1	Fosse	long. : 92 diam. : 75	Fosse (chablis?) de forme subcirculaire. Non fouillée.	570		Indet
5	1	Mur	larg. : 70 prof. : 30	Radier de fondation de mur, présentant un creusement linéaire d'orientation N/S et perpendiculaire au mur F6, d'une largeur de 70 cm et de 30 cm de profondeur observable.	25 / 26	pl. ds.197 / pl.3 ds.16 / pl.3 ds.17	Gallo-romain
6	1	Mur	larg. : 40 prof. : 18	Radier de fondation de mur, présentant un creusement linéaire d'orientation E/O et perpendiculaire au mur F5, d'une largeur de 40 cm et de 18 cm de profondeur observable. Très arasé.	27 / 28	pl. ds.197 / pl.3 ds.18	Gallo-romain
7	1	TP	diam. : 38 prof. : 29	TP de forme circulaire présentant un profil en auge (bords verticaux et fond plat). Contient le reliquat de pierres de calage dans son comblement. Testé manuellement.	101 / 102	pl.11 ds.45 / pl.11 ds.46	Indet
8	1	Anomalie naturelle	larg. : 180	Anomalie naturelle. Testée mécaniquement et ANNULÉE.			
9	1	Mur	larg. : 75 prof. : 25	Radier de fondation de mur présentant un creusement linéaire d'orientation E/O et perpendiculaire à la tranchée de fondation de F10, d'une largeur de 75 cm et de 25 cm de profondeur observable.	406 / 407	pl. ds.196 / pl.2 ds.12	Gallo-romain
10	1	Mur	larg. : 75 prof. : 40	Radier de fondation de mur présentant un creusement linéaire d'orientation N/S et perpendiculaire à la tranchée de fondation de F9, d'une largeur de 75 cm et de 40 cm de profondeur observable.	408 / 409	pl. ds.196 / pl.2 ds.12	Gallo-romain
11	1	Mur	larg. : 70 prof. : 44	Radier de fondation de mur, présentant un creusement linéaire d'orientation E/O et perpendiculaire au mur F284, d'une largeur de 65 cm et de 40 cm de profondeur observable.	70 / 71	pl. ds.196 / pl.8 ds.33	Gallo-romain
12	1	Fosse	diam. : 90 prof. : 44	Fosse de forme subcirculaire présentant un profil en auge. Testée manuellement.	104 / 105	pl.11 ds.47 / pl.11 ds.48	Haut Moyen-Âge
13	1	Anomalie naturelle	diam. : 40	Anomalie naturelle Testée manuellement et ANNULÉE.			
14	2	Fosse	diam. : 194	Fosse indéterminée de forme subcirculaire prise sous la berme nord-ouest de la Tr.2. A livré du mobilier céramique et verre en surface. Non fouillée.	440		Indet
15	2	Fosse	long. : 312 larg. : 132	Large fosse de forme ovoïde présentant un profil en cuvette au fond peu régulier et aux bords asymétriques. Testée mécaniquement.	41 / 42 / 43 / 44	pl.6 ds.25 / pl.6 ds.26	Gallo-romain
16	2	Fosse	diam. : 131	Fosse indéterminée de forme subcirculaire au comblement supérieur limoneux brun-noir. Non fouillée.	571		Indet
17	2	Fosse	diam. : 120	Fosse indéterminée de forme subcirculaire au comblement supérieur limoneux brun-noir. Non fouillée.	572		Indet
18	2	Fosse	long. : 170 larg. : 125	Fosse indéterminée de forme ovoïde au comblement supérieur limoneux brun-gris. Non fouillée.	573		Indet
19	2	Fosse	diam. : 111	Fosse indéterminée de forme subcirculaire prise sous la berme sud-est de la Tr.2. Non fouillée.	574		Indet
20	2	Fosse	long. : 210 larg. : 153	Fosse indéterminée de forme ovoïde. Non fouillée.	575		Indet
21	2	Fosse	larg. : 140	Fosse indéterminée de forme ovoïde prise sous la berme nord-ouest de la Tr.2. Non fouillée.	576		Indet
22	2	Fosse	diam. : 126 prof. : 30	Fosse de forme circulaire (prise sous berme) présentant un profil en cuvette aux bords très évasés. Testée manuellement.	209 / 210	pl.11 ds.52 / pl.11 ds.53	Indet
23	2	Mur	larg. : 50 prof. : 25	Radier de fondation de mur, présentant un creusement linéaire d'orientation E/O et perpendiculaire à F571 et F24, d'une largeur de 50 cm et de 25 cm de profondeur observable. Recoupe aussi F396.	567 / 568	pl. ds.199 / pl.10 ds.44	Gallo-romain

Fait	TR	Type	Dimensions	description fait	liste_US	liste_dessins	Datation
24	2	Mur	larg. : 64	Reliquat de radier de fondation de mur, présentant un creusement linéaire d'orientation N/S et perpendiculaire à F23, d'une largeur de 64 cm. Est recoupé par F397. Non fouillé.	579 / 580	pl. ds.199	Gallo-romain
25	2	Mur	larg. : 64	Radier de fondation de mur, présentant un creusement linéaire d'orientation N/S, d'une largeur de 64 cm. Ce mur est perpendiculaire à F26. Son profil est non observé (non fouillé). Est largement pris sous la fosse F398.	581 / 582	pl. ds.199	Gallo-romain
26	2	Mur	larg. : 64	Radier de fondation de mur, présentant un creusement linéaire d'orientation E/O, d'une largeur de 64 cm. Ce mur est perpendiculaire à F25. Son profil est non observé (non fouillé). Est largement pris sous la fosse F398.	583 / 584	pl. ds.199	Gallo-romain
27	2	Fosse	diam. : 178 prof. : 74	Fosse de forme subcirculaire présentant un profil en cuvette à bords évasés avec surcreusement en fond. Testée manuellement.	106 / 107	pl.11 ds.49 / pl.11 ds.50 / pl.11 ds.51	Indet
28	2	Anomalie naturelle		Anomalie naturelle Testée manuellement et ANNULÉE.			
29	4	Fossé	larg. : 140 prof. : 80	Fossé au creusement linéaire d'orientation E/O, dans le prolongement direct du fossé F85, présentant un profil en cuvette aux parois obliques. Testé mécaniquement.	45 / 46 / 47 / 48	pl.6 ds.27	Gallo-romain
30	3	Drain	larg. : 17	Drain en terre cuite d'orientation E/O, observé dans les tranchées 3 et 4.	453		Contemporain
31	3	Tranchée de récupération	larg. : 100	Tranchée de récupération présentant un creusement linéaire d'orientation E/O et perpendiculaire à la tranchée de récupération F32, d'une largeur de 100 cm.	585 / 586		Gallo-romain
32	3	Tranchée de récupération	larg. : 46	Tranchée de récupération présentant un creusement linéaire d'orientation N/S et perpendiculaire à la tranchée de récupération F31, d'une largeur de 46 cm.	587 / 588		Gallo-romain
33	3	Tranchée de récupération	larg. : 55	Tranchée de récupération présentant un creusement linéaire d'orientation E/O, recoupée perpendiculairement par le mur F34, et parallèle à F458. Présente une largeur d'environ 55 cm.	589 / 590	pl. ds.200	Gallo-romain
34	3	Mur	larg. : 60 prof. : 98	Fondation de mur, d'orientation N/S présentant un profil peu perceptible à la fouille (tranchée aveugle sur la plus grande partie observée avec un élargissement en parois obliques près de la surface). Perpendiculaire à F37, ce mur est d'une largeur de 60 cm et sa profondeur observable est de 98 cm.	214 / 215 / 216	pl. ds.200 / pl.23 ds.102	Gallo-romain
35	3	Mur		Fondation de mur, d'orientation E/O perpendiculaire à F36 seulement très partiellement visible en bas de berme sud-est. La largeur et la profondeur de ce mur n'ont donc pas pu être observées.	593 / 594	pl. ds.200	Gallo-romain
36	3	Mur	larg. : 56 prof. : 92	Fondation de mur, d'orientation N/S présentant un profil peu perceptible à la fouille (tranchée aveugle sur la plus grande partie observée avec un élargissement en parois obliques près de la surface). Perpendiculaire à F37, ce mur est d'une largeur de 56 cm et sa profondeur observable est de 92 cm.	211 / 212 / 213	pl. ds.200 / pl.23 ds.102	Gallo-romain
37	3	Mur	larg. : 66 prof. : 66	Fondation de mur, d'orientation E/O présentant un profil peu perceptible à la fouille (tranchée aveugle sur la plus grande partie observée avec un élargissement en parois obliques près de la surface). Perpendiculaire à F34, 36, 39 et 452, ce mur est d'une largeur de 66 cm et sa profondeur observable est de 66 cm.	203 / 204 / 205	pl. ds.200 / pl.23 ds.101	Gallo-romain
38	3	Mur	larg. : 72 prof. : 10	Reste de fondation de mur au creusement linéaire d'orientation N/S et perpendiculaire aux murs F461 et F37, d'une largeur de 72 cm et de 10 cm de profondeur observable. Largement récupéré par F452.	380 / 381	pl. ds.200 / pl.36 ds.183	Gallo-romain
39	3	Mur	larg. : 70 prof. : 20	Radier de fondation de mur au creusement linéaire d'orientation N/S, recoupé par les murs perpendiculaires F37 et 461, d'une largeur de 70 cm et de 20 cm de profondeur observable.	379 / 382	pl. ds.200 / pl.36 ds.183	Gallo-romain
40	3	Tranchée de récupération	larg. : 70	Tranchée de récupération présentant un creusement linéaire d'orientation E/O et perpendiculaire aux tranchées de récupération F41 et 42, d'une largeur de 70 cm.	428 / 429		Gallo-romain
41	3	Tranchée de récupération	larg. : 65	Tranchée de récupération présentant un creusement linéaire d'orientation N/S et perpendiculaire à la tranchée de récupération F40, d'une largeur de 65 cm.	424 / 425		Gallo-romain

Fait	TR	Type	Dimensions	description fait	liste_US	liste_dessins	Datation
42	3	Tranchée de récupération	larg. : 70	Tranchée de récupération présentant un creusement linéaire d'orientation N/S et perpendiculaire à la tranchée de récupération F40, d'une largeur de 70 cm.	426 / 427		Gallo-romain
43	3	Tranchée de récupération	larg. : 70	Tranchée de récupération présentant un creusement linéaire d'orientation E/O et perpendiculaire à la tranchée de récupération F44, d'une largeur de 70 cm.	430 / 431		Gallo-romain
44	1	Mur	larg. : 80	Radier de fondation présentant un creusement linéaire d'orientation N/S et perpendiculaire à la tranchée de récupération F43, d'une largeur de 80 cm.	422 / 423		Gallo-romain
45	3	Fosse	diam. : 85 prof. : 16	Fosse (chablis?) présentant un creusement (ou interface) de forme circulaire aux bords très diffus et au profil en cuvette à bords évasés. Testée manuellement.	7 / 8	pl.1 ds.6 / pl.1 ds.7	Indet
46	3	Mur	larg. : 76	Radier de fondation de mur, présentant un creusement linéaire d'orientation E/O, d'une largeur de 76 cm. Ce mur est perpendiculaire à F47. Son profil est non observé (non fouillé).	595 / 596		Gallo-romain
47	3	Mur	larg. : 76	Radier de fondation de mur, présentant un creusement linéaire d'orientation N/S, d'une largeur de 76 cm. Ce mur est perpendiculaire à F46. Son profil est non observé (non fouillé).	597 / 598		Gallo-romain
48	3	Empierrement	long. : 500 larg. : 106 prof. : 28	Empierrement prenant place dans une dépression formée dans l'US 19 et comblée par l'US 201. Testé mécaniquement. Parallèle à F47.	201 / 202	pl.23 ds.100	Gallo-romain
49	3	Fossé	larg. : 125	Fossé au creusement linéaire d'orientation N/S, dans le prolongement direct du fossé F81 plus au sud (Tr.4). Non fouillé.	578		Gallo-romain
50	3	Anomalie naturelle		Anomalie naturelle Testée manuellement et ANNULÉE.			
51	3	Anomalie naturelle		Anomalie naturelle Testée mécaniquement et ANNULÉE.			
52	3	Anomalie naturelle		Anomalie naturelle Testée mécaniquement et ANNULÉE.			
53	3	Anomalie naturelle		Anomalie naturelle Testée mécaniquement et ANNULÉE.			
54	3	Fossé	larg. : 135	Fossé au creusement linéaire d'orientation NO/SE équivalent à F75 situé plus au sud (Tr.4). Non Fouillé.	599		Mod/ contempo
55	3	Fossé	larg. : 45	Fossé au creusement de forme linéaire, d'orientation NE/SO présentant un profil en cuvette à bords évasés. Parallèle à F72 plus au sud (Tr.4). Non fouillé.	418		Contemporain
56	3	TP	long. : 128 larg. : 110 prof. : 46	TP de forme légèrement ovoïde et présentant un profil en auge à fond plat et à bords asymétriques. Testé manuellement. Semble fonctionner avec les TP F495, 496 et 57.	193 / 194 / 195 / 196	pl.22 ds.95 / pl.22 ds.96	La Tène Moyenne
57	3	TP	diam. : 60 prof. : 23	TP de forme circulaire présentant un profil en cuvette à bords évasés et asymétriques. Testé manuellement. Semble fonctionner avec les TP F495, 496 et 56.	188 / 189	pl.21 ds.94	La Tène Moyenne
58	3	Anomalie naturelle		Anomalie naturelle Testée manuellement et ANNULÉE.			
59	3	Anomalie naturelle		Anomalie naturelle Testée mécaniquement et ANNULÉE.			
60	3	Fossé	larg. : 92 prof. : 57	Fossé au creusement de forme linéaire, d'orientation NE/SO et présentant un profil en cuvette à bords évasés. Testé mécaniquement.	179 / 180 / 181	pl.20 ds.90	Indet
61	3	Fossé	larg. : 95	Fossé au creusement de forme linéaire, d'orientation NO/SE, perpendiculaire à F60. Non fouillé.	600		Indet
62	3	Tranchée de réseau	larg. : 60	Tranchée de réseau au creusement de forme linéaire, d'orientation NO/SE, observé dans les tranchées 3 à 18. Non fouillé.	601		Contemporain
63	3	Anomalie naturelle		Anomalie naturelle Testée manuellement et ANNULÉE.			
64	3	Anomalie naturelle		Anomalie naturelle Testée manuellement et ANNULÉE.			
65	4	Anomalie naturelle		Anomalie naturelle Testée mécaniquement et ANNULÉE.			

Fait	TR	Type	Dimensions	description fait	liste_US	liste_dessins	Datation
66	4	Anomalie naturelle		Anomalie naturelle Testée mécaniquement et ANNULÉE.			
67	4	Anomalie naturelle		Anomalie naturelle Testée mécaniquement et ANNULÉE.			
68	4	Anomalie naturelle		Anomalie naturelle Testée mécaniquement et ANNULÉE.			
69	4	Anomalie naturelle		Anomalie naturelle Testée manuellement et ANNULÉE.			
70	4	Fossé	larg. : 120 prof. : 44	Fossé au creusement de forme linéaire, d'orientation NO/SE, présentant un profil en cuvette à bords évasés et légèrement asymétriques. Testé manuellement.	208 / 217	pl.24 ds.103	Indet
71	4	Fossé	larg. : 76	Fossé au creusement de forme linéaire, d'orientation NO/SE, perpendiculaire à F72. Non fouillé.	602		Indet
72	4	Fossé	larg. : 56 prof. : 16	Fossé au creusement de forme linéaire, d'orientation NE/SO présentant un profil en cuvette à bords évasés. Testé manuellement.	197 / 198	pl.22 ds.98 / pl.22 ds.99	Indet
73	4	Anomalie naturelle		Anomalie naturelle Testée manuellement et ANNULÉE.			
74	4	Labour		Trace de charrue/labour contemporaine Testée manuellement et ANNULÉE.			
75	4	Fossé	larg. : 183 prof. : 91	Fossé au creusement linéaire d'orientation NO/SE présentant un profil en «V», aux bords évasés et asymétriques. Testé mécaniquement. Fait équivalent à F54 et 159. Testé mécaniquement.	122 / 123 / 124	pl.14 ds.64	Mod/ contempo
76	4	Anomalie naturelle		Anomalie naturelle Testée mécaniquement et ANNULÉE.			
77	4	Fossé	larg. : 102 prof. : 36	Fossé au creusement de forme linéaire, d'orientation E/O et présentant un profil en cuvette à bords évasés. Se situe dans le prolongement du fossé F93. Testé mécaniquement.	114 / 115	pl.13 ds.57	Gallo-romain
78	4	Fosse	long. : 90 larg. : 50	Fosse indéterminée de forme ovoïde. Non fouillée.	419		Indet
79	4	Fosse	diam. : 123	Fosse indéterminée de forme subcirculaire prise sous berme sud-est. Non fouillée.	603		Indet
80	4	Anomalie naturelle	long. : 400 larg. : 340	Anomalie naturelle présentant une interface, ou cisaillement de forme peu régulière et au profil irrégulier à bords semi-verticalisés à « vaguelettes ». L'US supérieure (US 93) contient de la poterie et de la TCA : couche « aspirée » par effondrement. Phénomène de soutirage karstique naturel. Testée mécaniquement, documentée pour preuve et annulée.	93 / 94 / 95 / 96 / 97 / 98	pl.10 ds.43	
81	4	Fossé	larg. : 78	Fossé au creusement de forme linéaire, d'orientation N/S, parallèle à F82 situé à son ouest. Non fouillé.	604		Gallo-romain
82	5	Fossé	larg. : 105 prof. : 50	Fossé au creusement linéaire d'orientation N/S, recoupant la fosse F371 et présentant un profil en cuvette asymétrique aux parois évasées. Testé mécaniquement.	54 / 55 / 56	pl.7 ds.1 / pl.7 ds.30	Gallo-romain
83	4	Anomalie naturelle		Anomalie naturelle Testée manuellement et ANNULÉE.			
84	4	Fosse	long. : 120 larg. : 88 prof. : 50	Fosse de forme ovoïde présentant un profil en cuvette. Testée manuellement.	90 / 91 / 92	pl.9 ds.42	Indet
85	4	Fossé	larg. : 78	Fossé au creusement de forme linéaire, d'orientation E/O, perpendiculaire à F87 situé à son est, et équivalent à F29 situé dans son prolongement ouest. Non fouillé.	441		Gallo-romain
86	5	TP	diam. : 55 prof. : 10	TP de forme subcirculaire présentant un profil très arasé à fond légèrement irrégulier. Testé manuellement.	88 / 89	pl.9 ds.40 / pl.9 ds.41	Indet
87	5	Fossé	larg. : 130 prof. : 75	Fossé au creusement linéaire d'orientation N/S, dans le prolongement direct du fossé F81 et perpendiculaire au fossé F85, présentant un profil en cuvette aux parois obliques. Testé mécaniquement.	51 / 52 / 53	pl.7 ds.29	Gallo-romain
88	5	Fosse	diam. : 103 prof. : 19	Fosse de forme subcirculaire aux contours diffus, présentant un profil en cuvette au fond irrégulier et à bords très évasés. Testée mécaniquement.	49 / 50	pl.6 ds.28	Gallo-romain

Fait	TR	Type	Dimensions	description fait	liste_US	liste_dessins	Datation
89	5	Fosse	long. : 106 larg. : 98 prof. : 24	Fosse de forme subcirculaire présentant un profil en cuvette et aux parois (arasées) légèrement asymétriques. Testée manuellement.	86 / 87	pl.9 ds.38 / pl.9 ds.39	Proto Indet
90	5	Fossé	larg. : 81 prof. : 30	Fossé au creusement linéaire d'orientation E/O présentant un profil en «V» à bords évasés. Testé mécaniquement.	57 / 58	pl.7 ds.31	Gallo-romain
91	5	TP	long. : 45 larg. : 36 prof. : 20	Petit TP de forme légèrement ovoïde présentant un profil en cuvette. Présente les mêmes caractéristiques que le petit TP F92, directement sis à son est. Testé manuellement.	116 / 117	pl.13 ds.58 / pl.13 ds.59	La Tène Finale
92	5	TP	diam. : 28	Petit TP de forme circulaire. Se situe, comme le TP F430 à l'est de la ligne de TP F431, 432, 429 et 91. Non fouillé.	604		La Tène Finale
93	5	Fossé	larg. : 50	Fossé au creusement de forme linéaire, d'orientation E/O, se situant dans le prolongement du fossé F77. Non fouillé.	609		Gallo-romain
94	5	Anomalie naturelle		Anomalie naturelle Testée manuellement et ANNULÉE.			
95	5	Anomalie naturelle		Anomalie naturelle Testée mécaniquement et ANNULÉE.			
96	5	Anomalie naturelle		Anomalie naturelle Testée mécaniquement et ANNULÉE.			
97	5	Anomalie naturelle		Anomalie naturelle Testée mécaniquement et ANNULÉE.			
98	5	Anomalie naturelle		Anomalie naturelle Testée mécaniquement et ANNULÉE.			
99	5	Anomalie naturelle		Anomalie naturelle Testée mécaniquement et ANNULÉE.			
100	5	Anomalie naturelle		Anomalie naturelle Testée manuellement et ANNULÉE.			
101	5	Anomalie naturelle		Anomalie naturelle Testée manuellement et ANNULÉE.			
102	5	Sépulture	long. : 160 larg. : 55	Sépulture dont la fosse est de forme oblongue (orientation E/O) dont le creusement présente un profil très diffus et arasé (moins de 10 cm de profondeur). Le squelette est en décubitus dorsal, pieds à l'est et tête à l'ouest. Fouillée manuellement.	464 / 465 / 466		Haut Moyen- Âge
103	5	Sépulture	long. : 160 larg. : 55	Sépulture dont la fosse est de forme oblongue (orientation E/O) dont le creusement présente un profil très diffus et arasé (moins de 10 cm de profondeur). Le squelette est en décubitus dorsal, pieds à l'est et tête à l'ouest. Fouillée manuellement.	467 / 468 / 469		Haut Moyen- Âge
104	5	Fosse	diam. : 94 prof. : 14	Fosse indéterminée de forme subcirculaire présentant un profil en cuvette très irrégulière et arasée. Contient des fragments d'os humains sans connexion. Testée manuellement.	233 / 234	pl.26 ds.110 / pl.26 ds.111	Haut Moyen- Âge
105	5	Mur	long. : 1460 larg. : 65	Radier de fondation de mur arasé, au creusement linéaire d'orientation E/O, dont la partie orientale est récupéré par la tranchée F473. Perpendiculaire au murs F474, F132 et parallèle au mur F482, il constitue, avec le mur F473, la partie septentrionale d'un ensemble parfaitement carré de 17,5m de côté. Non fouillé (seulement nettoyé).	610 / 611	pl. ds.201	Indet
106	5	Sépulture	long. : 175 larg. : 58	Sépulture dont la fosse est de forme oblongue (orientation E/O) dont le creusement présente un profil très diffus et arasé (moins de 10 cm de profondeur). Le squelette est en décubitus dorsal, pieds à l'est et tête à l'ouest. Fouillée manuellement.	470 / 471 / 472	pl. ds.201	Haut Moyen- Âge
107	4	Anomalie naturelle		Anomalie naturelle Testée mécaniquement et ANNULÉE.			
108	4	Anomalie naturelle		Anomalie naturelle Testée manuellement et ANNULÉE.			
109	4	Anomalie naturelle		Anomalie naturelle Testée mécaniquement et ANNULÉE.			
110	4	Anomalie naturelle		Anomalie naturelle Testée manuellement et ANNULÉE.			
111	4	Anomalie naturelle		Anomalie naturelle Testée manuellement et ANNULÉE.			

Fait	TR	Type	Dimensions	description fait	liste_US	liste_dessins	Datation
112	4	Anomalie naturelle		Anomalie naturelle Testée manuellement et ANNULÉE.			
113	4	Anomalie naturelle		Anomalie naturelle Testée manuellement et ANNULÉE.			
114	4	Anomalie naturelle		Anomalie naturelle Testée manuellement et ANNULÉE.			
115	4	Anomalie naturelle		Anomalie naturelle Testée mécaniquement et ANNULÉE.			
116	5	Anomalie naturelle		Anomalie naturelle Testée mécaniquement et ANNULÉE.			
117	5	Anomalie naturelle		Anomalie naturelle Testée mécaniquement et ANNULÉE.			
118	4	Anomalie naturelle		Anomalie naturelle Testée manuellement et ANNULÉE.			
119	4	Anomalie naturelle		Anomalie naturelle Testée manuellement et ANNULÉE.			
120	4	Anomalie naturelle		Anomalie naturelle Testée manuellement et ANNULÉE.			
121	4	Anomalie naturelle		Anomalie naturelle Testée manuellement et ANNULÉE.			
122	4	Anomalie naturelle		Anomalie naturelle Testée manuellement et ANNULÉE.			
123	4	Anomalie naturelle		Anomalie naturelle Testée mécaniquement et ANNULÉE.			
124	4	Fosse	diam. : 76 prof. : 17	Fosse de forme circulaire présentant un profil en cuvette à bords évasés. Recoupé par F72. Testée manuellement.	199 / 200	pl.22 ds.98 / pl.22 ds.99	Indet
125	4	Anomalie naturelle		Anomalie naturelle Testée manuellement et ANNULÉE.			
126	4	Anomalie naturelle		Anomalie naturelle Testée mécaniquement et ANNULÉE.			
127	5	Anomalie naturelle		Anomalie naturelle Testée mécaniquement et ANNULÉE.			
128	4	Fosse	diam. : 100 prof. : 18	Fosse de forme circulaire présentant un profil en cuvette à bords évasés et arasés à fond irrégulier. Testée mécaniquement.	118 / 119	pl.14 ds.60 / pl.14 ds.61	Indet
129	4	Fosse	long. : 175 larg. : 153 prof. : 98	Large fosse de forme ovoïde présentant un profil en auge à fond légèrement irrégulier. Testée mécaniquement.	75 / 76 / 77 / 78 / 79 / 80 / 81 / 82 / 83	pl.9 ds.36	Gallo-romain
130	4	Anomalie naturelle		Anomalie naturelle Testée manuellement et ANNULÉE.			
131	5	Anomalie naturelle		Anomalie naturelle Testée manuellement et ANNULÉE.			
132	5	Mur	long. : 1750 larg. : 65 prof. : 20	Radier de fondation de mur arasé, au creusement linéaire d'orientation N/S présentant un profil en cuvette à bords droits et fond légèrement irrégulier (largeur de 74 cm et 20 cm de profondeur observable). Perpendiculaire au murs F482, F105 et parallèle au mur F474, il constitue la partie occidentale d'un ensemble parfaitement carré de 17,5m de côté.	244 / 245	pl.27 ds.117 / pl.27 ds.118 / pl.27 ds.119	Indet
133	5	Anomalie naturelle		Anomalie naturelle Testée manuellement et ANNULÉE.			
134	5	Anomalie naturelle		Anomalie naturelle Testée manuellement et ANNULÉE.			
135	5	Anomalie naturelle		Anomalie naturelle Testée manuellement et ANNULÉE.			
136	5	Anomalie naturelle		Anomalie naturelle Testée manuellement et ANNULÉE.			
137	5	Anomalie naturelle		Anomalie naturelle Testée mécaniquement et ANNULÉE.			

Fait	TR	Type	Dimensions	description fait	liste_US	liste_dessins	Datation
138	5	Anomalie naturelle		Anomalie naturelle Testée mécaniquement et ANNULÉE.			
139	5	Anomalie naturelle		Anomalie naturelle Testée manuellement et ANNULÉE.			
141	6	Fossé	larg. : 104 prof. : 58	Fossé au creusement de forme linéaire, d'orientation NE/SO et présentant un profil en «V» à bords supérieurs convexes. Parallèle au fossé F182 (Tr.8). Testé mécaniquement.	186 / 187	pl.21 ds.93	Mod/ contempo
142	6	Fossé	larg. : 130 prof. : 50	Fossé au creusement de forme linéaire, d'orientation NO/SE et présentant un profil en cuvette à bords très évasés. Est parallèle et recoupe F483 sis à son est. Testé mécaniquement.	173 / 174	pl.20 ds.87	Indet
143	6	Fossé	larg. : 128 prof. : 52	Fossé au creusement de forme linéaire, d'orientation NE/SO et présentant un profil en cuvette à bords évasés. Testé mécaniquement.	184 / 185	pl.21 ds.92	Mod/ contempo
144	6	Anomalie naturelle		Anomalie naturelle Testée mécaniquement et ANNULÉE.			
145	6	Fossé	larg. : 131 prof. : 58	Fossé au creusement de forme linéaire, d'orientation NO/SE et présentant un profil en cuvette à bords évasés. Testé mécaniquement..esté mécaniquement.	182 / 183	pl.21 ds.91	Indet
146	5	Anomalie naturelle		Anomalie naturelle Testée manuellement et ANNULÉE.			
147	5	Anomalie naturelle		Anomalie naturelle Testée manuellement et ANNULÉE.			
148	6	Anomalie naturelle		Anomalie naturelle Testée manuellement et ANNULÉE.			
149	6	Anomalie naturelle		Anomalie naturelle Testée mécaniquement et ANNULÉE.			
150	6	Anomalie naturelle		Anomalie naturelle Testée mécaniquement et ANNULÉE.			
151	6	Anomalie naturelle		Anomalie naturelle Testée manuellement et ANNULÉE.			
152	6	Anomalie naturelle		Anomalie naturelle Testée manuellement et ANNULÉE.			
153	6	Anomalie naturelle		Anomalie naturelle Testée mécaniquement et ANNULÉE.			
154	6	Anomalie naturelle		Anomalie naturelle Testée manuellement et ANNULÉE.			
155	6	Anomalie naturelle		Anomalie naturelle Testée mécaniquement et ANNULÉE.			
156	6	Anomalie naturelle		Anomalie naturelle Testée manuellement et ANNULÉE.			
157	6	Anomalie naturelle		Anomalie naturelle Testée mécaniquement et ANNULÉE.			
158	6	Anomalie naturelle		Anomalie naturelle Testée mécaniquement et ANNULÉE.			
159	6	Fossé	larg. : 187	Fossé au creusement linéaire d'orientation NO/SE équivalent aux fossés F54 et 75. Non fouillé.	618		Mod/ contempo
160	6	Fosse	diam. : 78	Fosse de forme subcirculaire, pris en partie sous la berme nord-ouest, présentant un profil en cuvette à fond irrégulier et aux bords évasés. Testée manuellement.	20 / 21	pl.2 ds.14 / pl.2 ds.15	Indet
161	6	TP	diam. : 105 prof. : 68	TP de forme circulaire présentant un profil en cuvette à bords relativement droits.. Présente les mêmes dimensions que le TP F395, au nord-ouest. Testé manuellement.	125 / 126 / 127 / 128 / 129 / 130	pl.15 ds.65 / pl.15 ds.66	La Tène Finale
162	6	Fosse	diam. : 148	Fosse de forme subcirculaire (en partie pris sous berme nord-ouest) pourrait fonctionner avec les TP F161 et 395 situés au nord-est. Non fouillé.	619		Indet
163	6	ANNU-LÉ		Annulé.			
164	6	ANNU-LÉ		Annulé.			



Fait	TR	Type	Dimensions	description fait	liste_US	liste_essais	Datation
165	6	Anomalie naturelle	larg. : 290 prof. : 600	Anomalie naturelle présentant une interface, ou cisaillement naturel, de forme peu régulière et au profil très irrégulier. Ressemble à un phénomène naturel de soutirage. A aspiré sur sa surface l'US 108 qui est une couche d'épaisseur irrégulière s'étant nappée dans cette dépression naturelle. Testée mécaniquement, documentée pour preuve et annulée.	108	pl.12 ds.193	
166	6	Fosse	long. : 74 larg. : 60	Fosse de forme ovoïde non fouillée.	620		Indet
167	7	Fossé	larg. : 44 prof. : 15	Fossé au creusement linéaire d'orientation E/O, très arasé et perpendiculaire au fossé F169, présentant un profil en cuvette. Testé mécaniquement.	31 / 32	pl.4 ds.19	Gallo-romain
168	7	Fosse	diam. : 54	Fosse de forme circulaire non fouillée.	621		Indet
169	7	Fossé	larg. : 50 prof. : 24	Fossé au creusement linéaire d'orientation N/S, perpendiculaire au fossé F167, présentant un profil en cuvette. Testé mécaniquement.	33 / 34 / 84 / 85	pl.4 ds.20 / pl.9 ds.37	Gallo-romain
170	7	Fosse	diam. : 45 prof. : 10	Fosse de forme subcirculaire présentant un profil en cuvette à fond plat aux bords évasés et arasés. Testée manuellement.	112 / 113	pl.13 ds.55 / pl.13 ds.56	Indet
171	7	TP	diam. : 74 prof. : 40	TP de forme subcirculaire présentant un profil très arasé à fond légèrement irrégulier. Ce TP constitue un bâtiment carré avec les 3 autres TP découverts dans la zone : F390 à 392. Testé manuellement.	109 / 110 / 111	pl.13 ds.194 / pl.13 ds.54	Proto Indet
172	7	Anomalie naturelle		Anomalie naturelle Testée manuellement et ANNULÉE.			
173	8	Fossé	larg. : 52 prof. : 20	Fossé au creusement de forme linéaire, d'orientation NE/SO et présentant un profil en cuvette. Testé mécaniquement.	175 / 176	pl.20 ds.88	Mod/ contempo
174	8	Anomalie naturelle		Anomalie naturelle Testée manuellement et ANNULÉE.			
175	8	Anomalie naturelle		Anomalie naturelle Testée mécaniquement et ANNULÉE.			
176	8	Anomalie naturelle		Anomalie naturelle Testée mécaniquement et ANNULÉE.			
177	8	Anomalie naturelle		Anomalie naturelle Testée mécaniquement et ANNULÉE.			
178	8	Anomalie naturelle		Anomalie naturelle Testée mécaniquement et ANNULÉE.			
179	8	Anomalie naturelle		Anomalie naturelle Testée mécaniquement et ANNULÉE.			
180	8	Anomalie naturelle		Anomalie naturelle Testée mécaniquement et ANNULÉE.			
181	8	Anomalie naturelle		Anomalie naturelle Testée mécaniquement et ANNULÉE.			
182	8	Fossé	larg. : 87 prof. : 36	Fossé au creusement de forme linéaire, d'orientation NE/SO et présentant un profil en cuvette à fond relativement plat. Fossé parallèle au fossé F193 (tranchée 9). Testé mécaniquement.	177 / 178	pl.20 ds.89	Indet
183	8	Anomalie naturelle		Anomalie naturelle Testée mécaniquement et ANNULÉE.			
184	8	Anomalie naturelle		Anomalie naturelle Testée mécaniquement et ANNULÉE.			
185	8	Anomalie naturelle		Anomalie naturelle Testée mécaniquement et ANNULÉE.			
186	8	Anomalie naturelle		Anomalie naturelle Testée mécaniquement et ANNULÉE.			
187	8	Anomalie naturelle		Anomalie naturelle Testée mécaniquement et ANNULÉE.			
188	8	Anomalie naturelle		Anomalie naturelle Testée mécaniquement et ANNULÉE.			
189	8	Fossé	larg. : 68	Fossé au creusement de forme linéaire, d'orientation NO/SE, perpendiculaire au fossé F182 et dans le prolongement de F191. Non fouillé.	622		Indet

Fait	TR	Type	Dimensions	description fait	liste_US	liste_dessins	Datation
190	9	Anomalie naturelle		Anomalie naturelle Testée manuellement et ANNULÉE.			
191	9	Fossé	larg. : 113	Fossé au creusement de forme linéaire, d'orientation NO/SE, dans le prolongement de F189. Non fouillé.	623		Indet
192	9	Anomalie naturelle		Anomalie naturelle Testée manuellement et ANNULÉE.			
193	9	Fossé	larg. : 134 prof. : 72	Fossé au creusement linéaire d'orientation SO/NE, présentant un profil en cuvette au bords évasés. Semble recouper l'US 19 et est parallèle au fossé F182 dans la tr.8. Testé mécaniquement.	39 / 40	pl.5 ds.24	Indet
194	9	Anomalie naturelle		Anomalie naturelle Testée mécaniquement et ANNULÉE.			
195	9	Anomalie naturelle		Anomalie naturelle Testée manuellement et ANNULÉE.			
196	9	Anomalie naturelle		Anomalie naturelle Testée manuellement et ANNULÉE.			
197	9	Anomalie naturelle		Anomalie naturelle Testée manuellement et ANNULÉE.			
198	9	Anomalie naturelle		Anomalie naturelle Testée manuellement et ANNULÉE.			
199	9	Anomalie naturelle		Anomalie naturelle Testée mécaniquement et ANNULÉE.			
200	9	Anomalie naturelle		Anomalie naturelle Testée manuellement et ANNULÉE.			
201	9	Fossé	larg. : 160 prof. : 60	Fossé au creusement linéaire d'orientation N/S, perçu dans les tranchées 9 à 13, et présentant un profil en cuvette au bords asymétriques en cuvette évasée. Testé mécaniquement.	37 / 38	pl.5 ds.23	Mod/ contempo
202	9	Anomalie naturelle		Anomalie naturelle Testée manuellement et ANNULÉE.			
203	9	Anomalie naturelle		Anomalie naturelle Testée mécaniquement et ANNULÉE.			
204	9	Anomalie naturelle		Anomalie naturelle Testée mécaniquement et ANNULÉE.			
205	9	Anomalie naturelle		Anomalie naturelle Testée manuellement et ANNULÉE.			
206	9	Anomalie naturelle	larg. : 100 prof. : 172	Anomalie naturelle présentant une interface, ou cisaillement naturel, de forme peu régulière et au profil en cuvette asymétrique. Testée mécaniquement, documentée pour preuve et annulée.	35 / 36	pl.4 ds.21 / pl.4 ds.22	
207	10	Anomalie naturelle		Anomalie naturelle Testée manuellement et ANNULÉE.			
208	10	Anomalie naturelle		Anomalie naturelle Testée manuellement et ANNULÉE.			
209	10	Anomalie naturelle		Anomalie naturelle Testée manuellement et ANNULÉE.			
210	1	Mur	larg. : 46	Radier de fondation de mur linéaire d'orientation N/S d'une largeur de 46 cm. Interrompu dans sa partie nord (porte?) et dans l'alignement du mur F226 sis du côté nord de cette interruption. Non fouillé (seulement nettoyé).	624 / 625		Gallo-romain
211	1	Tranchée de récupération	larg. : 85 prof. : 12	Tranchée de récupération présentant un creusement linéaire d'orientation N/S au profil en cuvette très arasé. Vient récupérer l'angle des murs F284 et 11.	61 / 62	pl. ds.196 / pl.8 ds.32 / pl.8 ds.35	Gallo-romain
212	10	Anomalie naturelle	long. : 170 larg. : 158 prof. : 29	Anomalie naturelle présentant une interface, ou cisaillement naturel, de forme peu régulière et au profil en cuvette asymétrique. Testée mécaniquement, documentée pour preuve et annulée.	131 / 132 / 133	pl.15 ds.67 / pl.15 ds.68	
213	9	Anomalie naturelle		Anomalie naturelle Testée manuellement et ANNULÉE.			

Fait	TR	Type	Dimensions	description fait	liste_US	liste_dessins	Datation
214	10	Anomalie naturelle	long. : 176 diam. : 102 prof. : 48	Anomalie naturelle présentant une interface, ou cisaillement naturel, de forme ovoïde au profil en cuvette très irrégulière et asymétrique. Testée mécaniquement, documentée pour preuve et annulée.	140 / 141 / 142 / 143	pl.17 ds.74 / pl.17 ds.75	
215	10	Anomalie naturelle		Anomalie naturelle Testée manuellement et ANNULÉE.			
216	10	Anomalie naturelle		Anomalie naturelle Testée manuellement et ANNULÉE.			
217	10	Anomalie naturelle		Anomalie naturelle Testée manuellement et ANNULÉE.			
218	10	Drain	larg. : 15	Drain de terre cuite au creusement linéaire d'orientation NE/SO d'une largeur de 15 cm. Non fouillé.	628		Contemporain
219	10	Anomalie naturelle		Anomalie naturelle Testée manuellement et ANNULÉE.			
220	10	Anomalie naturelle		Anomalie naturelle Testée manuellement et ANNULÉE.			
221	10	Anomalie naturelle		Anomalie naturelle Testée manuellement et ANNULÉE.			
222	10	Anomalie naturelle		Anomalie naturelle Testée mécaniquement et ANNULÉE.			
223	10	Anomalie naturelle	long. : 237 larg. : 90	Anomalie naturelle testée mécaniquement et annulée. Un objet métallique a été ramassé à sa surface (=iso 2 dans US 0).			
224	10	Anomalie naturelle		Anomalie naturelle Testée manuellement et ANNULÉE.			
225	2	Mur	larg. : 100	Mur d'orientation N/S perpendiculaire au mur F427. Non fouillé (seulement nettoyé).	629 / 630	pl. ds.198	Gallo-romain
226	1	Mur	larg. : 46	Radier de fondation de mur linéaire d'orientation N/S et perpendiculaire au mur F6, d'une largeur de 46 cm. Interrompu dans sa partie sud (porte?) et dans l'alignement du mur F210 sis du côté sud de cette interruption. Non fouillé (seulement nettoyé).	626 / 627		Gallo-romain
227	6	Anomalie naturelle	larg. : 78	Anomalie naturelle Testée manuellement et ANNULÉE.			
228	11	Anomalie naturelle	diam. : 104 prof. : 25	Anomalie naturelle présentant une interface, ou cisaillement naturel, de forme subcirculaire au profil en cuvette à bords évasés et asymétriques. Testée mécaniquement, documentée pour preuve et annulée.	144 / 145 / 146	pl.17 ds.76 / pl.17 ds.77	
229	11	Anomalie naturelle		Anomalie naturelle Testée manuellement et ANNULÉE.			
230	11	Anomalie naturelle		Anomalie naturelle Testée manuellement et ANNULÉE.			
231	11	Anomalie naturelle		Anomalie naturelle Testée manuellement et ANNULÉE.			
232	11	Drain	larg. : 30	Drain de terre cuite au creusement linéaire d'orientation NO/SE d'une largeur de 30 cm. Non fouillé.	631		Contemporain
233	11	Anomalie naturelle		Anomalie naturelle Testée mécaniquement et ANNULÉE.			
234	11	Anomalie naturelle		Anomalie naturelle Testée mécaniquement et ANNULÉE.			
235	11	Fossé	larg. : 90	Fossé au creusement de forme linéaire, d'orientation NO/SE, dans le prolongement du fossé F259 (équivalent). Non fouillé. Perçu dans les tranchées 11 à 13.	632		Contemporain
236	11	Anomalie naturelle		Anomalie naturelle Testée mécaniquement et ANNULÉE.			
237	11	Anomalie naturelle		Anomalie naturelle Testée manuellement et ANNULÉE.			
238	11	Anomalie naturelle		Anomalie naturelle Testée manuellement et ANNULÉE.			

Fait	TR	Type	Dimensions	description fait	liste_US	liste_dessins	Datation
239	11	Anomalie naturelle		Anomalie naturelle Testée mécaniquement et ANNULÉE.			
240	12	Anomalie naturelle		Anomalie naturelle Testée manuellement et ANNULÉE.			
241	12	Anomalie naturelle		Anomalie naturelle Testée manuellement et ANNULÉE.			
242	12	Anomalie naturelle		Anomalie naturelle Testée mécaniquement et ANNULÉE.			
243	12	Anomalie naturelle		Anomalie naturelle Testée manuellement et ANNULÉE.			
244	12	Anomalie naturelle		Anomalie naturelle Testée mécaniquement et ANNULÉE.			
245	12	Fossé	larg. : 90 prof. : 32	Fossé au creusement linéaire d'orientation N/S présentant un profil en cuvette à bords évasés. Seulement observé dans la tranchée 12. Testé mécaniquement.	3 / 4	pl.18 ds.79	Gallo-romain
246	17	Chemin	larg. : 226 prof. : 28	Chemin creux d'orientation N/S présentant un profil en cuvette à bords très évasés, débordant sur le fossé bordier F249 sis directement à son est. Observé dans les tranchées 12 à 18. Testé mécaniquement.	147 / 148 / 160 / 161	pl.17 ds.78 / pl.19 ds.83	Gallo-romain
247	12	Fossé	larg. : 132 prof. : 40	Fossé observé dans les tranchées 12 à 14, au creusement de forme linéaire, d'orientation NO/SE et présentant un profil en cuvette à bords évasés et asymétriques. Testé mécaniquement.	152 / 153 / 154	pl.18 ds.80	Indet
248	12	Fossé	larg. : 98 prof. : 23	Fossé observé dans la tranchée 12, au creusement de forme linéaire, d'orientation NO/SE et présentant un profil en cuvette à bords évasés. Testé mécaniquement.	155 / 156	pl.18 ds.81	Indet
249	12	Fossé	larg. : 126 prof. : 43	Fossé bordier (observé dans les tranchées 12 et 13) d'orientation N/S, au creusement de forme linéaire et présentant un profil en cuvette à bords évasés. Se situe à l'est du chemin F246 et est équivalent au fossé F274 observé plus au sud dans les tranchées 15 à 18. Testé mécaniquement.	149 / 150 / 151		Gallo-romain
250	13	Anomalie naturelle		Anomalie naturelle Testée manuellement et ANNULÉE.			
251	13	Anomalie naturelle		Anomalie naturelle Testée manuellement et ANNULÉE.			
252	13	Anomalie naturelle		Anomalie naturelle Testée manuellement et ANNULÉE.			
253	13	Anomalie naturelle		Anomalie naturelle Testée manuellement et ANNULÉE.			
254	13	Anomalie naturelle		Anomalie naturelle Testée manuellement et ANNULÉE.			
255	14	Anomalie naturelle		Anomalie naturelle Testée mécaniquement et ANNULÉE.			
256	14	Anomalie naturelle	long. : 166 larg. : 80 prof. : 50	Anomalie naturelle présentant une interface, ou cisaillement naturel, de forme peu régulière et au profil en cuvette irrégulière. Testée mécaniquement, documentée pour preuve et annulée.	134 / 135	pl.16 ds.69 / pl.16 ds.70	
257	14	Anomalie naturelle		Anomalie naturelle Testée manuellement et ANNULÉE.			
258	14	Anomalie naturelle		Anomalie naturelle Testée mécaniquement et ANNULÉE.			
259	14	Fossé	larg. : 100	Fossé au creusement de forme linéaire, d'orientation NO/SE, dans le prolongement du fossé F235 (équivalent). Perpendiculaire au fossé F260. Non fouillé.	633		Contemporain
260	14	Fossé	larg. : 130 prof. : 46	Fossé au creusement de forme linéaire, d'orientation NE/SO et présentant un profil en cuvette à bords évasés et légèrement asymétriques. Perpendiculaire au fossé F259/235. Testé mécaniquement.	157 / 158 / 159	pl.18 ds.82	Contemporain
261	14	Anomalie naturelle		Anomalie naturelle Testée mécaniquement et ANNULÉE.			

Fait	TR	Type	Dimensions	description fait	liste_US	liste_dessins	Datation
262	15	Anomalie naturelle		Anomalie naturelle Testée manuellement et ANNULÉE.			
263	15	Anomalie naturelle		Anomalie naturelle Testée manuellement et ANNULÉE.			
264	15	Anomalie naturelle		Anomalie naturelle Testée mécaniquement et ANNULÉE.			
265	15	Anomalie naturelle		Anomalie naturelle Testée mécaniquement et ANNULÉE.			
266	15	Anomalie naturelle		Anomalie naturelle Testée manuellement et ANNULÉE.			
267	15	Anomalie naturelle		Anomalie naturelle Testée mécaniquement et ANNULÉE.			
268	15	Anomalie naturelle		Anomalie naturelle Testée manuellement et ANNULÉE.			
269	15	Anomalie naturelle		Anomalie naturelle Testée manuellement et ANNULÉE.			
270	15	Anomalie naturelle		Anomalie naturelle Testée manuellement et ANNULÉE.			
271	15	Anomalie naturelle		Anomalie naturelle Testée manuellement et ANNULÉE.			
272	15	Anomalie naturelle		Anomalie naturelle Testée manuellement et ANNULÉE.			
273	15	Anomalie naturelle		Anomalie naturelle Testée mécaniquement et ANNULÉE.			
274	17	Fossé	larg. : 84 prof. : 39	Fossé bordier (observé dans les tranchées 15 à 18) d'orientation N/S, au creusement de forme linéaire et présentant un profil en cuvette à bords évasés. Se situe à l'est du chemin F246 et est équivalent au fossé F249 observé plus au nord dans les tranchées 12 à 13. Testé mécaniquement.	162 / 163	pl.19 ds.83	Gallo-romain
275	15	Anomalie naturelle		Anomalie naturelle Testée mécaniquement et ANNULÉE.			
276	1	sépulture animale	diam. : 64 prof. : 8	Sépulture de canidé de forme subcirculaire présentant un creusement au profil en cuvette à fond plat et aux bords évasés. Fait très arasé. Fouillée manuellement.	11 / 12 / 13	pl.2 ds.11	Indet
277	15	Anomalie naturelle	diam. : 102 prof. : 30	Anomalie naturelle présentant une interface, ou cisaillement naturel, de forme subcirculaire au profil en cuvette asymétrique à bords évasés. Testée mécaniquement, documentée pour preuve et annulée.	136 / 137	pl.16 ds.71 / pl.16 ds.72	
278	15	Anomalie naturelle		Anomalie naturelle Testée manuellement et ANNULÉE.			
279	16	Anomalie naturelle		Anomalie naturelle Testée manuellement et ANNULÉE.			
280	16	Fossé	larg. : 73 prof. : 37	Fossé au creusement de forme linéaire d'orientation NE/SO présentant un profil en cuvette légèrement asymétrique. Parallèle au fossé F160 de la tranchée 14 au nord. Testé mécaniquement.	138 / 139	pl.16 ds.73	Contemporain
281	1	Mur	long. : 170 larg. : 43	Radier de fondation de mur, présentant un creusement linéaire d'orientation N/S, perpendiculaire au mur F6 et le long de F5, d'une largeur de 43 cm. Très arasé et diffus le creusement a difficilement été observé en coupe.	634 / 635	pl. ds.197	Gallo-romain
282	1	Mur	larg. : 66	Radier de fondation de mur, présentant un creusement linéaire d'orientation N/S, perpendiculaire au mur F6 (sur son côté nord) et se trouvant légèrement désaxé par rapport au mur F5 situé plus au sud (que ce soit dans son orientation et dans sa jonction). Très arasé et non fouillé (seulement nettoyé).	636 / 637	pl. ds.197	Gallo-romain
283	1	Fosse	long. : 80 larg. : 68	Fosse de forme oblongue au creusement assez diffus, présentant un profil en cuvette à bords très évasés. Testé manuellement.	29 / 30	pl.3 ds.18	La Tène Finale
284	1	Mur	larg. : 65 prof. : 40	Radier de fondation de mur, présentant un creusement linéaire d'orientation N/S et perpendiculaire au mur F11, d'une largeur de 65 cm et de 40 cm de profondeur observable.	65 / 66	pl. ds.196 / pl.8 ds.32 / pl.8 ds.35	Gallo-romain

Fait	TR	Type	Dimensions	description fait	liste_US	liste_dessins	Datation
285	1	TP	diam. : 70 prof. : 52	TP au creusement de forme subcirculaire et présentant un profil en "U" légèrement asymétrique. Testé manuellement.	68 / 69	pl. ds.196 / pl.8 ds.32	Gallo-romain
286	17	Drain		Drain de terre cuite au creusement linéaire d'orientation NO/SE d'une largeur de 30 cm. Non fouillé.			Contempo- rain
287	17	Anomalie naturelle		Anomalie naturelle Testée mécaniquement et ANNULÉE.			
288	17	Anomalie naturelle		Anomalie naturelle Testée mécaniquement et ANNULÉE.			
289	17	Anomalie naturelle		Anomalie naturelle Testée manuellement et ANNULÉE.			
290	17	Anomalie naturelle		Anomalie naturelle Testée manuellement et ANNULÉE.			
290	17	Anomalie naturelle		Anomalie naturelle Testée manuellement et ANNULÉE.			
291	17	Anomalie naturelle		Anomalie naturelle ANNULÉE.			
292	21	Fossé	larg. : 72 prof. : 28	Fossé au creusement de forme linéaire d'orientation NE/SO présentant un profil en cuvette à bords évasés. Recoupé orthogonalement par F293. Testé mécaniquement.	168 / 169	pl.19 ds.86	Indet
293	17	Anomalie naturelle		Anomalie naturelle Testée manuellement et ANNULÉE.			
294	17	Anomalie naturelle		Anomalie naturelle Testée mécaniquement et ANNULÉE.			
295	17	Anomalie naturelle		Anomalie naturelle Testée mécaniquement et ANNULÉE.			
296	17	Anomalie naturelle		Anomalie naturelle Testée mécaniquement et ANNULÉE.			
297	17	Fossé	larg. : 180 prof. : 65	Fossé au creusement de forme linéaire, d'orientation NE/SO, présentant un profil irrégulier en cuvette à bords très évasés et largement asymétriques. Testé mécaniquement.	218 / 219 / 220	pl.24 ds.104	Indet
298	17	Anomalie naturelle		Anomalie naturelle Testée mécaniquement et ANNULÉE.			
299	17	Anomalie naturelle		Anomalie naturelle Testée mécaniquement et ANNULÉE.			
300	18	Anomalie naturelle		Anomalie naturelle Testée mécaniquement et ANNULÉE.			
301	18	Anomalie naturelle		Anomalie naturelle Testée mécaniquement et ANNULÉE.			
302	19	Fossé	larg. : 68 prof. : 27	Fossé d'orientation N/S, au creusement de forme linéaire et présentant un profil en cuvette à bords évasés et légèrement asymétriques. Testé mécaniquement.	164 / 165	pl.19 ds.84	Gallo-romain
303	19	Anomalie naturelle		Anomalie naturelle Testée mécaniquement et ANNULÉE.			
304	19	Anomalie naturelle		Anomalie naturelle Testée manuellement et ANNULÉE.			
305	21	Anomalie naturelle		Anomalie naturelle Testée mécaniquement et ANNULÉE.			
306	21	Fossé	larg. : 62 prof. : 26	Fossé d'orientation NO/SE, au creusement de forme linéaire et présentant un profil en cuvette. Testé mécaniquement.	166 / 167	pl.19 ds.85	Indet
307	25	Anomalie naturelle		Anomalie naturelle Testée mécaniquement et ANNULÉE.			
308	25	Anomalie naturelle		Anomalie naturelle Testée mécaniquement et ANNULÉE.			
309	25	Anomalie naturelle		Anomalie naturelle Testée mécaniquement et ANNULÉE.			
310	25	Anomalie naturelle		Anomalie naturelle Testée mécaniquement et ANNULÉE.			
311	25	Anomalie naturelle		Anomalie naturelle Testée mécaniquement et ANNULÉE.			

Fait	TR	Type	Dimensions	description fait	liste_US	liste_dessins	Datation
312	25	Fossé	larg. : 166 prof. : 66	Fossé au creusement de forme linéaire, d'orientation NO/SE, présentant un profil en "V" à bords très évasés. Testé mécaniquement.	221 / 222	pl.24 ds.105	Moyen-Âge
313	25	Anomalie naturelle		Anomalie naturelle Testée manuellement et ANNULÉE.			
314	25	Anomalie naturelle		Anomalie naturelle Testée mécaniquement et ANNULÉE.			
315	25	Anomalie naturelle		Anomalie naturelle Testée mécaniquement et ANNULÉE.			
316	25	Anomalie naturelle		Anomalie naturelle Testée mécaniquement et ANNULÉE.			
317	25	Anomalie naturelle		Anomalie naturelle Testée mécaniquement et ANNULÉE.			
318	26	sépulture animale	larg. : 80 prof. : 8	Sépulture de bovin de forme oblongue dont le creusement présente un profil en cuvette à bords évasés et très arasés. Fouillée manuellement.	459 / 460 / 461		
319	26	Mare	larg. : 1070 prof. : 88	Large mare au creusement irrégulier présentant un profil en cuvette à fond relativement plat et à bords assez évasés. Testée mécaniquement.	225 / 226 / 227	pl.25 ds.107	Contemporain
320	26	Anomalie naturelle		Anomalie naturelle Testée mécaniquement et ANNULÉE.			
321	26	Anomalie naturelle		Anomalie naturelle Testée mécaniquement et ANNULÉE.			
322	26	Fossé	larg. : 70 prof. : 30	Fossé au creusement de forme linéaire, d'orientation NO/SE, présentant un profil en cuvette à fond plat et à bords obliques. Est aussi observé dans les tranchées 27 et 28. Testé mécaniquement.	223 / 224	pl.24 ds.106	Mod/ contempo
323	27	Fossé	larg. : 98 prof. : 44	Fossé au creusement de forme linéaire, d'orientation NO/SE, présentant un profil en cuvette. Correspond au fossé F330 dans la tranchée 28. Testé mécaniquement.	228 / 229		
324	27	Fosse	diam. : 115 prof. : 42	Fosse au creusement de forme circulaire présentant un profil en cuvette à fond relativement plat. Testée mécaniquement.	384 / 385	pl.37 ds.184 / pl.37 ds.185	Indet
325	27	Anomalie naturelle		Anomalie naturelle Testée mécaniquement et ANNULÉE.			
326	27	Fosse	diam. : 85 prof. : 30	Fosse de forme subcirculaire aux contours diffus, présentant un profil en cuvette à bords évasés. Testée mécaniquement.	230 / 231 / 232	pl.25 ds.109	Indet
327	27	Anomalie naturelle		Anomalie naturelle Testée mécaniquement et ANNULÉE.			
328	27	Anomalie naturelle		Anomalie naturelle Testée mécaniquement et ANNULÉE.			
329	28	Fossé	larg. : 133 prof. : 49	Fossé au creusement de forme linéaire, d'orientation NO/SE, présentant un profil en cuvette à bords évasés. Testé mécaniquement. Parallèle aux fossés F322 et 330 situés à l'est dans la même tranchée. Testé mécaniquement.	264 / 265	pl.29 ds.134	Moyen-Âge
330	28	Fossé	larg. : 120	Fossé au creusement de forme linéaire, d'orientation NO/SE et d'une largeur de 1,20 m. Correspond au fossé F323 dans la tranchée 27. Non fouillé.	638	pl.25 ds.108	Mod/ contempo
331	29	Fossé	larg. : 62	Fossé au creusement de forme linéaire, d'orientation E/O et d'une largeur de 62 cm. Non fouillé.	639		Indet
332	30	Fossé	larg. : 58 prof. : 26	Fossé au creusement de forme linéaire, d'orientation E/O présentant un profil en cuvette légèrement asymétrique. Testé mécaniquement.	312 / 313	pl.33 ds.156	Indet
333	30	Fossé		Equiv. 343 et 358			Indet
334	30	Anomalie naturelle		Anomalie naturelle Testée mécaniquement et ANNULÉE.			
335	30	Fossé	larg. : 100 prof. : 55	Fossé au creusement de forme linéaire, d'orientation E/O présentant un profil en cuvette à bords relativement obliques. Testé mécaniquement.	309 / 310 / 311	pl.32 ds.155	Indet

Fait	TR	Type	Dimensions	description fait	liste_US	liste_dessins	Datation
336	30	Fossé	larg. : 50	Fossé au creusement de forme linéaire, d'orientation NO/SE et d'une largeur de 50 cm. Est observé dans les tranchées 30 et 32, et est dans l'alignement de F359 plus au sud. Non fouillé.	640		Indet
337	30	Fossé	larg. : 60 prof. : 34	Fossé au creusement de forme linéaire, d'orientation NO/SE présentant un profil en cuvette à bords relativement obliques. Testé mécaniquement.	307 / 308	pl.32 ds.154	Indet
338	30	Anomalie naturelle		Anomalie naturelle Testée mécaniquement et ANNULÉE.			
339	30	Anomalie naturelle		Anomalie naturelle Testée manuellement et ANNULÉE.			
340	30	Mare	larg. : 550	Mare d'une largeur minimale de 5,50m correspondant peut-être à celle située plus au sud dans la tranchée 32 (F351). Non fouillée.	641		Indet
341	32	Anomalie naturelle		Anomalie naturelle Testée mécaniquement et ANNULÉE.			
342	32	Anomalie naturelle		Anomalie naturelle Testée mécaniquement et ANNULÉE.			
343	32	Fossé		Equiv. 333 et 343			Indet
344	32	Fossé	larg. : 72	Fossé au creusement de forme linéaire, d'orientation N/S, parallèle au fossé F345 à l'ouest, et d'une largeur de 72 cm. Non fouillé.	642		Moyen-Âge
345	32	Fossé	larg. : 50	Fossé au creusement de forme linéaire, d'orientation N/S, parallèle au fossé F344 à l'ouest, et d'une largeur de 50 cm. Non fouillé.	643		Indet
346	32	Fossé	larg. : 78 prof. : 30	Fossé au creusement de forme linéaire, d'orientation NO/SE présentant un profil en cuvette à bords évasés. Testé mécaniquement.	303 / 304	pl.32 ds.152	Indet
347	32	Anomalie naturelle		Anomalie naturelle Testée mécaniquement et ANNULÉE.			
348	32	Fossé	larg. : 80 prof. : 35	Fossé au creusement de forme linéaire, d'orientation N/S présentant un profil en cuvette irrégulière et asymétrique à bords évasés. Testé mécaniquement.	305 / 306	pl.32 ds.153	Moyen-Âge
349	32	Anomalie naturelle		Anomalie naturelle Testée manuellement et ANNULÉE.			
350	32	Anomalie naturelle		Anomalie naturelle Testée manuellement et ANNULÉE.			
351	32	Mare	larg. : 900	Large mare d'une largeur minimale de 9 m correspondant peut-être à celle située plus au nord dans la tranchée 30 (F340). Non fouillée.	411		Moyen-Âge
352	33	Anomalie naturelle		Anomalie naturelle Testée mécaniquement et ANNULÉE.			
353	33	Anomalie naturelle		Anomalie naturelle Testée mécaniquement et ANNULÉE.			
354	33	Anomalie naturelle		Anomalie naturelle Testée mécaniquement et ANNULÉE.			
355	33	Fossé	larg. : 129 prof. : 64	Fossé au creusement de forme linéaire, d'orientation N/S présentant un profil en cuvette irrégulière à bords évasés. Testé mécaniquement.	301 / 302	pl.32 ds.151	Indet
356	33	Anomalie naturelle		Anomalie naturelle Testée mécaniquement et ANNULÉE.			
357	33	Fossé	larg. : 78 prof. : 30	Fossé au creusement de forme linéaire, d'orientation N/S présentant un profil en cuvette. Testé mécaniquement.	299 / 300	pl.32 ds.150	Moyen-Âge



Fait	TR	Type	Dimensions	description fait	liste_US	liste_dessins	Datation
358	33	Fossé	larg. : 95 prof. : 33	Fossé au creusement de forme linéaire, d'orientation N/S présentant un profil en cuvette à bords évasés et asymétriques. Testé mécaniquement. Semble correspondre au fossé F343 plus au nord (tranchée 32).	294 / 295	pl.31 ds.149	Indet
359	33	Fossé	larg. : 94 prof. : 40	Fossé au creusement de forme linéaire, d'orientation N-NO/S-SE présentant un profil en cuvette à bords évasés et asymétriques. Testé mécaniquement. Semble correspondre au fossé F336 plus au nord (tranchée 32).	292 / 293	pl.31 ds.147	Indet
360	33	Fossé	larg. : 82 prof. : 36	Fossé au creusement de forme linéaire, d'orientation N/S présentant un profil en cuvette à bords évasés. Testé mécaniquement. Semble correspondre au fossé F344 plus au nord (tranchée 32).	296 / 297 / 298	pl.31 ds.148	Moyen-Âge
361	33	Fossé	larg. : 64 prof. : 20	Fossé au creusement de forme linéaire, d'orientation N-NE/S-SO présentant un profil en cuvette à bords évasés. Testé mécaniquement. Semble correspondre au fossé F345 plus au nord (tranchée 32).	290 / 291	pl.31 ds.146	Indet
362	33	Mare	larg. : 475	Mare d'une largeur minimale de 4,75 m. Non fouillée.	644		Moyen-Âge
363	33	Anomalie naturelle		Anomalie naturelle Testée mécaniquement et ANNULÉE.			
364	33	Fossé	larg. : 150 prof. : 76	Fossé au creusement de forme légèrement curviligne présentant un profil en cuvette à bords légèrement asymétriques, à ressauts et à fond plat.	285 / 286 / 287 / 288 / 289	pl.31 ds.145	Indet
365	33	Anomalie naturelle		Anomalie naturelle Testée mécaniquement et ANNULÉE.			
366	34	Anomalie naturelle		Anomalie naturelle Testée manuellement et ANNULÉE.			
367	34	Anomalie naturelle		Anomalie naturelle Testée mécaniquement et ANNULÉE.			
368	34	Anomalie naturelle		Anomalie naturelle Testée mécaniquement et ANNULÉE.			
369	34	Fossé	larg. : 66 prof. : 26	Fossé au creusement linéaire d'orientation NE/SO présentant un profil en cuvette à bords asymétriques. Testé mécaniquement.	262 / 263	pl.28 ds.133	Moyen-Âge
370	34	Anomalie naturelle		Anomalie naturelle Testée mécaniquement et ANNULÉE.			
371	4	Fosse	diam. : 110 prof. : 38	Fosse de forme subcirculaire présentant un profil en cuvette à fond plat aux bords légèrement évasés. Testée mécaniquement.	59 / 60	pl.7 ds.1	Gallo-romain
372	1	Fossé	larg. : 82 prof. : 26	Fossé au creusement linéaire d'orientation O/E présentant un profil en cuvette à bords évasés et fond plat. Testé mécaniquement.	17 / 18 / 72 / 73	pl. ds.196 / pl.2 ds.13 / pl.8 ds.33 / pl.8 ds.34	Gallo-romain
373	34	Anomalie naturelle		Anomalie naturelle Testée mécaniquement et ANNULÉE.			
374	34	Anomalie naturelle		Anomalie naturelle Testée mécaniquement et ANNULÉE.			
375	34	Anomalie naturelle		Anomalie naturelle Testée mécaniquement et ANNULÉE.			
376	34	Anomalie naturelle		Anomalie naturelle Testée mécaniquement et ANNULÉE.			
377	34	Anomalie naturelle		Anomalie naturelle Testée mécaniquement et ANNULÉE.			
379	34	Fossé	larg. : 212 prof. : 110	Fossé au creusement de forme linéaire, d'orientation NE/SO et présentant un profil en cuvette à bords obliques, légèrement asymétriques. Testé mécaniquement.	258 / 259 / 260 / 261	pl.28 ds.132	Moyen-Âge
380	34	Fossé		Forme un angle avec F381			Mod/ contempo

Fait	TR	Type	Dimensions	description fait	liste_US	liste_dessins	Datation
381	35	Fossé	larg. : 60 prof. : 11	Fossé au creusement de forme linéaire, d'orientation NE/SO, présentant un profil en cuvette à bords très évasés. Testé mécaniquement. Est perpendiculaire au fossé F380.	268 / 269	pl.29 ds.136	Mod/ contempo
382	35	Anomalie naturelle		Anomalie naturelle Testée mécaniquement et ANNULÉE.			
383	35	Anomalie naturelle		Anomalie naturelle Testée mécaniquement et ANNULÉE.			
384	38	Fossé	larg. : 68 prof. : 34	Fossé au creusement de forme linéaire, d'orientation N/S, présentant un profil en cuvette à bords obliques légèrement asymétriques. Testé mécaniquement.	386 / 387 / 388	pl.37 ds.186	Gallo-romain
385	38	fosse d'extraction	diam. : 675	Très large fosse au creusement de forme subcirculaire qui n'a pu être observé que sur les 2/3 de sa longueur et sur une partie seulement de sa hauteur. Le profil sud-est observé est à ressauts avec effondrements de parois. Testé mécaniquement.	266 / 267	pl.29 ds.135	Gallo-romain
386	32	Anomalie naturelle		Anomalie naturelle ANNULÉE.			
387	35	Anomalie naturelle		Anomalie naturelle Testée mécaniquement et ANNULÉE.			
388	35	Anomalie naturelle		Anomalie naturelle Testée mécaniquement et ANNULÉE.			
389	48	Fosse	diam. : 124 prof. : 34	Fosse au creusement de forme subcirculaire (pris sous berme nord-est), présentant un profil en cuvette aux bords évasés et légèrement asymétriques. Testée manuellement.	239 / 240 / 241	pl.26 ds.116	Proto Indet
390	7	TP	diam. : 80	TP de forme subcirculaire de 80 cm de diamètre. Ce TP constitue un bâtiment carré avec les 3 autres TP découverts dans la zone : F171, F391 et 392. Non fouillé.	645		Proto Indet
391	7	TP	diam. : 70	TP de forme subcirculaire de 70 cm de diamètre. Ce TP constitue un bâtiment carré avec les 3 autres TP découverts dans la zone : F171, F390 et 392. Non fouillé.	646		Proto Indet
392	7	TP	diam. : 70	TP de forme subcirculaire de 70 cm de diamètre. Ce TP constitue un bâtiment carré avec les 3 autres TP découverts dans la zone : F171, F390 et 391. Non fouillé.	647		Proto Indet
393	53	Anomalie naturelle		Anomalie naturelle Testée mécaniquement et ANNULÉE.			
394	53	Anomalie naturelle		Anomalie naturelle Testée mécaniquement et ANNULÉE.			
395	6	TP	diam. : 117	TP de forme subcirculaire contemporain des TP F161 et 162 situés au sud. Non fouillé.	648		La Tène Finale
396	2	Fosse	diam. : 95 prof. : 20	Fosse de forme subcirculaire (recoupée en moitié de sa surface par le mur F23), présentant un profil en cuvette à bords évasés. Testée manuellement.	99 / 100	pl. ds.199 / pl.10 ds.44	Gallo-romain
397	2	Fosse	larg. : 410	Large fosse au creusement irrégulier (pris sous berme sud-est) sise sur F24. Non fouillée.	452	pl. ds.199	Gallo-romain
398	2	Fosse	larg. : 200	Large fosse au creusement irrégulier (pris sous berme sud-est) sise sur F25 et F26. Non fouillée.	412	pl. ds.199	Gallo-romain
399	2	Fosse	diam. : 88	Large fosse au creusement subcirculaire s'établissant sur F398. Non fouillée.	649	pl. ds.199	Indet
400	54	Anomalie naturelle		Anomalie naturelle Testée mécaniquement et ANNULÉE.			
401	54	Anomalie naturelle		Anomalie naturelle Testée mécaniquement et ANNULÉE.			
402	52	Anomalie naturelle		Anomalie naturelle Testée mécaniquement et ANNULÉE.			
403	52	Anomalie naturelle		Anomalie naturelle Testée mécaniquement et ANNULÉE.			
404	51	Anomalie naturelle		Anomalie naturelle Testée mécaniquement et ANNULÉE.			
405	51	Anomalie naturelle		Anomalie naturelle Testée manuellement et ANNULÉE.			

Fait	TR	Type	Dimensions	description fait	liste_US	liste_dessins	Datation
406	50	Anomalie naturelle		Anomalie naturelle Testée mécaniquement et ANNULÉE.			
407	50	Anomalie naturelle		Anomalie naturelle Testée manuellement et ANNULÉE.			
408	50	Anomalie naturelle		Anomalie naturelle Testée manuellement et ANNULÉE.			
409	50	Anomalie naturelle		Anomalie naturelle Testée manuellement et ANNULÉE.			
410	49	Anomalie naturelle		Anomalie naturelle Testée manuellement et ANNULÉE.			
411	49	Anomalie naturelle		Anomalie naturelle Testée manuellement et ANNULÉE.			
412	49	Anomalie naturelle		Anomalie naturelle Testée mécaniquement et ANNULÉE.			
413	49	Anomalie naturelle		Anomalie naturelle Testée manuellement et ANNULÉE.			
414	48	Anomalie naturelle		Anomalie naturelle Testée mécaniquement et ANNULÉE.			
415	48	Anomalie naturelle		Anomalie naturelle Testée manuellement et ANNULÉE.			
416	48	Anomalie naturelle		Anomalie naturelle Testée manuellement et ANNULÉE.			
417	48	Anomalie naturelle		Anomalie naturelle Testée manuellement et ANNULÉE.			
418	48	Labour		Trace de charrue/labour contemporaine Testée manuellement et ANNULÉE.			
419	48	Labour		Trace de charrue/labour contemporaine Testée manuellement et ANNULÉE.			
420	48	Labour		Trace de charrue/labour contemporaine Testée manuellement et ANNULÉE.			
421	48	Anomalie naturelle		Anomalie naturelle Testée manuellement et ANNULÉE.			
422	48	Anomalie naturelle		Anomalie naturelle Testée manuellement et ANNULÉE.			
423	48	Anomalie naturelle		Anomalie naturelle Testée mécaniquement et ANNULÉE.			
424	48	Anomalie naturelle		Anomalie naturelle ou bioturbation Testée mécaniquement et ANNULÉE.			
425	48	Anomalie naturelle		Anomalie naturelle ou bioturbation Testée mécaniquement et ANNULÉE.			
426	48	Anomalie naturelle		Anomalie naturelle ou bioturbation Testée mécaniquement et ANNULÉE.			
427	2	Mur	larg. : 62	Mur d'orientation O/E perpendiculaire au mur F225	402 / 403	pl. ds.198 / pl.1 ds.192 / pl.1 ds.5	Gallo-romain
428	5	TP	diam. : 41	TP de forme circulaire. Se situe, à l'ouest de la ligne de TP F431, 432, 429 et 91. Non fouillé.	606		La Tène Finale
429	5	TP	long. : 46 larg. : 40 prof. : 19	Petit TP de forme légèrement ovoïde présentant un profil en cuvette aux bords évasés et légèrement asymétriques. Aligné avec les TP F431, 432 et 91. Testé manuellement.	120 / 121	pl.14 ds.62 / pl.14 ds.63	La Tène Finale
430	5	TP	diam. : 39	TP de forme circulaire. Se situe, comme le TP F92 à l'est de la ligne de TP F431, 432, 429 et 91. Non fouillé.	605		La Tène Finale
431	5	TP	diam. : 50	TP de forme circulaire, aligné avec les TP F429, 432 et 91. Non fouillé.	607		La Tène Finale
432	5	TP	diam. : 45	TP de forme circulaire, aligné avec les TP F429, 431 et 91. Non fouillé.	608		La Tène Finale
433	55	Anomalie naturelle		Anomalie naturelle Testée mécaniquement et ANNULÉE.			La Tène Finale
434	56	Fosse	long. : 70 larg. : 60 prof. : 16	Fosse de forme ovoïde présentant un profil en cuvette à bords légèrement évasés. Testé manuellement.	246 / 247	pl.27 ds.120 / pl.27 ds.121	Indet

Fait	TR	Type	Dimensions	description fait	liste_US	liste_dessins	Datation
435	57	Fosse	diam. : 66 prof. : 14	Petite fosse au creusement de forme circulaire présentant un profil en cuvette aux parois évasées et très arasés. Testée manuellement.	252 / 253	pl.27 ds.126 / pl.27 ds.127	Indet
436	58	Drain	larg. : 23	Drain au creusement linéaire d'orientation O-NO/E-SE d'une largeur de 23 cm. Non fouillé.	650		Contemporain
437	58	Mare	larg. : 1780	Mare d'une largeur minimale de 17,80 m. Non fouillée.	657		Contemporain
438	58	Fossé	larg. : 140	Fossé au creusement linéaire d'orientation NE/SO d'une largeur de 140 cm et observé dans les tranchées 58 et 67. Non fouillé.	658		Contemporain
439	59	Anomalie naturelle		Anomalie naturelle Testée mécaniquement et ANNULÉE.			
440	59	Anomalie naturelle		Anomalie naturelle Testée mécaniquement et ANNULÉE.			
441	59	Drain	larg. : 18	Drain au creusement linéaire d'orientation NO/SE d'une largeur de 18 cm. Non fouillé.	651		Contemporain
442	60	Fosse	long. : 164 larg. : 122 prof. : 25	Fosse au creusement de forme ovale présentant un profil diffus en cuvette irrégulière et aux bords très évasés. Testée manuellement.	343 / 344 / 345 / 346	pl.35 ds.169 / pl.35 ds.170	Proto Indet
443	61	Fosse	diam. : 58 prof. : 6	Fosse au creusement de forme circulaire présentant un profil en cuvette très évasée et arasée. Testée manuellement.	235 / 236	pl.26 ds.112 / pl.26 ds.113	Proto Indet
444	61	Anomalie naturelle		Anomalie naturelle Testée mécaniquement et ANNULÉE.			
445	61	Anomalie naturelle		Anomalie naturelle Testée mécaniquement et ANNULÉE.		pl.26 ds.114 / pl.26 ds.115	
446	62	Fosse	diam. : 58 prof. : 6	Fosse au creusement de forme circulaire présentant un profil en cuvette très évasée et arasée. Testée manuellement.	237 / 238		Indet
447	62	Anomalie naturelle		Anomalie naturelle Testée mécaniquement et ANNULÉE.			
448	63	Anomalie naturelle		Anomalie naturelle Testée manuellement et ANNULÉE.			
449	63	Anomalie naturelle		Anomalie naturelle Testée manuellement et ANNULÉE.			
450	64	Drain	larg. : 30	Drain au creusement linéaire d'orientation N/S d'une largeur de 30 cm. Non fouillé.	652		Contemporain
451	64	Drain	larg. : 25	Drain au creusement linéaire d'orientation N/S d'une largeur de 25 cm. Non fouillé.	653		Contemporain
452	3	Tranchée de récupération	long. : 344 larg. : 146 prof. : 73	Tranchée de récupération au creusement de forme rectangulaire présentant un profil en auge aux parois verticales et à fond asymétrique. Récupère très largement le mur F38. Testé manuellement.	370 / 371 / 372 / 373 / 374	pl. ds.200 / pl.36 ds.183	Gallo-romain
453	3	Fosse	diam. : 58 prof. : 6	Fosse au creusement de forme circulaire présentant un profil en cuvette très évasée et arasée. Testée manuellement.	375 / 376	pl. ds.200 / pl.36 ds.183	Gallo-romain
454	3	Fosse	larg. : 200	Fosse au creusement de forme irrégulière sise au sud et sur le mur F461. Non fouillée (seulement nettoyée en surface).	661	pl. ds.200	Gallo-romain
455	3	ANNULÉE		F455 a été annulé et son US constitutive 377 est égale à l'US 498 donnée à posteriori et dans laquelle a été enregistré le mobilier.	498	pl. ds.200	
456	3	Fosse		Large fosse au creusement de forme irrégulière sise au nord et sur le mur F461. Non fouillée (seulement nettoyée en surface).	663	pl. ds.200	Gallo-romain
457	3	Fosse	larg. : 152	Fosse au creusement de forme irrégulière sise sur le mur F37. Non fouillée (seulement nettoyée en surface).	662	pl. ds.200	Gallo-romain
458	3	Mur	larg. : 38	Fondation de mur, d'orientation E/O recoupée par les murs F34 et F36. Sa partie orientale, comprise entre ces 2 murs semble avoir été récupérée en partie. Non fouillée (seulement nettoyé).	664 / 665		Gallo-romain
459	3	TP	diam. : 47	TP de forme subcirculaire situé à l'angle des murs F39 et F37. Non fouillée (seulement nettoyé).	416	pl. ds.200	Gallo-romain

Fait	TR	Type	Dimensions	description fait	liste_US	liste_dessins	Datation
460	65	Chemin	larg. : 390	Chemin creux d'orientation N/S présentant un lit de cailloux en surface. Certainement équivalent à F468 (très mal conservé en tranchées 67 et 68) et à F463 plus au sud (tranchée 65). Testé mécaniquement.	666		Indet
461	3	Mur	larg. : 58	Fondation de mur, au creusement de forme linéaire d'orientation E/O, présentant un profil peu perceptible à la fouille (certainement tranchée aveugle). En partie récupérée par F452 (à l'est), il est perpendiculaire à F38, et est d'une largeur de 58 cm (la profondeur n'a pu être observée).	659 / 660	pl. ds.200	Gallo-romain
462	66	Anomalie naturelle		Anomalie naturelle Testée mécaniquement et ANNULÉE.			
463	66	Chemin	larg. : 348 prof. : 22	Chemin creux d'orientation N/S présentant un profil arasé peu perceptible. Certainement équivalent à F468 (très mal conservé en tranchées 67 et 68) et à F460 plus au nord (tranchée 65). Testé mécaniquement.	325 / 326	pl.34 ds.161	Indet
464	66	Anomalie naturelle		Anomalie naturelle Testée mécaniquement et ANNULÉE.			
465	3	Tranchée de récupération	larg. : 55	Tranchée de récupération présentant un creusement linéaire d'orientation E/O (faisant une perpendiculaire N/S au dessus de F34). Recoupe aussi F466. Présente une largeur d'environ 55 cm.	591 / 592		Gallo-romain
466	3	Fosse	diam. : 140	Fosse au creusement de forme subcirculaire recoupée par F465. Non fouillée (seulement nettoyée en surface).	439		Gallo-romain
467	67	Fosse	diam. : 76 prof. : 20	Fosse de forme subcirculaire présentant un profil en cuvette à bords évasés et légèrement asymétriques. Se situe à proximité immédiate de la fosse F562. Testée mécaniquement.	272 / 273	pl.30 ds.137 / pl.30 ds.138	Haut Moyen-Âge
468	68	Chemin	larg. : 140	Chemin creux mal conservé d'orientation N/S présentant un lit de cailloux en surface. Certainement équivalent à F463 au sud (tranchées 66) et à F460 plus au nord (tranchée 65). Non fouillé.	667		Indet
469	68	Anomalie naturelle		Anomalie naturelle Testée mécaniquement et ANNULÉE.			
470	69	Anomalie naturelle		Anomalie naturelle Testée mécaniquement et ANNULÉE.			
471	69	Anomalie naturelle		Anomalie naturelle Testée mécaniquement et ANNULÉE.			
472	5	Sépulture	long. : 215 larg. : 55	Fosse de sépulture d'orientation E/O, de forme oblongue située le long du côté sud du mur F105. Non fouillée (nettoyée en surface).	668	pl. ds.201	Haut Moyen-Âge
473	5	Tranchée de récupération	long. : 290 larg. : 65	Tranchée de récupération située à l'angle des murs F105 et F474. Non fouillé (seulement nettoyé).	612 / 613	pl. ds.201	Indet
474	5	Mur	long. : 1750 larg. : 65	Radier de fondation de mur arasé, au creusement linéaire d'orientation N/S. Perpendiculaire au murs F482, F105 et parallèle au mur F132, il constitue la partie orientale d'un ensemble parfaitement carré de 17,5m de côté. Sa partie septentrionale est récupérée par la tranchée F473. Non fouillé (seulement nettoyé en partie).	614 / 615		Indet
475	5	Sépulture	long. : 197 larg. : 60	Fosse de sépulture d'orientation E/O, de forme oblongue située à l'est du mur F474. Non fouillée (nettoyée en surface).	670		Haut Moyen-Âge
476	5	Sépulture	long. : 197 larg. : 60	Fosse de sépulture d'orientation E/O, de forme oblongue située à l'est de la sépulture F475 (en partie prise sous la berme est de l'extension nord de la tranchée 5). Non fouillée (nettoyée en surface).	671		Haut Moyen-Âge
477	5	Sépulture	long. : 219 larg. : 60	Fosse de sépulture d'orientation E/O, de forme oblongue située à l'est du mur F32 (en partie prise sous la berme nord de l'extension de la tranchée 5). Non fouillée (nettoyée en surface).	672		Haut Moyen-Âge
478	5	Sépulture	long. : 230 larg. : 56	Fosse de sépulture d'orientation E/O, de forme oblongue située au sud-est de la sépulture F477 (dans l'extension de la tranchée 5). Non fouillée (nettoyée en surface).	451		Haut Moyen-Âge
479	5	Fosse	larg. : 213	Large fosse indéterminée, de forme irrégulière située entre les sépultures F478 et F480, 481 (dans l'extension de la tranchée 5). Non fouillée (nettoyée en surface).	675		Indet

Fait	TR	Type	Dimensions	description fait	liste_US	liste_dessins	Datation
480	5	Sépulture	larg. : 58	Fosse de sépulture d'orientation E/O, de forme oblongue située à l'est de la fosse F479 (dans l'extension de la tranchée 5). Sa partie est prise sous la berme est de l'extension. Non fouillée (nettoyée en surface).	673		Haut Moyen-Âge
481	5	Sépulture	larg. : 48	Fosse de sépulture d'orientation E/O, de forme oblongue située à l'est de la fosse F479 (dans l'extension de la tranchée 5). Sa partie est prise sous la berme est de l'extension. Non fouillée (nettoyée en surface).	674		Haut Moyen-Âge
482	5	Mur	long. : 1750 larg. : 65	Radier de fondation de mur arasé, au creusement linéaire d'orientation E/O. Perpendiculaire aux murs F474, F132 et parallèle aux murs F105/473, il constitue la partie méridionale d'un ensemble parfaitement carré de 17,5m de côté. Non fouillé (seulement nettoyé en partie).	616 / 617		Indet
483	6	Fossé	larg. : 110 prof. : 80	Fossé au creusement de forme linéaire, d'orientation NO/SE et présentant un profil en "V" à bords supérieurs convexes Est parallèle et est recoupé par F142 sis à son ouest. Testé mécaniquement.	170 / 171 / 172	pl.20 ds.87	Moyen-Âge
484	5	Sépulture	larg. : 60	Fosse de sépulture d'orientation E/O, de forme oblongue située au sud de la sépulture F102. Sa partie sud est prise sous la berme sud-est de la tranchée. Non fouillée (nettoyée en surface).	676		Haut Moyen-Âge
485	69	Drain	larg. : 114	Drain au creusement linéaire d'orientation NO/SE d'une largeur de 114 cm. Correspond au drain F487 situé au sud dans la tranchée 70. Testé mécaniquement.	680		Contemporain
486	70	Fosse	diam. : 94 prof. : 26	Fosse de forme circulaire (pris sous berme SE) présentant un profil en cuvette à fond relativement plat et à bords évasés. Testée manuellement.	565 / 566	pl.30 ds.195	Contemporain
487	70	Drain	larg. : 114	Drain au creusement linéaire d'orientation NO/SE d'une largeur de 114 cm. Correspond au drain F485 situé au nord dans la tranchée 69. Testé mécaniquement.	681		Contemporain
488	71	ANNU-LÉ					
489	69	Fossé	larg. : 130	Fossé au creusement de forme linéaire, d'orientation NO/SE, et d'une largeur de 130 cm. A été observé dans les tranchées 69, 70, 71, et 73. Non fouillé.	682		Indet
490	71	Fosse	long. : 102 larg. : 94 prof. : 15	Fosse au creusement de forme assez irrégulière présentant un profil en cuvette arasé et irrégulier. Testée manuellement.	389 / 390	pl.37 ds.187 / pl.37 ds.188	Indet
491	72	fosse d'extraction	long. : 3300	Très large fosse au creusement irrégulier dont le côté nord-ouest sondé présente un bord en profil en cuvette à ressaut plat supérieur. Le fond n'a pu être observé. Testée mécaniquement.	393 / 394 / 395 / 396 / 397 / 398 / 399 / 400 / 401 / 405	pl.38 ds.191	Gallo-romain
492	73	Fossé	larg. : 92	Fossé au creusement de forme linéaire, d'orientation NO/SE, et d'une largeur de 92 cm. Est aligné avec le fossé F522 plus au sud (Tr.74). Non fouillé.	683		
493	73	Anomalie naturelle		Anomalie naturelle Testée manuellement et ANNULÉE.			
494	73	Anomalie naturelle		Anomalie naturelle Testée mécaniquement et ANNULÉE.			
495	3	TP	diam. : 90	TP de forme circulaire. Non fouillé (seulement nettoyé). Semble fonctionner avec les TP F496, 56 et 57.	684		La Tène Moyenne
496	3	TP	diam. : 90	TP de forme circulaire. Non fouillé (seulement nettoyé). Semble fonctionner avec les TP F495, 56 et 57.	685		La Tène Moyenne
497	3	Fosse	diam. : 98 prof. : 38	Fosse de forme circulaire (prise sous berme) présentant un profil en cuvette à bords évasés. Testée manuellement. Recoupe le TP F56.	190 / 191 / 192	pl.22 ds.95 / pl.22 ds.97	Gallo-romain
498	73	Anomalie naturelle		Anomalie naturelle Testée manuellement et ANNULÉE.			
499	73	Fosse	long. : 144 larg. : 104 prof. : 40	Fosse au creusement de forme ovoïde présentant un profil en cuvette à fond plat et aux bords asymétriques. Testé manuellement.	341 / 342	pl.34 ds.168	Indet

Fait	TR	Type	Dimensions	description fait	liste_US	liste_dessins	Datation
500	73	Fosse	larg. : 78 prof. : 16	Fosse de forme subrectangulaire présentant un profil arasé (et partiel car sous berme) en cuvette à fond relativement plat. Testée manuellement.	391 / 392	pl.38 ds.189 / pl.38 ds.190	Indet
501	73	Fossé	larg. : 114 prof. : 39	Fossé au creusement de forme linéaire d'orientation N/S présentant un profil en cuvette à bords évasés et asymétriques. Testé mécaniquement. Ce fossé semble être le prolongement du fossé F564 (tranchée 74). Il est perpendiculaire au fossé F514 (tranchée 73).	282 / 283 / 284	pl.30 ds.144	Gallo-romain
502	73	Fossé	larg. : 72	Fossé au creusement de forme linéaire, d'orientation E/O, équivalent au fossé F509 situé plus à l'est (Tr.74). Non fouillé.	686		Gallo-romain
503	73	Fossé	larg. : 73	Fossé au creusement de forme linéaire, d'orientation E/O, équivalent au fossé F535 situé plus à l'est (Tr.74). Non fouillé.	687		Gallo-romain
504	73	Drain	larg. : 48	Drain au creusement linéaire d'orientation N/S d'une largeur de 48 cm. Non fouillé.	654		Contemporain
505	73	Fossé	larg. : 65 prof. : 26	Fossé au creusement de forme linéaire, d'orientation NO/SE, présentant un profil en auge à bords obliques. Testé mécaniquement.	364 / 365	pl.35 ds.178	Indet
506	73	Fossé	larg. : 75 prof. : 44	Fossé au creusement de forme linéaire, d'orientation N/S, présentant un profil en cuvette à bords évasés et légèrement asymétriques. Il semble correspondre au fossé F565, plus au nord, dans la tranchée 72. Testé mécaniquement.	366 / 367	pl.35 ds.179	Indet
507	73	Fossé	larg. : 76 prof. : 44	Fossé au creusement de forme linéaire, d'orientation E/O, présentant un profil en cuvette à bords obliques. Testé mécaniquement.	362 / 363	pl.35 ds.177	Mod/ contempo
508	74	Anomalie naturelle		Anomalie naturelle Testée mécaniquement et ANNULÉE.			
509	74	Fossé	larg. : 82 prof. : 54	Fossé au creusement de forme linéaire, d'orientation E/O, présentant un profil en cuvette à bords obliques. Testé mécaniquement.	352 / 353 / 354	pl.35 ds.173	Gallo-romain
510	74	Fossé	larg. : 86 prof. : 26	Fossé au creusement de forme linéaire d'orientation NO/SE, présentant un profil en auge à bords obliques. Recoupe les fossés F537 et 564 dans cette même tranchée. Dans l'alignement du fossé F536.	276 / 277	pl.30 ds.140	Indet
511	74	Fosse	long. : 138 larg. : 86 prof. : 38	Fosse de forme oblongue présentant un profil en cuvette à fond relativement plat, aux bords légèrement asymétriques et évasés en partie supérieure. Testée manuellement.	256 / 257	pl.27 ds.130 / pl.27 ds.131 / pl.35 ds.181 / pl.35 ds.182	Gallo-romain
512	74	Anomalie naturelle		Anomalie naturelle Testée mécaniquement et ANNULÉE.			
513	74	Fosse	long. : 120 larg. : 108 prof. : 10	Fosse au creusement de forme subrectangulaire présentant un profil très arasé à fond plat. Testé mécaniquement.	339 / 340	pl.34 ds.166 / pl.34 ds.167	Gallo-romain
514	74	Fossé	larg. : 82 prof. : 38	Fossé au creusement de forme linéaire et d'orientation E/O, présentant un profil en cuvette à bords obliques à évasés (asymétriques). Testé mécaniquement. Ce fossé a été observé aussi dans la tranchée 73 et semble être le prolongement du fossé F529 (tranchée 77). Il est perpendiculaire au fossé F501 (tranchée 73).	274 / 275	pl.30 ds.139	Gallo-romain
515	74	Fossé	larg. : 82 prof. : 37	Fossé au creusement de forme linéaire, d'orientation E/O, présentant un profil en cuvette à bords obliques. Testé mécaniquement.	350 / 351	pl.35 ds.172	Indet
516	74	Anomalie naturelle		Anomalie naturelle Testée manuellement et ANNULÉE.			
517	77	Fossé	larg. : 74 prof. : 30	Fossé au creusement de forme linéaire, d'orientation NO/SE présentant un profil en cuvette asymétrique. Observé aussi dans la tranchée 73, ce fossé rejoint perpendiculairement le fossé F518. Il est recoupé par le fossé F526. Testé mécaniquement.	318 / 319	pl.34 ds.159	Indet

Fait	TR	Type	Dimensions	description fait	liste_US	liste_dessins	Datation
518	74	Fossé	larg. : 52	Fossé au creusement de forme linéaire, d'orientation NE/SO. Il constitue la suite du fossé F520 situé de l'autre côté de F519 (qui le coupe orthogonalement) et est perpendiculaire au fossé F517, dans sa partie sud-ouest. Non fouillé.	688		Indet
519	74	Fossé	larg. : 68	Fossé au creusement de forme linéaire, d'orientation NO/SE qui rejoint le fossé F519 perpendiculairement (recoupe perpendiculairement F518/520). Testé mécaniquement.	689		Indet
520	74	Fossé	larg. : 100 prof. : 40	Fossé au creusement de forme linéaire, d'orientation NE/SO présentant un profil en cuvette légèrement asymétrique. Il est recoupé perpendiculairement par le fossé F519, et se prolonge au delà de ce dernier, à l'ouest (égal à F518 qui rejoint perpendiculairement F517). Testé mécaniquement.	327 / 328	pl.34 ds.162	Indet
521	74	Fossé	larg. : 92 prof. : 40	Fossé au creusement de forme linéaire, d'orientation NE/SO présentant un profil en cuvette. Il rejoint le fossé F519 perpendiculairement. Testé mécaniquement.	329 / 330	pl.34 ds.162	Indet
522	74	Fossé	larg. : 85	Fossé au creusement de forme linéaire, d'orientation NO/SE. Il est équivalent au fossé F525 situé plus au sud (Tr.77) et est perpendiculaire aux fossés F520 et 521 (Tr.74). Non fouillé.	690		Indet
523	75	Fossé	larg. : 102 prof. : 54	Fossé au creusement de forme linéaire, d'orientation NE/SO, présentant un profil en cuvette à bords asymétriques et légèrement irréguliers. Testé mécaniquement.	347 / 348 / 349	pl.35 ds.171	Indet
524	76	Fossé	larg. : 90 prof. : 49	Fossé au creusement de forme linéaire, d'orientation NO/SE présentant un profil en auge à rebords asymétriques et obliques. Testé mécaniquement.	323 / 324	pl.34 ds.160	Indet
525	77	Fossé	larg. : 130 prof. : 50	Fossé au creusement de forme linéaire, d'orientation NO/SE présentant un profil en cuvette irrégulier et très asymétrique. Il est aligné au fossé F522 situé dans la tranchée 74, plus au nord.. Testé mécaniquement.	336 / 337 / 338	pl.34 ds.165	Indet
526	77	Fossé	larg. : 110 prof. : 46	Fossé au creusement de forme linéaire, d'orientation NO/SE présentant un profil en cuvette à bords légèrement évasés. Il recoupe le fossé F517. Testé mécaniquement.	320 / 321 / 322		Indet
527	77	Fossé	larg. : 72 prof. : 26	Fossé au creusement de forme linéaire, d'orientation N/S présentant un profil en cuvette. Il est antérieur à F528. Testé mécaniquement.	334 / 335	pl.34 ds.164	Indet
528	66	Chemin	larg. : 348 prof. : 22	Chemin creux d'orientation au creusement/interface de forme linéaire et d'orientation NE/SO, présentant un profil arasé et irrégulier. Est postérieur à F527. Testé mécaniquement.	368 / 369	pl.35 ds.180	Mod/ contempo
529	77	Fossé		Fossé dans la continuité de F514, tranchée 74 et 73	444		Gallo-romain
530	77	Anomalie naturelle		Anomalie naturelle Testée mécaniquement et ANNULÉE.			
531	77	Anomalie naturelle		Anomalie naturelle Testée manuellement et ANNULÉE.			
532	77	Fossé	larg. : 108 prof. : 43	Fossé au creusement de forme linéaire, d'orientation N/S, présentant un profil en cuvette à bords très évasés et asymétriques. Est perpendiculaire au fossé F533. Testé mécaniquement.	360 / 361	pl.35 ds.176	Gallo-romain
533	77	Fossé	larg. : 110 prof. : 18	Fossé au creusement de forme linéaire, d'orientation E/O présentant un profil en cuvette très évasé et arasé. Il est perpendiculaire au fossé F532. Testé mécaniquement.	332 / 333	pl.34 ds.163	Gallo-romain
534	77	sépulture animale	long. : 80 larg. : 55	Fosse de sépulture animale de forme ovoïde au creusement en cuvette aux bords évasés et arasés. Fouillée manuellement.	454 / 455 / 456		Indet
535	74	Fossé	larg. : 79 prof. : 34	Fossé au creusement de forme linéaire, d'orientation E/O, présentant un profil en cuvette à bords obliques. Testé mécaniquement.	355 / 356	pl.35 ds.174	Gallo-romain



Fait	TR	Type	Dimensions	description fait	liste_US	liste_dessins	Datation
536	77	Fossé		Fossé au creusement linéaire d'orientation NO/SE dans l'alignement du fossé F510 plus au nord (Tr. 74). Non fouillé.	577	pl.34 ds.159	Indet
537	77	Fossé	larg. : 56 prof. : 40	Fossé au creusement de forme linéaire, d'orientation E/O, présentant un profil en cuvette à bords obliques légèrement asymétriques. Observé aussi dans la tranchée 74, ce fossé rejoint perpendiculairement le fossé F564. Testé mécaniquement.	357 / 358 / 359	pl.35 ds.175	Gallo-romain
538	77	Anomalie naturelle		Anomalie naturelle Testée manuellement et ANNULÉE.			
539	5	Sépulture	larg. : 82	Fosse d'une éventuelle sépulture prise en grande partie sous la berme est de l'extension sud de la tranchée 5. Son orientation semble aussi être NO/SE. Non fouillée (nettoyée en surface).	691		Haut Moyen-Âge
540	77	Anomalie naturelle		Anomalie naturelle Testée manuellement et ANNULÉE.			
541	77	Drain	larg. : 18	Drain au creusement linéaire d'orientation N/S d'une largeur de 18 cm. Non fouillé.	655		Contemporain
542	78	Fosse	diam. : 68 prof. : 14	Fosse de forme circulaire présentant un profil en cuvette aux parois évasées et très arasées. Testé manuellement.	254 / 255	pl.27 ds.128 / pl.27 ds.129	Indet
543	78	Anomalie naturelle		Anomalie naturelle Testée manuellement et ANNULÉE.			
544	78	Fossé	larg. : 138 prof. : 42	Fossé au creusement de forme linéaire, d'orientation E/O présentant un profil en cuvette à bords évasés et légèrement asymétriques. Observé aussi dans les tranchées 79 et 80, ce fossé rejoint perpendiculairement le fossé F547. Testé mécaniquement.	314 / 315	pl.34 ds.157	Mod/ contempo
545	78	Fosse	diam. : 86 prof. : 32	Fosse au creusement de forme circulaire présentant un profil en cuvette légèrement asymétrique. Testée mécaniquement.	316 / 317	pl.34 ds.158	Indet
546	78	Fosse	long. : 86 larg. : 74 prof. : 11	Fosse de forme ovoïde présentant un profil en cuvette à bords très évasés. Testé manuellement.	248 / 249	pl.27 ds.122 / pl.27 ds.123	Indet
547	78	Fossé	larg. : 120 prof. : 45	Fossé au creusement linéaire d'orientation N/S, présentant un profil en cuvette aux bords asymétriques et évasés. Testé mécaniquement. Se prolonge dans les tranchées 79 et 80 au nord et est perpendiculaire au fossé F544 en tranchée 80.	280 / 281	pl.30 ds.143	Mod/ contempo
548	79	TP	diam. : 48 prof. : 30	Petit TP de forme circulaire présentant un profil en cuvette à fond plat et aux bords asymétriques (l'un vertical et l'autre oblique). Testé manuellement.	250 / 251	pl.27 ds.124 / pl.27 ds.125	Indet
549	79	Anomalie naturelle		Anomalie naturelle Testée manuellement et ANNULÉE.			
550	79	Drain	larg. : 15	Drain au creusement linéaire d'orientation O-NO/E-SE d'une largeur de 18 cm et observé dans les tranchées 79 et 80. Non fouillé.	656		Contemporain
551	80	Anomalie naturelle		Anomalie naturelle Testée manuellement et ANNULÉE.			
552	80	Anomalie naturelle		Anomalie naturelle Testée manuellement et ANNULÉE.			
553	5	Sépulture	long. : 77 larg. : 30	Fond de fosse de sépulture très arasé, d'orientation E/O, de forme oblongue, située au nord de la fosse F552. Non fouillée (nettoyée en surface).	677		Haut Moyen-Âge
554	5	Fosse		Non fouillée (nettoyée en surface).	434		Moyen-Âge
555	5	Sépulture	long. : 215	Fosse de sépulture d'orientation E/O, de forme oblongue située le long de la berme sud de l'extension est de la tranchée 5 (côté sud du mur F105). Non fouillée (nettoyée en surface).	669		Haut Moyen-Âge
556	5	Sépulture	long. : 192 larg. : 66	Fosse de sépulture d'orientation NO/SE, de forme oblongue, située dans l'angle des murs F132 et F482 (prise sous berme nord de l'extension sud de la tranchée 5). Non fouillée (nettoyée en surface).	678		Haut Moyen-Âge

Fait	TR	Type	Dimensions	description fait	liste_US	liste_dessins	Datation
557	5	Sépulture	long. : 164 larg. : 60	Fosse de sépulture d'orientation NO/SE, de forme oblongue, située sur lapartie sud du mur F482 (extension sud de la tranchée 5). Non fouillée (nettoyée en surface).	679		Haut Moyen-Âge
558	5	Fosse	diam. : 81 prof. : 11	Petite fosse au creusement de forme circulaire présentant un profil en cuvette à fond relativement plat et aux parois légèrement évasées et très arasés. Testée manuellement.	242 / 243	pl.27 ds.117 / pl.27 ds.118	Moyen-Âge
559	5	ANNU-LÉ					
560	34	Mare	larg. : 981	Large mare d'une largeur minimale de 9,81 m. Non fouillée.	413		Moyen-Âge
561	74	Fosse	diam. : 66 prof. : 12	Fosse arasée de forme subcirculaire présentant un profil en cuvette à bords évasés et asymétriques, au fond assez irrégulier. Testée manuellement. Se trouve à proximité immédiate de F511, selon un même schéma spatial que les fosses F567/568 situées plus au nord.	278 / 279	pl.30 ds.141 / pl.30 ds.142	Gallo-romain
562	67	Fosse	long. : 120 larg. : 83 prof. : 30	Fosse de forme ovoïde présentant un profil en cuvette à bords évasés et légèrement asymétriques. Se situe à proximité immédiate de la fosse F467. Testée mécaniquement.	270 / 271	pl.30 ds.137 / pl.30 ds.138	Indet
563	80	Anomalie naturelle		Anomalie naturelle Testée manuellement et ANNULÉE.			
564	74	Fossé	larg. : 56	Fossé au creusement de forme linéaire, d'orientation N/S, qui rejoint perpendiculairement le fossé F537. Non fouillé.	692		Gallo-romain
565	72	Fossé	larg. : 72	Fossé au creusement de forme linéaire, d'orientation N/S, semblant correspondre au fossé F506, plus au sud, dans la tranchée 73. Non fouillé.	693		Gallo-romain
566	74	Fossé	larg. : 42	Fossé au creusement de forme linéaire, d'orientation O-NO/E-SE et d'une largeur de 42 cm. Non fouillé.	694		Gallo-romain
567	74	Fosse	long. : 132 larg. : 73	Fosse de forme oblongue (même orientation et disposition que F511). Non fouillé (seulement nettoyée).	420		Gallo-romain
568	74	Fosse	diam. : 56	Fosse arasée de forme subcirculaire. Se trouve à proximité immédiate de F567, selon un même schéma spatial que les fosses F561/511 situées plus au sud.	695		Indet
569	73	Fosse	diam. : 125	Fosse très charbonneuse de forme subcirculaire prise sous la berme est de l'extension de la tranchée 73, à proximité du fossé F501. Non fouillée.	696		Indet
570	73	Fosse	diam. : 110	Fosse très charbonneuse de forme subcirculaire prise sous la berme est de l'extension de la tranchée 73 et recoupée par le fossé F514. Non fouillée.	433		Gallo-romain

## 9.1. INVENTAIRE DE LA CÉRAMIQUE

US	Lot	Caisse	Fait	Iso	Sondage	Description	Datation	NR
1	102	4	1			cf. étude L. Ciñçon	Haut-Empire	6
3	6	1	245			cf. étude L. Ciñçon	Haut-Empire	3
5	7	1			6	cf. étude L. Ciñçon	-150/20	1
9	58	1	3			cf. étude L. Ciñçon	Haut-Empire	3
11	53	1	276			cf. étude L. Ciñçon	Haut-Empire	1
15	17	1				cf. étude L. Ciñçon	Ile/ déb. IIIe s.	65
15	54	1			4	cf. étude L. Ciñçon	Ile/ déb. IIIe s.	6
16	99	4			4	cf. étude L. Ciñçon	-15/70	18
17	40	1	372			cf. étude L. Ciñçon	Gallo-romain indet	2
22	60	1			2	cf. étude L. Ciñçon	LTF/GR précoce	6
22	61	2			2	cf. étude L. Ciñçon	-135/-1	1
22	96	4				cf. étude L. Ciñçon	Ile s.	65
22	103	4			1	cf. étude L. Ciñçon	Ile s.	9
23	57	2				cf. étude L. Ciñçon	Haut-Empire	1
24	16	1			1	cf. étude L. Ciñçon	-15/20	3
24	104	4			2	cf. étude L. Ciñçon	-15/20	6
24	105	2			2	cf. étude L. Ciñçon	-15/20	1
29	108	4	283			cf. étude L. Ciñçon	-150/-80	1
39	49	1	193			cf. étude L. Ciñçon	Haut-Empire	1
43	59	1	15			cf. étude L. Ciñçon	Haut-Empire	8
49	64	1	88			cf. étude L. Ciñçon	Haut-Empire	1
51	118	4	87			cf. étude L. Ciñçon	Haut-Empire	3
54	2	1	82			cf. étude L. Ciñçon	-15/70	14
54	42	2	82			cf. étude L. Ciñçon	-15/70	4
59	107	4	371			cf. étude L. Ciñçon	70/150	2
61	79	1	211			cf. étude L. Ciñçon	Haut-Empire	4
64	100	4			3	cf. étude L. Ciñçon	70/120	10
64	101	2			3	cf. étude L. Ciñçon	70/120	6
67	27	1			3	cf. étude L. Ciñçon	-15/20	28
67	43	2			3	cf. étude L. Ciñçon	-50/50	2
68	8	1	285		3	cf. étude L. Ciñçon	-15/120	4
70	98	4	11			cf. étude L. Ciñçon	-15/70	3
72	55	2	372		5	cf. étude L. Ciñçon	-15/20	4
72	62	1	372		3	cf. étude L. Ciñçon	-15/120	1
72	109	4	372		5	cf. étude L. Ciñçon	-15/20	18
74	87	4			5	cf. étude L. Ciñçon	Ile/ déb. IIIe s.	152
74	88	2			5	cf. étude L. Ciñçon	-50/50	2
75	119	4	129			cf. étude L. Ciñçon	Haut-Empire	1
86	15	1	89			Céramique non tournée à pâte siliceuse	Protohistoire indéterminée	2
93	31	1	396			cf. étude L. Ciñçon	Haut-Empire	2
104	41	1	12			lot de tessons à pâte blanche grise et rosée	9-10e s.	6
108	44	1				cf. étude L. Ciñçon	-120/20	10
108	190	4	165			Céramique non tournée à pâte sombre dont un bord de jatte	-150/-60	4
109	19	1	171			Céramique non tournée à pâte siliceuse	Protohistoire indéterminée	2
114	30	1	77			cf. étude L. Ciñçon	-15/70	40
116	63	1	91			cf. étude L. Ciñçon	-150/70	3
129	83	4	161			cf. étude L. Ciñçon	-150/-80	4
138	29	1	280			tesson de grès contemporain	19-20e s.	1
157	38	1	260			1 tesson d'assiette faïencée	19-20e s.	1

US	Lot	Caisse	Fait	Iso	Sondage	Description	Datation	NR
170	39	1	483			tesson de pot avec départ d'anse, pâte orangée	15e s.	1
184	28	1	143			tesson de grès moderne ou contemporain	18-20e s.	1
188	5	1	57			un tout petit tesson non troué	Protohistoire indéterminée	1
190	20	1	497			cf. étude L. Cinçon	Gallo-romain indet.	1
193	86	4	56			Céramique non tournée à pâte noire, dont un bord de jatte tronconique	La Tène Moyenne	4
194	191	4	56			Céramique non tournée à pâte noire	La Tène Moyenne	3
201	13	1	48			cf. étude L. Cinçon	Ile-IIIe s.	3
203	90	4	37		7	cf. étude L. Cinçon	40/120	11
206	24	1				cf. étude L. Cinçon	100-150	24
207	14	1			8	cf. étude L. Cinçon	-15/20	13
207	111	4			7	cf. étude L. Cinçon	-15/20	15
215	25	1	34			cf. étude L. Cinçon	40/120	4
221	9	1	312			lot de tessons d'un même pot à anse ; pâte grise, trace de points de vernissé vert.	15-16e s.	12
225	3	1	319			deux tessons de grès contemporain	19-20e s.	3
235	85	4	443			fragment douteux : probable torchis brûlé	Indet.	1
240	45	1	389			Céramique non tournée à pâte contenant de gros dégraissant	Protohistoire ancienne	27
242	77	1	558			un tesson proto et un bord de pot à pâte rosée MA	14e s.	2
244	94	4	132			Fragment douteux : céramique ou torchis brûlé	Protohistoire indéterminée	2
256	68	1	511			cf. étude L. Cinçon	Haut-Empire	8
258	114	4	379			deux tessons du même récipient ; cramés. Vernissé moucheté vert	14e s.	2
262	32	1	369			lot de tessons à pâte blanche et orangée	2e moit. 15e s.- début 16e s.	5
264	112	4	329			trois tessons à pâte orangée	14e s.	3
266	91	4	385			cf. étude L. Cinçon	Haut-Empire	6
268	75	1	486			trois tessons de «cul-noir»	19-20e s.	3
272	73	1	467			trois tesson d'un même récipient à pâte blanche	9-10e s.	3
274	321	4	514			cf. étude L. Cinçon	Haut-Empire	1
282	1	1	501			cf. étude L. Cinçon	40/70	54
296	84	4	360			pâte orangée ; décor cordon rapporté de pressions digité	15-16e s.	1
299	52	1	357			lot de tessons à pâte claire, blanche grise et rosée	12e s.	37
305	113	4	348			trois tessons très roulés, MA indet	Moyen-Âge	3
323	115	4	524			cf. étude L. Cinçon	Haut-Empire	1
332	322	4	533			cf. étude L. Cinçon	Haut-Empire	1
343	72	1	442			Céramique non tournée à pâte contenant de gros dégraissant	Protohistoire ancienne	29
352	23	1	509			cf. étude L. Cinçon	Haut-Empire	12
357	82	4	537			Céramique non tournée à pâte contenant de gros dégraissant	Protohistoire ancienne	1
360	67	1	532			cf. étude L. Cinçon	100-150	7
370	110	4			10	cf. étude L. Cinçon	Haut-Empire	7
375	56	1	453			cf. étude L. Cinçon	-15/70	10
375	69	1	453		9	cf. étude L. Cinçon	-15/70	72
375	70	2	453			cf. étude L. Cinçon	Haut-Empire	2
377	35	1				cf. étude L. Cinçon	-15/70	10
378	89	4				cf. étude L. Cinçon	Haut-Empire	5
383	26	1				cf. étude L. Cinçon	-15/70	13
383	65	1			9	cf. étude L. Cinçon	-15/70	14
383	66	2			9	cf. étude L. Cinçon	-15/70	2
386	10	1	384			cf. étude L. Cinçon	Haut-Empire	4
389	76	1	490			Fragments douteux : céramique ou torchis brûlé	Protohistoire indéterminée	1

US	Lot	Caisse	Fait	Iso	Sondage	Description	Datation	NR
393	11	1	491			cf. étude L. Cinçon	Haut-Empire	23
404	50	4				cf. étude L. Cinçon	-15/120	25
410	46	1				cf. étude L. Cinçon	-15/70	16
410	51	2				cf. étude L. Cinçon	-50/50	1
411	12	1	351			lot de tessons à pâte claire, blanche ou grise, dont un fragement d'anse de grand pot et un tesson vernissé vert	11-12e s.	11
412	18	1	398			cf. étude L. Cinçon	70/120	46
413	21	1	560			important lot de tessons à pâtes claires et orangées. Quelques tessons vernissés vert moucheté ; un tesson vernissé orange sur pâte rose	13-14e s.	72
414	33	1				lot principalement Haut-Empire, mais un tesson probable du Bas-Empire	Bas-Empire ?	17
416	37	1	459			cf. étude L. Cinçon	Haut-Empire	1
417	48	1	37			cf. étude L. Cinçon	Haut-Empire	4
418	4	1	55			un tesson de grès contemporain	19-20e s.	1
420	47	1	567			cf. étude L. Cinçon	Gallo-romain indet	1
421	71	1				lot principalement Haut-Empire, mais un tesson Bas-Empire	Bas-Empire	4
422	34	1				cf. étude L. Cinçon	Haut-Empire	6
432	80	1				cf. étude L. Cinçon	Fin IIe/IIIe s.	4
432	81	2				cf. étude L. Cinçon	-135/-1	1
433	93	4	570			cf. étude L. Cinçon	-150/50	1
434	92	4	554			1 tesson pâte blanche, vernissé vert	14-15e s.	1
435	95	4				cf. étude L. Cinçon	Haut-Empire	4
436	97	4				cf. étude L. Cinçon	IIe s.	38
437	74	4				cf. étude L. Cinçon	-150/-80	5
439	106	4	466			cf. étude L. Cinçon	-15/120	3
440	116	4	14			cf. étude L. Cinçon	Haut-Empire	2
441	117	4	85			cf. étude L. Cinçon	-120/20	3
442	149	4		10		cf. étude L. Cinçon	Haut-Empire	1
443	121	4		12		un bord de pot à pâte blanche et surface grise	8-9e s.	1
444	120	4	529	15		cf. étude L. Cinçon	Haut-Empire	5
445	122	4		1		lots de tesson dont un bord de céramique rose-bleue et tessons vernissés verts	debut 16e s.	8
448	123	4		4		cf. étude L. Cinçon	Haut-Empire	1
449	124	4		11		cf. étude L. Cinçon	Bas-Empire	4
451	154	2	478			cf. étude L. Cinçon	Haut-Empire	1
451	155	4	478			Céramique non tournée à pâte siliceuse	Protohistoire indéterminée	1
452	36	1	397			lot principalement Haut-Empire, mais trois tessons des IVe-Ve s.	IVe-Ve s.	21

## 9.2. INVENTAIRE DE LA TCA

US	Lot	Caisse	Fait	Iso	Sondage	Description	Datation	NR
7	142	3	45			fragment d'imbrex	Gallo-romain	1
22	136	3			1	fragments indet, probables tegulae ; pâte GR	Gallo-romain	9
22	148	3				Fragments de tegulae et imbrex	Gallo-romain	5
24	127	3			1	Fragments de tegulae et imbrex	Gallo-romain	4
45	125	3	29			Fragments de tegulae et imbrex	Gallo-romain	3
51	135	3	87			fragments de tegulae	Gallo-romain	3
59	134	3	371			Fragment de tegulae	Gallo-romain	1
64	157	3				fragments indet. probables tegulae ; pâte GR	Gallo-romain	11
75	141	3	129			fragments indet. probable tegulae ; pâte GR	Gallo-romain	3
93	146	3	80			fragments de tegulae et d'imbrex	Gallo-romain	3
99	138	3	396			fragment de tegulae	Gallo-romain	1
125	192	9	161			Pesons ?	La Tène	7
182	147	3	145			fragment de tegulae	Gallo-romain	1
186	143	3	141			deux fragment indet et un carreau de pavement moderne ou contemporain	Moderne/contemporain	3
233	137	3	104			deux fragment indéterminé et un probable fragment d'imbrex.	Gallo-romain	3
266	126	3	385			Fragments indet. (dont probable plaque foyère). Pâte GR	Gallo-romain	3
274	22	3	514			Fragments indet. Pâte GR	Gallo-romain	4
282	132	3	501			fragments de tegulae ; traces de chauffe	Gallo-romain	7
314	139	3	544			fragments de tuile plates à crochet	Moderne/contemporain	5
331	133	3				Fragments indet. Pâte GR	Gallo-romain	2
332	129	3	533			Fragments de tegulae ; trace de chauffe	Gallo-romain	8
352	145	3	509			Fragments d'imbrex	Gallo-romain	2
360	128	3	532			Fragments de tegulae	Gallo-romain	2
368	140	3	528			Fragment de tegulae	Gallo-romain	1
393	130	3	491			Fragments indet. Pâte GR	Gallo-romain	5
419	131	3	78			Fragment indet		1
432	156	3				fragments de tegulae	Gallo-romain	2
441	144	3	85			Fragments de tegulae et d'imbrex	Gallo-romain	4
442	150	2		10		Fragment d'amphore	Gallo-romain	1
446	152	3		5		Fragment indet. Pâte GR	Gallo-romain	1
447	151	3		3		Fragment de fusaïole	Gallo-romain	1
450	153	3		13		Fragments indet. Pâte GR	Gallo-romain	1
452	158	3	397			fragments de tegulae	Gallo-romain	2
453	159	5	30			tubes en terre cuite servant de drain. longueur : 30cm / diamètre: 5,5 épaisseur / 1cm	Contemporain	3

**9.3. INVENTAIRE DE LA FAUNE**

378

US	Lot	Caisse	Fait	Sondage	NR	Remarque
1	161	6	1		3	
12	171	6	276		173	Sep animale
16	168	6		4	19	
22	173	6			18	
24	177	6		2	1	
54	181	6	82		2	
64	163	6		3	2	
67	162	6		3	27	
72	165	6	372	5	7	
72	166	6	372	3	16	
72	167	6	372	4	4	
74	164	6		5	29	
206	169	6		7	3	
207	170	6		7	3	
343	174	6	442		1	
368	183	6	528		12	
370	172	6	452		3	
375	178	6	453		8	
410	182	6			3	
414	180	6			4	
436	175	6			1	
455	160	6	534		170	Sep animale
457	176	6			2	
460	179	6	318		9	Sep animale
462	184	6			7	

## 9.4. INVENTAIRE DU MOBILIER EN MÉTAL

US	Lot	Caisse	Fait	Iso	Sondage	Matière	Type	Sous_type	Description	Datation	NR
0	233	12		2		fer	Agriculture/ Elevage		1 gros élément de machine agricole	20e s.	1
16	231	12			4	fer	quincaillerie	clou	Fragment de clou à tête ronde et semi circulaire.		1
19	238	12				fer	quincaillerie	clou	Clou presque entier ; seule la pointe manque.		1
22	239	12				fer	indéterminé		Fragment de tige de section quadrangulaire (clou ?).		1
42	311	12	15			fer	quincaillerie	clou	Clou entier à tête ovale allongée		1
45	290	12	29	27		fer	matériel hydraulique	emboîture canalisation	emboîture de canalisation		1
64	232	12			5	fer	quincaillerie	clou et tiges	2 fragments de tige de section quadrangulaire, 1 clou		3
74	241	12				fer	indéterminé		Fragment de tige de section quadrangulaire (clou ?).		1
103	242	12				fer	indéterminé		Fragment de tige de section indéterminée (ronde ou quadrangulaire).		1
225	224	12	319			fer	indéterminé		Fragment de tige de section quadrangulaire (clou ?).		1
233	227	12	104			fer	indéterminé		Fragment de tige de section quadrangulaire tordu à angle droit (clou ?).		1
256	235	12	511			fer	indéterminé		Fragment de tige de section quadrangulaire (clou ?).		1
266	315	17	385			scories			1 scorie		1
282	225	12	501			fer	quincaillerie		1 tête de clou, 1 petite plaque, 1 fragment indéterminé		3
331	319	17				scories			3 scories		3
332	230	12	533			fer	indéterminé		Fragment de tige de section ronde dont une extrémité est appointée.		1
332	314	17	533			scories			4 scories		4
339	312	17	513			scories			2 scories		2
352	313	17	509			scories			5 scories		5
357	316	17	537			scories			1 scorie		1
393	317	17	491			scories			4 scories		4
414	237	12				fer	indéterminé		1 clou, 2 tiges de section quadrangulaire et 1 tige plate		4
417	236	12				fer	quincaillerie	clou	Fragment de clou à tête circulaire.		1
432	240	12				fer	quincaillerie		2 clous, 4 tiges de section quadrangulaire		6
433	318	17	570			scories			1 scorie		1
446	228	12		5		fer	indéterminée		Fragment de boucle ou de maillon ?		1
452	234	12	397			fer	quincaillerie	clous et tiges	2 fragments de tige de section quadrangulaire, 2 clou		4
458	226	12				fer	quincaillerie	clou	Fragment de clou dont la tige est tordue.		1
462	222	12				fer	indéterminé		Fragment de tige de section quadrangulaire (clou ?).		1
463	229	12				fer	quincaillerie	clou	Seule la tête et le départ de la tige sont conservés.		1
464	223	12	102			fer	indéterminé		Petit fragment de tige courbe (tôle enroulée ?).		1
498	243	12	455			fer	quincaillerie	clou	Clou entier et tordu.		1
499	244	16		30		plomb	domestique	activité culinaire	plomb de réparation de récipient.		1



US	Lot	Caisse	Fait	Iso	Sondage	Matière	Type	Sous_type	Description	Datation	NR
500	245	15		31		alliage cuivreux	équipement animal	bouton	Bouton à tête circulaire et à bord rabattu. Décor de loges concentriques émaillées. Au revers, un rivet de fixation.	Ile - IIIe s. ap. J.-C.	1
501	246	12		32		fer	quincaillerie	clou	Clou entier à tête circulaire et plate.		1
502	247	15		33		alliage cuivreux	parure, vêtement	fibule	Fibule circulaire comportant 4 appendices latéraux disposés symétriquement. Le corps de la fibule est pourvu de 2 couronnes concentriques à l'origine émaillées. Au centre, une perforation obstruée rappelle la présence initiale d'un élément riveté.	milieu du IIe s. ap. J.-C. au début du IIIe s. ap. J.-C.	1
503	248	16		34		plomb	indéterminé		fragment de rondelle (jeton ?, poids ?)		1
504	249	15		17		alliage cuivreux	équipement animal	boucle	Fragment de boucle de courroie en forme de D.	Ier s. ap. J.-C. (principalement) et IIe s. ap. J.-C.	1
505	250	16		16		plomb	divers production	coulure	coulure		1
506	251	16		19		plomb	divers production	coulure	coulure		1
507	252	15		35		alliage cuivreux	parure, vêtement	ferret	Ferret linguiforme et allongé dont les longs côtés sont légèrement incurvés. L'objet est décoré d'une tresse longitudinale et son sommet est percé d'un trou de fixation. Ce type de ferret constitue une garniture de jarretière ou de chaussure.	particulièrement fréquent au VIIe siècle.	1
508	253	12		36		fer	indéterminé		fragment de tige courbe de section plano-convexe		1
509	254	12		37		fer	quincaillerie	clou	Clou entier à tête circulaire et plate ; tige tordue.		1
510	255	12		38		fer	indéterminé		Bande rectangulaire s'amincissant progressivement vers une des extrémités ; pourvue d'un trou de fixation.		1
511	256	16		39		plomb	quincaillerie	rivet	tige de section circulaire surmontée d'une petite tête écrasée, rivet		1
512	257	16		40		plomb	parure, vêtement	bouton	Bouton circulaire à tête pleine et convexe pourvu d'une attache semi-circulaire au revers		1
513	258	12		28		fer	parure, vêtement	clou chaussure	Clou de chaussure entier ; tige tordue		1
514	259	16		41		plomb	divers production	coulure	coulure		1
515	260	15		42		alliage cuivreux	indéterminé		disque légèrement convexe sur ses deux faces		1
516	261	15		43		alliage cuivreux	parure, vêtement	plaque-boucle	Petite plaque-boucle monobloc à plaque ronde de chaussure ou de baudrier.	second quart du VIe siècle à la fin du VIIe siècle.	1
517	262	16		44		plomb	artisanat	fusaïole	Anneau pourvu de 8 excroissances triangulaires- fusaïole à cabochons	1500-1900	1
518	263	16		45		plomb	indéterminé		fine rondelle		1
519	264	16		46		plomb	parure, vêtement	croix	Croix à 4 branches de section quadrangulaire.		1
520	265	15		47		alliage cuivreux	indéterminé		fragment de mince plaquette rectangulaire pourvue d'un trou de fixation	Indéterminée	1
521	266	16		48		plomb	divers production	coulure	coulure		1
522	267	16		49		plomb	indéterminé		plaque pliée (déchet ?)		1

US	Lot	Caisse	Fait	Iso	Sondage	Matière	Type	Sous_type	Description	Datation	NR
523	268	12		21		fer	indéterminé		Fragment de bande rectangulaire (en 2 fragments) pourvu d'un trou de fixation.		1
524	269	15		22		alliage cuivreux	domestique	activité culinaire	fragment de rebord de récipient		1
525	270	15		24		alliage cuivreux	indéterminé		fragment de tôle		1
526	271	15		25		alliage cuivreux	parure, vêtement	bracelet	bracelet en 2 fragments		2
527	272	15		23		alliage cuivreux	indéterminé		Fragment de plaquette dont les bords les plus longs sont rabattus à angle droit ; décor de 2 doubles stries longitudinales.		1
528	273	12		50		fer	indéterminé		Fragment de manche de couteau ou de sonnaie pourvu d'un départ d'anneau de suspension.		1
529	274	16		51		plomb	indéterminé		fragment de tige de section plano-convexe transpercée d'un petit clou de fixation en fer		1
530	275	15		52		alliage cuivreux	parure, vêtement	anneau	Objet très lacunaire ; probable anneau massif (élément de parure ?).		1
531	276	12		53		fer	indéterminé		Fragment de plaque incurvée. Fragment de récipient (?).		1
532	277	16		54		plomb	divers production	coulure	coulure avec un des bords coupé en biseau.		1
533	278	16		55		plomb	divers production	coulure	coulure		1
534	279	16		56		plomb	indéterminé		plaque pliée (déchet ?)		1
535	280	15		57		alliage cuivreux	parure, vêtement	boucle	Bouclette tordue dont l'un des grands côtés est cassé.	VIe siècle	1
536	281	12		58		fer	Outillage agricole	serpette	serpette	40/30 av. J.-C. à 40/70 ap. J.-C	1
537	282	12		59		fer	quincaillerie	clou	Fragment de clou à tête quadrangulaire massive et légèrement convexe.		1
538	283	12		60		fer	quincaillerie	clou	Fragment de clou à tête quadrangulaire massive et légèrement convexe.		1
539	284	16		61		plomb	artisanat	fusaïole	fusaïole à cabochons	1500-1900	1
540	285	16		62		plomb	indéterminé		fine rondelle		1
541	286	16		63		plomb	indéterminé		Fragment de rondelle pourvu d'une perforation centrale.		1
542	287	16		64		plomb	indéterminé		Fragment de rondelle pourvu d'une perforation centrale.		1
543	288	15		65		alliage cuivreux	indéterminé		anneau fermé de section ovale		1
544	289	15		66		alliage cuivreux	indéterminé		fragment de plaque circulaire (?) décorée d'une rainure		1
545	291	15		67		alliage cuivreux	parure, vêtement	boucle	boucle rectangulaire à deux fenêtres		1
546	292	12		68		fer	culinaire	couvercle	Fragment de couvercle de récipient de type marmite		1
547	293	16		69		plomb	divers production	coulure	coulure de forme circulaire légèrement convexe sur une face et plate sur l'autre.		1
548	294	16		70		plomb	divers production	coulure	coulure : fragment fondu et informe		1
549	295	16		71		plomb	chasse, pêche	lest de filet	Fragment de lest sphérique à l'origine		1
550	296	16		72		plomb	divers production	coulure	coulure		1
551	297	12		73		fer	équipement animal	boucle	Boucle de forme rectangulaire		1

US	Lot	Caisse	Fait	Iso	Sondage	Matière	Type	Sous_type	Description	Datation	NR
552	298	15		74		alliage cuivreux	indéterminé		fragment de tôle		1
553	299	15		75		alliage cuivreux	indéterminé		Disque dont une face est légèrement convexe.		1
554	300	16		76		plomb	indéterminé		Fragment de forme rectangulaire avec un épaississement sur un des côtés		1
555	301	16		77		plomb	divers production	coulure	Coulure : fragment informe et fondu.		1
556	302	16		78		plomb étain	parure, vêtement	bouton	Bouton à la grenade enflammée, semi bombé en plomb étain moulé. Il s'agit d'un bouton blanc de cavalerie et plus précisément de cuirassier de la IIIème République	1871 - 1915	1
557	303	15		79		alliage cuivreux	échanges et commerce	boite à sceller	Fond (lacunaire) de boîte à sceller en forme de goutte	milieu du Ier s. ap. J.-C. à la fin du IIIe s. ap. J.-C.	1
558	304	15		80		alliage cuivreux	équipement domestique	activité culinaire	Fragment de pied de vase à l'origine en forme de pelte.	seconde moitié du Ier s. ap. J.-C. / IIe s. ap. J.-C	1
559	305	16		81		plomb	artisanat	fusaïole	fusaïole à cabochons	1500 - 1900	1
560	306	16		82		plomb	artisanat	fusaïole à cabochons	Fragment d'anneau pourvu 3 excroissances triangulaires- fusaïole à cabochons		1
561	307	15		83		alliage cuivreux	indéterminé		Fragment d'objet semi sphérique.	Indéterminée	1
562	308	16		84		plomb	divers production	coulure	coulure		1
563	309	12		85		fer	parure, vêtement	boucle	Boucle de forme ovale		1
564	310	12		86		fer	équipement animal	boucle	Boucle de forme rectangulaire		1

## 9.4. INVENTAIRE DES MONNAIES

US	Lot	Caisse	Iso	Matière	Série	Type	Classe	Description	Attribution	Datation
475	200	13	87	argent	à la cavalière	DT 2036-2037	a	D/ Tête d'Apollon laurée à droite, chevelure en trois lignes de mèches R/ Cavalière chevauchant un cheval à droite, bras en l'air	Turons	100 av - 50
476	201	14	88	potin	Tête diabolique		2b	D/ Tête moyenne à gauche, trou moyen pour l'œil nez et menton courts R/ Taureau moyen chargeant à gauche pattes repliées sous le ventre et queue relevée sur le dos	Loire moyenne	70 av - 50
477	202	13	89	argent	quinaire Cloulia	RRC 332/1c		D/ Tête laurée de Jupiter à droite, devant sous menton G, lettre de contrôle R/ Victoire drapée debout à droite, teant une palme de la main gauche et couronnant de la main droite un trophée d'armes placé dans le champ à droite à ses pieds un captif assis, tourné à gauche, derrière un carnyx. T. CLOVLI // Q	Rome	98 av
478	203	14	29	potin	Tête diabolique		2b	D/ Tête moyenne à gauche, trou moyen pour l'œil nez et meton courts R/ Taureau moyen chargeant à gauche pattes repliées sous le ventre et queue relevée sur le dos	Loire moyenne	70 av - 50
479	204	14	90	potin	Tête diabolique		8c	D/ Tête casquée massive à gauche, un globule dans la bouche R/ Taureau massif chargeant à droite, pattes arrières en ligne de sol, queue relevée sur le dos	Loire moyenne	180 av. - 50
480	205	14	18	potin	Tête diabolique		1a	D/ Tête à gauche, chevelure en trois mèches R/ Petit taureau chargeant à gauche, pattes repliées sous le ventre et queue relevée sur le dos	Loire moyenne	40/30 av. - 50
481	206	14	91	potin	Tête diabolique		1b	D/ Tête à gauche, chevelure en petites mèches R/ Petit taureau chargeant à gauche, pattes repliées sous le ventre et queue relevée sur le dos x devant. Usé ou mal empreint	Loire moyenne	40/30 av. - 50
482	207	14	92	potin	Tête diabolique		8c	D/ Tête casquée massive à gauche, un globule dans la bouche R/ Taureau massif chargeant à droite, pattes arrières en ligne de sol, queue relevée sur le dos	Loire moyenne	180 av. - 50
483	208	14	93	potin	Tête diabolique		2c	D/ Tête moyenne à gauche, trou moyen pour l'œil nez et menton courts. Sommet du crâne carré. Flan large R/ Taureau moyen chargeant à gauche, œil visible et cornu, pattes repliées sous le ventre et queue relevée sur le dos. Coup à lépaulle et sur la queue	Loire moyenne	70 av - 50
484	209	14	20	potin	Tête diabolique		2b	D/ Tête moyenne à gauche, petit trou pour l'œil nez et meton longs et pointus R/ Taureau moyen chargeant à gauche, pattes repliées sous le ventre dont arrière fourchue et queue relevée sur le dos.	Loire moyenne	70 av - 50
485	210	14	94	cuiivre	As à l'autel de Lyon	RIC 233		D/ Tête laurée d'Auguste à droite. [CAESA]R AVGVSTVS - DIVI F PATER PAT[RIAE].	Lyon	10-14
486	211	14	95	cuiivre	antoni-nien de Tétricus 1er	imitation		D/ Tête radiée barbue de tétricus 1er R/ Hilaritas à gauche, une palme dans la main droite et une corne d'abondance dans la gauche	Irrégulier	275-285
487	212	14	96	cuiivre	antoni-nien de Tétricus 1er	imitation		D/ Tête radiée barbue de tétricus 1er R/ Illisible	Irrégulier	275-285
488	213	14	26	cuiivre	nummus			D/ Buste lauré à droite fruste R/ Soldat et enseigne(s) fruste	indéterminé	300-350
489	214	14	97	argent	fraction d'argent ind			D/ Tête à droite casqué (?) mèches longues dans le cou R/ Illisible, frappe molle	indéterminé	100 av - 50
490	215	14	98	cuiivre	minime			Lisse, cassé	indéterminé	300-400

US	Lot	Caisse	Iso	Matière	Série	Type	Classe	Description	Attribution	Datation
491	216	13	99	argent	Demi gros de Nesle ou Gros de trois blancs	Dy 995		D/ [+ HENRICVS. II. D]. G. FRAN[CO. REX] H couronnée, entre trois lis posés 2 et 1. R/ SIT. NOMEN. DNI. - A - .BNEDICTVM 155? Croix évidée fleurdelisée.	Paris	1550-1551
492	217	14	100	cuiivre	Liard	Dy 1588		D/ L. XIII .ROY. DE. FR. ET .DE. NA. 165? Buste à droite de Louis XIV, couronné, drapé et cuirassé. R/ ,LIARD.. DE.. France.. Fleurs de lis en 2-1 Lettre d'atelier illisible	indéterminé	1655-1658
493	218	14	101	cuiivre	Liard			Illisible	indéterminé	17e
494	219	14	102	cuiivre	Liard			D/ Illisible R/ D comme lettre atelier, fleur de lis	Lyon ou Vimy	17e
495	220	14	103	cuiivre	denier tournois			Lisse et pliée	indéterminé	17e
496	221	14	104	cuiivre	5 centimes	F118		D/ REPUBLIQUE FRANÇAISE. Cérés couronnée à gauche R/ 5/ CENTIMES/ [A] dans une couronne formée d'une branche d'olivier et d'une branche de laurier. Fruste	indéterminé	1850-1890

## 9.5. INVENTAIRE DU VERRE

US	Lot	Caisse	Fait	Description	Datation	NR
412	186	7	398	6 fragments de panse de gobelet en verre sodique de 1 à 2 mm d'épaisseur : 1 fragment bleu et 5 fragments vert-bleu.	Gallo-romain	6
440	185	7	14	1 fragment de fond en verre sodique vert-bleu, d'une épaisseur de 1 à 3 mm dont le bord de panse semble carré.	Gallo-romain	1
463	187	7		3 fragments en verre sodique bleu-vert : 2 fragments recollant d'un fond de bouteille circulaire et d'une épaisseur de 5 mm et d'environ 9 cm de diamètre de panse, et un fragment plus fin (col?) de 1,5 mm d'épaisseur.	Gallo-romain	3

## 9.6. INVENTAIRE DU MOBILIER LITHIQUE

US	Lot	Caisse	Fait	Iso	Matière	Description	Datation
24	196	10			Roche verte	petite hache polie en roche verte (un peu bleutée) ; jade d'origine alpine probable (pyroxénite sodique ?)	Néolithique
343	195	10	442		silex	éclat taillé au percuteur dur ; très patiné jaune ; cupule de gélifraction	Indéterminée
393	194	10	491		silex	annulé : silex non taillé	Indéterminée
445	197	10		1	silex	éclat levallois probable ; très patiné blanc	Paléolithique moyen
450	193	10		13	silex	éclat taillé au percuteur dur ; patiné rouge	Indéterminée
473	198	10		7	silex	éclat taillé au percuteur dur ; frais ; sur un galet alluvial	Indéterminée
474	199	10		14	silex	fragment de petite lame à dos et à retouche proximale (manque l'extrémité distale) ; retouche latérale droite courte régulière et abrupte ; très patinée blanc	Paléo sup. ou Néolithique

## 9.6. INVENTAIRE DU MOBILIER ORGANIQUE FOSSILISÉ

US	Lot	Caisse	Sondage	Matière	Type	Description	Datation	NR
67	320	18	3	lignite	Bracelet	2 fragments de bracelet en lignite (recollant) présentant un diamètre extérieur de 8 cm. Section de forme ovale de 1,5 X 0,9 cm	Tène C2-D2 (180 à 30 av. J.-C.).	2

## 9.7. INVENTAIRE AUTRE TYPE DE MOBILIER

US	Lot	Caisse	Fait	Matière	NR
108	189	8	165	Torchis	5
194	188	8	56	Torchis	56

Caisse	Type de caisse	nature du mobilier	commentaire	NB de lots
1	Bac Norme Eur. 20l	CER.		68
2	Bac Norme Eur. 10l	AMPH.		14
3	Bac Norme Eur. 20l	T.C.A.		31
4	Bac Norme Eur. 20l	CER.		48
5	Bac Norme Eur. 20l	T.C.A.		1
7	Boite Miflex 0,8L	VER.		3
8	Bac Norme Eur. 10l	TOR.		2
9	Bac Norme Eur. 10l	T.C.		1
10	Bac Norme Eur. 10l	LIT.		7
11	Bac Norme Eur. 20l	HUM.		3
12	Bac Norme Eur. 10l	MET.Fe.		39
13	Boite Miflex 0,8L	MON.	Argent/billon	3
14	Boite Miflex 0,8L	MON.	Alliage Cu	19
15	Boite Miflex 0,8L	MET.All.Cu.		21
16	Boite Miflex 0,8L	MET.Pb.		30
17	Bac Norme Eur. 10l	SCO.		8
18	Boite Miflex 0,8L	MOF	Bracelet en lignite	1

**Lot n° 1      Secteur de la villa**


























				
Photo 0001 Vue zénithale de F5 et F6 (Tr.1) - (Lœuillet Matthieu)	Photo 0002 Vue zénithale de F5 et F6 (Tr.1) - (Lœuillet Matthieu)	Photo 0003 Vue oblique de F5 et F6 (Tr.1) - (Lœuillet Matthieu)	Photo 0004 Vue oblique de la coupe NE/SO de F1 (Tr.1) - (Lœuillet Matthieu)	Photo 0005 Vue oblique de la coupe SE/NO de F3 (Tr.1) - (Lecocq Guillaume)
				
Photo 0006 Vue zénithale de F3 (Tr.1) - (Lecocq Guillaume)	Photo 0007 Vue oblique de la coupe SO/NE de F3 (Tr.1) - (Lecocq Guillaume)	Photo 0008 Vue zénithale du sondage 1 (mur F5 - Tr.1) - (Silberstein Grégory)	Photo 0009 Vue zénithale du sondage 1 (mur F5 - Tr.1) - (Silberstein Grégory)	Photo 0010 Vue oblique de la coupe nord du sondage 1 - Tr.1 - (Silberstein Grégory)
				
Photo 0011 Vue oblique de la coupe ouest du sondage 1 - Tr.1 - (Silberstein Grégory)	Photo 0012 Vue oblique de la coupe sud du sondage 1 - Tr.1 - (Silberstein Grégory)	Photo 0013 Vue oblique du sondage 1 (mur F5 - Tr.1) - (Silberstein Grégory)	Photo 0014 Vue oblique du sondage 1 (mur F5 - Tr.1) - (Silberstein Grégory)	Photo 0015 Vue zénithale de F9 (Tr.1) - (Lebrun Christophe)
				
Photo 0016 Vue zénithale de la partie ouest de F9 (Tr.1) - (Lebrun Christophe)	Photo 0017 Vue zénithale de la partie est de F9 (Tr.1) - (Lebrun Christophe)	Photo 0018 Vue oblique des murs F9/F10 (Tr.1) - (Lebrun Christophe)	Photo 0019 Vue zénithale des murs F10/F11 (Tr.1) - (Lebrun Christophe)	Photo 0020 Vue zénithale des murs F10/F11 (Tr.1) - (Lebrun Christophe)
				
Photo 0021 Vue oblique des murs F10/F11 et de l'US 63 (Tr.1) - (Lebrun Christophe)	Photo 0022 Vue zénithale des murs F10/F11 (Tr.1) - (Lebrun Christophe)	Photo 0023 Vue zénithale du mur F11, de F211 et US 63 (Tr.1) - (Lecocq Guillaume)	Photo 0024 Vue oblique du mur F11, de F211 et US 63 (Tr.1) - (Lecocq Guillaume)	Photo 0025 Vue oblique de F10/F11, F211 et de l'US 63 (Tr.1) - (Lecocq Guillaume)





Photo 0026  
Vue oblique de F10/F11, et de l'US 63 (Tr.1) - (Lecocq Guillaume)



Photo 0027  
Vue oblique de F10/F11, F211 et de l'US 63 (Tr.1) - (Lecocq Guillaume)



Photo 0028  
Vue zénithale de F211 (Tr.1) - (Lecocq Guillaume)



Photo 0029  
Vue zénithale de la sépulture animale F276 (Tr.1) - (Loeuillet Matthieu)



Photo 0030  
Vue de détail de la sépulture animale F276 (Tr.1) - (Loeuillet Matthieu)



Photo 0031  
Vue de détail de la sépulture animale F276 (Tr.1) - (Loeuillet Matthieu)



Photo 0032  
Vue de détail de la sépulture animale F276 (Tr.1) - (Loeuillet Matthieu)



Photo 0033  
Vue de détail de la sépulture animale F276 (Tr.1) - (Loeuillet Matthieu)



Photo 0034  
Vue de détail de la sépulture animale F276 (Tr.1) - (Loeuillet Matthieu)



Photo 0035  
Vue zénithale de F9 et US 436 (Tr.1) - (Lecocq Guillaume)



Photo 0036  
Vue zénithale de F9 et US 436 (Tr.1) - (Lecocq Guillaume)



Photo 0037  
Vue oblique des murs F5, F6 et F282 (Tr.1) - (Silberstein Grégory)



Photo 0038  
Vue zénithale des murs F5, F6 et F282 (Tr.1) - (Silberstein Grégory)



Photo 0039  
Vue zénithale des murs F6 et F282 (Tr.1) - (Silberstein Grégory)



Photo 0040  
Vue oblique des murs F5, F6 et F282 (Tr.1) - (Silberstein Grégory)



Photo 0041  
Vue zénithale du mur F282 (Tr.1) - (Silberstein Grégory)



Photo 0042  
Vue oblique des murs F5, F6 et F282 (Tr.1) - (Silberstein Grégory)



Photo 0043  
Vue zénithale du mur F282 (Tr.1) - (Silberstein Grégory)



Photo 0044  
Vue zénithale des murs F281 et F5 (Tr.1) - (Silberstein Grégory)



Photo 0045  
Vue zénithale des murs F281 et F5 (Tr.1) - (Silberstein Grégory)



Photo 0046  
Vue oblique de la partie ouest du sondage 2 - F281 et F5 (Tr.1) - (Silberstein Grégory)



Photo 0047  
Vue zénithale du sondage 2 - F283 et F6 (Tr.1) - (Silberstein Grégory)



Photo 0048  
Vue zénithale du sondage 2 - F283 (Tr.1) - (Silberstein Grégory)



Photo 0049  
Vue oblique coupe est sond.2 - F283 et F6 (Tr.1) - (Silberstein Grégory)



Photo 0050  
Vue oblique coupe est sond.2 - F283 et F6 (Tr.1) - (Silberstein Grégory)



Photo 0051  
Vue oblique coupe est  
sond.2 - F283 et F6 (Tr.1) -  
(Silberstein Grégory)



Photo 0052  
Vue oblique coupe sud  
sond.2 - F5 (Tr.1) -  
(Silberstein Grégory)



Photo 0053  
Vue zénithale du sond 3 -  
F11, 211, 284, 285 (Tr.1) -  
(Lecocq Guillaume)



Photo 0054  
Vue zénithale des murs  
F9/F10 (Tr.1 - Sond 4) -  
(Lecocq Guillaume)



Photo 0055  
Vue zénithale des murs  
F9/F10 (Tr.1 - Sond 4) -  
(Lecocq Guillaume)



Photo 0056  
Vue oblique des murs  
F9/F10 (Tr.1 - Sond 4) -  
(Lecocq Guillaume)



Photo 0057  
Vue oblique de la coupe  
SE/NO de F15 (Tr.2) -  
(Silberstein Grégory)



Photo 0058  
Vue oblique de la coupe  
SO/NE de F15 (Tr.2) -  
(Silberstein Grégory)

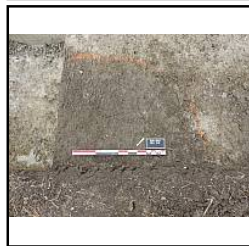


Photo 0059  
Vue zénithale de F15 (Tr.2)  
- (Silberstein Grégory)



Photo 0060  
Vue zénithale des murs  
F9/F10 (Tr.1 - Sond 4) -  
(Lecocq Guillaume)



Photo 0061  
Vue zénithale du sond 3 -  
F11, 211, 284, 285 (Tr.1) -  
(Lecocq Guillaume)



Photo 0062  
Vue zénithale des sond 3  
et 5 - F11, 211, 284, 285  
(Tr.1) - (Lecocq Guillaume)



Photo 0063  
Vue zénithale du sond 4 -  
F9, 10 (Tr.1) - (Lecocq  
Guillaume)



Photo 0064  
Vue oblique coupe N/S du  
sond 4 - F9, 10 (Tr.1) -  
(Lecocq Guillaume)



Photo 0065  
Vue oblique coin nord-est  
du sond 4 - F9, 10 (Tr.1) -  
(Lecocq Guillaume)



Photo 0066  
Vue oblique sud du sond 4  
- F9 (Tr.1) - (Lecocq  
Guillaume)



Photo 0067  
Vue oblique ouest du sond  
4 - F9 (Tr.1) - (Lecocq  
Guillaume)



Photo 0068  
Vue oblique nord du sond 4  
- F9 (Tr.1) - (Lecocq  
Guillaume)



Photo 0069  
Vue oblique de la coupe  
SE/NO de F15 (Tr.2) -  
(Silberstein Grégory)



Photo 0070  
Vue oblique de la coupe  
SE/NO de F15 (Tr.2) -  
(Silberstein Grégory)



Photo 0071  
Vue oblique de la coupe  
SO/NE de F15 (Tr.2) -  
(Silberstein Grégory)



Photo 0072  
Vue oblique générale de  
F15 après fouille(Tr.2) -  
(Silberstein Grégory)

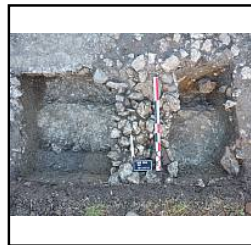


Photo 0073  
Vue zénithale des sond 3  
et 5 - F11, 211, 284, 285,  
372 (Tr.1) - (Lecocq  
Guillaume)



Photo 0074  
Vue zénithale du sond 3 -  
F11, 211, 284, 285, 372  
(Tr.1) - (Lecocq Guillaume)



Photo 0075  
Vue zénithale du sond 5 -  
F11, 211, 284, 285, 372  
(Tr.1) - (Lecocq Guillaume)



Photo 0076  
Vue oblique coupe S/N du sond 5 - 211, 284, 285, 372 (Tr.1) - (Lecocq Guillaume)



Photo 0077  
Vue oblique coupe N/S du sond 5 - 211, 284, 285, 372 (Tr.1) - (Lecocq Guillaume)



Photo 0078  
Vue oblique coupe O/E du sond 5 - F 284, 372 (Tr.1) - (Lecocq Guillaume)



Photo 0079  
Vue oblique coupe E/O du sond 5 - F 284, 211 (Tr.1) - (Lecocq Guillaume)



Photo 0080  
Vue oblique coupe sud du sond 3 - F 211, 284, 285 (Tr.1) - (Lecocq Guillaume)



Photo 0081  
Vue oblique coupe O/E du sond 3 - F11, 211, 284, 372 (Tr.1) - (Lecocq Guillaume)



Photo 0082  
Vue oblique coupe O/E du sond 3 - F11, 211, 284, 372 (Tr.1) - (Lecocq Guillaume)



Photo 0083  
Vue oblique coupe S/N du sond 3 - F11, 372 (Tr.1) - (Lecocq Guillaume)



Photo 0084  
Vue oblique coupe N/S du sond 3 - 211, 284, 372 (Tr.1) - (Lecocq Guillaume)



Photo 0085  
Vue zénithale de F7 (Tr.1) - (Anglade Julien)



Photo 0086  
Vue oblique de la coupe SO/NE de F7 (Tr.1) - (Anglade Julien)



Photo 0087  
Vue zénithale du sond 4 - F10, 372 (Tr.1) - (Lecocq Guillaume)



Photo 0088  
Vue oblique coupe S/N du sond 4 - F372 (Tr.1) - (Lecocq Guillaume)



Photo 0089  
Vue oblique coupe N/S du sond 4 - F10, 372 (Tr.1) - (Lecocq Guillaume)



Photo 0090  
Vue oblique coupe N/S du sond 4 - F10, 372 (Tr.1) - (Lecocq Guillaume)



Photo 0091  
Vue zénithale de F12 (Tr.1) - (Anglade Julien)



Photo 0092  
Vue oblique de la coupe SO/NE de F12 (Tr.1) - (Anglade Julien)



Photo 0093  
Vue oblique de la coupe SO/NE de F12 (Tr.1) - (Anglade Julien)



Photo 0094  
Vue zénithale de F27 (Tr.2) - (Anglade Julien)



Photo 0095  
Vue de la coupe SO/NE de F27 (Tr.2) - (Anglade Julien)



Photo 0096  
Vue de la coupe NO/SE de F27 (Tr.2) - (Anglade Julien)



Photo 0097  
Vue zénithale de F22 (Tr.2) - (Anglade Julien)



Photo 0098  
Vue oblique de la coupe NE/SO de F22 (Tr.2) - (Anglade Julien)



Photo 0099  
Vue zénithale de F23, 24, 396 et 397 (Tr.2) - (Anglade Julien)



Photo 0100  
Vue zénithale de F23, 24, 396 et 397 (Tr.2) - (Anglade Julien)


























				
Photo 0101 Vue zénithale de F23, 24, 396 et 397 (Tr.2) - (Anglade Julien)	Photo 0102 Vue oblique générale de F23, 24, 396 et 397 (Tr.2) - (Anglade Julien)	Photo 0103 Vue oblique générale de F23, 24, 396 et 397 (Tr.2) - (Anglade Julien)	Photo 0104 Vue oblique générale de F23, 24, 396 et 397 (Tr.2) - (Anglade Julien)	Photo 0105 Vue zénithale de F24 et 397 (Tr.2) - (Anglade Julien)
				
Photo 0106 Vue zénithale de F25, 26, 398 et 399 (Tr.2) - (Silberstein Grégory)	Photo 0107 Vue zénithale de F25, 26, 398 et 399 (Tr.2) - (Silberstein Grégory)	Photo 0108 Vue zénithale de F225, 427 et US 404 (Tr.2 - SD6) - (Loeuillet Matthieu)	Photo 0109 Vue zénithale de F225 et US 404 (Tr.2) - (Loeuillet Matthieu)	Photo 0110 Vue oblique de la coupe N/S de l'US 404 (Tr.2-SD6) - (Loeuillet Matthieu)
				
Photo 0111 Vue oblique de la coupe S/N du SD6 (Tr.2) - (Loeuillet Matthieu)	Photo 0112 Vue oblique de la coupe O/E du SD6 (Tr.2) - (Loeuillet Matthieu)	Photo 0113 Vue oblique de la coupe O/E du SD6 (Tr.2) - (Loeuillet Matthieu)	Photo 0114 Vue oblique de la coupe E/O du SD6 (Tr.2) - (Loeuillet Matthieu)	Photo 0115 Vue oblique générale du secteur F37-39, 461 (Tr.3) - (Silberstein Grégory)
				
Photo 0116 Vue oblique générale du secteur F37-39, 461 (Tr.3) - (Silberstein Grégory)	Photo 0117 Vue oblique générale du secteur F37-39, 461 (Tr.3) - (Silberstein Grégory)	Photo 0118 Vue oblique générale du secteur F37-39, 461 (Tr.3) - (Silberstein Grégory)	Photo 0119 Vue zénithale de F39, 461 et 452 (Tr.3) - (Silberstein Grégory)	Photo 0120 Vue oblique de F39, 461 et 452 (Tr.3) - (Silberstein Grégory)
				
Photo 0121 Vue oblique générale de F34, 36, 37, 458 (Tr.3) - (Silberstein Grégory)	Photo 0122 Vue oblique générale de F40, 41, 42 (Tr.3) - (Anglade Julien)	Photo 0123 Vue oblique générale de F40, 41, 42 (Tr.3) - (Anglade Julien)	Photo 0124 Vue zénithale de F31 et 32 (Tr.3) - (Anglade Julien)	Photo 0125 Vue zénithale de F31 et 32 (Tr.3) - (Anglade Julien)



Photo 0126  
Vue zénithale de F31 et 32 (Tr.3) - (Anglade Julien)



Photo 0127  
Vue oblique générale du secteur F37-39, 461 (Tr.3) - (Silberstein Grégory)



Photo 0128  
Vue oblique générale du secteur F37, 34, 36 (Tr.3) - (Silberstein Grégory)



Photo 0129  
Vue oblique générale du secteur F37-39, 461 (Tr.3) - (Silberstein Grégory)



Photo 0130  
Vue oblique générale du secteur F37, 34, 36 (Tr.3) - (Silberstein Grégory)



Photo 0131  
Vue oblique générale du secteur F37-39, 461 (Tr.3) - (Silberstein Grégory)



Photo 0132  
Vue oblique générale du secteur F34, 36, 37, 461 (Tr.3) - (Silberstein Grégory)



Photo 0133  
Vue zénithale de F43 et 44 (Tr.3) - (Anglade Julien)



Photo 0134  
Vue zénithale de F43 et 44 (Tr.3) - (Anglade Julien)



Photo 0135  
Vue zénithale de la jonction F43 et 44 (Tr.3) - (Anglade Julien)



Photo 0136  
Vue zénithale de F45 (Tr.3) - (Loeuillet Matthieu)



Photo 0137  
Vue oblique de la coupe SO/NE de F45 (Tr.3) - (Loeuillet Matthieu)



Photo 0138  
Vue oblique de F46 et 47 (Tr.3) - (Boisseau Adrien)



Photo 0139  
Vue zénithale de F46 et 47 (Tr.3) - (Boisseau Adrien)



Photo 0140  
Vue zénithale de F48 (Tr.3) - (Anglade Julien)



Photo 0141  
Vue zénithale de F34 et 37 (SD7 - Tr.3) - (Anglade Julien)



Photo 0142  
Vue zénithale de F34, 36 et 37 (SD8 - Tr.3) - (Anglade Julien)



Photo 0143  
Vue oblique de F34, 36 et 37 (SD7 et 8 - Tr.3) - (Anglade Julien)



Photo 0144  
Vue oblique de F34, 36 et 37 (SD7 et 8 - Tr.3) - (Anglade Julien)



Photo 0145  
Vue oblique de F34, 36 et 37 (SD7 et 8 - Tr.3) - (Anglade Julien)



Photo 0146  
Vue oblique de F34, 36 et 37 (SD7 et 8 - Tr.3) - (Anglade Julien)



Photo 0147  
Vue oblique de F34, 36 et 37 (SD8 - Tr.3) - (Anglade Julien)



Photo 0148  
Vue oblique de F34, 36 et 37 (SD8 - Tr.3) - (Anglade Julien)



Photo 0149  
Vue oblique de F34, 36 et 37 (SD7 et 8 - Tr.3) - (Anglade Julien)



Photo 0150  
Vue oblique de F34, 36 et 37 (SD8 - Tr.3) - (Anglade Julien)



Photo 0151  
Vue oblique de F34 et 37  
(SD7 - Tr.3) - (Anglade Julien)



Photo 0152  
Vue oblique de F48 après  
sondage (Tr.3) - (Anglade Julien)



Photo 0153  
Vue oblique de la coupe  
O/E de F48 (Tr.3) -  
(Anglade Julien)



Photo 0154  
Vue oblique générale du  
secteur F37-39, 461 (SD9  
et 10 - Tr.3) - (Silberstein  
Grégory)



Photo 0155  
Vue oblique générale du  
secteur F37-39, 452 (SD9  
et 10 - Tr.3) - (Silberstein  
Grégory)



Photo 0156  
Vue oblique générale du  
secteur F38-39, 452 (SD9  
et 10 - Tr.3) - (Silberstein  
Grégory)



Photo 0157  
Vue oblique de la coupe  
E/O du SD9 (Tr.3) -  
(Silberstein Grégory)



Photo 0158  
Vue oblique des sondages  
9 et 10 (Tr.3) - (Silberstein  
Grégory)



Photo 0159  
Vue oblique de la coupe  
E/O du SD10 (Tr.3) -  
(Silberstein Grégory)



Photo 0160  
Vue oblique de la coupe  
E/O du SD10 (Tr.3) -  
(Silberstein Grégory)



Photo 0161  
Vue zénithale du SD10  
(Tr.3) - (Silberstein  
Grégory)



Photo 0162  
Vue oblique de la coupe  
O/E du SD10 (Tr.3) -  
(Silberstein Grégory)



Photo 0163  
Vue oblique de la coupe  
O/E du SD10 (Tr.3) -  
(Silberstein Grégory)



Photo 0164  
Vue oblique des sondages  
9 et 10 (Tr.3) - (Silberstein  
Grégory)



Photo 0165  
Vue oblique des sondages  
9 et 10 (Tr.3) - (Silberstein  
Grégory)



Photo 0166  
Vue oblique de la coupe  
S/N du SD10 (Tr.3) -  
(Silberstein Grégory)



Photo 0167  
Vue oblique de la coupe  
O/E de F87 (Tr.5) -  
(Silberstein Grégory)



Photo 0168  
Vue oblique générale de  
F87 et 169 (Tr.5) -  
(Silberstein Grégory)



Photo 0169  
Vue oblique générale de  
F29 (Tr.4) - (Silberstein  
Grégory)



Photo 0170  
Vue oblique de la coupe  
N/S de F29 (Tr.4) -  
(Silberstein Grégory)



Photo 0171  
Vue oblique de la coupe  
E/O de F82 (Tr.4) -  
(Silberstein Grégory)



Photo 0172  
Vue oblique de la coupe  
O/E de F82 et 371 (Tr.4) -  
(Silberstein Grégory)

**Lot n° 2      Secteur de la nécropole**























				
Photo 0173 Vue oblique générale de F102 à 104 et F484 (Tr.5) - (Loeuillet Matthieu)	Photo 0174 Vue zénithale de F102 et F484 (Tr.5) - (Loeuillet Matthieu)	Photo 0175 Vue zénithale de F102 (Tr.5) - (Loeuillet Matthieu)	Photo 0176 Vue zénithale de détails du squelette F102 (Tr.5) - (Loeuillet Matthieu)	Photo 0177 Vue zénithale de détails du squelette F102 (Tr.5) - (Loeuillet Matthieu)
				
Photo 0178 Vue zénithale de détails du squelette F102 (Tr.5) - (Loeuillet Matthieu)	Photo 0179 Vue zénithale de détails du squelette F102 (Tr.5) - (Loeuillet Matthieu)	Photo 0180 Vue zénithale du squelette F103 (Tr.5) - (Loeuillet Matthieu)	Photo 0181 Vue oblique du squelette F103 (Tr.5) - (Loeuillet Matthieu)	Photo 0182 Vue zénithale de détails du squelette F103 (Tr.5) - (Loeuillet Matthieu)
				
Photo 0183 Vue zénithale de détails du squelette F103 (Tr.5) - (Loeuillet Matthieu)	Photo 0184 Vue zénithale de détails du squelette F103 (Tr.5) - (Loeuillet Matthieu)	Photo 0185 Vue zénithale de détails du squelette F103 (Tr.5) - (Loeuillet Matthieu)	Photo 0186 Vue oblique générale de F102 à 104 et F484 (Tr.5) - (Loeuillet Matthieu)	Photo 0187 Vue zénithale de F104 (Tr.5) - (Loeuillet Matthieu)
				
Photo 0188 Vue oblique générale de F102 à 104 et F484 (Tr.5) - (Loeuillet Matthieu)	Photo 0189 Vue oblique de la coupe E/O de F104 (Tr.5) - (Loeuillet Matthieu)	Photo 0190 Vue zénithale de F132 et 558 (Tr.5) - (Boisseau Adrien)	Photo 0191 Vue oblique générale de F132, 482 et 556 à 558 (Tr.5) - (Loeuillet Matthieu)	Photo 0192 Vue oblique de la coupe E/O de F132 et 558 (Tr.5) - (Boisseau Adrien)
				
Photo 0193 Vue oblique générale de F132, 482 et 556 à 558 (Tr.5) - (Loeuillet Matthieu)	Photo 0194 Vue oblique générale de F132 (Tr.5) - (Loeuillet Matthieu)	Photo 0195 Vue oblique de la coupe O/E de F132 (Tr.5) - (Loeuillet Matthieu)	Photo 0196 Vue oblique générale de F132 et F482 (Tr.5) - (Lebrun Christophe)	Photo 0197 Vue oblique générale de F132 et F482 (Tr.5) - (Lebrun Christophe)



Photo 0198  
Vue oblique générale de  
F477 à 481 (Tr.5) - (Lebrun  
Christophe)



Photo 0199  
Vue zénithale de F103  
(Tr.5) - (Lebrun Christophe)



Photo 0200  
Vue zénithale de F102 et  
484 (Tr.5) - (Lebrun  
Christophe)



Photo 0201  
Vue zénithale de F105 et  
106 (Tr.5) - (Lebrun  
Christophe)



Photo 0202  
Vue zénithale de F105 et  
106 (Tr.5) - (Lebrun  
Christophe)



Photo 0203  
Vue zénithale de détails du  
squelette F106 (Tr.5) -  
(Loeuillet Matthieu)



Photo 0204  
Vue zénithale de détails du  
squelette F106 (Tr.5) -  
(Loeuillet Matthieu)



Photo 0205  
Vue zénithale de détails du  
squelette F106 (Tr.5) -  
(Loeuillet Matthieu)



Photo 0206  
Vue zénithale de détails du  
squelette F106 (Tr.5) -  
(Loeuillet Matthieu)



Photo 0207  
Vue oblique générale de  
F105, 106 et 472 (Tr.5) -  
(Lebrun Christophe)



Photo 0208  
Vue oblique générale de  
F105, F473 à 476 et F555  
(Tr.5) - (Lebrun Christophe)

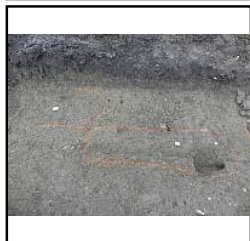


Photo 0209  
Vue zénithale de F475 et  
476 (Tr.5) - (Lebrun  
Christophe)



Photo 0210  
Vue zénithale générale de  
F105, F473, 474 et F555  
(Tr.5) - (Lebrun Christophe)



Photo 0211  
Vue zénithale générale de  
F105, 106, 472, 473 et 555  
(Tr.5) - (Lebrun Christophe)



Photo 0212  
Vue oblique générale de  
F105, 106, F472 à 476 et  
F555 (Tr.5) - (Lebrun  
Christophe)



Photo 0213  
Vue oblique générale de  
F105, 106, F472 à 474 et  
F555 (Tr.5) - (Lebrun  
Christophe)

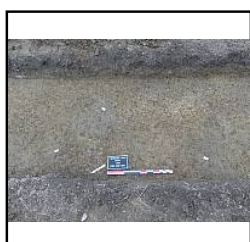


Photo 0214  
Vue zénithale générale de  
F133, 552 et 553 (Tr.5) -  
(Loeuillet Matthieu)



Photo 0215  
Vue oblique générale de  
F102 à 105, 484, 552 et  
553 (Tr.5) - (Loeuillet  
Matthieu)



Photo 0216  
Vue oblique générale de  
F132, 133, 552 et 553  
(Tr.5) - (Loeuillet Matthieu)



Photo 0217  
Vue zénithale de F132  
(Tr.5) - (Boisseau Adrien)



Photo 0218  
Vue oblique générale au  
nord-est de F132 (Tr.5) -  
(Boisseau Adrien)



Photo 0219  
Vue oblique générale de  
F132 (Tr.5) - (Boisseau  
Adrien)



Photo 0220  
Vue oblique générale de  
F132 (Tr.5) - (Boisseau  
Adrien)

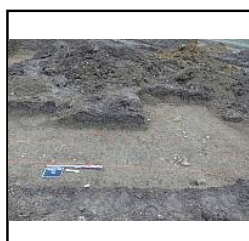


Photo 0221  
Vue oblique générale de  
F132, 482 et 556 à 558  
(Tr.5) - (Lebrun Christophe)



Photo 0222  
Vue oblique générale de  
F132, 482 et 556 à 558  
(Tr.5) - (Lebrun Christophe)





Photo 0223  
Vue oblique de F132, 482 et 556 à 558 (Tr.5) - (Lebrun Christophe)



Photo 0224  
Vue oblique générale de F132, 482 et 556 à 558 (Tr.5) - (Lebrun Christophe)

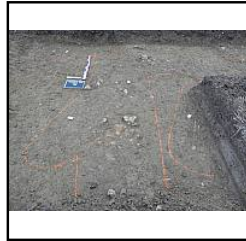


Photo 0225  
Vue oblique générale de F132, 482, 554 et 556 à 558 (Tr.5) - (Lebrun Christophe)

**Lot n° 3      *Batiments\_proto***



Photo 0226  
Vue oblique de la coupe SE/NO de F86 (Tr.5) - (Silberstein Grégory)



Photo 0227  
Vue zénithale de F86 (Tr.5) - (Silberstein Grégory)



Photo 0228  
Vue oblique de la coupe NO/SE de F171 (Tr.7) - (Lebrun Christophe)



Photo 0229  
Vue zénithale de F171 (Tr.7) - (Lebrun Christophe)



Photo 0230  
Vue oblique générale de F171 et F390 à 392 (Tr.7) - (Lebrun Christophe)



Photo 0231  
Vue oblique générale de F171 et F390 à 392 (Tr.7) - (Lebrun Christophe)



Photo 0232  
Vue oblique de la coupe NO/SE de F91 (Tr.5) - (Lebrun Christophe)



Photo 0233  
Vue zénithale de F91 (Tr.5) - (Lebrun Christophe)



Photo 0234  
Vue oblique générale de F91, 92 et F428 à 432 (Tr.5) - (Lebrun Christophe)



Photo 0235  
Vue zénithale de F429 (Tr.5) - (Lebrun Christophe)



Photo 0236  
Vue oblique de la coupe O/E de F429 (Tr.5) - (Lebrun Christophe)



Photo 0237  
Vue zénithale de F161 (Tr.6) - (Lebrun Christophe)



Photo 0238  
Vue oblique de la coupe SE/NO de F161 (Tr.6) - (Lebrun Christophe)



Photo 0239  
Vue oblique de la coupe NE/SO de F57 (Tr.3) - (Lebrun Christophe)



Photo 0240  
Vue zénithale de F57 (Tr.3) - (Lebrun Christophe)



Photo 0241  
Vue oblique du sondage dans F56 et 497 (Tr.3) - (Papin Pierre)



Photo 0242  
Vue zénithale du sondage dans F56 et 497 (Tr.3) - (Papin Pierre)



Photo 0243  
Vue oblique de la coupe SO/NE de F56 (Tr.3) - (Papin Pierre)



Photo 0244  
Vue oblique de la coupe SO/NE de F56 (Tr.3) - (Papin Pierre)



Photo 0245  
Vue oblique de la coupe NE/SO de F497 (Tr.3) - (Papin Pierre)



Photo 0246  
Vue oblique générale de F57, 60, 495 et 496 (Tr.3) - (Lebrun Christophe)



Photo 0247  
Vue oblique générale de F57, 60, 495 et 496 (Tr.3) - (Lebrun Christophe)

**Lot n° 4      Secteur du site métallurgique**



Photo 0248  
Vue oblique de la coupe NE/SO de F511 (Tr.74) - (Boisseau Adrien)



Photo 0249  
Vue zénithale de F511 (Tr.74) - (Boisseau Adrien)



Photo 0250  
Vue zénithale de F561 (Tr.74) - (Boisseau Adrien)



Photo 0251  
Vue oblique de la coupe NE/SO de F561 (Tr.74) - (Boisseau Adrien)



Photo 0252  
Vue oblique de la coupe S/N de F535 (Tr.77) - (Loeuillet Matthieu)



Photo 0253  
Vue oblique de la coupe S/N de F535 (Tr.77) - (Loeuillet Matthieu)



Photo 0254  
Vue oblique de la coupe S/N de F537 (Tr.77) - (Loeuillet Matthieu)



Photo 0255  
Vue oblique de la coupe S/N de F533 (Tr.77) - (Boisseau Adrien)



Photo 0256  
Vue oblique de la coupe S/N de F533 (Tr.77) - (Boisseau Adrien)



Photo 0257  
Vue oblique de la coupe O/E de F532 (Tr.77) - (Loeuillet Matthieu)



Photo 0258  
Vue oblique de la coupe O/E de F532 (Tr.77) - (Loeuillet Matthieu)



Photo 0259  
Vue oblique de la coupe O/E de F532 (Tr.77) - (Loeuillet Matthieu)



Photo 0260  
Vue oblique de la coupe O/E de F527 (Tr.77) - (Boisseau Adrien)



Photo 0261  
Vue oblique de la coupe SE/NO de F528 (Tr.77) - (Loeuillet Matthieu)



Photo 0262  
Vue oblique de la coupe SO/NE de F524 (Tr.76) - (Boisseau Adrien)



Photo 0263  
Vue oblique de la coupe N/S de F515 (Tr.74) - (Loeuillet Matthieu)



Photo 0264  
Vue oblique de la coupe N/S de F515 (Tr.74) - (Loeuillet Matthieu)



Photo 0265  
Vue oblique de la coupe N/S de F514 (Tr.74) - (Boisseau Adrien)



Photo 0266  
Vue zénithale de F567 et 568 (Tr.74) - (Lebrun Christophe)



Photo 0267  
Vue oblique générale de F511, 561, 567 et 568 (Tr.74) - (Lebrun Christophe)



Photo 0268  
Vue oblique de la coupe  
E/O de F501 (Tr.73) -  
(Boisseau Adrien)



Photo 0269  
Vue zénithale de F513  
(Tr.74) - (Boisseau Adrien)



Photo 0270  
Vue oblique de la coupe  
SO/NE de F513 (Tr.74) -  
(Boisseau Adrien)



Photo 0271  
Vue oblique de la coupe  
SE/NO de F499 (Tr.73) -  
(Boisseau Adrien)



Photo 0272  
Vue zénithale de F500  
(Tr.73) - (Boisseau Adrien)



Photo 0273  
Vue oblique de la coupe  
SE/NO de F500 (Tr.73) -  
(Boisseau Adrien)



Photo 0274  
Vue oblique de la coupe  
SE/NO de F500 (Tr.73) -  
(Boisseau Adrien)



Photo 0275  
Vue oblique générale de  
F511, 561, 567 et 568  
(Tr.74) - (Lebrun  
Christophe)



Photo 0276  
Vue oblique générale de  
F511, 561, 567 et 568  
(Tr.74) - (Lebrun  
Christophe)



Photo 0277  
Vue zénithale de F511, 561  
(Tr.74) - (Lebrun  
Christophe)



Photo 0278  
Vue zénithale de F567, 568  
(Tr.74) - (Lebrun  
Christophe)



Photo 0279  
Vue oblique de la coupe  
SE/NO de F511 (Tr.74) -  
(Loeuillet Matthieu)



Photo 0280  
Vue oblique générale de  
F501 (Tr.73) - (Lebrun  
Christophe)



Photo 0281  
Vue oblique générale de  
F501 (Tr.73) - (Papin  
Pierre)



Photo 0282  
Vue oblique générale de  
F501, 514 et 570 (Tr.73) -  
(Papin Pierre)



Photo 0283  
Vue oblique générale de  
F501, 514 et 570 (Tr.73) -  
(Papin Pierre)



Photo 0284  
Vue oblique générale de  
F501, 514 et 570 (Tr.73) -  
(Papin Pierre)



Photo 0285  
Vue oblique générale de  
F501, 514 et 570 (Tr.73) -  
(Papin Pierre)



Photo 0286  
Vue oblique générale de la  
coupe SO/NE de F491  
(Tr.72) - (Lebrun  
Christophe)



Photo 0287  
Vue oblique générale de la  
coupe SO/NE de F491  
(Tr.72) - (Lebrun  
Christophe)



Photo 0288  
Vue oblique de la coupe  
SO/NE de F491 (Tr.72) -  
(Lebrun Christophe)

**Lot n° 5      Secteur "hors sites"**





























				
Photo 0289 Vue oblique de la coupe NE/SO du log1 (Tr.1) - (Lebrun Christophe)	Photo 0290 Vue zénithale de F30 (Tr.3) - (Papin Pierre)	Photo 0291 Vue oblique de F30 (Tr.3) - (Papin Pierre)	Photo 0292 Vue zénithale de F443 (Tr.61) - (Loeuillet Matthieu)	Photo 0293 Vue de la coupe SO/NE de F443 (Tr.61) - (Loeuillet Matthieu)
				
Photo 0294 Vue zénithale de F435 (Tr.57) - (Boisseau Adrien)	Photo 0295 Vue de la coupe NO/SE de F435 (Tr.57) - (Boisseau Adrien)	Photo 0296 Vue zénithale de F434 (Tr.56) - (Boisseau Adrien)	Photo 0297 Vue de la coupe NO/SE de F434 (Tr.56) - (Boisseau Adrien)	Photo 0298 Vue de la coupe NE/SO de F434 (Tr.56) - (Loeuillet Matthieu)
				
Photo 0299 Vue zénithale de F446 (Tr.62) - (Loeuillet Matthieu)	Photo 0300 Vue de la coupe NE/SO de F446 (Tr.62) - (Loeuillet Matthieu)	Photo 0301 Vue zénithale d'un affleurement de TN6 (Tr.3) - (Loeuillet Matthieu)	Photo 0302 Vue zénithale de F546 (Tr.78) - (Boisseau Adrien)	Photo 0303 Vue oblique de la coupe SE/NO de F546 (Tr.78) - (Boisseau Adrien)
				
Photo 0304 Vue zénithale de F542 (Tr.78) - (Boisseau Adrien)	Photo 0305 Vue de la coupe E/O de F542 (Tr.78) - (Boisseau Adrien)	Photo 0306 Vue zénithale de F548 (Tr.79) - (Boisseau Adrien)	Photo 0307 Vue oblique de la coupe NE/SO de F548 (Tr.79) - (Boisseau Adrien)	Photo 0308 Vue oblique de la coupe NE/SO de F486 (Tr.70) - (Boisseau Adrien)
				
Photo 0309 Vue zénithale de F498 (Tr.73) - (Boisseau Adrien)	Photo 0310 Vue de la coupe SE/NO de F498 (Tr.73) - (Boisseau Adrien)	Photo 0311 Vue zénithale de F534 (Tr.77) - (Loeuillet Matthieu)	Photo 0312 Vue oblique de F534 (Tr.77) - (Loeuillet Matthieu)	Photo 0313 Vue zénithale de F534 (Tr.77) - (Loeuillet Matthieu)

				
Photo 0314 Vue oblique générale de F534 (Tr.77) - (Loeuillet Matthieu)	Photo 0315 Vue zénithale de détails des ossements de F534 (Tr.77) - (Loeuillet Matthieu)	Photo 0316 Vue oblique de détails des ossements de F534 (Tr.77) - (Loeuillet Matthieu)	Photo 0317 Vue zénithale de détails des ossements de F534 (Tr.77) - (Loeuillet Matthieu)	Photo 0318 Vue oblique de la coupe O/E de F463 (Tr.66) - (Boisseau Adrien)
				
Photo 0319 Vue oblique d'un affleurement de TN6 (Tr.3) - (Loeuillet Matthieu)	Photo 0320 Vue oblique de la coupe N/S de F167 (Tr.7) - (Papin Pierre)	Photo 0321 Vue oblique générale de F167 (Tr.7) - (Papin Pierre)	Photo 0322 Vue oblique de la coupe O/E de F169 (Tr.7) - (Papin Pierre)	Photo 0323 Vue zénithale de F206 (Tr.9) - (Lebrun Christophe)
				
Photo 0324 Vue oblique de la coupe SO/NE de F206 (Tr.9) - (Lebrun Christophe)	Photo 0325 Vue oblique de la coupe SO/NE de F209 (Tr.10) - (Lebrun Christophe)	Photo 0326 Vue oblique de la coupe NO/SE de F199 (Tr.9) - (Papin Pierre)	Photo 0327 Vue zénithale de F199 (Tr.9) - (Papin Pierre)	Photo 0328 Vue oblique de la coupe NO/SE de F193 (Tr.9) - (Lebrun Christophe)
				
Photo 0329 Vue oblique de la coupe N/S du log2 (Tr.4) - (Silberstein Grégory)	Photo 0330 Vue oblique générale de la coupe N/S du log2 (Tr.4) - (Silberstein Grégory)	Photo 0331 Vue oblique générale de la coupe N/S du log2 (Tr.4) - (Silberstein Grégory)	Photo 0332 Vue oblique de la coupe E/O de F129 (Tr.4) - (Silberstein Grégory)	Photo 0333 Vue oblique de la coupe E/O de F129 (Tr.4) - (Silberstein Grégory)
				
Photo 0334 Vue oblique de la coupe N/S de F80 (Tr.4) - (Silberstein Grégory)	Photo 0335 Vue oblique de la coupe O/E de F80 (Tr.4) - (Silberstein Grégory)	Photo 0336 Vue oblique générale des coupes de F80 (Tr.4) - (Silberstein Grégory)	Photo 0337 Vue oblique générale de la coupe E/O de F169 (Tr.6) - (Silberstein Grégory)	Photo 0338 Vue oblique de la coupe E/O de F169 (Tr.6) - (Silberstein Grégory)


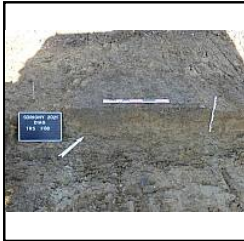























				
Photo 0339 Vue oblique de la coupe SO/NE de F88 (Tr.5) - (Silberstein Grégory)	Photo 0340 Vue oblique de la coupe SO/NE de F88 (Tr.5) - (Silberstein Grégory)	Photo 0341 Vue oblique de la coupe N/S de F90 (Tr.5) - (Silberstein Grégory)	Photo 0342 Vue oblique générale de la coupe N/S de F90 (Tr.5) - (Silberstein Grégory)	Photo 0343 Vue oblique de la coupe SE/NO de F84 (Tr.4) - (Silberstein Grégory)
				
Photo 0344 Vue oblique de la coupe SO/NE de F84 (Tr.4) - (Silberstein Grégory)	Photo 0345 Vue zénithale de F89 (Tr.5) - (Silberstein Grégory)	Photo 0346 Vue oblique de la coupe NO/SE de F89 (Tr.5) - (Silberstein Grégory)	Photo 0347 Vue oblique de F165 (Tr.6) - (Silberstein Grégory)	Photo 0348 Vue oblique de F165 (Tr.6) - (Silberstein Grégory)
				
Photo 0349 Vue oblique de F165 (Tr.6) - (Silberstein Grégory)	Photo 0350 Vue oblique de la coupe S/N de F165 (Tr.6) - (Lebrun Christophe)	Photo 0351 Vue oblique générale de la coupe E/O de F165 (Tr.6) - (Lebrun Christophe)	Photo 0352 Vue oblique de la coupe E/O de F165 (Tr.6) - (Lebrun Christophe)	Photo 0353 Vue oblique de la coupe SE/NO de F170 (Tr.7) - (Lebrun Christophe Papin Pierre)
				
Photo 0354 Vue zénithale de la coupe SE/NO de F170 (Tr.7) - (Lebrun Christophe Papin Pierre)	Photo 0355 Vue oblique générale de F77 (Tr.4) - (Lebrun Christophe Papin Pierre)	Photo 0356 Vue oblique de la coupe N/S de F77 (Tr.4) - (Lebrun Christophe Papin Pierre)	Photo 0357 Vue zénithale de F128 (Tr.4) - (Lebrun Christophe Papin Pierre)	Photo 0358 Vue oblique de la coupe NE/SO de F128 (Tr.4) - (Lebrun Christophe Papin Pierre)
				
Photo 0359 Vue oblique de la coupe SO/NE de F75 (Tr.4) - (Lebrun Christophe Papin Pierre)	Photo 0360 Vue oblique générale de F75 (Tr.4) - (Lebrun Christophe Papin Pierre)	Photo 0361 Vue oblique de la coupe SO/NE de F75 (Tr.4) - (Lebrun Christophe Papin Pierre)	Photo 0362 Vue zénithale de F160 (Tr.6) - (Loeuillet Matthieu)	Photo 0363 Vue oblique de la coupe SO/NE de F160 (Tr.6) - (Loeuillet Matthieu)



Photo 0364  
Vue oblique de la coupe SE/NO de F160 (Tr.6) - (Loeuillet Matthieu)



Photo 0365  
Vue oblique de la coupe NE/SO de F239 (Tr.11) - (Loeuillet Matthieu)



Photo 0366  
Vue oblique de la coupe SE/NO de F209 (Tr.10) - (Lebrun Christophe Papin Pierre)



Photo 0367  
Vue oblique de la coupe NE/SO de F212 (Tr.10) - (Lebrun Christophe Papin Pierre)



Photo 0368  
Vue oblique de la coupe SO/NE de F214 (Tr.10) - (Lebrun Christophe Papin Pierre)



Photo 0369  
Vue oblique générale de F214 (Tr.10) - (Lebrun Christophe Papin Pierre)



Photo 0370  
Vue oblique de la coupe SO/NE de F228 (Tr.11) - (Lebrun Christophe)



Photo 0371  
Vue zénithale de F228 (Tr.11) - (Lebrun Christophe)



Photo 0372  
Vue oblique de la coupe O/E de F246 et 249 (Tr.12) - (Lebrun Christophe)



Photo 0373  
Vue oblique de la coupe O/E de F246 et 249 (Tr.12) - (Lebrun Christophe)



Photo 0374  
Vue oblique de la coupe O/E de F245 (Tr.12) - (Lebrun Christophe)



Photo 0375  
Vue oblique de la coupe SO/NE de F247 (Tr.12) - (Lebrun Christophe Papin Pierre)



Photo 0376  
Vue oblique de la coupe SO/NE de F248 (Tr.12) - (Lebrun Christophe Papin Pierre)



Photo 0377  
Vue oblique de la coupe NO/SE de F260 (Tr.14) - (Lebrun Christophe Papin Pierre)



Photo 0378  
Vue oblique de la coupe SO/NE de F256 (Tr.14) - (Lebrun Christophe Papin Pierre)



Photo 0379  
Vue zénithale de F277 (Tr.15) - (Lebrun Christophe Papin Pierre)



Photo 0380  
Vue oblique de la coupe SO/NE de F277 (Tr.15) - (Lebrun Christophe Papin Pierre)



Photo 0381  
Vue oblique de la coupe NE/SO de F267 (Tr.15) - (Papin Pierre)



Photo 0382  
Vue oblique de la coupe NO/SE de F280 (Tr.16) - (Lebrun Christophe Papin Pierre)



Photo 0383  
Vue oblique de la coupe O/E de F246, 274 (Tr.17) - (Papin Pierre)



Photo 0384  
Vue oblique de la coupe O/E de F246, 274 (Tr.17) - (Papin Pierre)



Photo 0385  
Vue oblique de la coupe O/E de F246, 274 (Tr.17) - (Papin Pierre)



Photo 0386  
Vue oblique de la coupe O/E de F246, 274 (Tr.17) - (Papin Pierre)



Photo 0387  
Vue oblique de la coupe O/E de F302 (Tr.19) - (Papin Pierre)



Photo 0388  
Vue oblique de la coupe O/E de F302 (Tr.19) - (Papin Pierre)

Photo 0389 Vue oblique de la coupe NE/SO de F306 (Tr.21) - (Papin Pierre)	Photo 0390 Vue zénithale de F306 (Tr.21) - (Papin Pierre)	Photo 0391 Vue oblique de la coupe SE/NO de F292 (Tr.17) - (Lebrun Christophe)	Photo 0392 Vue oblique de la coupe NO/SE de F297 (Tr.17) - (Lebrun Christophe)	Photo 0393 Vue oblique de la coupe SO/NE de F145 (Tr.6) - (Lebrun Christophe)
Photo 0394 Vue oblique de la coupe NO/SE de F143 (Tr.6) - (Lebrun Christophe)	Photo 0395 Vue oblique de la coupe NO/SE de F141 (Tr.6) - (Lebrun Christophe)	Photo 0396 Vue oblique de la coupe NE/SO de F142, F483 (Tr.6) - (Lebrun Christophe)	Photo 0397 Vue oblique de la coupe SE/NO de F173 (Tr.8) - (Lebrun Christophe)	Photo 0398 Vue oblique de la coupe SE/NO de F182 (Tr.8) - (Lebrun Christophe)
Photo 0399 Vue oblique de la coupe NE/SO de F186 (Tr.8) - (Lebrun Christophe)	Photo 0400 Vue oblique de la coupe SE/NO de F60 (Tr.3) - (Lebrun Christophe)	Photo 0401 Vue oblique de la coupe NO/SE de F72, F124 (Tr.4) - (Lebrun Christophe)	Photo 0402 Vue zénithale de F72, F124 (Tr.4) - (Lebrun Christophe)	Photo 0403 Vue oblique de la coupe S/N de F70 (Tr.4) - (Lebrun Christophe)
Photo 0404 Vue oblique de la coupe NE/SO de F312 (Tr.25) - (Lebrun Christophe)	Photo 0405 Vue oblique générale de la coupe NE/SO de F312 (Tr.25) - (Lebrun Christophe)	Photo 0406 Vue oblique de la coupe NE/SO de F322 (Tr.26) - (Lebrun Christophe)	Photo 0407 Vue zénithale de la sépulture animale F318 (Tr.26) - (Loeuillet Matthieu)	Photo 0408 Vue oblique de la coupe SE/NO de F319 (Tr.26) - (Lebrun Christophe)
Photo 0409 Vue oblique de la coupe NE/SO de F323 (Tr.27) - (Lebrun Christophe)	Photo 0410 Vue oblique générale de la coupe NE/SO de F323 (Tr.27) - (Lebrun Christophe)	Photo 0411 Vue oblique de la coupe SE/NO de F326 (Tr.27) - (Lebrun Christophe)	Photo 0412 Vue oblique de la coupe SO/NE de F324 (Tr.27) - (Lebrun Christophe)	Photo 0413 Vue zénithale de F324 (Tr.27) - (Lebrun Christophe)




























				
Photo 0414 Vue oblique de la coupe NE/SO de F329 (Tr.28) - (Lebrun Christophe)	Photo 0415 Vue oblique générale de F385 (Tr.38) - (Anglade Julien)	Photo 0416 Vue oblique de la coupe SE/NO de F385 (Tr.38) - (Anglade Julien)	Photo 0417 Vue oblique de la coupe O/E de F384 (Tr.38) - (Lecocq Guillaume)	Photo 0418 Vue oblique de la coupe SE/NO de F381 (Tr.35) - (Anglade Julien)
				
Photo 0419 Vue oblique de la coupe SE/NO de F379 (Tr.34) - (Lebrun Christophe)	Photo 0420 Vue oblique de la coupe SO/NE de F366 (Tr.34) - (Loeuillet Matthieu)	Photo 0421 Vue zénithale de F366 (Tr.34) - (Loeuillet Matthieu)	Photo 0422 Vue oblique de la coupe SE/NO de F366 (Tr.34) - (Loeuillet Matthieu)	Photo 0423 Vue oblique de la coupe NO/SE de F369 (Tr.34) - (Loeuillet Matthieu)
				
Photo 0424 Vue oblique de la coupe S/N de F364 (Tr.33) - (Lebrun Christophe)	Photo 0425 Vue oblique de la coupe O/E de F361 (Tr.33) - (Lebrun Christophe)	Photo 0426 Vue oblique de la coupe O/E de F360 (Tr.33) - (Anglade Julien)	Photo 0427 Vue oblique de la coupe SO/NE de F359 (Tr.33) - (Anglade Julien)	Photo 0428 Vue oblique de la coupe O/E de F358 (Tr.33) - (Lebrun Christophe)
				
Photo 0429 Vue oblique de la coupe O/E de F357 (Tr.33) - (Anglade Julien)	Photo 0430 Vue oblique de la coupe O/E de F355 (Tr.33) - (Lebrun Christophe)	Photo 0431 Vue oblique de la coupe SO/NE de F346 (Tr.32) - (Anglade Julien)	Photo 0432 Vue oblique de la coupe O/E de F348 (Tr.32) - (Anglade Julien)	Photo 0433 Vue oblique de la coupe S/N de F337 (Tr.30) - (Lebrun Christophe)
				
Photo 0434 Vue oblique de la coupe S/N de F335 (Tr.30) - (Anglade Julien)	Photo 0435 Vue oblique de la coupe S/N de F332 (Tr.30) - (Lebrun Christophe)	Photo 0436 Vue oblique de la coupe NO/SE de F389 (Tr.48) - (Loeuillet Matthieu)	Photo 0437 Vue oblique de la coupe NE/SO de F467, F562 (Tr.67) - (Boisseau Adrien)	Photo 0438 Vue oblique de la coupe NE/SO de F467, F562 (Tr.67) - (Boisseau Adrien)

Photo 0439 Vue oblique de la coupe O/E de F547 (Tr.78) - (Boisseau Adrien)	Photo 0440 Vue oblique générale de la coupe O/E de F547 (Tr.78) - (Boisseau Adrien)	Photo 0441 Vue zénithale de F442 (Tr.60) - (Loeuillet Matthieu)	Photo 0442 Vue zénithale de F442 (Tr.60) - (Loeuillet Matthieu)	Photo 0443 Vue oblique de la coupe SO/NE de F442 (Tr.60) - (Loeuillet Matthieu)
Photo 0444 Vue oblique de la coupe N/S de F544 (Tr.78) - (Boisseau Adrien)	Photo 0445 Vue oblique de la coupe E/O de F545 (Tr.78) - (Boisseau Adrien)	Photo 0446 Vue oblique de la coupe O/E de F526 (Tr.77) - (Boisseau Adrien)	Photo 0447 Vue oblique de la coupe O/E de F525 (Tr.77) - (Boisseau Adrien)	Photo 0448 Vue oblique de la coupe SE/NO de F523 (Tr.75) - (Loeuillet Matthieu)
Photo 0449 Vue oblique de la coupe NO/SE de F520, 521 (Tr.74) - (Boisseau Adrien)	Photo 0450 Vue oblique de la coupe N/S de F509 (Tr.74) - (Loeuillet Matthieu)	Photo 0451 Vue oblique de la coupe N/S de F507 (Tr.73) - (Loeuillet Matthieu)	Photo 0452 Vue oblique de la coupe N/S de F507 (Tr.73) - (Loeuillet Matthieu)	Photo 0453 Vue oblique de la coupe N/S de F505 (Tr.73) - (Loeuillet Matthieu)
Photo 0454 Vue oblique de la coupe SO/NE de F506 (Tr.73) - (Loeuillet Matthieu)	Photo 0455 Vue zénithale de F490 (Tr.71) - (Lecocq Guillaume)	Photo 0456 Vue oblique de la coupe NO/SE de F490 (Tr.71) - (Lecocq Guillaume)		

N° dessin	description	type de dessin	support	echelle	auteur
1	Coupe O/E de F82 - Tr4 et de F371 - Tr4	coupe	papier millimétré	1/20	Silberstein Grégory
2	Coupe NE/SO de F1 - Tr1	coupe	papier millimétré	1/20	Loeuillet Matthieu
3	Coupe NO/SE de F1 - Tr1	coupe	papier millimétré	1/20	Loeuillet Matthieu
4	Plan de F1 - Tr1	plan	papier millimétré	1/20	Loeuillet Matthieu
5	Coupe S/N de F427 - Sd6 - Tr2	coupe	papier millimétré	1/20	Loeuillet Matthieu
6	Coupe SO/NE de F45 - Tr3	coupe	papier millimétré	1/20	Loeuillet Matthieu
7	Plan de F45 - Tr3	plan	papier millimétré	1/20	Loeuillet Matthieu
8	Plan de F3 - Tr1	plan	papier millimétré	1/20	Lecocq Guillaume
9	Coupe SE/NO de F3 - Tr1	coupe	papier millimétré	1/20	Lecocq Guillaume
10	Coupe SO/NE de F3 - Tr1	coupe	papier millimétré	1/20	Lecocq Guillaume
11	Coupe S/N de F276 - Tr1	coupe	papier millimétré	1/20	Loeuillet Matthieu
12	Coupe S/N et O/E de F9 - Tr1 et F10 - Tr1	coupe	papier millimétré	1/20	Lecocq Guillaume
13	Coupe S/N de F372 - Tr1	coupe	papier millimétré	1/20	Loeuillet Matthieu
14	Plan de F160 - Tr6	plan	papier millimétré	1/20	Papin Pierre
15	Coupe S/N de F160 - Tr6	coupe	papier millimétré	1/20	Papin Pierre
16	Coupe O/E de F5 - Tr1 (Sd1)	coupe	papier millimétré	1/20	Pioger Alexandre
17	Coupe E/O de F5 - Tr1 (Sd2)	coupe	papier millimétré	1/20	Pioger Alexandre
18	Coupe N/S de F6 - Tr1 (Sd2) et de F283 - Tr1 (Sd2)	coupe	papier millimétré	1/20	Pioger Alexandre
19	Coupe N/S de F167 - Tr7	coupe	papier millimétré	1/20	Lebrun Christophe
20	Coupe O/E de F169 - Tr7	coupe	papier millimétré	1/20	Lebrun Christophe
21	Coupe SO/NE de F206 - Tr9	coupe	papier millimétré	1/20	Lebrun Christophe
22	Plan de F206 - Tr9	plan	papier millimétré	1/20	Lebrun Christophe
23	Coupe SO/NE de F201 - Tr9	coupe	papier millimétré	1/20	Lebrun Christophe
24	Coupe NO/SE de F193 - Tr9	coupe	papier millimétré	1/20	Lebrun Christophe
25	Coupe SE/NO de F15 - Tr2	coupe	papier millimétré	1/20	Silberstein Grégory
26	Coupe SO/NE de F15 - Tr2	coupe	papier millimétré	1/20	Silberstein Grégory
27	Coupe N/S de F29 - Tr4	coupe	papier millimétré	1/20	Silberstein Grégory
28	Coupe O/E de F88 - Tr5	coupe	papier millimétré	1/20	Silberstein Grégory
29	Coupe O/E de F87 - Tr5	coupe	papier millimétré	1/20	Silberstein Grégory
30	Coupe E/O de F82 - Tr4	coupe	papier millimétré	1/20	Silberstein Grégory
31	Coupe N/S de F90 - Tr5	coupe	papier millimétré	1/20	Silberstein Grégory
32	Coupe E/O de F211, F284 et F285 - Tr1 (Sd 3)	coupe	papier millimétré	1/20	Loeuillet Matthieu
33	Coupe S/N de F11 et F372 - Tr1 (Sd 3)	coupe	papier millimétré	1/20	Loeuillet Matthieu
34	Coupe N/S de F372 - Tr1 (Sd 5)	coupe	papier millimétré	1/20	Loeuillet Matthieu
35	Coupe E/O de F211 et F284 - Tr1 (Sd 5)	coupe	papier millimétré	1/20	Loeuillet Matthieu
36	Coupe E/O de F129 - Tr4	coupe	papier millimétré	1/20	Silberstein Grégory
37	Coupe E/O de F169 - Tr6	coupe	papier millimétré	1/20	Silberstein Grégory
38	Plan de F89 - Tr5	plan	papier millimétré	1/20	Silberstein Grégory
39	Coupe NO/SE de F89 - Tr5	coupe	papier millimétré	1/20	Silberstein Grégory
40	Plan de F86 - Tr5	plan	papier millimétré	1/20	Silberstein Grégory
41	Coupe SE/NO de F86 - Tr5	coupe	papier millimétré	1/20	Silberstein Grégory
42	Coupe SO/NE de F84 - Tr4	coupe	papier millimétré	1/20	Silberstein Grégory
43	Coupe O/E de F80 - Tr4	coupe	papier millimétré	1/20	Silberstein Grégory
44	Coupe SO/NE de F23 - Tr2 et de F396 - Tr2	coupe	papier millimétré	1/20	Silberstein Grégory
45	Plan de F7 - Tr1	plan	papier millimétré	1/20	Anglade Julien
46	Coupe SO/NE de F7 - Tr1	coupe	papier millimétré	1/20	Anglade Julien
47	Plan de F12 - Tr1	plan	papier millimétré	1/20	Anglade Julien
48	Coupe SO/NE F12 - Tr1	coupe	papier millimétré	1/20	Anglade Julien
49	Plan de F27 - Tr2	plan	papier millimétré	1/20	Anglade Julien
50	Coupe SO/NE de F27 - Tr2	coupe	papier millimétré	1/20	Anglade Julien
51	Coupe NO/SE de F27 - Tr2	coupe	papier millimétré	1/20	Anglade Julien
52	Coupe NE/SO de F22 - Tr2	coupe	papier millimétré	1/20	Anglade Julien

N° dessin	description	type de dessin	support	echelle	auteur
53	Plan de F22 - Tr2	plan	papier millimétré	1/20	Anglade Julien
54	Coupe NO/SE de F171 - Tr7	coupe	papier millimétré	1/20	Lebrun Christophe
55	Plan de F170 - Tr7	plan	papier millimétré	1/20	Lebrun Christophe
56	Coupe S/N de F170 - Tr7	coupe	papier millimétré	1/20	Lebrun Christophe
57	Coupe N/S de F77 - Tr4	coupe	papier millimétré	1/20	Lebrun Christophe
58	Plan de F91 - Tr5	plan	papier millimétré	1/20	Lebrun Christophe
59	Coupe SO/NE de F91 - Tr5	coupe	papier millimétré	1/20	Lebrun Christophe
60	Plan de F128 - Tr4	plan	papier millimétré	1/20	Lebrun Christophe
61	Coupe NE/SO de F128 - Tr4	coupe	papier millimétré	1/20	Lebrun Christophe
62	Plan de F429 - Tr5	plan	papier millimétré	1/20	Lebrun Christophe
63	Coupe O/E de F429 - Tr5	coupe	papier millimétré	1/20	Lebrun Christophe
64	Coupe SO/NE de F75 - Tr4	coupe	papier millimétré	1/20	Lebrun Christophe
65	Plan de F161 - Tr6	plan	papier millimétré	1/20	Lebrun Christophe
66	Coupe SO/NE de F161 - Tr6	coupe	papier millimétré	1/20	Lebrun Christophe
67	Plan de F212 - Tr10	plan	papier millimétré	1/20	Lebrun Christophe
68	Coupe NE/SO de F212 - Tr10	coupe	papier millimétré	1/20	Lebrun Christophe
69	Plan de F256 - Tr14	plan	papier millimétré	1/20	Lebrun Christophe
70	Coupe SO/NE de F256 - Tr14	coupe	papier millimétré	1/20	Lebrun Christophe
71	Plan de F277 - Tr15	plan	papier millimétré	1/20	Lebrun Christophe
72	Coupe SO/NE de F277 - Tr15	coupe	papier millimétré	1/20	Lebrun Christophe
73	Coupe NO/SE de F280 - Tr16	coupe	papier millimétré	1/20	Lebrun Christophe
74	Plan de F214 - Tr10	plan	papier millimétré	1/20	Lebrun Christophe
75	Coupe SO/NE de F214 - Tr10	coupe	papier millimétré	1/20	Lebrun Christophe
76	Plan de F228 - Tr11	plan	papier millimétré	1/20	Lebrun Christophe
77	Coupe NE/SO de F228 - Tr11	coupe	papier millimétré	1/20	Lebrun Christophe
78	Coupe O/E de F246 - Tr12	coupe	papier millimétré	1/20	Lebrun Christophe
79	Coupe E/O de F245 - Tr12	coupe	papier millimétré	1/20	Lebrun Christophe
80	Coupe SO/NE de F247 - Tr12	coupe	papier millimétré	1/20	Lebrun Christophe
81	Coupe SO/NE de F248 - Tr12	coupe	papier millimétré	1/20	Lebrun Christophe
82	Coupe NO/SE de F260 - Tr14	coupe	papier millimétré	1/20	Lebrun Christophe
83	Coupe O/E de F246 et F274 - Tr17	coupe	papier millimétré	1/20	Lebrun Christophe
84	Coupe O/E de F302 - Tr19	coupe	papier millimétré	1/20	Lebrun Christophe
85	Coupe NE/SO de F306 - Tr21	coupe	papier millimétré	1/20	Lebrun Christophe
86	Coupe S/N de F292 - Tr21	coupe	papier millimétré	1/20	Lebrun Christophe
87	Coupe NE/SO de F142 et F483 - Tr6	coupe	papier millimétré	1/20	Lebrun Christophe
88	Coupe SE/NO de F173 - Tr8	coupe	papier millimétré	1/20	Lebrun Christophe
89	Coupe SE/NO de F182 - Tr8	coupe	papier millimétré	1/20	Lebrun Christophe
90	Coupe E/O de F60 - Tr3	coupe	papier millimétré	1/20	Lebrun Christophe
91	Coupe SO/NE de F145 - Tr6	coupe	papier millimétré	1/20	Lebrun Christophe
92	Coupe O/E de F143 - Tr6	coupe	papier millimétré	1/20	Lebrun Christophe
93	Coupe NO/SE de F141 - Tr6	coupe	papier millimétré	1/20	Lebrun Christophe
94	Coupe NE/SO et plan de F57 - Tr3	plan et coupe	papier millimétré	1/20	Lebrun Christophe
95	Plans de F56 et F497 - Tr3	plan	papier millimétré	1/20	Lebrun Christophe
96	Coupe SO/NE de F56 - Tr3	coupe	papier millimétré	1/20	Lebrun Christophe
97	Coupe NE/SO de F497 - Tr3	coupe	papier millimétré	1/20	Lebrun Christophe
98	Plan de F72 et F124 - Tr4	plan	papier millimétré	1/20	Lebrun Christophe
99	Coupe NO/SE de F72 et F124 - Tr4	coupe	papier millimétré	1/20	Lebrun Christophe
100	Coupe O/E de F48 - Tr3	coupe	papier millimétré	1/20	Anglade Julien
101	Coupe S/N de F37 - Tr3 (Sd7)	coupe	papier millimétré	1/20	Anglade Julien
102	Coupe E/O de F34 et F36 - Tr3 (Sd8)	coupe	papier millimétré	1/20	Anglade Julien
103	Coupe SO/NE de F70 - Tr4	coupe	papier millimétré	1/20	Lebrun Christophe
104	Coupe NO/SE de F297 - Tr17	coupe	papier millimétré	1/20	Lebrun Christophe

N° dessin	description	type de dessin	support	echelle	auteur
105	Coupe NE/SO de F312 - Tr25	coupe	papier millimétré	1/20	Lebrun Christophe
106	Coupe NE/SO de F322 - Tr26	coupe	papier millimétré	1/20	Lebrun Christophe
107	Coupe SE/NO de F319 - Tr26	coupe	papier millimétré	1/20	Lebrun Christophe
108	Coupe NE/SO de F330 - Tr27	coupe	papier millimétré	1/20	Lebrun Christophe
109	Coupe SE/NO de F326 - Tr27	coupe	papier millimétré	1/20	Lebrun Christophe
110	Coupe E/O de F104 - Tr5	coupe	papier millimétré	1/20	Loeuillet Matthieu
111	Plan de F104 - Tr5	plan	papier millimétré	1/20	Loeuillet Matthieu
112	Coupe SO/NE de F443 - Tr61	coupe	papier millimétré	1/20	Loeuillet Matthieu
113	Plan de F443 - Tr61	plan	papier millimétré	1/20	Loeuillet Matthieu
114	Coupe NE/SO de F446 - Tr62	coupe	papier millimétré	1/20	Loeuillet Matthieu
115	Plan de F446 - Tr62	plan	papier millimétré	1/20	Loeuillet Matthieu
116	Coupe NO/SE de F389 - Tr48	coupe	papier millimétré	1/20	Loeuillet Matthieu
117	Plan de F132 et F558 - Tr5	plan	papier millimétré	1/20	Boisseau Adrien
118	Coupe E/O de F132 et F558 - Tr5	coupe	papier millimétré	1/20	Boisseau Adrien
119	Coupe O/E de F132 - Tr5	coupe	papier millimétré	1/20	Boisseau Adrien
120	Plan de F434 - Tr56	plan	papier millimétré	1/20	Boisseau Adrien
121	Coupe NO/SE de F434 - Tr56	coupe	papier millimétré	1/20	Boisseau Adrien
122	Plan de F546 - Tr78	plan	papier millimétré	1/20	Boisseau Adrien
123	Coupe SE/NO de F546 - Tr78	coupe	papier millimétré	1/20	Boisseau Adrien
124	Plan de F548 - Tr79	plan	papier millimétré	1/20	Boisseau Adrien
125	Coupe NE/SO de F548 - Tr79	coupe	papier millimétré	1/20	Boisseau Adrien
126	Plan de F435 - Tr57	coupe	papier millimétré	1/20	Boisseau Adrien
127	Coupe NO/SE de F435 - Tr57	coupe	papier millimétré	1/20	Boisseau Adrien
128	Plan de F542 - Tr78	plan	papier millimétré	1/20	Boisseau Adrien
129	Coupe E/O de F542 - Tr78	coupe	papier millimétré	1/20	Boisseau Adrien
130	Plan de F511 - Tr74	plan	papier millimétré	1/20	Boisseau Adrien
131	Coupe NE/SO de F511 - Tr74	coupe	papier millimétré	1/20	Boisseau Adrien
132	Coupe SE/NO de F379 - Tr34	coupe	papier millimétré	1/20	Loeuillet Matthieu
133	Coupe NO/SE de F369 - Tr34	coupe	papier millimétré	1/20	Lebrun Christophe
134	Coupe NE/SO de F329 - Tr28	coupe	papier millimétré	1/20	Lebrun Christophe
135	Coupe SE/NO de F385 - Tr38	coupe	papier millimétré	1/20	Lebrun Christophe
136	Coupe SE/NO de F381 - Tr35	coupe	papier millimétré	1/20	Lebrun Christophe
137	Plan de F467 et F562 - Tr67	plan	papier millimétré	1/20	Boisseau Adrien
138	Coupe NE/SO de F467 et F562 - Tr67	coupe	papier millimétré	1/20	Boisseau Adrien
139	Coupe N/S de F514 - Tr74	coupe	papier millimétré	1/20	Boisseau Adrien
140	Coupe NE/SO de F510 - Tr74	coupe	papier millimétré	1/20	Boisseau Adrien
141	Plan de F561 - Tr74	plan	papier millimétré	1/20	Boisseau Adrien
142	Coupe NE/SO de F561 - Tr74	coupe	papier millimétré	1/20	Boisseau Adrien
143	Coupe O/E de F547 - Tr78	coupe	papier millimétré	1/20	Boisseau Adrien
144	Coupe E/O de F501 - Tr73	coupe	papier millimétré	1/20	Boisseau Adrien
145	Coupe S/N de F364 - Tr33	coupe	papier millimétré	1/20	Lebrun Christophe
146	Coupe O/E de F361 - Tr33	coupe	papier millimétré	1/20	Lebrun Christophe
147	Coupe SO/NE de F359 - Tr33	coupe	papier millimétré	1/20	Lebrun Christophe
148	Coupe O/E de F360 - Tr33	coupe	papier millimétré	1/20	Lebrun Christophe
149	Coupe O/E de F358 - Tr33	coupe	papier millimétré	1/20	Lebrun Christophe
150	Coupe O/E de F357 - Tr33	coupe	papier millimétré	1/20	Lebrun Christophe
151	Coupe O/E de F355 - Tr33	coupe	papier millimétré	1/20	Lebrun Christophe
152	Coupe SO/NE de F346 - Tr32	coupe	papier millimétré	1/20	Lebrun Christophe
153	Coupe E/O de F346 - Tr32	coupe	papier millimétré	1/20	Lebrun Christophe
154	Coupe S/N de F337 - Tr30	coupe	papier millimétré	1/20	Lebrun Christophe
155	Coupe S/N de F335 - Tr30	coupe	papier millimétré	1/20	Lebrun Christophe
156	Coupe S/N de F332 - Tr30	coupe	papier millimétré	1/20	Lebrun Christophe

N° dessin	description	type de dessin	support	echelle	auteur
157	Coupe N/S de F544 - Tr78	coupe	papier millimétré	1/20	Boisseau Adrien
158	Coupe E/O de F545 - Tr78	coupe	papier millimétré	1/20	Boisseau Adrien
159	Coupe O/E de F517 et F526 - Tr77	coupe	papier millimétré	1/20	Boisseau Adrien
160	Coupe SO/NE de F524 - Tr76	coupe	papier millimétré	1/20	Boisseau Adrien
161	Coupe O/E de F463 - Tr66	coupe	papier millimétré	1/20	Boisseau Adrien
162	Coupe NO/SE de F520 et F521 - Tr74	coupe	papier millimétré	1/20	Boisseau Adrien
163	Coupe S/N de F533 - Tr77	coupe	papier millimétré	1/20	Boisseau Adrien
164	Coupe O/E de F527 - Tr77	coupe	papier millimétré	1/20	Boisseau Adrien
165	Coupe O/E de F525 - Tr77	coupe	papier millimétré	1/20	Boisseau Adrien
166	Plan de F513 - Tr74	plan	papier millimétré	1/20	Boisseau Adrien
167	Coupe SO/NE de F513 - Tr74	coupe	papier millimétré	1/20	Boisseau Adrien
168	Coupe SE/NO de F499 - Tr73	coupe	papier millimétré	1/20	Boisseau Adrien
169	Coupe SO/NE de F442 - Tr60	coupe	papier millimétré	1/20	Loeuillet Matthieu
170	Plan de F442 - Tr60	plan	papier millimétré	1/20	Loeuillet Matthieu
171	Coupe SE/NO de F523 - Tr75	coupe	papier millimétré	1/20	Loeuillet Matthieu
172	Coupe N/S de F515 - Tr74	coupe	papier millimétré	1/20	Loeuillet Matthieu
173	Coupe N/S de F509 - Tr74	coupe	papier millimétré	1/20	Loeuillet Matthieu
174	Coupe S/N de F535 - Tr77	coupe	papier millimétré	1/20	Loeuillet Matthieu
175	Coupe S/N de F535 - Tr77	coupe	papier millimétré	1/20	Loeuillet Matthieu
176	Coupe O/E de F532 - Tr77	coupe	papier millimétré	1/20	Loeuillet Matthieu
177	Coupe N/S de F507 - Tr73	coupe	papier millimétré	1/20	Loeuillet Matthieu
178	Coupe SO/NE de F505 - Tr73	coupe	papier millimétré	1/20	Loeuillet Matthieu
179	Coupe SO/NE de F506 - Tr73	coupe	papier millimétré	1/20	Loeuillet Matthieu
180	Coupe S/N de F528 - Tr77	coupe	papier millimétré	1/20	Loeuillet Matthieu
181	Coupe SE/NO de F511 - Tr74	coupe	papier millimétré	1/20	Loeuillet Matthieu
182	Plan de F511 - Tr74	plan	papier millimétré	1/20	Loeuillet Matthieu
183	Coupe E/O de F38, F39, F452 et F453 - Tr3 (Sd9-10)	coupe	papier millimétré	1/20	Loeuillet Matthieu
184	Coupe SO/NE de F324 - Tr27	coupe	papier millimétré	1/20	Lecocq Guillaume
185	Plan de F324 - Tr27	plan	papier millimétré	1/20	Lecocq Guillaume
186	Coupe O/E de F384 - Tr38	coupe	papier millimétré	1/20	Lecocq Guillaume
187	Coupe NO/SE de F490 - Tr71	coupe	papier millimétré	1/20	Lecocq Guillaume
188	Plan de F490 - Tr71	plan	papier millimétré	1/20	Lecocq Guillaume
189	Plan de F500 - Tr73	plan	papier millimétré	1/20	Boisseau Adrien
190	Coupe SE/NO de F500 - Tr73	coupe	papier millimétré	1/20	Boisseau Adrien
191	Coupe SO/NE de F491 - Tr72	coupe	papier millimétré	1/20	Boisseau Adrien
192	Coupe O/E de F427 - Sd6 - Tr2	coupe	papier millimétré	1/20	Loeuillet Matthieu
193	Coupes E/O et S/N de F165 - Tr6	coupe	papier millimétré	1/20	Lebrun Christophe
194	Plan de F171 - Tr7	plan	papier millimétré	1/20	Lebrun Christophe
195	Coupe NE/SO de F486 - Tr70	coupe	papier millimétré	1/20	Boisseau Adrien
196	Orthophoto de F9 à F11, F211, 372, 284, 285 (partie est de la Tr.1)	plan	numérique	1/20	Loeuillet Matthieu
197	Orthophoto de F5, F6, F281 à 283 (partie est de la Tr.1)	plan	numérique	1/20	Loeuillet Matthieu
198	Orthophoto de F225, F427 et US 404 (partie est de la Tr.2)	plan	numérique	1/20	Loeuillet Matthieu
199	Orthophoto de F23 à F26, F396 à 399 (Tr.2)	plan	numérique	1/20	Loeuillet Matthieu
200	Orthophoto de F33 à 39, F452 à 457, F459, F461, US 206 et 377 (Tr.3)	plan	numérique	1/20	Loeuillet Matthieu
201	Orthophoto de F105, 106, 472 et 473 (Tr.5)	plan	numérique	1/20	Loeuillet Matthieu



Le diagnostic réalisé en 2021 à Sorigny (Indre-et-Loire), a été généré par un projet d'extension de la ZAC « Isoparc » sur une surface de 25,8 ha, mais dont seulement 21,7 ha étaient accessibles en raison de la présence de végétation et de zones déjà partiellement aménagées. L'opération de terrain a eu lieu en octobre et novembre 2021, la post-fouille et la rédaction du rapport se sont étalées jusqu'en avril 2022. La surface à diagnostiquer a été explorée à l'aide de 81 tranchées continues de 2m de large, ponctuées d'extensions quand cela s'est avéré nécessaire. Le tout a permis l'ouverture cumulée d'environ 24 450 m<sup>2</sup> représentant 11,24% de la surface accessible.

cette opération prenait place au sein d'un vaste plateau situé au sud de l'Indre. Le contexte archéologique du secteur se signalait par de nombreuses opérations récentes de diagnostics et de fouilles (premières tranches de la ZAC Isoparc, LGV-SEA Tours-Bordeaux, aménagements autour de l'autoroute A10...), ayant révélé une densité importante de gisements archéologiques de toutes périodes. Le présent diagnostic n'a pas dérogé à la règle. Ainsi, l'opération a révélé la présence de plusieurs occupations plus ou moins bien caractérisées, allant de la préhistoire à l'époque contemporaine, qui peuvent être listées comme suit :

- Un léger « bruit de fond » préhistorique, constitué de rares silex taillés, dont un probable éclat levallois datant du Paléolithique Moyen, et une de lame à dos plus récente (Paléolithique supérieur ou Néolithique). A noter également la découverte, dans un contexte antique, d'une petite hache polie en jade.
- Une occupation diffuse de la Protohistoire ancienne (sans précision), constituée de quelques fosses éparses s'étalant sur une grande surface.
- Une occupation (ouverte ?) de La Tène Moyenne et Finale, signalée par plusieurs bâtiments sur poteaux et par la découverte au détecteur à métaux d'un lot de 11 monnaies, dont un potin « sacrifié » et une monnaie en argent caractéristiques de contextes de sanctuaires.
- Un établissement rural qui peut être qualifié de petite ou moyenne *villa*, occupé du tournant de notre ère au 4<sup>e</sup> s., caractérisé par un enclos bâti en pierre, muni d'un porche d'entrée ouvrant sur une cour distribuant divers bâtiments, dont une partie résidentielle qui se signale notamment par de puissants bâtiments maçonnés à la chaux au moins à partir du 2<sup>e</sup> s. ap. J.-C. Le tout est plus largement entouré de fossés, partitionnant le site en plusieurs espaces à vocations agro-pastorales.
- Un second site antique daté des 1<sup>er</sup>/début du 2<sup>e</sup> s. ap. J.-C., composé d'un enclos fossoyé ayant au moins en partie renfermé une activité artisanale (et peut-être d'habitat ?), tournée vers la métallurgie du fer, associé à une vaste fosse d'extraction en marge de l'enclos.
- Un chemin et un parcellaire antique disséminé sur l'emprise du diagnostic.
- Une petite nécropole à inhumations estimée à une centaine d'individus, datable des 7<sup>e</sup>-10<sup>e</sup> s., structurée autour d'un enclos en pierre, peut-être d'origine antique.
- Des occupations agraires constituées de fossés et de mares ainsi que de rares fosses, s'échelonnant du Moyen-Âge central à l'époque contemporaine.